Exclu du prêt

3765

Nº d'ordre : 127

50376 1965 2BAA

THÈSE

PRÉSENTÉE

A LA FACULTÉ DES SCIENCES DE LILLE

POUR OBTENIR

LE GRADE DE DOCTEUR D'ÉTAT

PAR

Christiane BLANC-LOUVEL

Licenciée ès-Sciences

ÉTUDE ANATOMIQUE COMPARÉE DES TIGES ET DES PÉTIOLES D'UNE PTÉRIDOSPERMÉE DU CARBONIFÈRE DU GENRE LYGINOPTERIS POTONIÉ

Soutenue le 6 Février 1965 Section de SCIENCES

MM. P. CORSIN, Correspondant de l'Institut, Président

G. WATERLOT

A. BONTE

Examinateurs

Mme P. DANZÉ-CORSIN

CHRISTIANE BLANC-LOUVEL

FACULTÉ DES SCIENCES DE LILLE

Douens Honoraires: MM. LEFEBURE, PRUVOST.

Professeurs Honoraires:

MM. ARNOULT, BEGHIN, CAU, CHAPELON, CHAUDRON, CORDONNIER, DEHEUVELS, DEHORNE, DOLLE, FLEURY, P. GERMAIN, KOURGANOFF, LAMOTTE, LELONG, MME LELONG, MM. MAZET, A. MICHEL, NORMANT, PARISELLE, PASCAL, PAUTHENIER, ROIG, ROUBINE, WIEMANN, ZAMANSKY, ROSEAU.

Doyen: M. PARREAU, Professeur de Mathématiques.

Assesseurs: M. Durchon, Professeur de Zoologie; M. Heubel, Professeur de Chimie minérale.

Professeurs:

MM. BACCHUS, Astronomie.

Balsac (de), Zoologie.

BECART, Physique.

Berker, Mécanique des Fluides.

Bonneman-Bemia, Chimie et Physico-Chimie industrielles.

Bonte, Géologie appliquée.

Bouisset, Physiologie animale.

Bouriquet, Botanique.

CELET, Géologie.

Corsin, Paléobotanique.

DECUYPER, Mathématiques.

Dedecker, Professeur associé.

Defretin, Biologie marine.

Dehors, Physique industrielle.

DELATTRE, Géologie.

DELEAU, Géologie.

Descombes, Calcul différentiel et intégral.

GABILLARD, Radioélectricité et Électronique.

GERMAIN, Chimie générale et Chimie organique.

GLACET, Chimie.

GONTIER, Mécanique des Fluides.

HOQUETTE, Botanique générale et appliquée.

LEBÈGUE, Botanique.

LEBRUN Radioélectricité et Électronique.

Mlle Lenoble, Physique.

MM. LIEBAERT, Radioélectricité.

LIDER, Botanique.

Lucquin, Chimie minérale.

MARION, Chimie.

Mlle Marquet, Mathématiques.

MM. MARTINOT-LAGARDE, Mécanique des Fluides.

MAUREL, Chimie.

MENESSIER, Géologie.

Montreuil, Chimie biologique.

Perez, Physique expérimentale.

PHAM NAU QUAN, Mécanique rationnelle et

expérimentale.

Poitou, Algèbre supérieure. Prouvost, Géologie.

MM. ROUELLE, Physique et Électricité industrielle. SAVARD, Chimie générale.

Mme Schwartz, Analyse supérieure.

MM. SCHALLER, Zoologie.

Schiltz, Physique.

TILLIEU, Physique.

TRIDOT, Chimie.

VIVIER, Biologie animale.

WATERLOT, Géologie et Minéralogie.

WERTHEIMER, Physique.

Maîtres de Conférences :

MM. ANDRÉ, Zoologie.

BEAUFILS, Chimie Appliquée.

BLANCHARD, Chimie.

Вьосн, Psychophysiologie

BOILLET, Physique.

BUI TRONG LIEU, Mathématiques.

Combet, Mathématiques.

CONSTANT, Physique.

DANZE, Géologie.

DELHAYE, Chimie.

FOURET, Physique.

HERZ, Mathématiques.

HUARD DE LA MARRE, Calcul numérique.

LACOMBE, Mathématiques.

Mme Lebègue, Physique.

MM. MACS, Physique.

MONTARIOL, Chimie.

MORIANEZ, Physique.

Polvèche, Géologie.

Pouzet, Mathématiques.

Ranzy, Mathématiques.

Roby, Mathématiques.

VAZARD, Botanique.

Attaché principal: M. FACON.

Attachés d'Administration: M. Collignon, M. Leroy.

ÉTUDE ANATOMIQUE COMPARÉE DES TIGES ET DES PÉTIOLES D'UNE PTÉRIDOSPERMÉE DU CARBONIFÈRE DU GENRE *LYGINOPTERIS* POTONIÉ

PAR

Christiane BLANC-LOUVEL

Docteur ès-Sciences

SOMMAIRE

	Pages
INTRODUCTION	5
ABRÉVIATIONS UTILISÉES	7
CHAPITRE PREMIER. — HISTORIQUE	9
A. — Le genre Lyginopteris Potonié, 1899 (tiges et pétioles)	9
B. — Les genres Rachiopteris Williamson, 1874 et Lyginorachis Kidston, 1923 (pétioles)	12
CHAPITRE II. — ÉTUDE DE LA TIGE DE <i>Lyginopteris oldhamia</i> (Binney) potonié, 1899	15
A. — Description générale	15
B. — Modifications anatomiques en rapport avec les différents niveaux de la tige	30
C. — Anastomoses des faisceaux périmédullaires	44
D. — Tiges jeunes	47
E. — Modes de ramification:	
ı. — Bourgeons axillaires	49
II. — Ramifications axillaires	49
1º Ramifications de type I	50 59
E Pagings advantives	65

	Pages
CHAPITRE III. — ÉTUDE DES PÉTIOLES DE LYGINOPTERIS OLDHAMIA (BINNEY) POTONIÉ, 1899	67
A. — Pétioles des tiges principales	67
B. — Pétioles des rameaux axillaires :	
1º de type I	71 71
CHAPITRE IV. — CARACTÈRES ÉCOLOGIQUES DE LYGINOPTERIS OLDHAMIA (BINNEY) POTONIÉ, 1899	73
CHAPITRE V. — RÉPARTITION GÉOGRAPHIQUE ET STRATIGRAPHIQUE. DIAGNOSE DE LYGINOPTERIS OLDHAMIA (BINNEY) POTONIÉ, 1899	75
CHAPITRE VI. — ÉTUDE DES ESPÈCES POUVANT ÊTRE ASSIMILÉES A LYGINOPTERIS OLDHAMIA (BINNEY) POTONIÉ, 1899	77
A. — Lyginopteris (= Lyginodendron) lacunosum Kubart, 1911	77
B. — Lyginopteris (= Lyginodendron) heterangioïdes Kubart, 1911	79 81
CHAPITRE VII. — ÉTUDE DE LYGINOPTERIS CORSINI NOV. SP	87
CHAPITRE VIII. — ÉTUDE DE LYGINOPTERIS KUBARTI NOV. SP	93
CHAPITRE IX. — ÉTUDE DE LYGINOPTERIS SP	97
CONCLUSIONS GÉNÉRALES	98
BIBLIOGRAPHIE	1 0 0
PLANCHES	105

INTRODUCTION

Les observations anatomiques, relatives aux tiges et aux pétioles d'une Ptéridospermophyte (Lyginodendrales), appartenant au genre Lyginopteris Potonié, qui font l'objet de ce travail, ont pu être effectuées à partir d'un matériel présenté sous forme de lames minces et dispersé dans les collections de plusieurs Universités ou Instituts européens : Angleterre, Allemagne, Autriche et France.

Ce matériel provient de « coal-balls », c'est-à-dire de nodules dolomitiques trouvés, pour la majorité, en Grande Bretagne et en Bohême. Formées au sein même de certaines couches de houille, ces concrétions emprisonnent de nombreux restes végétaux dont la structure est parfaitement conservée. Des lames minces et des « Peels sections » pratiquées dans ces coal-balls ont permis un examen microscopique et, par suite, une étude de ces restes.

La comparaison des sections horizontales et verticales, obtenues par ces méthodes, des organes rapportés au genre Lyginopteris, nous a conduits, dans une première étape, à mettre l'accent sur les variations anatomiques afférentes à leurs tissus : vasculaire, de soutien et parenchymateux. La seconde étape a consisté en une tentative d'explication des structures, en tenant compte du fait qu'en plus des changements anatomiques spécifiques s'ajoutent ceux qui sont inhérents à la partie de la plante considérée (c'est-à-dire les variations dans un même individu).

Sans que les dimensions de celle-ci soient énormes (le diamètre de la tige ne dépasse pas 4 cm), elles demeurent cependant assez importantes pour que les modifications qui interviennent dans ses portions successives ne puissent être saisies d'un seul bloc, compte tenu de la taille relativement faible des fragments fossilisés. Toutefois, par recoupement, grâce à l'existence de plusieurs lots de coupes sériées, des corrélations structurales pourront être envisagées. Dans certains cas, nous avons eu la satisfaction de retrouver, dans des établissements distincts, des lames minces à propos desquelles il est possible de déduire qu'elles ont été prélevées dans un même nodule et d'affirmer que la section de tige ou de pétiole qu'elles renferment appartient à un même spécimen. En effet, dans chacune de ces lames se remarque une similitude dans l'association, la disposition, les dimensions, les déformations des diverses espèces de végétaux rencontrés, les rendant superposables d'une lame à l'autre. Cette dissémination du matériel n'a rien de surprenant, si l'on sait que vers 1890, J. Lomax confectionnait une grande quantité de lames minces, puis les vendait aux divers établissements scientifiques.

A partir de ces documents fossiles, nous essayerons de faire revivre la plante dans son milieu et de la reconstituer dans son ensemble, en nous attachant essentiellement à l'aspect anatomique, tout en tâchant de voir si les résultats corroborent les données morphologiques et les connaissances acquises par les auteurs jusqu'alors.

J'exprime toute ma gratitude à M. le Professeur P. Pruvost, membre de l'Institut, qui m'a accueillie dans son laboratoire et a grandement facilité le présent travail en donnant toujours satisfaction à mes requêtes.

Que M. P. Corsin, Professeur de Paléobotanique à l'Université de Lille, membre correspondant de l'Institut, soit assuré de ma profonde reconnaissance, tout d'abord pour m'avoir confié ce sujet de thèse, puis prodigué ses conseils avec beaucoup de patience tout au long de mes années de recherches.

Je remercie très vivement M. J.-P. Lehman, Professeur au Museum National d'Histoire Naturelle de Paris, qui m'a autorisée à recevoir l'aide des dessinatrices de son service.

Ma reconnaissance va également à M. D. Laurentiaux, Professeur à l'Université de Reims, qui m'a initiée à la Paléobotanique. Je tiens expressément à remercier MM. les Professeurs des Facultés étrangères qui m'ont toujours réservé un accueil très chaleureux en mettant à ma disposition leurs collections et les moyens de photographier les échantillons utiles : M. le Professeur J. Walton de l'Université de Glasgow; M. le Professeur W. G. Chaloner, de l'University College de Londres; M. le Professeur K. L. Alvin, de l'Imperial College de Londres; MM. les Professeurs F. Widder et W. Rössler, de l'Université de Graz; M. le Professeur K. Patteisky, de l'École des Mines de Bochum; M. le Professeur W. Zimmerman, de l'Université de Tübingen; M. le Professeur W. Rémy, de l'Université de Berlin; M^{mes} les Professeurs S. Leclerco, de l'Université de Liège, et M. Teichmuller, de l'Institut géologique de Krefeld; M. et M^{me} F. Stockmans, de l'Université de Bruxelles, ainsi que M. le Conservateur des Collections F. M. Wonnacott, du British Museum de Londres, et la Direction du Geologische Büro d'Heerlen.

Le concours : des photographes MM. A. Leblanc de l'Université de Lille, et J. Leriche, du laboratoire de Géologie de la Sorbonne, des dessinatrices M^{11es} S. Balkanyi, S. Vrain et J. Crapart, du Museum National d'Histoire Naturelle ; des confectionneurs de lames minces MM. N. Obolensky et S. Arbusof, m'a été très précieux. Je leur adresse mes remerciements les plus vifs.

Je ne saurais trop remercier MM. les Professeurs de l'université de Lille: M. P. Corsin, M. G. Waterlot, M. A. Bonte et M^{me} P. Danzé-Corsin, qui m'ont fait l'honneur d'accepter de constituer mon jury de thèse.

ABRÉVIATIONS UTILISÉES

Les abréviations ci-dessous sont utilisées dans le texte et les planches.

(+5); (+4); (+3); (+2) (+1); (0); (-1) (-2)	– Numérotation des fais- ceaux sortants par	(Caul. 1); (Caul. 11)	 Caulinaire du groupe ligneux I, II.
	ordre d'émission hors de la tige.	С. с.	- Champs de croisement.
7 1 M AN 7 1 4 AN	ŭ	C. d.	- Couche dictyoxylée.
(+5A); (+4A)	- Faisceau sortant (+ 5); (+ 4) du rameau axil- laire de « type I ».	С. е.	 Cellules aux parois épaissies.
$(+5)^{A}$; $(+4)^{A}$	Faisceau sortant (+ 5); (+ 4) du rameau axil-	C. m. s.	 Cellules à massif sécréteur.
	laire de « type II ».	C. p.	 Cellules parenchy- mateuses.
(a V°)	- Faisceau anastomosique issu du faisceau sor-	C. s.	- Cellule sécrétrice.
	tant (0) du groupe	C. scl.	 Cellule scléreuse.
	ligneux V.		
В. а.	- Bourgeon axillaire.	C. s. (B. a)	 Cellule sécrétrice du bourgeon axillaire.
$\mathbf{B_1}$	- Bois primaire.	C. scl. (B. a)	– Cellule scléreuse du
B3	- Bois secondaire.		bourgeon axillaire.
B ¹ (B. a.)	- Bois primaire du bour-	E.	- Écorce.
	geon axillaire.	E ²	- Écorce secondaire.
B^2 (B. a.)	- Bois secondaire du bourgeon axillaire.	E. (B. a)	 Écorce du bourgeon axillaire.
В. а.	- Bourgeon axillaire.	Е. е.	- Écorce externe ou
В. е.	- Bord externe du		dictyoxylon cortex.
	faisceau ou du pétiole.	E. g.	– Épiderme glanduleux.
B. i.	- Bord interne du faisceau.	E. i.	- Écorce interne.
B. inf.	- Bord inférieur du	E. m.	- Écorce moyenne.
	pétiole.	F. a.	 Faisceau anasto- mosique.
B. lat.	- Bord latéral du pétiole.	F. p.	- Faisceau principal du
В. р.	- Bandes parenchyma- teuses du dictyoxylon	r. p.	pétiole.
	cortex.	F. sup.	- Face supérieure du
B. s.	- Bandes scléreuses.		pétiole.
B. sup.	 Bord supérieur du pétiole. 	F. sc.	 Fibres sclérenchyma- teuses.
С.	- Cambium.	F. 1. 1.	- Faisceau libéro-ligneux.

G. L. I, G. L. II	- Groupe ligneux I, II.	P. pr.	- Pétiole principal.
Gr.	- Grossissement.	P. S.	- Ponctuation simple.
G. s.	- Glande sécrétrice.	Px.	 Protoxylème.
Lac.	- Lacune.	r 1	- Rachis primaire.
L.1	- Liber primaire.	r 2 (a)	- Rachis secondaire
L. 2	- Liber secondaire.	• ,	alterne.
L. m.	- Lame mince.	r 2 (S. o)	 Rachis secondaire sub- opposé.
М.	- Moelle.	r 3	- Rachis tertiaire.
1. t.	 leaf trace (= trace foliaire). 	R. a.	- Rameau axillaire.
M. (B. a)	 Moelle du bourgeon axillaire. 	R 1 (+5)	- Rameau axillaire de « type II » et de
(M) A	- Moelle du rameau axillaire.		premier ordre issu dans l'axe de symé- trie du faisceau sor-
M. s.	- Massif sécréteur.		tant (+5) de la tige
Mx cge	- Métaxylème centrifuge.		mère.
Mx cte	- Métaxylème centripète.	R 2 (+5)	– Rameau axillaire de
N. s.	– Nid scléreux.		type II set de
N. s. (B. a)	 Nid scléreux du bour- geon axillaire. 		deuxième ordre issu dans l'axe du faisceau sortant (+ 5) du
Р.	– Périderme.		rameau axillaire de
P. a.	- Ponctuation aréolée.		premier ordre.
P. a. c.	 Ponctuation aréolée des champs de croi- sement. 	R. (0) V.	- Racine adventive issue dans l'axe de symé- trie du faisceau mé-
P1; P2	 Pétiole primaire; secon- daire. 		dullaire sortant (0) du groupe ligneux V.
P. 2 (a) = r 2 (a)	- Pétiole secondaire alterne.	R. V.	 Racine adventive émise au niveau du groupe ligneux V.
P. 2 (S. o) = r 2 (S. o)	 Pétiole secondaire sub- opposé. 	R. p.	- Rayon parenchy- mateux.
Pét.	- Pétiole.	R. pr. = (P. pr)	- Rachis principal.
P. f.	- Parenchyme fonda-	Т.	- Tige.
	mental.	T. f.	- Trace foliaire.
P. 1.	- Parenchyme lacuneux.	T. m.	- Tige mère.
P. p. = 1 p.	 Plage parenchymateuse. 	Т. р.	- Tige principale.
Pin.	- Pinnule.	1. p. Tr¹	- Trachéides primaires.
P. pa	- Parenchyme palis- sadique.	Tr ²	- Trachéides secondaires.

CHAPITRE PREMIER

HISTORIQUE

A. — LE GENRE LYGINOPTERIS POTONIÉ. 1899 (tiges et pétioles)

I. - Définition du genre

En Paléobotanique, il est très rare que le végétal complet soit conservé. Sa reconstitution à partir d'organes dispersés est donc des plus délicates. Avant de pouvoir raccorder ces organes isolés à leur plante respective, des noms génériques de forme ou d'organe leur ont été attribués. Lorsque des découvertes ultérieures ont montré les relations étroites qui existaient entre certains d'entre eux, une seule et même plante s'est trouvée désignée par plusieurs dénominations génériques distinctes. C'est le cas de la plante qui nous intéresse ici et pour laquelle les désignations diverses sont consignées ci-après :

Racine (structure) = Kaloxylon Williamson, 1876.

Tige (structure) = Lyginopteris Potonié, 1899.

Pétiole (structure) = Rachiopteris Williamson, 1874.

Fronde stérile (empreinte) = Sphenopteris Brongniart, 1822.

Fructifications (structure et empreinte):

Femelle = Lagenostoma Williamson, 1877.

Måle = ?

Ainsi le genre Lyginopteris Potonié s'applique à un organe en structure conservée, en l'occurrence la tige d'une plante classée parmi les Ptéridospermophytes, dans l'ordre des Lyginodendrales. Nous étendrons cette appellation générique aux pétioles, dans le cas où ceux-ci pourront avec certitude être rattachés à la tige du type Lyginopteris, afin de mettre en évidence les rapports étroits entre les deux organes et d'éviter, en utilisant le terme Rachiopteris, toute confusion avec les fougères pour lesquelles il fut également employé. Si les preuves de leur assimilation au genre Lyginopteris ne sont pas suffisantes, tout en offrant des caractères qui les en rapprochent, nous les inclurons dans le genre Lyginorachis Kidston, créé à cet usage en 1923.

Ce problème de nomenclature se pose, du fait que dans l'état actuel de nos connaissances, les fructifications mâles demeurent inconnues. Un nom ayant une valeur linnéenne botanique ne pourra lui être attribué que lorsque tous les organes, sans exception, auront été identifiés. Dans certains

ouvrages, les fructifications mâles sont rapportées au genre Calymmatotheca Stur, 1877, et Crossotheca Zeiller, 1883, mais leur appartenance à une plante à structure lyginoptéridienne est très controversée. La tendance actuelle [34] est de considérer Calymmatotheca comme une fructification mâle de Ptéridospermophytes sans qu'il soit possible, d'après la morphologie des frondes qui l'accompagnent, de la rattacher à un genre précis. Quant au genre Crossotheca, certains, tels L. Emberger [38], C. A. Arnold [7] le placent dans les Ptéridospermées, tandis que d'autres: W. Jongmans [53], J. Danzé [34] en font une famille spéciale: les Crossothécacées, parmi les Ptéridophytes.

II. - Synonymie du genre Lyginopteris Potonié d'après les auteurs

Dadoxylon pars. Endlicher, 1866. Dictyoxylon pars. Brongniart, 1828. Lyginodendron Gourlie, 1844. Lyginopteris Potonié, 1899.

En 1866, E. W. BINNEY [11] décrit brièvement des restes de tiges en provenance des Lower coal Measures du Lancashire. En se basant sur la structure du bois secondaire (ponctuations aréolées plurisériées des trachéides), il les réunit dans le genre Dadoxylon Endlicher.

W. C. WILLIAMSON en 1869 [94] réétudia ce même matériel. Il nota l'aspect réticulé caractéristique de l'écorce externe, pour laquelle A. Brongniart avait institué, en 1828, le genre Dictyoxylon et substitua ce dernier terme à celui de Dadoxylon dans l'espèce décrite par E. W. Binney: Dadoxylon oldhamium.

En 1872, W. Carruthers [24] fit remarquer à W. C. Williamson l'existence d'empreintes présentant cette apparence réticulée et déjà rassemblées par W. Gourlie [46], en 1844, sous le nom de Lyginodendron. W. C. Williamson reconnut l'identité des deux aspects d'un même tissu : l'un Dictyoxylon correspondait à l'écorce réticulée d'une tige coupée transversalement, l'autre Lyginodendron, à cette même écorce sectionnée longitudinalement. En 1873, W. C. Williamson [96] admit pour toutes ces formes le terme générique Lyginodendron Gourlie.

H. Potonié [77] trouva que cette écorce réticulée, sur laquelle était fondée la détermination générique Lyginodendron Gourlie, n'avait aucune valeur systématique, car elle caractérisait également des plantes fort éloignées des types originels de Binney. En s'appuyant sur le fait que son feuillage rappelait certaines fougères (Pteris), il préféra, en 1899, la dénommer Lyginopteris.

En réalité la désinence choisie par H. Potonié n'a guère une signification plus restreinte puisque Pleris se retrouve également dans les termes qui désignent deux groupes très vastes dans le règne végétal : les Ptéridospermophytes et les Ptéridophytes. Si l'on veut appliquer rigoureusement les règles de la systématique, la validité du genre Lyginopteris, dont la création est postérieure à celle de Lyginodendron, est très discutable. D'ailleurs, en vertu des règles strictes de la nomenclature, c'est le genre Dictyoxylon Brongniart, le plus ancien, qui devrait seul être retenu. Toutefois, dans tous les traités, les auteurs ont adopté de préférence le genre créé par H. Potonié. Ceci nous a incités, à la faveur de cette acceptation générale, à le conserver également dans le présent travail.

III. - Contenu spécifique

Dans la littérature, se rencontrent de nombreuses espèces rapportées au genre Lyginodendron Gourlie ou Lyginopteris Potonié. Nous ne retiendrons que celles dont l'anatomie est, sinon tout entière, du moins partiellement connue et nous laisserons de côté celles, caractérisées uniquement morphologiquement : empreintes corticales (voir W. Gourlie [46]) ou foliaires (voir K. Patteisky [73]).

1º Lyginopteris oldhamia (Binney) Potonié, 1899.

C'est l'espèce la mieux connue et celle qui a servi à définir le genre. La synonymie a donc suivi l'évolution synonymique du genre :

Dadoxylon oldhamium Binney, 1866.

Dictyoxylon oldhamium (Binney) Williamson, 1869.

Luginodendron oldhamium (Binney) Williamson, 1873.

Lyginopteris oldhamia (Binney) Potonié, 1899.

Elle s'applique initialement au matériel récolté par E. W. Binney dans les couches « Lower Coal Measures » du Lancashire de la contrée d'Oldham, identifié par lui, en 1866, comme Dadoxylon oldhamium.

Une description anatomique plus approfondie des échantillons collectionnés par E. W. Binney sera faite par W. C. Williamson [96] qui remplacera (pour des raisons exposées à propos du genre (p. 10) successivement dans l'espèce de E. W. Binney, le terme *Dadoxylon* par celui de *Dictyoxylon*, en 1869, puis de *Lyginodendron*, en 1873.

Pour tous les végétaux présentant les caractères anatomiques de Lyginodendron oldhamium (Binney) Williamson, en 1899, H. Potonié proposera l'appellation actuellement admise de Lyginopteris oldhamia.

C'est W. C. Williamson [96] qui a donné, en 1873, puis, en 1895, en collaboration avec D. H. Scott [100] la première description anatomique relativement complète des divers organes de la plante. H. Potonié, en 1899, change seulement la désinence générique dans l'espèce de W. C. Williamson de 1873. Par la suite, dans son chapitre réservé à Lyginopteris oldhamia et datant de 1906 [78], il reprend la plupart du temps les figurations de W. C. Williamson.

En 1902, J. Lomax [65] signale l'existence d'un axe principal, porteur de rameaux primaires, secondaires et tertiaires.

A ce sujet W. Brenchley [16] discerne des changements phyllotaxiques, d'une part dans la tige mère en voie de ramification, d'autre part dans la ramification elle-même. D'après ses observations, au cycle phyllotaxique normal de 2/5 se substituerait un cycle de 1/5 dans la tige mère désorganisée, de 2/6 dans la ramification de premier ordre et de 2/7 dans la ramification de deuxième ordre. Ses idées sont reprises et concrétisées dans un schéma [83] par D. H. Scott (p. 39), en 1923.

Dans son ouvrage [83], D. H. Scott (p. 39) propose un diagramme relatif à la course du bois primaire, dans une tige dont la phyllotaxie est de 2/5. Pour lui, les faisceaux caulinaires qui demeurent à la périphérie de la moelle se dirigent verticalement.

M. Hirmer [51], dix ans plus tard, en 1933, affirme, à l'encontre de l'opinion de D. H. Scorr, que l'angle de divergence est de 137° 30′ 20″, ce qui implique un cycle phyllotaxique différent de 2/5 et, en conséquence, un trajet oblique des faisceaux caulinaires.

2/5 et, en conséquence, un trajet oblique des faisceaux caulinaires.

Il semble que W. ZIMMERMAN [102], en 1959 (fig. 190 B) soit, comme M. HIRMER, en faveur d'une obliquité de ces faisceaux.

Nous aurons à revenir sur ces opinions diverses concernant la course du bois primaire et le mode de ramification d'une tige.

2º Lyginopteris (= Lyginodendron) austriacum Kubart, 1908.

Cette espèce inaugure une série créée par B. Kubart à partir de nodules récoltés par D. Stur en 1885, dans les bassins houillers austro-hongrois : veine à coke (Kokflöz) de la couche d'Ostrau-Karwiner.

La plupart de ces espèces sont imparfaitement et très succinctement décrites, car l'auteur envisageait de les regrouper dans un mémoire détaillé, lorsque la guerre survint, le contraignant à abandonner ses recherches. La mort l'a frappé sans qu'il ait pu mener à bien son travail.

Il donne en 1908 [57] une brève description de coupes transversales sériées. Il figure l'une d'elles (pl. 1, fig. 2) et la rapporte au genre Lyginodendron Gourlie. Elle se distingue de Lyginopteris oldhamia (Binney) Potonié par le fait, dit-il, qu'elle ne comporte que trois traces foliaires et ne possède donc pas la phyllotaxie 2/5.

Ce n'est qu'en 1911 [59], en donnant (pl. II, fig. 1 de son travail) les détails d'une trace foliaire et d'une portion de bois secondaire extraites d'une coupe transversale de cette même série, qu'il

créera l'espèce : Lyginodendron austriacum.

3º Lyginopteris (= Lyginodendron) lacunosum Kubart, 1911.

Dans la même année 1911 [59], B. Kubart différencie de l'espèce précédente, une tige sectionnée transversalement (pl. II, fig. 3 de sa publication) qu'il dénomme, en raison de son écorce lacuneuse : Lyginodendron lacunosum.

En 1914 [60], il publie la coupe transversale (pl. II, fig. 6) d'une tige d'un autre spécimen et

précise que la phyllotaxie est du type 2/5 et la moelle dépourvue de nids scléreux.

4º Lyginopteris (= Lyginodendron) heterangioïdes Kubart, 1911.

Pour B. Kubart [60], cette espèce est importante car elle marque, du point de vue évolutif, une transition entre les deux genres Heterangium et Lyginopteris (= Lyginodendron), du fait de l'existence de quelques trachéides dans le parenchyme médullaire central d'une tige. Il présente plusieurs coupes tranversales: tout d'abord, en 1911 [59], (p. 702), puis en 1914 [60] (pl. II, fig. 5) et enfin, en 1931 [61] (pl. I, fig. 1).

5º Lyginopteris (= Lyginodendron) tristichum Kubart, 1914.

L'auteur n'a donné aucune figuration de cette espèce. Des quelques lignes qui s'y rapportent [60] (p. 5), il ressort qu'elle établit, avec d'autres espèces non mentionnées, un groupe dont les tiges, pourvues de trois traces foliaires ou plus, sont essentiellement caractérisées par l'anastomose et l'aplatissement de leurs faisceaux circum-médullaires.

Faute d'une description plus précise, aucun échantillon n'a pu être rapporté à cette espèce.

Celle-ci n'a pas été prise en considération dans notre travail.

B. — LES GENRES *RACHIOPTERIS* WILLIAMSON, 1874 ET *LYGINORACHIS* KIDSTON 1923 (pétioles)

I. — Le genre Rachiopteris Williamson, 1874

Le genre Rachiopteris a été institué par W. C. WILLIAMSON [97] en 1874 pour des rachis s'apparentant structuralement à ceux des fougères. Lorsque leur appartenance aux tiges de Lyginopteris fut démontrée, les paléobotanistes abandonnèrent le terme Rachiopteris au profit de Lyginopteris.

II. — Le genre Lyginorachis Kidston 1923 et ses différentes espèces

R. Kidston créa en 1923 le genre Lyginorachis pour grouper des pétioles dont la structure rappelle celle des Lyginopteris, sans pouvoir y être assimilés avec certitude.

Plusieurs espèces entrent dans la compréhension du genre.

1º Lyginorachis papilio Kidston, 1923.

Ce pétiole a été trouvé par R. Kidston [55] dans le Groupe des « Cement stones » des « Calciferous sandstones » de Tweed à Norham Bridge.

Il diffère de ceux de Lyginopteris oldhamia (Binney) Potonié, par la configuration en « U » de son faisceau vasculaire, coupé transversalement, et par le nombre plus élevé (dix) de pointements de protoxylème. En coupe longitudinale, R. Kidston note également une proportion moindre de trachéides scalariformes.

2º Lyginorachis taitiana Kidston et Crookall, 1931.

Une première description de cette espèce fut donnée par R. Crookall [32] en 1931, d'après le matériel collectionné par R. Kidston, en provenance des Auldton Limestones (Carboniferous Limestone series) de Lanarkshire, près de Lesmahagow.

Selon lui, les caractères spécifiques sont : la position opposée des rachis émis par le pétiole principal, l'absence de nids scléreux dans le parenchyme fondamental et la forme en « U » du faisceau vasculaire, sur le bord convexe duquel se répartissent les pointements de protoxylème.

M. G. CALDER [19], en 1934-35, dans une redescription de l'espèce, montre que les rachis ne sont pas opposés mais sub-opposés.

3º Lyginorachis waltoni Calder, 1934-35.

L'espèce est dédiée au Professeur J. Walton, qui a découvert ces pétioles dans les « Calciferous sandstones » près d'Arran.

Là encore, le contour du faisceau vasculaire épouse la forme d'un « U », mais en plus, le bord convexe est jalonné d'indentations profondes dont les extrémités sont pourvues d'un ou deux pointements de protoxylème.

Une division dichotomique a été observée dans un petit rachis.

Les traces vasculaires, destinées à innerver les rachis d'ordre supérieur, sont émises sur le bord extra-marginal des extrémités du faisceau vasculaire.

4º Lyginorachis browni Calder, 1934-35.

Un seul spécimen a été récolté par R. Brown, dans les « Calciferous sandstones » de Dumbortonshire.

Il est très voisin du précédent. Les indentations du faisceau vasculaire, en « U », sont ici plus arrondies.

5º Lyginorachis trinervis Calder, 1934-35.

L'échantillon extrait d'un nodule trouvé dans les « Calciferous sandstones » près de Loch Humphrey est à l'origine de l'espèce.

Cette dernière se différencie de toutes les autres par la tripartition de son faisceau vasculaire et la façon qui lui est propre d'isoler du faisceau principal les portions de bois primaire, destinées aux rachis d'ordre supérieur.



CHAPITRE II

ÉTUDE DE LA TIGE DE LYGINOPTERIS OLDHAMIA (BINNEY) POTONIÉ, 1899

A. — DESCRIPTION GÉNÉRALE

Il semble nécessaire, pour faciliter la compréhension ultérieure du texte, de décrire brièvement l'organisation structurale d'une tige et de définir par la même occasion certains termes employés au cours de l'exposé (*). Nous nous référerons à cet effet à la section transversale (nº 283, pl. 53, fig. 1) pratiquée dans la région, presque sommitale, de la tige.

En ce qui concerne le système ligneux primaire, elle représente un type beaucoup plus simple que celui figuré dans le traité de A. C. SEWARD [85] (p. 41, fig. 403). Le contour circulaire et l'intégrité des tissus sont mieux conservés que sur la figure présentée par D. H. Scott [83] (p. 23, fig. 11).

Comme toutes les espèces appartenant au genre Lyginopteris Potonié, la tige a une symétrie

radiale, elle est monostélique. Le diamètre mesure 11 mm.

De l'extérieur vers le centre de l'organe, se rencontrent plusieurs tissus, disposés en zones concentriques, que nous étudierons successivement : une zone épidermique glanduleuse, une zone corticale, une zone libéro-ligneuse secondaire et une zone médullaire centrale. L'ensemble est traversé par des cordons ligneux primaires.

I. — Épiderme glanduleux (E. g.)

Une assise de cellules aux parois épaissies (cutinisées), protège l'écorce de la tige et contourne les diverticules appelés glandes sécrétrices, (G. s.) (pouvant atteindre jusqu'à 3 mm de long) émises au niveau des portions parenchymateuses de l'écorce externe. Leur présence, sur des organes isolés, est un des principaux critères d'identification de l'espèce. Coupées longitudinalement, elles ont l'aspect d'un doigt de gant à l'extrémité duquel se groupent en une masse arrondie de petites cellules parenchymateuses, à fonction sécrétrice (pl. 53, fig. 3).

Ces émergences épidermiques évoquent les poils à tête pluricellulaire du chanvre, voir D. Bach

[8] (p. 128, fig. 86).

^(*) L'explication des abréviations utilisées dans le texte et les planches est indiquée p. 7.

II. - Écorce (E.)

1º Écorce primaire :

a) Écorce externe ou « dictyoxylon cortex » (E. e).

La couche la plus externe de l'écorce a une épaisseur de 1,5 mm. Sa structure est hétérogène : alternance de bandes (de 330 μ) de cellules sclérifiées (F. sc.) (pl. 2, fig. A et C), allongées dans le sens de l'axe de la tige (pl. 2, fig. B), et de cellules parenchymateuses (660 μ), dont le plus grand axe est généralement perpendiculaire à celui des précédentes (pl. 1, fig. A et B ; pl. 53, fig. 2 ; pl. 54, fig. 2 et 4).

Les figures 2 et 4 de la planche 54 montrent que les bandes scléreuses (B. s) brunâtres s'anastomosent en un véritable réseau, conduisant W.C. Williamson [94] à dénommer toute la partie externe de l'écorce : Dictyoxylon Brongniart (Diktuon signifie en grec réseau).

A l'intérieur des mailles parenchymateuses (B. p.), se dispersent çà et là deux sortes de cellules aux parois épaissies (pl. 54, fig. 4):

- les unes englobent à leur intérieur un massif de petits éléments cellulaires polygonaux, comparables à ceux qui coiffent l'extrémité des glandes sécrétrices épidermales. D. H. Scott [83] (pl. 29, fig. 16) leur a donné le nom de sac sécréteur. D'après E. Boureau [13] (tome I, p. 136), les termes de sac ou poche sont réservés au cas où les produits de sécrétion sont déversés dans un espace intercellulaire, une cavité. Pour plus de rigueur, nous les désignerons par « cellules à massif sécréteur » (C. m. s.) (voir pl. 2, fig. F et pl. 56, fig. 2);
- les autres sont de simples cellules sécrétrices isolées (C. s.), contenant dans leur lumière une sécrétion brunâtre, très probablement tannifère (pl. 2, fig. E).

b) Écorce moyenne (E. m).

Le tissu sous-jacent au dictyoxylon cortex, ou écorce moyenne (pl. 53, fig. 2) occupe un espace important dans toute l'écorce. Il n'y paraît pas toujours ainsi, car il est souvent détérioré ou rétracté à cause de sa très grande fragilité.

Pour tous les auteurs, il s'agit, chez Lyginopteris oldhamia, d'un simple parenchyme, non lacuneux. Or la structure lacunaire du tissu cortical est parfaitement évidente sur la planche 55. Le dessin planche 2, figure D, met en relief la disposition observée des cellules autour de la lacune (lac.). Elle est identique à celle du tissu lacuneux d'une tige fossile de Palmoxylon ligerinum Crié, par exemple.

Sur la planche 2, figure D, et la planche 55, fig. 4, des cellules polygonales ou circulaires (C. scl.), isodiamétriques (61 μ), aux parois lignifiées très épaisses (20 μ), contrastant avec le tissu parenchymateux par leur couleur très foncée, s'intercalent entre les membranes mitoyennes de deux cellules parenchymateuses (C. p.). Fréquemment, la lumière, plus ou moins grande (9 μ à 25 μ) (pl. 2, fig. D) de ces éléments, est obstruée par un corpuscule tannique. Ce sont des cellules scléreuses telles que les a définies E. Boureau [13] (tome I, p. 104).

A la cellule scléreuse se substitue très souvent une cellule sécrétrice (C. s.), (pl. 55, fig. 4, pl. 2, fig. D et E), à lumière plus importante complètement remplie de tannins, aux parois épaissies (8μ) mais non lignifiées.

L'aspect lacuneux que revêt cette portion de l'écorce sur certains échantillons étudiés par B.Kubart est à l'origine de la création de son espèce nouvelle : Lyginopteris (= Lyginodendron) lacunosum Kubart.

En réalité, cette discrimination n'a aucune valeur spécifique puisque l'écorce moyenne d'une tige de Lyginopteris oldhamia est également constituée d'un parenchyme lacuneux (voir pl. 55, fig. 1 à 4). Si ce caractère n'apparaît qu'exceptionnellement, cela provient de ce que les espaces

libres ménagés entre les cellules se sont trouvés réduits par compression mécanique et que bien souvent les membranes cellulaires ont été partiellement détruites. Le tout a engendré l'erreur fréquente qui consiste à confondre le vide intercellulaire avec la simple cavité d'une cellule parenchymateuse.

c) Écorce interne (E. i.).

L'écorce interne se compose d'un parenchyme fondamental, non lacuneux (pl. 53, fig. 1; pl. 56, fig. 1). Les cellules accroissent leur taille (61 μ à 200 μ) au fur et à mesure qu'elles se rapprochent du cylindre central (pl. 2, fig. G, H, I).

Au sein de ce parenchyme se dispersent trois sortes de cellules:

- des cellules sécrétrices (C. s.) (pl. 2, fig. I), très nombreuses, isolées ou rassemblées autour des nids scléreux ;
- des cellules à massif sécréteur (C. m. s.) (pl. 2, fig. F) absolument semblables à celles qui se rencontrent dans les mailles parenchymateuses du cortex externe;
- des cellules scléreuses (C. sc.) (pl. 2, fig. H) non plus isolées mais groupées en nids scléreux (N. s.), de taille différente (pl. 56, fig. 1). Ici, les cellules scléreuses ne sont pas allongées, comme dans les cordons sclérenchymateux du dictyoxylon cortex, puisque leur section est identique en coupe transversale ou longitudinale (voir pl. 54, fig. 1).

Notons enfin que, dans l'écorce interne, se trouvent des cellules libériennes, constituant les éléments principaux des faisceaux libériens primaires (L¹), superposés aux faisceaux ligneux primaires périmédullaires (pl. 57, fig. 1 et 2). Elles sont repérables par leurs éléments de dimensions inférieures à celles du parenchyme environnant (pl. 2, fig. G).

2º Écorce secondaire (E2).

Toutes les tiges de Lyginopteris oldhamia présentent un tissu composé de cellules en files radiales, donc d'origine secondaire : le périderme, très peu développé (350 µ d'épaisseur, soit cinq à six assises) par rapport à l'écorce primaire (pl. 54, fig. 1; pl. 56, fig. 1).

L'écorce secondaire, de nature parenchymateuse, s'insère dans une région assez profonde de

l'écorce primaire, entre les zones moyenne et interne.

Au cours de sa traversée dans l'écorce, la trace foliaire repousse le périderme (pl. 58, fig. 1), qui, finalement se rompt (pl. 58, fig. 2). Lorsqu'elle aborde la couche corticale externe, elle est pour ainsi dire enrubannée par un morceau de la bande péridermique.

III. - Anneau libéro-ligneux secondaire

1º Liber secondaire (L2) (pl. 56, fig. 3).

Le liber secondaire, généralement écrasé, a une faible épaisseur (0,5 mm) et se compose d'éléments radiaux.

Les tubes criblés, reconnaissables par leur petite taille (16 µ) et leurs parois légèrement brunâtres, sont associés à des cellules parenchymateuses et sécrétrices.

Dans le prolongement des rayons ligneux et élargis par rapport à ces derniers, s'intercalent, entre le liber proprement dit, les rayons libériens, constitués de cellules parenchymateuses allongées transversalement et de cellules sécrétrices. Un nid scléreux s'installe à la base de chaque rayon.

2º Le cambium (C.).

Sur cette même figure 3, planche 56, séparant les formations secondaires libériennes (L 2) et ligneuses (B²), quatre à cinq assises de cellules parenchymateuses, à différenciation radiale, répondent à la définition du cambium.

3º Le bois secondaire (B2).

Le bois secondaire pratiquement inexistant chez les Monocotylédones, les Ptéridophytes et de nombreuses Ptéridospermophytes (Heterangium Corda, par exemple), s'ordonne autour de la moelle, en un manchon dont l'épaisseur maximale est relativement importante : 5 à 7 mm chez une tige adulte (pl. 53, fig. 1).

a) Épaisseur

L'épaisseur de cet anneau ligneux secondaire est toutefois extrêmement variable d'un spécimen à l'autre, puisque le nombre des couches concentriques s'accroît avec l'âge, et qu'une tige très jeune est totalement dépourvue de formations secondaires (voir p. 47). Les variations ne sont pas uniquement imputables à une plus ou moins grande jeunesse de la plante, car deux tiges de même diamètre, donc dans le plus grand nombre des cas d'âge identique, présentent malgré tout des différences d'épaisseur notables de la zone ligneuse. Comparons à cet effet les figures 3 et 4 de la planche 60. L'intervention de facteurs divers, internes ou externes, est à envisager. La croissance de l'un des deux individus a pu s'effectuer dans un milieu plus sec, or, lorsque la teneur en eau du milieu diminue: « le bois est beaucoup plus développé et plus riche en vaisseaux », (R. Combes [28], p. 163). L'émission successive de rameaux entraîne généralement dans la ramification et dans la tige mère elle-même, la réduction de l'épaisseur du bois secondaire. Ph. Van Tieghem [90] signale (p. 187) un phénomène analogue pour la formation des couches annuelles des Dicotylédones.

Notons encore que la zone ligneuse secondaire est moins développée au sommet d'une tige qu'à

sa base (voir la fig. 179, p. 340, dans le tome II de E. Boureau [13]).

Une simple coupe transversale peut aussi accuser des inégalités dans l'épaisseur de son anneau ligneux (pl. 66, fig. 2). Elles incombent généralement aux brèches non encore complètement comblées, résultant de la sortie de traces foliaires ou de rameaux. Des facteurs externes locaux peuvent également expliquer l'excentricité du manchon de bois secondaire sur une seule section (orientation de la plante par rapport aux rayons lumineux par exemple: voir Ph. Van Tieghem [90], (p. 787).

b) STRUCTURE.

Le bois secondaire de Lyginopteris oldhamia appartient au groupe des bois homoxylés (absence de vrais vaisseaux), comportant deux sortes d'éléments, tous disposés en files radiales : ce sont les trachéides et les rayons parenchymateux (pl. 2 fig. P et pl. 59, fig. 2 et 4).

1. LES TRACHÉIDES (TR2)

a. Dimensions.

Les trachéides sont des éléments ligneux conducteurs allongés (50 µ environ), terminés par des cloisons en biseau (pl. 59, fig. 1 et 2).

En coupe transversale, la couronne de bois secondaire de certaines tiges (pl. 61, fig. 1, 2 et 3), de provenances diverses (Angleterre, Hollande ou Belgique), a un aspect d'ensemble d'une plus grande finesse que d'ordinaire, due à un diamètre radial et tangentiel moyen, moindre, des trachéides. Nous verrons (p. 58) que les éléments de l'anneau ligneux d'une ramification de « type II » sont de taille inférieure à ceux de la tige mère. Nous pouvons supposer que les sections de la planche 61 représentent des rameaux, ou bien des tiges principales, après émissions de branches successives. Là encore, l'influence des facteurs externes locaux n'est pas à rejeter. D'après R. Combes [28] (p. 165), la diminution de la taille des cellules peut résulter de l'accroissement, de l'intensité lumineuse ou de la sécheresse du milieu.

Une hétérogénéité dans les dimensions des trachéides se manifeste également sur une seule section horizontale (pl. 2 fig. J). Elle se présente de plusieurs manières.

Sur une coupe transversale quelconque, les trachéides les plus petites se situent près de la moelle, leur diamètre croît progressivement pour atteindre une mesure maximale, qu'elles conservent généralement jusqu'à la périphérie de l'anneau ligneux (pl. 2, schéma de gauche de la fig. N).

A ces variations, qui sont de règle sur chaque échantillon, s'en ajoutent d'autres, plus accidentelles.

Sur toute l'épaisseur d'un quartier de l'anneau ligneux, tous les éléments sont affectés d'un diamètre moyen, inférieur à celui des trachéides situées hors de ce quartier (voir pl. 60, fig. 4).

Une ou plusieurs cellules de petite taille interrompent brusquement l'accroissement progressif du calibre des éléments d'une même file. L'interruption touche plusieurs files de trachéides et se produit toujours à égale distance de la moelle, formant ainsi une zone concentrique distincte, à l'intérieur de l'anneau ligneux (pl. 60, fig. 4), en laissant chaque fois un intervalle dans lequel les trachéides ont des dimensions normales ; le phénomène peut se répéter à deux à trois reprises et donner l'impression d'une périodicité dans la formation de ces zones. B. Kubart [61] a signalé le fait chez Lyginopteris (= Lyginodendron) heterangioïdes et a posé le problème de savoir s'il s'agissait de véritables anneaux annuels ou simplement d'un dérangement de croissance. Il demeure hésitant quant à l'existence d'anneaux annuels, en raison du non épaississement de la paroi des trachéides, des cercles en question. Il cite d'après les auteurs : E. Antevs [3], K. Sanio [81], des exemples, chez les plantes actuelles, qui abondent tantôt dans un sens, tantôt dans l'autre.

Pour résoudre le problème, il faudrait, avant tout, définir les caractères anatomiques des cercles annuels et voir ensuite si les zones rencontrées chez Lyginopteris oldhamia méritent d'y être assimilées. E. Boureau [13] (tome II, p. 342), distingue aisément une couche annuelle d'un faux cerne par le fait que, dans une couche normale, « brusquement, sans transition, après le bois final, on passe généralement des trachéides étroites finales aux trachéides larges initiales de l'autre couche. Dans le cas d'un faux cerne, ce passage brusque n'existe pas ». Ph. Van Tieghem [90] (p. 792), précise que la délimitation entre deux couches annuelles est marquée par un « aplatissement tangentiel des divers éléments ».

Cette diminution du calibre des trachéides, accompagnée d'un aplatissement tangentiel, s'observe sur quelques échantillons, dans certaines portions seulement de la zone ligneuse (pl. 2, schéma de droite de la fig. N et pl. 60, fig. 4). Dans les autres (pl. 2, schéma central de la fig. N et pl. 103, fig. 2) il y a diminution de la taille des cellules parce qu'à la limite des deux zones, la file unicellulaire devient bicellulaire, sans que le diamètre radial diminue pour autant. Il n'y a donc pas d'uniformité anatomique dans une zone concentrique du bois secondaire de Lyginopteris oldhamia.

De plus, il est à constater une grande irréguralité dans l'épaisseur des zones. Une zone se compose d'une ou deux assises, sur certaines tiges, et d'une vingtaine, sur d'autres. L'inégalité du nombre des assises se reproduit très souvent dans une seule et même zone, laquelle va jusqu'à disparaître à certains endroits (pl. 60, fig. 4). Il est possible que cette disparition partielle soit provoquée par la sortie antérieure d'une trace foliaire ou d'un rameau ; le bois se reconstituerait, dans les brèches, sans zonations.

Si l'on ajoute à tout cela le caractère non général de l'existence de ces zones (comparer les sections de même diamètre, fig. 3 et 4, pl. 60), il s'avère difficile de les intégrer dans le cadre de la définition des cercles annuels proprement dits. Le trait commun à ces anneaux ligneux est de diminuer brusquement, selon deux modalités différentes, la taille de certaines trachéides.

D'après R. Combes [28], les modifications de l'action de facteurs externes, capables de diminuer la taille des cellules, sont les suivantes :

- un accroissement de l'intensité lumineuse (p. 141);
- une diminution de la teneur en eau du milieu (p. 165);
- une augmentation de la concentration en substances minérales ou organiques dissoutes (p. 173);
- une élévation d'altitude (p. 211).

Essayons de voir, quand et de quelle manière, selon les cas, un ou même plusieurs de ces facteurs auraient pu intervenir. En ce qui concerne le facteur lumière, il est bien évident que, dans une forêt, les individus de petite taille ou certaines parties de la plante, mal exposées, reçoivent un éclairement moins intense. E. Boureau [13] (tome II, p. 341), en dénombrant les cernes d'une tige rampante d'Hedera, écrit : « Les parties jeunes qui ont atteint un milieu très éclairé favorable peuvent acquérir un nombre de cernes supérieur à celui de la portion plus âgée qui tient à la plante mère et qui se maintient à l'ombre sans grossir. »

La présence d'un tissu cortical lacuneux (lac.) nous conduit à déduire que Lyginopteris oldhamia poussait dans un milieu humide, au bord des lagunes ou des rivières. Ces dernières sont indirectement sous l'influence des marées ou des crues et baignent plus ou moins la végétation bordière. On peut supposer qu'à certains moments de l'année, au cours d'une marée descendante par exemple, les plantes, le relief topographique aidant, se trouvent, alors, dans un sol asséché, d'où augmen tation de sa concentration en chlorure de sodium ou autres substances dissoutes. Des analyses ont montré que dans la lagune même, la concentration en sel pouvait augmenter dans les pays chauds, dans une très forte proportion, par évaporation. Il reste à savoir, surtout dans le cas où les zones concentriques se succèdent dans l'anneau, si cette évaporation intense n'est pas en liaison directe avec des périodes inégales de sécheresse, irrégulièrement échelonnées au long de l'année.

L'élévation d'altitude n'entrerait en jeu que pour des individus dont la totalité du bois secondaire se compose de trachéides de très faible diamètre et uniquement pour des végétaux bordant les bassins paraliques.

Les facteurs externes agissent sur les trachéides, indirectement, par l'intermédiaire des cellules cambiales qui, localement et temporairement, modifient leur métabolisme et, par contre-coup, leur activité génératrice de bois secondaire.

b. Ponctuations.

Le mode de ponctuations des trachéides du bois secondaire est assez primitif, puisqu'il est du type araucarioïde. Ce caractère a incité E. W. Binney [11] à rapporter les premiers restes des futurs Lyginopteris Potonié, au genre Dadoxylon Endlicher, devenu par la suite Araucaryoxylon Kraus.

Les parois des trachéides sont tapissées de ponctuations aréolées (5 μ) (pl. 2, fig. L et pl. 59, fig. 3), multisériées, contiguës et en alternance. Un léger écrasement leur donne un contour hexagonal. Il est plus accusé sur les parois radiales que sur les parois tangentielles où elles s'espacent davantage (pl. 59, fig. 1).

2. Les rayons parenchymateux (R.P.).

Les rayons parenchymateux sont homogènes, uniquement constitués de cellules parenchymateuses, lesquelles forment en coupe transversale des files radiales (pl. 57, fig. 2) unies ou bisériées, à proximité de la moelle, plurisériées, avant d'entrer dans le liber où elles s'élargissent pleinement.

Leur hauteur, en coupe tangentielle, est assez élevée, en moyenne 60 cellules, au contour hexagonal (pl. 2, fig. K et pl. 59, fig. 2). Les rayons bas sont rares.

Dans la largeur d'un rayon se dénombre un à dix éléments.

Des ponctuations (P. s.) (pl. 2, fig. 0; pl. 60, fig. 1 et 2), apparemment simples, jalonnent quelquefois les membranes.

Les champs de croisement (C. c.) portent des ponctuations (P. a. c.) du type oculipore (aréole visible) araucarioïdes (pl. 2, fig. L; pl. 59, fig. 3 et 4; pl. 60, fig. 1 et 2). Ce sont des ponctuations aréolées, plus petites (5μ) que les ponctuations radiales des trachéides, à grande ouverture ovale, oblique. Il y en a environ une dizaine, étagées en lignes plus ou moins horizontales et parfois contiguës (pl. 60, fig. 2).

Des cellules sécrétrices (C. s.) (pl. 60, fig. 1) s'insèrent entre les cellules parenchymateuses des rayons.

La structure ligneuse secondaire de Lyginopteris oldhamia (Binney) Potonié, par les ponctuations radiales aréolées des trachéides, les ponctuations des champs de croisement des rayons parenchymateux, du type araucarioïdes, s'identifie à la structure la plus primitive des conifères fossiles Araucarioxylon Kraus mis en synonymie avec Dadoxylon Endlicher et Cordaixylon Grand Eury [voir E. Boureau [13] (tome II, p. 469)].

IV. — Bois primaire (B¹)

La répartition et l'évolution morphologique structurale du tissu ligneux primaire sont assez complexes. Afin d'en faciliter l'étude, et pour la compréhension ultérieure du texte, nous préciserons la signification des termes employés.

1º Définitions.

a) Notion de faisceau mésarche.

Les éléments conducteurs ligneux primaires se groupent en faisceaux dits mésarches (*) à la périphérie de la moelle, traversent successivement les différents tissus de la tige pour se rendre dans les pétioles et innerver, en dernier lieu, les folioles.

Les premiers éléments formés ou trachées, aux parois spiralées, rayées et ponctuées, composent le pôle de protoxylème qui, sur la coupe transversale d'une tige, pointe vers le centre de la moelle et occupe une position sub-centrale à l'intérieur du faisceau (pl. 22).

Le pointement de protoxylème s'entoure d'une masse de métaxylème, constituée de trachéides aux ponctuations aréolées multisériées, dont une partie s'est différenciée en direction centrifuge (métaxylème supérieur), et l'autre, beaucoup plus développée, en direction centripète (métaxylème inférieur) (pl. 22).

Les bords latéraux du faisceau (métaxylème latéral), dans un stade initial, sont séparés du protoxylème par de petites cellules parenchymateuses; la pointe du protoxylème s'appuie alors directement sur le bord intérieur du métaxylème inférieur. Plus tard, ce contact disparaît, car la portion parenchymateuse s'est accrue pour former une plage parenchymateuse, pourvue de quelques cellules sécrétrices.

Une plage parenchymateuse et le protoxylème qui l'accompagne se divisent au cours de l'évolution d'un faisceau. Un dédoublement de celle-ci annonce généralement la scission prochaine du faisceau récemment individualisé qui la renferme.

^(*) Un faisceau mésarche se compose d'un pôle ligneux (protoxylème) (Px.) à différenciation centrifuge, d'où se développe, en l'enserrant complètement, du métaxylème (mx) centrifuge, puis tangentiel et finalement centripète, épargnant dans la région axiale une petite plage parenchymateuse (P. p.), à l'intérieur de laquelle s'avance le protoxylème (voir pl. 74).

La théorie de G. Chauveaud [25], selon laquelle le pointement de protoxylème à différenciation centrifuge d'un faisceau mésarche a été précédé d'un premier pointement à différenciation centripète, qui s'est résorbé, comme l'a montré E. Boureau [13] (tome 1, p. 183), sur la plantule de Libocedrus, n'a en aucun cas été vérifiée, aux différents niveaux d'un individu jeune ou âgé. La différenciation centrifuge du protoxylème est toujours réalisée dans les nombreux échantillons observés.

b) Localisation et désignation des faisceaux.

De la course effectuée par les faisceaux découle leur localisation temporaire dans les différents tissus de la tige. En fonction de celle-ci, nous désignerons les faisceaux situés au pourtour de la moelle par : « faisceaux ligneux primaires périmédullaires », ceux qui recoupent tout d'abord l'anneau ligneux secondaire par : « faisceaux ligneux primaires de l'anneau » et ensuite, le cortex par : « faisceaux ligneux primaires corticaux ».

Parmi les faisceaux périmédullaires, il faut encore discriminer les faisceaux qui ne quitteront jamais la moelle, ou « faisceaux ligneux primaires périmédullaires caulinaires » (Caul.) des « faisceaux ligneux primaires périmédullaires sortants », qui, après un séjour plus ou moins long dans la moelle, traverseront les couches successives de la tige.

Faisceaux périmédullaires sortants, faisceaux de l'anneau et faisceaux corticaux correspondent en fait à la décomposition spatiale d'un « cordon ligneux », destiné à pénétrer dans un pétiole. La « trace foliaire » (T. f.) est la section transversale d'un « cordon ligneux ».

c) Notion de groupe ligneux.

Le cordon ligneux prend naissance à partir du faisceau ligneux primaire périmédullaire caulinaire. Nous conviendrons d'adopter la terminologie « groupe ligneux » à tout l'ensemble.

Un groupe ligneux comprend donc le faisceau caulinaire accompagné de tous ceux qui sont issus de ce même caulinaire et qui se rendront dans les frondes, dont les points d'attache, sur la tige, sont placés sur une même verticale.

d) Notation des faisceaux.

Arbitrairement (0) est assigné au faisceau médullaire sortant, sur le point de pénétrer dans l'anneau de bois secondaire. Les faisceaux de l'anneau et corticaux sont dotés de chiffres positifs (+x), d'autant plus élevés qu'ils sont plus âgés que (0). Quant aux faisceaux médullaires sortants, moins anciens que (0), ils sont annotés de chiffres négatifs (-x), d'autant plus élevés qu'ils sont plus jeunes.

A chacun des faisceaux médullaires caulinaires (Caul.) est attribué le numéro d'ordre, en chiffres romains, correspondant à celui du groupe ligneux auquel il appartient: exemple (Caul. IV) est le caulinaire du groupe IV.

Chaque groupe ligneux est en effet numéroté et figuré par une couleur propre, en tenant compte de l'ordre d'émission, hors de la tige, des traces foliaires. Le groupe (pl. 1, fig. A et B), qui comporte le faisceau cortical le plus jeune : (+ 1) a reçu la notation : groupe ligneux I (G. L. I).

2º Évolution du bois primaire dans une tige.

Dans une tige de Lyginopteris Potonié, où la disposition des frondes est hélicoïdale, les différences morpho-anatomiques qu'offrent les faisceaux d'une coupe horizontale, ou traces foliaires, sont l'expression de l'évolution verticale d'un cordon ligneux.

En partant de ce critère, essayons à l'aide de la section transversale nº 283 (pl. 1, fig. A, et pl. 53, fig. 1), dont le diamètre est de 11 mm, de suivre l'évolution structurale d'un cordon ligneux.

Elle est relativement bien connue depuis le moment où la trace foliaire accède dans le cortex ; par contre, les transformations qu'elle subit, lors de son séjour dans la moelle, sont généralement négligées.

a) FAISCEAUX PÉRIMÉDULLAIRES.

Six faisceaux mésarches, non également distants les uns des autres et de dimensions variables, se répartissent autour de la moelle.

Tous sont isolés, sauf deux (E¹) et (E²) figurés en grisé (pl. 1, fig. A et pl. 3, fig. A), qui forment un couple dont les éléments, de 'taille différente (0,6 et 0,3 mm), ne sont séparés que par un mince filet de parenchyme. Le plus grand (E²) possède une plage parenchymateuse bien nette, tandis que celle du plus petit (E¹) est à peine marquée.

Un troisième faisceau '(D) en bleu (pl. 1, fig. A et pl. 3, fig. A) se distingue de ses voisins, par le fait qu'il est aussi étalé (0,9 mm) que (E1) et (E2) réunis. En outre, il est le seul à avoir deux plages

parenchymateuses de grandeur inégale.

Tous les autres faisceaux périmédullaires (pl. 1, fig. A et pl. 3, fig. A) (C) = rouge, (B) = jaune, (A) = vert, de dimensions moindres (C) = 0,5 mm et (A) = 0,2 mm sont pourvus d'une plage parenchymateuse unique, qui se réduit en même temps que l'ampleur des faisceaux diminue. Parmi ces derniers, il en est encore un (C) qui se signale par sa plage parenchymateuse plus étendue (200 μ), équivalant en surface à celle des deux plages rassemblées du faisceau (D), (130 μ + 60 μ).

Il ressort, avec évidence, qu'il y a simultanément augmentation progressive de la taille (pl. 3, fig. A) des faisceaux (A) à (E²) et de la plage parenchymateuse qu'ils renferment, d'où résulte d'abord un dédoublement de la plage (faisceau (D)) et finalement une bipartition (formation de (E¹) et E²)

du faisceau initial qui pourrait être représenté par (A).

L'identité des mesures (0,3 mm) et du contour des faisceaux (E¹) et (A) sur la figure A, planche 3, laisse présumer qu'ils accomplissent, dans la moelle, un cycle similaire : accroissement, division. Le faisceau (E²) est donc émis par un faisceau qui, à un niveau inférieur, offrait primitivement l'aspect de (A) et a passé successivement par les stades (B), (C) et (D) qu'illustre la figure A, planche 3. Tandis que (E¹) restera dans la moelle et se divisera un peu plus haut, (E²) va pénétrer dans le bois secondaire.

Sur d'autres coupes (M 50 q et 2000) (pl. 4, fig. C et pl. 62, fig. 2), dont l'arrangement et l'anatomie des faisceaux ligneux sont analogues à ceux du bois primaire de la section nº 283 (pl. 53, fig. 1), le faisceau (en grisé sur la figure) analogue à (E²) est déjà inclus dans l'anneau ligneux. A un niveau un peu supérieur à celui de la coupe transversale figurée planche 53, figure 1, le faisceau (E²) (pl. 3, fig. A) entrera dans le bois secondaire. D'après ce qui a été dit page 23, il correspond donc au faisceau sortant ou à la trace foliaire (0).

Les autres faisceaux, qui n'ont pas encore, ou incomplètement individualisé leur faisceau sortant, seront considérés comme des faisceaux caulinaires. Le plus ancien d'entre eux est (E¹), puisque le faisceau médullaire sortant qu'il émet : (E²) = (0) en est détaché. Sur la tige d'où est extraite la coupe transversale figurée planche 1, figure A et planche 53, figure 1, l'émission successive des traces foliaires, plus jeunes que (0), se fera dans l'ordre 'suivant : (D), (C), (B) et (A), établi en fonction du stade évolutif auquel est parvenu chaque faisceau, c'est-à-dire de la taille, du nombre et de la grandeur des plages parenchymateuses, indices annonçant la dissociation plus ou moins proche d'un faisceau sortant de son faisceau caulinaire.

b) Faisceaux de l'anneau et faisceaux corticaux.

Sur une coupe transversale, les faisceaux périmédullaires sont parvenus à un stade d'évolution morpho-anatomique différent et se répartissent dans un ordre bien déterminé. Il en va de même

pour les faisceaux de l'anneau et corticaux. Pour le mettre en évidence, il faut tenir compte, pour chaque faisceau:

- de sa distance, par rapport à l'anneau ligneux secondaire;
- de son isolement (s'il est impair) ou du degré de proximité d'un autre (s'il est dédoublé);
- de sa configuration générale;
- du nombre de plages parenchymateuses qu'il renferme;
- de l'épaisseur du bois secondaire dont il est couronné.

La succession des faisceaux corticaux, telle qu'elle se présente sur la figure A de la planche 3, est en corrélation avec l'âge de ceux-ci. Le plus jeune (F) = vert, est encore légèrement encastré dans le bois secondaire (pl. 1, fig. A). Il est unique, de forme ovale (0,5 mm), possède deux plages parenchymateuses et est coiffé d'un arc, assez épais (0,4 mm) de bois secondaire.

Au-delà de (F), les faisceaux sont groupés par paires. (G) = jaune, pourrait résulter de la division de (F). Il se compose de deux faisceaux (G') et (G''), accolés, arrondis (0,4 mm), pourvus chacun d'une plage parenchymateuse et d'un peu de bois secondaire (0,1 mm).

En H, les deux faisceaux (H') et (H'') = rouge, s'écartent l'un de l'autre, ils s'allongent, leur

plage parenchymateuse se dédouble et toute trace de bois secondaire a disparu.

Le stade I est marqué, de nouveau, par la contiguïté de deux faisceaux (I') et (I'') = bleu. la naissance, sur leur bord inférieur, d'une concavité, et la présence de trois ou quatre plages parenchymateuses, par faisceau.

Les faisceaux (J) et (J') = grisé qui, normalement, se placeraient en J sur la figure A de la planche 3 sont partiellement endommagés. Dans un meilleur état de conservation, nous constaterions (par analogie avec la trace foliaire (+ 5) de la coupe 28 Lx II (pl. 62, fig. 1) que le stade J se particularise simplement par l'agrandissement du rayon de courbure de la concavité du bord inférieur de chaque faisceau.

c) Relations entre faisceaux corticaux et périmédullaires.

Le faisceau médullaire $(E^2) = (0)$ (pl. 1, fig. A) va certainement, après avoir traversé l'anneau ligneux, prendre successivement l'aspect des faisceaux (F) (G) (H) (I) (J). La transition de (E) à (F) se conçoit fort bien par l'accroissement de (E²) et le dédoublement de sa plage parenchymateuse (pl. 3, fig. A).

La désignation (+ 1) peut être impartie au faisceau (F) qui, par sa structure et sa position, vient immédiatement après (0). Les traces foliaires (G), (H), (I) et (J) seront respectivement dénotées par les chiffres: (+2), (+3), (+4) et (+5).

Sur la coupe transversale nº 283 (pl. 1, fig. A et pl. 53, fig. 1) les faisceaux ne se distribuent pas, à l'intérieur de la tige, dans l'ordre présenté sur la figure A de la planche 3.

Les faisceaux corticaux (+1) et (+2) ne sont pas immédiatement voisins, mais séparés par (+4). Pareillement, le faisceau médullaire (D) (pl. 1, fig. A), qui, par son stade évolutif, précède (E), n'est pas placé à proximité de ce dernier; (B) s'intercale entre eux.

Chaque faisceau périmédullaire a une position bien déterminée par rapport aux faisceaux corticaux.

Sur un morceau de tige suffisamment important, on verrait qu'à un niveau repère I s'insère un premier pétiole et que sur la verticale, passant par son point d'insertion, à une certaine distance « X », en un point II, s'en détache un second. La remarque est valable pour toutes les tiges dont la disposition des feuilles est hélicoïdale (cas de Sphenopteris hoeninghausi = feuillage de Lyginopteris oldhamia).

Lorsqu'un cordon ligneux quitte la tige, un autre parcourt, à un niveau supérieur, un chemin parallèle à celui du précédent pour le remplacer.

Le faisceau cortical (+ 5) de l'échantillon figuré planche 53, figure 1, n'appartient pour ainsi dire plus à la tige. Il est presque complètement isolé par deux bandes de dictyoxylon cortex, qui se rejoindront, afin de combler l'échancrure du cortex externe, localement interrompu par la sortie du pétiole innervé par (+ 5).

Le problème se pose maintenant d'identifier, parmi les faisceaux périmédullaires, celui qui, à

un niveau supérieur dans la tige, remplacera (+ 5).

Il est logique d'éliminer les faisceaux les plus éloignés. C'est donc, entre les faisceaux situés en alternance, à gauche et à droite de (+ 5) qu'il convient de choisir. Dans l'hypothèse où le faisceau médullaire de droite remplacerait (+ 5), celui de gauche (0), par contre-coup, succéderait au faisceau cortical qui lui est également voisin (+ 3). Ceci n'est pas concevable si l'on se rappelle que, justement (0) est le premier des faisceaux médullaires à entrer dans l'anneau ligneux secondaire. Pour se substituer à (+ 3), à un niveau supérieur, il devrait alors effectuer une torsion au-dessus de son caulinaire, intercalé entre (0) et (+ 3). Ne serait-ce que pour des raisons d'ordre mécanique, il est tout à fait naturel de penser que (0), prêt à pénétrer dans le bois secondaire, se rendra dans le pétiole, placé sur la même verticale que le faisceau sortant (+ 5), déjà hors de la tige. Le faisceau de gauche (E¹) (pl. 1, fig. A et pl. 53, fig. 1) séjournera dans la moelle, jusqu'au moment où il émettra, en se dédoublant, un nouveau cordon ligneux destiné à remplacer (0), lorsque celui-ci, à son tour, quittera la tige.

Tous les cordons ligneux qui vascularisent les rachis, jalonnant, sur la tige, la même verticale: (+5) et (0), par exemple, sont issus de la division périodique d'un faisceau médullaire caulinaire (E¹) qui demeure, en permanence, dans la moelle. Aux cordons ligneux et au faisceau caulinaire dont ils proviennent s'applique le terme défini précédemment de « groupe ligneux » (pl. 1, fig. C).

La tige figurée planche 53, figure 1, en présente cinq (pl. 1, fig. A).

Les faisceaux qui composent les cinq groupes ligneux sont tous à un stade différent. Afin de faire ressortir les relations étroites des faisceaux d'un même groupe ligneux, chaque caulinaire (Caul.) a reçu la référence du groupe auquel il appartient. Ainsi, le groupe ligneux I (G. L. I. = vert) a pour constituants les faisceaux médullaires et corticaux les plus jeunes: le faisceau cortical (+1), le faisceau caulinaire (Caul. 1). De même le groupe ligneux V: G. L. V. a pour constituants la trace foliaire corticale la plus âgée (+5), le faisceau médullaire sortant le plus âgé (0) et le faisceau médullaire (Caul. v). (Voir pl. 1, fig. A et C; pl. 3, fig. A).

Comment déterminer dans quel groupe ligneux s'incorpore chaque faisceau caulinaire? De la position respective de (E1) et (E2) c'est-à-dire de (0) et (Caul. v) se déduit que toute trace foliaire

est placée à droite de son propre caulinaire.

Le numéro d'ordre échu à chaque groupe ligneux est fonction de l'âge des faisceaux qui le constituent. Les faisceaux corticaux : (+ 2), (+ 3), (+ 4) et (+ 5), d'une part, et médullaires : (Caul. 11), (Caul. 111), (Caul. 111), (Caul. 111), (Caul. 112), (O) et (Caul. v) associés, d'autre part, sont inclus respectivement dans les groupes ligneux II (jaune), III (rouge), IV (bleu), V (grisé) (voir tableau récapitulatif ci-après, et pl. 1, fig. A et B).

		GRO	UPES LIGNE	U X		
Faisceaux	ligneux	Gr. I (vert)	Gr. II (jaune)	Gr. III (rouge)	Gr. IV (bleu)	Gr. V (grisé)
Faisceaux péri-	Caulinaires	(Caul. I) = (A)	(Caul. II) = (B)	(Caul. III) = (C)	(Caul. IV) = (D)	(Caul. V) = (E ¹)
médullaires	Sortants					(0) = (E ²)
Faisceaux cortica	aux	(+ 1) = (F)	(+ 2) = (G)	(+ 3) = (H)	(+ 4) = (I)	(+ 5) = (J)

3º Phyllotaxie.

L'organisation des faisceaux ligneux primaires ou traces foliaires sur la section horizontale (pl. 53, fig. 1) d'une tige de Lyginopteris oldhamia traduit la disposition des frondes, dans la partie de l'organe où se localise la coupe.

Contournons la section transversale no 283 (pl. 1, fig. A), en suivant les traces foliaires corticales, selon leur ordre de sortie, à partir de la plus jeune (0), dans le sens dextre (c'est en effet le plus court chemin pour aller de (0) à (+1) jusqu'à ce que nous rencontrions celle qui figurera, à un niveau inférieur dans le même plan vertical qu'elle : soit (+5). Nous effectuons alors deux tours de circonférence et constatons que, depuis le moment où (+5) a quitté la tige et durant le temps nécessaire à (0) pour faire de même, cinq traces foliaires (+5), (+4), (+3), (+2), (+1) se sont acheminées dans leur pétiole respectif.

D'après la théorie de la spirale génératrice unique, l'angle de divergence, formé par les plans de symétrie de deux frondes successives, s'exprime donc par la fraction 2/5 de circonférence = 144.

Si ce résultat corrobore l'opinion de D. H. Scott [83], il va à l'encontre de l'avis de M. Hirmer [51] qui écrit : « Les indications données par D. H. Scott, admettant une phyllotaxie de 2/5 ne sont en aucun cas à conserver. » La raison première invoquée par M. Hirmer est que, lorsque le nombre des groupes de faisceaux sympodiaux est égal à 5, 8, 13 ou 21, les organes sont disposés selon l'angle de divergence, très répandu chez les plantes fossiles et récentes de 137° 30′ 28′′ (Hirmer [51], p. 94). En se référant aux observations de Ph. Van Tieghem [90] sur des végétaux actuels, on peut dresser le tableau suivant, mettant en parallèle la disposition phyllotaxique correspondant à quelques valeurs d'angle de divergence :

Angle de divergence	1440	1350	138°27′
Disposition phyllotaxique	2/5	3/8	5/13

Il apparaît que l'angle de divergence de 137° 30′ 28′′, admis par M. Hirmer, s'approche plutôt de la disposition phyllotaxique du type 5/13, qui entraîne obligatoirement l'existence de 13 faisceaux sympodiaux. Ceci est absolument incompatible avec les deux exemples qu'il a choisis, où le nombre des faisceaux sympodiaux est sans ambiguïté de cinq, ce que l'auteur a d'ailleurs implicitement reconnu, à en juger par ses schémas théoriques, figures 5 et 6, page 95. L'angle de divergence adopté par M. Hirmer est à la fois hypothétique et peu conciliable avec les faits anatomiques réels. L'argument second qu'il met en relief est fondé sur le fait que, le trajet des faisceaux sympodiaux étant oblique, en conséquence la phyllotaxie n'est pas de 2/5, puisqu'alors elle engendrerait obligatoirement un trajet vertical. Cette affirmation semble purement gratuite et n'avoir aucun bien fondé.

4º Course longitudinale des faisceaux d'un groupe ligneux.

Il a été établi que les transformations anatomiques progressives des cinq groupes ligneux de la section horizontale figurée planche 53, figure 1, sont l'image même de celles que l'on observerait le long d'un seul groupe ligneux, dans le tronçon de tige où a été pratiquée la coupe. En outre, dans ce tronçon, les internœuds sont généralement égaux (les différences de grandeur des internœuds ne sont sensibles que sur une longueur d'axe importante). Au sortir de la tige, les cordons ligneux ont donc une conformation structurale semblable qui suppose que l'évolution de chacun s'est réalisée à un rythme identique. Au-dessus de la coupe nº 283 (pl. 53, fig. 1), à une distance «x» (pl. 3, fig. B), le faisceau cortical (+ 1) prendra l'allure de (+ 2), celui-ci prendra celle de (+ 3), (+ 3) celle de (+ 4), et ainsi de suite....

En reportant, à une échelle donnée, en direction verticale et dans l'ordre de leur évolution, les dimensions et la configuration des faisceaux, tout en tenant compte, chaque fois, de leur distance respective « x » (évaluable approximativement) et de leur localisation dans l'épaisseur des couches successives de la tige — figurées en direction horizontale — la reconstitution de la course longitudinale d'un cordon ligneux peut être tentée.

a) Course des faisceaux médullaires.

1. Caulinaires (Caul.)

Le problème qui se pose au sujet des faisceaux caulinaires qui demeurent dans la moelle consiste à savoir si leur course est oblique ou verticale.

M. Hirmer [51] prétend que, si l'on admet une phyllotaxie différente de 2/5, soit un angle de divergence de 137° 30′ 28′′, la direction suivie par les traces foliaires est oblique : « ce qui ne saurait avoir lieu dans le cas d'une phyllotaxie de 2/5 », écrit-il. Sur les diagrammes reconstituant le trajet du bois primaire de deux coupes transversales de Lyginopteris oldhamia, les faisceaux caulinaires sont obliques. On peut se demander quel lien existe entre la phyllotaxie et la direction des faisceaux à l'intérieur de la tige. A mon avis, il est impossible, à partir d'une coupe transversale unique, de savoir si les faisceaux caulinaires sont verticaux ou obliques. La seule solution valable, capable de donner un résultat approchant de la vérité, ne sera obtenue qu'à l'aide de sections sériées.

Dans ce but, des peels sections ont été pratiquées dans le coal ball nº 2501, qui insère plusieurs tiges de Lyginopteris oldhamia. Elles ne sont jamais parfaitement circulaires, mais souvent aplaties. Ceci importe peu pour la méthode que nous emploierons. L'essentiel est que les déformations, lorsqu'elles existent, restent inchangées dans la série de coupes. Les plus extrêmes Q¹ et Q² (pl. 2, fig. Q¹ et Q²) sont distantes de 21 mm. Sur chacune d'elles, déterminons les centres 0 et 0' (la superposition de leurs calques montre qu'ils coı̈ncident). La verticale passant par les points fixes 0 et 0' (ou la perpendiculaire au plus grand axe sur la tige) recoupe selon les angles, α et α ¹ l'axe de symétrie du faisceau caulinaire (qui passe par le pointement de protoxylème de ce dernier) du groupe V : (Caul. v). Si l'angle α ¹ est inférieur à α (pl. 2, fig. Q¹ et Q²), cela tendrait à prouver qu'il y a eu translation du faisceau caulinaire dans l'intervalle séparant les coupes Q¹ et Q², donc que le trajet du caulinaire serait oblique. Ce n'est pas le cas de la tige nº 2501 (pl. 2, fig. Q), puisque les angles α et α ¹ sont égaux = 60°. En bref, tout au moins sur une distance de 21 mm, les caulinaires se dirigeraient verticalement autour de la moelle. Des mesures effectuées sur d'autres spécimens confirment ce résultat.

Pour que cette opinion ne soit entachée d'aucun doute, il faudrait que les échantillons d'expérimentation soient intégralement conservés, ce qui n'a jamais lieu pour les tiges de Lyginopteris. Si l'échantillon étudié n'était pas suffisamment important pour percevoir l'obliquité des faisceaux caulinaires, c'est que de toute manière elle devait être très faible; nous admettrons donc la verticalité de ces faisceaux.

2. Sortants $(\pm x)$.

Le faisceau sortant périmédullaire s'individualise et se détache peu à peu de son faisceau caulinaire vertical ; il est donc forcément oblique par rapport à celui-ci.

Dans le groupe ligneux V de la tige no 283 (pl. 53, fig. 1), l'écartement du faisceau caulinaire (Caul. v) et de son faisceau médullaire sortant (0), sur le point d'entrer dans le bois secondaire, est très faible, 2 mm à peine, et laisse supposer que la pente du faisceau sortant sur son caulinaire est peu accusée.

Pour en connaître la valeur approchée, il suffit de mesurer, sur la planche 53, figure 1, et planche 2, figure R, l'angle α formé par les sections droites, menées par les pointements de protoxylème du faisceau caulinaire et du faisceau sortant. La plage parenchymateuse qui enserre le protoxylème est, bien qu'excentrique, un point de symétrie du faisceau, du fait qu'elle est équidistante des bords latéraux de celui-ci. Cet angle α (pl. 2, fig. M) est en effet égal à l'angle β que constitueraient les axes ou plans de symétrie longitudinaux passant par le pointement de protoxylème des faisceaux considérés (pl. 2, fig. R). L'égalité des deux angles a été vérifiée expérimentalement, sur une maquette en plastiline reproduisant, en volume, la figure M de la planche 2.

Sur la section no 283, l'angle α , formé par le faisceau caulinaire V et le faisceau sortant (0), est de 30° (pl. 2, schémas de gauche des fig. R¹ et R²). Ce premier résultat permet d'ébaucher, à l'échelle de la figure 1, planche 53, la reconstitution de la course longitudinale des faisceaux médullaires, caulinaires et sortants du groupe ligneux V, compte tenu de leurs dimensions et de leur position relative (pl. 3, fig. B). Du faisceau caulinaire vertical, dont le diamètre, dans le groupe V, est de 3 mm, on reporte horizontalement, à une distance de 2 mm, le diamètre du faisceau médullaire sortant (O), soit 4 mm. Le niveau A sur la figure B de la planche 3, se trouve ainsi défini. L'angle α des plans de symétrie (chacun passe par le milieu des deux diamètres) des deux faisceaux médullaires (Caul. v) et (0) étant de 30°, leur orientation et leur point de convergence s'obtiennent aisément à l'aide d'un rapporteur.

Il est à supposer que le faisceau médullaire sortant (0) ne va pas tarder à s'introduire dans le bois secondaire. En réalité, la coupe transversale nº 283 indique simplement qu'au moment où (+5) quitte la tige, (0) est toujours dans la moelle. C'est la comparaison avec la coupe M 50 q (pl. 4, fig. C), dont les dimensions et le stade évolutif des faisceaux se rapprochent étroitement, qui nous a conduits à penser que la course du bois primaire devait être très voisine. Or sur cette dernière, (0) vient justement d'entrer dans l'anneau ligneux secondaire et les traces de la sortie de (+5) sont encore visibles (le dictyoxylon cortex est à l'emplacement de (+5) incomplètement reformé). Vraisemblablement, dans la portion de tige où la section, planche 53, figure 1, a été pratiquée, dès que la trace foliaire d'un groupe ligneux abandonne le dictyoxylon cortex, sa remplaçante, à un niveau supérieur, s'avance dans le bois secondaire.

b) Course des faisceaux de l'anneau.

Dans un groupe ligneux quelconque, V par exemple, le faisceau médullaire sortant (0) est destiné à se placer, à un niveau supérieur, au-dessus du faisceau cortical (+ 5) avec lequel il n'est pas superposé, ce qui implique obligatoirement un parcours oblique pour le faisceau se rendant de la moelle vers l'épiderme.

L'orientation à donner au faisceau sortant, au cours de son cheminement dans le manchon de bois secondaire, est déduite (pl. 2, schémas centraux des fig. R¹ et R² et pl. 3, fig. B) de l'application de la méthode utilisée pour les faisceaux médullaires, présentée dans le premier paragraphe de cette page.

L'angle α^2 (pl. 2, fig. R¹) que composent les axes de symétrie du faisceau caulinaire (Caul. 1) (passant par le pointement de protoxylème) et du faisceau sortant (+ 1) (l'axe partage (+ 1) en deux, au milieu de la distance séparant les deux pointements de protoxylème) du groupe ligneux I, est de 45°, d'où la construction de la figure B de la planche 3 selon laquelle le faisceau sortant presque parvenu dans le cortex a un axe longitudinal qui recoupe le faisceau caulinaire sous un angle β^2 de 45° (pl. 2, fig. R²).

Sur la figure B de la planche 3, la limite de l'anneau ligneux et de la moelle n'est pas très éloignée du faisceau médullaire sortant, considéré au niveau A. Le niveau A correspond, en effet, au sectionnement de la tige n° 283, peu de temps avant que (0) ne pénètre dans la moelle.

La frontière moelle bois secondaire établie, il reste à porter horizontalement l'épaisseur de l'anneau, directement mesurable sur la planche 53, figure 1. Nous possédons ainsi toutes les données pour construire (pl. 3, fig. B) la portion de cordon ligneux incluse dans le bois secondaire.

Cette figure B, planche 3, représente la course d'un groupe ligneux quelconque; s'il s'agissait du groupe I, le niveau B indiquerait l'endroit où il a été sectionné sur la coupe n° 283.

La distance AB = x (voir page 25) donne une idée approximative de l'espace qui séparera le moment où les faisceaux d'un groupe vus sur la coupe transversale n° 283, pl. 53, fig. 1) prendront successivement la physionomie des faisceaux du groupe qui, par leur évolution structurale, le précède ou lui succède. D'ores et déjà nous pouvons marquer les niveaux c, d, e et f, équidistants de « x », qui figurent l'emplacement, sur la coupe longitudinale d'un groupe ligneux, où le faisceau cortical, par exemple, sectionné horizontalement, aurait la configuration des faisceaux corticaux (+2), (+3), (+4) et (+5) de la section horizontale présentée planche 53, figure 1.

c) Course des faisceaux corticaux.

Dans le groupe ligneux V de la coupe n° 283 (pl. 53, fig. 1), (+5) s'est déjà engagé dans la partie basilaire de son rachis. L'angle x³ (pl. 2, schéma de droite de la fig. R¹), que constituent les plans de symétrie du faisceau cortical (+5) (axe de symétrie situé dans ce cas à égale distance des deux éléments J et J') et du caulinaire (Caul. v) a une valeur de 70°. Cela signifie qu'en atteignant la zone corticale de la tige, le faisceau sortant se rapproche davantage de l'horizontale que dans le bois secondaire.

Il ne reste plus maintenant qu'à compléter la figure B de la planche 3 en ajoutant horizontalement, au-delà de la limite bois sedondaire écorce, l'épaisseur de cette dernière relevée sur la planche 53, figure 1, et à tracer les parties corticale et médullaire du groupe, en reliant les étapes configuratives connues des niveaux c, d, e, f, déterminés précédemment.

Les niveaux A et F sont identiques et, en F, le cycle évolutif se répète.

La distance « X » séparant la sortie de deux traces foliaires successives équivaut à cinq internœuds.

5° Course longitudinale des cinq groupes ligneux.

La direction suivie par les traces foliaires d'un groupe ligneux, lors de la traversée successive des différents tissus de la tige n° 283 (pl. 53, fig. 1), une fois retracée (pl. 3, fig. B), la reconstitution du trajet de tout l'ensemble du système ligneux primaire, c'est-à-dire des cinq groupes ligneux, est grandement facilitée, puisque le parcours présenté figure B, planche 3, se répète dans les cinq groupes.

C'est en considérant les stades auxquels sont parvenus les faisceaux de chaque groupe ligneux sur la coupe transversale, figurée planche 53, figure 1, par rapport à la course longitudinale d'un groupe ligneux, établie à partir de cette même coupe (pl. 3, fig. B), que le schéma général : figure C, planche 3, a pu être composé. La méthode de réalisation est simple et consiste à translater horizontalement et verticalement le calque obtenu, après réduction de la figure B de cette dernière planche.

Partons du calque de base et représentons, sur la figure C, le parcours des faisceaux de l'un des groupes quelconques : nous admettrons qu'il s'agit du groupe V, par exemple. La coupe n° 283 (en tirets sur la figure) sectionne les deux cordons ligneux (+ 5) et (0) du groupe, en f, au moment où le premier vient de pénétrer dans son pétiole et le second s'apprête à franchir l'anneau de bois secondaire.

Sur la figure C, planche 3, le groupe II se situe à droite du groupe V; nous placerons donc le calque de base à droite du groupe V, sur la figure C, de façon que le cordon ligneux (+ 2) soit recoupé par la section n° 283 (niveau ab, sur la figure C), au début de sa division, c'est-à-dire au niveau c du calque, en faisant coïncider celui-ci avec la ligne horizontale repère ab.

Le même procédé, appliqué à chacun des autres groupes : coïncidence des niveaux E, B, D du calque de base avec la ligne ab pour les groupes IV, I et III, permet d'achever la figure C, planche 3.

Il est à constater que, dans une portion de tige, incluant la coupe no 283 (pl. 1, fig. B), les internœuds sont faibles (pl. 3, fig. C), La distance qui sépare l'émission de deux frondes successives (+ 1) et (+ 2) n'est, en effet, pas très importante.

6º Conclusions.

De l'étude du système ligneux primaire de la tige de Lyqinopteris oldhamia il ressort :

a) Que les traces foliaires naissent à la périphérie de la moelle, à partir des faisceaux caulinaires, verticaux, sous un angle aigu. Dans l'anneau ligneux secondaire, elles prennent une plus grande obliquité qui s'accentue encore dans l'écorce.

La confrontation de la figure C, planche 3, avec celle donnée par M. Hirmer [51] (p. 95, fig. 5), construite d'après la coupe transversale présentée page 94, figure 3, montre des divergences d'interprétation. Pour M. Hirmer, le caulinaire est oblique et la course du faisceau sortant très redressée.

b) Malgré l'impossibilité de chiffrer la longueur des internœuds, les frondes, comme l'indique la figure C, planche 3, sont assez rapprochées les unes des autres : on sait qu'à mesure qu'on s'approche du sommet d'une tige, les entrenœuds deviennent de plus en plus courts.

Ce caractère, ajouté au fait que le diamètre de la section nº 283 (pl. 53, fig. 1) est peu élevé suggère qu'elle provient d'un niveau assez proche de la zone sommitale d'une tige principale.

V. — La moelle (M.)

La moelle est hétérogène; cellules sécrétrices (C. s.) et nids scléreux (N. s.) se dispersent dans un parenchyme banal.

RÉSUMÉ:

Les figures B et C, planche 1, reconstituent les coupes transversale et longitudinale idéales de la région moyenne d'une tige principale de *Lyginopteris oldhamia* et donnent une idée de son organisation structurale.

De l'intérieur vers l'extérieur se rencontrent successivement : une moelle centrale parenchymateuse, pourvue de cellules sécrétrices et de nids scléreux ; un anneau de bois secondaire dont la structure est proche du type araucarien primitif ; un cambium, un liber secondaire et une écorce bien développée. L'écorce se décompose en trois parties, une zone interne parenchymateuse parsemée de nids scléreux et de cellules sécrétrices, une zone moyenne lacuneuse séparée de la précédente par un périderme (d'origine secondaire), une zone externe typiquement dictyoxylée, entourée d'un épiderme glanduleux.

Tous ces tissus sont recoupés par des faisceaux de bois primaire qui se distribuent selon une phyllotaxie de 2/5.

B. — MODIFICATIONS ANATOMIQUES EN RAPPORT AVEC LES DIFFÉRENTS NIVEAUX DE LA TIGE

Le schéma donné planche 1, figure A, comme type de l'anatomie d'une tige de L. oldhamia n'est pas immuable. Des modifications, notamment du système ligneux, interviennent, sans pour autant que l'organisation générale soit changée.

I. — Variations anatomiques, relevées sur des coupes transversales effectuées sur la tige, à peu de distance les unes des autres

1º Variations anatomiques.

Les changements les plus tangibles affectent le bois primaire. La position et la morphologie des faisceaux, telles qu'elles se présentent sur la coupe n° 283 (pl. 53, fig. 1) sont appelées à se modifier, puisque, nous l'avons vu, la trace foliaire ne reste pas à l'état de simple faisceau caulinaire, mais se divise, transforme ses contours, en traversant l'épaisseur de la tige. La photographie : planche 53, figure 1, ne saisit qu'un stade, dans l'évolution du système ligneux primaire.

SÉRIE A

FA ISSE AVEC A VOLUME	,	GROUPES LIGNEUX				
FAISCEAUX LIGNEUX	v	IV	111	II	I	
		N° M 50 x (pl. 5, fig. A)				
F. méd.	(Caul. v)	(Caul. iv) 1 p.	(Caul. 111) 1 p.	(Caul. 11)	(Caul. 1) 1 p.	
sort.	1	(— 1) 1 p.				
F. sort. b II	(0) 2 p.					
F. cort. sort.		$ \begin{array}{c c} (+4) \\ A + B \\ 2 \text{ p. } 2 \text{ p.} \end{array} $	$ \begin{array}{c c} (+3) \\ A + B \\ 2 \text{ p. } 2 \text{ p.} \end{array} $	(+ 2) A + B 1 p. 1 p.	(+ 1) A + B 1 p. 1 p.	
		N	° K¹ (pl. 5, fig.	D)	•	
F. méd.	(Caul. v) 1 p.	(Caul. rv) 1 p.	(Caul. 111) 2 p.	(Caul. 11) 2 p.	(Caul. 1) 1 p.	
sort. F. sort. b II	(0) 1 p.	(— 1) 1 p.				
F. cort. sort.	trace (+ 5)	(+ 4) A + B	(+ 3) A + B	(+ 2) A + B	(+ 1) A B	
		2 p. 2 p.	2 p. 2 p.	2 p. 2 p.	1 p. 1 p.	
			283 (pl. 5, fig.	E)		
Caul. F. méd.	(Caul. v) 1 p.	(Caul. 1v) 2 p.	(Caul. 111) 1 p.	(Caul. 11) 1 p.	(Caul. 1) 1 p.	
sort. F. b II sort.	(0) 2 p.					
F. cort. sort.	trace (+ 5)	(+ 4) A + B	(+ 3) A + B	(+ 2) A + B	(+ 1) A	
		2 p. 2 p.	2 p. 2 p.	1 p. 1 p.	2 p.	
		Nº	M 40 (pl. 5, fig.	. G)		
F. méd.	(Caul. v) 1 p.	(Caul. IV) 2 p.	(Caul. 111) 1 p.	(Caul. 11)	(Caul. 1) 1 p.	
sort.	(0) 1 p.					
F. b II sort.					(+ 1) 1 p.	
F. cort. sort.	(+ 5) A + B 2 p. 2 p.	(+ 4) A + B 2 p. 2 p.	(+ 3) A + B 2 p. 2 p.	(+ 2) A + B 1 p. 1 p.		

L'aspect qu'offriraient des sections transversales, pratiquées au-dessus et au-dessous de la coupe type n° 283, est fourni grâce à l'existence de cinq coupes sériées n° M 50 effectuées par dépelliculations successives (pl. 4, fig. A à E), dont les faisceaux primaires de l'une (M 50 q) (pl. 4, fig. C) sont au même stade que sur le n° 283 (pl. 1, fig., A).

Lorsque plus aucun indice de la sortie de (+ 5) n'est visible (pl. 4, fig. C), c'est-à-dire au-dessus de M 50 q, quand le dictyoxylon cortex s'est complètement reconstitué, on assiste alors au dédoublement de (+ 1) et de (Caul. IV). Par contre, au-dessous (pl. 4, fig. E), à la base du rachis où s'est

introduit (+ 5), (0) n'a encore pas quitté la moelle.

Depuis sa naissance sur le faisceau caulinaire, une trace foliaire évolue de la même manière, dans tous les groupes ligneux. Ce qui diffère, c'est le moment où elle se dissocie de son caulinaire, cela entraı̂ne forcément un décalage de leur évolution dans chaque groupe ligneux.

2º Formation de la Série A.

Les coupes de cette série, pourvues de quatre à cinq faisceaux corticaux, trouvent leur place dans le diagramme (pl 3, fig. C) de la course longitudinale du bois primaire, reconstituée à partir du n° 283. Il en va de même pour des échantillons isolés: M. 40; 28 Lx1 (pl. 62, fig. 1); 19 B (pl. 62, fig. 3); Pb 488 (pl. 62, fig. 4); M 78 B; 1 K; 404 (pl. 62, fig. 5); 2000 (pl. 62, fig. 2)..., qui, en fonction du stade auquel sont parvenus les faisceaux dans chacun des groupes ligneux, composent la première série, partiellement artificielle ou Série A. L'organisation du bois primaire des sections horizontales des principales tiges de la Série est traduite par les figures A à G de la planche 5 et par le tableau de la page précédente où sont mentionnés, pour chaque faisceau, sa localisation dans l'épaisseur de la tige (moelle, bois secondaire ou cortex), sa composition unique (la lettre A désigne cet état), double (désignation A + B), ou intermédiaire avec coalescence de deux éléments (AB), le nombre de plages parenchymateuses qu'il renferme (1 p. ou 2 p.).

II. — Variations anatomiques sur des coupes transversales pratiquées à des distances éloignées sur la tige

Tous les spécimens qui se rapportent sans ambiguïté à l'espèce L. Oldhamia ne se rangent pas systématiquement dans la Série A. Parmi ceux-ci (pl. 64, fig. 1 et pl. 69, fig. 1), deux ont été sélectionnés (pl. 6, fig. A et C) à titre comparatif avec la coupe type n° 283 (pl. 53, fig. 1; pl. 6, fig. B).

1º Variations anatomiques.

Les différences touchent non seulement le système ligneux primaire, mais également la sclérification du parenchyme médullaire et la grandeur des diverses régions de la tige.

a) Dimensions.

Nº des coupes :	(Pl. 6, fig. A)	(Pl. 6, fig. B)	(Pl. 6, fig. C)
Dimensions of Diamètre	7 1,06 1	11 2,4 2,1	20 5,8 3,6
Rapport Moelle	1	1,1	1,6

2. Interprétation.

L'étude comparée du bois primaire de ces trois coupes transversales amène à constater que l'évolution structurale des faisceaux est très lente sur le n° Pb 506 (pl. 64, fig. 1; pl. 6, fig. A); au contraire, accélérée sur le n° 5 (pl. 69, fig. 1; pl. 6, fig. C). La transition ou la situation intermédiaire est assurée par la coupe n° 283 (pl. 53, fig. 1; pl. 6, fig. B).

L'évolution plus ou moins rapide de la morphologie et de l'anatomie des faisceaux se traduit par un allongement plus ou moins grand des internœuds. Le phénomène a pu être mis en évidence, en traçant la course longitudinale des faisceaux primaires des coupes Pb 506 et 5, de la manière préco-

nisée au chapitre précédent (p. 28), pour la section transversale nº 283 (pl. 3, fig. B).

Il s'avère que la direction empruntée par les traces foliaires de chaque groupe ligneux des tiges n° Pb 506 (pl. 6, fig. E) et n° 5 (pl. 6, fig. D) est similaire à celle du n° 283 (pl. 3, fig. B et C). Ce qui diffère, c'est la distance approximative «X» correspondant à cinq internœuds, qui sépare, dans le groupe ligneux, les sorties de deux traces foliaires successives: (0) et (+5), par exemple. Si les faisceaux sont à un stade différent sur les trois coupes considérées, cela est en liaison avec le fait que la grandeur d'un internœud s'accroît de Pb 506 à 5. A un même grossissement, l'espace compris entre (0) et (+1) est très faible sur Pb 506 (pl. 7, fig. A), augmente sur 283 (pl. 3, fig. C) et devient très important sur 5 (pl. 7, fig. B).

Le tableau suivant condense les caractéristiques distinctives des trois coupes transversales.

Nº des coupes	Pb 506 (Pl. 6, fig. A)	283 (Pl. 6, fig. B)	(Pl. 6, fig. C)
Diamètre	7 mm	11 mm	24 mm
Nids scléreux	Absents	Peu nombreux (2 ou 3)	Nombreux (10)
Nombre total de faisceaux I individualisés (trace de (+ 5) incluse)	13	15	20
Longueur d'un internœud.	5 mm	11,6 mm	20 mm
Diamètre moelle	1,06 mm	2,4 mm	6,3 mm
Épaisseur B II	1 mm	2,1 mm	3,3 mm

Il est clair qu'en même temps que le diamètre d'une coupe transversale décroît, les nids scléreux médullaires disparaissent, le nombre des faisceaux, la longueur des internœuds et l'épaisseur du manchon de bois secondaire diminuent.

La comparaison avec les phénomènes connus chez les plantes actuelles invite à penser que les trois schémas A, B et C planche 6, sont l'image de sections pratiquées successivement à des niveaux différents, le long d'une seule tige. Les réflexions, extraites du traité de Ph. Van Tieghem [90], étayent cette opinion. En parlant du système libéro-ligneux d'une tige, il écrit (p. 746):

«Le nombre des faisceaux libéro-ligneux de la tige varie beaucoup, non seulement d'une plante à l'autre, mais dans une même plante, suivant la région de la tige que l'on considère.... Si l'on considère la tige dans sa totalité, on la trouve fusiforme, renflée au milieu, amincie aux extrémités. »

Selon l'auteur, le nombre maximum de faisceaux libéro-ligneux se situe dans la région moyenne de la tige. Des mesures, relevées de la base au sommet de l'organe, il constate encore (p. 262) que :

« Généralement, les premiers entrenœuds restent courts, les suivants s'allongent beaucoup, les derniers demeurent courts de nouveau. »

En définitive, les structures différentes des coupes Pb 506, 283 et 5 (pl. 6, fig. A à C) résulteraient du sectionnement horizontal de trois tiges, à des niveaux distincts pour chacune d'elles. Le nº 5 se situerait dans la région moyenne ou sub-basale,* là où les internœuds sont les plus longs, 283 s'insérerait dans cette même région mais au dessus de 5 (les internœuds sont plus courts et le nombre des faisceaux corticaux moins grand). Quant à Pb 506 (où les internœuds sont courts et le nombre des faisceaux corticaux faible) il avoisinerait le sommet.

2º Formation de la Série B.

Dans le schéma (pl. 7, fig. A) de la course longitudinale du bois primaire établi d'après la coupe transversale nº Pb 506 (pl. 64, fig. 1), s'incorporent des échantillons isolés possédant trois ou quatre faisceaux corticaux. Leur succession, dans un ordre précis, compose une seconde série artificielle B. Les caractéristiques de ces tiges, aux dimensions près (voir p. 43), sont celles de Pb 506, résumées dans le tableau p. 34. D. H. Scott [83](p. 36) évoque l'existence de sections ne comprenant que trois faisceaux corticaux ou un nombre inférieur à cinq, à propos desquelles il envisage la possibilité de créer une espèce nouvelle.

La Peel section PG¹, contenant la section figurée planche 63, figure 4 et planche 8, figure G, se signale justement par un cortex externe où toute trace de sortie de faisceau est absente et dont l'évolution du bois primaire de chaque groupe n'est pas très avancée. Le faisceau cortical (+ 5), seul, est dédoublé ; (+ 4) et (+ 3) sont impairs. Quant aux groupes ligneux II et I, aucun des faisceaux qui les constituent n'a quitté la moelle : (+ 2) est détaché de son caulinaire et (+ 1) se confond encore avec lui.

Par rapport à la Peel section PG¹, Pb 506 (pl. 8, fig. C) représenterait l'aspect que prendra le bois primaire de la coupe figurée en G planche 8, à un niveau supérieur. La trace foliaire (+ 5) se serait introduite dans la portion basilaire de son rachis, (+ 4) et (+ 3) auraient abandonné leur forme indivise; (+ 2) atteindrait le cortex, tandis que (+ 1) se séparerait de son caulinaire.

La coupe N. L. 16 (pl. 63, fig. 2; pl. 8, fig. F) figurerait une position intermédiaire entre PG¹ (pl. 8, fig. G) et Pb 506, (pl. 8, fig. C) car (+ 2) n'est ni dans la moelle (pl. 8, fig. G), ni dans le cortex (pl. 8, fig. C), mais se trouve au milieu de l'anneau ligneux secondaire.

D'après l'état des faisceaux du système ligneux primaire de Pb 506 (pl. 8, fig. 12 C), il est logique de supposer que (+ 1) va ensuite s'avancer dans l'épaisseur du bois secondaire. Cette hypothèse devient une certitude, si l'on prête attention à l'évolution du bois primaire des quatre coupes sériées 1730, 1731, 1732, 1728 (pl. 8, fig. B, D, E). L'une d'elles, 1732, non figurée, a une disposition de ses faisceaux primaires absolument identique à celle de Pb 506; or, en B, c'est-à-dire au-dessus de 1732 et Pb 506, se produit effectivement le départ de (+ 1) de la périphérie de la moelle.

Notons que les sections 1730 et 1731 (pl. 8, fig. D et È), inférieures à Pb 506, sont semblables à cette dernière, mis à part que (+1) est encore accolé à son caulinaire.

Sans nul doute, (+1) poursuivra sa course au-delà du bois secondaire et du dityoxylon cortex, et à l'emplacement de la sortie de (+5), le cortex externe sera complètement refermé avant que (+4) n'ait abordé son pétiole. Ce stade est illustré par les coupes 186 A (pl. 63, fig. 3) et 71 (pl. 63, fig. 1; pl. 8, fig. A) où (+1) a atteint le cortex, (+2) s'est partagé en deux et (0) s'apprête à entrer dans le bois secondaire.

Toutes les sections de la planche 8 constituent ainsi une seconde série B, partiellement artificielle, où chacune d'elles trouve sa place dans le schéma de la course longitudinale (pl. 7, fig. A) du bois primaire, effectué à partir de Pb 506. Elles ont en commun leur taille relativement faible (voir tableaux p. 55) (la plus grande (nº 1730) n'excède pas 17 mm), leur nombre peu élevé de faisceaux corticaux : trois et au maximum quatre, et l'absence de nids scléreux dans la région médullaire.

^(*) L'anatomie de l'extrême base de la tige sera envisagée ultérieurement, au cours de l'étude des modes de ramifications d'une tige principale (p. 58).

SÉRIE B

PAICCEARY TANKET		GR	OUPES LIGNE	EUX	
FAISCEAUX LIGNEUX	v	IV	III	II	I
	,	N° 186 A (pl. 8	 , fig. A) et nº 7	l (pl. 63, flg. 1).
Caul.	(Caul. v) 1 p.	(Caul. rv) 1 p.	(Caul. 111) 1 p.	(Caul. 11) 1 p.	(Caul. 1) 1 p.
sort.	(0) 1 p.				
F. b II sort.					
F. cort. sort.		(+ 4) A + B 2 p. 2 p.	(+ 3) A + B 2 p. 2 p.	(+ 2) A + B 1 p. 1 p.	(+ 1) A 2 p.
		N°	1728 (pl. 8, fig.	В).	
Caul.	(Caul. v) 2 p.	(Caul. rv) 1 p.	(Caul. 111) 1 p.	(Caul. 11) 1 p.	(Caul. 1) 1 p.
sort.					
F. b II sort.					(+ 1) 1 p.
	trace (+ 5)	(+ 5)	(+ 3)	(+ 2)	
F. cort. sort.		A + B 2 p. 2 p.	A + B 1 p. 1 p.	A 2 p.	
		Nº Pb 506 (p	ol. 8, fig. C et p	ol. 64, fig. 1).	
Caul.	(Caul. v) 2 p.	(Caul. 1v) 1 p.	(Caul, пт) 1 р.	(Caul. 11) 1 p.	(Caul. 1) 1 p.
F. méd.					(+ 1) 1 p.
F. b II sort.					
F. cort. sort.	trace (+ 5)	(+4)	(+3)	(+ 2)	
r. cort. sort.		A + B 2 p. 2 p.	A + B 1 p. 1 p.	A 2 p.	
		Nº	1731 (pl. 8, fig.	D).	
Caul.	(Caul. v) 2 p.	(Caul. rv) 1 p.	(Caul, 111)	(Caul. 11) 1 p.	(Caul. 1) 2 p.
F. méd.				-	
F. b II sort.			;		
om decision	(+ 5)	(+4)	(+3)	(+ 2)	
F. cor. sort.	A + B 2 p. 2 p.	A + B	A + B	A 2 p.	

SÉRIE B (suite)

TARGETANN TAGNESIN		GROUPES LIGNEUX					
FAISCEAUX LIGNEUX	v	IV	III	11	I		
		N° 1730 (pl. 8, fig. E).					
F. méd.	(Caul. v) 2 p.	(Caul. rv) 1 p.	(Caul. 111) 1 p.	(Caul. 11) 1 p.	(Caul. 1) 2 p.		
F. b II sort.							
F. cort. sort.	?	(+ 4) A + B 2 p. 2 p.	(+ 3) A 2 p.	(+ 2) A 2 p.			
		Nº M	I 78 h (pl. 8, fig	g. F).			
F. méd.	(Caul. v) 2 p.	(Caul. IV) 1 p.	(Caul. 111) 1 p.	(Caul. 11) 1 p.	(Caul. 1) 2 p.		
F. b II sort.				(+ 2) 1 p.			
F. cort. sort.	(+ 5) A + B 2 p. 2 p.	(+ 4) A + B 2 p. 2 p.	(+3)				
		Nº PG¹ (pl.	8, fig. G et pl	. 63, fig. 4).			
F. méd. sort.	(Caul. v) 1 p.	(Caul. IV) 1 p.	(Caul. III) 1 p.	(Caul. 11) 1 p. (+ 2) 1 p.	(Caul. 1) 1 p.		
F. b II sort.							
F. cort. sort.	(+ 5) A + B 2 p. 2 p.	(+ 4) A 2 p.	(+ 3) A 1 p.				

3º Formation de la Série C.

Cette série, également en partie artificielle, se distingue de la précédente B par des coupes dont les dimensions, lorsqu'il s'agit de tiges adultes, sont généralement importantes (voir p. 43) (la plus petite : XLV (pl. 64, fig. 2) a 16 mm); le cortex comporte cinq à six faisceaux ; la moelle est toujours sclérifiée. En outre, et là elle s'éloigne aussi de la série A, se discerne, sur tous les échantillons, un petit faisceau supplémentaire «F.a.», sur la signification duquel nous reviendrons en détail dans le prochain chapitre.

La coupe n° 25 (pl. 69, fig. 4 et pl. 10, fig. D) est l'élément inférieur d'une série de quatre plans transversaux pratiqués sur une même tige. (La sériation est mise en évidence page 45.)

SÉRIE D

		GF	ROUPES LIGNE	EUX	
FAISCEAUX LIGNEUX	V	IV	III	II	I
		l Nº 7	 732 D (pl. 11, fi	g. A)	
Caul.	(Caul. v) 1 p.	(Caul. 1v) 1 p.	(Caul. 111) 1 p.	(aV°) (Caul. 11) 1 p. 2 p.	(Caul. 1) 2 p.
+ F. a sort.		(← 1) 1 p.	(— 2) (a III ⁻²) 1 p.		
F. b II sort.		(a IV ⁻¹) ?			
		(+4)	(+ 3)	(+ 2)	(+ 1)
F. cort. sort.	(0) 2 p.	A + B 2 p. 2 p.	A + B 2 p. 2 p.	A + B 2 p. 2 p.	A + B 2 p. 2 p.
	İ	Nº 732 C (pl. 1	1, fig. B). No 28	8 (pl. 11, fig. C)	
Caul.	(Caul. v) 1 p.	(Caul. 1v) 1 p.	(Caul. 111) (a III-2) 2 p.	(a V°) (Caul. 11) 1 p. 2 p.	(Caul. 1) 2 p.
+ F. a sort.		(— 1) 1 p.	_		
		(a IV-1)	,		
F. b II sort.	(0) 2 p.				
	trace (+ 5)	(+4)	(+ 3)	(+ 2)	(+ 1)
F. cort. sort.		$\begin{array}{c c} A+B \\ 2 \text{ p. } 2 \text{ p.} \end{array}$	$\begin{array}{c c} A+B \\ 2 p. 2 p. \end{array}$	A + B 1 p. 1 p.	A B 1 p. 1 p.
		Nº 49 (pl.	12, fig. B et pl	. 70, fig. 1)	
F. méd. Caul.	(Caul. v) 1 p.	1 p.	(a I+1) (Caul.III) 1 p. 2 p.	(Caul. 111) 2 p.	(Caul. 1) 1 p.
F. a sort.	(0)	(1) (a IV ⁻¹)			
F. b II sort.	(0) 2 p.				
	trace (+ 5)	(+4)	(+ 3)	(+ 2)	(+ 1)
F. cort. sort.		A + B 2 p. 2 p.	$\begin{array}{c c} A + B \\ ? & 2 p. \end{array}$	A + B 1 p. 1 p.	AB 1 p. 1 p.
			1462 (pl. 12, fig		
F. méd. Caul.	(Caul. v)		(Caul. 111) 2 p.	(Caul. 11) 2 p.	(Caul. 1) 1 p.
F. a sort.	(0) 1 p.	(1) (a IV ⁻¹) 1 p.			
F. b II sort.					
F. cort. sort.	(+ 5) A + B 2 p. 2 p.	(+ 4) A + B 2 p. 2 p.	(+ 3) A + B 2 p. 2 p.	(+ 2) A 2 p.	(+ 1) A 2 p.

Numéros des coupes et diamètre moyen des tiges en mm

Série A.

No 283: 10 mm. No 28 Lx I: 12,5 mm. No K1: 15 mm. No M 50: 15 mm. No M 40: 16 mm. No 19 B: 17.5 mm. No 404: 18 mm.

Série B.

No Pb 506: 8 mm. No 71: 8,5 mm. No 186 A: 8,5 mm. No 411: 8,5 mm. No PG¹: 9,5 mm. No NL¹⁶: 10 mm. No 1730: 17 mm.

Série C.

No XLV : 16 mm. No 1 : 20 mm. No 3 : 20 mm. No 5 : 20 mm. No 19 A : 20 mm. No 25 : 20 mm. No 19 B : 24 mm. No 27 Lx I : 25 mm. No 17 : 26 mm. No XT : 31 mm. No 4641 : 33 mm. No 1 : 34 mm. No 3 : 34 mm. No 4 : 34 mm. No 4 Lx III : 34 mm. No 123 : 34 mm. No 341 : 34 mm. No 464 B : 34 mm. No M^1 : 34 mm.

Série D.

No M 40: 18 mm. No 28: 18 mm. No 732: 20 mm. No 1462: 23 mm. No 49: 30 mm.

Il est à supposer que les Séries se disposent comme suit, en partant de la zone sub-basale de la tige jusqu'au sommet :

Différentes régions de la tige	Appellation des séries et coupes types
Région sommitale	Série B Nº Pb 506 (pl. 8, fig. C)
Région moyenne	Série A N° 283 (pl. 5, fig. E) Série D N° 28 (pl. 11, fig. C)
Région sub-basale	Série C Nº 5 (pl. 9, fig. E)
Région basale ou extrême base	Voir page 58

En comparant avec les phénomènes observés chez les plantes actuelles, il reste à penser qu'avant de passer d'une Série à la suivante, la même série se répète plusieurs fois. Il y a une succession de Séries C, puis, à un certain moment, correspondant à un niveau supérieur sur la tige, s'effectue la transition entre la Série C et D de la manière schématisée sur la planche 13, figure A. Rien n'interdit d'admettre l'existence de plusieurs Séries A précédant la Série la plus sommitale, B.

C. - ANASTOMOSES DES FAISCEAUX PÉRIMÉDULLAIRES

Jusqu'alors, pour ne pas compliquer l'exposé, nous avons considéré que le bois primaire périmédullaire se composait uniquement des faisceaux caulinaires et sortants. Il faut maintenant attirer l'attention sur l'existence d'un faisceau supplémentaire «F. a.», déjà signalé au chapitre précédent.

Dans la littérature, le plus souvent, ce faisceau est passé inaperçu. A. C. Seward [85] ne fait aucune allusion à son sujet, bien que la coupe transversale qu'il figure page 41 en soit pourvue. Cependant M. Hirmer [51] n'a pas omis de le représenter dans l'interprétation schématique (fig. 4 b) de la section planche 95, figure 4 a. Il le confond avec un simple faisceau sortant (faisceau n° 6).

I. — Caractères de reconnaissance du faisceau supplémentaire

Une des raisons pour lesquelles il a été négligé tient à ce qu'il ne se rencontre pas sur toutes les coupes transversales des tiges de Lyginopteris oldhamia. Il affecte plus particulièrement les spécimens de grande taille des organes adultes et moins fréquemment les organes jeunes. En tout cas, il est absent des tiges extrêmement jeunes et totalement dépourvues de bois secondaire, ou des sections dont le nombre des faisceaux corticaux est inférieur à cinq.

Il se distingue immédiatement des faisceaux caulinaires (600 $\mu \times 340 \mu$) et des faisceaux sortants (1 200 $\mu \times 800 \mu$) par ses faibles dimensions (380 $\mu \times 320 \mu$). Les quelques trachéides qui le constituent se groupent selon le type mésarche (pl. 69, fig. 3 et 70, fig. 3), dans lequel la plage parenchymateuse se délimite assez mal.

C'est dans la zone comprise entre le faisceau sortant et le faisceau caulinaire de deux groupes ligneux voisins qu'il se localise (pl. 69, fig. 1 et pl. 13, fig. B).

II. — Signification du faisceau supplémentaire

1º Interprétation de M. Hirmer [51].

En réobservant la coupe d'où est extraite la photographie présentée dans le mémoire de M. Hirmer [51], page 95, figure 4 a et schématisée par lui page 95, figure 4 b, l'existence d'un faisceau dit supplémentaire a été découverte.

La figure D, planche 13, reproduit le dessin donné par M. Hirmer [51], page 95, figure 4 b, où les faisceaux considérés par lui, du plus âgé au plus jeune, sont numérotés de 1 à 16. Parallèlement, en C, figure la section, telle que nous l'interprétons avec notre mode de numérotation propre, appliqué ici par analogie avec la section n° 25 (pl. 69, fig. 4; pl. 10, fig. D).

Le faisceau supplémentaire «F. a.» (pl. 13, fig. C) correspond au faisceau nº 6, dans la numérotation de M. Hirmer (pl. 13, fig. D). Remarquons que ce dernier a accordé plus d'ampleur au faisceau qu'il n'en a en réalité et l'a juxtaposé au faisceau nº 11, alors qu'il en est nettement séparé. Le même phénomène est à signaler pour les faisceaux 8 et 13, d'une part, et 12 et 7, d'autre part. La divergence de vue la plus grave concerne l'attribution, par M. Hirmer, du nº 6 à ce faisceau. Cela suppose, en effet, d'après sa méthode de numérotation, que lorsque 5 aura atteint le cortex, 6 s'avancera alors dans le bois secondaire, de façon à remplacer le faisceau sortant 1. Pour M. Hirmer «F. a. » est une trace foliaire.

Nous allons voir que nous lui accordons une signification tout autre.

2º Interprétation personnelle.

En confrontant la position qu'occupe le faisceau supplémentaire, dans plusieurs séries interrompues distinctes de coupes transversales, son origine et sa destination ne demeurent plus obscures.

a) ORIGINE.

C'est à mi-chemin entre le faisceau sortant (0) du groupe V et le caulinaire du groupe II, qu'à priori s'identifie généralement comme sur la section no 1992 (pl. 64, fig. 3; pl. 71, fig. 3; pl. 13, fig. B; pl. 14, fig. D) le faisceau supplémentaire.

Une observation plus précise des faisceaux médullaires des autres groupes le décèle également entre les groupes IV et I, mais cette fois-ci il est presque contigu au faisceau sortant (— 1) (pl. 70, fig. 3 et pl. 14, fig. E).

Contournons la tige figurée en B sur la planche 13, du groupe I, vers le groupe III. Nous remarquons que le faisceau sortant (— 2) (pl. 70, fig. 4 et pl. 14, fig. F) offre, du côté du faisceau caulinaire du groupe V une protubérance dont l'allure et les dimensions rappellent tout à fait les faisceaux supplémentaires rencontrés antérieurement (pl. 14, fig. D et E).

Les trois schémas D, E et F, planche 14, montrent très bien que le faisceau supplémentaire est d'abord inclus dans le faisceau sortant (—2), puis séparé par un mince filet parenchymateux du faisceau sortant (—1) et enfin, très écarté du faisceau sortant (0). Or, (—2), (—1), (0) appartiennent respectivement aux groupes ligneux III, IV et V, et représentent les phases successives par lesquelles passe un faisceau sortant. En l'occurrence, le faisceau sortant isole quelques trachéides qui constituent un petit faisceau mésarche (pl. 14, fig. F), lequel se dissocie bientôt de son faisceau d'origine (pl. 14, fig. E), puis s'en éloigne lorsque ce dernier entre dans l'anneau de bois secondaire (pl. 14, fig. D).

Les coupes sériées 3 et 4 Lx III (pl. 66, fig. 3 et 2; pl. 71, 72, 73 et pl. 15, fig. B à K) confirment la naissance du faisceau supplémentaire, à partir d'un faisceau médullaire sortant, et son acheminement vers le faisceau caulinaire voisin, jusqu'à environ la moitié de la distance comprise entre le faisceau du groupe où il est né et le faisceau caulinaire du groupe qui lui est le plus proche.

b) Destinée.

Les sections transversales de tiges de Lyginopteris oldhamia, nos 25 (pl. 69, fig. 2 et pl. 10, fig. D), 1, 2, 3 (pl. 10, fig. B) 4 et 5 (pl. 69, fig. 1 et pl. 9, fig. E) sont sériées, comme suffit à le démontrer l'identité de leur diamètre et des végétaux qui l'accompagnent (Lepidostrobus, Kaloxylon, Stigmaria...) fossilisés dans une position semblable, sur les six lames minces. La superposition des calques des six sections de la tige en question dénote, en même temps qu'une coïncidence de tous les tissus, une évolution progressive très nette de la coupe inférieure 25, (où (— 1) n'a pas encore franchi le manchon de bois secondaire) jusqu'à la coupe supérieure 5 (où (— 1) et (+ 5) ont respectivement quitté la moelle et le cortex), en passant par les coupes moyenne 1, 2, 3, 4.

Les six sections transversales sériées renferment deux faisceaux supplémentaires, particulièrement bien nets, originaires des faisceaux sortants de deux groupes ligneux différents V et I. Nous conviendrons, pour les distinguer, de leur attribuer la couleur et le numéro d'ordre du groupe auquel appartient le faisceau sortant qui leur a donné naissance, dans la moelle. L'abréviation « a. », suivie du numéro du groupe ligneux, et en exposant le nº du faisceau sortant dont ils sont originaires, désigne ces faisceaux supplémentaires ou mieux, anastomosiques. Par exemple, les faisceaux supplémentaires (a Vº) (a IV-¹) sont issus des faisceaux sortants (0) et (— 1) des groupes ligneux V et IV, dans la série des coupes 25 à 5.

Sur la coupe inférieure n° 25 (pl. 69, fig. 2; pl. 10, fig. D et pl. 14, fig. C), le faisceau supplémentaire (a V°) a dépassé la moitié de la distance séparant le faisceau médullaire (Caul. v) du groupe V, possesseur du faisceau sortant du bois secondaire (0) qui l'a émis, du caulinaire (Caul. 11) du groupe II. C'est parce que le faisceau sortant (0) est déjà dans le cortex, que (a V°) s'est rapproché du caulinaire du groupe voisin. Le faisceau supplémentaire (a IV-1) est, lui, beaucoup plus proche de son faisceau sortant d'origine (— 1), car celui-ci est à peine encastré dans le bois secondaire.

Il semble que, depuis son origine à partir du faisceau médullaire sortant d'un groupe ligneux quelconque, le faisceau supplémentaire ne cesse de se diriger vers le faisceau caulinaire du groupe ligneux voisin. Ceci se vérifie en suivant (a V°) sur les coupes supérieures de la série, où il se rapproche de plus en plus de (Caul. 11) (pl. 14, fig. B) pour finalement s'accoler à lui (pl. 14, fig. A). Le trajet de (a V°) en direction de (Caul. 11) est récapitulé sur les figures G¹ à G⁵ de la planche 14.

En résumé, le faisceau supplémentaire naît du faisceau médullaire sortant, appartenant à n'importe quel groupe ligneux, puis s'en sépare, poursuit ensuite sa course vers le faisceau caulinaire du groupe ligneux le plus proche et l'achève en s'anastomosant à ce dernier. « F. a » est donc un faisceau anastomosique.

III. — Rôle et valeur spécifique du faisceau supplémentaire ou faisceau anastomosique

Étant donné que le faisceau médullaire sortant de chaque groupe ligneux émet un faisceau anastomosique, il se construit autour de la moelle un véritable réseau aux mailles constituées de branches de taille inégale (les dimensions des faisceaux anastomosiques, caulinaires et sortants ont en effet des dimensions très différentes). Nous avons essayé de reconstituer, à partir de la coupe n° 25 (pl. 69, fig. 4; pl. 10, fig. D), l'aspect de l'ensemble du système ligneux périmédullaire primaire, tel qu'il se présenterait, étalé dans un plan parallèle à l'axe de la tige. Le principe de construction est le même que celui déjà utilisé pour les diagrammes relatifs à la course longitudinale du bois primaire des cinq groupes ligneux, d'après la coupe transversale d'une tige (voir pl. 15, fig. A).

Au début de ce chapitre, nous avons noté l'absence de faisceaux anastomosiques dans les sections comportant un petit nombre de faisceaux corticaux. Effectivement, nous les rencontrons uniquement dans les Séries C (pl. 9 A à E et pl. 10 A à H) et D (pl. 11 A à C et 12 A à C), qui se placeraient sur la tige (voir tableau page 43) dans la région moyenne ou sub-basale. Les régions sommitales ajouteraient aux caractères qui l'individualisent déjà (diminution du nombre de faisceaux corticaux, absence de sclérification de la zone médullaire...) celui de ne pas construire autour de la moelle de véritable réseau, par l'intermédiaire de faisceaux anastomosiques.

L'anastomose des faisceaux médullaires n'a donc aucune valeur spécifique, elle se rencontre d'ailleurs chez les plantes actuelles aussi bien dans un Philodendron (Aracées) que dans un Papyrus (Cypéracées) d'après Ph. Van Tieghem [90] (p. 749.)

« Les faisceaux du cylindre sont unis latéralement en réseau par de courtes branches d'anastomoses transverses ».

Le rôle de l'anastomose se borne vraisemblablement à rendre plus cohérent et à assurer une distribution plus grande de la sève dans les parties moyenne et sub-basale de la tige.

D. - TIGES JEUNES

Aux variations anatomiques observées de la base au sommet d'une tige, se superposent quelquefois celles inhérentes à l'âge de l'organe.

I. - Dimensions

Un trait de caractère commun à toutes les tiges jeunes est leur faible dimension, oscillant entre un diamètre moyen de 1 à 20 mm environ (voir tableau page 47).

II. - L'écorce

L'écorce peut se décomposer en trois parties absolument comparables à celles d'une tige adulte. Des nids scléreux se répartissent dans la zone interne et la zone moyenne montre, au niveau de (+5) (n° 253; pl. 76, fig. 1) une portion non altérée d'un tissu lacuneux. Enfin, l'écorce externe est du type dictyoxylé typiquement lyginoptéridien mais, là encore, la sclérification des bandes scléreuses n'est pas très prononcée. L'épaississement des parois des futures fibres sclérenchymateuses n'est pas plus accentué que celui des membranes des trachéides du bois primaire (pl. 75, fig. 2 et 3), si bien que l'aspect caractéristique de bandes sombres alternant avec les bandes plus claires du dictyoxylon cortex d'une tige adulte est à peine accusé. Le tout est protégé par un épiderme glanduleux typique.

III. - Bois secondaire

La jeunesse d'un individu se révèle par une diminution générale des dimensions par rapport à celles de l'adulte, mais c'est essentiellement l'épaisseur plus ou moins grande de l'anneau de bois secondaire qui nous renseigne sur l'âge d'un spécimen. Cela ne signifie pas pour autant que des coupes transversales de diamètre égal comportent exactement la même épaisseur de bois secondaire. Nous savons que cette dernière est extrêmement fluctuante sous des influences diverses. Néanmoins, il s'avère que, généralement, une tige de petite taille a un manchon de bois secondaire peu développé.

Une tige de 20 mm (n° E¹; pl. 65, fig. 1) a une épaisseur maximale de bois secondaire de 2 mm. Elle n'est plus que de 0,75 mm et constituée d'une dizaine de rangées, disposées autour de la moelle, dans une tige au diamètre moyen de 12 mm (n° M 50 d; pl. 75, fig. 4), de 0,25 mm et composée de cinq rangées de trachéides, pour une tige de 7 mm (n° 78 Lx II; pl. 75, fig. 2; pl. 16, fig. C), de 0,05 mm avec seulement une ou deux rangées d'éléments radiaux, sur une section transversale (n° H 5; pl. 75, fig. 3; pl. 16, fig. B), qui n'a que 4 mm de diamètre. A la limite extrême (n° M 9; pl. 75, fig. 1; pl. 16, fig. A), c'est-à-dire pour une tige de 1 mm, il y a absence totale de bois secondaire (voir tableau ci-dessous).

Nº des coupes	Diamètre moyen de la tige en mm	Épaisseur maximale du bois secondaire en mm
М 9	1	nulle
H 5	4	0,05
78 Lx II	7	0,25
M 50 d	12	0,75
253	12	0,80
732	16	1
$\mathbf{E}^{_{1}}$	20	2

IV. - Bois primaire

Le bois primaire d'une tige jeune n'offre aucun caractère particulier. Il se compose de cinq groupes ligneux et évolue de la manière classique (voir pl. 3, fig. A et pl. 16).

Les coupes n° 449 (pl. 77, fig. 2; pl. 16, fig. D) et 732 (pl. 11, fig. A), par leurs dimensions (11 mm) et la faible épaisseur du bois secondaire (1 mm) sont à grouper parmi les spécimens jeunes. Elles présentent avec netteté un faisceau supplémentaire (a IV⁻¹), (a II⁻³). Comme pour la tige adulte, dans la région moyenne ou sub-basale de ces spécimens, les faisceaux primaires forment un réseau léger autour de la moelle.

V. - La moelle

Dans ses tout premiers stades de jeunesse, le parenchyme médullaire est dépourvu de nids scléreux (pl. 75, fig. 3).

Un début de sclérification apparaît (pl. 75, fig. 4) en même temps que l'anneau ligneux secondaire s'épaissit. Elle ne revêt pas encore l'aspect de nids scléreux bien caractérisés. En des points épars et groupées d'une manière informe, des cellules aux parois brunâtres tranchent sur le parenchyme.

Les cellules sécrétrices isolées sont déjà présentes (pl. 75, fig. 3).

E. - MODES DE RAMIFICATION

I. — Bourgeons axillaires (B. a.)

Généralement, une tige se ramifie par développement de bourgeons axillaires. Les coupes transversales sériées d'une tige nº M 25 dont le diamètre moyen = 33 mm permettent de suivre la naissance d'un tel bourgeon, excellemment conservé, malgré la délicatesse de ses tissus méristématiques.

La section la plus basale (nº M 25 a; pl. 77, fig. 3 et pl. 17, fig. F) est classiquement constituée de cinq groupes ligneux primaires. La trace foliaire (+ 5) s'apprête à quitter la tige. Là, il n'y a encore aucune trace de bourgeon axillaire.

Sur M 25 b (pl. 98, fig. 1 et pl. 17, fig. E), la frontière : tige-pétiole est délimitée par une barre obscure, où la composition cytologique se distingue difficilement. Entre cette barre et le cylindre central de la tige, un ensemble de tissus correspondent à ceux du bourgeon axillaire.

Un peu au-dessus du point d'insertion du pétiole sur la tige (n° M 25 e et f; pl. 77, fig. 2 et pl. 17, fig. C et D), la dissociation de ces deux organes et la sortie de (+5) laissent des traces dans le dictyoxylon cortex. A l'endroit du passage de (+5), l'écorce dictyoxylée est occasionnellement interrompue et remplacée par une lame épaisse de tissu, uniquement parenchymateux, constitué de cellules isodiamétriques particulièrement petites (33μ) où se disséminent de nombreuses cellules sécrétrices. Cette lame s'étale largement (pl. 17, fig. J) en débordant l'épiderme de la tige en un éventail dont le bord supérieur rectiligne est profondément indenté. Chaque indentation en doigt de gant (pl. 17, fig. J) correspond à une glande épidermique.

Bientôt (nº M 25 g; pl. 79, fig. 1 et pl. 17, fig. I), la lame parenchymateuse s'invagine, par constriction de ses bords latéraux, et arrondit son bord supérieur, protégé de nombreuses glandes sécrétrices, la plupart sectionnées transversalement. Des cellules d'aspect brunâtre paraissent s'organiser en deux demi-cercles concentriques. Dans le plus externe, juste sous la bordure des glandes sécrétrices, se devinent des bandes alternantes brunes sclérifiées et claires parenchymateuses, qui par leur situation périphérique suggèrent un dictyoxylon cortex [É. (B. a.)]. Dans le plus interne, les cellules sont toutes également sombres et correspondent vraisemblablement à la différenciation initiale de l'anneau ligneux secondaire [B² (B. a)]. En plus des bandes sclérifiées de la future écorce externe, les éléments scléreux se groupent en amas, pour constituer les premiers nids scléreux [N. (B. a)] et s'intercalent dans les parties restées parenchymateuses, entre le dictyoxylon cortex et le bois secondaire et à l'intérieur de ce dernier, c'est-à-dire d'après leur localisation, dans le cortex et la moelle (M. (B. a) du bourgeon du rameau naissant.

Ensuite (nº M 25 h; pl. 79, fig. 2; pl. 17, fig. A et G), les invaginations latérales de l'avancée parenchymateuse progressent et finissent par isoler une masse ovale, comportant les tissus en voie de différenciation. Il s'agit, sans nul doute, d'un bourgeon axillaire, enrobé de glandes sécrétrices, lesquelles jouent le rôle de protection dévolu aux écailles dans les bourgeons écailleux.

La figure H., planche 17, correspond à la partie centrale du bourgeon axillaire de la figure I de cette même planche.

II. - Ramifications axillaires (R. a.)

Les tiges de Lyginopteris oldhamia, qui émettent un rameau axiliaire, ont un diamètre moyen très variable, compris entre 5 et 30 mm. L'épaisseur de leur anneau de bois secondaire n'est pas excessive (0,75 à 4 mm), mais indique que, le plus fréquemment, les tiges sont adultes (voir tableau p. 49).

La présence d'un faisceau anastomosique périmédullaire (pl. 89, fig. 2 à 4) n'est pas exclue des tiges en voie de ramification.

Sur la coupe transversale d'une tige et dans le rayon passant par l'axe de symétrie de la paire de faisceaux vasculaires d'une trace foliaire, en un mot, à l'aisselle d'un pétiole, s'élaborent, selon deux types totalement différents, des ramifications qui, en raison de leur position, peuvent être taxées d'axillaires.

1º Ramifications de type I.

Plusieurs séries distinctes de coupes successives et de sections isolées ont permis de mettre en évidence ce premier mode de ramification. L'une des séries est schématisée et décrite par D. H. Scott [83] (p. 39) en partant des travaux de W. E. Brenchley [15]. Il s'agit de la série 2073... 2096 figurée planches 80 à 84 et planches 18, 19. L'occasion m'a été donnée de revoir à Londres le matériel d'étude de W. E. Brenchley et de D. H. Scott et d'aboutir, après observation, également d'autres échantillons, sériés ou non, à une interprétation quelque peu différente de la leur.

a) Modifications d'une tige principale en voie de ramification.

Les tiges principales sur le point de se ramifier ont en plus d'un diamètre et d'une épaisseur de bois secondaire très différents selon les spécimens, une sclérification médullaire, elle aussi extrêmement fluctuante.

Nº des coupes	Diamètre moyen en mm	Épaisseur maximale B. II	Sclérification médullaire
000	5	0,75	Nulle.
H 6	11	2	Faible.
2074	16	1,7	Normale.
82	23	2,5	Faible.
1827	25	5,7	Normale.
515/5	27	4	Normale.
М 56 а	30	4	Normale.

La morphologie de leur système ligneux se modifie et d'après W. E. Brenchley l'ordre phyllotaxique de 2/5 est perturbé.

- Premier stade.

Dans le cortex de la tige n° 2072; 2073; 2074 (pl. 80, fig. 1 et pl. 19, fig. F) se constitue, à l'emplacement d'une brèche foliaire et en retrait de l'anneau ligneux secondaire principal sur lequel il s'appuie, un arc semi-circulaire de bois secondaire. Sur la coupe n° 26 Lx II, parvenue au même stade, figurée planche 88, fig. 1 et 3, dans la concavité de cet arc, se différencient, au sein du parenchyme médullaire de la tige mère, des files radiales de trachéides. La différenciation épargne toutefois un îlot central parenchymateux.

D. H. [83] (p. 39, fig. 201), a attribué un numéro d'ordre aux traces foliaires corticales de la tige mère, en instance de ramification, qui révélerait une phyllotaxie de 1/5 au lieu de 2/5. Après avoir examiné avec soin le contour, le nombre de plages parenchymateuses de chaque faisceau et, le cas échéant, l'épaisseur du bois secondaire qui le couronne, on s'aperçoit que cette numérotation est assez arbitraire. Elle ne concorde avec la nôtre qu'en ce qui concerne les traces foliaires lt⁵ et lt² (voir pl. 20, fig. A).

La trace foliaire corticale, la plus âgée, est effectivement bien lt⁵ (*), déjà isolée des autres par la différenciation de deux avancées de dictyoxylon cortex, dans l'écorce moyenne parenchymateuse. Les deux faisceaux qui la constituent comportent deux plages parenchymateuses et un sinus médian sur leur bord inférieur. La plus jeune, lt¹, a également deux constituants, mais ceux-ci ont une configuration presque circulaire, ne possèdent qu'une plage parenchymateuse et sont encore coiffés de bois secondaire.

Le désaccord intervient au sujet des autres traces foliaires. On ne voit pas, par exemple, sur quel argument s'est appuyé D. H. Scorr pour affirmer que :

- lt², impair, est plus âgé que lt¹, par contre déjà scindé en deux ;
- lt² est plus jeune que lt³, alors que toutes deux, également distantes de l'anneau ligneux secondaire, offrent absolument les mêmes caractères structuraux, un contour régulièrement ovale et deux plages parenchymateuses.

Une numérotation plus compatible avec l'évolution structurale normale d'un faisceau ligneux primaire, dans une tige de *Lyginopteris oldhamia*, s'impose après avoir comparé en les superposant la section 2074 (pl. 80, fig. 1) et le n° 28 (pl. 70, fig. 2) de diamètre égal (**).

Les traces foliaires corticales les plus jeunes lt1 et (+ 1), pourvues toutes deux d'une épaisseur de bois secondaire équivalente et d'un faisceau unique, avec deux pointements de protoxylème (+ 1), ou bien de deux faisceaux encore accolés, avec une plage parenchymateuse par élément (lt1), coïncident. Pareillement lt5 et lt4 se placent respectivement dans le champ de (+4) et (+2). Les traces foliaires lt et (+4) sont d'ailleurs constituées d'une paire de faisceaux présentant le même écartement l'un par rapport à l'autre, le même nombre de plages parenchymateuses (quatre) et la même configuration générale (un sinus médian interne). Les traces foliaires lt4 et (+ 2) ont une structure très voisine : les plages parenchymateuses de (+2) sont en voie de division, tandis qu'en lt4, leur dédoublement a eu lieu. Quant à (+3), composée de deux faisceaux ovales, munis chacun de deux plages parenchymateuses, elle a le même aspect que lt² et lt³ réunies et s'insère en leur milieu. Si les deux faisceaux de (+ 3) s'écartaient de la distance qui sépare lt² de lt³, le système ligneux primaire de la coupe 28 (pl. 70, fig. 2) serait identique à celui de la section 2074 (pl. 70, fig. 1). Il est tout à fait vraisemblable de supposer que lt³ et lt² correspondent aux deux faisceaux de (+ 3) qui, par suite de l'avancée du bois secondaire de la future ramification axillaire, dans le cortex de la tige mère, sont contraints de s'éloigner l'un de l'autre.

L'existence, à un niveau inférieur aux deux coupes 28 et 2074, d'une cinquième trace foliaire, entre (+2) et (+3), sur la tige normale (n° 28) (comme l'atteste la moindre épaisseur du dictyoxylon cortex à cet endroit) et entre lt⁴ et lt³, sur la tige prête à se ramifier (n° 2074 est prouvée par l'observation de la coupe supérieure 2079 (pl. 22, fig. D) de la série. Sur celle-ci, le faisceau médullaire sortant, alternant avec lt⁴ et lt³, s'achemine dans le bois secondaire, dans la même direction que le faisceau sortant (0), prêt à remplacer (+5) sur la coupe n° 28.

L'équivalence entre les deux façons de numéroter les traces foliaires corticales d'une tige sur le point d'émettre un rameau axillaire est la suivante :

$$\begin{array}{rcl} & & & \text{lt}^1 & = & (+\ 1) \\ & & & \text{t}^4 & = & (+\ 2) \\ \\ & & \text{lt}^2 & + & \text{lt}^3 & = & (+\ 3) \\ & & & \text{lt}^5 & = & (+\ 4) \\ & & & & (+\ 5) \text{ est absent } ; (0) \text{ va quitter la moelle.} \end{array}$$

^(*) ll⁵ = abréviation de « leaf trace » dans la numérotation des traces foliaires d'après D. H. Scott.

^(**) Afin de rendre le schéma plus intelligible, les 2 sections de la planche 20 sont représentées à un grossissement différent.

Elle suppose deux interprétations différentes du comportement du bois primaire dans une tige principale, au moment où celle-ci va se ramifier. Nous sommes d'accord avec D. H. Scorr pour dire qu'il y a cinq traces foliaires corticales, mais à l'encontre de sa pensée, celles-ci conservent la disposition phyllotaxique de 2/5. La trace foliaire voisine de lt¹ = (+ 1) n'est pas (+ 2) mais (+ 3), et dans ce cas il n'y a nullement passage de la phyllotaxie 2/5 à 1/5, dans une tige se disposant à se ramifier, comme le laissait entendre la numérotation adoptée par D. H. Scorr. De cette dernière, il ressortait également qu'un rameau naît entre deux traces foliaires (lt³ et lt²), d'où le doute énoncé par l'auteur concernant l'axillarité de ce mode de ramification :

« It thus appears not to have been axillary for its position does not correspond to that of a leaf. » Cette objection n'est plus valable, si l'on considère que le rameau se forme dans le plan de symétrie de la trace foliaire (+ 3).

Il reste maintenant à savoir comment se comporte le bois primaire périmédullaire dans une

tige qui s'apprête à donner naissance à un rameau.

En dehors de l'écartement inhabituel des deux faisceaux de la trace foliaire (+ 3), des transformations anatomiques se produisent au sein de la moelle (pl. 80, fig. 1; pl. 85, fig. 1 et pl. 87, fig. 1). Dans la tige mère se retrouvent les faisceaux médullaires, appartenant aux cinq groupes ligneux, soit (0); (Caul. IV); (Caul. III); (Caul. II) et (Caul. I), tous indivisés (pl. 19, fig. F). En outre, du métaxylème primaire s'organise (pl. 19, fig. F et pl. 27, fig. L) à l'intérieur de l'évagination de bois secondaire, entre les faisceaux médullaires de la tige mère (0) et (Caul. III). Ce bois primaire supplémentaire se compose de plusieurs parties: quatre s'accrochent sur le bord interne de l'arc semi-circulaire de bois secondaire (une médiane, parfaitement individualisée, et trois latérales assez informes) et envoient des digitations en direction d'une cinquième parcelle, libre, au sein de la région médullaire du futur rameau.

En résumé, dans un premier stade, les tissus corticaux, ligneux et médullaires de la tige mère forment une protubérance, dans l'axe de symétrie des faisceaux d'une trace foliaire. Dans cette avancée, se différencient un arc semi-circulaire de bois secondaire et des masses irrégulières de métaxylème primaire, réparties dans la portion parenchymateuse, située à l'intérieur de la demi-couronne ligneuse secondaire, principalement, sur le bord interne de celle-ci.

- Deuxième stade.

Les transformations du bois secondaire et primaire se poursuivent.

La différenciation de la deuxième moitié de l'arc semi-circulaire s'achève et la tige principale englobe alors deux couronnes de bois secondaire (pl. 19, fig. E; pl. 81, fig. 1; pl. 85, fig. 4 et 5; pl. 89, fig. 2 et 3; pl. 90, fig. 1, 2 et 3 et pl. 22 fig. B.) de diamètre et d'épaisseur inégaux qui s'éloignent progressivement l'une de l'autre.

Le pétiole innervé par (+ 4) se détache de la tige n° 2079 et 2080, (pl. 19, fig. C); n° 515/6

(pl. 85, fig. 5 et pl. 22, fig. A); no 83 (pl. 89, fig. 3); no M 56 c (pl. 90, fig. 4).

Quant aux deux faisceaux α et β de (+3), ils s'allongent, et une indentation médiane apparaît sur leur bord interne.

Le faisceau sortant (0) s'avance dans l'anneau ligneux secondaire de la tige émettrice.

Les faisceaux qui étaient antérieurement groupés dans la demi-couronne externe de bois secondaire de la future ramification se sont dissociés, étalés vers la moitié de la couronne de bois secondaire dernièrement formée, pour constituer sur le cercle interne de celui-ci des faisceaux de bois primaire, plus ou moins accolés (pl. 19, fig. C; pl. 81, fig. 1; pl. 85, fig. 2). On peut comparer l'allure du système ligneux primaire dans les sections 2078 et 2084, sur les figures C, planche 19 et F, planche 18. En même temps, le faisceau médian, qui était le premier à s'individualiser (pl. 19, fig. D; pl. 27, fig. A) s'introduit dans le bois secondaire (pl. 81, 82; pl. 19, fig. C; pl. 22, fig. C) puis dans le cortex de la ramification ultérieure, (pl. 82, fig. 1; pl. 22, fig. A).

b) Individualisation du rameau axillaire ; évolution des tissus dans la tige mère et la ramification.

La protubérance initiale, où se sont différenciés le bois primaire et secondaire du rameau axillaire, s'accroît, finit par se détacher de la tige mère. Rameau axillaire et tige mère poursuivent ensuite, individuellement, leur évolution.

1. TIGE MÈRE.

A partir du moment où le pétiole (+ 4) et la ramification se séparent de la tige, sur laquelle ils ont pris naissance, cette dernière ne comporte plus, transitoirement dans la série 2072... 2095 (pl. 19, fig. C), que deux traces foliaires corticales : (+ 2) et (+ 1), puisque (+ 4) est entré dans son pétiole, (+ 3) dans le rameau axillaire et que (+ 5) a, lui aussi, quitté la tige depuis longtemps. Dans les autres séries n° 37 à 41 (pl. 22, fig. B); n° M 56 a à M 56 o; n° 82 à 84, il reste trois faisceaux corticaux, car (0) a déjà atteint la zone corticale, ce qui ne s'effectue pour la première série que sur la coupe supérieure 2087 (pl. 18, fig. E). La planche 18 reproduit la suite de ces phénomènes.

Lorsque (-1) s'introduit dans l'anneau ligneux secondaire (nº 2090; pl. 83, fig. 1; pl. 86,

fig. 2; pl. 18, fig. D), (0) se dédouble.

A un niveau un peu plus élevé encore (n° 2091 et 2092; pl. 18, fig. C), nous sommes cette fois en présence de quatre traces foliaires corticales, (— 1), à son tour, étant parvenu dans le cortex (pl. 90, fig. 4).

Dans les dernières coupes de la série (nº 2093 à 2095 ; pl. 18, fig. B et A), (-2) et (+2) s'ache-

minent respectivement dans le bois secondaire et la base d'un rachis.

Une évolution identique du système ligneux primaire se retrouve dans les séries figurées

(pl. 21, 22, 85, 86, 87, 89, fig. 2 à 4 et 90).

L'émission d'un rameau axillaire ne déclenche aucun changement dans le mode de sortie des traces foliaires de la tige mère, l'arrangement phyllotaxique de 2/5 n'est nullement perturbé.

2. Ramification axillaire.

Le tableau ci-dessous indique que le diamètre, l'épaisseur du bois secondaire et l'importance de la moelle, varient d'une ramification à l'autre. Leurs dimensions sont généralement moyennes.

Nº des coupes	000	2084	M 56 k	41	84
Diamètre moyen en mm Épaisseur maximale du bois II en mm Diamètre moyen de la moelle en mm .	4,5 0,5 0,7	10 0,7 1,4	15 1 3,2	16 2 3	22 1,7 2,2
Sclérification médullaire	A	à	peine marqué	e	

Quand le rameau axillaire est indépendant de la tige mère n° 2082 (pl. 19, fig. A; pl. 82 et 83, fig. 1); n° 41 (pl. 86, fig. 5; pl. 21, fig. A); n° 84 (pl. 89, fig. 4); n° M 56 k (pl. 90, fig. 4), il a acquis une composition anatomique particulière qui évoluera ensuite selon des modalités qui lui sont propres.

Le caractère original dominant est la présence constante de deux à trois (au maximum) traces foliaires corticales associées à trois ou quatre faisceaux périmédullaires, dont certains s'étalent autour de la moelle davantage que de coutume dans la tige mère (pl. 82, fig. 1). C'est très vraisemblablement à quelques unes d'entre elles ou à leurs similaires, auxquelles D. H. Scorr [83] page 34, fait allusion dans un paragraphe relatif à de jeunes tiges.

« In some of them, the phyllotaxis appears to have sometimes been 1/3 instead of 2/5; sclerotic nests are often absent from the pith »... « Others small specimen are more remarkable, in so far, that the primary xylem strands are to a considerable extend fused laterally, so as to form a more or less continuous ring round the pith ».

Nous allons essayer de suivre les étapes successives qui marquent les modifications anatomiques importantes, dans un rameau axillaire, depuis le moment où il s'est détaché de la tige mère.

- Premier stade.

Les transformations du bois primaire qui continuent à s'effectuer dans le rameau séparé de sa tige mère, confèrent à la moelle une hétérogénéité particulière, en ce sens que ce ne sont pas des nids scléreux qui se mêlent aux cellules parenchymateuses et sécrétrices, mais des trachéides isolées ou groupées de métaxylème primaire (voir pl. 82, fig. 1; pl. 87, fig. 5). Elles proviennent du remaniement des premières masses de bois primaire formées (comparer les schémas C et F des planches 19 et 18) d'où se sont détachées les digitations aux contours désordonnés qui, tout en migrant vers le bord interne supérieur de l'anneau ligneux secondaire (pl. 19, fig. A), ont laissé des résidus dans la moelle. Cependant ces trachéides en se regroupant et en se modelant, finissent par prendre la forme de faisceaux périmédullaires plus réguliers (pl. 18, fig. F). On parvient à en distinguer cinq, plus ou moins étalés et plus ou moins rapprochés les uns des autres, autour de la moelle (pl. 18, fig. F).

L'anneau de bois secondaire qui entoure maintenant complètement le bois primaire périmédullaire s'interrompt seulement pour le passage du faisceau médian, pourvu d'une plage parenchymateuse. Nous lui décernerons le numéro (+5 A), car il est le premier des faisceaux élaborés initialement dans la tige mère, en supplément des faisceaux normaux, à quitter la région médullaire du rameau. Nous verrons ultérieurement qu'il appartient au groupe ligneux V, lequel par définition, possède la trace foliaire corticale la plus âgée (+5). Les deux faisceaux latéraux $(+3 \alpha)$ et $(+3 \beta)$ qui innerveront avant (+5 A) les deux premiers pétioles de la base du rameau sont, eux aussi, originaires de la tige mère, avec cette différence que, pour ce faire, les faisceaux normaux de celle-ci en ont été soustraits.

Les deux traces foliaires latérales corticales $(+3\alpha)$ et $(+3\beta)$ sont presque diamétralement opposées, toutes deux placées à égale distance du manchon de bois secondaire et sur le point de se diviser (deux plages parenchymateuses) (pl. 87, fig. 3 et 4 et pl. 82, fig. 1).

- Deuxième stade.

Dans une deuxième étape, la physionomie du rameau change par l'adjonction d'une troisième trace foliaire corticale, fournie par le faisceau médian (+5 A), lequel a dédoublé sa plage parenchymateuse (pl. 18, fig. E). Un dédoublement analogue des plages parenchymateuses se produit dans chaque faisceau des deux traces foliaires opposées $(+3\alpha)$ et $(+3\beta)$ (pl. 18, fig. E; pl. 87, fig. 3 et 4), qui finissent par se partager en deux (pl. 18, fig. D; pl. 21, fig. C; pl. 84, fig. 1).

Un deuxième faisceau médullaire (+ 4 A) franchit l'anneau ligneux secondaire et le système ligneux primaire périmédullaire comprend à présent trois faisceaux trés étalés : deux alternant avec le faisceau médian et le troisième se situant entre le faisceau sortant (+ 3α) et (+ 4 A) (pl. 18, fig. D); pl. 21, fig. A; pl. 84, fig. 1). En comparant les coupes 2084 (pl. 18, fig. F) et 2089 (pl. 18, fig. D), il est visible que le faisceau situé à droite de (+ 3 β) occupe, sur la figure H, planche 27, une plus grande surface qu'en B sous forme de (+ 4 A). Comme dans toutes les tiges de Lyginopteris, lorsqu'un faisceau s'engage dans le bois secondaire, il s'en détache, auparavant, une portion correspondant au caulinaire du faisceau sortant. Ce faisceau caulinaire peut être identifié (l'indentation médiane du bord inférieur d'un faisceau est l'indice d'une séparation future) sur le faisceau localisé dans l'axe de (+ 4 A), dans les coupes n° 515/6 (pl. 22, fig. A; pl. 85, fig. 5), n° 39 (pl. 21, fig. E; pl. 85, fig. 4), n° 515/8 (pl. 21, fig. C; pl. 86, fig. 2). Ces dernières, par la position et la morphologie des deux faisceaux latéraux, s'insèrent fort bien dans la série 2072... 2094, au niveau de 2087 en M, L, K sur la planche 27 approximativement, et comblent la lacune de la série où les

numéros 2088 et 2089 font justement défaut. D'autre part, sur ces échantillons, l'écartement des deux faisceaux alternant avec $(+3\beta)$ est beaucoup plus patent. Comment expliquer, alors, que la section supérieure 2089 (pl. 27, fig. B) soit apparemment dépourvue du caulinaire de (+4A)? Il faut admettre qu'il est allé s'accoler au faisceau situé à gauche de $(+3\beta)$. Celui-ci possède, en effet, une triple indentation, dont la plus proche de (+4A) délimite une portion de bois primaire équivalente à celle du caulinaire d'un faisceau sortant, tel que (+4A).

Une seconde fusion s'est indéniablement effectuée entre les deux faisceaux médullaires situés à droite de $(+3 \alpha)$, dans le passage des coupes, 2084, (pl. 18, fig. F) ou 515/6 (pl. 22, fig. A) à 2089

(pl. 18, fig. D).

La moelle est généralement mal conservée. Un lambeau épargné par la destruction sur la section n° 515/8 (pl. 86, fig. 2), offre le même aspect que sur la coupe inférieure n° 39 (pl. 87, fig. 5): parenchyme parsemé de trachéides de métaxylème primaire et très probablement de fibres sclérenchymateuses groupées formant les taches très sombres.

- Troisième stade.

Une troisième phase, donnée par les deux dernières coupes n° 2093 (pl. 18, fig. B) et 2094 (pl. 18, fig. A; pl. 84, fig. 2 et pl. 26, fig. H) montre que les deux paires de faisceaux latéraux ($+3\alpha$) et ($+3\beta$) disparaissent en même temps, ce qui signifie qu'à la base de la ramification s'installent deux pétioles opposés ou sub-opposés. Leur position symétrique et les changements structuraux dont ils étaient l'objet, déjà dans la tige mère, le laissaient présager.

La coupe transversale du rameau (pl. 18, fig. A; pl. 84, fig. 2 et pl. 26, fig. H) n'offre plus à nouveau que deux traces foliaires corticales : (+ 5 A) dédoublé et (+ 4 A) qui a dépassé la zone de bois secondaire. Celle-ci est recoupée par un troisième faisceau sortant (avec une plage parenchy-

mateuse), après (+ 4 A), auquel on peut assigner le numéro d'ordre (+ 3 A).

En alternance avec les trois traces foliaires sortantes se placent trois faisceaux périmédullaires,

allongés, au contour régulier dépourvu de digitations.

En l'absence des coupes sériées inférieures, le système ligneux primaire de la coupe n° 2094 (pl. 84, fig. 2; pl. 18, fig. A) pourrait être interprété de la manière suivante : les traces foliaires sortantes auraient pour caulinaires les trois faisceaux médullaires alternes (pl. 23, fig. I). Le rameau ne comporterait que trois groupes ligneux et, par suite, une phyllotaxie de 1/3 caractériserait ce premier type de ramification axillaire. Dans le cadre de cette hypothèse, les deux traces foliaires latérales seraient remplacées par les faisceaux sortants (+ 3 A) et (+ 4 A). Ceci est peu probable, à en juger par la superposition, compte tenu de l'évolution relative des faisceaux sortants, des sections 2089 (pl. 31, fig. 1) et 2094 (pl. 83, fig. 2; pl. 23, fig. F). Les traces foliaires (+ 3 α) et (+ 3 β) se situent sur deux rayons qui ne passent ni par (+ 3 A), ni par (+ 4 A).

D'ailleurs, à la différence de $(+3\alpha)$ et $(+3\beta)$, du point de vue évolutif, les faisceaux (+4A) et (+3A) se succèdent. Il serait assez paradoxal que des traces foliaires soient remplacées, à un

niveau supérieur et dans le même plan vertical, par des traces foliaires alternantes.

Depuis que nous connaissons l'allure que prennent les coupes précédant le n° 2089 (pl, 18, fig. D), nous envisageons une tout autre interprétation. Si la coupe transversale N° 2094 (pl. 84, fig. 2; pl. 18, fig. A) de la série présente, planches 18 et 19, n'a plus que trois faisceaux périmédullaires, il faut se rappeler qu'un peu plus bas, sur les n° 2084 (pl. 82, fig. 1; pl. 18, fig. F) ou 39 (pl. 85, fig. 4; pl. 21, fig. E), il y en a cinq. Cette diminution ne résulte pas de la pénétration successive, dans le bois secondaire, de deux faisceaux sur cinq, car en réalité (voir plus haut) chacun des deux faisceaux médullaires se divise en deux parties : l'une entre bien effectivement dans le bois secondaire, l'autre se juxtapose au faisceau médullaire voisin, simulant ainsi la disparition de la totalité des deux faisceaux en question. Dès lors, nous pouvons considérer qu'un phénomène nouveau de fusion des faisceaux intermédullaires intervient, dans une ramification axillaire de ce type, sans que pour cela la phyllotaxie change. Même sur la section 2089 (pl. 83, fig. 1; pl. 27, fig. B) où les anastomoses ont eu lieu, les faisceaux médulaires appartenant aux cinq groupes ligneux

sont identifiables. Nous avons tenté de les désigner et de les délimiter, par les abréviations et couleurs habituellement adoptées. Le caulinaire (Caul. 111), indenté, au milieu de son bord inférieur, est accolé au (Caul. 11), et le (Caul. 11), également sur le point de se dédoubler, a fusionné avec le (Caul. 11).

La coupe 2094 (pl. 84, fig. 2; pl. 26, fig. H), sur laquelle le faisceau (+ 3 A) s'est introduit dans le bois secondaire, montre bien un étalement considérable du métaxylème situé à sa droite où la partie d'extrême gauche correspond au caulinaire de (+ 3 A) qui d'ailleurs était déjà individualisé, dans la surface comprise dans l'indentation moyenne du bois primaire étalé de la coupe n° 2089 (pl. 27, fig. B) qui occupe le même emplacement.

Très certainement, sur des sections supérieures à 2094 (pl. 84, fig. 2; pl. 26, fig. H), on assisterait à la division des caulinaires (Caul. 11) et (Caul. 1) et au départ successif de la moelle de (+ 2 A) et (+ 1 A). L'étude comparée des sections individuelles présentées planches 26 et 27 va confirmer cette opinion et par la même occasion donner une image des étapes dans l'évolution anatomique ultérieure d'un rameau axillaire. Les dimensions des tiges sont consignées dans le tableau ci-dessous:

Nº des coupes	Diamètre moyen en mm	Épaisseur maximale du bois II	Diamètre moyer de la moelle
R. 19	5	0,5	2,5
H. 15	5	0,5	
N. L. 14	5	1	1
189	5,5	1,2	1
M 78 h	6,5	1	0,8
471	7	1	
M 49	10	2	2
189	10,5	0,6	1
124 É	10	1	2,5
1856 IT 6	12	1,5	2,5
NL 14	13	2	2
55 C	15	1	5

- Quatrième stade.

La coupe isolée n° R 19 (pl. 92, fig. 3; pl. 26, fig. G) et la section transversale du rameau axillaire n° 2094 (pl. 84, fig. 2, pl. 18, fig. A et pl. 26, fig. H) ont un diamètre (4 mm, 5), une épaisseur de bois secondaire (0,5 mm) et un arrangement du système ligneux très voisins (voir tableaux pages 52 et 55).

Sur R 19 (pl. 26, fig. G), les faisceaux périmédullaires constituent une couronne presque continue autour de la moelle. Elle n'est interrompue, par une mince bande de cellules parenchymateuses, qu'en trois points placés dans l'axe des trois traces foliaires sortantes (+5 A), (+4 A) et (+3 A). Les trois massifs de bois primaire s'étalent plus ou moins. Deux indentations, dont une très profonde dans le tiers proche de (+4 A) et l'autre, vers le milieu des deux autres tiers, isolent trois plages parenchymateuses. Entre (+4 A) et (+3 A), le bois primaire occupe une surface moindre. Il possède également deux indentations et trois plages parenchymateuses. Le faisceau médullaire le moins étalé est compris entre (+3 A) et (+5 A), n'a qu'une indentation médiane et seulement deux plages parenchymateuses.

Si nous superposons les coupes R 19 (pl. 26, fig. G) et 2094 (pl. 26, fig. H), en mettant en contact les traces foliaires corticales, morphologiquement semblables, nous constatons que les faisceaux (+5), (+4), (+3) des deux figures coïncident parfaitement, ainsi que les espaces médullaires occupés par le bois primaire. Dans R 19, l'ampleur de ce bois compris entre (+4) et (+5) est plus grande, car la partie extrême correspondant au caulinaire de (+4) est soudée au caulinaire du groupe

ligneux II et intégralement visible, ce qui n'était pas le cas sur la section 2094 (pl. 84, fig. 2) où un résidu brunâtre, probablement tanifère, s'est répandu à cet emplacement et le recouvre partiellement. La trace foliaire (+ 3) est plus avancée dans le cortex sur la figure G (R 19) que sur la figure H (2094) planche 26, ce qui autorise à penser que R 19 est l'image d'une section qui serait effectuée un peu au-dessus de 2094.

En considérant l'étendue relative des faisceaux périmédullaires de la coupe R 19 et le nombre de plages de bois primaire qu'ils renferment, là encore, s'il n'existait que trois groupes ligneux (pl. 23, fig. H) (comme nous l'avons déjà envisagé pour la coupe 2094 (pl. 23, fig. I), le faisceau médullaire le plus ancien, qui devrait donc remplacer (+ 5), sortirait entre (+ 4) et (+ 5) de l'étendue de bois primaire; de même les remplaçants de (+ 4) et (+ 3), respectivement entre (+ 4) (+ 3) et (+ 3) (+ 5). Dans cette éventualité, le faisceau susceptible de remplacer (+ 5) apparaît beaucoup trop important et toute la partie d'extrême droite (environ le tiers de l'ensemble) se trouverait en surplus, le faisceau sortant et le caulinaire pouvant largement s'individualiser dans la portion de gauche (environ deux tiers de l'ensemble) seulement.

La coupe isolée n° 58 Lx II (pl. 92, fig. 4; pl. 23, fig. D) par sa composition générale et principalement par la morphologie et la position relative de ses trois traces foliaires corticales, s'assimile tout à fait aux sections R 19 (pl. 26, fig. G) et 2094 (pl. 26, fig. H). Parmi les traces foliaires corticales, (+ 4) échappe légèrement à cette assimiliation parce qu'il a subi une bipartition qui traduit un âge un peu plus avancé, donc ces lames se situent à un niveau plus élevé par rapport à R 19. L'encastrement dans le bois secondaire du quatrième faisceau sortant (+ 2), individualisé dans la partie moyenne du bois primaire, situé entre (+ 4) et (+ 5), procède du même phénomène (voir fig. G et J, pl. 23).

De ce fait, les doutes qui pouvaient subsister quant à l'existence des cinq faisceaux ligneux, pour des sections transversales pourvues de trois groupes corticaux seulement de bois primaire, s'amenuisent de plus en plus. Comment, dans le cas d'une phyllotaxie de 1/3, le faisceau (+ 2) pourrait-il remplacer (+ 5) à un niveau supérieur, puisqu'il en est séparé par un faisceau intercalaire? Le faisceau placé à gauche de (+ 5), toujours impair, ne pourrait par conséquent être le caulinaire de (+ 5). Il faut donc admettre l'existence d'un quatrième groupe ligneux, dans lequel s'inscrit le faisceau sortant (+ 2). Il est facilement repérable sur la coupe R 19 (pl. 92, fig. 3; pl. 26, fig. G) par superposition avec la section nº 58 Lx II (pl. 92, fig. 4; pl. 23, fig. G et J).

Sur cette même coupe 58 Lx II (pl. 23, fig. G), le partage en deux parties inégales (l'une proche de (+3) n'a qu'une plage parenchymateuse, l'autre, deux fois plus étendue, a une paire de plages parenchymateuses et une indentation médiane) du bois primaire imparti entre (+3) et (+4) (pl. 94, fig. 1) annonce certainement dans le bois secondaire un cinquième faisceau médullaire à l'emplacement occupé précisément par le groupe ligneux I dans une tige principale. A l'endroit de la disjonction, la sortie d'une racine (pl. 92, fig. 4) a probablement accusé la dissociation.

La superposition de deux autres coupes transversales no 189 (pl. 92, fig. 5) et 55 c (pl. 93, fig. 2) avec la section no 58 Lx II (pl. 92, fig. 4), de manière que les faisceaux de même âge coincident, montre que le quatrième faisceau sortant (+ 2) a maintenant atteint le cortex et (+ 5), la base de son pétiole. Dans le même laps de temps, une tripartition du métaxylème primaire, placé entre (+ 3) et (+ 4), a eu lieu. Ceci renforce et précise l'idée que l'individualisation du faisceau médullaire sortant du cinquième groupe ligneux I est imminente et sera assurée par le faisceau médian du trio. Ce dernier est encore très proche du faisceau situé à droite de (+ 3). Ce qui confirme que la distance qui sépare ces deux mêmes parties de bois primaire sur la coupe 58 Lx II (pl. 40, fig. 4) a été accentuée à la faveur de l'émission d'une racine (une racine a, en effet, une origine endogène).

L'ordre dans lequel se succèdent les coupes transversales sur la planche 23, fig. A à E et K représentant l'évolution d'un rameau axillaire, est artificiel; il résulte de déductions successives faites à partir de coupes isolées non sériées. Cependant, il concorde parfaitement avec une suite de huit coupes, véritablement sériées nº 124 A à 124 W (pl. 96, fig. 1 à 5; pl. 24, fig. C).

Comparons la coupe basale de la série nº 124 A (pl. 96, fig. 1; pl. 24, fig. C⁶ et pl. 26, fig. F) à R 19 (pl. 92, fig. 3; pl. 26, fig. H), par exemple. En dehors des différences de diamètre [R 19 \pm 5 mm (cortex non conservé) et 124 A \pm 10 mm (cortex presque complet)], d'épaisseur de l'anneau ligneux

secondaire (0,5 mm pour R 19 contre 1,4 mm pour 124 A), le bois primaire cortical et périmédullaire est analogue : trois faisceaux corticaux alternent avec trois faisceaux médullaires étalés. Si dans R 19 les espaces parenchymateux interfasciculaires sont moins grands, la raison en incombe à la plus grande jeunesse (faible épaisseur du bois secondaire et petite taille de l'ensemble) du rameau. Sur une tige principale jeune (pl. 75, fig. 1), tous les faisceaux médullaires sont également presque contigus.

Les coupes supérieures qui succèdent à 124 A montrent une évolution du système ligneux primaire, présentée planche 24, figures C¹ à C³. Les deux sections 124 N (pl. 96, fig. 4; pl. 24, fig. C³; pl. 26, fig. C) et 124 W (pl. 96, fig. 5; pl. 24, fig. C¹; pl. 26, fig. B) mettent en évidence l'individualisation du cinquième faisceau sortant (+ 1). Dans toute la série, la fusion successive des faisceaux caulinaires périmédullaires est particulièrement nette et ne peut être impliquée à une déformation, à un aplatissement qui ont malheureusement affecté les sections de la série artificielle précédente constituée par les coupes isolées de la planche 23, figures A à E et K. Ici le contour circulaire de la moelle est parfaitement respecté. Cette déformation explique d'ailleurs pourquoi, ajouté aux différences d'âge, le lien entre les deux séries n'apparaît pas sur-le-champ.

— Cinquième stade.

Une autre série de coupes transversales nº M 78 b à M 78 p (pl. 98. fig. 1 et 2), présentée également en A, planche 24, dont les dimensions, l'épaisseur du bois secondaire (voir tableau p. 78) sont plus grandes que dans la série précédente (pl. 24, fig. C), offre une organisation du système ligneux comparable. Elle ne renferme pas les coupes basales qui seraient équivalentes aux sections 124 A (pl. 96, fig. 1) et 124 B de la série de la planche 24, figure C, mais, par contre, la coupe supérieure de la série M 78 b à M 78 p (pl. 24, fig. A) représente une section qui serait pratiquée au-dessus de la dernière coupe de la série 124 A à 124 W. Cette deuxième série de coupes (pl. 24, fig. A) met en évidence la sortie, pressentie antérieurement, d'un cinquième faisceau médullaire (+1) et prouve du même coup l'existence de cinq groupes ligneux dans un rameau axillaire. La superposition des sections M 78 b et M 78 p (pl. 25 fig. G) ou M 78 p et M 78 l (pl. 25, fig. F) montre, à nouveau, que le bois primaire ne s'organise pas selon trois groupes ligneux (pl. 25, fig. D et E), mais bien cinq; lorsque (+ 1) a dépassé le milieu de l'anneau ligneux secondaire, il est à peu près à égale distance de (+4) et (+3). Pourquoi alors, comme le voudrait une disposition phyllotaxique de 1/3, le faisceau sortant le plus jeune (+ 1) remplacerait-il la trace foliaire corticale (+ 4), dont le rayon passant par l'axe de symétrie de ce dernier ne se confond absolument pas avec celui qui, lui, passe par l'axe de symétrie de (+ 1)?

Le prochain faisceau médullaire sortant après (+ 1), soit (0), est le plus évolué anatomiquement des faisceaux périmédullaires, celui qui possède au moins deux plages parenchymateuses et une indentation médiane particulièrement accusée. Il se situe entre (+ 3) et (+ 2), sur la figure H de la planche 26, et comme l'indique la figure C, planche 25, où sont superposées les sections 124 A (pl. 96, fig. 1) et 124 W (pl. 96, fig. 5), en dépit des translations des faisceaux autour de la moelle, le faisceau qui se rapproche le plus de l'axe de symétrie de (+ 5) et, sans aucun doute le remplacera, est effectivement (0). Les traces foliaires (0) et (+ 5) sont donc nées du même caulinaire et nous avons ainsi la preuve finale décisive que, dans un rameau axillaire, les faisceaux médullaires sortent selon cinq plans radiaux distincts et que les pétioles qu'ils innervent se disposent dans l'ordre phyllotaxique de 2/5.

Nous savons maintenant de quelle manière s'organise le système ligneux primaire, dans un rameau axillaire, depuis sa naissance sur la tige principale, jusqu'à ce que cinq traces foliaires aient successivement quitté la moelle. C'est la suite progressive de ces différentes étapes que nous avons figurée planche 26, figures A à H et planche 27, figures A à L.

Les sections de la série 124 (pl. 24, fig. C¹ à C³) n'ont pour ainsi dire pas subi de déformation. Leur contour circulaire a permis, par la méthode employée pour les tiges principales, de figurer la course longitudinale des cinq traces foliaires corticales (pl. 28, fig. B) et celle du système ligneux primaire périmédullaire (pl. 28, fig. F). En comparaison de certaines tiges principales, le faisceau sortant ne se détache de son caulinaire que très tardivement et pénètre presque immédiatement dans le bois secondaire (voir pl. 28, fig. B).

Les faisceaux périmédullaires, par leurs fusions successives, constituent autour de la moelle un réseau (pl. 28, fig. F) très cohérent, aux mailles robustes, qui confèrent à l'ensemble une grande cohésion, compensatrice de l'absence de sclérification de la région médullaire. Ce réseau est comparable à celui observé dans la région moyenne et sub-basale des tiges principales (pl. 15, fig. A). Dans le rameau axillaire, c'est tout le caulinaire d'un groupe ligneux qui va s'accoler au caulinaire du groupe voisin, tandis que, dans la région moyenne et sub-basale d'une tige principale où il y a anastomose, c'est simplement une petite branche, émise par le faisceau médullaire sortant, qui va fusionner avec le caulinaire le plus proche (voir pl. 28, fig. G et H). On peut supposer qu'à l'extrême base de la tige principale se constituait également un réseau analogue à celui du rameau axillaire de type I. Il serait progressivement remplacé par un réseau plus délicat dans les régions basale et moyenne de la tige (voir p. 46) et finirait par disparaître dans la région sommitale.

Aux coupes transversales étudiées jusqu'ici, rapportées à des rameaux axillaires, s'en adjoignent d'autres, isolées (pl. 99) ou sériées (pl. 24, fig. B, D, E). Elles peuvent être assimilées à ces rameaux par la similitude de leur diamètre (5 à 13 mm), de l'épaisseur de leur bois secondaire (1 à 2 mm) et surtout de la course du bois primaire. Plusieurs d'entre elles nos 13 et 14 (pl. 97, fig. 1; pl. 100, fig. 1 et 3; pl. 24, fig. D et E et pl. 28, fig. A, C) portent sur les lames minces où elles s'insèrent, la référence « N. L. », correspondant, d'après un carnet répertorial de Paul Bertrand, à l'abréviation de « Nouveau Lyginodendron ». Maintenant que nous les avons assimilées à des ramifications axillaires de tiges principales de Lyginopteris odlhamia, la notion d'espèce nouvelle, que certains paléobotanistes tentaient de leur attribuer, est à rejeter.

Résumé:

Une tige principale de Lyginopteris oldhamia émet un rameau axillaire là où normalement est issu un pétiole (pl. 28, fig. D, E). A cet emplacement, à l'intérieur de la tige mère, du bois de première et de seconde formation se différencie, en supplément du bois normal. Le bois primaire supplémentaire va constituer les faisceaux périmédullaires de la tige axillaire et former autour de la moelle, par des fusions successives, un véritable réseau.

Les deux premières frondes opposées, de la base du rameau, sont innervées par les deux éléments dédoublés de la paire de faisceaux, qui auraient dû se rendre dans le pétiole de la tige mère. Par la suite, la disposition des frondes sur le rameau est alterne et leur vascularisation est assurée par les faisceaux primaires qui partent de la moelle selon le cycle phyllotaxique de 2/5.

A l'extrême base du rameau, la région médullaire centrale est pourvue de trachéides, plus ou moins groupées, qui disparaissent dans la région moyenne, pour laisser une moelle parenchymateuse exempte de toute sclérification, mais où se dispersent quelques cellules sécrétrices.

Quelle est la fréquence de ces ramifications? Se disposent-elles sous le même angle de divergence que les pétioles sur la tige principale? Jusqu'à maintenant le matériel étudié ne permet pas de répondre à ces questions. En tout cas, à considérer le diamètre et l'épaisseur du bois secondaire, jamais très importants, des tiges principales qui les émettent, il reste à penser que ce sont des spécimens peu âgés, ou la partie assez haute d'une tige principale qui leur donne naissance.

2º Ramifications de type II.

D. H. Scott [83] (p. 38-40) distingue également deux types de ramifications : la ramification axillaire dont nous venons de faire l'étude et la ramification adventive. Selon lui :

« The essential characteristic of this form of branching is that all the primary xylem strands remain in the stele of the present stem none enter the stele of the branch. The latter is thus left without any primary xylem in its lower part though the strands may reappear at a higher lever. »

Au cours du travail préliminaire d'accumulation du matériel, se rapportant sans conteste au genre Lyginopteris, des coupes transversales de tiges ont retenu l'attention par leur aspect particulier (pl. 101, fig. 1; pl. 102, fig. 1). Les tissus ont une extrême finesse; la moelle n'est pas sclérifiée (pl. 102, fig. 1) ou dans tous les cas on ne peut parler de nids scléreux tels qu'ils se rencontrent

dans la région basale d'une tige principale. Si le bois secondaire est relativement développé, le bois primaire est pratiquement absent. Les faisceaux périmédullaires et corticaux sont si discrets qu'ils passent, en première observation, complètement inaperçus.

La compréhension du développement anatomique de ces tiges a été facilitée par l'existence de coupes sériées (pl. 102 à 104; pl. 106 à 114) qui ont permis de suivre leur évolution depuis leur naissance, à partir d'une tige principale, jusqu'à ce qu'elles se ramifient à leur tour.

Pour mieux comparer avec le premier type de ramification, nous avons adopté le même plan d'étude.

a) Modification d'une tige mère en voie de ramification.

Au départ, la tige qui va émettre un rameau axillaire de ce type ne diffère aucunement d'une tige principale typique de Lyginopteris oldhamia.

Nº des coupes	Diamètre moyen en mm	Épaisseur maximale du bois II en mm	Sclérification médullaire	Faisceau anastomosique
940	8	3,7	Pas conservé.	
61 A	17	2	Nul.	
n 50 d	18	2,5	Très faible.	
n 22 c	21	2,5	Très faible.	
935	25	5	Normal.	-
450	28	3	Très faible.	·

- Premier stade.

Elles possèdent toutes, sans restriction, cinq groupes ligneux (pl. 32, fig. C). Généralement, le cinquième faisceau cortical (+5) vient de pénétrer dans son pétiole et (0) s'apprête à le remplacer. Leur diamètre (de 8 à 28 mm), l'épaisseur maximale de leur bois secondaire (de 2 à 5 mm) et le degré de sclérification médullaire varient largement. Des sections présentant un faisceau anastomosique supplémentaire peuvent aussi être affectées.

A l'emplacement où justement la trace foliaire (+ 5) fait défaut, se différencient quelques trachéides (pl. 102, fig. 2 et 3; pl. 29, fig. E, D) en files radiales, à l'intérieur de la moelle, entre les faisceaux périmédullaires (Caul. 11) et (0). Le phénomène gagne sur toute la distance qui sépare (0) de (Caul. 11), en isolant toutefois une fenêtre parenchymateuse entre les nouveaux éléments ligneux secondaires formés et les anciens de l'anneau de bois secondaire. Dans cet îlot parenchymateux, moelle du futur rameau, à la frontière bois secondaire-parenchyme et dans le prolongement de (Caul. 11), quelques éléments ligneux de petites tailles paraissent s'aligner sur le bord inférieur d'une vaste plage parenchymateuse (pl. 103, fig. 1). Ils pourraient, par leur position, correspondre aux premières formations de bois primaire du rameau.

- Deuxième stade.

La fenêtre parenchymateuse et la bande de bois secondaire nouvellement formée s'accroissent. Cette dernière va se partager sur sa plus grande longueur, si bien qu'au moment où le bois secondaire du rameau et de la tige mère sont encore soudés l'un à l'autre (pl. 104, fig. 1; pl. 29, fig. B), l'épaisseur de l'anneau ligneux de la tige mère n'est pas diminuée pour autant.

A ce stade, les tissus du rameau futur sont presque tous individualisés. La moelle est exclusivement parenchymateuse, dépourvue de nids scléreux, mais parsemée de nombreuses cellules sécrétrices et de petites chaînettes de trachéides très petites (50 μ) qui ont tendance à se grouper en faisceaux à certains points à la périphérie de la moelle (pl. 104, fig 1; pl. 29, fig. B). Quelques-uns, on en distingue trois, sont décalés par rapport au bord interne de l'anneau, dans lequel ils s'encastrent en repoussant toute la portion de bois secondaire qui s'y rattache vers la zone corticale de la ramification. Ils s'assimilent, comme le confirment les coupes supérieures, en dépit du développement très rudimentaire du bois primaire, aux trois premières traces foliaires de la ramification. Déjà, d'après leur position plus ou moins avancée dans l'anneau ligneux secondaire, nous pouvons déterminer la plus âgée $(+5)^A$ (*) et la plus jeune $(+3)^A$ (pl. 29, fig. B).

- Troisième stade.

Quand l'anneau ligneux de bois secondaire s'est complètement détaché de celui de la tige (pl. 29, fig. A; pl. 104, fig. 2, 3 et 4), la trace foliaire (+ 5)^A du futur rameau axillaire franchit la zone corticale et les contours des faisceaux périmédullaires deviennent mieux définissables (pl. 104, fig. 2).

La section M 50 j (pl. 106, fig. 3; pl. 32, fig. C) est parvenue à ce stade et, comme elle s'incorpore dans une suite de seize coupes sériées, nous continuons à suivre la marche de son évolution.

b) Individualisation de la ramification et évolution de la structure dans la tige mère et le rameau.

Le rameau R 1(+5) (**) finit par se dissocier de la tige mère (pl. 104, fig. 1; pl. 32, fig. A), mais les épidermes des deux sections sont encore contigus.

1. TIGE MÈRE.

— Premier stade.

La trace foliaire (+5) se trouve alors séparée de sa tige d'origine par le rameau de premier ordre sur lequel elle s'appuie.

Tandis que dans le premier mode de formation d'un rameau axillaire, à ce stade, la tige mère n'a plus que trois faisceaux corticaux (voir pl. 18, fig. F), ici (pl. 32, fig. A), puisque (0) est arrivé dans le cortex et que (+ 4) ne l'a pas quitté, elle possède ses cinq traces foliaires corticales.

- Deuxième stade.

Pendant que (+4) abandonne la tige, (0) se dédouble (pl. 106, fig. 2; pl. 107, fig. 1, 2, 3; pl. 31, fig. C et dans l'axe de (+4), une deuxième ramification de premier ordre R $1^{(+4)}$ s'élabore (pl. 107, fig. 3; pl. 31, fig. C).

- Troisième stade.

La pénétration des traces foliaires dans leurs pétioles continue à s'effectuer selon l'ordre phyllotaxique 2/5. Après (+ 4), nous voyons (+ 3) s'acheminer vers la base de son rachis (pl. 107, fig. 4; pl. 108, fig. 1, 2, 3 et 4; pl. 30, fig. C) et puis dans l'axe de (+ 3), une troisième ramification de premier ordre R 1⁽⁺³⁾ s'interpose (pl. 109, fig. 1; pl. 30, fig. B) entre (+ 3) et la tige mère principale, laquelle comporte encore quatre traces foliaires corticales, car (— 2) atteint le cortex.

— Quatrième stade.

Comme on pouvait maintenant s'en douter, quand (+2) quitte la tige principale mère (pl. 109, fig. 2 et 3; pl. 30, fig. A), dans l'axe de celle-ci naît un quatrième rameau R $1^{(+2)}$.

^(*) Nous désignons les traces foliaires des ramifications axillaires de « type II » (afin de les distinguer de celles de « type I »), en plaçant la lettre A (abréviation d'axillaire) en exposant à l'extérieur des parenthèses incluant le numéro d'ordre du faisceau sortant.

^(**) Selon qu'il s'agit d'un rameau axillaire de premier ou de deuxième ordre, on emploie les désignations R 1, R 2...

Le chiffre positif ou négatif placé entre parenthèses et en exposant de R 1, R 2... correspond au numéro d'ordre de la trace foliaire de la tige ou de la ramification, dans l'axe de laquelle le rameau de type II a pris naissance.

— Cinquième stade.

La dernière trace foliaire que nous voyons sortir sur cette série est (+ 1). Il est malaisé de dire si, dans cette direction, allait s'individualiser un cinquième rameau R 1⁽⁺¹⁾. La section M 22 p d'une autre série (pl. 112, fig. 3; pl. 33, fig. B) abonde dans ce sens.

CONCLUSION:

L'ordre d'émission des ramifications de premier ordre a suivi l'ordre de sortie des traces foliaires, soit 2/5.

2. Ramifications.

a. Ramifications de premier ordre.

Toutes les ramifications de premier ordre émises par les tiges principales ne sont pas identiques. Le tableau suivant et la simple comparaison de R 1⁽⁺⁴⁾ de la série M 22 (pl. 111, fig. 2; pl. 35, fig. A) à R 1⁽⁺³⁾ (pl. 111, fig. 3; pl. 34, fig. A) de la même série ou R 1⁽⁺⁵⁾ de la série M 50 (pl. 107, fig. 1; pl. 31, fig. C) permettent d'en juger.

N° des coupes	Nº d'ordre des ramifications	Diamètre moyen en mm	Épaisseur maximale du bois II en mm
М 501	R 1 (+5)	12,5	2
M 50 x	R 1 (+3)	8,7	0,7
M 22 h	R 1 (+5)	6,5	0,1
M 22 u	R 1 (+4)	5,5	0,1
M 22 α	R 1 (+8)	17,5	3,2
М 22 δ	R 1 (+2)	6	0,2
М 22 р	R 1 (+1)	5	0,2
955	R 1 (+5)	8	1,5
957	R 1 (+4)	12,5	3,7
957	R 1 (+5)	11	2,5

Une première catégorie groupe des sections dont le diamètre et l'épaisseur du bois secondaire varient de 11 à 18 mm et de 2 à 3,7 mm. La seconde renferme des rameaux de plus faibles dimensions, le diamètre s'échelonne de 5 à 9 mm et l'épaisseur de bois secondaire, presque négligeable, 0,1 mm, n'excède pas 1,5 mm. Ces différences sont celles que l'on observe entre une tige jeune et une plus âgée.

Une fois que le rameau est indépendant de la tige mère, le bois primaire évolue indistinctement de la même manière dans les deux catégories de ramifications. Partons de la section M 50 l (pl. 106, fig. 4; pl. 32, fig. A) où s'est individualisé le rameau primaire R 1⁽⁺⁵⁾.

— Premier stade.

Celui-ci se trouve maintenant pourvu de cinq traces foliaires : trois corticales : (+5) R $1^{(+5)}$ (*), (+4) R $1^{(+5)}$, et (+3) R $1^{(+5)}$, identifiées depuis longtemps et deux récemment

^{(*) (+5)} R 1 (+5) désigne le numéro d'ordre de la trace foliaire (ici (+5)) du rameau axillaire de premier ordre (R 1) construit dans l'axe de la trace foliaire (n° d'ordre de celle-ci placée en exposant) de la tige principale d'où est issu ce rameau de premier ordre.

sorties de la moelle (+2) et (+1), incluses dans l'anneau de bois secondaire. Une sixième s'engage dans le bois secondaire en direction de (+5) et la remplacera un peu plus tard.

Toutes sont impaires, les plus âgées munies de deux plages parenchymateuses et d'une légère

incision sur leur bord inférieur (voir pl. 33, fig. A).

En alternance avec les six traces foliaires sortantes, se répartissent avec netteté, à la périphérie de la moelle, cinq faisceaux caulinaires. D'ores et déjà, nous pouvons conclure à l'existence de cinq groupes ligneux dans une ramification de ce type.

- Deuxième stade.

Sur la figure suivante M 50 n (pl. 107, fig. 1), le rameau primaire montre cette fois sept traces foliaires sortantes. Les faisceaux (+1) et (+2) s'ajoutent aux trois traces foliaires corticales (+3), (+4), (+5), les deux dernières ne sont pas dédoublées (pl. 33, fig. A). Dans l'anneau ligneux ont pris place les faisceaux sortants (0) et (-1) et dans la moelle demeurent cinq petits faisceaux caulinaires.

- Troisième stade.

L'état du système ligneux primaire (n° M 50 p; pl. 107, fig. 2) de la ramification rappelle la coupe transversale inférieure basale de celle-ci (M 50 l; pl. 106, fig. 4; pl. 32, fig. A), où trois traces foliaires seulement (0), (+1) et (+2) se localisent dans le cortex. En effet (+5), (+4) et (+3) ont successivement abandonné le rameau primaire.

Les faisceaux (+ 5) qui vascularisent la base des pétioles des rameaux primaires d'une part, et de la tige principale, d'autre part, ont une morphologie différente. Celui du rameau (nº M 50 p; pl. 107, fig. 2) est simple, en forme d'arche et de petite dimension (2 µ); celui de la tige principale est, comme toujours à ce stade, dédoublé, chaque élément simule un haricot et a la même grandeur que le faisceau unique issu du rameau (pl. 33, fig. E et F). La comparaison de (+ 4) dans la section M 50 p dans la tige principale et du faisceau de même numérotation dans le rameau de premier ordre (pl. 32, fig. C et pl. 33, fig. A) aboutit à un résultat identique (voir également pl. 37, fig. G et I).

- Quatrième stade.

Dans les sections supérieures, les traces foliaires corticales $(+2)^A$ et $(+1)^A$ quittent successivement la tige (pl. 107, fig. 4; pl. 108, fig. 1 à 4; pl. 30, fig. C).

- Cinquième stade.

Enfin, dans la même direction que (+5) (comparer les fig. A, pl. 32 et C pl. 30) et cinq internœuds après, (0) innerve le pétiole, situé sur la même verticale que (+5). La disposition phyllotaxique dans un rameau de premier ordre est de 2/5.

Durant toute cette évolution, la moelle du rameau primaire ne montre aucune sclérification.

b. Ramifications de deuxième ordre.

Tandis que la tige principale émet des ramifications primaires, celles-ci, de leur côté, se subdivisent à leur tour. C'est le cas du rameau primaire R 1⁽⁺⁵⁾ (pl. 31, fig. B).

A partir de la coupe transversale n° M 50 p (pl. 107, fig. 2), apparaît, au sein de la moelle du rameau de premier ordre R 1⁽⁺⁵⁾, une barre constituée de trachéides en files radiales (pl. 31, fig. C) qui la partage bientôt en deux (pl. 107, fig. 4). Par le même processus d'individualisation du rameau primaire à l'intérieur d'une tige principale, s'édifie dans le rameau primaire et dans l'axe de la trace foliaire corticale (+ 2), un rameau de deuxième ordre R 2⁽⁺²⁾ (*). Il entre dans la catégorie des

^(*) R 2 (+2), R 1 (+5) sert à désigner le rameau de deuxième ordre construit dans l'axe de la trace foliaire (+ 2) du rameau axillaire de premier ordre qui s'est lui-même construit dans l'axe de la trace foliaire (+ 5) de la tige mère principale.

tiges de diamètre et d'épaisseur de bois secondaire relativement importants (voir tableau ci-dessous). R 2(+2) comporte très tôt cinq traces foliaires corticales (nº M 50 t; pl. 108, fig. 2; pl. 31, fig. A) du même type que celle du rameau du premier ordre.

Nº des coupes	Ramifications	Diamètre moyen en mm	Épaisseur maximale du bois II en mm
М 50 и	R 2 (+2) R 1 (+5)	8,7	1,2
M 50 u	R 2 (+1) R 1 (+5)	5,5	0,2
M 50 zd	R 2 (+5) R 1 (+5)	3,7	0,1

A l'aisselle du pétiole innervé par la trace foliaire (+ 1) du rameau R 1(+5) s'intercale un deuxième rameau secondaire R 2(+1) de plus petite taille et pourvu d'une très faible épaisseur de bois secondaire.

C'est ensuite dans l'axe de (0) du rameau R 1(+5) que naît le troisième rameau de deuxième ordre R 2(0) [no M 50 u (pl. 108, fig. 3) et no M 50 w (pl. 108, fig. 4; pl. 30, fig. C)].

Le rameau primaire R 1(+3) de la série M 50 émet lui aussi une ramification de deuxième ordre R 2(+2) dans la direction de sa trace foliaire sortante (+2) [nº M 50 zd (pl. 109, fig. 2) et nº M 50 ze (pl. 109, fig. 3; pl. 30, fig. A)].

La sortie des rameaux de deuxième ordre suit celle des traces foliaires du rameau ou de la tige

principale sur laquelle ils prennent naissance.

Les figures A1 et A2 de la planche 36 retracent le mode de formation de ces ramifications. Les ramifications de premier ordre sont cernées de la couleur correspondant à celle de la trace foliaire dans l'axe de laquelle elles ont pris naissance.

c. Ramifications de troisième ordre.

Un exemple de ramification tertiaire R 3 (+3) est observable sur les sections M 50 w et M 50 x (pl. 108, fig. 4 et pl. 109, fig. 1; pl. 30, fig. B et C). Elle s'élabore à partir du rameau secondaire R 2 (+2), dans la direction du faisceau cortical (+3).

Bien que leurs liens avec la tige principale n'aient pu être mis clairement en évidence, les coupes transversales des nombreuses tiges figurées (pl. 114, fig. 4; pl. 115, fig. 1; pl. 116, fig. 1; pl. 117, fig. 1; p l. 119, pl. 120 et pl. 36, fig. B à F) peuvent cependant, par la morphologie de leurs faisceaux ligneux primaires, qui rappelle celle du bois primaire d'une ramification de deuxième type (pl. 33, fig. A), également par leurs dimensions (voir tableau ci-après) et la sclérification, nulle ou presque, de leur moelle, s'assimiler à ce type de ramification.

Nº des coupes	Diamètre moyen en mm	Épaisseur maximale du bois II en mm
21	15	2,5
M 78	8	1,5
2987	12	4
3068	17	4
H 18	28	3,7
M 50 d zg	11,5	1
M 50 d, zg	7	1,5

Résumé:

D. H. Scott [83] oppose à la ramification axillaire de type I la ramification adventive, qui peut, selon lui, être accidentelle (due à une blessure) (D. H. Scott, p. 40).

Il arrive, chez les plantes actuelles, lorsqu'une tige est endommagée pour une raison quelconque, qu'au niveau de la blessure, une tige adventive naisse. Il faudrait alors supposer que de nombreuses tiges prélevées dans des endroits différents ont été régulièrement blessées. Ce qui est peu problable. D'ailleurs, elles sont en nombre égal et même supérieur à celui des ramifications axillaires du premier type.

En réalité, qu'est-ce qu'une tige adventive? Les auteurs sont d'accord pour appeler ainsi avec Ph. Van Tieghem [90] (p. 275), toute tige qui naît « sur une feuille jeune ou âgée, sur une racine jeune ou âgée, soit enfin sur la tige préexistente ». Elle commence toujours par la formation d'un bourgeon et se ramifie ensuite de la manière ordinaire. Ces bourgeons viennent sur ces différentes parties, en des points quelconques et sans régularité; on les dit : « adventifs ». La dernière partie de cette citation met en lumière l'irrégularité du phénomène. En ce qui concerne ce deuxième type de ramification, c'est au contraire avec une très grande régularité que les rameaux naissent, puisque leur émission s'effectue selon un rythme réglé par un ordre cyclique de 2/5.

D'autre part, si l'on se réfère à la définition de l'axillarité d'un rameau, à savoir que pour qu'une tige soit axillaire, il faut qu'elle naisse dans l'axe d'une feuille ou d'une fronde, c'est bien le cas de toutes les ramifications du deuxième type. Dans la série M 50 (pl. 30, 31, 32), R 1 (+5) se construit exactement dans l'axe de la trace foliaire (+ 5) de la tige principale.

La différence entre les deux types de ramifications ne réside nullement dans le caractère d'axillarité, mais dans la manière dont s'élabore le système ligneux primaire où, effectivement, dans le cas du deuxième type, aucun faisceau de la tige mère n'entre dans la ramification. Celle-ci n'est pas, comme le prétendait D. H. Scott [83], complètement dépourvue de bois primaire à sa base, les faisceaux primaires existent, mais se composent de quelques trachéides seulement, de calibre peu élevé et mêlés aux éléments parenchymateux qui prédominent nettement. Très rapidement, le modelé des faisceaux primaires apparaît et c'est, au stade où le rameau s'est détaché de la tige mère, dans la morphologie qu'ils acquièrent, que s'établit la différence la plus marquante entre les deux types de ramifications, que nous pouvons qualifier toutes deux d'axillaires.

Le problème est de savoir pourquoi des tiges dont les caractères sont, sans conteste, ceux de l'espèce Lyginopteris oldhamia, émettent des ramifications selon deux modalités différentes. Impliquent-elles une différence spécifique ou simplement une variation de l'espèce L. oldhamia, ou bien résultent-elles de modifications temporaires ou locales du milieu? En raison de la grande finesse du bois secondaire dans le rameau, on pourrait arguer en faveur de cette dernière solution.

F. - RACINES ADVENTIVES

Les tissus des tiges principales ou des rameaux de Lyginopteris oldhamia sont souvent recoupés par des racines adventives. Celles-ci traversent le bois secondaire de la tige, en limitant dans les coupes transversales une surface globalement triangulaire (pl. 77, fig. 3; pl. 78, fig. 1; pl. 37, fig. E et F).

Cette forme pourrait résulter du sectionnement d'un cône, par un plan oblique passant très près de son sommet. Le sommet de ce triangle, proche de la zone médullaire, est constitué d'une partie parenchymateuse, correspondant à la moelle radiculaire, et s'appuie sur l'un des faisceaux périmédullaires de la tige. La base, à la limite externe du bois secondaire, plus évasée, se compose du bois secondaire de la racine, lequel se prolonge en doigt de gant, dans le tissu cortical de la tige; l'écorce parenchymateuse de la racine enveloppe le bois secondaire. L'obliquité de la racine par rapport à la tige, si cette dernière est coupée transversalement, fait que les tissus radiculaires, eux, sont sectionnés plus ou moins obliquement. Par suite, s'il s'agit de mêmes tissus, ils se distinguent immédiatement de ceux de la tige.

D'autre part, sur la section horizontale d'une tige, les tissus constitutifs de la racine occuperont dans l'anneau ligneux secondaire une surface d'autant plus étroite et se situeront d'autant plus près du bord périmédullaire, que le point de naissance de la racine sera proche (pl. 37, fig. F).

A partir de ces données et à l'aide de quelques séries de coupes successives, essayons de déduire

le cycle d'émissions des racines de cette espèce.

Dans la série M 25 (pl. 77, fig. 3; pl. 17, fig. A à F), la coupe la plus basale M 25 a (pl. 77, fig. 3; pl. 17, fig. F) montre deux racines. Les pointes de leurs surfaces coniques sont orientées dans la direction des faisceaux sortants (0) et (— 1) qui appartiennent respectivement aux groupes ligneux V et IV; pour différencier ces racines et rappeler leur point de naissance, nous les désignerons par R (0) v et R (— 1) IV.

La pointé de la plus ancienne R (0) v est un peu plus éloignée du bord périmédullaire que l'autre : R (— 1) iv. A une certaine distance de cette coupe, au niveau de la figure B, planche 17 (n° M 25 g), deux autres racines sont sorties : la plus vieille est placée près de (— 2) et la plus jeune près de (— 3). Ce sont deux racines R (— 2) iii et R (— 3) ii, émises successivement après les deux précédentes R (0) v et R (— 1) iv. Il arrive, comme sur la section transversale de la tige n° M 25 e (pl. 17, fig. D), que la racine plus jeune apparaisse avant la plus âgée, du fait de l'horizontalité plus ou moins parfaite de la coupe, ou simplement, et cela semble être le cas, que sa conservation, lorsqu'elle parvient dans le cortex, ne soit pas parfaite. (R — 3) ii est déjà présente, tandis que R (— 2) iii fait défaut.

Vraisemblablement, il est à supposer qu'au delà de la figure A de la planche 17 (n° M 25 h), une quatrième racine sera émise à proximité de (Caul. 1). La série 2073... 2096 offre une section n° 2090 (pl. 18, fig. D) où la tige principale possède deux racines dont la plus jeune se place près de (Caul. 1). Nous pouvons la numéroter R 1. La dernière coupe de la série (pl. 18, fig. A) (n° 2095) clôt le cycle d'émission des racines, puisque la cinquième se replace sur la même verticale que R v à proximité de (Caul. v).

En associant les résultats obtenus, on peut reconstituer le schéma théorique (pl. 37, fig. B) de la sortie des racines adventives. Il est clair que, partant de la racine Rv jusqu'à ce que l'on rencontre celle qui, à un niveau supérieur, se placera juste au-dessus d'elle, on doive effectuer deux tours de circonférences et assister à cinq émissions radiculaires. Les racines sortent donc selon un cycle de 2/5 identique à celui des pétioles.

En ce qui concerne la fréquence de l'appareil radiculaire, celui-ci semble plus développé vers les parties basales ou au niveau d'une ramification que dans les régions sommitales de l'organe; toutefois celles-ci n'en sont pas dépourvues (pl. 8, fig. A).

CHAPITRE III

ÉTUDE DES PÉTIOLES DE LYGINOPTERIS OLDHAMIA (BINNEY) POTONIÉ

Avant d'aborder l'étude structurale des pétioles de Lyginopteris oldhamia, il est peut-être utile

de rappeler la composition morphologique d'une de ses frondes.

Décrite sous le nom de Sphenopteris hoeninghausi Brongniart, elle comprend (pl. 37, fig. C), directement fixé à la tige, un rachis principal (r. pr = P. pr), qui bifurque pour donner deux rachis primaires (r. 1 = P. pr). Sur ces derniers, s'insèrent des rachis secondaires alternes [r. 2 (a) = P 2 (a)] tandis que sur le rachis principal, les rachis secondaires [R 2 (o) = P 2 (s.o.)] sont subopposés. Des rachis secondaires sont issus les rachis tertiaires (r. 3 = P 3), puis quaternaires... qui aboutissent aux folioles ou pinules (Pin)..

Lorsque le pétiole n'est pas rattaché à la tige, ce qui arrive le plus souvent, le moyen d'identification est, comme pour cette dernière, l'existence d'une zone externe dictyoxylée (pl. 122, fig. 2), circonscrite par un épiderme glanduleux. Le parenchyme fondamental renferme des nids scléreux et des cellules sécrétrices et, dans l'axe de l'organe, s'installe un faisceau libéro-ligneux à structure concentrique. Tous les auteurs lui confèrent un contour en « V » ou en « W » (D. H. Scort [83], p. 46, (le « W » prépare à la bifurcation du faisceau).

En réalité, chaque figure du faisceau a un emplacement bien déterminé dans la fronde et l'évo-

lution de celui-ci va maintenant retenir notre attention.

Dans les sections transversales de tiges, réunies dans l'espèce L. oldhamia, les traces foliaires, parvenues au stade où elles sont prêtes à entrer dans un pétiole, ont trois aspects différents (pl. 37) fig. G, H, I) selon que les pétioles à innerver sont placés sur des tiges principales (pétioles normaux) ou sur des ramifications axillaires de premier ou deuxième type (pétioles de type I ou II) (pl. 37, fig. C et D).

A. - PÉTIOLES DES TIGES PRINCIPALES

Ce sont les mieux connus, ceux que désigne le terme usité, autrefois, de Rachiopteris, abandonné pour l'appellation plus générale (elle englobe toute la fronde) de Sphenopteris hoeninghausi (voir Historique, p. 12). Structuralement, ils groupent tous les échantillons dont le système ligneux primaire a la forme d'un « V » ou d'un « W ».

Essayons de préciser l'organisation structurale des rachis constitutifs d'une telle fronde, par l'étude de leurs dimensions et surtout de la forme de leur système ligneux.

I. — Rachis principal et rachis secondaires sub-opposés

1º Dimensions et structures d'ensemble.

Une coupe transversale pratiquée dans le rachis principal est à peu près semi-circulaire (pl. 122, fig. 2). Ses dimensions moyennes varient de 2 à 15 mm (voir tableau p. 106).

Tous les tissus caractéristiques des pétioles de Lyginopteris s'y rencontrent : épiderme glanduleux, hypoderme plus ou moins sclérifié, zone dictyoxylée moins épaisse sur la face inférieure (0,6 mm) que sur la supérieure (0,9 mm). Celle-ci est à peu près rectiligne à la base du rachis principal (pl. 123, fig. 3; pl. 125, fig. 4), ou au contraire incurvée en son milieu (pl. 124, fig. 2; pl. 125, fig. 1), à un niveau plus élevé. Le dictyoxylon cortex circonscrit un parenchyme fondamental au sein duquel se dispersent des cellules sécrétrices et de petits nids scléreux et porte en son milieu un faisceau libéro-ligneux dont la configuration varie de la base jusqu'à l'endroit de sa bifurcation.

2º Évolution du faisceau libéro-ligneux dans le rachis principal.

Il faut distinguer trois étapes :

a) Base du rachis principal.

Tandis que le pétiole est encore soudé à la tige (pl. 121, fig. 4; pl. 123, fig. 1), le système libéroligneux se compose de deux faisceaux séparés dont la forme rappelle grossièrement celle d'un haricot. Leur position respective (pl. 37, fig. A) suggère un triangle isocèle où chaque élément occupe la longueur des deux côtés égaux du triangle, la base et les environs du sommet représentent à peu près, respectivement, la distance maximale et minimale qui les sépare. Les bords latéraux externes (pl. 37, fig. I) sont nettement plus rapprochés que les bords latéraux (B. lat.) internes. Le bord interne (B, i.) [orienté côté face supérieure (F. sup.) du pétiole (pl. 37, fig. A)] est indenté en son milieu (pl. 122, fig. 3; pl. 123, fig. 2), le bord externe (B. e.) est également légèrement creusé.

Chaque faisceau se compose de métaxylème primaire (trachéides à ponctuations aréolées multisériées) dont la partie centrifuge (à l'extérieur) est moins développée que la partie centripète. Le bord externe est jalonné de 4 à 5 plages parenchymateuses sur la partie supérieure desquelles (pl. 124, fig. 1) s'accroche un pointement de protoxylème (trachéides spiralées, annelées, réticulées ; voir pl. 139, fig. 2 et 4). Le liber concentrique n'est presque jamais conservé.

L'écartement des deux faisceaux est maximum à l'extrême base du rachis (pl. 39, fig. T). Par la suite, la distance au sommet qui les sépare diminue peu à peu (pl. 39, fig. N), en raison de la formation, dans la partie latérale sommitale interne de chaque faisceau, d'une proéminence du métaxylème, convergeant vers son homologue (pl. 125, fig. 1; pl. 128, fig. 2). Le système ligneux de plusieurs pétioles (pl. 39, fig. R à N) présente cette physionomie.

D'autres faisceaux (pl. 122, fig. 1; pl. 128, fig. 1) montrent, par rapport aux précédents, un allongement notoire de la partie médiane de leur bord interne, délimitant préalablement une concavité, à l'intérieur de laquelle se construit maintenant une véritable convexité, déjà préexistante (avec moins de netteté toutefois), dans les faisceaux d'extrême base du rachis (pl. 123, fig. 2). Cet allongement est particulièrement évident sur les coupes sériées des figures L¹ à L³ planche 41. On peut comparer sur ces schémas l'allure du sytème ligneux des sections effectuées à une certaine distance, sur un même pétiole.

b) RÉGION MOYENNE DU RACHIS PRINCIPAL.

La convergence des portions latérales externes des deux faisceaux s'achève, finalement, à peu près dans la région moyenne du rachis principal, quelquefois plus tôt (pl. 121, fig. 2), par la juxtaposition partielle des deux éléments (pl. 39, fig. F à A).

La partie sommitale restée libre du bord externe de chaque faisceau, progresse à son tour en direction du bord inférieur du pétiole (pl. 126, fig. 1; pl. 39, fig. B). L'ensemble constitue un «W» renversé dont la partie centrale est assez ramassée. Elle va se développer (pl. 40, fig. P, O), s'étaler (pl. 129, fig. 1, 2 et 3; pl. 40, fig. N à C) tandis que disparaîtra complètement la marque de leur mitoyenneté (pl. 40, fig. I).

c) Région supérieure du rachis principal.

Un peu avant la bifurcation du rachis principal en deux rachis primaires, le « W » s'apprête à se dissocier en deux « V », destinés à innerver les deux rachis primaires. On retrouve alors, à nouveau, deux « V » renversés accolés (pl. 131, fig. 1 et 2 ; pl. 40, fig. E) par leur branche interne. La figure obtenue (pl. 40, fig. E) se différencie de celle antérieurement observée (pl. 39, fig. B) par l'étalement plus grand de la partie moyenne de l'ensemble et un creusement plus profond du bord interne de chaque « V ».

La scission du « W » en deux « V » se réalise bientôt (pl. 131, fig. 5; pl. 40, fig. D) et les deux faisceaux nouvellement individualisés s'écartent de plus en plus l'un de l'autre (pl. 131, fig. 6; pl. 132, fig. 1; pl. 131, fig. 4; pl. 40, fig. C à A).

3º Émission des rachis secondaires.

A partir des extrémités libres des faisceaux du rachis principal, s'individualisent des faisceaux qui se rendent dans les pétioles insérés sur le rachis principal.

a) A partir des extrémités basales.

Nous appelons extrémités basales du faisceau ligneux celles qui regardent le bord supérieur du pétiole et demeurent toujours libres.

A tous les stades, que les faisceaux soient pairs (pl. 128, fig. 2; pl. 39, fig. I à G) ou impairs (pl. 128, fig. 4; pl. 40, fig. O à L), chacune de ces extrémités, et presque simultanément, prolifère (pl. 128, fig. 1). La figure K, planche 41 où sont superposés les éléments ligneux de droite des coupes sériées n° 101 (pl. 41, fig. M) et 101 A (pl. 41, fig. S) met en évidence cette formation supplémentaire. Un peu plus tard (pl. 41, fig. S), celle-ci se détache du faisceau où elle a pris naissance, en donnant une masse de métaxylème ovale (pl. 124, fig. 2; pl. 39, fig. C; pl. 40, fig. O). Au fur et à mesure que les deux nouveaux faisceaux s'éloignent de leur point d'origine, ils creusent leur bord interne (pl. 126, fig. 2; pl. 39, fig. H).

Avant de s'introduire dans le rachis secondaire, ils se modèlent en un « V » renversé (pl. 129,

fig. 1 et 3; pl. 40, fig. J à E).

Quelquefois, et ceci dans les pétioles de plus faibles dimensions (pl. 126, fig. 2, 4 et 5 et pl. 127), on a l'impression que les deux faisceaux de système ligneux (pl. 41, fig. Q, R) ne prolifèrent pas mais se scindent en deux (pl. 41, fig. N, O). Il s'agit probablement de rachis portés par des tiges jeunes dont les faisceaux sont, à la base, beaucoup moins développés que dans les tiges adultes ou de taille moindre.

b) A partir des extrémités sommitales.

L'idée que, peut-être, l'extrémité sommitale des faisceaux en « V » ou en « W », émettait, elle aussi, un faisceau vasculaire qui pouvait se rendre dans une aphlébie (*), est venue à la suite de la constatation suivante : les faisceaux, parvenus au même stade, dont le contour général est à peu près analogue, offrent malgré tout une différence d'aspect. Si l'on compare, notamment, les figures B et F, planche 39; N et M planche 40; E et B, planche 40, la dissemblance est du même

^(*) On ne connaît pas d'aphlébies en empreinte chez Sphenopteus hæninghausi, toutefois celles-ci étant caduques cela explique pourquoi elles sont extrêmement rares parmi les plantes fossiles.

ordre que celle qui existe entre les figures D et F, planche 41. Or, il est visible, sur ces deux dernières figures, que le passage de F à D se fait par l'intermédiaire de E où les zones hachurées représentent la portion à supprimer, pour obtenir la figure D.

L'ablation n'est pas simultanée, car sur les deux « V » ou le « W » d'un même pétiole, une tête

sur deux est mutilée (pl. 40, fig. J; pl. 40, fig. A).

Le premier réflexe tente d'assimiler cet aspect à un artefact imputable à une conservation défectueuse de l'endroit. Il ne semble pas que cela soit le cas, après examen des faisceaux du pétiole représenté planche 131, figure 4, de celui de gauche de la figure 1, planche 133, et de l'élément droit de la figure 6, planche 131, lesquels ne donnent pas l'impression d'avoir subi une détérioration quelconque. D'autre part, sur ces individus, pourquoi les extrémités latérales, au moins aussi aiguës, auraient-elles échappé à cet émoussement ?

Une sérieuse objection à cette hypothèse doit toutefois être formulée, à savoir, qu'aucun pétiole n'a montré cette portion détachée dans cette direction. Le pétiole d'ordre supérieur sur la planche 134, figure 3, est sur le point d'apporter la preuve décisive : un étranglement de la zone sommitale du « V » est presque manifeste (voir également la fig. 5, pl. 128; la fig. 2, pl. 130 et la fig. 1, pl. 131).

II. - Rachis primaires et rachis secondaires alternes

1º Dimensions et structure générale.

Le diamètre moyen des rachis primaires est évidemment moindre que celui du rachis principal puisqu'ils résultent du dédoublement de ce dernier. La grande variabilité des dimensions (voir tableau p. 71) provient d'une extrême diversité dans la grandeur même des rachis principaux.

La structure générale est inchangée, par rapport à celle du rachis principal.

2º Rachis primaires.

Au niveau de la bifurcation, le pétiole a ses dimensions maximales (variables selon les individus). Il est pourvu de deux faisceaux en « V » renversé, isolés l'un de l'autre par une bande verticale (sur une coupe transversale) de tissu dictyoxylé en voie de différenciation (pl. 133, fig. 2) dans le parenchyme fondamental. Elle est l'indice d'une bipartition future imminente du rachis principal en deux rachis primaires.

L'innervation de chaque rachis primaire est assurée par le faisceau en « V » (pl. 132, fig. 1) issu de la dislocation du « W » contenu dans le rachis principal.

3º Rachis secondaires alternes.

A leur tour, les rachis primaires supportent des rachis secondaires, innervés par les faisceaux issus alternativement des extrémités du « V ». A leur naissance, c'est-à-dire dans les rachis primaires (pl. 40, fig. N), ils sont ovales et petit à petit prennent le contour classique du « V » renversé, en entrant dans le rachis secondaire (pl. 133, fig. 3, 4; pl. 134, fig. 2, 3, 6; pl. 135, fig. 1; pl. 40, fig. J et H).

III. - Rachis d'ordre supérieur et rachis directement en liaison avec les pinnules.

Le même processus de vascularisation se répète dans les rachis tertiaires et d'ordre supérieur La configuration en « V » du faisceau se maintient assez longtemps (pl. 135, fig. 3; pl. 137, fig. 3 et 4; pl. 40, fig. H; pl. 41, fig. T¹ à T¹²; pl. 38, fig. T, V).

Au fur et à mesure que les rachis sont plus proches des pinnules, ce qui revient à dire que leur ordre est plus élevé, la forme en « V » s'altère. En premier lieu, la concavité du bord interne du « V » s'affaiblit (pl. 135, fig. 2; pl. 41, fig. T¹ à T¹¹), les angles disparaissent (pl. 135, fig. 6; pl. 41, fig. T¹² à T¹⁵) et finalement, le faisceau se réduit à quelques trachéides (trois ou quatre) groupées en une petite masse (20 µ) triangulaire (pl. 41, fig. T¹⁶ à T²⁰) puis ovale (pl. 41, fig. T¹; pl. 41, fig. A, B; pl. 38, fig. O, L et U).

La figure C de la planche 52 reconstitue les transformations successives du cordon ligneux

primaire, depuis son entrée dans la base du rachis principal jusqu'à la pinnule.

Remarque: Dans les rachis primaires et d'ordre plus élevé, la possibilité d'émission de métaxylème, à partir du sommet du « V» est peut-être à envisager (pl. 134, fig. 3; pl. 41, fig. T¹o).

B. - PÉTIOLES DES RAMEAUX AXILLAIRES

I. - Rameaux de type I

L'évolution suivie par les faisceaux destinés à innerver les rachis supportés par la ramification de « premier type », au départ, ne diffère pas de celle que nous venons d'étudier pour les faisceaux contenus dans les pétioles des tiges principales.

Il y a formation d'une paire de faisceaux qui ont tendance à vouloir fusionner.

Les étapes ultérieures seront envisagées au cours de l'étude de Lyginopteris (= Lyginodendron) austriacum Kubart, après avoir rapproché les sections de cette dernière espèce avec les ramifications de premier type de Lyginopteris oldhamia.

En admettant l'identité des deux espèces, nous verrons que l'interrogation relative à l'existence

d'une fronde bifurquée ou non, située sur les rameaux de type I se pose.

II. - Rameaux de type II

Les dimensions de ces pétioles sont celles indiquées au cours de l'étude de Lyginopteris (= Lyginodendron) lacunosum Kubart et Lyginopteris (= Lyginodendron) heterangioïdes Kubart. Elles sont comprises entre 5-15 mm et nous avons constaté que, dans un rameau de type II, le dédoublement de la trace foliaire corticale ne s'accomplissait jamais. Les sections M 50 p (pl. 107, fig. 2), M 50 t (pl. 31, fig. A) sont à ce sujet particulièrement éloquentes. Si l'on compare sur la planche 33 les figures E et F reproduisant la coupe transversale, ces deux traces foliaires venant de quitter, l'une la tige principale, l'autre le rameau, les différences apparaissent immédiatement. Celle qui provient du rameau (pl. 33, fig. F) est impaire, allongée, son bord interne creusé largement en son milieu et délimite ainsi deux parties latérales arrondies qui contiennent, près du bord supérieur du faisceau, un ou deux pointements de protoxylème. L'aspect général est assez semblable à celui d'un élément de la paire de faisceaux que renferme la base du rachis principal issu de la tige.

L'individualisation, à partir des extrémités de ce faisceau, de portions de métaxylème, destinées

à innerver des rachis d'ordre supérieur, n'a encore jamais été observée.

On ne sait pas si les rameaux de ce type portaient des frondes bifurquées analogues à celles

disposées autour des tiges principales.

L'hypothèse d'une bifurcation peut se concevoir si, compte tenu des dimensions, on admet que les deux faisceaux des pétioles, figurés planche 127, figures 8 et 9, proviennent de la bipartition d'un faisceau unique, tel que celui de la figure F de la planche 33. Ramenés à un même grossissement, les faisceaux de cette première figure s'encastrent parfaitement dans les portions latérales

du faisceau de la dernière figure. La figure 6, planche 127, pourrait alors fort bien représenter le rachis principal d'un rameau axillaire dont le système ligneux est en train d'émettre des faisceaux qui pénétreront dans les rachis secondaires.

Les tableaux qui suivent maintenant consignent les dimensions des pétioles placés sur la tige

principale de Lyginopteris oldhamia.

Numéros des coupes et diamètre moyen des pétioles en mm

Rachis principal (2 faisceaux séparés):

No 33 : 2 mm. No 1 B/30, 9, 11 : 2,5 mm. No 28 t (46) : 3 mm. No 32, 33, 28, 78 : 3,5 mm. No E, IV/08 : 4 mm. No 1 B/31, 33, 48, 2084, 3078, m 50 zg, m 50 n : 4,5 mm. No 1 B/20, 2, 8, 49, 135 y : 5 mm. No 290 : 5,5 mm. No 290, 1396 : 6 mm. No 22 lx I, Na : 6,5 mm. No 33, 80a, P. 3 : 7 mm. No 77 lx II, 124 B (348) : 8 mm. No 55 R (77) : 8,5 mm. No m 25 g : 9 mm. No P. 2 : 9,5 mm. No 74 lx II, 1856 I Ta : 10 mm. No 22 lx I, 1858 I Ta : 11 mm. No 101 k : 13 mm. No 16 : 15 mm. No P1 : 15,5 mm.

Rachis principal (1 faisceau en « W » renversé):

No 51, 55, m 50 zg : 3 mm. No 78 : 3,5 mm. No 20 lx I : 4 mm. No 217, 2235 : 4,5 mm. No 8, 19, PG² : 5 mm. No 336 : 5,5 mm. No P. L. : 6 mm. No 39, 215, B, P G¹ : 6,5 mm. No 1 : 7 mm No 28, 24 lx I : 7,5 mm. No m 25 g : 9 mm. No I C : 10 mm.

Rachis principal (2 faisceaux séparés en « V » renversé):

No m 50 w : 3,5 mm. No m 25 a, P 1 : 4,5 mm. No N 14 : 5,5 mm. No 22 lx I, 27 lx I, m 25 b : 6.5 mm. No m 22 α : 10 mm.

Rachis primaire et d'ordre supérieur (1 faisceau en « V » renversé) :

No R 19 : 0,4 mm. No 8 lx II : 0,5 mm. No R 19 : 0,6 mm. No 11, 38, 78, 253 : 1 mm. No 135 y : 1,25 mm. No 19, I à 17, M4, m 50 x, N 13 : 2 mm. No 22 lx 5, 450, m 50 k : 2,5 mm. No 33, 686, 102 lx II, ch A III/I, 33 : 3 mm. No 2534 : 3,25 mm. No 40 : 3,5 mm. No 86 : 5 mm. No R 30 a : 5,5 mm. No 33 : 6,5 mm.

CHAPITRE IV

CARACTÈRES ÉCOLOGIQUES DE *LYGINOPTERIS OLDHAMIA* (BINNEY) POTONIÉ

Du point de vue écologique, l'interprétation de la structure des différents tissus constitutifs de la tige et des pétioles de Lyginopteris oldhamia est assez complexe.

A. - TIGE

La faible cutinisation et la rareté des stomates de l'épiderme inviteraient à attribuer à ce végétal un caractère plutôt hygrophyte mais, par contre, l'existence de poils glanduleux est plus volontiers associée à un xérophytisme.

Les caractères écologiques de l'écorce ont une analogie avec ceux de l'épiderme, en ce sens qu'ils semblent contradictoires. (Cette dualité n'est qu'apparente, comme nous le verrons plus loin.) Le développement relativement important du tissu de soutien de l'écorce externe, évoque un certain xérophytisme, tandis que l'écorce moyenne lacuneuse est un indice indéniable de plante hygrophile, vivant sinon dans l'eau, tout au moins dans un milieu très humide (voir R. Combes [28], p. 198).

Quant au bois secondaire, les variations observées dans la texture des éléments constitutifs de l'anneau ligneux sont l'indice de modifications temporaires et locales, dans le degré d'humidité du milieu ambiant.

B - PÉTIOLES

Quelques modifications peuventi ntervenir dans la structure générale des pétioles, telle que nous venons de la décrire. Elles sont relatives aux tissus ligneux et parenchymateux.

I. — Tissu parenchymateux

Le parenchyme fondamental des pétioles de Lyginopteris oldhamia considéré jusqu'ici est un tissu homogène (pl. 128, fig. 5), uniquement constitué de parenchyme normal aux cellules polygonales (6 côtés), plus ou moins arrondies, où sont également dispersés des nids scléreux et des cellules sécrétrices. On rencontre assez fréquemment un deuxième aspect du parenchyme fondamental.

Il devient hétérogène, par suite de la coexistence de deux tissus : un parenchyme normal et un second dont l'allongement des cellules, en coupe transversale, a lieu perpendiculairement à la surface de l'organe, comme dans un tissu palissadique (pl. 122, fig. 2). Tous les nids scléreux paraissent avoir émigré dans le parenchyme normal.

La présence de tissu palissadique dans les pétioles est un caractère rare chez les plantes actuelles d'après G. Deysson [36], qui prétend que le pétiole « ne comprend pas de tissu palissadique » (p. 106). Son apparition a-t-elle un caractère spécifique? Ph. Van Tieghem [90] fait remarquer (p. 820):

« La structure est homogène, par exemple chez les Dianthus caryophylus, elle est hétérogène au contraire dans les Dianthus barbatus ». Étant donné la relation directe qui existe entre la formation de ce tissu et les conditions d'éclairement (voir Ph. Van Tieghem [90], p. 810), il est fort probable que ce changement de structure est lié à une position du pétiole, plus proche de l'horizontale que dans le cas où tout le parenchyme est homogène, ou bien à une orientation générale de la plante, favorisant plus particulièrement la réception des rayons lumineux sur la face supérieure du pétiole.

II. - Tissu ligneux secondaire

Un second caractère, particulier à de rares échantillons, affecte le système ligneux à n'importe quel degré de son évolution : à la base du rachis principal (pl. 136, fig. 4), à un niveau plus élevé (pl. 131, fig. 2 et pl. 136). Il y a adjonction inhabituelle d'une épaisseur de bois secondaire plus ou moins importante, sur le bord externe et même interne du faisceau ligneux primaire (pl. 136, fig. 3).

Un phénomène analogue s'est déjà produit dans les traces foliaires corticales de quelques tiges et les causes de ces modifications sont identiques, liées à des changements temporaires du milieu.

CHAPITRE V

RÉPARTITION GÉOGRAPHIQUE ET STRATIGRAPHIQUE DIAGNOSE *DE LYGINOPTERIS OLDHAMIA* (BINNEY) POTONIÉ

1. - Répartition géographique et stratigraphique

Parmi les Lyginodendrales, Lyginopteris oldhamia (Binney) Potonié est l'espèce la plus commune des bassins houillers européens.

1º Le niveau des « Coal Measures » en Angleterre dans les régions du Lancashire et du Yorkshire est le plus riche. Les principaux gisements se trouvent dans les localités suivantes : Halifax, Shore Littlleborough, Dulesgate, Oldham, Todmorden, Sharney Ford, Bacup, Hough Hill.

2º Les veines Cunégonde, Finefrau-Nebenbank, Katharina des bassins houillers de la Ruhr, de la Hollande, de la Haute-Silésie, et la couche Bouxharmont dans le bassin houiller belge renferment également, en quantité moindre, de nombreux restes de cette espèce. Les lieux de récolte sont : pour la Ruhr : Vollmond, Langendreer, Zollvexin, Bochum — pour la Haute-Silésie : Ostrau et Karwin — pour la Belgique : Masses Diarbois, Chératte, Sainte-Barbe et Werister.

II. - Diagnose

TIGE:

- Développement des tissus selon une symétrie radiale.
- Cycle phyllotaxique des traces foliaires du type 2/5.
- Dédoublement de la trace foliaire corticale.
- Disparition ou apparition de certains tissus dans les régions médullaire et corticale en allant de l'extrême base vers le sommet de la tige principale :
 - absence de sclérification médullaire aux deux extrémités de l'organe ;
 - anastomose des faisceaux périmédullaires, soit par l'intermédiaire d'un faisceau anastomosique supplémentaire dans la partie basale de l'organe, soit par simple juxtaposition à l'extrême base de ce dernier;
 - présence en rapport avec la longueur des internœuds de 5 à 6 faisceaux corticaux dans la région basale et moyenne de l'organe, de 3 ou 4 seulement vers l'extrême base et le sommet.

- Deux modes de ramifications axillaires :
 - ramifications de type I :
 cycle phyllotaxique des traces foliaires de 2/5;
 anastomose des faisceaux périmédullaires à l'extrême base de la ramification par

simple juxtaposition; dédoublement de la trace foliaire corticale.

- ramification de type II: cycle phyllotaxique des traces foliaires de 2/5; pas d'anastomose des faisceaux périmédullaires, pas de dédoublement de la trace foliaire corticale.
- Emission des racines adventives selon un cycle de 2/5.

FRONDE:

- Bipennée sur la tige principale, simplement pennée sur les ramifications.
- Pétioles des tiges principales :
 - pétiole principal : 2 faisceaux distincts dans la région basale,
 - 1 faisceau en « W » renversé dans la région moyenne,
 - 2 faisceaux en « V » renversé dans la région sommitale ;
 - pétiole primaire : 1 faisceau en « V » renversé ;
 - pétiole secondaire et d'ordre supérieur : 1 faisceau en « V » renversé ;
 - pinnule: 1 faisceau de contour ovale.
- Pétioles des ramifications de type I.
- Pétiole primaire : 2 faisceaux distincts dans la région basale,
 1 faisceau en « W » renversé dans la région moyenne,
 dislocation du « W » en 3 faisceaux. Concavité du faisceau central dirigée vers l'axe de la tige.
- Pétioles des ramifications de type I.
 - pétiole primaire : 1 faisceau unique dans la région basale.

ÉTAGE: Carbonifère inférieur et moyen.

GISEMENTS: Bassins houillers de la Ruhr, Belgique, Hollande, Angleterre, Écosse, Haute-Silésie.

CHAPITRE VI

ÉTUDE DES ESPÈCES POUVANT ÊTRE ASSIMILÉES A LYGINOPTERIS OLDHAMIA (BINNEY) POTONIÉ

A. - LYGINOPTERIS (= LYGINODENDRON) LACUNOSUM KUBART

I. — Caractéristiques de l'espèce d'après B. Kubart

Nous avons déjà vu, dans l'historique du genre Lyginopteris, que cette espèce avait été créée en 1911 par B. Kubart [59], pour des tiges provenant des coal balls récoltés dans les couches de charbon de Radnitz Braz en Bohême, dans « l'Unteren Karbon » du bassin d'Ostrava Karwina.

Cette même année [59], il donne une figuration d'une coupe transversale de tige de l'espèce (lame n° 106 K, pl. II, fig. 3).

En 1914 [60], il publie une seconde photographie [pl. II, fig. 6, lame 52 R (288)].

Pour B. Kubart, le caractère distinctif spécifique essentiel est en tout premier lieu la présence d'une écorce interne lacuneuse, liée à l'absence complète de trachéides dans la région médullaire centrale et d'anastomoses des faisceaux périmédullaires. Il indique brièvement la présence d'un anneau ligneux secondaire aussi important que celui de Lyginopteris oldhamia et l'existence de 5 cordons ligneux, distribués selon un cycle phyllotaxique de 2/5.

II. — Dimensions et structure des tiges assimilables à cette espèce

Les tiges figurées planches 140 et 141, planche 42, figures A à F, ont la même origine, mêmes dimensions et même configuration générale que les deux spécimens présentés par B. Kubart. Ils proviennent des restes d'échantillons récoltés par B. Kubart et dont une partie a malheureusement été égarée ou détruite pendant la dernière guerre.

Dans l'ensemble, ce sont des tiges de petites dimensions :

le diamètre est compris entre 5 et 14 mm, l'épaisseur du bois secondaire entre 0,8 et 2 mm.

1º Dimensions.

Nº des coupes	Diamètre moyen en mm	Épaisseur maximale du bois secondaire en mm	Diamètre moyen de la moelle en mm
135 Y	14	2	2,5
28 C	20	2,5	3
261	10,5	1,5	2
1735	12	2,6	?
240	5	1	1
113 N	7,5	0,5	1
1997	10	1,6	3
114 G	9	0,8	?
28 C	12,5	2	3,5
52 R (288)			
Kubart [60] (pl. II, fig. 6)	13	1,4	2
106 k			
Kubart [59] (pl. II, fig. 3)	11,2	1	2,5

2º L'écorce.

L'écorce se divise en trois parties, comme chez Lyginopteris oldhamia, et dans l'écorce interne on rencontre les éléments habituels : parenchyme, cellules sécrétrices et nids scléreux ; ces derniers sont petits et assez nombreux.

L'écorce moyenne, séparée de l'interne par un périderme très étroit, est effectivement formée d'un parenchyme fondamental lacuneux. Contrairement à ce que pensait B. Kubart, le caractère lacuneux de l'écorce n'est pas spécifique. L'écorce moyenne des tiges principales ou des rameaux de Lyqinopteris oldhamia est, elle aussi, lacuneuse (voir pl. 2, fig. D).

L'écorce externe est typiquement dictyoxylée et pourvue d'un épiderme glanduleux (pl. 140

fig. 3).

Une écorce d'origine secondaire sépare également la région corticale moyenne de la région corticale interne. Elle revêt l'aspect d'un mince filet circulaire sur la planche 140, figures 1 et 2.

3º Le bois secondaire.

Autour de la moelle, l'anneau n'a rien de particulier, si ce n'est que ses trachéides sont d'un petit calibre (pl. 140, fig. 1).

4º Le bois primaire.

Le bois primaire s'organise comme chez *Lyginopteris* en 5 groupes ligneux, répartis en un minimum de 5 faisceaux périmédullaires (n° 28 C 295, pl. 140, fig. 3; pl. 42, fig. C), ou davantage lorsque les caulinaires se sont dédoublés (pl. 140, fig. 2; pl. 42, fig. D).

Les faisceaux sortants quittent la moelle dans l'ordre phyllotaxique de 2/5; quand ils atteignent le cortex sous la forme d'un faisceau grossièrement triangulaire muni d'une ou deux plages parenchymateuses (pl. 42, fig. G à N), rien ne permet de les distinguer de ceux d'une tige quelconque de Lyginopteris oldhamia, mais la manière dont leur contour se modèle ultérieurement mérite d'être notée. Au lieu que le faisceau se dédouble dans chaque trace foliaire, celle-ci reste toujours impaire. Le faisceau creuse la région moyenne de son bord inférieur et constitue ainsi deux parties latérales. Le bord supérieur est jalonné de plusieurs plages parenchymateuses (4 ou 5) (pl. 42, fig. G à N).

Si l'évolution et la configuration finales diffèrent de celles d'une trace foliaire d'une tige principale de Lyginopteris oldhamia, elles rappellent très exactement les étapes morphologiques successives du bois primaire d'une ramification de type. II La figure A, planche 52, retrace l'évolution d'un cordon ligneux dans une tige de Lyginodendron lacunosum. Par comparaison avec la figure A, planche 33, les analogies avec celle d'un rameau axillaire de type II sont tout à fait suggestives.

5º La moelle.

C'est un tissu homogène uniquement parenchymateux qui compose la moelle. Quelques cellules sécrétrices se répartissent ça et là et aucun nid scléreux ne s'y remarque.

III. — Rapports de Lyginopteris (= Lyginodendron) lacunosum Kubart avec le rameau axillaire de type II de Lyginopteris oldhamia (Binney) Potonié

A une similitude d'évolution et de configuration des traces foliaires de Lyginodendron lacunosum et de la ramification axillaire de type II de Lyginopteris oldhamia s'ajoutent d'autres caractères communs ; les plus importants sont :

- leurs dimensions identiques (comparer les tableaux p. 61, 63, 77);
- l'existence d'un parenchyme cortical lacuneux;
- l'absence de toute sclérification de la moelle.

Résumé:

L'espèce telle qu'elle a été définie par B. Kubart, c'est-à-dire caractérisée par un parenchyme cortical lacuneux, est peu valable. La notion de parenchyme lacuneux, nous l'avons vu, ne peut aucunement être considérée comme ayant une valeur spécifique.

Cette espèce ne pourrait être maintenue que dans le cas où Lyginopteris oldhamia serait scindée en deux: l'une, en liaison avec le premier mode de ramification axillaire, conserverait l'appellation de Lyginopteris oldhamia, l'autre, correspondant au deuxième mode de ramification axillaire prendrait la terminologie des tiges avec lesquelles elles se confondent:

Lyginopteris (= Lyginodendron) lacunosum Kubart.

B. — LYGINOPTERIS (= LYGINODENDRON) HETERANGIOIDES KUBART

I. - Caractéristiques de l'espèce, d'après B. Kubart

La deuxième espèce définie par B. Kubart, dans les coal balls extraits de la veine à coke d'Ostrau-Karwiner, du Carbonifère de Haute-Silésie, se dénomme Lyginodendron heterangioïdes. Cette terminologie spécifique a été attribuée par l'auteur, dans le but de rappeler que la présence, dans la région médullaire de ces tiges, de quelques trachéides, en faisait une forme de transition entre les genres Lyginopteris Potonié et Heterangium Corda.

Il figure successivement deux sections transversales, en 1914 [60] (lame n° 90, p. 360; pl. II, fig. 5) et en 1931 [61] (pl. I, fig. 1).

Mise à part l'existence de trachéides dans la région médullaire, les autres caractéristiques sont celles de Lyginodendron lacunosum Kubart.

II. - Dimensions et structure des tiges assimilables à cette espèce

1º Dimensions.

A titre comparatif, nous donnons un tableau consignant les dimensions des échantillons rapportés à Lyginopteris (= Lyginodendron) heterangioïdes Kubart :

Nº des coupes	Diamètre moyen en mm	Épaisseur maximale du bois II en mm	Diamètre moyen de la moelle en mm
90 T (183)	15,5	1,5	2
b	11	1,3	${f 2}$
3457	10	1,5	2
90 C	11	2	2

2º Anatomie.

La description de tous les tissus constitutifs des tiges de cette espèce ne ferait que répéter ce qui a été dit au chapitre précédent à propos de Lyginodendron lacunosum. En l'absence de ces quelques éléments de métaxylème primaire de la moelle, la distinction entre Lyginopteris (= Lyginodendron) lacunosum et Lyginopteris (= Lyginodendron) heterangioïdes, s'avère impossible.

Les traits caractéristiques des sections présentées sur les planches 142 à 144 sont en toute évidence ceux de L. heterangioïdes. La figure 1, planche 142, montre effectivement, au sein de la moelle, un amas de cinq à six cellules qui, contrastant avec le tissu parenchymateux médullaire, attirent l'attention par leurs parois plus épaisses et plus brunâtres. Leur aspect et leurs dimensions sont absolument identiques à ceux des trachéides des faisceaux ligneux primaires périmédullaires. Les assimiler à du bois primaire, comme l'a compris B. Kubart, est très vraisemblable. Toutefois, une autre hypothèse mérite d'être envisagée.

Il faut remarquer que, dans les tout premiers stades d'un tissu en voie de sclérification, la possibilité de confusion avec un tissu ligneux est grande, en section transversale. Peut-être n'est-il pas erroné de voir dans ces éléments aux parois épaissies le début d'un nid scléreux également en voie de sclérification. D'autant plus que nous avons rencontré des coupes transversales de tiges principales ou de rameaux (pl. 117, fig. 1; pl. 120, fig. 4 et pl. 144, fig. 2), où l'hétérogénéité de la moelle est due à la seule présence d'un nid scléreux unique, dont l'ampleur est justement à peu près équivalente à celle du petit groupe d'éléments en question.

Les divers degrés de sclérification des parois sont particulièrement bien visibles sur la coupe de la figure 1, planche 144, où l'on peut se demander si les cellules brunâtres, dispersées tout à fait au centre de la moelle, sont l'homologue des cellules, inégalement sclérifiées, qui les enserrent en un manchon irrégulier, sombre.

Pour trancher la question, il faudrait pratiquer une coupe longitudinale dans ce groupe de cellules, laquelle nous renseignerait sur l'allure des ponctuations, la longueur des éléments et, par là même, sur leur véritable nature. Malheureusement, les coal balls récoltés jusqu'à maintenant ne

possèdent pas de tiges semblables. Tous les échantillons du type Lyginodendron heterangioïdes, mis à notre disposition, ne se composent que de lames minces, dont il ne reste rien du matériau à partir duquel elles ont été effectuées.

L'hypothèse qui attribue d'office une nature ligneuse et non scléreuse à ces quelques cellules englobées dans la moelle et qui associe leur présence à une distinction spécifique, ou mieux encore, leur alloue, dans l'évolution des Lyginoptéridacées, la fonction de maillon de transition entre deux genres (voir D. H. Scorr, p. 19) semble donc peu valable.

Des tiges qui, par la structure de leurs traces foliaires corticales (pl. 144, fig. 3 et 145, fig. 1), sont indéniablement à intégrer dans l'espèce L. oldhamia, comportent quelquefois, elles aussi, (C. e) de tels éléments dans leur région médullaire. D'ailleurs, nous avons vu (pl. 87, fig. 5) que la moelle d'un rameau axillaire de type I offrait, en proportion d'autant plus grande que son point d'attache avec la tige principale est proche, des trachéides isolées ou groupées de métaxylème primaire. (Là, leur nature ligneuse n'est pas sujette à caution, car on a pu assister à leur détachement à partir de faisceaux périmédullaires déjà constitués.)

La tige principale de Lyginopteris oldhamia elle-même, possède, à l'état jeune, des cellules aux parois sombres, dans une moelle dépourvue de nids scléreux (pl. 76, fig. 1).

En réalité, bien que le processus de formation des rameaux axillaires de type II soit différent de celui du type I, le tissu médullaire est perturbé. A sa périphérie, se différencient de petits faisceaux primaires et, quelquefois, dans la région centrale, certaines ramifications (pl. 111, fig. 1) renferment de maigres nids scléreux. En tout cas, qu'il s'agisse de futures fibres scléreuses ou de trachéides, des cellules aux parois brunâtres parsèment également la région médullaire des ramifications de Lyginopteris oldhamia de type II (pl. 104, fig. 2).

Résumé:

En considération de ce qui précède, la création de cette nouvelle espèce est très arbitraire et, conformément à l'anatomie générale de ses tiges où les cellules médullaires brunâtres représentent des éléments scléreux ou ligneux, son incorporation, aux côtés de Lyginopteris (= Lyginodendron) lacunosum, dans le groupe des rameaux axillaires de type II de Lyginopteris oldhamia, paraît plus conforme.

C. - LYGINOPTERIS (= LYGINODENDRON) AUSTRIACUM KUBART

I. — Caractéristiques de l'espèce, d'après B. Kubart

Le matériel récolté par D. Stur, à Radnitz Braz, dans la veine à coke du bassin houiller (= Carbonifère moyen) austro-hongrois, dans lequel B. Kubart a effectué de nombreuses lames minces, est à l'origine de la création par ce dernier d'une troisième espèce : Lyginodendron austriacum.

Les descriptions qu'il en donne sont très succinctes; le mémoire détaillé envisagé par l'auteur ne fut jamais publié, pour les raisons déjà mentionnées antérieurement.

Dans une première publication [57] (lame n° 2 Q; pl. 1, fig. 1), il figure la section transversale d'une tige rapportée à cette espèce. Malheureusement, la photographie n'est pas excellente et les détails structuraux ne sont pas très visibles.

La deuxième représentation de l'espèce [59] (lame 53 o; pl. II, fig. 1) n'a trait qu'à une portion de bois secondaire et d'écorce englobant un faisceau cortical à l'état double.

Dans ces deux notes, il met en relief l'existence, malgré la forte croissance en épaisseur de l'anneau ligneux secondaire, de trois traces foliaires corticales seulement, ce qui implique une phyllotaxie différente de 2/5. Il insiste également sur le caractère non lacuneux de l'écorce moyenne, par opposition à celle de Lyginodendron lacunosum. Il n'est nullement question de la structure de la moelle et de la configuration particulière des faisceaux corticaux.

II. — Dimensions et structure des tiges assimilables à cette espèce

C'est à l'université de Graz qu'il m'a été donné de revoir une partie du matériel d'étude de B. Kubart. Une partie seulement, car de nombreux échantillons (notamment l'un de ceux (53 O) qu'il figure) ont été détruits ou égarés au cours de la dernière guerre. Par contre, d'après les critères habituels (dimensions et configuration identiques de la tige considérée, ajoutée à la similitude des organes avoisinants), les lames numérotées : 25 (39); 2 R (37); 2Q (6); 2 O (4); 2 N (3); 2 M (2); 2 K (155); 53 V (306); 9 (voir pl. 93, fig. 2; pl. 94 et 95) renferment les sections transversales d'un même spécimen. A cette série s'adjoignent quelques coupes isolées : 135 Y; 75 M (pl. 148, fig. 3 et 4).

1º Dimensions.

Le tableau ci-dessous donne une idée de leur taille et de l'importance relative de certains tissus.

N° des coupes	Diamètre moyen en mm	Épaisseur maximale du bois II en mm	Diamètre moyen de la moelle en mm
9	22	5	3
53 V (306)	22	7	7
2 K (155)	25	5	5
2 Q (6)	25	5	5
2 R (37)	25	5	?
25 (39)	22	5	4
2 M (2)	22	5	
135 Y	15	2,5	
75 M	18	3	

Les différences de dimensions de la région médullaire de certaines coupes de la série 25 (39)... 9 proviennent d'une rétraction du parenchyme souvent accompagnée de sa destruction.

2º Le cortex.

Les trois parties corticales traditionnelles sont représentées. Le cortex interne se compose d'un parenchyme fondamental normal, mêlé de petits nids scléreux et de cellules sécrétrices. Il est séparé de l'écorce moyenne par un périderme relativement mince. L'écorce moyenne parenchymateuse a tendance à prendre un caractère lacuneux (pl. 95, fig. 2). Enfin l'écorce externe est typiquement dictyoxylée.

La zone corticale moyenne est encore séparée de la zone interne par un périderme (voir pl. 147, fig. 2).

L'écorce externe est entourée par un épiderme glanduleux observable sur les coupes transversales 53 V (306) (pl. 147, fig. 1) et 2 O (pl. 146, fig. 1).

3º Le bois secondaire.

Comme dans toutes les tiges de Lyginopleris, un anneau, ici assez épais (5 mm), de bois secondaire entoure la moelle. Les éléments constitutifs : rayons parenchymateux et trachéides en files radiales sont finement texturés (diamètre moyen d'une trachéide = 70μ).

4º Le bois primaire.

L'originalité de ces coupes réside dans le contour, la position, le nombre des faisceaux primaires médullaires et corticaux.

a) Faisceaux corticaux.

L'examen des coupes sériées figurées (planches 44 fig. A, 145, fig. 2; 146 et 147) décèle, le plus souvent, la présence effective de trois traces foliaires corticales (pl. 44, fig. A à D), comme l'a signalé B. Kubart. Toutefois, certaines offrent des traces manifestes de la sortie d'une quatrième (interruption du dictyoxylon cortex) (pl. 44, fig. F). L'une d'elles (pl. 44, fig. G; pl. 94, fig. 2) montre l'existence indubitable de quatre traces foliaires corticales. Cette dernière constatation n'entrave pas l'opinion de B. Kubart, selon laquelle la phyllotaxie 2/5 n'est pas de rigueur chez Lyginodendron austriacum, à condition toutefois de considérer qu'à un niveau supérieur, la plus âgée des traces foliaires corticales sera remplacée par le faisceau cortical le plus jeune. Ainsi, sur la planche 44, figure A, avec le mode de numérotation des faisceaux adopté jusqu'ici, il faudrait que (+ 2) se place un peu plus haut sur la tige, dans l'axe de symétrie de (+ 5). Il reste à savoir si ce processus est bien effectif. C'est à nouveau la méthode de superposition, par calque des coupes, qui va nous renseigner.

Les sections A et B de la planche 45 inférieures à la figure G de la planche 44, montrent une coıncidence respective parfaite des quatre traces foliaires. Il en est de même pour les coupes supérieures F, E, D, C, A, B de la planche 44 qui perdent successivement leurs traces foliaires (+5) et (+4).

La superposition des coupes 25 (39) et 53 V (306) (pl. 45, fig. C), de façon à ce que les traces foliaires de même âge coïncident, laisse entrevoir sans conteste que le faisceau sortant de la moelle, qui se dirige dans l'axe de (+5), n'est pas (+2) mais bien (0). La trace foliaire (+2) appartient à un cordon ligneux distinct de (+5).

De la même manière, la superposition des coupes 2 M (2) (pl. 44, fig. F) et 2 R (37) (pl. 44, fig. C) prouverait que (+ 1) ne s'achemine pas dans l'axe de (+ 4) mais suit le rayon passant à peu près à égale distance de (+ 4) et (+ 3), c'est-à-dire à l'emplacement où, à un niveau inférieur à 2 M (2), se rencontrerait la trace foliaire (+ 6).

Bien que la section transversale de la tige 53 V (306) (pl. 95, fig. 1; pl. 45, fig. A) n'offre que trois traces foliaires corticales, l'existence de cinq cordons ligneux distincts, disposés (pl. 94, fig. 2; pl. 44, fig. G) selon un ordre phyllotaxique de 2/5, [entre (+ 5) et (+ 4), s'intercale (+ 2) et entre (+ 4) et (+ 3) s'intercale (+ 1], est manifeste, contrairement à l'opinion de B. Kubart.

Un phénomène analogue affecte les rameaux axillaires de type I de *Lyginopteris oldhamia* (voir pl. 37, fig. A à F). Ce qui varie, c'est la configuration générale prise par la trace foliaire corticale la plus âgée.

Les figures Hà G et A, B des planches 44 et 45 permettent de reconstituer l'évolution de chacune des traces foliaires de la série et par là même d'en déduire celle d'une trace foliaire quelconque (pl. 47, fig. A¹ à A¹6). Ceci depuis le moment où elle pénètre dans le bois secondaire (pl. 47, fig. A¹6), sous la forme d'un faisceau ovale unique pourvu de deux plages parenchymateuses, jusqu'à son entrée dans un pétiole (pl. 47, fig. A¹ et G²) où elle se compose alors de trois parties. Le bord inférieur de la partie centrale allongée a une incurvation orientée vers le centre de la tige, quatre ou cinq plages parenchymateuses s'alignent à proximité du bord supérieur. Les deux portions latérales, plus ou moins rattachées à la partie moyenne, sont constituées chacune d'un faisceau ramassé sur lui-même, avec deux à trois plages parenchymateuses sur le bord supérieur, le bord inférieur étant assez profondément indenté.

Cette configuration dernière est acquise après des modelés successifs (pl. 47, fig. A et pl. 52, fig. B). Le faisceau impair est d'abord partagé en deux faisceaux ovales (pl. 47, fig. A¹⁸), lesquels s'éloignent l'un de l'autre tout en creusant leur bord inférieur (pl. 47, fig. A¹¹), puis se rapprochent à nouveau (pl.47, fig. A⁸, A⁷), finissent par se souder en leur milieu (pl. 47, fig. A⁶) en un arc semicirculaire aux extrémités légèrement étranglées (pl. 47, fig. A⁵ pl. 148, fig. 1) et gonflées au-delà de l'étranglement. Les deux extrémités vont se détacher presque simultanément de l'arc (pl. 47,

fig. A³; pl. 148, fig. 2). Il est malaisé de savoir si la rétraction de la partie centrale du faisceau (+5) de la coupe 53 V (306) (pl. 147, fig. 1; pl. 47, fig. G¹, G²) est naturelle on résulte simplement d'une compression artificielle de l'ensemble.

b) Faisceaux périmédullaires.

L'existence de cinq traces foliaires corticales suppose la présence corrélative de cinq faisceaux médullaires caulinaires, à partir desquels elles ont pris naissance.

La région médullaire, parfaitement bien conservée, de la coupe 53 V (306) (pl. 147, fig. 1 et pl. 45, fig. A), présente à sa périphérie cinq masses de métaxylème primaire plus ou moins étalées. Il convient de raccorder chacune d'elles à la trace foliaire avec laquelle elles sont en relation.

Nous avons, précédemment, déjà identifié le faisceau médullaire sortant (0), remplaçant de la trace foliaire (+ 5). La superposition des sections 2 R (37) (pl. 145, fig. 2; pl. 44, fig. B) et 2 K (155) (pl. 146, fig. 2; pl. 44, fig. G) détermine la position alterne gauche de (0) par rapport à (+ 5). Tous les caulinaires, sur les coupes sériées, telles qu'elles sont présentées sur les figures A à G et A, B des planches 44 et 45 se situeront donc à gauche de leur faisceau sortant, ce qui permet de retrouver à quel cordon ligneux s'incorporent les cinq faisceaux périmédullaires de la section 53 V (306) (pl. 46, fig. 1).

En faisant coïncider, par superposition avec 53 V (306), les faisceaux médullaires et corticaux, de la manière dont leur configuration ou leur évolution l'exigent, tous les faisceaux médullaires des coupes de la série peuvent être identifiés.

Tout de suite, de la comparaison des sections 53 V (306) (pl. 46, fig. 1), et 2 R (37) (pl. 46, fig. C), il apparaît en toute évidence, que la position respective des faisceaux médullaires varie, comme l'indique le tableau ci-dessous.

N° des coupes	Faisceaux médullaires		
	Rapprochés	Éloignés	
53 V (306)	(Caul. v) et (Caul. 11) (Caul. 111) et (Caul. 1)	(Caul. v) et (Caul. 111) (Caul. 1v) et (Caul. 1)	
2 R (37)	(Caul. v) et (Caul. III) (Caul. IV) et (Caul. I)	(Caul. v) et (Caul. 11) (Caul. 111) et (Caul. 1)	

Sur 53 V (306) (pl. 46, fig. I), les faisceaux médullaires caulinaires (Caul. v) et (Caul. II), d'une part, et (Caul. III) et (Caul. I), d'autre part, sont très rapprochés l'un de l'autre : par contre, une assez grande distance sépare les deux couples de faisceaux : (Caul. v) et (Caul. III), puis (Caul. IV) et (Caul. I).

Les rapprochements et écartements respectifs des faisceaux circum-médullaires de la section 2 R (37) (pl. 46, fig. C) sont inversés par rapport à ceux de 53 V (306). Les faisceaux (Caul. v) et (Caul. III) sont séparés par un mince filet parenchymateux, tandis que (Caul. IV) et (Caul. III) sont accolés.

De cette constatation, il faut déduire que les faisceaux médullaires de deux groupes ligneux voisins (V) et (III), par exemple (pl. 46, fig. I) séparés l'un de l'autre, à un niveau donné, par une certaine distance, convergeront l'un vers l'autre, un peu plus haut (pl. 46, fig. G), tandis qu'au-dessus. (pl. 46, fig. B), ils finiront par s'accoler. Après s'être réunis, par le cheminement inverse, les faisceaux vont se dissocier à nouveau. Un peu avant que les cordons ligneux (V) et (III) (pl. 46, fig. C) se soient fusionnés, l'accolement des caulinaires (IV) et (I) s'est déjà produit. La disjonction de ces derniers s'opère lorsque (— 1) s'individualise en se scindant de son caulinaire: (Caul. IV). De la même manière, ce dernier se rapproche alors de (Caul. II), après l'individualisation de (0), lorsque son caulinaire (Caul. V) a migré vers (Caul. III) (pl. 46, fig. A).

Ces rapprochements, puis écartements successifs des cordons ligneux périmédullaires constituent un véritable réseau autour de la moelle, matérialisé schématiquement sur la figure F planche 28.

Une édification du système ligneux primaire, à la périphérie de la moelle, absolument comparable à celle-ci, s'est déjà rencontrée dans la ramification axillaire de type I de la tige de Lyginopteris oldhamia. (Voir p. 58),

D'autres sections 75 M 98; 135 Y (pl. 148, fig. 3 et 4), par l'aspect de leur bois primaire (pl. 47, fig. A6 et A7), se rapportent à cette espèce créée par B. Kubart que nous identifions au rameau axillaire de type I de Lyginopteris oldhamia.

5º La moelle.

A première vue (pl. 147, fig. 1), la moelle semble composée d'un parenchyme homogène au sein duquel se dispersent des cellules sécrétrices isolées. Après observation microscopique, on distingue quelques petits groupes de cellules polygonales aux parois plus épaisses, lesquelles constituent sur une coupe longitudinale de véritables petites chaînettes (pl. 148, fig. 5). Elles peuvent sans ambiguïté être comparées aux nids scléreux sectionnés longitudinalement (pl. 54, fig. 1) qui se rencontrent dans la moelle de la région moyenne d'une tige principale de Lyginopteris oldhamia. Toutefois, il y a une différence très nette en ce qui concerne le degré de sclérification. Elle est très peu prononcée chez Lyginopteris (= Lyginodendron) austriacum.

III. - Structure des pétioles pouvant être assimilés à l'espèce de B. Kubart

Au moment de sortir de la tige (en tout cas pour les individus de grande taille), la trace foliaire s'est partagée en trois parties.

1º Rachis d'ordre «n» et «n+1».

A son entrée dans le rachis (pl. 148, fig. 2) directement relié au rameau, l'ensemble des trois parties du faisceau ligneux se dispose selon un arc de cercle à concavité dirigée vers l'axe de la tige. La partie centrale, allongée et arquée, pourvue de quatre à cinq plages parenchymateuses, le long du bord externe, se rend dans le rachis primaire, les deux latérales, arrondies, creusées sur leur bord interne et munies de deux plages parenchymateuses, doivent innerver, presque simultanément, les deux rachis secondaires sub-opposés ou alternes.

Des faisceaux ligneux, identiques à ceux-ci et incorporés dans les pétioles sont présentés, planche 149, figures 1, 4, 5. Certains ont dû subir une compression et la partie centrale semble recroquevillée sur elle-même (pl. 149, fig. 1). D'autres ont une région centrale dont l'arc est régulièrement arrondi, et ne diffèrent des premiers étudiés que par leur taille, plus petite (pl. 149, fig. 3).

Des pétioles contenant un système vasculaire qui rappelle l'un des faisceaux latéraux de la figure A¹ ou A², planche 47, se trouvent parmi les échantillons étudiés et donnent probablement une idée (pl. 149, fig. 2) de l'allure du faisceau ligneux dans les rachis secondaires.

2º Rachis d'ordre supérieur.

Les rachis interprétés comme des rachis d'ordre n + 1 (pl. 149, fig. 2, 3, 6, 7) émettent latéralement de petits faisceaux arrondis qui vasculariseront les pétioles tertiaires (pl. 47, fig. J).

Résumé:

La figure B, planche 52, reconstitue l'évolution générale du bois primaire dans la tige et les pétioles pouvant être assimilés à l'espèce définie par Kubart: Lyginopteris (= Lyginodendron) austriacum.

A plusieurs reprises, un rapprochement de cette espèce avec la ramification axillaire de type I

de Lyginopteris oldhamia s'est imposée.

L'existence d'une moelle à peine sclérifiée autour de laquelle les cinq cordons ligneux s'anastomosent en un même réseau d'où partent les traces foliaires sortantes, peu nombreuses dans le cortex (généralement trois dans une section transversale), dresse le tableau de leurs caractères communs. Les différences ont trait aux dimensions (plus grandes chez L. austriacum) mais surtout à la configuration prise par la trace foliaire sur le point d'innerver un pétiole, différences qui pourraient apparemment constituer une objection à la tentation, en raison de leurs affinités, d'assimiler Lyginodendron austriacum à une ramification axillaire de type I de Lyginopteris oldhamia. Les divergences relatives aux dimensions n'entrent pas vraiment en ligne de compte. Le diamètre élevé peut s'expliquer par le fait qu'il s'agit d'une ramification d'ordre inférieur à celles étudiées dans un précédent chapitre (p. 52) ou en provenance simplement d'une tige principale plus importante. Quant à la différence de configuration des traces foliaires corticales les plus âgées, il n'est pas exclu qu'un peu plus haut dans la série. les ramifications axillaires de Lyginopteris oldhamia (pl. 26, fig. À à F) prennent également, avant d'entrer dans leur pétiole, la même allure que celle de Lyginopteris (= Lyginodendron) austriacum. D'ailleurs, dans la série relative à cette dernière espèce, les sections inférieures 9 et 53 V (306) (pl. 45, fig. A et B) ont des traces foliaires où la fusion des deux faisceaux de (+5) n'a pas encore eu lieu et dont la configuration rappelle tout à fait celle des ramifications axillaires. Rien ne s'opposerait à les confondre avec celles-ci, si on les avait trouvées isolément.

A la lumière de cette étude, la validité de Lyginopteris (= Lyginodendron) austriacum Kubart est précaire, et son incorporation dans l'espèce Lyginopteris oldhamia, comme représentant le premier

mode de ramification axillaire, est très plausible.

CHAPITRE VII

ÉTUDE DE LYGINOPTERIS CORSINI nov. sp.

Tous les échantillons (tiges et pétioles) étudiés dans ce chapitre appartiennent, sans conteste, au genre Lyginopteris. Ils possèdent les caractéristiques du genre : épiderme glanduleux, aspect dictyoxylé de l'écorce, nombre et répartition des faisceaux du bois primaire dans les différents tissus de la tige.

A. - LA TIGE

I. - Dimensions

Le diamètre des échantillons rencontrés est compris entre 1 et 2 cm.

II. - Étude des différents tissus

1º Écorce et bois secondaire.

Ces tissus n'offrent aucune différence avec ceux d'une tige de Lyginopteris oldhamia (Binney) Potonié.

2º Bois primaire.

Le bois primaire se répartit comme dans L. oldhamia en cinq faisceaux périmédullaires alternant avec cinq faisceaux corticaux, distribués selon un cycle phyllotaxique de 2/5.

La morphologie et l'évolution du faisceau fournissent les critères de cette discrimination

spécifique.

Une succession de coupes sériées (nº 41 à 46; pl. 149, fig. 8; pl. 150, fig. 1 à 3) intéresse un pétiole en connexion avec une tige. Les tiges visibles dans ces sections ont toutes un diamètre moyen de 18 mm, une épaisseur de bois secondaire de 2 mm et présentent les mêmes déformations. La méthode qui consiste, après agrandissement, à superposer les sections à l'aide de calques, met en évidence leur parfaite coïncidence et permet bien d'affirmer qu'elles sont issues d'un même coal ball.

L'émission progressive hors de la tige du faisceau ligneux (+ 5) (pl. 48, fig. I à L) est parfaitement apparente. Par contre, il y a eu détérioration de la tige au niveau du faisceau (+ 1), mais l'existence et l'emplacement de ce dernier restent nettement indiqués par la présence du faisceau caulinaire (- 4) et par l'épaisseur moindre du bois secondaire, révélatrice du passage d'un faisceau primaire de l'anneau ligneux secondaire dans le cortex. Il devient alors possible de suivre les trans-

formations du faisceau primaire mésarche (muni d'une plage parenchymateuse sur le bord de laquelle, à l'image de *Lyginopteris oldhamia*, pointe le protoxylème) depuis sa naissance à la périphérie de la moelle jusqu'à son entrée dans le pétiole.

La course des faisceaux (0) à (+4), dans les quatre coupes sériées de la planche 48, fig. I à L, est absolument semblable à celle rencontrée chez L. oldhamia. L'évolution de chacune des traces foliaires (pl. 48, fig. H à A) est du même mode que dans cette espèce, jusqu'au stade (+4). Par contre, à partir de (+5) apparaissent de légères différences. Tout d'abord, la jonction des deux constituants primitifs de (+5) se fait plus tôt, puisqu'elle a déjà lieu dans le cortex de la tige et, de plus, la conformation prise par (+5) diffère quelque peu du «W» renversé, typique du faisceau du pétiole principal de L. oldhamia. Les parties qui correspondraient aux deux jambages extérieurs du «W» sont plus globuleuses que chez L. oldhamia et nettement resserrées à l'endroit de leur insertion avec la zone moyenne. Schématiquement, (+5) se compose d'une portion centrale, en forme d'arc à concavité tournée vers la périphérie de la tige, et de deux parties latérales ovales (pl. 48, fig. C et D).

Deux autres coal balls (n° 216 et 217) renferment chacun une tige (1 cm de diamètre) qui se range vraisemblablement dans cette espèce, comme en atteste l'allure de leur faisceau sortant (+ 5) (pl. 49, fig. H³ et H²). Avant que les deux éléments du faisceau (+ 5) ne s'unissent (pl. 49, fig. H³), une indentation médiane des bords inférieur et supérieur de chacun d'eux sont les indices du détachement ultérieur des portions latérales du futur faisceau principal en « W » (voir plus loin).

Toujours en ce qui concerne le faisceau (+ 5) (pl. 49, fig. H²) de la tige nº 216, il ne se distingue du faisceau (+ 4) (pl. 48, fig. E) de la tige représentée planche 149, figure 8 et 150, figures 1 à 3 que par la juxtaposition de ses deux constituants.

3º La moelle.

Assez mal conservée dans l'ensemble (pl. 150, fig. 2), est composée de parenchyme avec quelques cellules sécrétrices et de rares nids scléreux informes et disparates.

III. — Racines adventives

Dans la portion de tige intéressée par les coupes transversales sériées nº 41 (pl. 150, fig. 3; pl. 48, fig. L); nº 43 (pl. 150, fig. 2; pl. 48, fig. K); nº 44 (pl. 150, fig. 1; pl. 48, fig. 725) et nº 46 (pl. 149, fig. 8; pl. 48, fig. I), cinq racines sont émises successivement.

La méthode utilisée, à propos de L. oldhamia, pour démontrer que les racines adventives se distribuaient sur la tige, selon un cycle de 2/5, aboutirait aux mêmes résultats, dans le cas de Lyginopteris corsini (voir pl. 49, fig. A à E).

B. - LES PÉTIOLES

Les pétioles rapportés à cette espèce proviennent, pour la majorité, de coupes transversales non sériées. Une étude comparée de la morphologie de leur bois primaire a permis de décrire leur évolution structurale.

I. — Pétiole primaire

1º Région basale et moyenne.

Le faisceau sortant (+ 5) pénètre dans son pétiole correspondant, à l'état double (pl. 49, fig. H²) ou simple (après union des deux constituants ligneux initiaux (pl. 49, fig. G⁴). La formation du « W » renversé a donc lieu tout de suite à la base du pétiole principal ou dans sa région moyenne.

La tige incluse dans la série des coupes transversales 41... 46 (pl. 48, fig. I à L) est accompagnée de deux pétioles dont les faisceaux ont une structure comparable à celui contenu dans le pétiole de

la planche 149, figure 8. Grâce à un meilleur état de conservation, ils apportent des précisions quant à la conformation véritable du faisceau (+ 5) de cette dernière figure, dégradé en certains endroits au cours de la fossilisation. Il faut noter, par exemple, la présence de trois plages parenchymateuses, dans l'arc médian du « W » et d'une ou deux, dans chacune des parties latérales.

Dans l'échantillon n° 216, est incorporé un pétiole (pl. 48, fig. O) pourvu d'un faisceau aux dimensions et au contour (pl. 49, fig. G¹º) évoquant la figure de la planche 48. Ce pétiole, long de 5 cm, a son bois primaire moins altéré que dans la série de lames 41.... 46, ce qui facilite ainsi l'observation du stade précédant la séparation des deux parties latérales du « W ». Toujours dans ce coal ball n° 216 (face C), un morceau de tige englobe un faisceau (+ 5) (pl. 49, fig. H¹) où débute l'union de ses deux composants. L'individualisation des deux parties latérales du futur « W » est suffisamment bien prononcée pour justifier l'intégration de ce pétiole dans l'évolution d'une trace foliaire de cette espèce.

Deux autres pétioles (pl. 48, fig. P et M) peuvent, par la configuration de leurs faisceaux, très voisine de celle représentée planche 48, figure C, s'adjoindre aux précédents.

Parmi les nombreux pétioles que la Kökfloz a livrés, il en est un (pl. 151, fig. 2) dont le faisceau ligneux (pl. 49, fig. F 8) offre des ressemblances frappantes avec celui provenant d'un nodule de la veine Katharina, figuré planche 49 en G². Les deux portions latérales du faisceau primaire sont nettement distinctes de l'arc médian mais demeurent encore accolées à lui. Elles comportent deux plages parenchymateuses et l'arc médian, quatre.

L'individualisation des parties latérales du « W » s'accentue au fur et à mesure que les coupes transversales du pétiole primaire sont de plus en plus éloignées de leur point d'attache avec la tige. Le détachement complet est réalisé sur les pétioles contenus dans les lames n° E B (pl. 151, fig. 4; pl. 49, fig. F³) et n° 54 (pl. 151, fig. 7; pl. 49, fig. F³ et F³).

2º Région supérieure.

Le pétiole nº 54 (pl. 151, fig. 7; pl. 49, fig. F⁵ à F²) a été l'objet d'une série de dépelliculations successives. Elles ont permis de constater que lorsque les parties latérales du « W » s'étaient complètement dissociées de l'arc médian (pl. 94, fig. F⁵), ce dernier se désarticulait à son tour en trois éléments (pl. 49, fig. F³), munis sur leur bord supérieur d'une plage parenchymateuse pour les deux plus externes et de deux pour celui du centre. Les sections transversales pratiquées à des niveaux inférieurs, laissaient déjà entrevoir cette tripartition par la présence d'indentations très profondes (pl. 151, fig. 2; pl. 49, fig. F³) étranglant l'arc médian, aux endroits mêmes où s'effectuent les scissions ultérieures.

II. — Pétioles latéraux secondaires dans la région basale de la fronde

Le faisceau en « W » contenu dans le pétiole 8 M (pl. 49, fig. G⁸) montre un étranglement de la partie inférieure de ses branches latérales qui laisse entrevoir le détachement de portions de métaxy-lème destinées à innerver les pétioles secondaires alternes.

Cette séparation s'est accomplie sur la coupe n° 48 (pl. 151, fig. 3; pl. 49, fig. G°) qui recèle un pétiole dont le faisceau en « W » est voisin de celui représenté en G' sur la planche 49.

L'une de ces masses de métaxylème a dû s'engager dans un rachis secondaire, comme l'atteste l'expansion en doigt de gant de l'épiderme inférieur du pétiole n° 41, figuré planche 150, figure 9.

III. — Dislocation du pétiole primaire en rachis d'ordre secondaire dans la région sub-terminale de la fronde

Dès que le « W » s'est constitué, c'est-à-dire à la base du rachis primaire, les étranglements des deux branches latérales au niveau de leur point d'attache avec l'arc médian annoncent une désarticulation ultérieure (n° 46; pl. 150, fig. 7; pl. 49, fig. G⁴ n° 216; pl. 49, fig. G²;

nº 101 = 105 K; pl. 151, fig. 2; pl. 49, fig. F³). Celle-ci se réalise sur les sections transversales des pétioles nº E B (pl. 151, fig. 4; pl. 49, fig. F³) et 54 face A (pl. 151, fig. 7; pl. 49, fig. F⁵). Le bois du rachis primaire se compose alors de l'arc central et de deux faisceaux latéraux ovales, complètement indépendants.

Avant même que les branches latérales du « W » n'aient quitté le rachis primaire, l'arc médian de celui-ci se divise à son tour en trois parties (n° 54 face C; pl. 49, fig. F¹; n° 104 R; pl. 49, fig. F¹). A ce stade, le rachis primaire possède cinq faisceaux distincts, d'importance égale, et toujours disposés selon un « W » renversé.

La présence d'une double plage parenchymateuse dans la portion de métaxylème la plus centrale, ajoutée à une indentation médiane de ses bords inférieur et supérieur, sont les signes précurseurs d'une bipartition ultérieure.

A aucun moment on n'assiste à la bifurcation du rachis directement situé sur la tige. La fronde devait être simplement pennée. On peut penser, par analogie avec la fronde fertile de *Diplopteridium*, que ces divisions successives sont peut-être en liaison avec les ramifications fertiles supportant les organes mâles.

C. — RAPPORTS ET DIFFÉRENCES DE LYGINOPTERIS CORSINI AVEC LES AUTRES ESPÈCES

La tige principale de *Lyginopteris corsini* se distingue peu de celle de *L. odlhamia*; par contre, l'évolution du bois dans les pétioles qui s'y insèrent directement (rachis primaire) est très différente.

L'innervation des pétioles d'ordre supérieur a lieu, non pas par bipartition du « W » en deux parties équivalentes, mais par désarticulation successive, tout d'abord des branches latérales, puis de l'arc médian.

L'organisation du bois primaire dans le rachis primaire de L. corsini offre des similitudes avec celle rencontrée dans les pétioles primaires placés sur les ramifications de « type I » de Lyginopteris oldhamia (= Lyginodendron) austriacum. La distinction essentielle réside dans l'orientation de la concavité de l'arc central. En outre, la désarticulation de la partie centrale du faisceau n'a pas été observée dans les pétioles supportés par les rameaux de type I de L. oldhamia (L. austriacum).

On pourrait supposer que cette évolution du bois primaire n'affectait que les frondes fertiles d'une même espèce. Les frondes stériles réaliseraient leur bifurcation selon le mode le plus courant remarqué chez *L. oldhamia* ou *L. kubarti*. Ceci étant hypothétique, la création d'une espèce distincte de ces deux dernières s'impose.

D. - RÉPARTITION GÉOGRAPHIQUE ET STRATIGRAPHIQUE

Les bassins houillers apparemment les plus riches en cette espèce sont :

- 1º Le bassin de la Ruhr: la veine Katharina (limite entre le Westphalien A et B) a fourni de nombreux coal balls, principalement dans les localités de Werne et Langendreer.
 - 2º Le bassin belge : dans le niveau de Katharina également.
- 3º Le bassin de Haule-Silésie : dans les localités d'Ostrau et Karwin où se trouve la veine Kokflöz (qui correspond en France à un niveau du Namurien supérieur).
 - Les « Coal Measures » du bassin du Lancashire en sont relativement très pauvres.

E. - DIAGNOSE

TIGE:

- arrangement structural du type L. oldhamia.
- traces foliaires et racines adventives disposées selon le cycle phyllotaxique de 2/5.

FRONDE: simplement pennée.

PÉTIOLE PRIMAIRE : l'évolution du bois primaire varie :

- 1. Région basale : constituée d'une paire de faisceaux ;
- 2. Région moyenne: union des deux constituants en un seul faisceau au contour voisin d'un « W » renversé. Les branches latérales globuleuses et la concavité de l'arc médian, dirigées vers l'épiderme supérieur.
- 3. Région supérieure : division du faisceau, par détachement presque simultané des deux branches latérales du « W », suivie par une tripartition de l'arc médian.

PÉTIOLES LATÉRAUX SECONDAIRES ALTERNES: innervés par étranglement des extrémités inférieures du faisceau principal en « W », lequel détache une masse ovale de métaxylème.

ÉTAGE: Carbonifère inférieur et moyen.

GISEMENT: Bassins houillers de la Ruhr, Belgique, Haute-Silésie et Lancashire.

•		

CHAPITRE VIII

ÉTUDE DE LYGINOPTERIS KUBARTI (*) nov. sp.

Les pétioles étudiés ci-après se rangent dans le genre Lyginopteris (épiderme glanduleux, dispersion de nids scléreux dans le parenchyme fondamental et configuration générale du système vasculaire).

A. - LES PÉTIOLES

I. — Composition du bois primaire dans le pétiole principal

La tige de Lyginopteris kubarti demeure encore inconnue. L'évolution particulière du bois primaire des pétioles sert de critère à la distinction de cette nouvelle espèce.

1º Base du pétiole principal.

Les lames n° 124 N, 124 F, 124 R proviennent de la sériation d'un seul nodule ; ceci ressort de l'arrangement et de la permanence des mêmes organes. Il est possible de suivre en sections transversales le même pétiole (5 mm \times 4 mm), dans le parenchyme duquel est inclus une paire de faisceaux (pl. 51, fig. Λ^6 et Λ^7).

Cette dualité du système ligneux, à la base du pétiole principal (pl. 152, fig. 1; pl. 51, fig. A⁸), est commune à d'autres espèces, mais revêt des caractères propres :

- ici, chaque faisceau est affecté, au milieu de son bord inférieur, d'une échancrure concave beaucoup moins accusée et au rayon de courbure plus grand que chez L. oldhamia. Par ailleurs, la concavité se situe très près du sommet de chaque faisceau;
- les extrémités de chaque faisceau ligneux ne s'incurvent pas l'une vers l'autre aussi nettement que chez *L. oldhamia* et l'extrémité inférieure a très vite tendance à se redresser en direction de l'épiderme supérieur du pétiole (voir pl. 51, fig. A⁶).

^(*) Cette nouvelle espèce est dédiée à la mémoire du Docteur Kubart, la plus grande partie du matériel ayant été récolté par lui.

Les faisceaux (pl. 51, fig. A4) du pétiole figuré planche 152, figure 4, ont de grandes analogies avec ceux (pl. 51, fig. A6) précédemment décrits.

La concavité du bord inférieur des deux faisceaux est plus accentuée et leur écart moins

marqué.

Les figures A³ et A², planche 51, traduisent une disposition ultérieure; l'incurvation des faisceaux s'est encore accusée (pl. 51, fig. A²), ce qui situe les coupes dans une partie plus haute du pétiole principal et à une plus grande distance de son point d'attache avec la tige. Lorsque l'état de fossilisation est suffisant, près du bord externe de chaque faisceau existent (pl. 51, fig. A⁴) quatre petites plages parenchymateuses où s'accroche, sur la limite supérieure, un pointement brunâtre de protoxylème.

2º Région moyenne du pétiole principal.

Le rapprochement des deux faisceaux ligneux, amorcé dès la base du pétiole principal, se poursuit. A leur juxtaposition (pl. 51, fig. A²) succède leur jonction (pl. 152 et 153, fig. 2; pl. 51, fig. A¹ et B³).

L'indentation médiane très profonde de la partie centrale du faisceau principal est le témoin de son état double initial. Elle s'atténuera au fur et à mesure que l'union sera plus ancienne. Les sections sériées du pétiole représenté planche 50, figure D¹ à D⁵, correspondent aux étapes successives de cette évolution. A partir de D⁴ l'association des deux faisceaux initiaux est totale. Le faisceau principal unique prend alors l'aspect d'un « W » renversé aux sommets émoussés, ou mieux, d'un « double U ».

Les plages parenchymateuses ne sont pas toutes identifiables ensemble, sur une seule coupe. Les observations faites sur les divers échantillons permettent d'envisager l'existence d'une dizaine de plages pour ce faisceau en « double U ».

3º Sommet du pétiole principal.

En s'appuyant sur les analogies de contours, les faisceaux figurés en B⁵ et B⁴, planche 51, peuvent être rapprochés. Ils s'inscrivent dans une série de stades successifs (pl. 51, fig. A⁸ à A¹ puis B⁶ à B⁵ dans l'ordre). L'évolution est dominée par le creusement très accentué de la région centrale du faisceau le partageant symétriquement, par rapport à son plan médian, en deux parties en forme d'« U » (pl. 152, fig. 3).

C'est justement cette disposition en un « double U », cette fois parfaitement nette, qui autorise à dire que la coupe transversale schématisée planche 51, figure B⁵, se situe à un niveau plus élevé et ultérieur à ceux fixés par les figures A¹ et B⁶, planche 51. Cette allure en double « U » est d'autant plus prononcée que la section est prise dans une zone haute du pétiole principal. En effet, nous établirons plus loin que, dans les rachis primaires, après la bifurcation du pétiole principal, le bois a la configuration d'un « U ».

Les dessins présentés en B⁵ et B³ sur la planche 51, amenés à un grossissement permettant une comparaison valable, deviennent superposables avec une coïncidence presque parfaite. Nul doute que le faisceau du pétiole figuré planche 154, figure 2 (pl. 51, fig. B⁵) se dédoublera par la suite pour offrir l'image de celui de la figure B³ sur la planche 51.

Cette dissociation en deux « U » du faisceau principal, condition que laissait présager le double « U » antérieur, est réalisée sur de nombreux échantillons (pl. 152, fig. 3; pl. 51, fig. B4, B3, B2).

Les deux faisceaux en « U » ainsi formés vont s'écarter l'un de l'autre, au fur et à mesure que les sections horizontales seront proches du point de bifurcation du pétiole principal. Une simple confrontation des faisceaux dessinés en B4 et B2 sur la planche 51 met le fait en évidence.

Lorsque l'écartement a atteint son maximum, soit au lieu de bifurcation du pétiole principal (pl. 153, fig. 3), une bande de dictyoxylon cortex divise le parenchyme en son milieu (pl. 51, fig. B¹).

Elle correspond à la ligne le long de laquelle s'effectuera le partage du pétiole principal en deux rachis primaires équivalents. Une double indentation de l'épiderme inférieur de ces mêmes pétioles annonce également la bifurcation très prochaine du pétiole principal.

II. - Composition du bois primaire dans les pétioles primaires

D'après l'allure générale et les dimensions de leur faisceau (5 mm), un grand nombre de spécimens peuvent être assimilés à des rachis primaires de L. kubarti.

Superposons le faisceau de quelques uns d'entre eux à l'un des deux faisceaux ligneux d'un pétiole principal sur le point de bifurquer (pl. 51, fig. B² ou B¹). Divers dessins, établis au même grossissement, montrent qu'il y a coïncidence, donc même forme et même grandeur entre les faisceaux suivants figurés:

- Planche 50, figure P et faisceau de gauche sur la planche 50, figure K;
- Planche 50, figure O et faisceau de gauche sur la planche 50, figure L;
- Planche 50, figure B et faisceau de droite sur la planche 50, figure J;
- Planche 50, figure G et faisceau de droite sur la planche 50, figure J.

D'autres pétioles (pl. 50, fig. F et H), pourvus de faisceaux en « U », s'assimilent aussi aux rachis primaires de cette espèce (pl. 154, fig. 2 et 3; pl. 50, fig. I); seule la différence de taille (D = 2 mm) explique la non superposition de leurs faisceaux aux faisceaux principaux précédents. Cependant, leurs dimensions ne sont pas suffisamment faibles pour y reconnaître une appartenance à des rachis d'ordre secondaire ou tertiaire. Il n'y a qu'à comparer sur la planche 50, figures A¹ et A², la grandeur du faisceau destiné à un pétiole de deuxième ordre par rapport à celle du faisceau d'un rachis primaire. D'ailleurs, la considération des pétioles principaux nº 51 et Gl dont les faisceaux sont figurés planche 50, figures P et N, prouve bien que la bifurcation affecte des pétioles relativement petits (3 mm × 2 mm), d'où un diamètre inférieur à 2 mm pour les rachis primaires qu'ils vont former.

Selon l'importance du faisceau d'un rachis primaire, le nombre de plages parenchymateuses varie de cinq à dix.

Une remarque doit être formulée à propos des pétioles photographiés planche 154, figures 3 et 6. Tous deux possèdent un faisceau en forme d'« U ». L'un diffère du schéma donné habituellement à ce stade par une épaisseur moitié moindre (pl. 102, fig. 6) et c'est plutôt de Lyginorachis taitiana qu'il faut le rapprocher (voir Calder [19]). L'autre se distingue de tous les autres par la présence de bois secondaire accroché en deux ailes sur son bord supérieur. Cette formation supplémentaire peu fréquente se rencontre toutefois dans d'autres espèces et n'offre aucun caractère spécifique.

III. - Pétioles latéraux secondaires

Indistinctement dans le rachis principal ou dans le rachis primaire, les extrémités inférieures des faisceaux s'étranglent (pl. 51, fig. A²) et des masses ovales de métaxylème s'en détachent (pl. 51, fig. B⁶). Elles creusent leur bord inférieur (pl. 50, fig. D³) pour prendre l'aspect d'un « U » en entrant dans le pétiole latéral (pl. 50, fig. D³; pl. 51, fig. B⁶).

Notons que les émissions de pétioles latéraux étaient assez rapprochées puisque, entre les coupes extrêmes D¹ à D⁵ de la planche 50, distantes de moins de cinq centimètres, deux sorties successives ont eu lieu.

B. — AFFINITÉS ET DIFFÉRENCES DE LYGINOPTERIS KUBARTI AVEC LES AUTRES ESPÈCES

1º Avec Lyginopteris oldhamia.

L'espèce dont elle se rapproche le plus est L. oldhamia. Toutes deux ont une évolution vasculaire pour ainsi dire parallèle :

- a. De la base au sommet du pétiole principal, on assiste à l'union de deux faisceaux en un seul, lequel se divise ensuite en son milieu en deux, vascularisant alors les deux rachis primaires.
- b. L'innervation des pétioles d'ordre supérieur s'accomplit à partir des extrémités du faisceau émetteur principal ou primaire.

Les distinctions spécifiques sont d'ordre purement morphologique. Au départ, les deux faisceaux principaux basaux ont un contour différent d'une espèce à l'autre (comparer les fig. C et D de la planche 52). Dans la région moyenne du pétiole principal, la figure résultant de leur union est un « W » chez L. oldhamia et un double « U » chez L. kubarti. Le bois des rachis primaires prendra respectivement alors, dans chaque espèce, la forme d'un « V » (L. oldhamia) et d'un « U » (L. kubarti),

2º Avec Lyginorachis taitiana.

La forme en « U » est plus accusée chez Lyginorachis taitiana (pl. 154, fig. 4) que chez Lyginopteris kubarti où l'on note un resserrement prononcé des extrémités basales et une épaisseur plus grande de la partie sommitale du faisceau. Le contour du faisceau de L. kubarti est intermédiaire entre celle de Lyginopteris oldhamia et Lyginorachis taitiana (voir pl. 51, fig. F, G et H.).

C. - RÉPARTITION GÉOGRAPHIQUE ET STRATIGRAPHIQUE

Nous avons pu constater que dans le bassin de Haute-Silésie, Lyginopteris kubarti était assez abondant. Le bassin du Lancashire semble, par contre, assez défavorisé.

L'échelle de répartition stratigraphique va du Namurien (veine Kokflöz) au Westphalien (Coal Measures).

D. - DIAGNOSE

- PÉTIOLE PRINCIPAL DOURVU:
 - 1º A sa base de deux faisceaux distincts.
 - 2º Dans sa région moyenne d'un faisceau en double « U » résultant de l'union des deux précédents.
 - 3° Au sommet de deux faisceaux en « U » issus de la dissociation du double « U ».
- BIFURCATION DU PÉTIOLE PRINCIPAL en deux rachis primaires. Rachis primaires innervés par un faisceau en « U ».
- Vascularisation des pétioles d'ordre supérieur par étranglement des extrémités du faisceau principal, primaire ou secondaire, de masses ovales de métaxylème, puis en forme d'« U », à l'entrée des rachis secondaires.
- Tige inconnue.

CHAPITRE IX.

ÉTUDE DE LYGINOPTERIS SP.

Nous avons groupé dans ce chapitre quelques échantillons de tiges ou de pétioles, à structure typiquement lyginoptéridienne, qui s'éloignent des espèces étudiées jusqu'alors, par quelques caractères afférents au système ligneux primaire.

I. - Lyginopteris sp. 1

1º Tiges.

Les dimensions des spécimens rencontrés sont comprises entre 20 et 30 mm pour le diamètre moyen, et 4 mm pour l'épaisseur du bois secondaire.

La composition anatomique rappelle très étroitement celle des tiges principales de Lyginopteris oldhamia.

Elles s'en distinguent par la morphologie de la trace foliaire corticale la plus âgée (+ 5), dont l'un des deux constituants primitifs s'est scindé en deux, élevant ainsi le nombre de faisceaux à trois au lieu de deux (pl. 155 et 156).

2º Pétioles.

Les pétioles que nous avons inclus dans cette espèce possèdent justement un faisceau ligneux, construit sur le même modèle que la trace foliaire corticale (+ 5) des tiges précédentes. Ils sont d'abord divisés en trois (pl. 157, fig. 1, 2 et 4); le faisceau central est arrondi, muni, sur son bord supérieur, d'une ou deux plages parenchymateuses (pl. 157, fig. 4) et les deux latéraux, allongés, au bord interne concave, avec quatre plages parenchymateuses. A un niveau supérieur (pl. 157, fig. 3), les faisceaux latéraux doivent se partager en deux par leur milieu et donner alors cinq faisceaux d'égale grandeur (pl. 51, fig. D).

II. - Lyginopteris sp. 2

Deux coupes transversales de tiges sont rangées à part (pl. 158, fig. 1, 2). Il s'agit vraisemblablement, par leurs dimensions (10 et 17 mm) et leur moelle à peine sclérifiée, de ramifications ou des parties sommitales d'une tige principale.

Le caractère distinctif se trouve encore dans l'aspect un peu particulier de la trace foliaire (+ 5), laquelle rappelle celle des ramifications de type II de *L. oldahamia* (pl. 51, fig. E). Nous ne les avons point assimilées à cette dernière, du fait que les traces foliaires, plus jeunes, sont ici dédoublées.

CONCLUSIONS GÉNÉRALES

En dressant l'historique du genre Lyginopteris, nous avons vu qu'à l'espèce la plus connue Lyginopteris oldhamia (Binney) Potonié, s'en adjoignaient d'autres : Lyginopteris (= Lyginodendron) lacunosum Kubart, Lynopteris (= Lyginodendron) heterangioïdes Kubart, Lyginopteris (= Lyginodendron) austriacum Kubart. Elles désignent plus particulièrement des tiges.

En plus de celles-ci, certains auteurs ont envisagé la création d'espèces nouvelles pour des sections transversales ne renfermant que trois cordons ligneux et dont les faisceaux périmé-

dullaires constituaient une couronne continue autour de la moelle.

L'étude anatomique des nombreuses lames minces se rapportant au genre Lyginopteris a abouti à une meilleure connaissance de sa constitution et des espèces qu'il comporte.

Un des traits les plus marquants est que toutes les tiges sans exception possèdent cinq cordons ou groupes ligneux. Le chiffre de trois, mentionné par quelques paléobotanistes, résulte de deux phénomènes distincts, capables de se superposer. Le premier intéresse les faisceaux périmédullaires seulement. Il consiste en accolements et dissociations successifs entre les faisceaux caulinaire et sortant de deux groupes ligneux voisins. Le réseau ainsi construit autour de la moelle donne l'impression fausse d'une diminution du nombre des cordons ligneux. Le second concerne uniquement les faisceaux corticaux qui, dans plusieurs spécimens, ne s'élèvent pas à cinq. Là encore, il ne s'agit pas d'une disparition de certains cordons ligneux, mais simplement d'un raccourcissement progressif des internœuds, au fur et à mesure que les coupes horizontales pratiquées dans les tiges principales ou les ramifications se rapprochent du sommet de l'organe.

Ces cinq cordons ligneux se rendent dans les pétioles qui se disposent invariablement autour de la tige selon le cycle phyllotaxique de 2/5.

L'ordre d'émission des racines adventives est également de 2/5.

Dans la littérature, on a surtout mis l'accent sur l'existence de trois faisceaux corticaux au lieu de cinq. Par contre, la présence inhabituelle d'un petit faisceau supplémentaire parmi les faisceaux périmédullaires est généralement passée inaperçue. Il a été rangé dans les anomalies du genre ou inclus dans les faisceaux sortants normaux. En réalité, il correspond à une branche anastomosique reliant le faisceau médullaire sortant d'un groupe ligneux à celui du caulinaire du groupe voisin. Un deuxième mode de construction de réseau médullaire s'observe donc chez Lyginopteris oldhamia et affecte plus particulièrement les régions basales des tiges principales jeunes ou adultes.

Les espèces Lyginopteris (= Lyginodendron) austriacum Kubart, Lyginopteris (= Lyginodendron) lacunosum Kubart et Lyginopteris (= Lyginodendron) heterangioïdes Kubart s'assimilent respectivement au « premier » et « deuxième » types de ramification observés sur les tiges de Lyginopteris oldhamia. Notons que, dans le cas des ramifications de « type II », c'est encore selon le

cycle de 2/5 qu'elles sont émises.

Uniquement en ce qui concerne les pétioles, mis à part le genre Lyginorachis, ce sont ceux de l'espèce Lyginopteris oldhamia avec la fronde bifurquée classique du type Sphenopteris hoeninghausi qui sont toujours décrits dans la littérature. La réalité est plus complexe : sur les rameaux de « type I » de Lyginopteris odlhamia, le rachis en liaison directe avec la tige ne montre nullement la division typique en deux rachis primaires opposés, à l'encontre de l'espèce nouvelle Lyginopteris kubarti dont la configuration des faisceaux pétiolaires diffère de celle rencontrée chez L. oldhamia. Il en va de même pour Lyginopteris corsini nov. sp. qui possède une fronde non bifurquée et où l'évolution du bois dans les pétioles est très particulière.

Il ressort de cette étude que ces végétaux, prospérant à l'abri des grands arbres (Sigillaires, Lepidendrons...) de la forêt carbonifère, inscrits parmi les Ptéridospermées dans le genre Lyginopteris, aux dimensions modestes (les plus grandes tiges atteignaient 45 mm et leur hauteur ne devait pas dépasser un mètre), offrent du point de vue anatomique une grande plasticité.

Cette plasticité se manifeste aussi bien sur des formes spécifiquement distinctes qu'à l'intérieur d'une même espèce et, dans ce dernier cas, elle s'observe sur des individus jeunes ou adultes, des organes différents de la plante, et enfin sur un seul et même organe.

Comment se détecte-elle et quels sont les facteurs mis en jeu ? Elle apparaît quelquefois grâce à une répartition différente de plusieurs tissus. Par exemple, on peut noter la disparition concomitante, de la base vers le sommet, d'une tige principale de *L. oldhamia*, des nids scléreux de la moelle et des anastomoses interfasciculaires du bois primaire périmédullaire. Le tissu morphologiquement le plus malléable est indéniablement le tissu conducteur primaire (de première formation).

Nous venons de dire que l'existence des anastomoses périmédullaires n'est pas un caractère constant chez L. oldhamia; il faut ajouter que lorsqu'elles existent, elles se construisent différemment selon que le réseau ligneux constitué se trouve dans une tige principale ou dans un rameau. Pareillement, le contour des traces foliaires corticales d'une tige principale s'éloigne énormément de celui des traces qui vascularisent un rameau. Le mode même de formation des rameaux s'effectue de deux manières distinctes chez L. oldhamia. Le tissu parenchymateux, avec une fréquence moindre, offre des variantes d'un individu à l'autre; certains pétioles possèdent un tissu palissadique, alors que d'autres en sont totalement dépourvus. Dans ce dernier cas, les causes de ces modifications ne sont pas intrinsèques, liées à la constitution de l'espèce, mais sont directement sous l'influence de facteurs externes locaux (éclairement, sécheresse...). Sont à grouper également dans ce cadre, en dehors de l'âge de la plante considérée, les inégalités observées dans l'épaisseur de l'anneau ligneux secondaire et dans le diamètre moyen des trachéides qui le composent.

La mise en évidence de ces changements anatomiques au sein d'une seule espèce et la confrontation des caractéristiques de cette espèce avec celles instituées en l'absence de ces connaissances ont conduit, comme nous venons de le voir, à la suppression de certaines d'entre elles, telles : Lyginopteris (= Lyginodendron) lacunosum Kubart, Lyginopteris (= Lyginodendron) heterangioïdes Kubart, Lyginopteris (= Lyginodendron) austriacum Kubart.

Par contre, lorsque l'anatomie des échantillons étudiés ne permettait pas de les rattacher à une espèce connue quelconque, la création de nouvelles espèces s'est à nouveau imposée. C'est le cas de Lyginopteris kubarti, nov. sp, dont les contours et l'évolution du système ligneux des pétioles n'entrent pas dans la ligne d'évolution de ceux de Lyginopteris oldhamia.

L'historique du genre Lyginopteris lui-même montre qu'il a peu à peu englobé les genres d'organes Rachiopteris, Lagenostoma... au fur et à mesure que les liens entre les organes appartenant à cette plante étaient mis à jour.

Dans le domaine de l'écologie, il est reconnu que l'anatomie d'un végétal est révélatrice des conditions climatologiques du milieu où il vit. Ainsi, le tissu lacuneux est développé surtout chez les individus prospérant dans un milieu où le degré hygrométrique est élevé. Par contre, la sclérification d'un tissu indique plutôt un régime climatologique sec ou un éclairement particulièrement intense.

L'anatomie des tiges et des pétioles de Lyginopteris montre à la fois, par la présence d'un tissu lacuneux de l'écorce moyenne, les caractères d'une plante d'un milieu humide et ceux d'un milieu sec, par le développement relativement important des cellules scléreuses (nids scléreux médullaires et corticaux, bandes scléreuses du dictyoxylon cortex). L'association de ces deux caractères est probablement liée au fait qu'effectivement, l'atmosphère ambiante et le sol étaient humides (proximité des lagunes), mais qu'également la chaleur y était intense. C'est finalement à l'hypothèse d'un climat tropical humide au Carbonifère moyen que nous parvenons, avec toutefois des modifications assez importantes dans le degré d'humidité (probablement périodes plus ou moins longues de pluies), comme le laissent supposer les faux cernes fréquemment rencontrés sur l'anneau ligneux secondaire.

L'intérêt stratigraphique et géographique de ces plantes est assez limité. Elles s'étendent dans l'échelle stratigraphique, depuis le Namurien jusqu'au Westphalien B, avec un maximum d'expansion au Westphalien A. Géographiquement, elles ont peuplé les emplacements des bassins houillers européens (Angleterre, Écosse, Ruhr, Haute-Silésie, Bohême) et, avec moins de fréquence, ceux d'Amérique et d'Asie.

BIBLIOGRAPHIE

- [1] Andrews H. N. (1951), American coal balls Floras, Bot. rev., vol. 17, no 6, p. 431-469.
- [2] (1940). On the stelar anatomy of the Pteridosperms with particular reference to the secondary wood. Ann. Missouri Bot. Gard., t. XXVII, p. 51-118, pl. VIII.
- [3] Antevs E. (1925). The climatologic significance of annuals rings in fossils woods. Amer. J. Sc., t. 9, 5° sér., p. 296-302.
- [4] Arber E. A. N. (1901). Notes on the Binney collection of Coal Measures Plants. The type specimens of Lyginodendron oldhamium (Binney) Proc. Cambridge Phil. Soc., vol. XI, part. III, IV, p. 281-285, 2 fig.
- [5] (1906). The seed bearing habit in the Lyginodendree Proc. Cambridge Phil. Soc., vol. XIII, part. III, p. 158
- [6] ARNOLD C. A. et Steidtmann W. E. (1937). Pteridospermous plants from the Pennsylvanian of Illinois and Missouri. Am. J. Bot., t. 24, p. 644-650.
- [7] Arnold C. A. (1947). An introduction to Paleobotany. Mc. Graw Hill, New York and London, 433 p.
- [8] Bach D. (1955). Cours de botanique Générale et Reproduction des plantes vasculaires. Soc. Ed. Ens. sup. Paris, t. 1, p. 1-267.
- [9] BANGROFT N. ((1914). Pteridosperm anatomy and its relations to that of the Cycads; The New Phyt., vol. XIII, p. 41.
- [10] BILHUBER E. (1933). Beiträge zur Kenntnis der Organstellungen im Pflanzenreich; Bot. Arch. Leipzig, t. 35 p. 188-250, 57 fig.
- [11] BINNEY E. W. (1866). On fossil wood in calcareous nodules found in the upper foot coal near Oldham, Proc. Manchester Lit. Phil. Soc., vol. V, p. 113-116.
- [12] Bertrand C. E. (1941). Anatomie comparée des Ptéridospermées et des Filicales primitives. G. R. Ac. Sc. Paris, t. 213, n° 3, p. 143-145, 1 fig.
- [13] BOUREAU E. (1941). Évolution vasculaire comparée des Ptéridospermées et des Ptéridophytes. C. R. Ac. Sc. Paris, t. 213, nº 8, p. 294-296.
- [14] (1955, 1956, 1957). Anatomie végétale. Presses universitaires, Paris, t. 1-2-3, p. 1-733.
- [15] BOWER F. O. (1930). Size and form in Plants with special reference to the primary conductings tracts. London Mc. Millan and Co, t. XIII, 232 p.
- [16] Brenchley W. E. (1913). On Branching specimens of Lyginodendron oldhamium Will. Journ. Linn. Soc. Bot. London, vol. XLI, p. 349-356, 5 fig.
- [17] Brongniart Ad. (1822). Sur la classification et la distribution des végétaux fossiles. Mém. Mus. Hist. Nat. Paris, t. 8, pl. 1 à 6.
- [18] (1828). Prodrome d'une histoire des végétaux fossiles. Paris et Strasbourg, p. 50-51.
- [19] CALDER M. G. (1934-1935). Further observations on the genus Lyginorachis Kidston. Trans. R. Soc. Edinburgh, vol. LVIII, part. II, n° 22, p. 549-559, pl. I, II.
- [20] (1937-1938). On some undescribed species from the Lower Carboniferous Flora of Berwickshire; together with a note on the genus Stenomyelon Kidston. Trans. R. Soc. Edinburgh, vol. LIX, part. II (n° 10), p. 309-331, pl. I-II.
- [21] CANDOLLE M. C. (de) (1881). Considérations sur l'étude de la phyllotaxie. Arch. Sc. Phys. Nat. Genève, t. 5, 6° sér., p. 359-396, pl. VI.
- [22] (1895]. Nouvelles considérations sur l'étude de la phyllotaxie. Arch. Sc. Phys. Nat. Genève, t. 33, 5° sér., p. 121-147, pl. II.
- [23] CAMEFORT H. ET PANIEL J. (1962). Morphologie et anatomie des végétaux vasculaires. G. Doin, Paris, p. 1-359, pl. 1-44.
- [24] CARRUTHERS W. (1872). Notes on some fossil Plants of Coal Measures and Devon. Geol. Mag. London, vol. IX, p. 50-58, pl. II.
- [25] CHAUVEAUD G. (1921). La constitution des plantes vasculaires révélée par leur ontogénie. Payot, Paris.
- [26] Chodat R. (1893). Contribution à l'étude des anomalies du bois. Alti. d. Congresso bot. intern. di Genova, p. 144-156.
- [27] COLEMAN A. P. (1925). Late Palaeozoic climates. Amer. J. Sc., t. 9, p. 195.

- [28] COMBES R. (1946). La forme des végétaux et le milieu. Armand Collin, Paris, nº 240, p. 1-213.
- [29] CORDA A. J. (1867). Flora Protogea (Beitrage zur Flora der Vorwelt). 2e éd. Berlin.
- [30] Corsin P. (1952). Une fougère nouvelle, l'Ankyropteris bertrandi P. C. du Namurien de Haute-Silésie. The Paleobotanist, vol. I, p. 126-144, pl. 1-8.
- [30] CROOKALL R. (1930). Crossotheca and Lyginopteris oldhamia. Ann. Bot., vol. 44, p. 621-637, pl. 33-34.
- 32] (1931). The genus Lyginorachis Kidston. Proc. R. Soc. Edinburgh, vol. LI, p. 27-34.
- [33] (1932). Coal Measures Terminology. The Naturalist London, p. 111-114; p. 137-140; p. 175-176.
- [34] Danzé J. (1956). Contribution à l'étude des Sphenopteris. Les fougères sphénoptéridiennes du bassin houiller du Nord de la France. Serv. Géol. des H. B. N. P. C., Lille, p. 135-157.
- [35] DARRAH W. C. (1941). Studies of american coal balls. Amer. J. Sc., t. 239, p. 33-53.
- [36] DEYSSON G. (1954). Éléments d'anatomie des plantes vasculaires. S. D. E. S. Paris, p. 1-255.
- [37] DIX E. (1933). The succession of fossil plants in the Millstone Grit and the lower portion of the Coal Measures of the South wales Coal fields (near Swansea) and a comparison with that of the others areas. *Palaeonto-graphica*, vol. LXXXVIII, part. B, p. 158-202, pl. XX-XXI.
- [38] EMBERGER L. (1944). Les plantes fossiles dans leurs rapports avec les végétaux vivants. Masson et Cie Paris, p. 269-418.
- [39] (1960). Les végétaux vasculaires. Paris, Masson, 2 fasc., 1540 p.
- [40] ENDLICHER S. (1810). Synopsis Coniferarum fossilium. Sangalli.
- [41] FÉLIX (1886). Untersuch uber den inneren Bau Westfälisher Carbon Pflanzen. Abb. d. k. Geol. Land. Berlin, vol. VII, p. 61.
- [42] GLOCK W. S. ET AGERTER (1963). Anomalies observées dans les anneaux de croissance des arbres. Endeavour, vol. XXII, nº 85, p. 9-13.
- [43] GOTHAN W. ET WEYLAND H. (1954). Lehrbuch der Paläobotanik. Berlin, 535 p.
- [44] (1954). Pflanzengeographisches aus dem mitteleuropäischen Karbon. Geol. Disch., vol. 3, n° 3, p. 219-257, pl. I-V.
- [45] (1913). Die oberschesische Steinkohlenflora. Abh. K. Preuss. geol. Landes (N. F.) Berlin, Teil. I, Heft 75, p. 49.
- [46] GOURLIE W. (1844). Notice of the fossil Plants in Glasgow Museum. Proc. Phil. Soc. Glasgow, vol. I, p. 105.
- [47] HARTUNG W. (1935). Flora und alterstellung des Karbon in Westbalban (bulgarien). Palaeontographica Stuttgart, p. 52-99, pl. X-XV.
- [48] HIRMER M. (1922). Zur lösung des Problems der Blattstellungen. Iena.
- [49] (1928). Über Vorkommen und verbreitung der Dolomitknollen und deren Flora. C. R. Congrès de Stratigraphie carbonifère d'Heerlen, p. 302.
- [50] (1931). Zur Kenntnis der Schraubenstellungen im Pflanzenreich, Planta, vol. XIV.
- [51] (1933). Zur Kenntnis der Strukturbieten den Pflanzenreste des Jüngeren Palaeozoikums. Palaeontographica, vol. LXXVIII, Abt, B, p. 57-113, pl. VIII-XIV.
- [52] Jongmans W. J. (1952). The female fructification of Sphenopteris hoeninghausi and the supposed relation of this species with Crossotheca. The Paleobotanist, vol. I, p. 267-276.
- [53] (1929-1930). On the fructification of Sphenopteris hoeninghausi and its relation with Lyginodendron oldhamium and Crossotheca schatzlarensis. Proc. Fifth. Intern. Bot. Congr. Jaarveslag. Cambridge, p. 77-81.
- [54] Kidston R. (1905). On the occurrence of Microsporangia in organic connection with the foliage of Lyginodendron. Proc. R. Soc. Edinburgh, vol. 76, p. 358.
- [55] --- (1923-1925). Fossil Plants of the Carboniferous rocks of Great Britain. Mém. Geol. Surv. of Great Britain Palaeontology, London, vol. II, part. I-VI, p. 9.
- [56] KOOPMANS R. G. (1928). Researches on the flora of the coal balls from the « Finefrau-Nebenbank » horizon in the province of Limburg. The Netherlands. Geol. Bur. wor. het Nederl. Myngebied, p. 1-53.
- [57] Kubart B. (1908). Pflanzenversteinerungen enthaltende knollen aus dem Ostrau-Karwiner Kohlenbecken. Sitzb. d. k. Akad. d. Wiss. math. nat. Kl. Bd. 117, Abt. 1, p. 573-578, pl. I.
- [58] -- (1910). Untersuchungen über die Flora des Ostrau-Karwiner Kohlenbeckens. 1. Die Spore von Spencerites membranaceus n. sp. (enthalt u. a. die Neubennung der 1908 abgebildeten Lyg. austriacum und Euheterangium schusteri. Denkschr. Kl. d. k. Akad. Wiss. math. nat. Wien, Bd. 85, p. 83-89, pl. I.
- [59] (1911). Corda's Sphaerosiderite aus dem Steinkohlenbecken Radnitz-Braz in Böhmen nebst Bemerkungen über Chorionopteris gleichenioides Corda. Sitz. d. k. Akad. Wiss. math. nat. Wien, Bd. 120, Abt. 1, p. 1-13, pl. I-II.

- [60] (1914). Über die Cycadofilicineen Heterangium und Lyginodendron aus dem Ostrauer Kohlenbecken Osterr. Bot. Zeitschrift, p. 8-19, pl. I-II.
- [61] (1931). Untersuchungen über die Flora des Ostrau-Karwiner Kohlenbecken. 2. Ein Lyginodendron stämmchen mit zwei Zu wachszonen. Denk. math. nat. Kl., Bd. 102, Abt. II, p. 369-372, pl. I.
- [62] Κυκυκ P. (1938). Geologie des Niederrheinisch-Westfälischen steinkohlengebietes. Julius Springer Berlin, p. 706-743.
- [63] Lemoignes Y. (1961). Études analytiques et comparées des structures internes des Sigillaires. Notion d'aquixylème dans la série des végétaux fossiles et actuels. *Masson*, *Paris*, p. 470-634, pl. 1-20.
- [64] LESTIBOUDOIS Th. (1848). Phyllotaxie anatomique. Ann. Sc. Nat. Paris, t. 10, 3° sér., p. 19-105.
- [65] Lomax J. (1902). On some features in relation to Lyginodendron oldhamium. Ann. Bot., Oxford, vol. XVI, p. 601-602.
- [66] Mentzel O. (1904). Beiträge zur Kenntnis der Dolomitvorkommen in Kohlenflözen. Gluck auf Essen, p. 1164-1171.
- [67] Nemejc F. (1938). A revision of the Carboniferous and Permian floras of the coal districts of central Bohemia. Sphenoptéridées. The Czech. Acad. Sc. Prague, vol. 21, part. II, p. 1-24, pl. I-III.
- [68] (1950). Contribution to the knowledge of the fossil Plants and the Stratgraphy of the slovakian carboniferous. Bull. intern. Ac. Tchèque Sc. math. nat. méd. Prague, vol. XLVIII, p. 107-143, pl. I-IV.
- [69] Noe A. C. (1931). Evidences of climate in the morphology of Pennsylvanian Plants. Illinois State Geol. Surv. Chicago, t. III. Bull. 60, p. 283-289.
- [70] Obré A. (1931). Flores fossiles, Fougères carbonifères et Ptéridospermées. Ens. Sc. Paris, nº 42 p. 44-54, nº 44 p. 109-116.
- [71] OLIVER F. V. ET SCOTT D. H. (1904). On the structure of Palaeozoic seed Lagenostoma lomaxi, with a statement of the evidence upon which it is referred to Lyginodendron. Phil. Trans. R. Soc. London, vol. 197, p. 193-247, pl. IV-X.
- [72] PATTEISKY K. (1929). Die Torfdolomite vom funften Jaklowetzer Flöz der Ostrauer Schichten. Zeitschrift des Oberschlesischen Berg und Hüttenmannischen Vereins, Z. z. Katowice, Heft 2, p. 2-4, Heft 10, p. 1-2.
- [73] (1957). Die Phylogenetische Entwicklung der Arten von Lyginopteris und ihre Bedeutung für die Stratigraphie. Mitteilung. d. Westfäl. Berg. Bochum, Heft 12, p. 59-83, pl. I-IV.
- [74] Plantefol L. (1947). Hélices foliaires, point végétatif et stèles chez les Dicotylédones. Rev. gén. Bot. Paris, t. 54, p. 49-78.
- [75] (1948). La théorie des hélices foliaires multiples. Masson, Paris, 154 p.
- [76] (1949). La phyllotaxie. Extr. Comptes rendus du colloque intern. du C. N. R. S. sur la morphogenèse, Strasbourg.
- [77] POTONIÉ H. (1899). Lehrbuch der Pflanzenpalaeontologie mit besondere Rücksicht auf die Bedürfnisse des geologen. Dümmber Berlin, p. 170-175 et p. 230-233.
- [78] (1906). Abbildungen und Beschreibungen fossiler Pflanzen Reste. König. Preuss. Geol. Land. u. Bergakad, t. 69, n° 4, p. 1-49.
- [79] (1921). Lehrbuch der Paläobotanik. Berlin 2e édit., 537 p.
- [80] Rosenthal M. (1904). Über die Aus bildung der Jahresringe an der Grenze des Baumwuchses in den Alpen. Wissenschaf. Beilage z. Jahresbericht d. Ersten Realschule in Berlin Progr. nº 130, p. 1-24, pl. I.
- [81] Sanio K. (1872). Über die Grösse der Helzzellen bei der gemeinen Kieffer (Pinus silvestris). Jahrb. Wiss. Bot., t. 8, p. 401-420.
- [82] Scott D. H. (1902). On the primary structure of certain palaeozoic stems with the *Dadoxylon* type of wood, *Trans. R. Soc. Edinburgh*, vol. XL, p. 331-365.
- [83] (1923). Studies in Fossil Botany. A et C. Black, L. T. D. London, 3° édit., part. II, p. 1-431.
- [84] SEWARD A. C. (1897). A contribution to our knowledge of Lyginodendron Ann. Bot., vol. XI, p. 65-86.
- [85] (1917). Fossil Plants. Biological Sér. Cambridge. University Press, vol. III, p. 1-420.
- [86] Stopa S. Z. (1957). Subdivision stratigraphique du Houiller dans le bassin houiller de la Haute-Silésie. Inst. Geol. Bull., nº 115, p. 195-262.
- [87] Stur D. (1877). Die Culmflora der Ostrauer und Waldenburger Schichten. Abh. Geol. Reichsanst. Wien, Bd. VIII, Heft II, p. 292-301.
- [88] (1885). Über die in Flözen reiner Steinkohle enhaltenen Steinrunmassen und Torfsphärosiderite. Jahrb. d. K. K. Geol. Reichsanstalt Wien, Bd. 35, p. 613-648.
- [89] THOMAS H. (1954). Evolutionary trends in the Pteridosperms. 8e Congr. intern. Bot., Sect. 2, 4, 5, 6, p. 152-154.
- [90] VAN TIEGHEM PH. (1884). Traité de Botanique. Librairie Savy Paris, p. 1-834.
- [91] Walton J. (1935). Scottish Lower Carboniferous Plants. Trans. R. Soc. Edinburgh, vol. 58, p. 313-337.
- [92] (1963). The Pteridosperms. Trans. R. Soc. Bot. Edinburgh, t. 39, p. 449-459.

- [93] WHITE D. (1899). Fossil Flora of the Lower Coal Measures of Missouri. Geol. Surv. Mon., vol. XXXVII.
- [94] WILLIAMSON W. C. (1869). On the structure and affinites of some exogenous stems from the Coal Measures. Month. Micros. J., vol. II, p. 66-72.
- [95] (1872). Notice of further researches among the plants of the Coal Measures. Proc. R. Soc. London, vol. 26, p. 435.
- [96] (1873). On the organisation of the Fossil Plants of the Coal Measures; Dictyoxylon, Lyginodendron and Heterangium. Phil. trans. R. Soc. London, vol. 163, part. IV, p. 377-408.
- [97] (1874). On the organisation of the Fossil Plants of the Coal Measures. Phil. trans. R. Soc. London, vol. 164, part. V, p. 684.
- [98] (1876). On the organisation... vol. 166, part. VII, p. 23.
- [99] (1877). On the organisation... vol. 177, part. VIII, p. 234.
- [100] ET Scott D. H. (1895). Further observations on the organisation of the Fossil Plants of the Coal Measures. Phil. Trans. R. Soc. London, vol. 186 B, part. III, p. 703.
- [101] ZALESSKY M. D. (1910). On the discovery of the calcareous concretions known as coal balls in one of the seams of the carboniferous strata of the Donetz basin. Bull. Acad. Imp. Sc. St Petersbourg, p. 477-480.
- [102] ZIMMERMANN W. (1959). Phylogen der Pflanzen. Gustav Fischer verlag Stuttgart, 777 p.
- [103] Zeiller R. (1900). Éléments de Paléobotanique. Carré et Naud, Paris, 421 p.



Coupes transversales et longitudinale pratiquées dans une tige principale de Lyginopteris oldhamia (BINNEY) POTONIÉ.

Fig. A. - Coupe transversale de la région presque sommitale.

Lame mince nº 283.

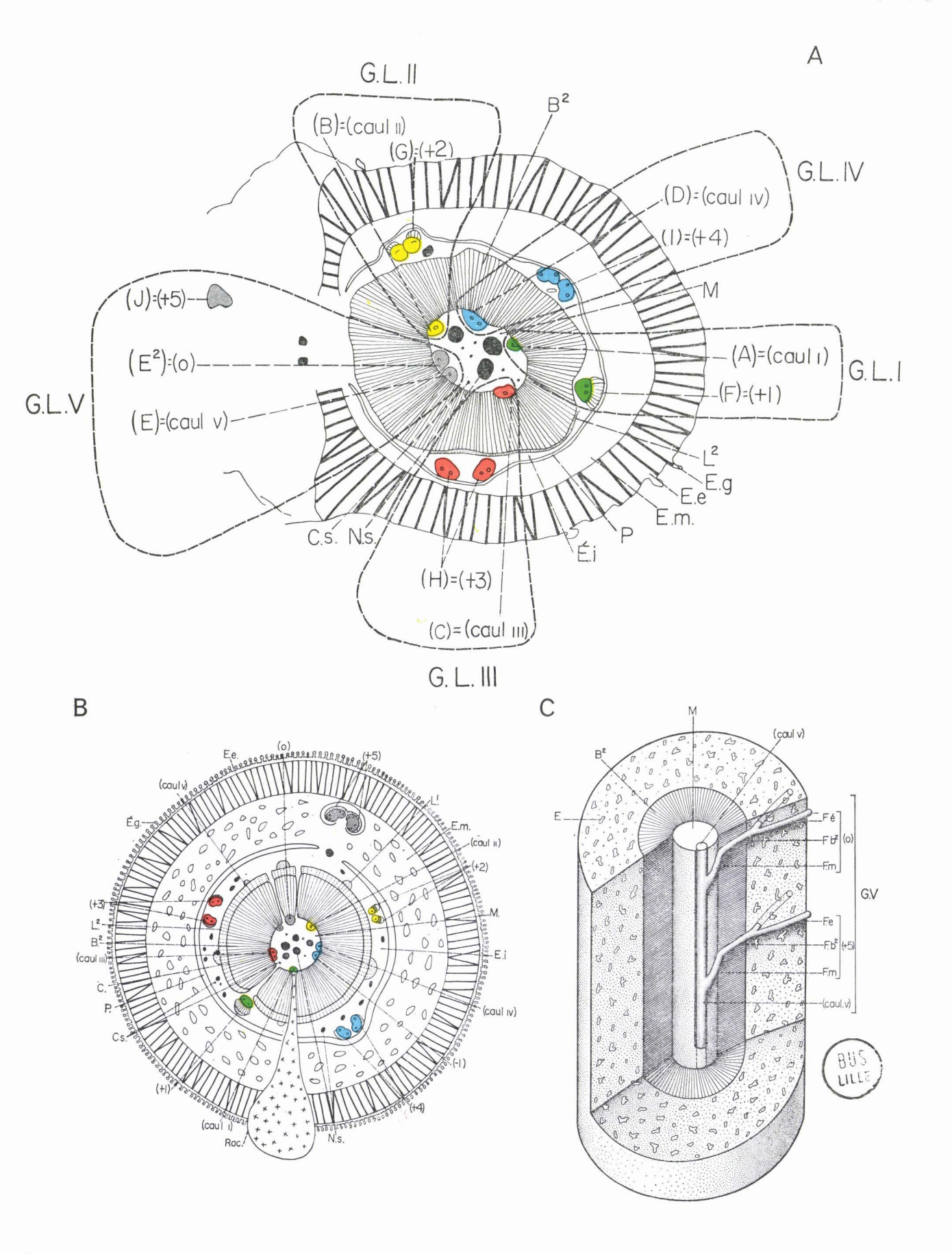
Origine: Bacup (Lancashire). (Voir pl. 53, fig. 1.) Niveau: Coal Measures.

Collection: Université de Bruxelles.

Gr. : = 7.

Fig. B. - Coupe transversale théorique de la région presque sommitale.

Fig. C. - Coupe longitudinale théorique mettant en évidence la course d'un cordon ligneux.



Structure des tissus de la tige principale de Lyginopteris oldhamia (Binney) Potonié.

Fig. A. - Coupe longitudinale tangentielle du dictyoxylon cortex.

Lame mince no A.

Origine: Bacup (Lancashire). Niveau: Coal Measures.

Collection : Université de Reims.

Gr. := environ 45.

Fig. B. - Coupe longitudinale des fibres ligneuses du dictyoxylon cortex.

Lame mince nº (sans numéro). Origine: Shore Littleborough (Lancashire). Niveau: Coal Measures.

Collection : Université de Liège.

Gr. : = 170.

Fig. C. - Coupe transversale des fibres scléreuses du dictyoxylon cortex.

Lame mince no 75. Origine: Halifax (Yorkshire).

Niveau: Coal Measures.

Collection : Université de Liège. Gr. : = 170.

Fig. D. - Coupe transversale de l'écorce moyenne lacuneuse.

Lame mince no 75 (voir pl. 55, fig. 3). Origine: *Halifax (Yorkshire)*.

Niveau : Coal Measures.

Collection : Université de Liège.

Gr.: 170.

Fig. E. - Coupe transversale des cellules scléreuses et sécrétrices.

Lame mince nº 78. Origine: Shore Littleborough (Lancashire).

Niveau : Coal Measures.

Collection : Université de Liège.

Gr.: 170.

Fig. F. - Coupe transversale d'une cellule à massif sécréteur.

Lame mince no 79 (voir pl. 56, fig. 2). Origine: Shore Littleborough (Lancashire). Niveau: Coal Measures.

Collection : Université de Liège.

Fig. G. - Coupe transversale de l'écorce secondaire (périderme) et d'une portion de l'écorce primaire interne.

Lame mince no 3 B.

Origine: Todmorden (Yorkshire).

Niveau: Coal Measures.
Collection: École des Mines de Bochum.
Gr.: = 25.

Fig. H. - Coupe transversale de l'écorce interne (près du périderme).

Lame mince nº 78. Origine: Shore Littleborough (Lancashire).

Niveau: Coal Measures.

Collection : Université de Liège.

Gr. : = 170.

Fig. I. - Coupe transversale de l'écorce interne (près du bois secondaire).

Lame mince nº 78.
Origine: Shore Littleborough (Lancashire).
Niveau: Coal Measures.

Collection : Université de Liège. Gr. : = 170.

Fig. J. - Coupe transversale des trachéides secondaires au niveau d'un faux cerne.

Lame mince no 17.

Origine: Lancashire.

Niveau: Coal Measures.

Collection : Université de Lille.

Gr. := 20.

Fig. K. - Coupe longitudinale tangentielle du bois secondaire de l'anneau ligneux.

Lame mince no R1.

Origine : Lancashire. Niveau : Coal Measures.

Collection : Université de Reims.

Gr. : = 45.

Fig. L. – Coupe longitudinale radiale du bois secondaire de l'anneau ligneux.

Lame mince nº 79.
Origine: Shore Littleborough (Lancashire).
Niveau: Coal Measures.
Collection: Université de Liège.

Gr. : = 170.

Fig. M. – Angles α et β formés par les axes de symétrie des faisceaux caulinaires et corticaux en coupes transversale et longitudinale.

Fig. N. - Coupe transversale des files radiales de

trachéides. File normale (file de gauche).

Files anormales (file centrale et file de droite).

Lames minces no 4 Lx III et 6 Lx III.

Origine: Dulesgate (Lancashire).

Niveau : Coal Measures.

Collection : Université de Lille. Gr. : = 25.

Fig. O. - Coupe longitudinale, radiale, des rayons parenchymateux.

Lame mince no 79.
Origine: Shore Littleborough (Lancashire).
Niveau: Coal Measures.

Collection : Université de Liège.

Gr. : = 170.

Fig. P. - Coupe transversale des trachéides secondaires et des rayons parenchymateux.

Lame mince no 6 Lx III.

Origine: Dulesgate (Lancashire). Niveau: Coal Measures.

Collection : Université de Lille.

Gr. : = 25.

Fig. Q. - Mise en évidence de la verticalité du caulinaire.

Q1 : Coupe transversale supérieure d'un frag-

ment de Tige.

Q² : Coupe transversale inférieure d'un frag-ment de tige. Peels sections effectuées dans le coal-ball nº 2 501.

Origine: Bacup (Lancashire).

Niveau : Coal Measures.

Collection: Université de Liège. Gr. : = 1,5.

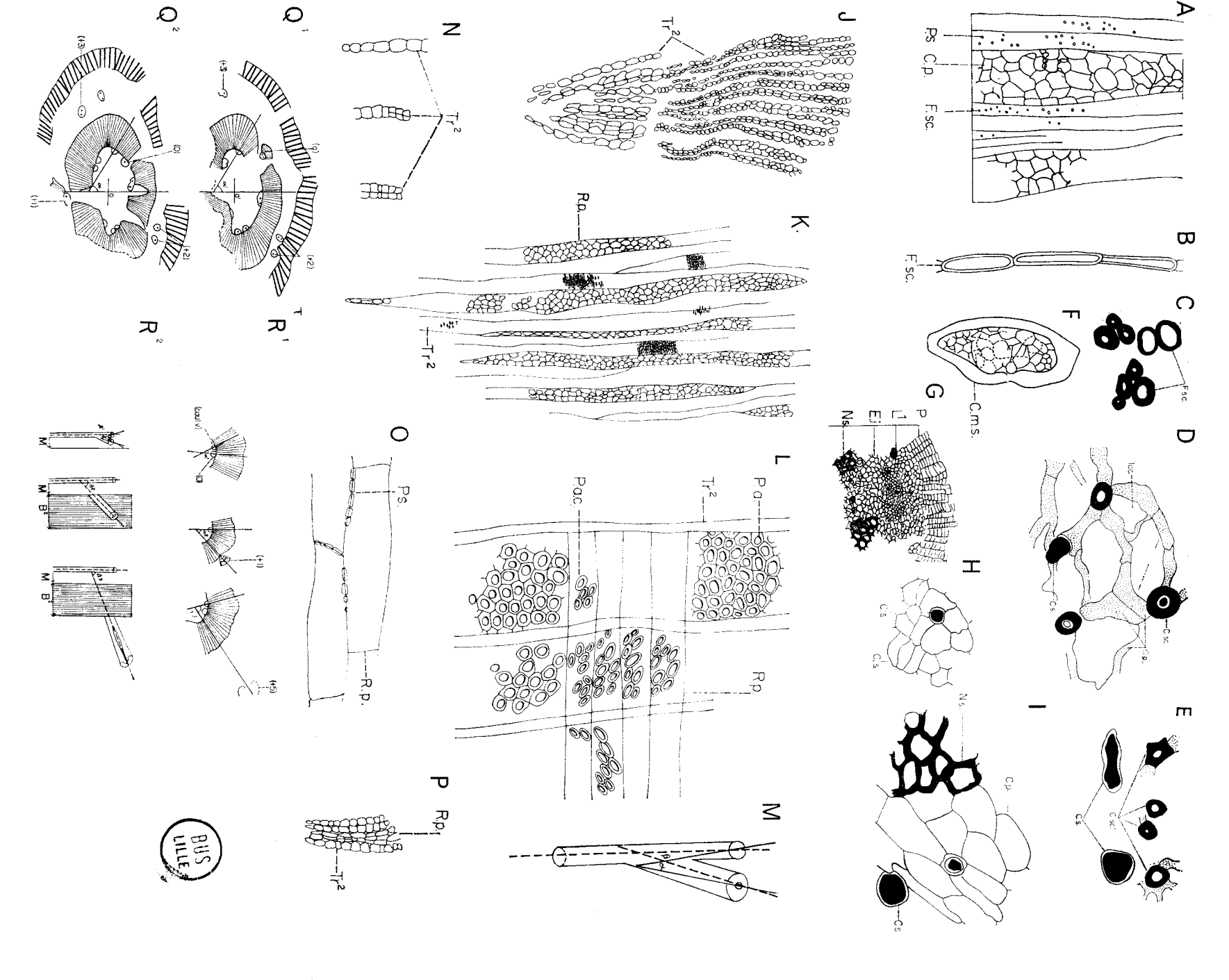
Fig. R. - Mesure des angles α et β dans les diverses régions de la tige sur une coupe transversale

(R¹) et longitudinale (R²): dans la moelle (figures de gauche), dans le bois II (figures centrales), dans le cortex (figure de droite).

Lame mince no 283. Origine: Bacup (Lancashire). Niveau: Coal Measures.

Collection : Université de Bruxelles.

Gr. : = 5.



Étude du bois primaire dans la tige principale de Lyginopteris oldhamia (BINNEY) POTONIÉ.

Fig. A. - Coupes transversales des faisceaux ligneux de la tige suivant leur évolution dans un cordon ligneux quelconque depuis sa naissance dans la moelle (Caul 1) jusqu'à son entrée dans le rachis principal (+ 5).

Lame mince no 283 (voir pl. 53, fig. 1).

Origine: Bacup (Lancashire).

Niveau: Coal Measures.

Collection: Université de Bruxelles.

Gr. : = 15.

Fig. B. – Course longitudinale d'un cordon ligneux. Les lignes verticales en traits continus délimitent l'épaisseur relative des régions médullaires (M) de l'anneau ligneux secondaire (B²) et de l'écorce (E). Les lignes horizontales en traits discontinus indiquent les niveaux où chaque cordon ligneux a été sectionné sur la coupe transversale nº 283.

x et X correspondent respectivement à la longueur d'un et de cinq internœuds.

Lame mince no 283 (voir pl. 53, fig. 1).

Origine: Bacup (Lancashire).

Niveau : Coal Measures.

Collection: Université de Bruxelles.

Gr. : = 5.

Fig. C. – Course longitudinale des 5 cordons ligneux. La ligne horizontale discontinue a b indique le niveau (compte tenu de la configuration respective des faisceaux de chaque groupe ligneux) selon lequel la section transversale nº 283 (pl. 53, fig. 1), recoupe les 5 cordons ligneux.

Lame mince nº 283.

Origine: Bacup (Lancashire).

Niveau : Coal Measures.

Collection: Université de Bruxelles.

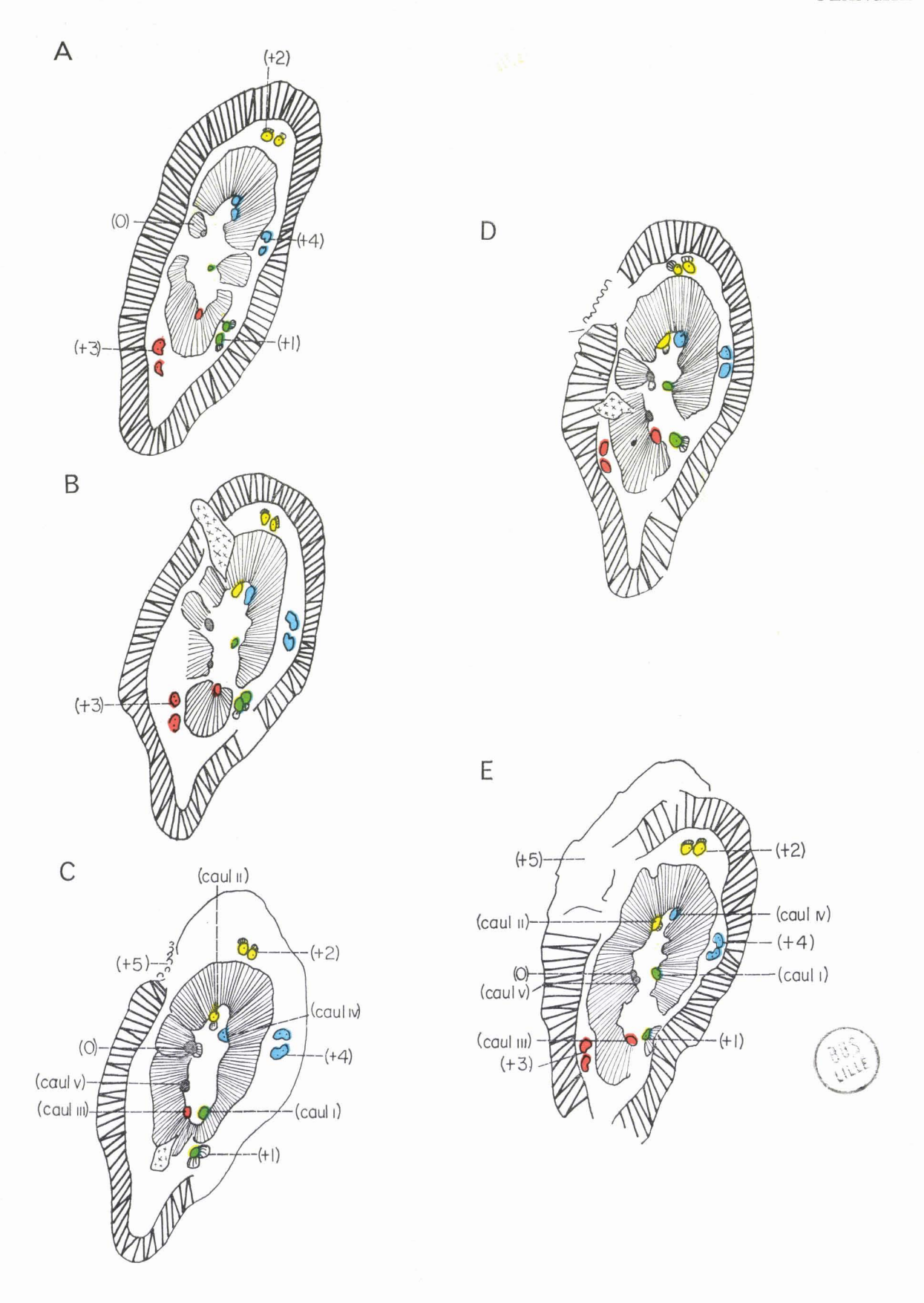
Gr. : = 2,5.

Coupes transversales sériées d'un fragment de tige principale de *Lyginopteris oldhamia* (BINNEY) POTONIÉ.

Fig. A - B - C - D - E. - Lames minces n^{os} M 50 x, M 50 s, M 50 q, M 50 p, M 50 l.

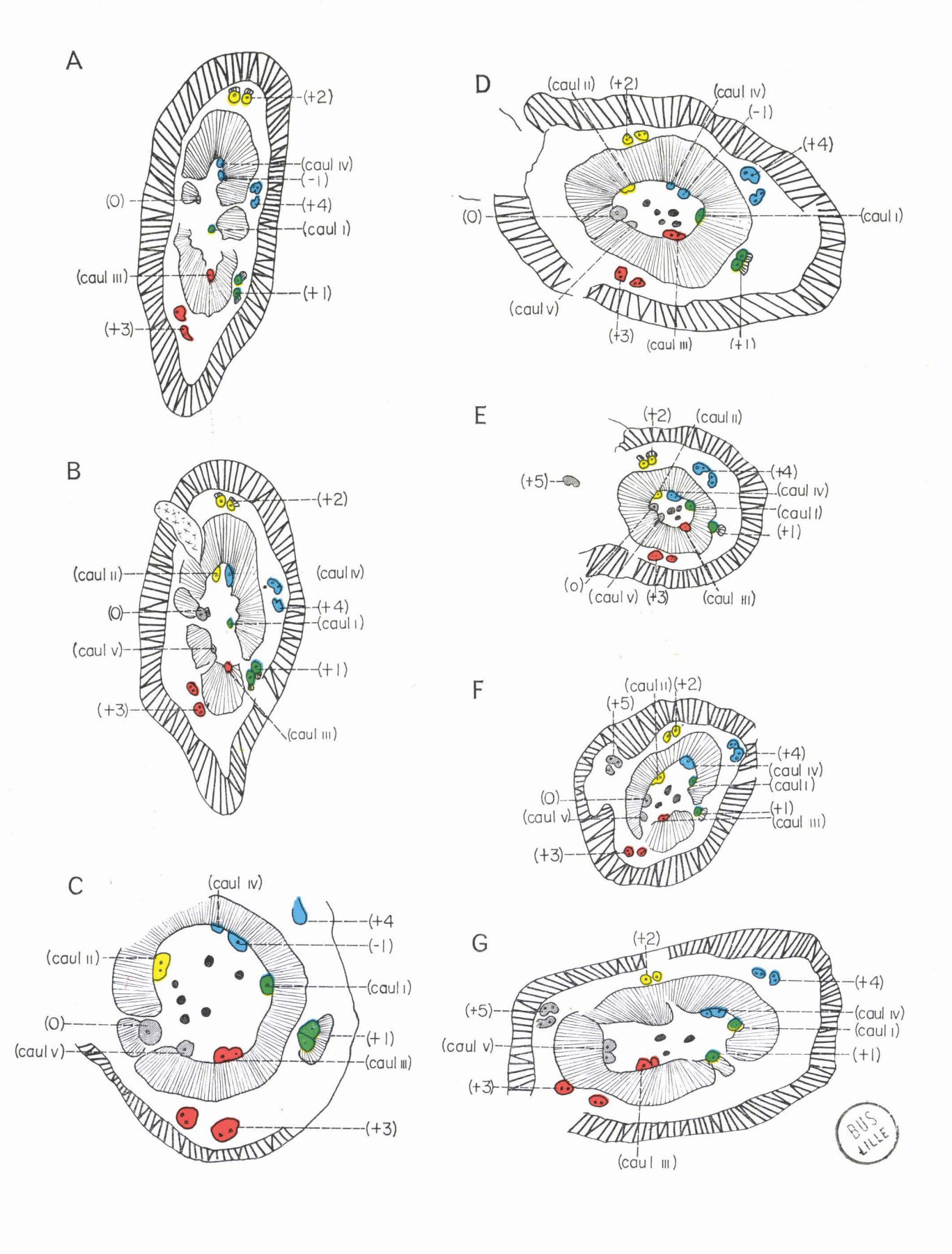
Origine: Sharney Ford (Lancashire).
Niveau: Coal Measures.
Collection: Londres (University College).

Gr. : = 3.



Coupes transversales de tiges principales de Lyginopteris oldhamia (BINNEY) POTONIÉ, sériées ou non, constituant la SÉRIE A.

- Fig. A et B. Lames minces nos M 50 x et M 50 s.
 Origine: Sharney Ford (Lancashire).
 Niveau: Coal Measures.
 Collection: Londres (University college).
 Gr.: = 3.
- Fig. C. Lame mince nº 404 (voir pl. 62, fig. 5).
 Origine: Lancashire.
 Niveau: Coal Measures.
 Collection: Université de Tübingen.
 Gr.: = 3.
- Fig. D. Lame mince nº K¹ = 19.
 Origine : Angleterre.
 Niveau : Coal Measures.
 Collection : Institut géologique de Krefeld.
 Gr. : = 3.
- Fig. E. Lame mince nº 283 (voir pl. 53, fig. 1).
 Origine: Bacup (Lancashire).
 Niveau: Coal Measures.
 Collection: Université de Bruxelles.
 Gr.: = 3.
- Fig. F. Lame mince nº 28 Lx II (voir pl. 62, fig. 1).
 Origine: Dulesgate (Lancashire).
 Niveau: Coal Measures.
 Collection: Université de Lille.
 Gr.: = 3.
- Fig. G. Lame mince n^o M 40. Origine: Dulesgate (Lancashire). Niveau: Coal Measures. Collection: Londres (University College). Gr.: = 3.



Composition des cinq cordons ligneux dans trois coupes transversales de tiges principales de Lyginopteris oldhamia (Binney) Potonié, et courses longitudinales d'un cordon ligneux à travers la moelle, le bois secondaire et l'écorce.

Fig. A. - Coupe transversale d'une tige pourvue de 4 faisceaux corticaux.

Lame mince no P b 506 (voir pl. 64, fig. 1).

Origine: Halifax (Yorkshire).

Niveau: Coal Measures.

Collection: Londres (Geological Survey).

Gr. : = 3.

Fig. B. - Coupe transversale d'une tige pourvue de 5 faisceaux.

Lame mince no 283 (voir pl. 53, fig. 1).

Origine: Bacup (Lancashire).

Niveau: Coal Measures.

Collection: Université de Bruxelles.

Gr. : = 3.

Fig. C. - Coupe transversale d'une tige pourvue de 6 faisceaux corticaux.

Lame mince no 5 (voir pl. 69, fig. 1).

Origine: Shore Littleborough (Lancashire).

Niveau: Coal Measures.

Collection : Université de Liège.

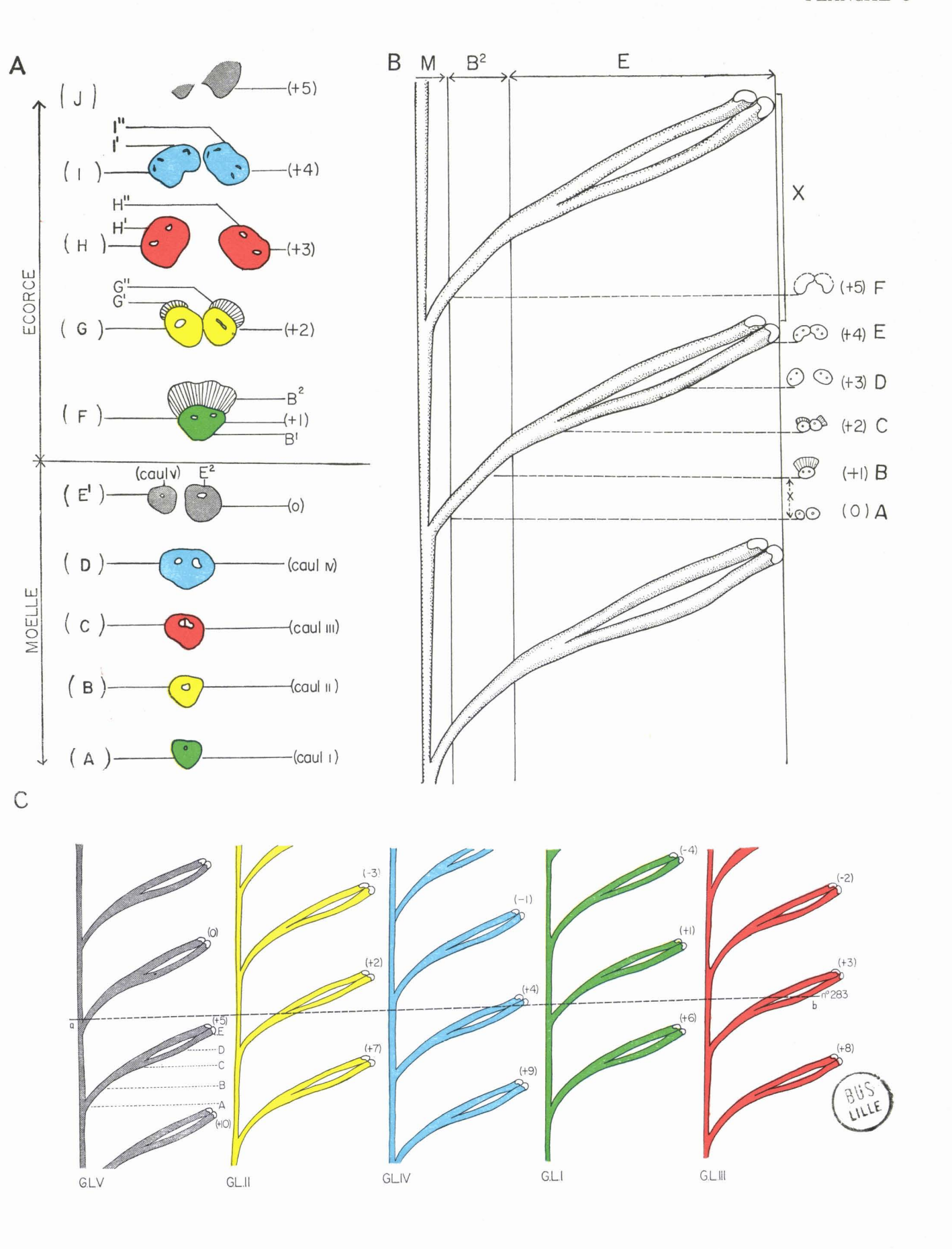
Gr. : = 3.

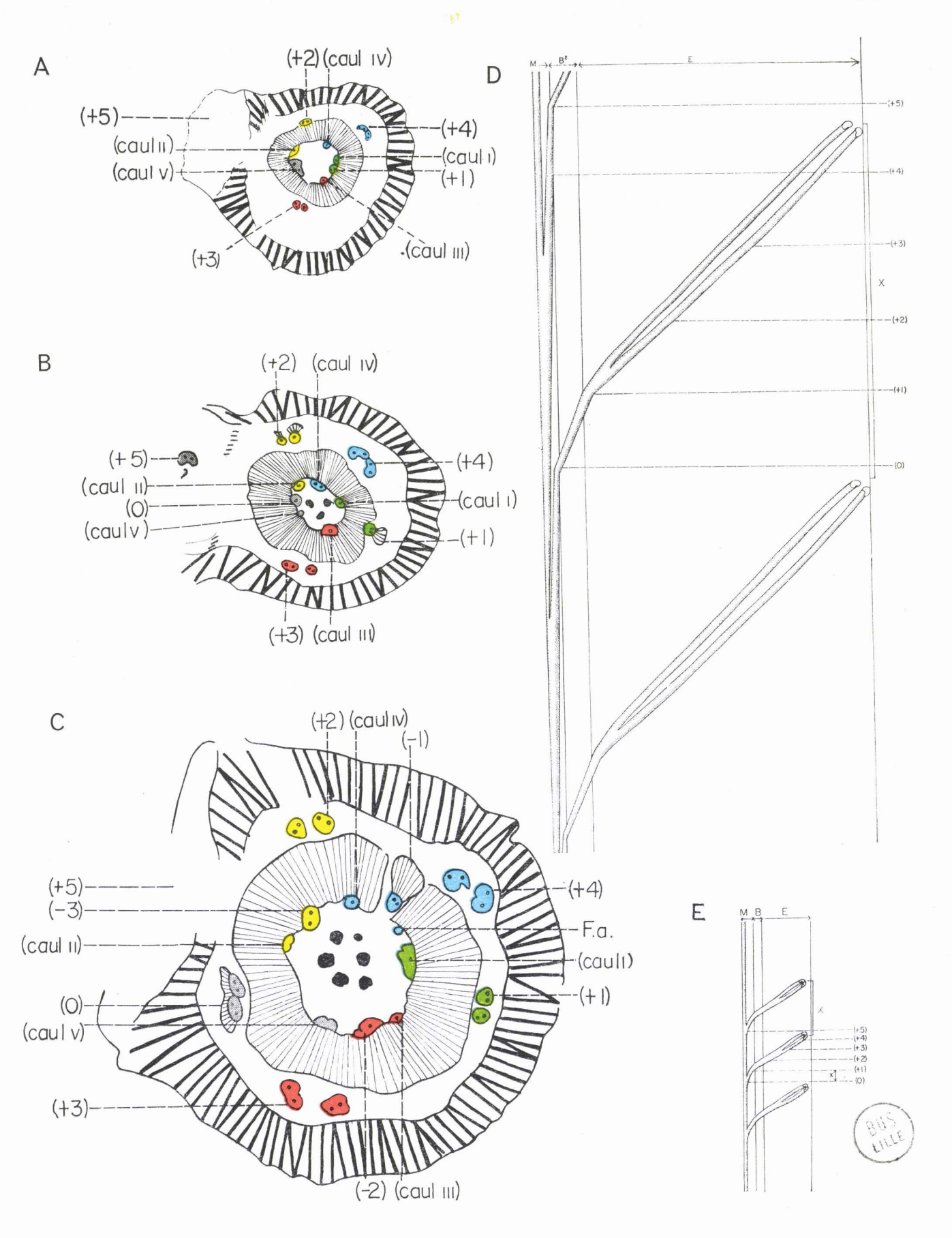
Fig. D. - Course longitudinale d'un cordon ligneux d'après la coupe transversale figurée pl. 6, fig. C.

Gr. : = 1,5.

Fig. E. - Course longitudinale d'un cordon ligneux d'après la coupe transversale figurée pl. 6, fig. A.

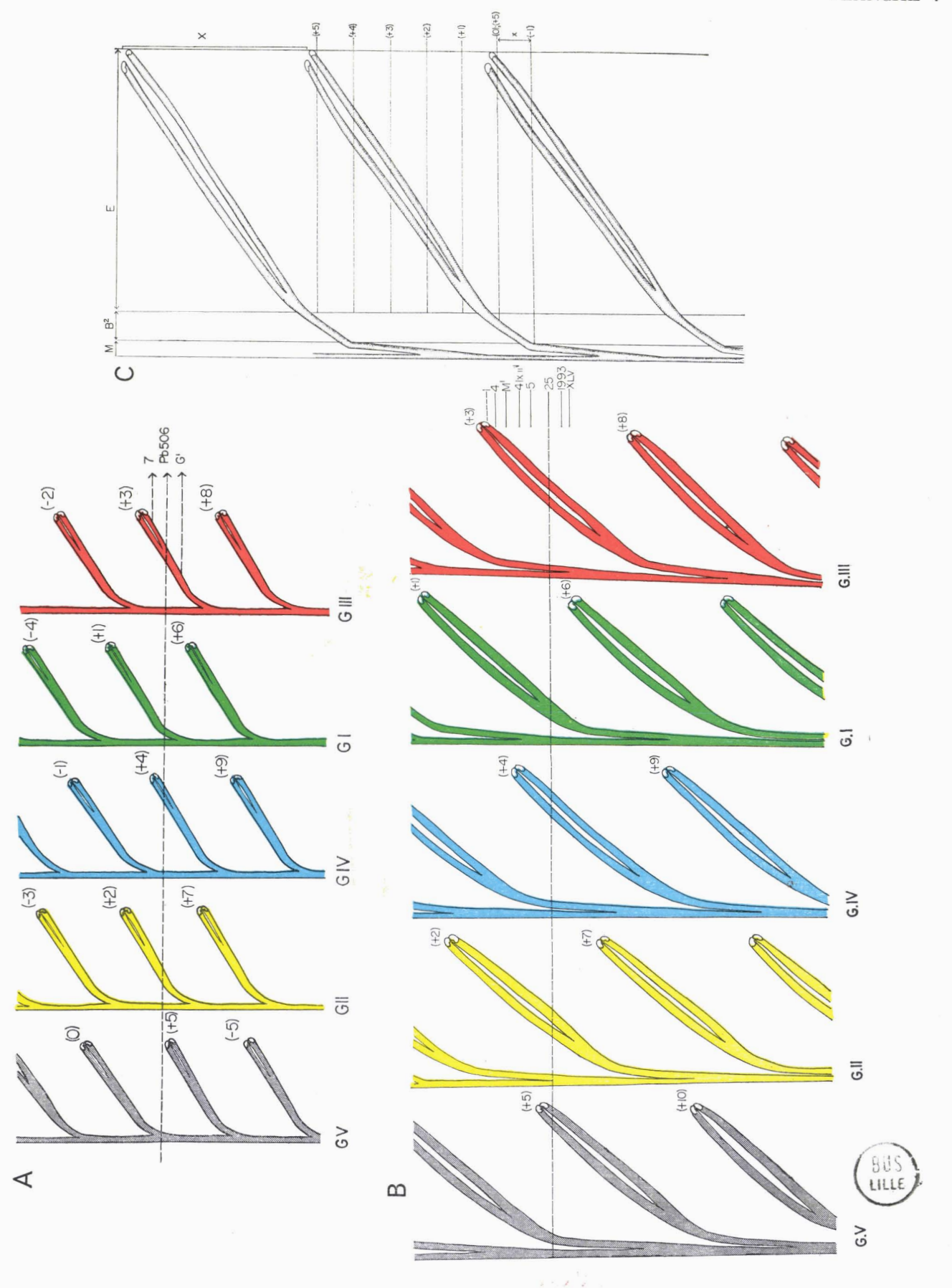
Gr. : = 1,5.





Course longitudinale des cordons ligneux dans la tige principale de Lyginopteris oldhamia (BINNEY) POTONIÉ.

- Sur les figures A et B les lignes horizontales indiquent la position respective et le numéro de quelques coupes transversales.
- Fig. A. Course des 5 groupes ligneux, d'après la coupe transversale figurée pl. 6, fig. A.
 Les numéros de lames minces: 71 ou 186 à G¹ correspondent aux coupes transversales figurées successivement, pl. 63, fig. 1, pl. 8, fig. C, pl. 8, fig. G.
 Gr. : = 3.
- Fig. B. Course des 5 groupes ligneux d'après la coupe transversale figurée pl. 66, fig. 2.
 Les numéros de lames minces de 1 à 5 correspondent aux coupes transversales figurées successivement pl. 9, fig. A, pl. 10, fig. E.
 Gr. : = 0,35.
- Fig. C. Course d'un cordon ligneux d'après la coupe transversale figurée pl. 9, fig. E.
 Gr. : == 1,5.



Coupes transversales sériées ou non de tiges principales de Lyginopteris oldhamia (BINNEY) POTONIÉ constituant la SÉRIE B.

Fig. A. - Lame mince no 186 A (voir pl. 63, fig. 3).
Origine: Halifax (Yorkshire).
Niveau: Coal Measures.
Collection: Université de Graz.

Gr.: = 4.

Fig. B. - Lame mince: no 1728. Origine: Lancashire. Niveau: Coal Measures.

Collection: Londres (University college).

Gr. : = 4.

Fig. C. - Lame mince no Pb 506 (voir pl. 64, fig. 1).
Origine: Halifax (Yorkshire).
Niveau: Coal Measures.

Collection: Londres (Geological Survey). Gr.: = 4.

Fig. D et E. - Lames minces nos 1731 et 1730.

Origine: Lancashire. Niveau: Coal Mesures.

Collection: Londres (University College).

Gr. : = 4.

Fig. F. - Lame mince no N.L 16 (voir pl. 63, fig. 2).
Origine: Halifax (Yorkshire).
Niveau: Coal Measures.

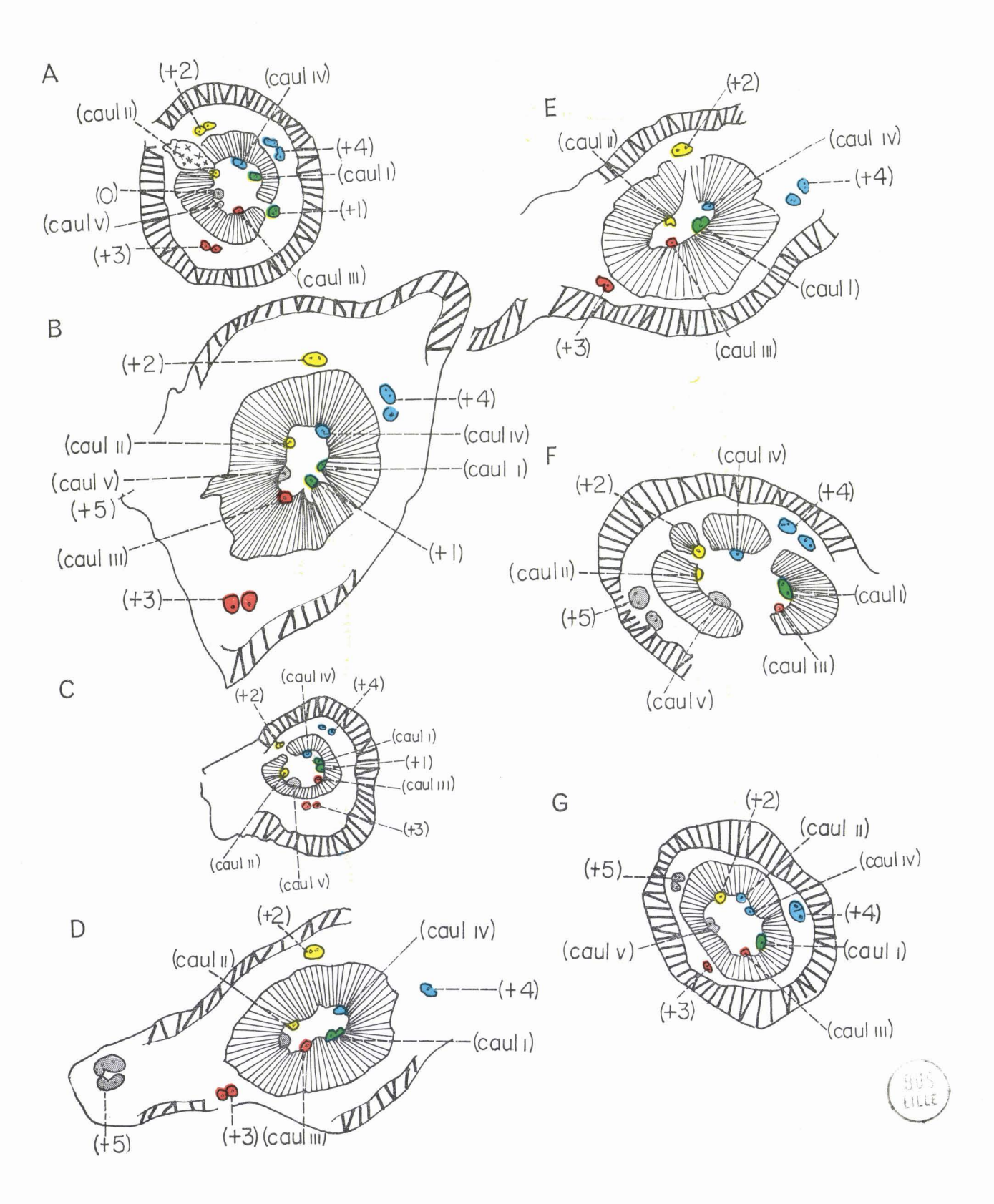
Collection: Université de Lille. Gr. : = 4.

Fig. G. - Peel section no G1 (voir pl. 63, fig. 4).

Origine: Grande-Bretagne. Niveau: Coal Measures.

Collection: Université de Glasgow.

Gr. : = 4.



Coupes transversales sériées ou non de tiges principales de Lyginopteris oldhamia (BINNEY) POTONIÉ, constituant la SÉRIE C.

Fig. A. - Lame mince no 1 (voir pl. 68, fig. 1).

Origine: Ruhr.

Niveau: Dolomit knollen.

Collection: Institut géologique de Krefeld.

Gr. : = 3.

Fig. B. - Lame mince no 4 (voir pl. 67, fig. 1).

Origine: Dulesgate.

Niveau: Coal Measures.

Collection : Université de Berlin.

Gr. : = 3.

Fig. C. - Lame mince no XT (voir pl. 67, fig. 2).

Origine: Dulesgate (Lancashire).

Niveau: Coal Measures.

Collection : Université de Tübingen.

Gr. : = 3.

Fig. D. - Lame mince no 123.

Origine: Lancashire.

Niveau: Coal Measures.

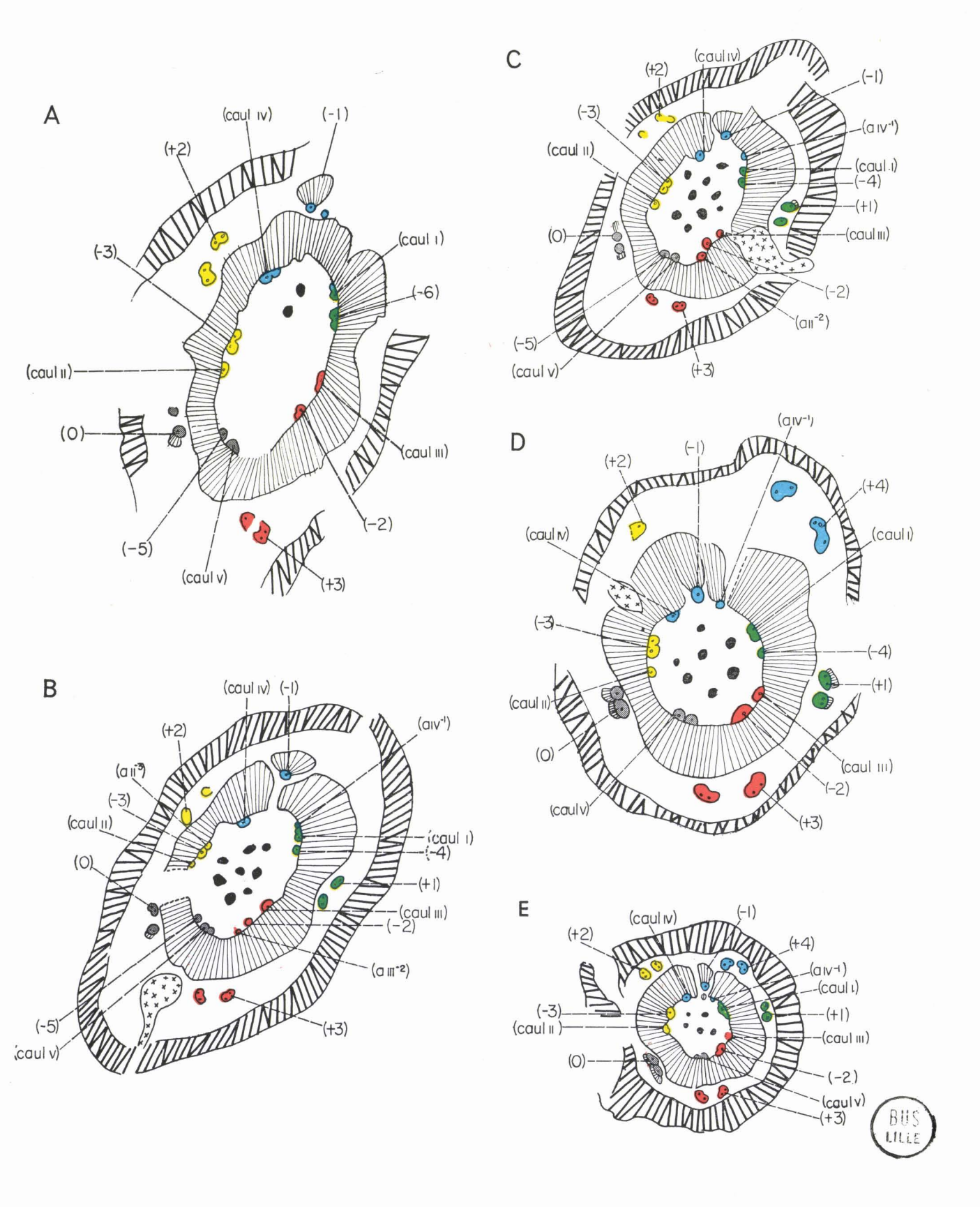
Collection: Université de Lille.

Gr. : = 3.

Fig. E. - Lame mince nº 5 (voir pl. 69, fig. 1).
Origine: Shore Littleborough (Lancashire).

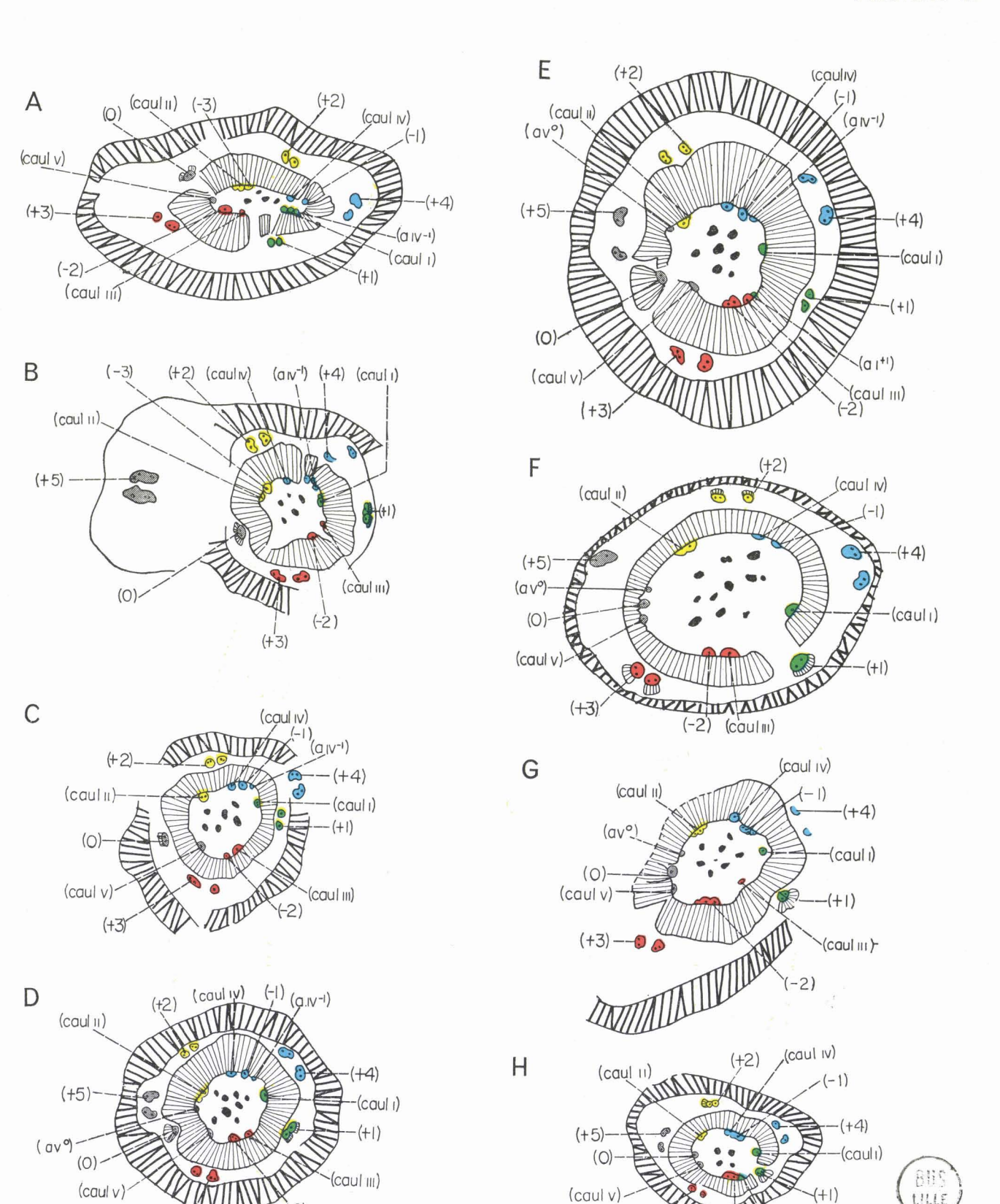
Niveau: Coal Measures.

Collection: Université de Liège.



Coupes transversales sériées ou non de tiges principales de Lyginopteris oldhamia (BINNEY) POTONIÉ constituant la SÉRIE C (suite).

- Fig. A. Lame mince n^o 66. Origine: Shore Littleborough (Lancashire). Niveau: Coal Measures. Collection: Université de Graz. Gr. := 3.
- Fig. B. Lame mince nº 3.
 Origine: Shore Littleborough (Lancashire).
 Niveau: Coal Measures.
 Collection: Université de Liège.
 Gr. : = 3.
- Fig. C. Lame mince no E=53 (voir pl. 65, fig. 1). Origine : Angleterre. Niveau : Coal Measures. Collection : Université de Graz. Gr. : = 3.
- Fig. D. Lame mince nº 25 (voir pl. 69, fig. 4).
 Origine: Shore Littleborough (Lancashire).
 Niveau: Coal Measures.
 Collection: Université de Liège.
 Gr. : = 3.
- Fig. E. Lame mince no 2177 (voir pl. 64, fig. 4).
 Origine: Shore Littleborough (Lancashire).
 Niveau: Coal Measures.
 Collection: Université de Glasgow.
 Gr.: = 3.
- Fig. F. Lame mince nº 27 Lx I.
 Origine: Angleterre.
 Niveau: Coal Measures.
 Collection: Université de Lille.
 Gr.: = 3.
- Fig. G. Lame mince nº 1992 (voir pl. 64, fig. 3).
 Origine: Angleterre.
 Niveau: Coal Measures.
 Collection: Université de Lille.
 Gr. : = 3.
- Fig. H. Lame mince nº XLV (voir pl. 64, fig. 2).
 Origine: Halifax (Yorkshire).
 Niveau: Coal Measures.
 Collection: Université de Munich.
 Gr. : = 3.



 $(+3)^{-}$

(caul III) (ai+1)

Coupes transversales sériées ou non de tiges principales de Lyginopteris oldhamia (BINNEY) Potonié constituant la SÉRIE D.

Fig. A et B. - Lame mince no 732 D.

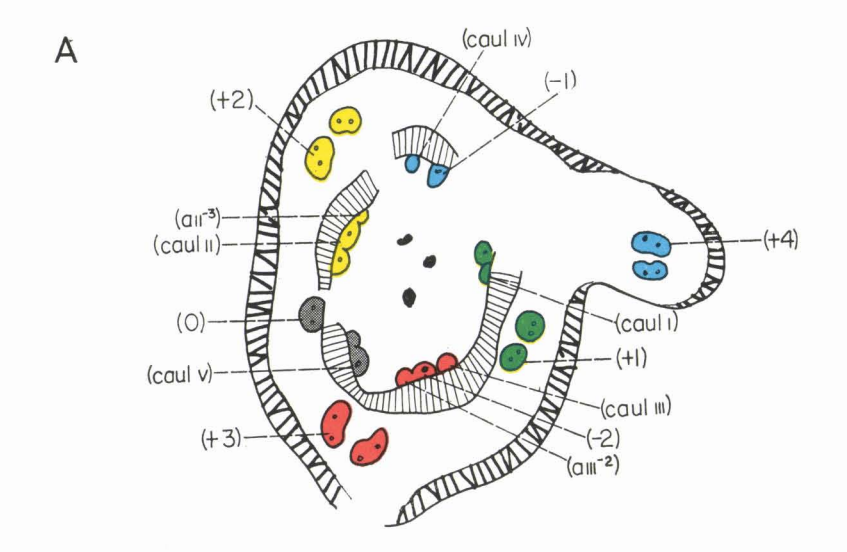
Origine: Dulesgate (Lancashire). Niveau: Coal Measures.

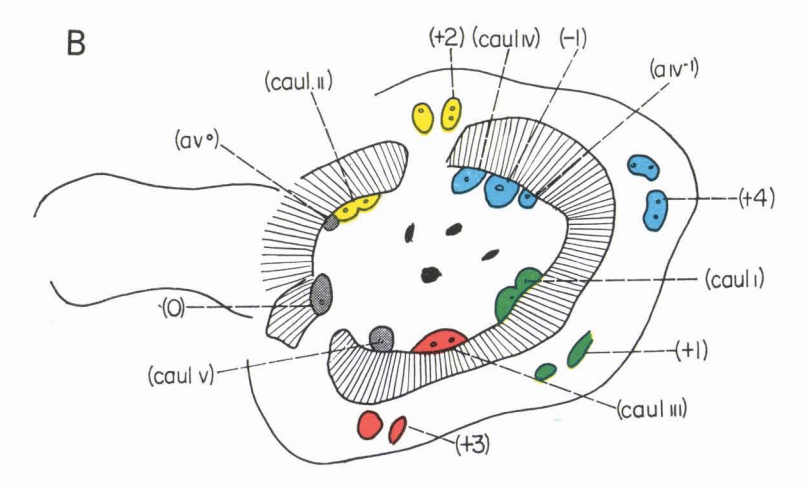
Collection: Université de Glasgow.

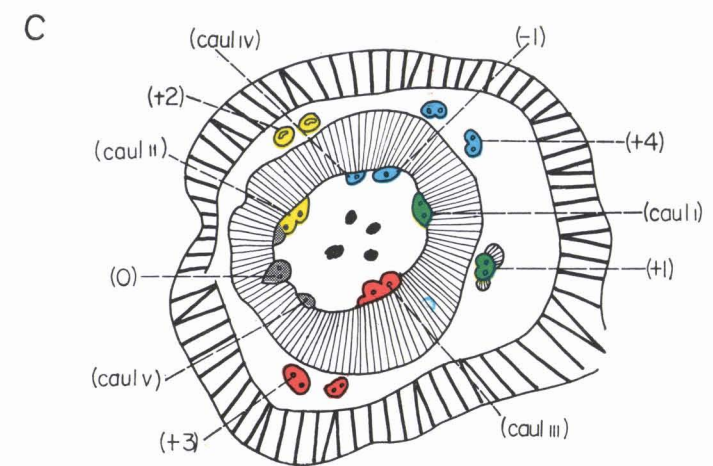
Gr. : = 3.

Fig. C. - Lame mince nº 28 (voir pl. 70, fig. 2).
Origine: Dulesgate (Lancashire).

Niveau: Coal Measures.
Collection: Londres (University College).
Gr.: = 3.









Coupes transversales sériées ou non de tiges principales de Lyginopteris oldhamia (BINNEY) POTONIÉ, constituant la SÉRIE D (suite).

Fig. A. - Lame mince n^o M 40. Origine: Dulesgate (Lancashire). Niveau: Coal Measures. Collection: Londres (University College). Gr.: = 3.

Fig. B. - Lame mince no 49 (voir pl. 70, fig. 1).
Origine: Shore Littleborough (Lancashire).
Niveau: Coal Measures.
Collection: Université de Lille.
Gr. : = 3.

Fig. C. - Lame mince nº 1422 a.
Origine: Ruhr.
Niveau: Finefrau Nebenbank.
Collection: Institut géologique de Krefeld.
Gr. : = 3.

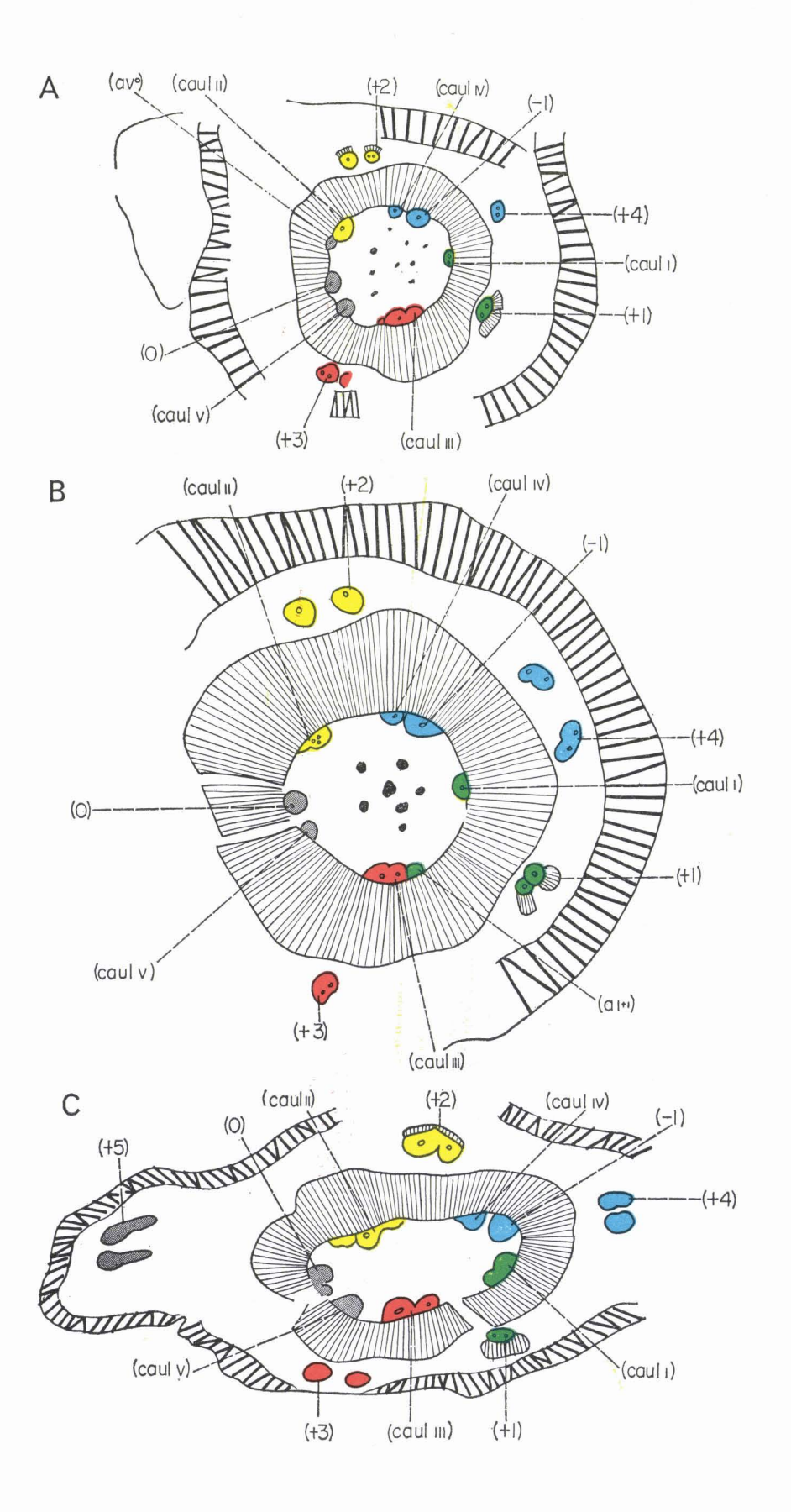


Schéma représentatif de la diminution progressive des internœuds en passant d'une série à l'autre et anastomose des faisceaux périmédullaires dans la tige principale de Lyginopteris oldhamia (BINNEY) POTONIÉ.

- Fig. A. Les flèches colorées indiquent les points de sortie sur la tige des traces foliaires de chacun des 5 groupes ligneux auxquels elles appartiennent. Les nos 19 (voir pl. 5, fig. D) et 28 (voir pl. 11, fig. C) sont ceux des coupes transversales de tiges qui appartiennent respectivement aux SÉRIES A et D.
- Fig. B. Coupe transversale d'une tige pourvue des faisceaux anastomosiques (a V°), (a IV-1), (a III-2).

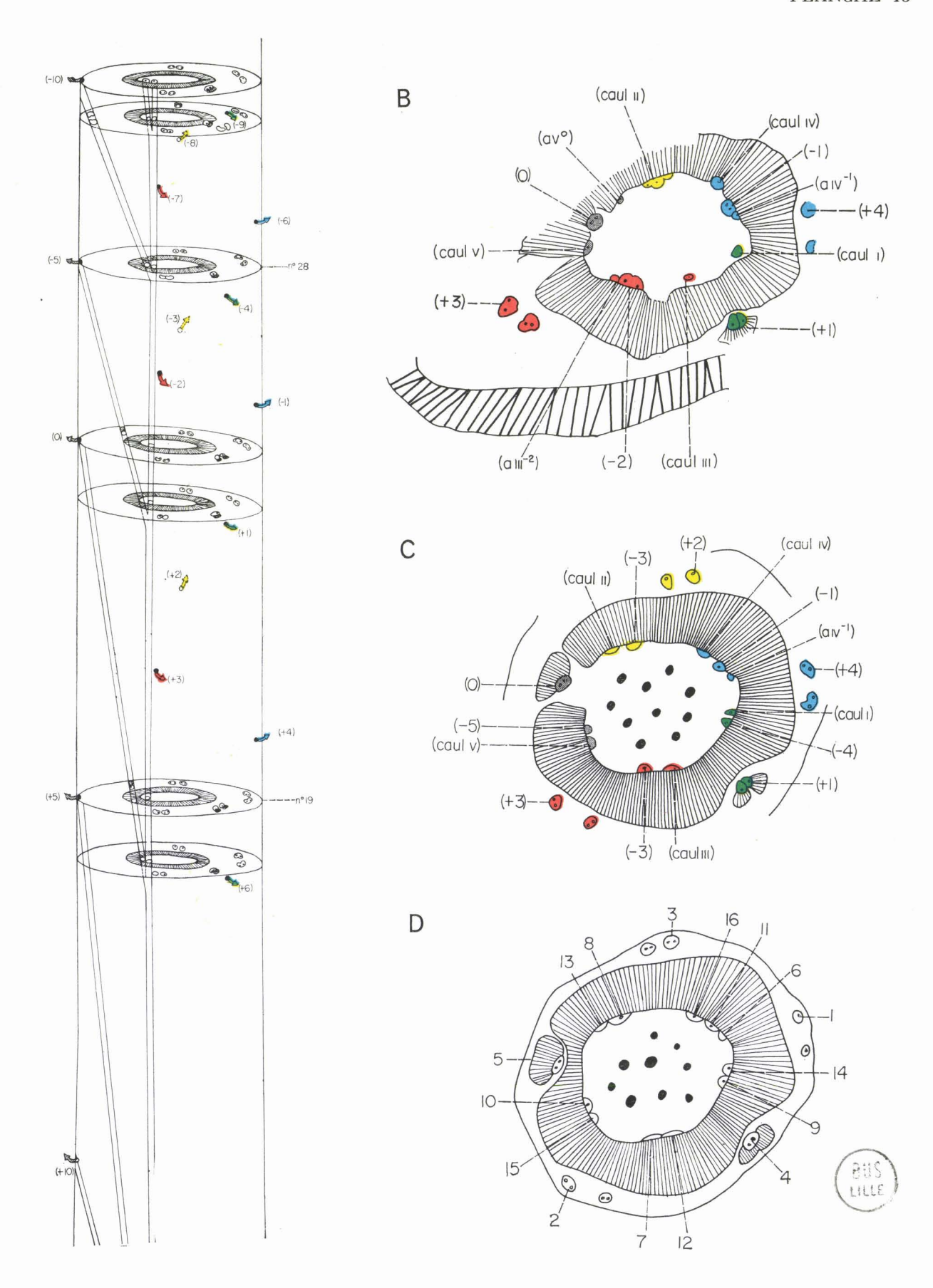
Lame mince no 1992. Origine: Angleterre. Niveau: Coal Measures.

Collection: Université de Lille.

Gr. : = 3.

Fig. C et D. - Coupe transversale figurée par Hirmer (fig. a et b, p. 94). Comparaison de l'interprétation de la course du système ligneux primaire dans notre mode de numérotation des faisceaux (fig. C) et dans celui adopté par Hirmer (fig. D).

Gr.: = 2.25.



Anastomose des faisceaux périmédullaires dans la tige principale de Lyginopteris oldhamia (BINNEY) POTONIÉ.

Fig. A - B - C. - Coupes transversales sériées de la zone périmédullaire d'une

Lames minces no 5 (voir pl. 69, fig. 1), no 4, no 25 (voir pl. 69, fig. 4).

Origine: Shore Littleborough (Lancashire).

Niveau: Coal Measures.

Collection : Université de Liège.

Gr. : = 6,25.

Fig. D - E - F. - Naissance du faisceau anastomosique à partir des faisceaux périmédullaires sortants (0), (-1) et (-2).

Lame mince no 1992 (voir pl. 64, fig. 3).

Origine: Angleterre. Niveau: Coal Measures.

Collection: Université de Lille.

Gr. : = 17.

Fig. G1 à G5. - Accolement du faisceau anastomosique (a V0) issu du faisceau sortant (O) au caulinaire (caul. 11).

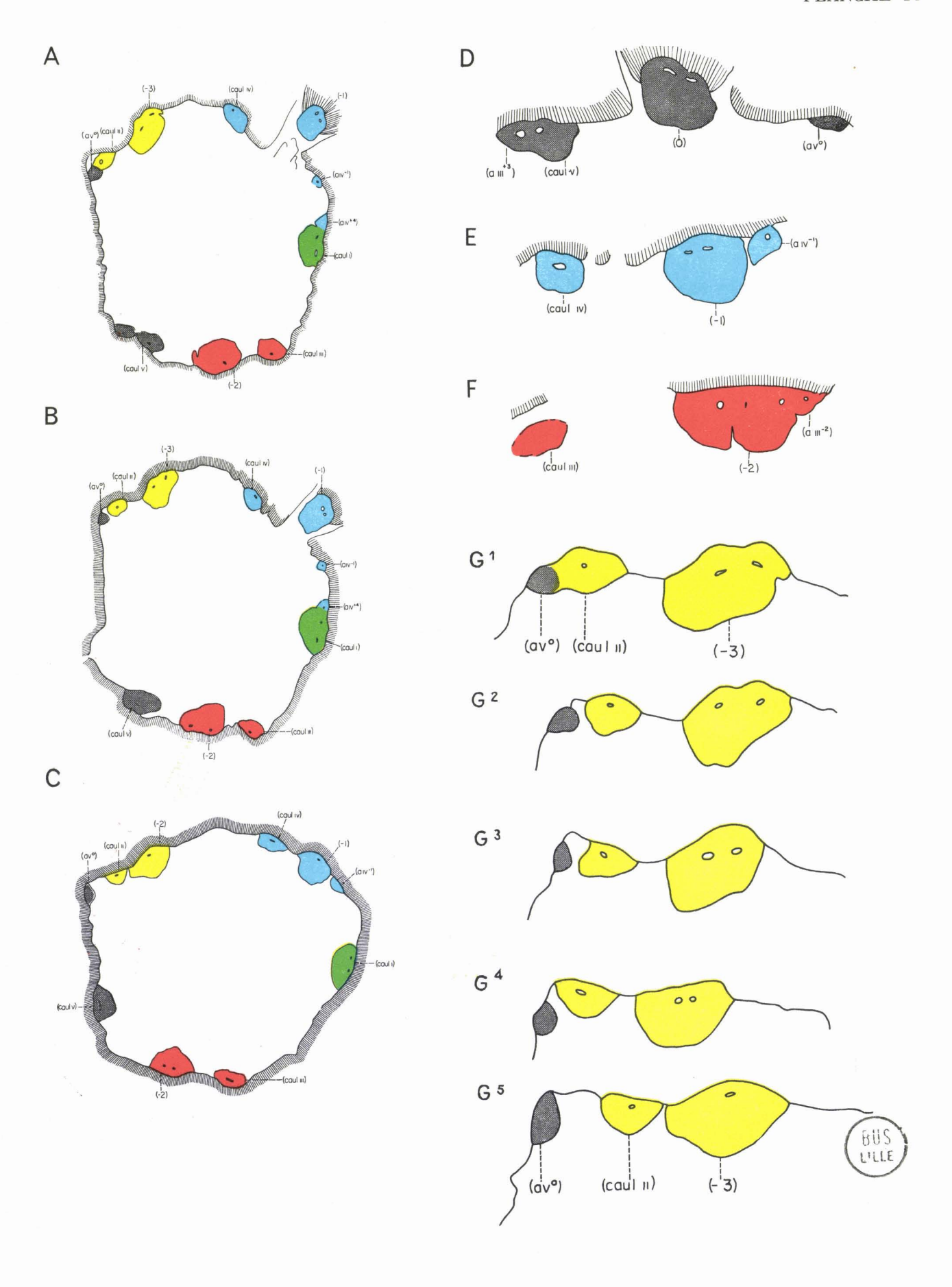
> Lames minces no 5 (voir pl. 69, fig. 1), no 4, no 3, no 1, no 25 (voir pl. 69, fig. 4).

Origine: Shore Littleborough (Lancashire).

Niveau: Coal Measures.

Collection : Université de Liège.

Gr. : = 17.



Anastomose des faisceaux périmédullaires dans la tige principale de Lyginopteris oldhamia (BINNEY) POTONIÉ.

Fig. A. - Reconstitution, d'après la coupe transversale nº 25 (voir pl. 69, fig. 4), de la course longitudinale du système ligneux primaire périmédullaire, lorsqu'il est pourvu de faisceaux anastomosiques. La ligne horizontale discontinue indique la position de la coupe transversale nº 25.

Origine: Shore Littleborough (Lancashire).

Niveau: Coal Measures.

Collection : Université de Liège. Gr. : = 2,75.

Fig. B à K.

Identification des faisceaux anastomosiques dans le système ligneux primaire périmédullaire des cinq groupes ligneux sectionnés transversalement.

Fig. B à F. - Lame mince no 3 (voir pl. 66, fig. 3).

Origine: Dulesgate.

Niveau: Coal Measures.

Collection: Université de Göttingen.

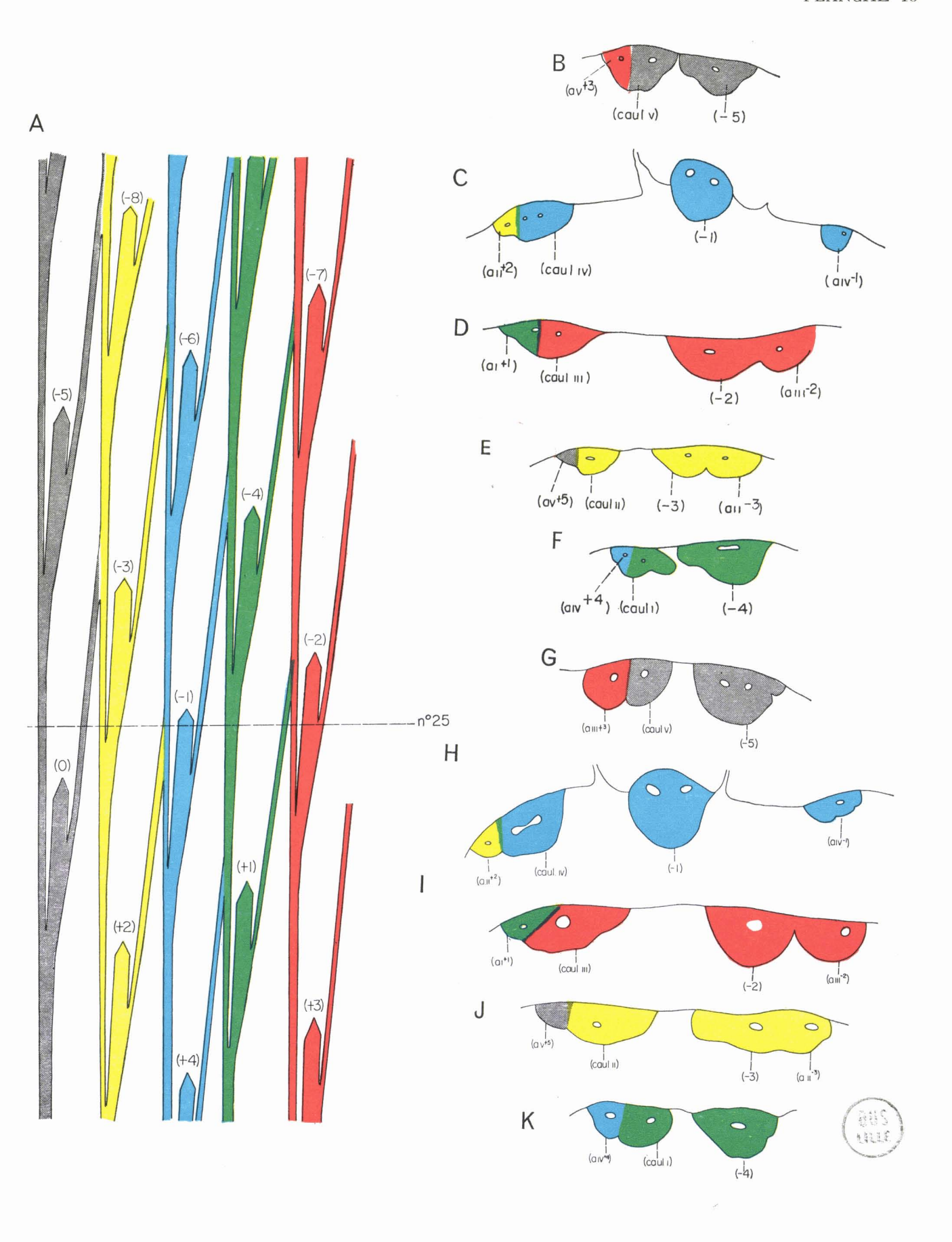
Gr. : = 15 env.

Fig. F à K. - Lame mince nº 4 Lx III (voir pl. 65, fig. 2).

Origine : Dulesgate. Niveau : Coal Measures.

Collection: Université de Lille.

Gr. : = 17 env.



Coupes transversales de tiges jeunes de Lyginopteris oldhamia (BINNEY) POTONIÉ.

Fig. A. - Lame mince no M 9 (voir pl. 75, fig. 1).

Origine: Dulesgate (Lancashire).

Niveau: Coal Measures.

Collection: Londres (University College).

Gr. : = 3.

Fig. B. - Lame mince no H 5 (voir pl. 75, fig. 3). .

Origine: Angleterre. Niveau: Coal Measures.

Collection: Londres (Birbeck College).

Gr. : = 3.

Fig. C. - Lame mince n° 78 Lx II = 28 Lx I (voir pl. 75, fig. 2).

Origine: Dulesgate (Lancashire). Niveau: Coal Measures.

Collection: Université de Lille.

Gr. : = 3.

Fig. D. - Lame mince no 449 (voir pl. 77, fig. 2).

Origine: Dulesgate (Lancashire).

Niveau: Coal Measures.

Collection: Université de Bruxelles.

Gr. : = 2,25.

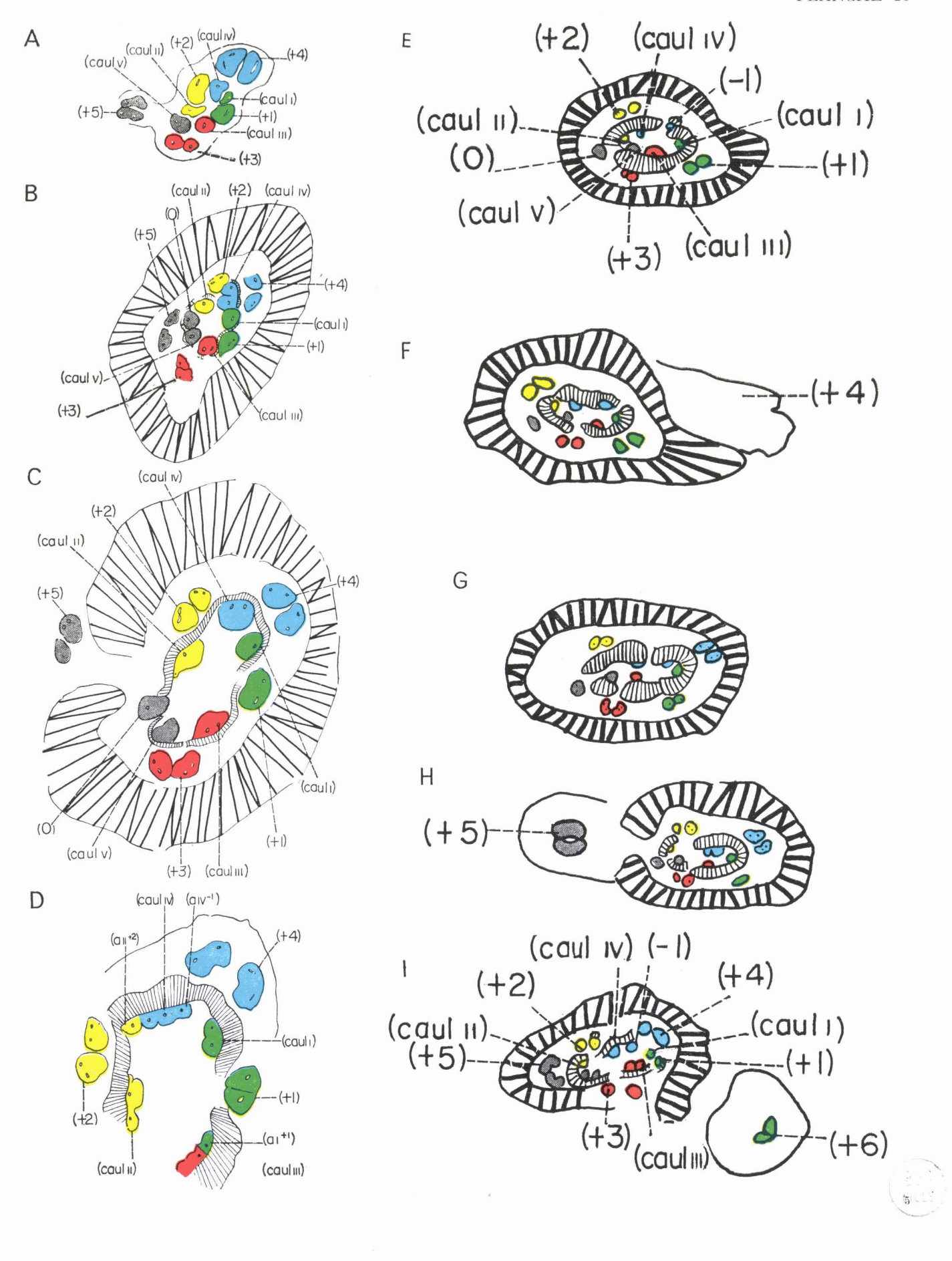
Fig. E à I. - Coupes transversales sériées.

Lames minces nos M 50 p, n, j, d, a. Origine: Sharney Ford (Lancashire).

Niveau: Coal Measures.

Collection: Londres (University College).

Gr. : = 8.



Coupes transversales sériées d'une tige principale de Lyginopteris oldhamia (BINNEY) POTONIÉ, pourvue d'un bourgeon axilaire et de racines adventives.

Fig. A à F. - Coupes transversales de la tige.

Lames minces n^{08} M 25 h, M 25 g, M 25 f, M 25 e, M 25 c = b

(voir pl. 78, fig. 1), M 25 a (voir pl. 77, fig. 3).

Origine : Dulesgate (Lancashire).

Niveau : Coal Measures.

Collection: Londres (University college).

Gr. : = 1,5.

Fig. G à J. - Détails du bourgeon axilaire.

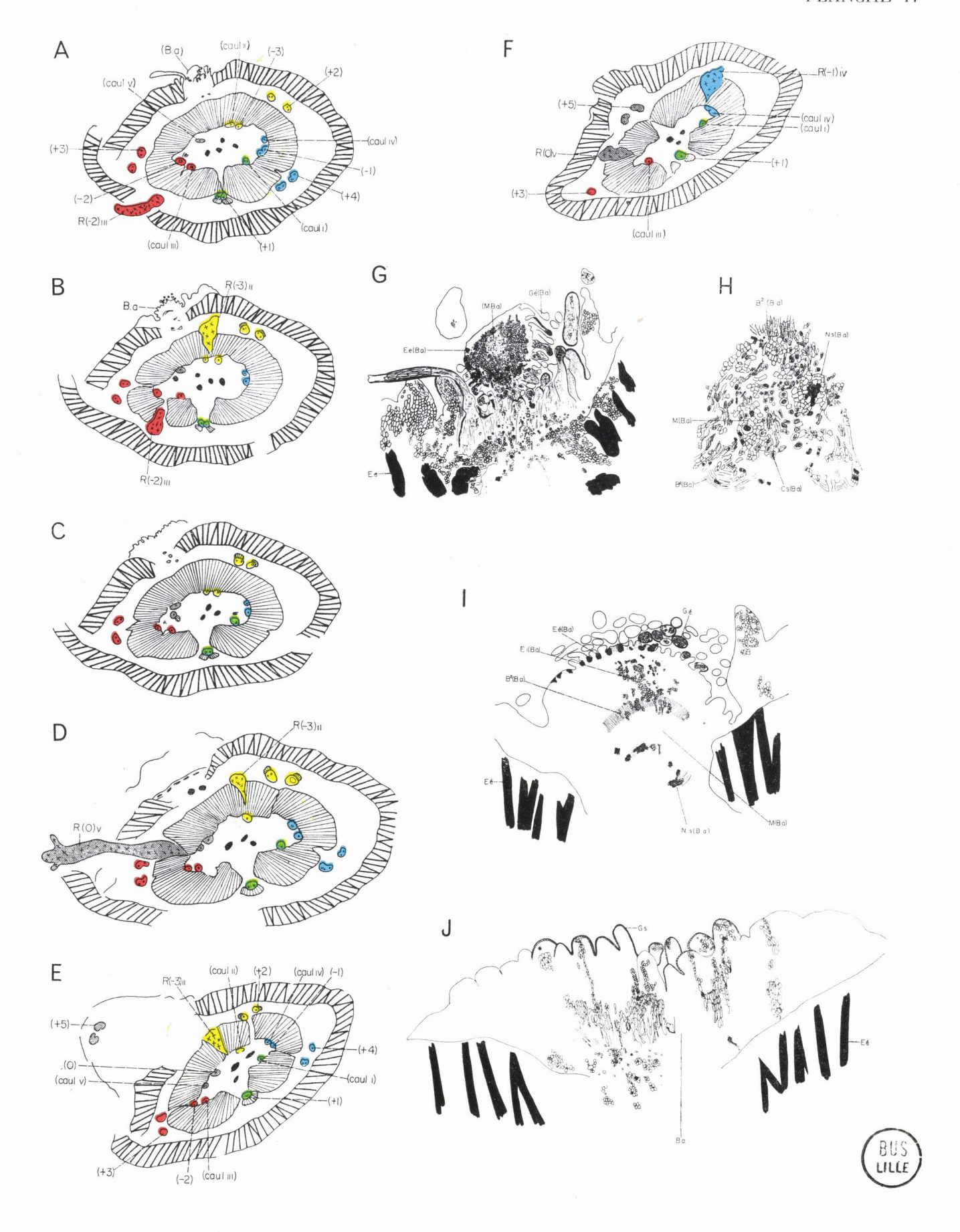
Fig. G et H. - Lame mince no M 25 h (voir pl. 79, fig. 2).

La figure H représente la partie centrale du bourgeon.

Fig. I. - Lame mince no M 25 g (voir pl. 79, fig. 1).

Fig. J. - Lame mince no M 25 f (voir pl. 78, fig. 2).

Gr. : = 10.



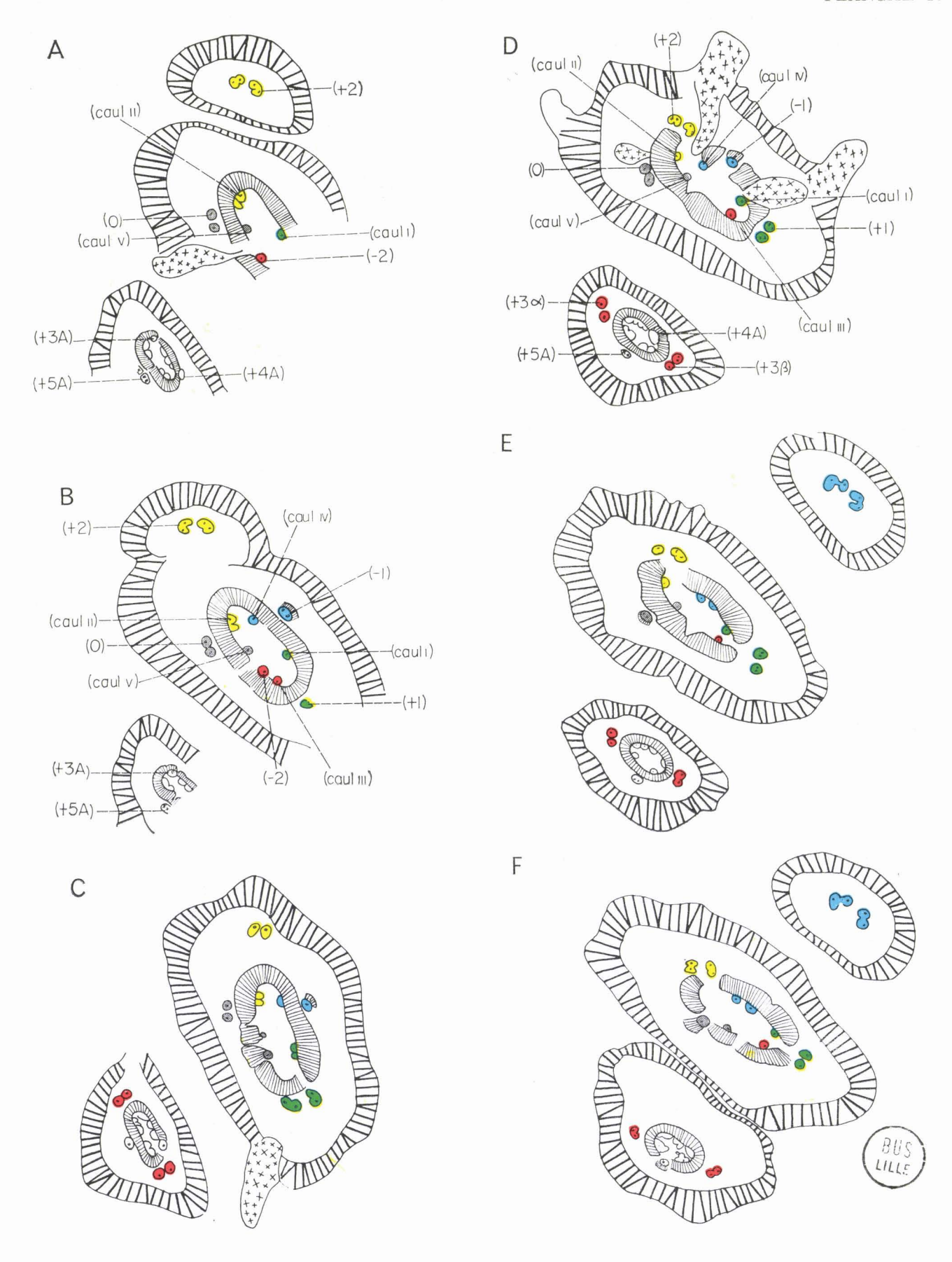
Coupes transversales sériées d'une tige principale de *Lyginopteris oldhamia* (BINNEY) POTONIÉ, émettant une ramification axilaire du type I.

Fig. A à F. - Lames minces: n°s 2094 et 2095 (voir pl. 84, fig. 2), n° 2093, n°s 2091 et 2092 (voir pl. 84, fig. 1), n°s 2089 et 2090 (voir pl. 83, fig. 1), n°s 2086 et 2087, n°s 2084 et 2085 (voir pl. 82, fig. 1).

Origine: Dulesgate (Lancashire).

Niveau: Coal Measures.

Collection: Londres (British Museum).



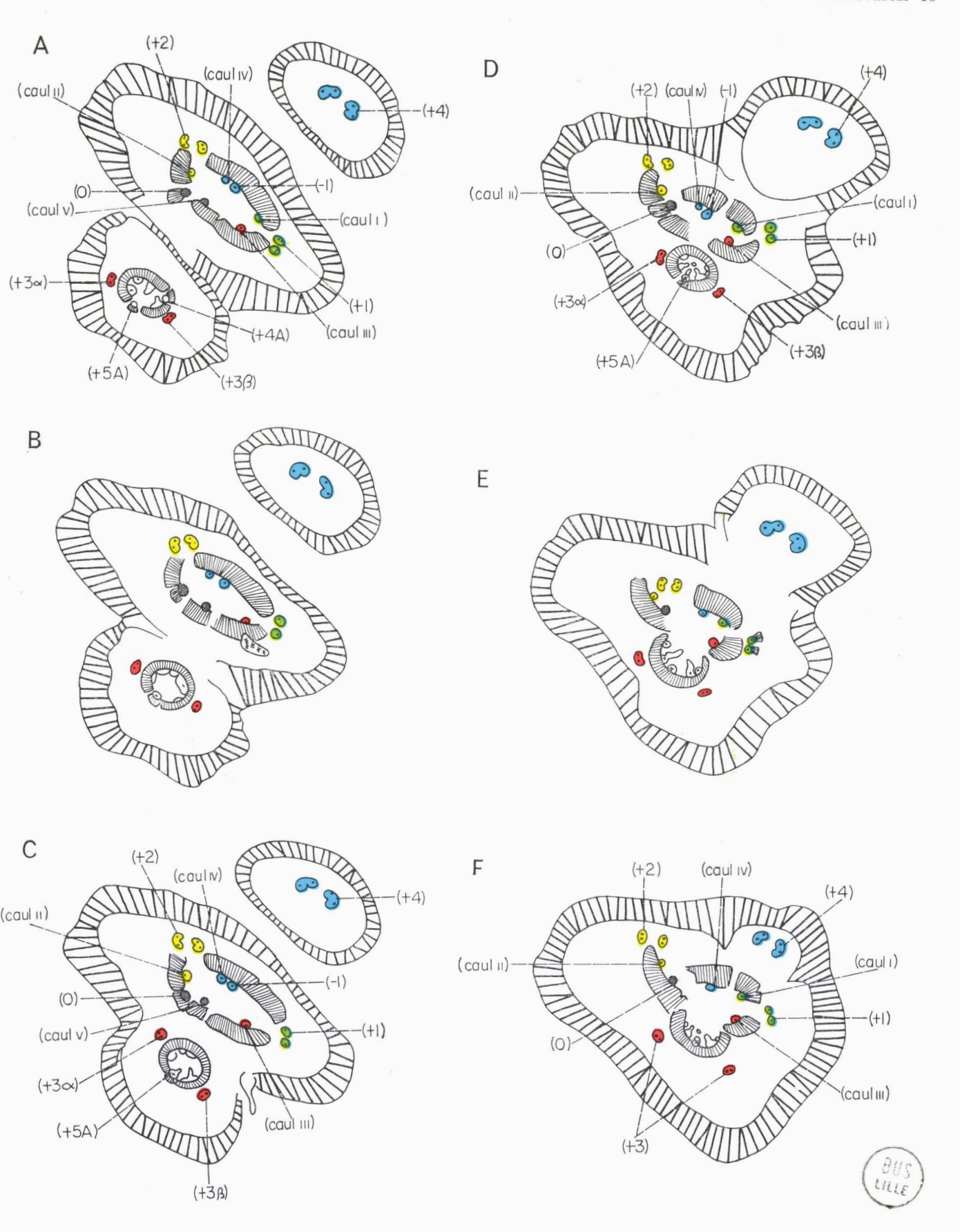
Coupes transversales sériées d'une tige principale de Lyginopteris oldhamia (Binney) Potonié, émettant une ramification axilaire du type I (suite).

Fig. A à F. - Lames minces: n°s 2082 et 2083, n° 2081, n°s 2079 et 2080, n° 2078 (voir pl. 81, fig. 1) n°s 2075 et 2076, n°s 2072, 2073 et 2074 (voir pl. 80, fig. 1).

Origine: Dulesgate (Lancashire).

Niveau: Coal Measures.

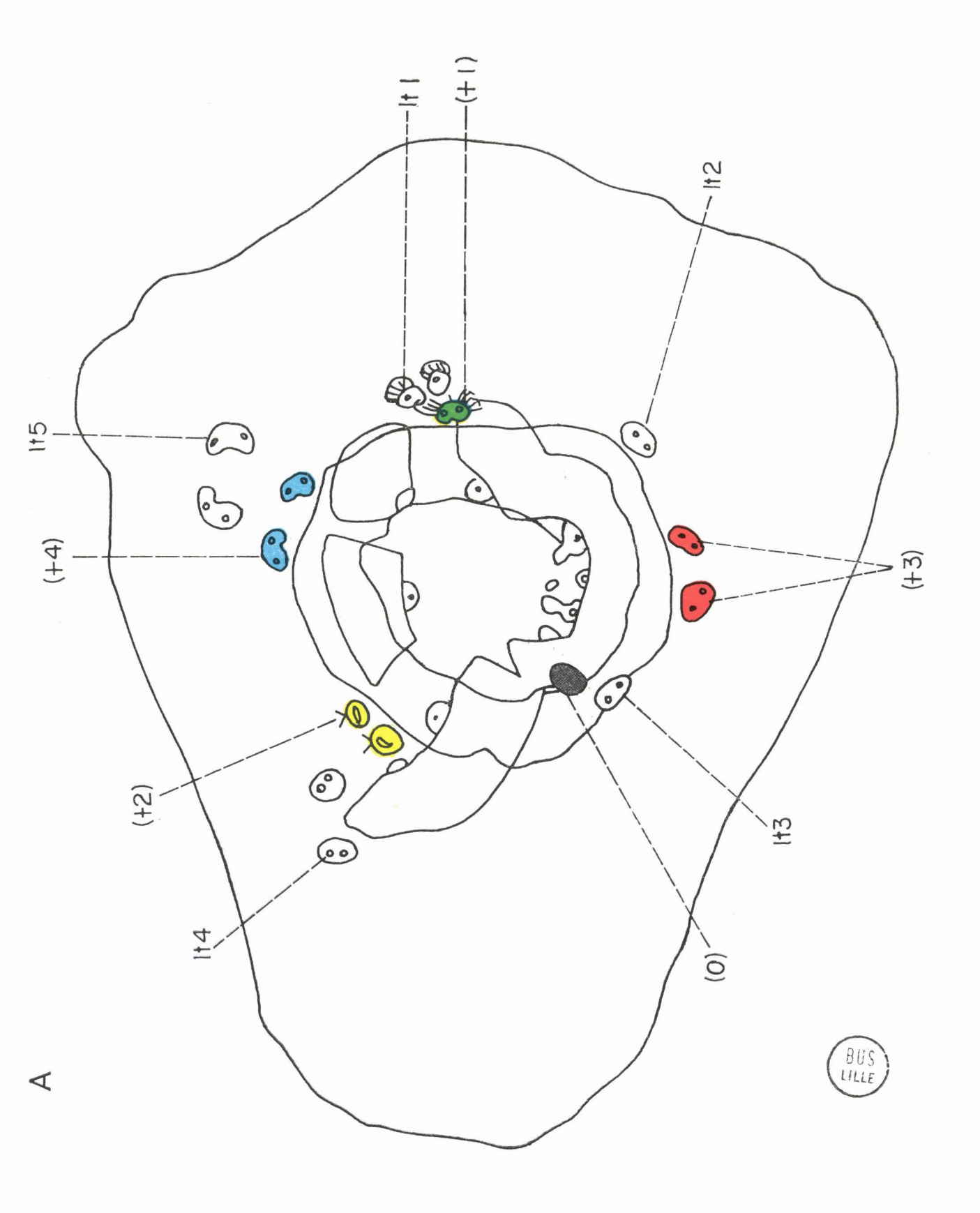
Collection: Londres (British Museum).



Comportement du bois primaire dans une tige principale de Lyginopteris oldhamia (Binney) Potonié, prête à émettre une ramification axilaire du type I.

Fig. A. - Superposition des coupes 2074 (voir pl. 80, fig. 1) et M 40 (voir pl. 70, fig. 2). Dans la première la numérotation des faisceaux (lt¹, lt² = leaf trace = trace foliaire, nº 1,2) est celle mentionnée par Scott (83), p. 39. Dans la seconde les faisceaux sont numérotés selon le mode adopté dans cet ouvrage.

Afin de rendre le schéma plus intelligible, la première coupe est au grossissement 6, la seconde au grossissement 4.



Coupes transversales sériées d'une tige principale de *Lyginopteris oldhamia* (BINNEY) POTONIÉ, émettant une ramification axilaire du type I.

Fig. A - B et E. - Lames minces: nº 41 (voir pl. 86, fig. 5), nº 40 (voir pl. 86 fig. 4), nº 39 (voir pl. 85, fig. 4).

Origine: Shore Littleborough (Lancashire).

Niveau: Coal Measures.

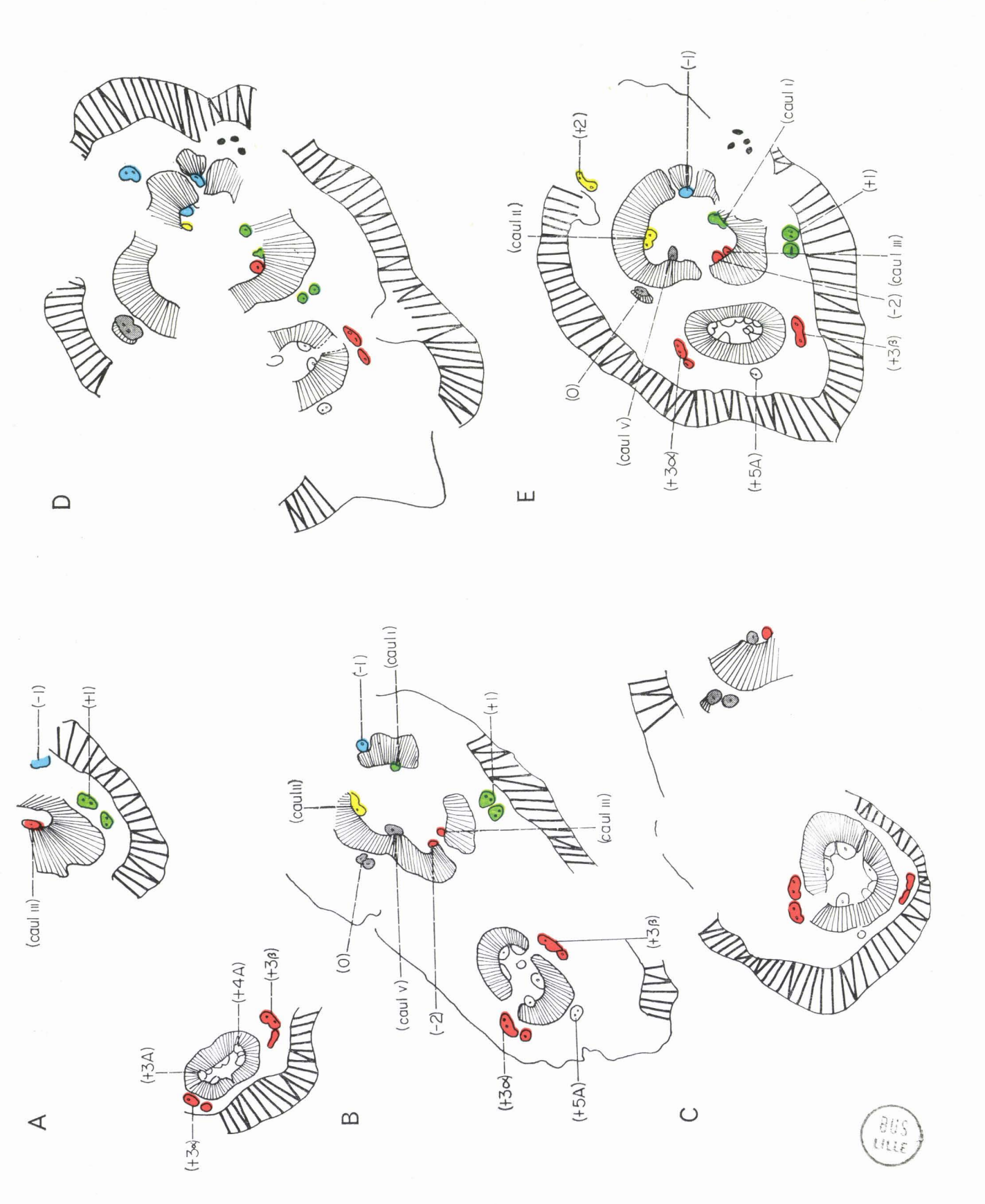
Collection: Université de Lille.

Gr. : = 3.

Fig. C et D. – Lames minces : n° 515/8 (voir pl. 86, fig. 2), n° T (voir pl. 86, fig. 1).

Origine: Shore Littleborough (Lancashire). Niveau: Coal Measures.

Collection: Université de Tübingen.



Coupes transversales sériées d'une tige principale de Lyginopteris oldhamia (BINNEY) Potonié, émettant une ramification axilaire du type I (suite).

Fig. A à C. – Lames minces : n° 515/6 (voir pl. 85, fig. 5), n° 515/2 (voir pl. 85, fig. 3), n° 515/5 (voir pl. 85, fig. 2).

Origine : Shore Littleborough (Lancashire).

Niveau: Coal Measures.

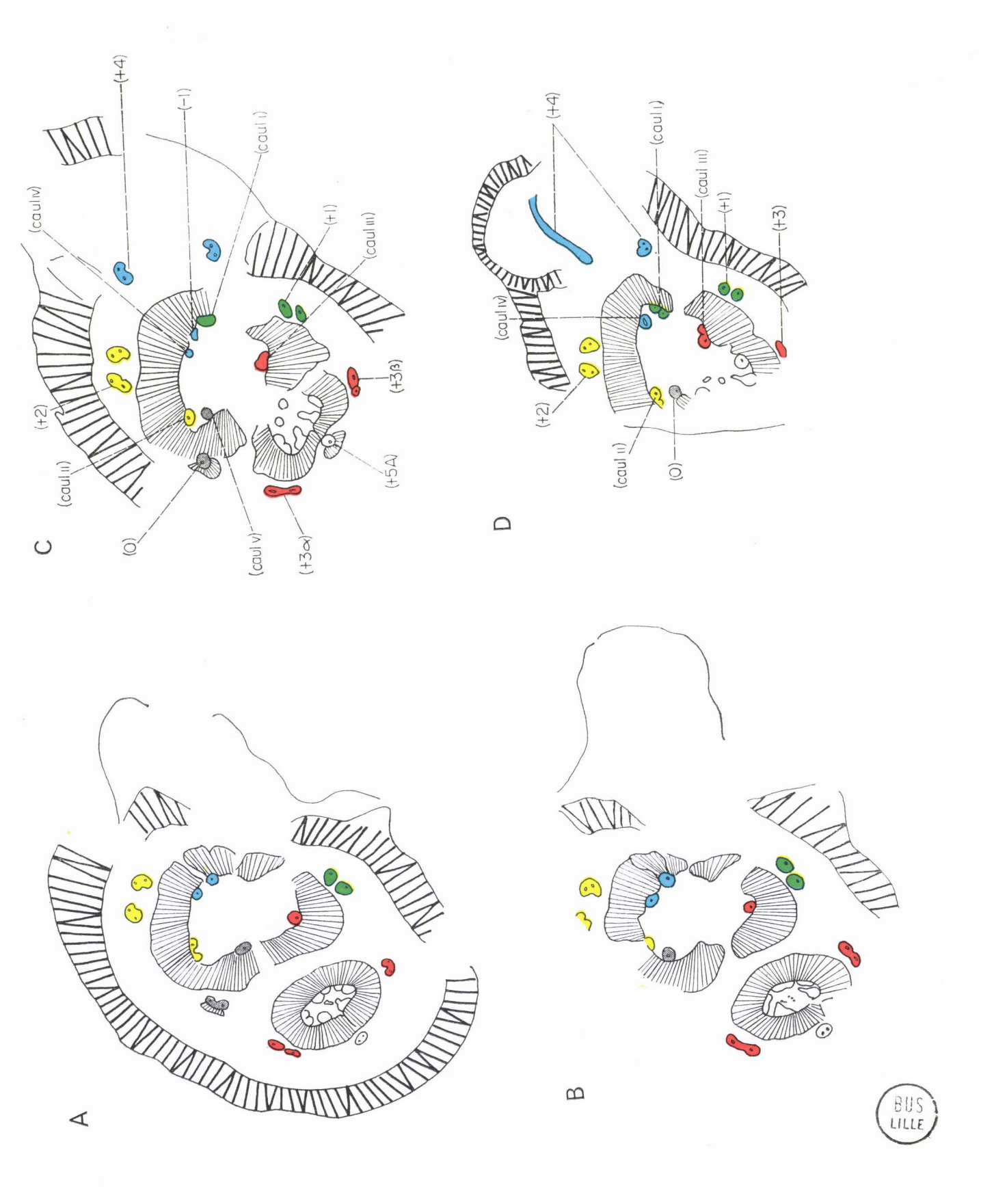
Collection: Université de Tübingen.

Gr. : = 3.

Fig. D. - Lame mince nº 37 (voir pl. 85, fig. 1).
Origine: Shore Littleborough (Lancashire).

Niveau: Coal Measures.

Collection: Université de Lille.



Ramification axilaire du type I chez Lyginopteris oldhamia (BINNEY) POTONIÉ.

Fig. A - B - C - D - E et K

Coupes transversales isolées constituant une série artificielle.

Fig. A. - Lame mince no 55 C (voir pl. 93, fig. 2).

Origine : Ostrau (Haute-Silésie).

Niveau: Koksflöz.

Collection : Université de Graz.

Gr. : = 3.

Fig. C et K. - Lames minces nº 480 et 471 (voir pl. 92, fig. 2).

Origine: Dulesgate (Lancashire).

Niveau: Coal Measures.

Collection: Université de Tübingen.

Gr. : = 3 et 5.

Fig. D. - Lame mince no 58 Lx II (voir pl. 92, fig. 4).

Origine: Dules gate (Lancashire).

Niveau: Coal Measures.

Collection: Université de Lille.

Gr. : = 3.

Fig. B. - Lame mince no 189 (voir pl. 92, fig. 5).

Origine: Halifax (Yorkshire).

Niveau: Coal Measures.

Collection: Londres (Imperial College).

Gr. : = 10.

Fig. E. - Lame mince no R 19 (voir pl. 92, fig. 3).

Origine: Dulesgate (Lancashire).

Niveau: Coal Measures.

Collection: Londres (University College).

Fig. F - H - I. - Coupes transversales de ramifications.

Fig. F et H. - Numérotation des faisceaux dans le cas d'un cycle phyllotaxique de 1/3 :

Fig. F. - Lame mince no 2094 (voir pl. 84, fig. 2).

Origine: Dulesgate (Lancashire).

Niveau: Coal Measures.

Collection: Londres (British Museum).

Fig. H. - Lame mince nº R 19 (voir pl. 92, fig. 3).

Gr. : = 13.5 env.

Fig. I. - Superposition de deux coupes transversales sériées.

Lames minces no 2094 (voir pl. 84, fig. 2) et no 2089 (voir pl. 83, fig. 1).

Origine: Dulesgate (Lancashire).

Niveau: Coal Measures.

Collection: Londres (British Museum).

Gr. : = 13,5 env.

Fig. G et J. - Composition du système ligneux primaire dans deux coupes transversales d'une ramification.

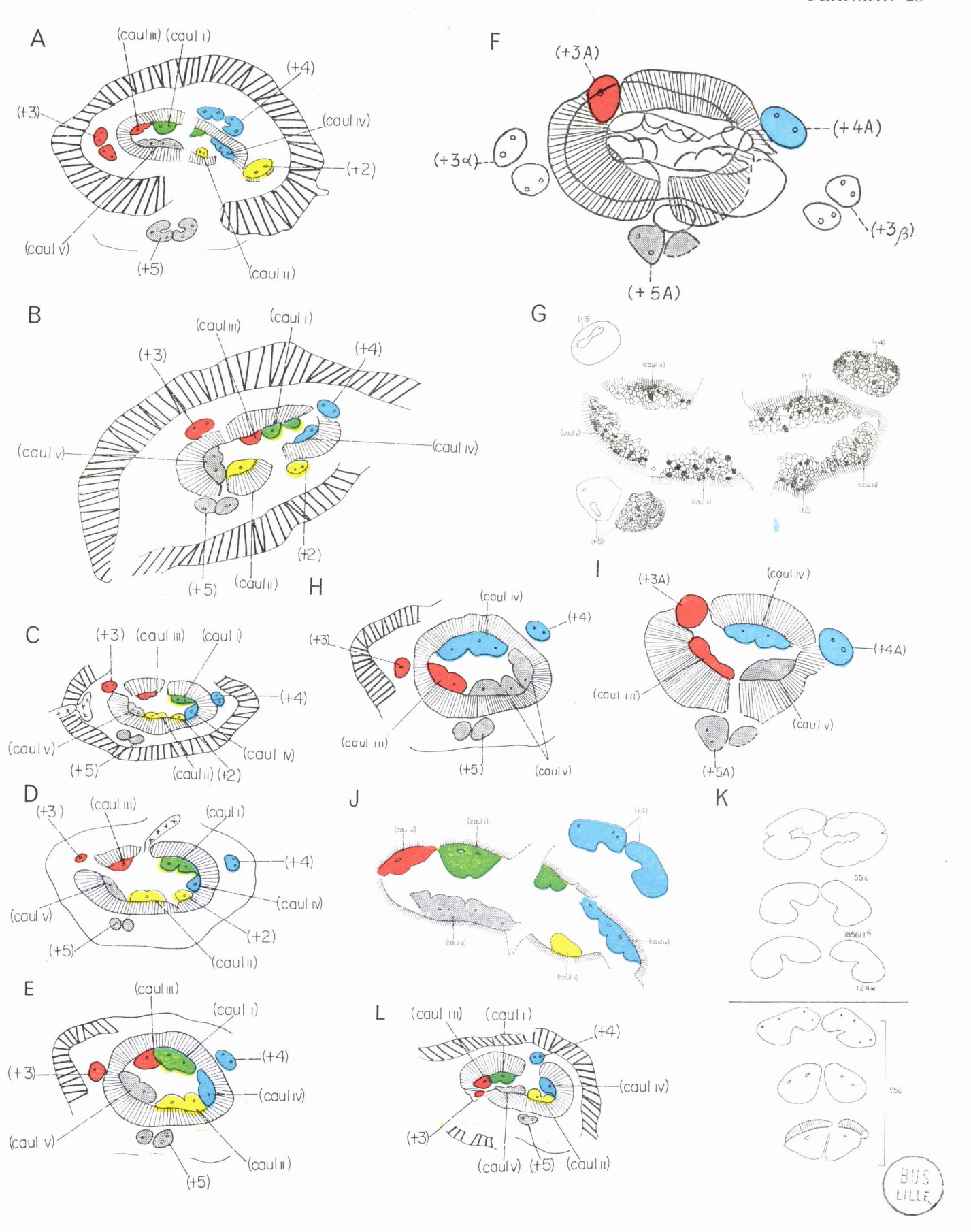
Lames minces nº 55 C (voir pl. 23, fig. A et pl. 93, fig. 2) et nº 58

Lx II (voir pl. 23, fig. D et pl. 92, fig. 4). Gr. : = 12,5.

Fig. L. – Évolution en coupes transversales d'un cordon ligneux depuis son entrée dans le bois secondaire jusque dans le cortex.

Lames minces n° 55 C (voir pl. 93, fig. 2), n° 124 w (voir pl. 96, fig. 5), n° 1856 IT⁶ (voir pl. 95, fig. 1).

Gr. : = 12,5.



Étude comparée du système ligneux primaire dans plusieurs séries de ramifications axilaires du type I chez Lyginopteris oldhamia (BINNEY) POTONIÉ.

Fig. A¹ à A⁷. – Lames minces: n° 78 p, n° 78 l (voir pl. 98, fig. 2), n° 78 h (voir pl. 98, fig. 1), n° 78 g, n° 78 e, n° 78 c, n° 78 b.

Origine: Halifax (Yorkshire).

Niveau: Coal Measures.

Collection: Londres (University College).

Gr. : = 3.

Fig. B¹ à B⁵. - Lames minces: nº 1858 II QR⁴, nº 1856 IT⁴, nº 1856 IT⁶ (voir pl. 95, fig. 1), nº 1856 IT⁵, nº 1856 II QR⁵.

Origine : Ostrau (Haute-Silésie).

Niveau: Cunégonde.

Collection : Université de Lille.

Fig. C¹ à C⁸. - Lames minces: n° 124 w (voir pl. 96, fig. 5), n° 124 t, n° 124 n (voir pl. 96, fig. 4), n° 124 f (voir pl. 96, fig. 3), n° 124 r (voir pl. 96, fig. 2), n° 124 d, n° 124 b, n° 124 a (voir pl. 96, fig. 1).

Origine: Ostrau (Haute-Silésie).

Niveau: Koksflöz.

Collection : Université de Graz.

Gr. : = 3.

Fig. D¹ à D². - Lames minces: n° NL 13 (voir pl. 97, fig. 1), n° NL 14. Origine: Halifax (Yorkshire).

Niveau: Coal Measures.

Collection : Université de Lille.

Gr. : = 3.

Fig. E^1 à E^3

Fig. E¹ et E². – Lames minces: no NL, 13 (voir pl. 100, fig. 3), no NL 14 (voir pl. 100, fig. 1 et 2).

Origine: Halifax (Yorkshire).

Niveau : Coal Measures.

Collection: Université de Lille.

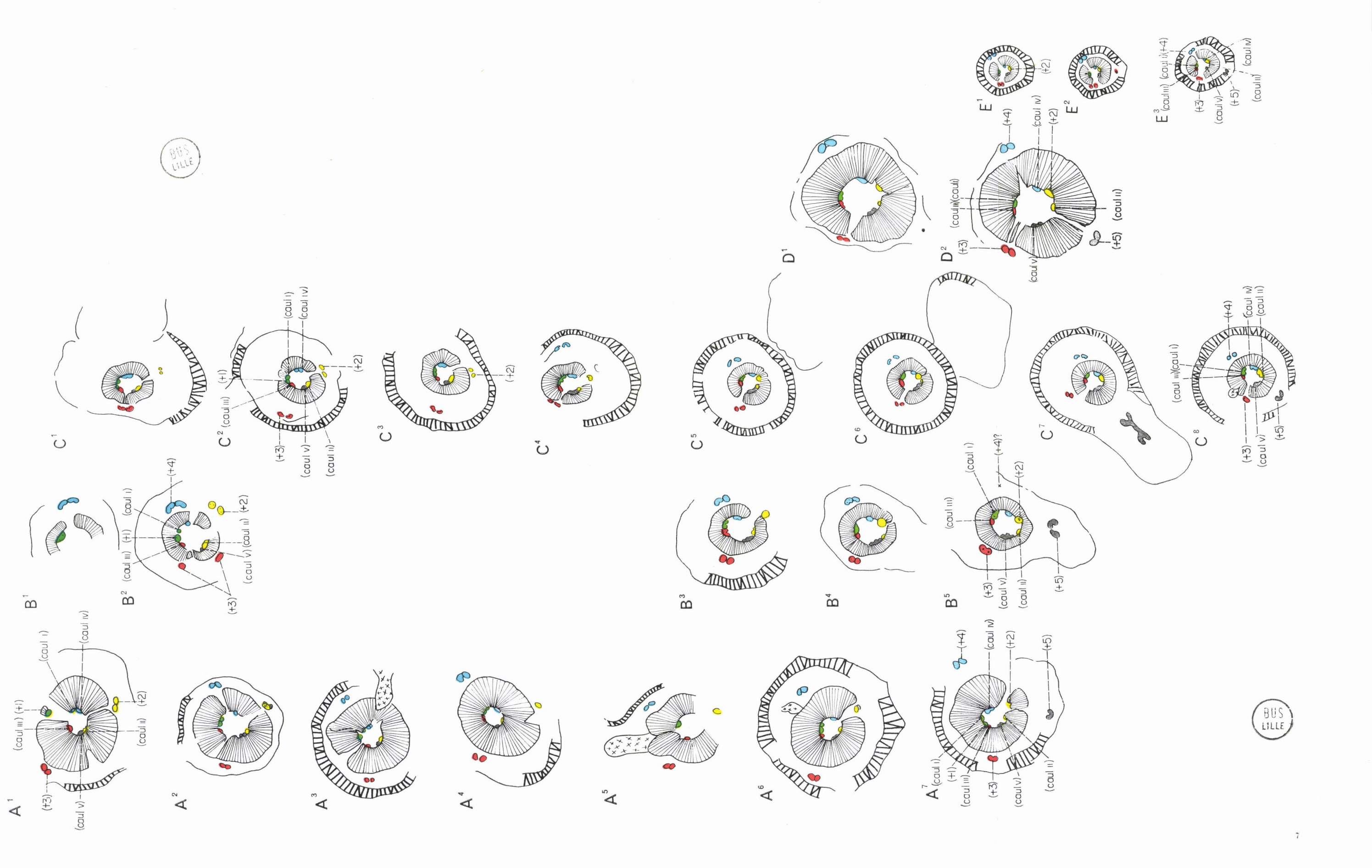
Gr. : = 3.

Fig. E3. - Lame mince no 189 (voir pl. 99, fig. 4).

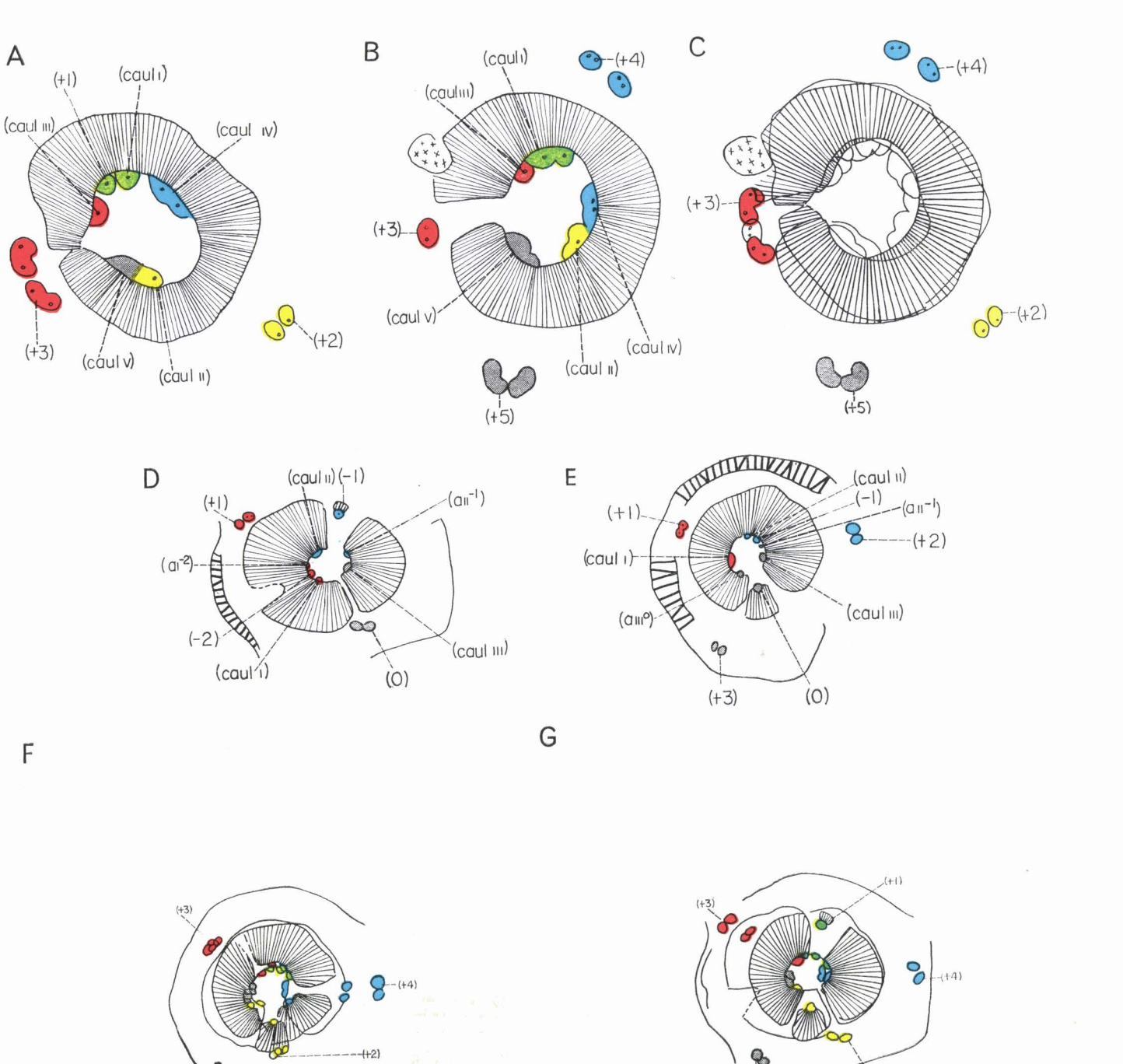
Origine: Halifax (Yorkshire).

Niveau: Coal Measures.

Collection: Londres (Imperial College).



- Notation des faisceaux ligneux primaires dans la ramification axilaire du type I chez *Lyginopteris oldhamia* (BINNEY) POTONIÉ.
- Fig. A à C. Comparaison des coupes transversales sériées nº 124 w (voir pl. 96, fig. 5) et 124 a (voir pl. 96, fig. 1) par la méthode de superposition (fig. C).
 Gr. : = 8.
- Fig. D à G. Comparaison des coupes transversales sériées M 78 p (fig. D) et M 78 b (fig. E) d'une part et M 78 l (voir pl. 98, fig. 2) et M 78 p par la méthode de superposition (fig. E et G). Sur les figures D et E les faisceaux sont numérotés en supposant une phyllotaxie de 1/3. Gr. : = 3 (fig. D et E), = 6 (fig. F. G).





Évolution du système ligneux primaire dans une ramification axilaire du type I, à l'aide de coupes transversales sériées ou non, chez Lyginopteris oldhamia (BINNEY) Potonié.

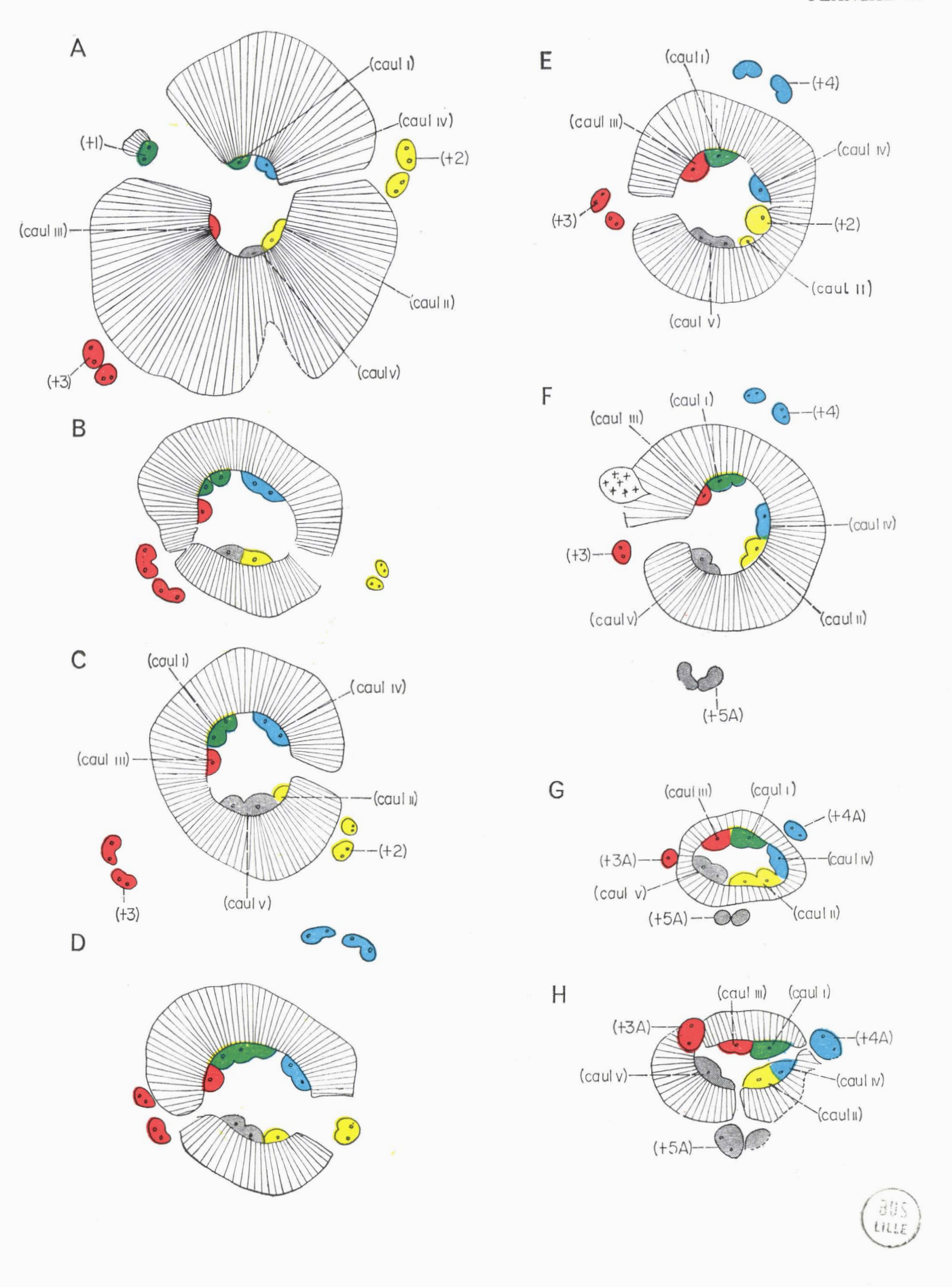
Fig. A. - Lame mince no M 78 p. Origine: Halifax (Yorkshire). Niveau: Coal Measures. Collection: Londres (University College). Gr. : = 9.

Fig. B à F. - Lames minces: nº 124 w (voir pl. 96, fig. 5), nº 124 n (voir pl. 96, fig. 4), no 124 f (voir pl. 96, fig. 3), no 124, d, no 124 a (voir pl. 96, fig. 1). Origine: Ostrau (Haute-Silésie). Niveau: Coaksflöz. Collection: Université de Graz. Gr. : = 6.

Fig. G. - Lame mince no R 19 (voir pl. 92, fig. 3). Origine: Dulesgate (Lancashire). Niveau: Coal Measures. Collection: Londres (University College).

Gr. : = 10.

Fig. H. - Lame mince no 2094 (voir pl. 84, fig. 2). Origine: Dulesgate (Lancashire). Niveau: Coal Measures. Collection: Londres (British Museum). Gr. : = 10.



Évolution du système ligneux primaire dans une ramification axilaire du type I, à l'aide de coupes transversales sériées ou non, chez Lyginopteris oldhamia (BINNEY) Potonie (suite).

Fig. A et D. - Lames minces: no 41 (voir pl. 86, fig. 5) et no 39 (voir pl. 85, fig. 4).

> Origine: Shore Littleborough. Niveau : Coal Measures.

Collection : Université de Lille.

Gr. : = 10.

Fig. B - H - K - L. - Lames minces: nº 2089 (voir pl. 83, fig. 1), nº 2084 (voir pl. 82, fig. 1), no 2078 (voir pl. 81, fig. 1), no 2074 (voir pl. 80,

Origine: Dulesgate (Lancashire).

Niveau : Coal Measures.

Collection: Londres (British Museum).

Gr. : = 10.

Fig. C et E. – Lames minces : n° 515/8 (voir pl. 86, fig. 2) et n° 515/6 (voir pl. 85, fig. 5).

Origine: Shore Littleborough (Lancashire). Niveau: Coal Measures.

Collection : Université de Tübingen.

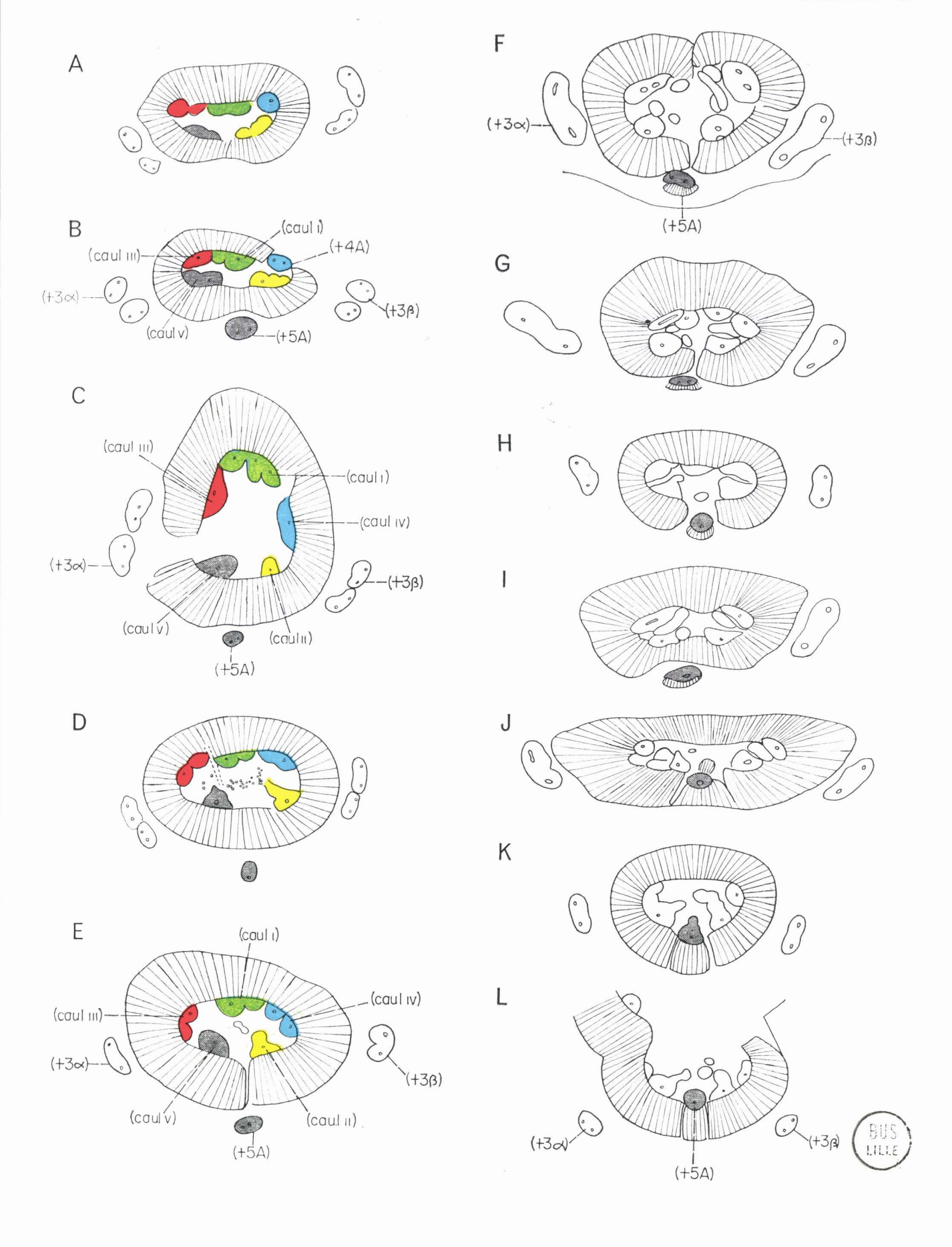
Gr. : = 6.

Fig. F - G - I - J. - Lames minces: no M 56 k (voir pl. 90, fig. 4), no M 56 h (voir pl. 90, fig. 3), no M 56 f (voir pl. 90, fig. 2), no M 56 a (voir pl. 90, fig. 1).
Origine: Shore Littleborough (Lancashire).

Niveau : Coal Measures.

Collection: Londres (University College).

Gr. : = 6.



Étude du système ligneux primaire dans la ramification axilaire du type I chez Lyginopteris oldhamia (BINNEY) POTONIÉ.

Fig. A. - Coupe transversale de la région médullaire d'une ramification.

Lame mince no NL 14 (voir pl. 100, fig. 1 et 2).

Origine: Halifax (Yorkshire).

Niveau: Coal Measures.

Collection: Université de Lille.

Gr. : = 30.

Fig. B. - Course longitudinale des 5 cordons ligneux d'après les coupes transversales sériées n° 124 (voir pl. 96).

Origine: Ostrau (Haute-Silésie).

Niveau : Koksflöz.

Collection: Université de Graz.

Gr. : = 8,5.

Fig. C. - Coupe transversale de la région médullaire d'une ramification.

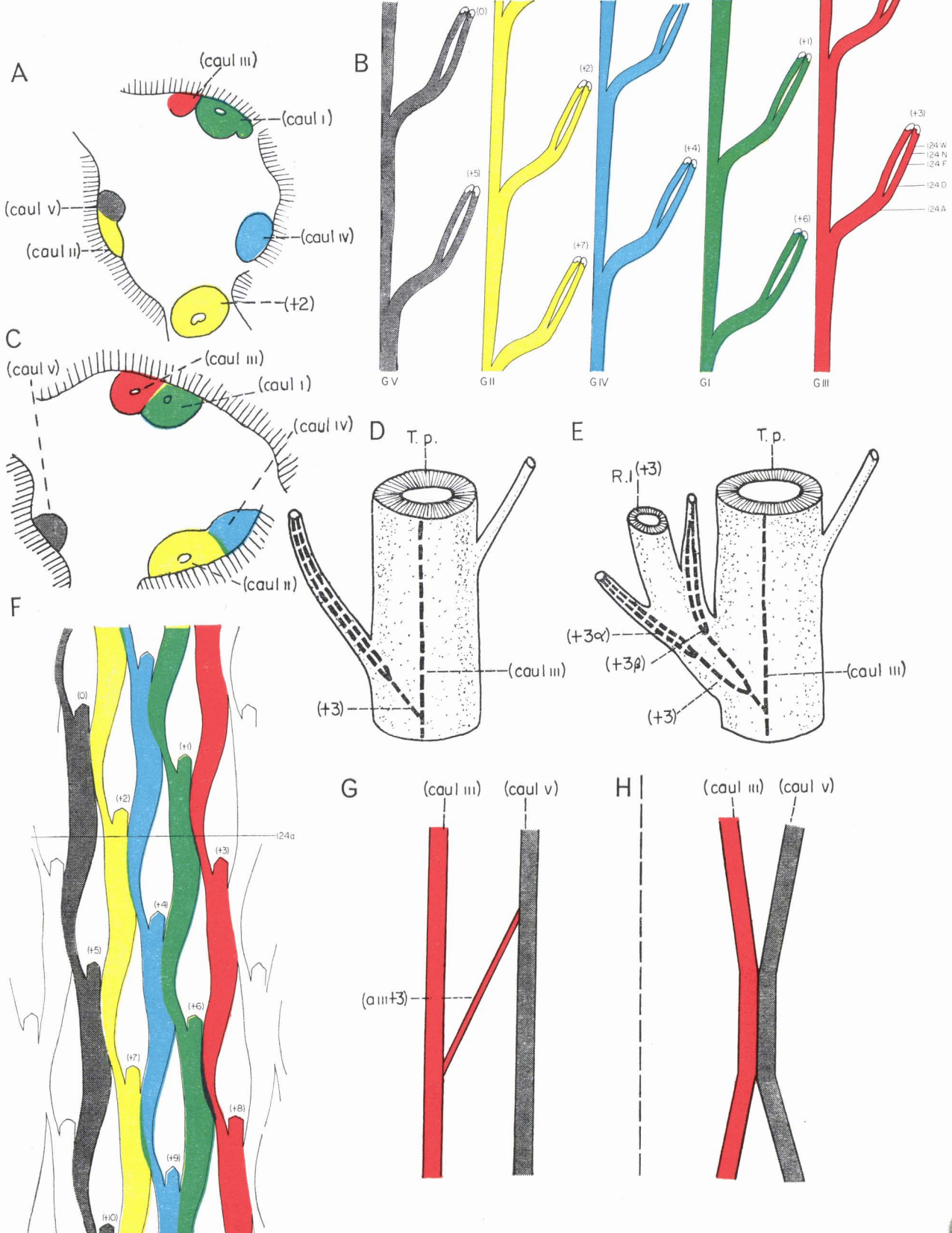
Lame mince no 189 (voir pl. 99, fig. 4).

Origine: Halifax (Yorkshire).

Niveau: Coal Measures.

Collection: Londres (Imperial College).

- Fig. D et E. Course longitudinale du groupe ligneux III lorsque le faisceau sortant (+ 3) innerve soit un pétiole situé uniquement sur la tige principale (fig. D), soit deux pétioles opposés situés à l'intersection de la tige principale et de la ramification axilaire (fig. E).
- Fig. F. Course longitudinale et anastomose des faisceaux périmédullaires d'une ramification d'après la coupe transversale nº 124 a (voir pl. 96, fig. 1). La ligne horizontale indique la position de cette coupe.
- Fig. G et H. Anastomose des faisceaux périmédullaires entre les groupes ligneux III et V dans une tige principale (fig. G) et dans une ramification (fig. H).



BUS

Coupes transversales sériées d'une tige principale de Lyginopteris oldhamia (BINNEY) POTONIÉ émettant une ramification axilaire du type II.

Fig. A à D. – Lames minces : nº 8 (voir pl. 104, fig. 3), nº 7 (voir pl. 104, fig. 1), nº 6 Lx III (voir pl. 103, fig. 2), nº 6 (voir pl. 102, fig. 2).

Origine : Dulesgate (Lancashire).

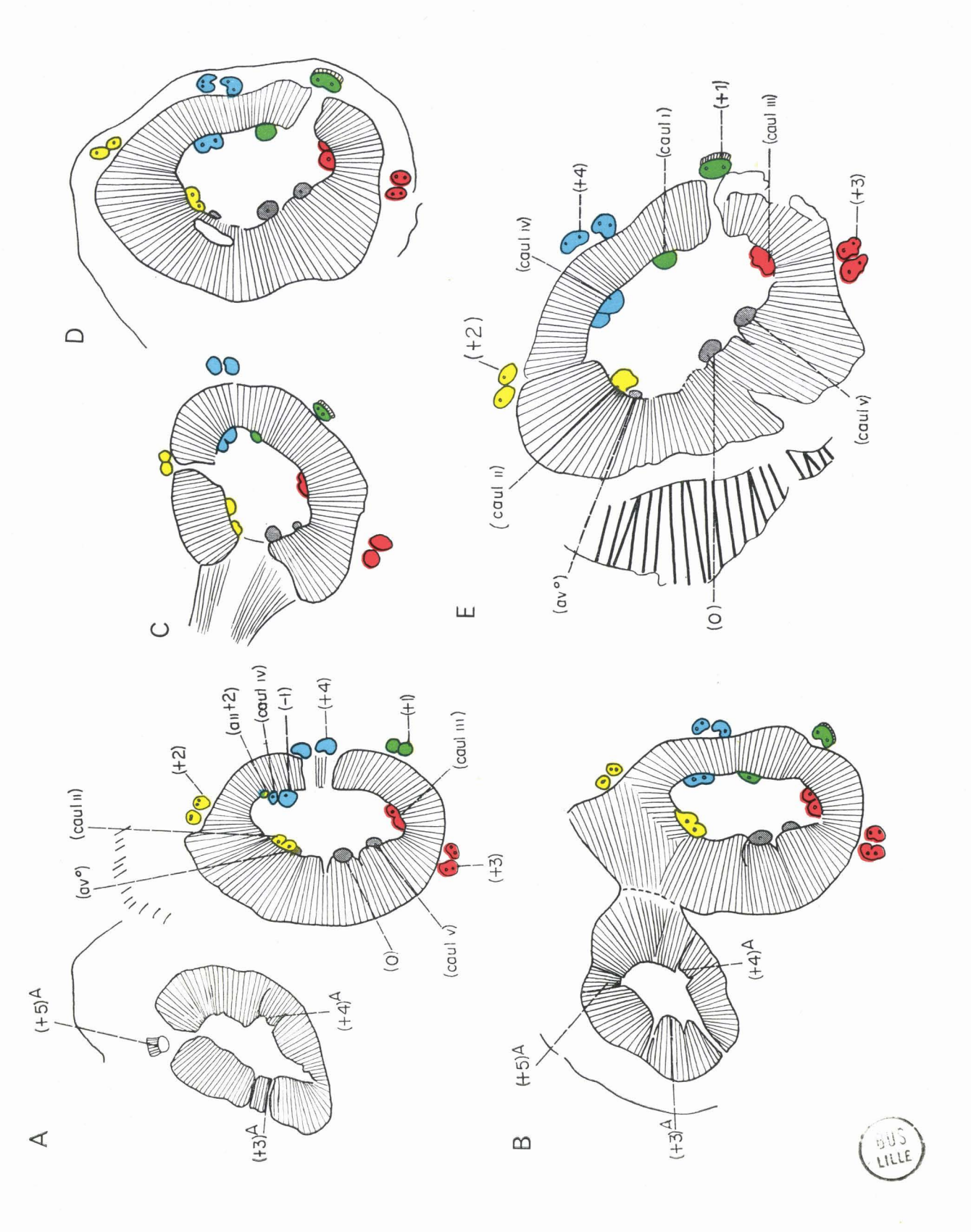
Niveau: Coal Measures.

Collection: Université de Lille.

Gr. : = 4.

Fig. E. - Lame mince no 935 (voir pl. 102, fig. 3). Origine: Dulesgate (Lancashire). Niveau: Goal Measures.

Collection: Université de Lille.



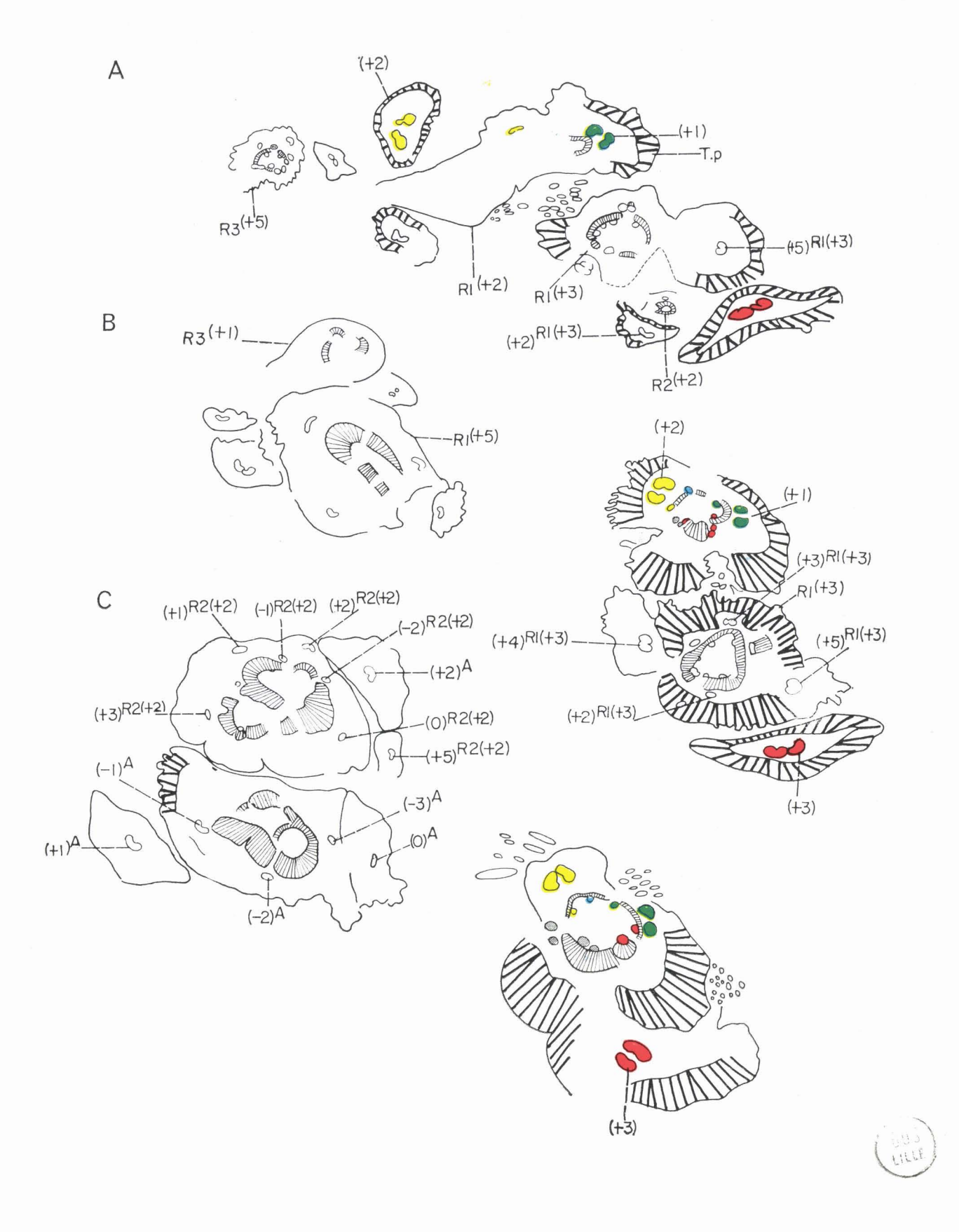
Coupes transversales sériées d'une tige principale de Lyginopteris oldhamia (BINNEY) POTONIÉ émettant une ramification axilaire du type II.

Fig. A à C. – Lames minces: n° M 50 ze (voir pl. 109, fig. 3), n° M 50 x (voir pl. 109, fig. 1), n° M 50 w (voir pl. 108, fig. 4).

Origine: Sharney Ford (Lancashire).

Niveau: Coal Measures.

Collection: Londres (University College).



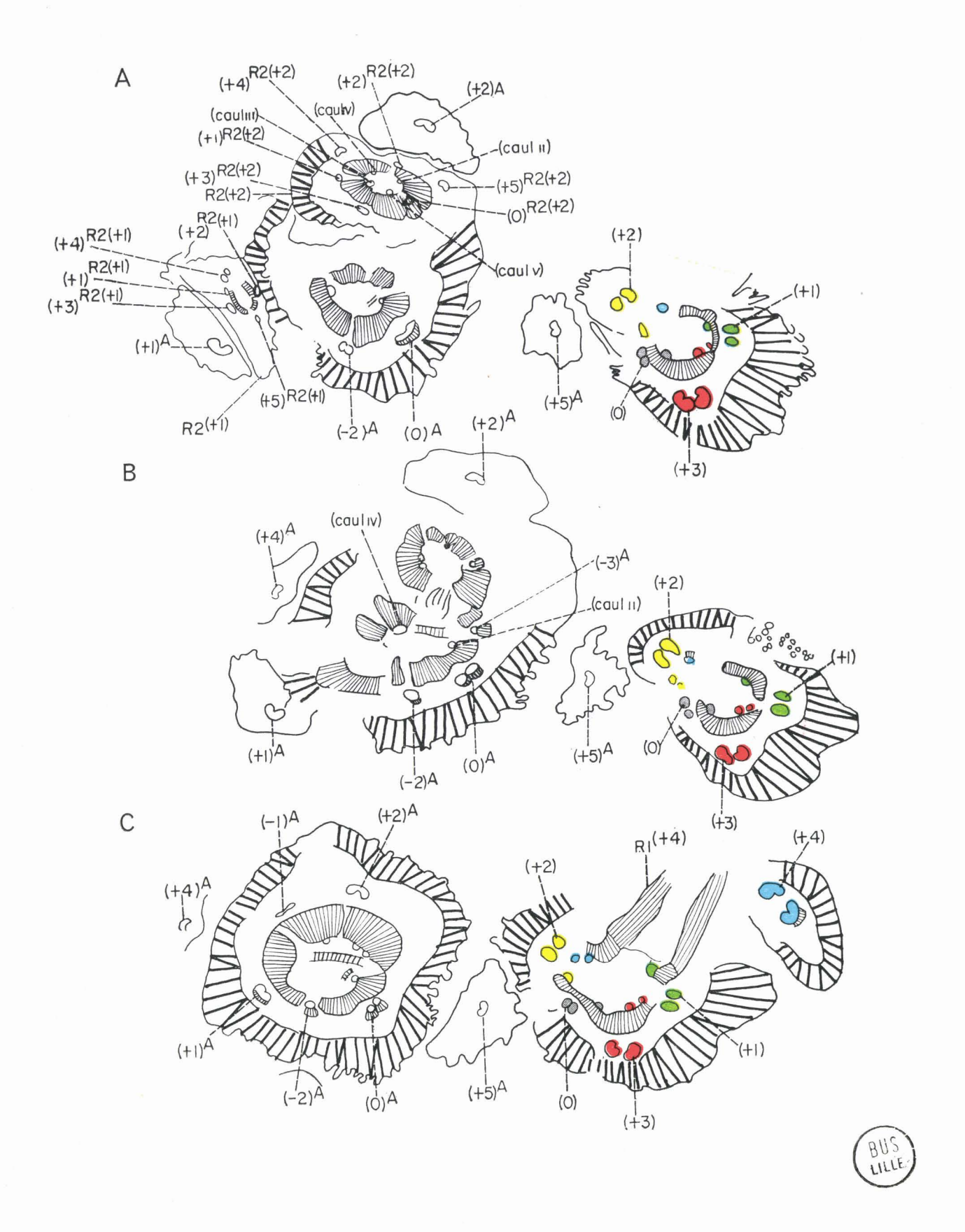
Coupes transversales sériées d'une tige principale de Lyginopteris oldhamia (BINNEY) POTONIÉ émettant une ramification axilaire du type II (suite).

Fig. A à C. – Lames minces: n° M 50 t (voir pl. 108, fig. 2), n° M 50 s (voir pl. 108, fig. 1), n° M 50 q (voir pl. 107, fig. 3).

Origine: Sharney Ford (Lancashire).

Niveau: Coal Measures.

Collection: Londres (University College).



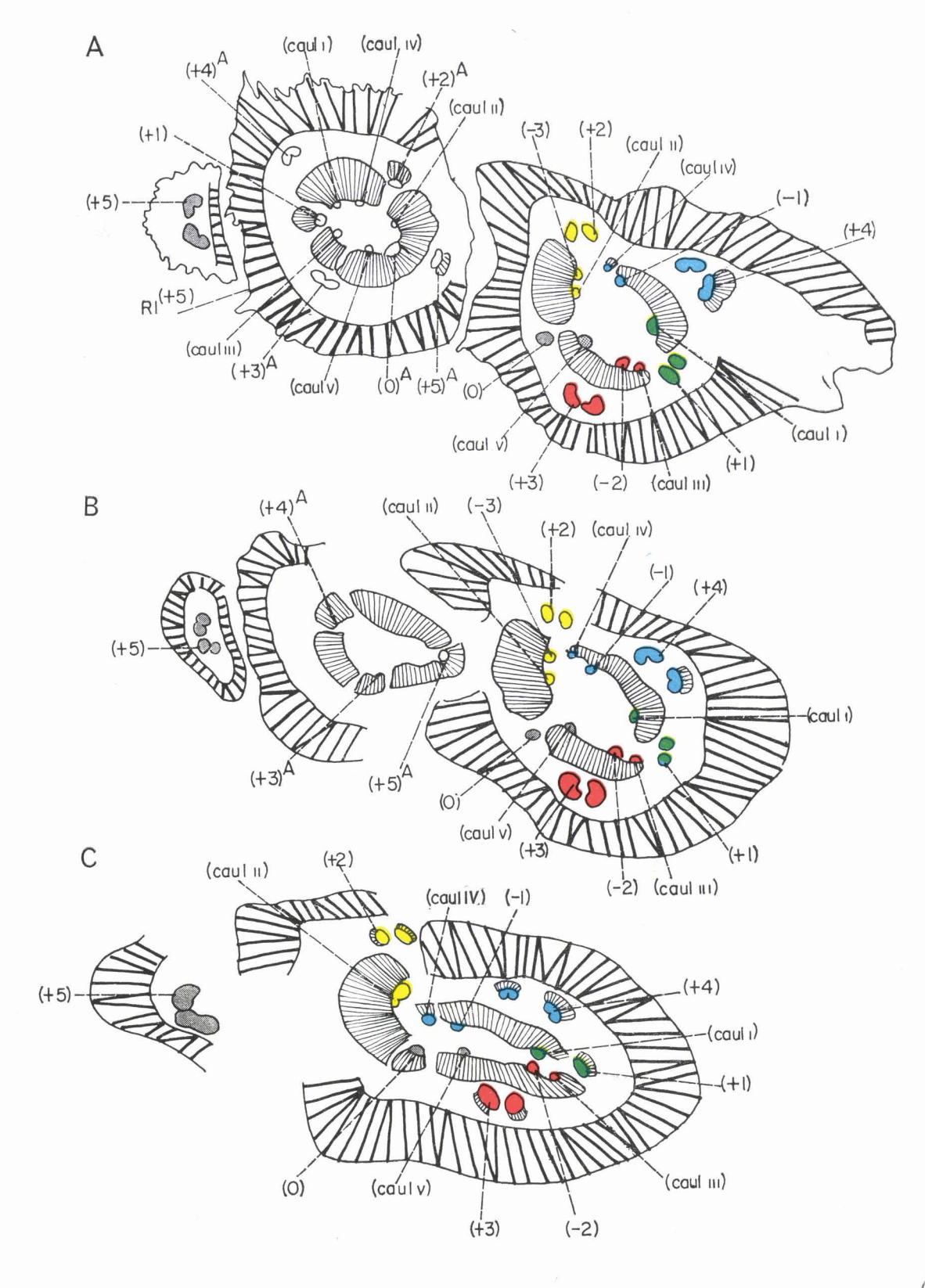
Coupes transversales sériées d'une tige principale de Lyginopteris oldhamia (BINNEY) POTONIÉ, émettant une ramification axilaire du type II (suite).

Fig. A à C. – Lames minces: nº M 50 l (voir pl. 106, fig. 4), nº M 50 j (voir pl. 106, fig. 3), nº M 50 d (voir pl. 106, fig. 1).

Origine: Sharney Ford (Lancashire).

Niveau: Coal Measures.

Collection: Londres (University College).



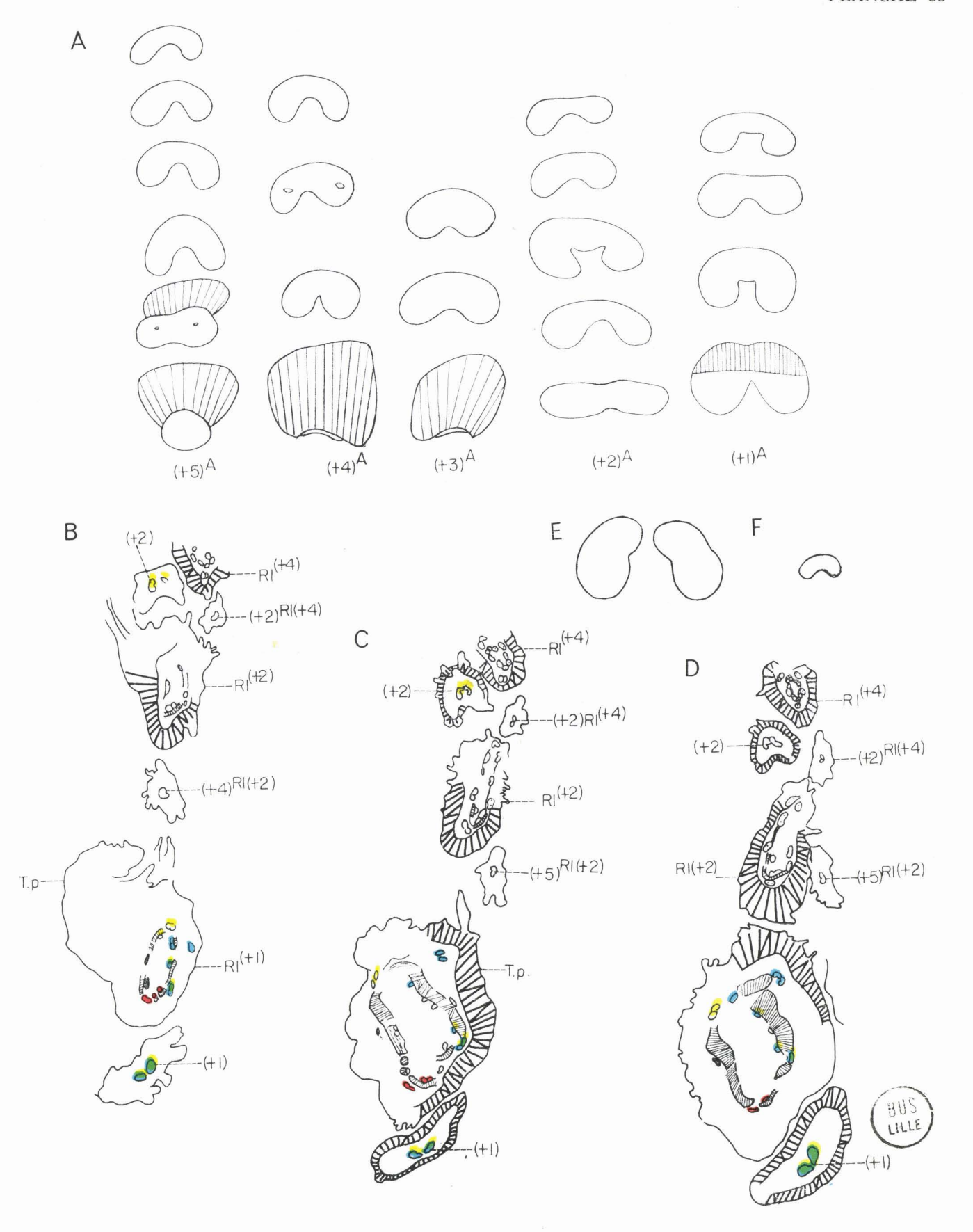


- Contour des faisceaux corticaux dans une ramification axilaire du type II et coupes transversales sériées d'une tige principale de Lyginopteris oldhamia (BINNEY) POTONIÉ émettant une ramification axilaire du type II.
- Fig. A. Différents aspects des 5 traces foliaires (+ 1)^A à (+ 5)^A dans les ramifications axilaires des séries de coupes transversales présentées : pl. 29, pl. 30 à 33 et pl. 33 à 35.
- Fig. E et F. Comparaison des faisceaux (+ 4) et (+ 5) innervant les pétioles respectivement situés sur la tige principale et sur la ramification dont l'ensemble est figuré pl. 107, fig. 2.
- Fig. B et C. Coupes transversales sériées.

Lames minces nº M 22 ρ (voir pl. 112, fig. 4), nº M 22 ϵ (voir pl. 112, fig. 3).

Origine: Angleterre.
Niveau: Coal Measures.

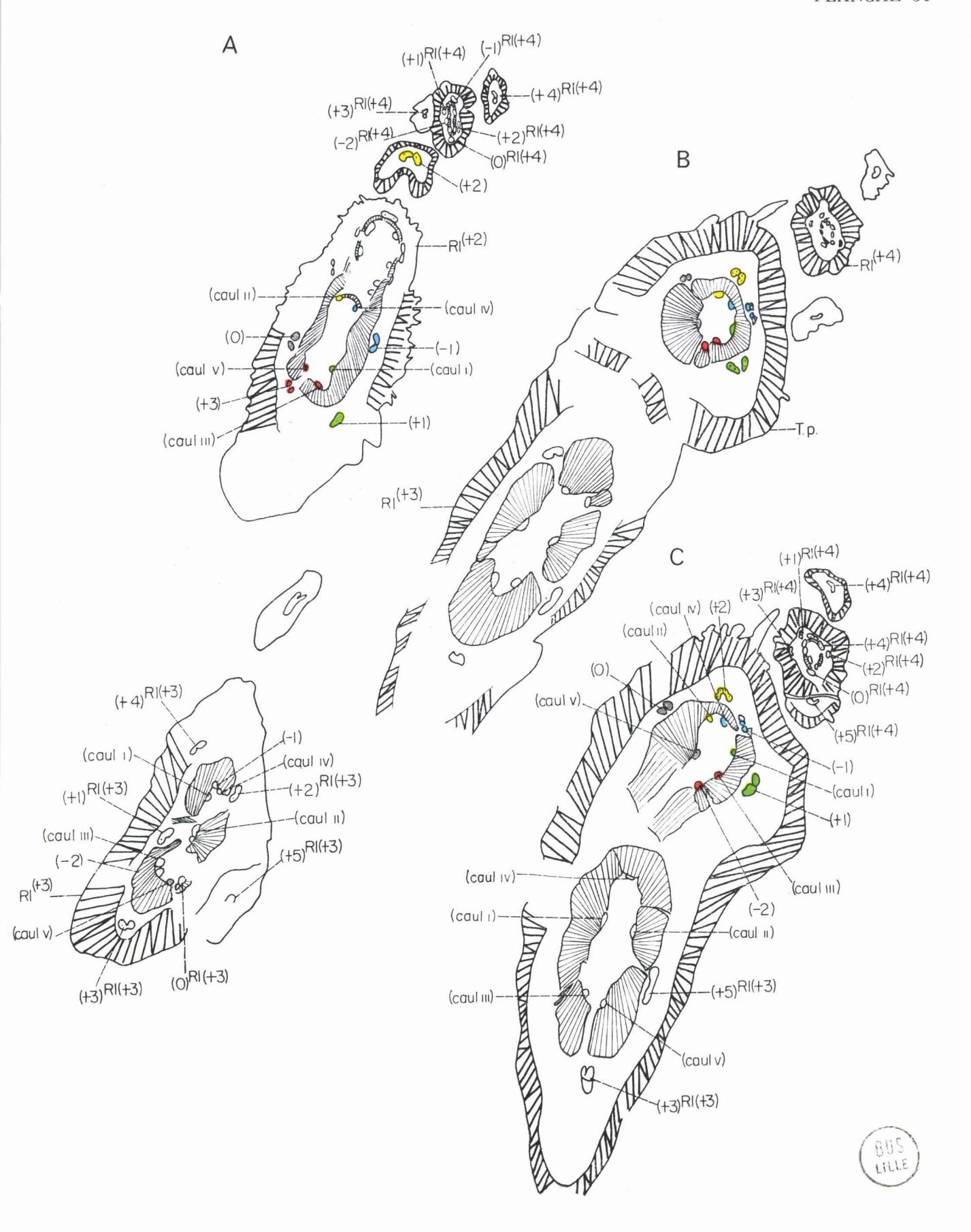
Collection: Londres (University College).



Coupes transversales sériées d'une tige principale de Lyginopteris oldhamia (BINNEY) POTONIÉ, émettant une ramification axilaire du type II (suite).

Fig. A à C. – Lames minces : n^o M 22 γ (voir pl. 112, fig. 1), n^o M 22 ν (voir pl. 111, fig. 3), n^o M 22 α (voir pl. 111, fig. 2). Origine : Angleterre. Niveau : Coal Measures.

Collection: Londres (University College).



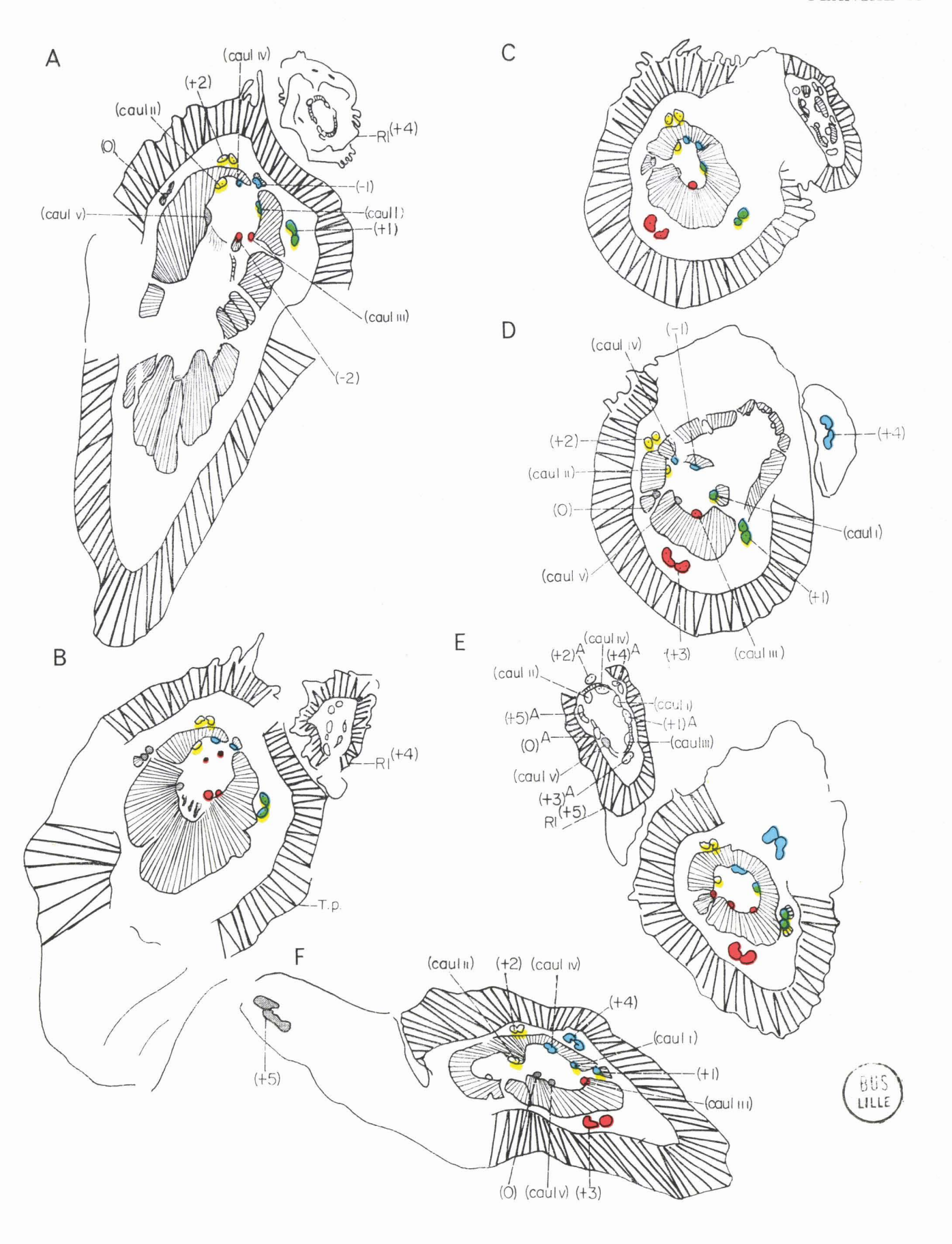
Coupes transversales sériées d'une tige principale de Lyginopteris oldhamia (BINNEY) POTONIÉ émettant une ramification axilaire du type II (suite).

Fig. A à F. - Lames minces: n° M 22 t (voir pl. 111, fig. 1), n° M 22 r (voir pl. 110, fig. 5), n° M 22 n (voir pl. 110, fig. 4), n° M 22 l (voir pl. 110, fig. 3), n° M 22 h (voir pl. 110, fig. 2), n° M 22 e (voir pl. 110, fig. 1). Origine: Angleterre.

Niveau: Coal Measures.

Collection of Measures.

Collection: Londres (University College).



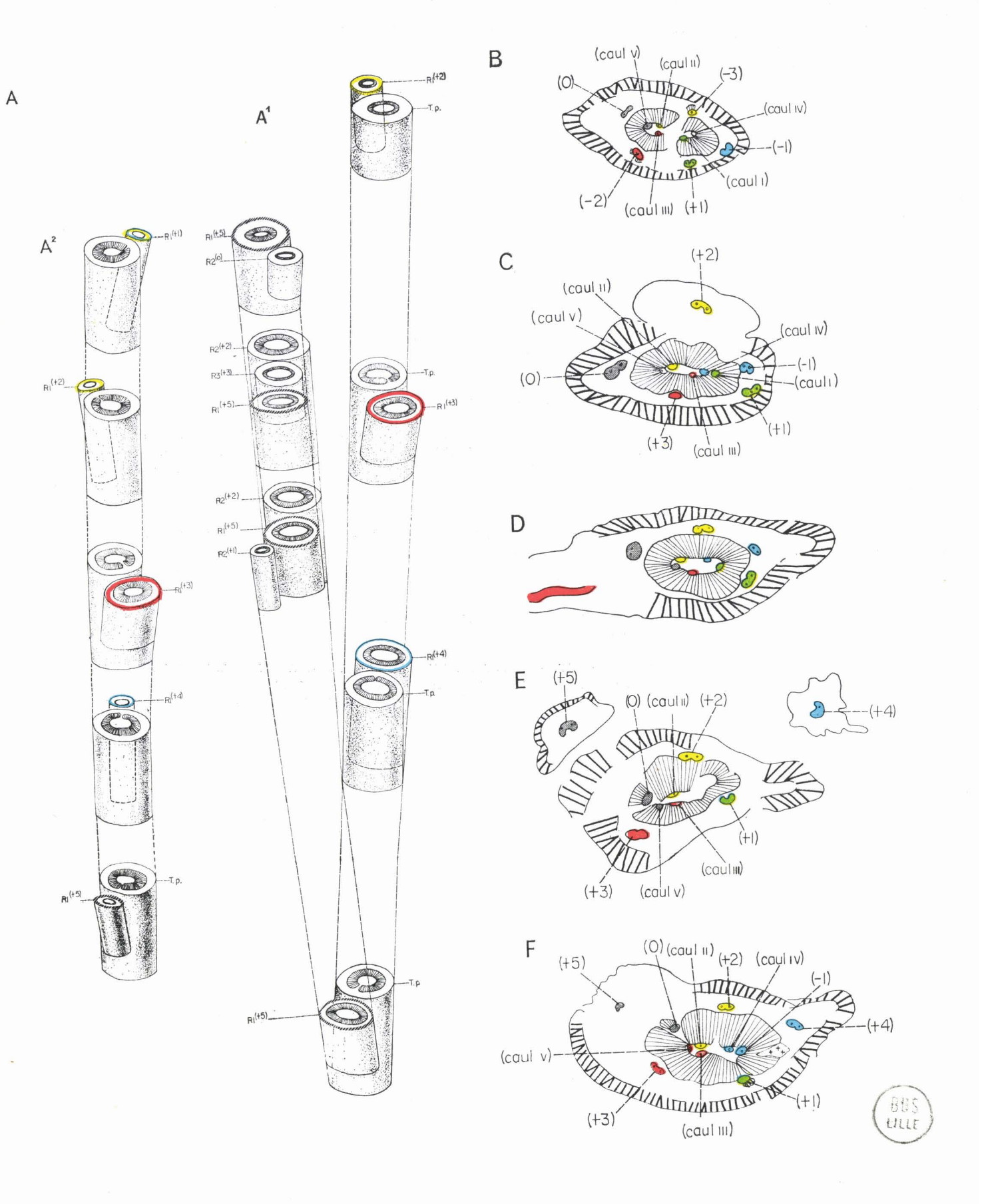
Ramification axilaire du type II chez Lyginopteris oldhamia (BINNEY) POTONIÉ.

- Fig. A¹ et A². Schémas montrant les différences de diamètre des rameaux axilaires issus des tiges principales dans les deux séries de coupes transversales M 22 (fig. A¹) et M 50 (fig. A²) présentées respectivement pl. 33, fig. B et C, 34, 35 et pl. 30 à 33.
- Fig. B à F. Coupes transversales sériées d'une ramification.

Lames minces: no M 50 zg, no M 50 zd, M 50 r, M 50 f, no M 50 d.

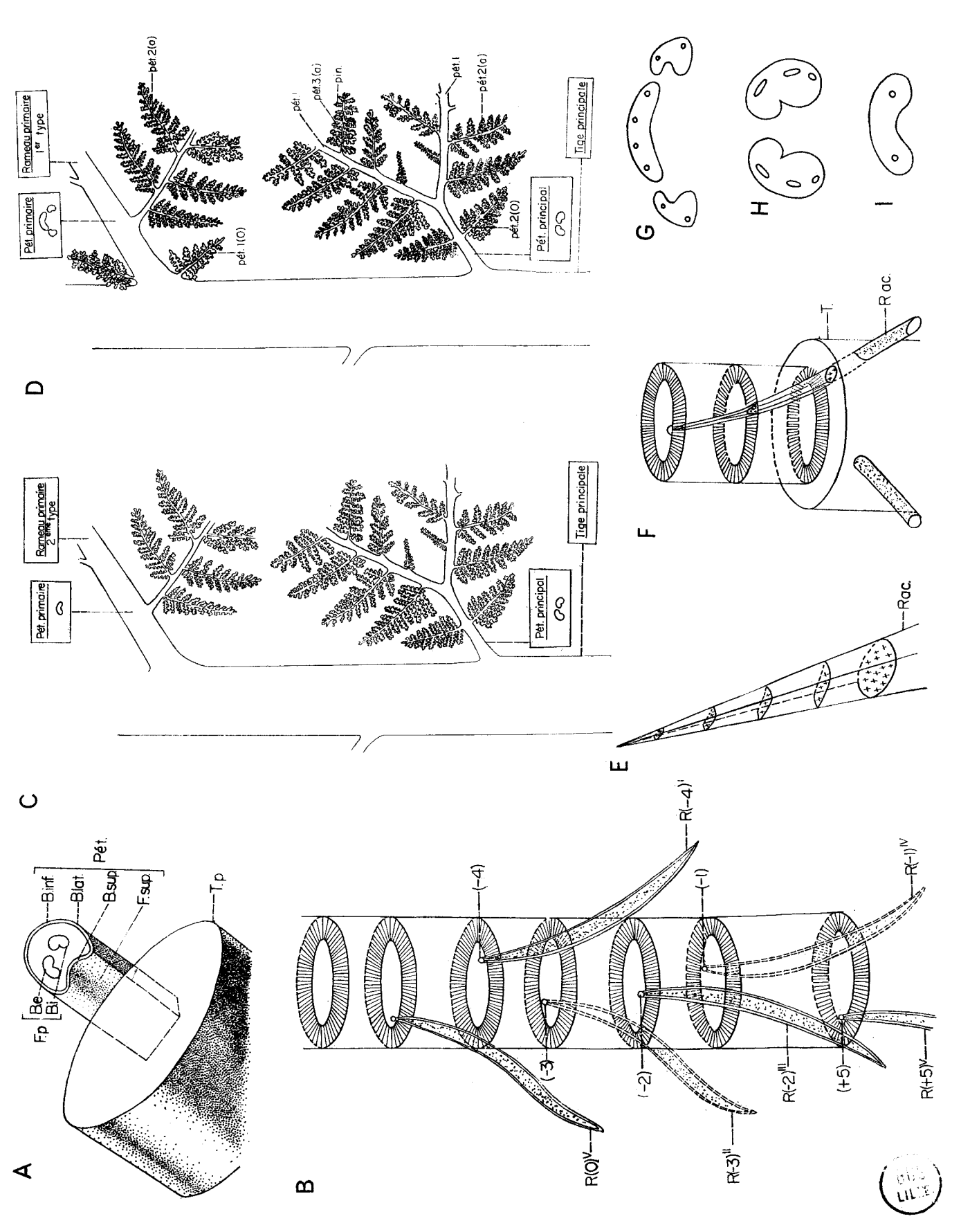
Collection: Angleterre. Niveau: Coal Measures.

Collection: Londres (University College).



Comparaison des deux modes de ramifications et étude des pétioles et des racines adventives chez Lyginopteris oldhamia (BINNEY) POTONIÉ.

- Fig. A. Différentes parties constitutives d'un pétiole.
- Fig. B. Ordre d'émission des racines sur la tige. Les points d'émission successive de chaque racine, au niveau des faisceaux médullaires sortants de la tige, sont repérés par la couleur correspondant au groupe ligneux auquel appartiennent les faisceaux médullaires respectifs.
- Fig. C et D. Composition des frondes et configuration du système ligneux primaire à la base des pétioles directement supportés soit par la tige principale, soit par la ramification axilaire du type I (fig. C) ou II (fig. D).
- Fig. E et F. Contour de la section d'une racine sur les coupes transversales d'une tige.
- Fig. G H I. Configuration du bois I° dans la région basale des pétioles situés sur la tige principale (fig. G), la ramification axilaire du type I (fig. H), la ramification axilaire du type II (fig. I).



Étude du bois primaire dans les frondes situées sur la tige principale de Lyginopteris oldhamia (BINNEY) POTONIÉ.

Fig. A à D. - Coupes transversales sériées d'une tige principale et de la base du rachis principal innervé par le faisceau (+ 5).

Lames minces: no 1856 IT² (voir pl. 121, fig. 1), no 1858 IT⁷ (voir pl. 121, fig. 2), no 1858 IT⁶ (voir pl. 121, fig. 3), no 1858 IT⁴ (voir pl. 121, fig. 4).

Origine: Ostrau (Haute-Silésie).

Niveau : Cunégonde.

Collection: Université de Lille.

Gr. : = 3.

- Fig. E. Évolution du faisceau (+ 5) présentée sur les coupes sériées de la figure précédente. (La ligne horizontale discontinue indique le passage du bois I de la tige dans la base du rachis.) Gr. : = 7.5.
 - Fig. F à V. Coupes transversales de pétioles isolés.
- Fig. F. Rachis principal.

Peel section no P.L 1. Origine: Angleterre. Niveau: Coal Measures. Collection: Université de Lille. Gr. : = 6.

Fig. G. - Rachis principal.

Peel section no P. G1. Origine: Grande-Bretagne. Niveau: Coal Measures. Collection: Université de Glasgow. Gr. : = 6.

Fig. H. - Rachis principal.

Lame mince no E. B. Origine: Ruhr. Niveau: Katharina.

Collection : École des Mines de Bochum.

Gr. : = 12.

Fig. I. - Rachis principal.

Lame mince no 101. Origine: Ostrau (Haute-Silésie). Niveau : Cunégonde. Collection: Université de Graz. Gr. : = 5.

Fig. J. - Rachis principal.

Lame mince no 49. Origine: Lancashire. Niveau: Coal Measures.

Collection: Université de Reims.

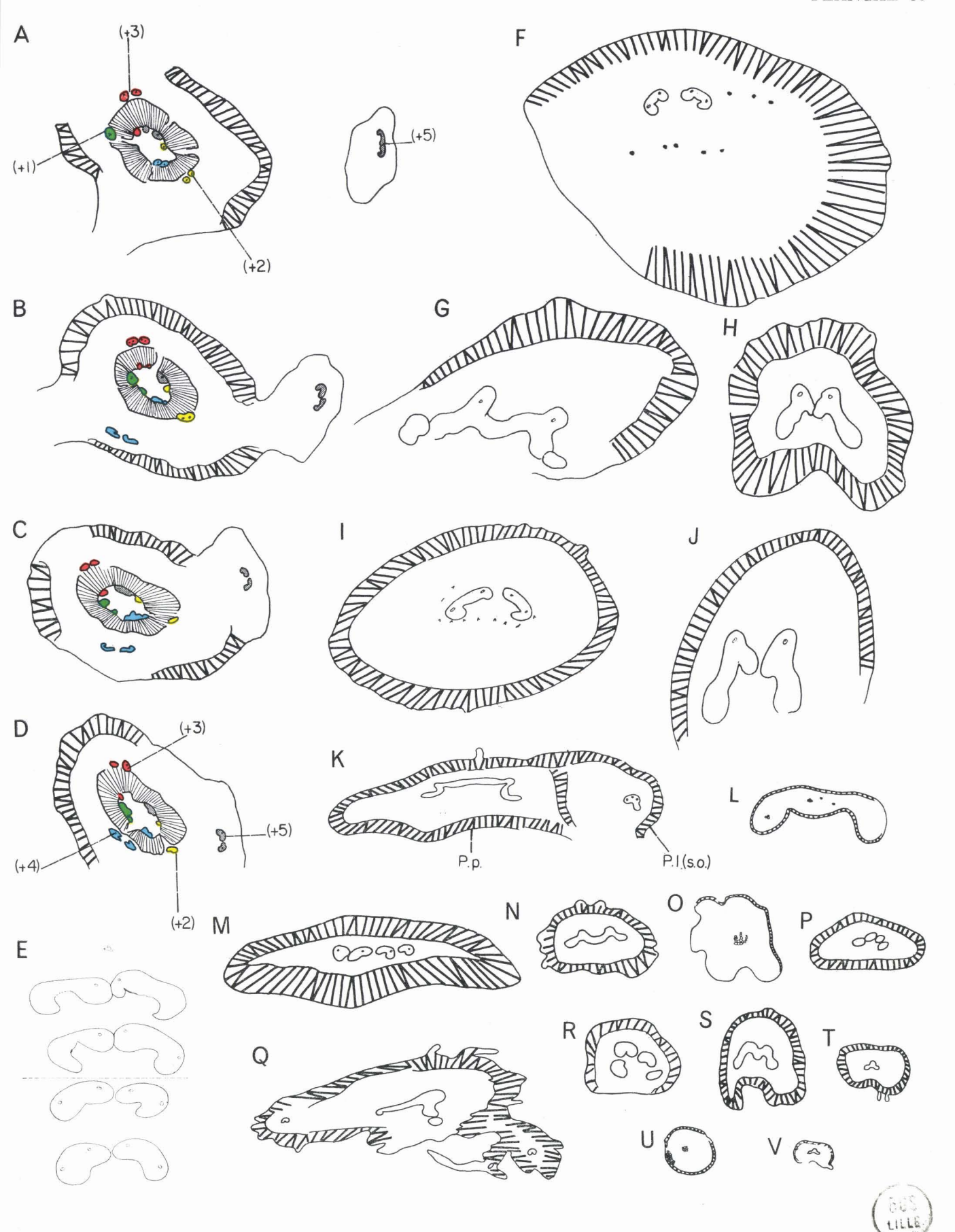
Gr. : = 11.

Fig. K. - Rachis principal et rachis secondaire subopposé. Peel section no P 1 (voir pl. 129, fig. 1). Origine: Angleterre. Niveau: Coal Measures. Collection: Londres (Imperial College). Gr. : = 7.

Fig. L - O - U. - Pinnules.

Lame mince nº R 19. Origine: Angleterre. Niveau: Coal Measures. Collection: Londres (University College). Gr. : = 35.

- Fig. M. Rachis principal. Lame mince no 16. Origine : Angleterre. Niveau: Coal Measures. Collection: Université de Lille. Gr. : = 6.5.
- Fig. N. Rachis principal. Lame mince nº M 50 zg. Origine: Sharney Ford (Lancashire). Niveau: Coal Measures. Collection: Londres (University College). Gr. : = 17.
- Fig. P et R. Rachis principal. Lame mince no IV (08). Origine: Ostrau (Haute-Silésie). Niveau: Koksflöz. Collection: Université de Graz. Gr. : = 6,5.
- Fig. S. Rachis principal. Lame mince nº 51. Origine: Ostrau. Niveau: Torfdolomit. Collection : Úniversité de Graz. Gr. : = 8.
- Fig. T. Rachis secondaire ou tertiaire. Peel section no P. L. 4. Origine: Angleterre. Niveau : Coal Measures. Collection: Université de Lille. Gr. : = 7.5.
- Fig. V. Rachis tertiaire. Lame mince no 1354. Origine: Ostrau (Haute-Silésie). Niveau: Koksflöz. Collection: Université de Graz. Gr. : = 7.



Évolution du système ligneux primaire de la base (fig. T) vers la région moyenne (fig. A) du rachis principal dans une fronde de Lyginopteris oldhamium (BINNEY) POTONIÉ.

- Fig. A. Lame mince no 19 (voir pl. 129, fig. 4).
 Origine: Bacup (Lancashire).
 Niveau: Coal Measures.
 Collection: Université de Lille.
 Gr.: = 15.
- Fig. B. Lame mince no 78 (voir pl. 128, fig. 5).
 Origine: Shore Littleborough (Lancashire).
 Niveau: Coal Measures.
 Collection: Université de Liège.
 Gr.: = 15.
- Fig. C. Lame mince nº 2506.

 Origine: Hollande.

 Niveau: Katharina.

 Collection: Institut géologique de Heerlen.

 Gr. := 15.
- Fig. D. Lame mince nº 49 (voir pl. 128, fig. 2).
 Origine: Dulesgate (Lancashire).
 Niveau: Coal Measures.
 Collection: Université de Reims.
 Gr.: = 15.
- Fig. E. Lame mince nº E B.
 Origine: Ruhr.
 Niveau: Katharina.
 Collection: École des Mines de Bochum.
 Gr.: = 15.
- Fig. F. Peel section P L 1.
 Origine : Angleterre.
 Niveau : Coal Measures.
 Collection : Université de Lille.
 Gr. : = 15.
- Fig. G. Lame mince nº 32 (voir pl. 126, fig. 3).
 Origine : Dulesgate (Lancashire).
 Niveau : Coal Measures.
 Collection : Université de Lille.
 Gr. : = 15.
- Fig. H. Lame mince no 16.
 Origine: Angleterre.
 Niveau: Coal Measures.
 Collection: Université de Lille.
 Gr.: = 15.
- Fig. I. Lame mince nº 109 I B/20.
 Origine : Cheratte.
 Niveau : Bouxharmont.
 Collection : Université de Liège.
 Gr. : = 15.

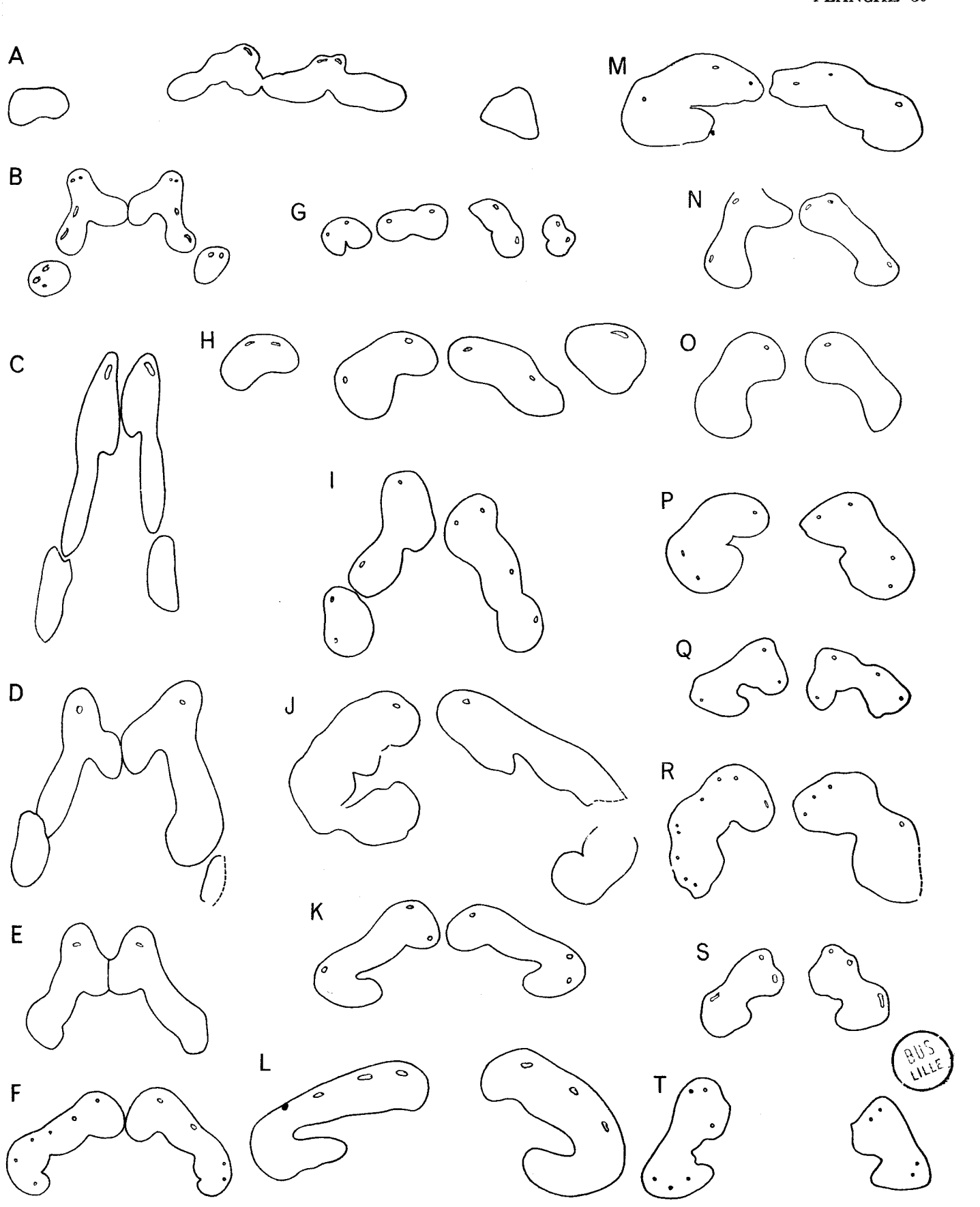
- Fig. J. Lame mince nº 101.
 Origine: Ostrau (Haute-Silésie).
 Niveau: Koksſlöz.
 Collection: Université de Graz.
 Gr.: = 15.
- Fig. K. Lame mince nº 1856 I T⁶ (voir pl. 122, fig. 1).
 Origine: Ostrau (Haute-Silésie).
 Niveau: Cunégonde.
 Gr.: = 15.
- Fig. L. Lame mince nº 101 K.
 Origine: Ostrau (Haute-Silésie).
 Niveau: Koksflöz.
 Collection: Université de Graz.
 Gr.: = 15.
- Fig. M. Lame mince nº 83.

 Origine: Angleterre.

 Niveau: Coal Measures.

 Collection: Institut géologique d'Heerlen.

 Gr.: = 15.
- Fig. N. Lame mince no 3078 (voir pl. 125, fig. 1).
 Origine: Halifax (Yorkshire).
 Niveau: Coal Measures.
 Collection: Université de Lille.
 Gr.: = 15.
- Fig. O. Lame mince no M 4 (voir pl. 123, fig. 3).
 Origine: Dulesgate (Lancashire).
 Niveau: Coal Measures.
 Collection: Londres (University College).
 Gr.: = 15.
- Fig. P. Lame mince nº 82.
 Origine: Angleterre.
 Niveau: Coal Measures.
 Collection: Institut géologique d'Heerlen.
 Gr.: = 15.
- Fig. Q et R S. Lame mince nº 48.
 Origine: Lancashire.
 Niveau: Coal Measures.
 Collection: Université de Reims.
 Gr.: = 15.
- Fig. T. Lame mince nº 74 Lx II (voir pl. 00).
 Origine : Dulesgate (Lancashire).
 Niveau : Coal Measures.
 Collection : Université de Lille.
 Gr. : = 15.



Évolution du système ligneux primaire de la région moyenne (fig. P) vers le sommet du rachis principal dans une fronde de Lyginopteris oldhamia (Binney) Potonié.

Fig. A et C. - Lame mince no M 25 b et M 25 a (voir pl. 131, fig. 6). Origine : Dulesgate (Lancashire).

Niveau: Coal Measures.

Collection: Londres (University College).

Gr. : = 15.

Fig. B et D. - Lame mince nº 22 Lx I (voir pl. 131, fig. 3 et 5). Origine: Bacup (Lancashire).

Niveau: Coal Measures.

Collection: Université de Lille.

Gr. : = 15.

Fig. E. - Lame mince no M 0 14 (voir pl. 131, fig. 1). Origine: Shore Littleborough (Lancashire). Niveau: Coal Measures.

Collection: Londres (University College). Gr. : = 15.

Fig. F. - Peel section no P G1.

Origine: Grande-Bretagne.

Niveau: Coal Measures.

Collection: Université de Glasgow.

Gr. : = 15.

Fig. G. - Lame mince no 1 (voir pl. 129, fig. 2 et pl. 130, fig. 3).

Origine: Dulesgate (Lancashire).

Niveau: Coal Measures.

Collection: Université de Lille.

Gr. : = 15.

Fig. H. - Peel section no 1 (voir pl. 129, fig. 1).

Origine: Angleterre.

Niveau: Coal Measures.

Collection: Londres (Imperial College).

Gr. : = 15.

Fig. I. - Lame mince no 24 Lx I (voir pl. 129, fig. 3 et pl. 130, fig. 2).

Origine : Bacup (Lancashire).

Niveau: Coal Measures.

Collection: Université de Lille.

Gr. : = 15.

Fig. J - K - L. - Peel section no 215 b face C, no 215 a face C et nº 215 a face A.

Origine: Belgique.

Niveau: Katharina.

Collection: Université de Liège.

Gr. : = 15.

Fig. M. - Peel section no P G2.

Origine: Grande-Bretagne.

Niveau: Coal Measures.

Collection: Université de Glasgow.

Gr. : = 15.

Fig. N. - Lame mince no 39 (voir pl. 128, fig. 4).

Origine: Bacup (Lancashire).

Niveau: Coal Measures.

Collection: Université de Lille.

Gr. : = 15.

Fig. O. - Lame mince no 24.

Origine: Ruhr.

Niveau: Katharina.

Collection: École des Mines de Bochum.

Gr. : = 15.

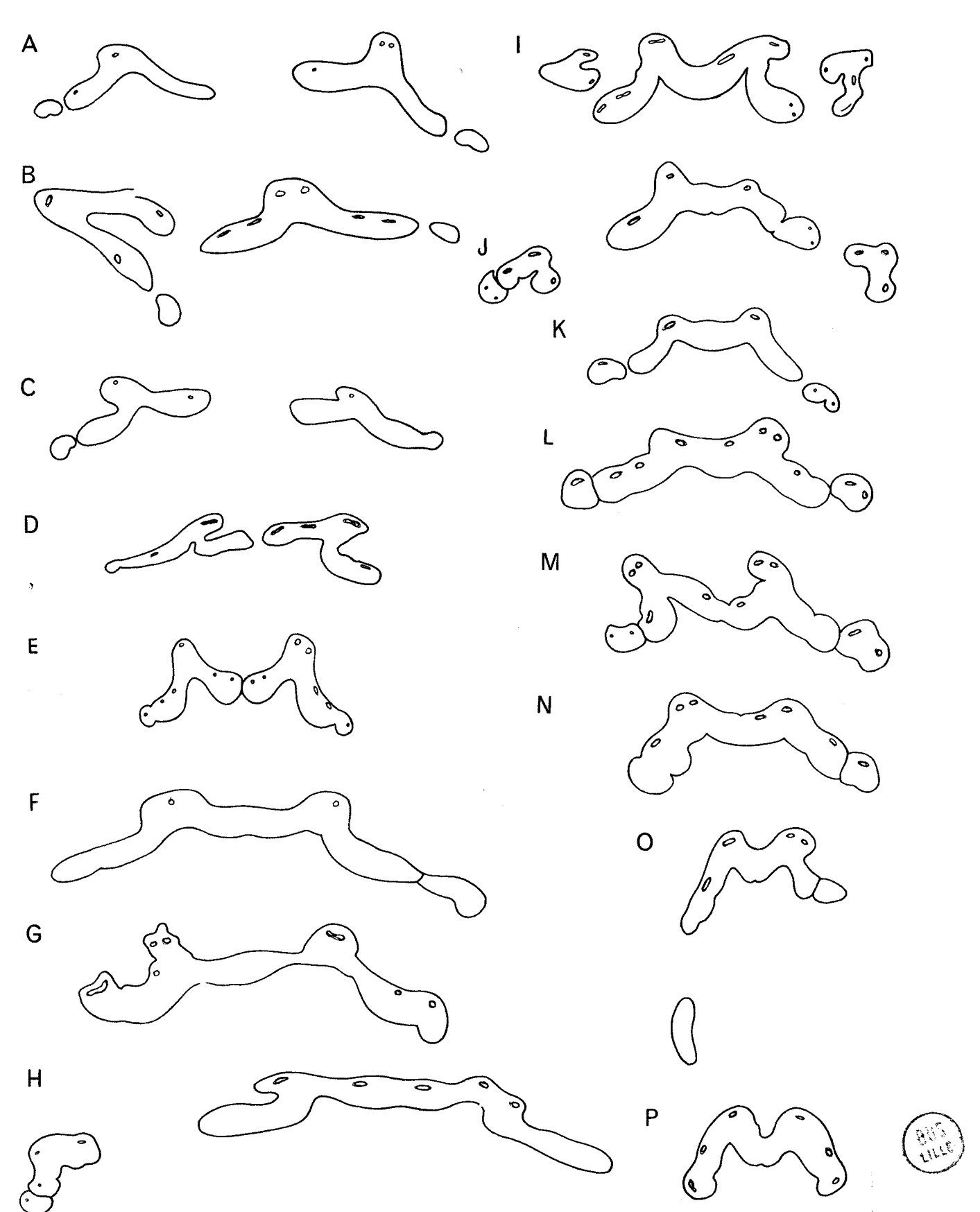
Fig. P. - Lame mince no 51.

Origine: Lancashire.

Niveau: Coal Measures.

Collection: Université de Reims.

Gr. : = 15.



Évolution du système ligneux primaire dans la fronde de Lyginopteris oldhamia (BINNEY) POTONIÉ.

Fig. A et B. - Coupe transversale et anatomie d'une pinnule.

> Lame mince no 78. Origine: Angleterre. Niveau : Coal Measures.

Collection: Université de Liège.

Gr. : = 50 et 350.

Fig. C - D - E et F. - Portions de bois I destinées à innerver les aphlébies. Les parties hachurées correspondent à ces portions.

Lames minces: no 27 Lx I (voir pl. 133, fig. 2) et no 24 Lx I (voir pl. 130, fig. 2).

Origine: Bacup (Lancashire). Niveau: Coal Measures. Collection: Université de Lille. Gr. : = 12.5.

Fig. G à I. - Mise en évidence de la formation du faisceau en « w » renversé et des faisceaux latéraux qui accompagnent les extrémités basales (fig. H) à partir des deux faisceaux initiaux du rachis principal (fig. I) par la méthode de superposition (fig. G).

Lames minces nº 24 Lx I (voir pl. 130, fig. 2) et 1856 I T⁶ (voir pl. 122, fig. 1). Gr. : = 12,5.

Fig. J - K - M - P - S. - Mise en évidence de la prolifération des extrémités basales du système ligneux dans les sections horizontales sériées (fig. J - M - P - S) du rachis principal par la méthode de superposition (fig. K). Sur la figure K les 2 éléments de droite des figures S et M sont superposés.

Peel section no 101 face C (fig. S) à 101 face A

(fig. J).

Origine : Ostrau (Haute-Silésie).

Niveau: Koksflöz.

Collection: Université de Graz.

Gr. : = 7.5 et 15.

Fig. L¹ à L³. - Coupes transversales sériées du bois primaire inclus dans un rachis principal, Lames minces no M 50 g, no M 50 l, no M 50 q.

Origine: Sharney Ford (Lancashire).

Niveau: Coal Measures.

Collection: Londres (University College).

Gr. : = 15.

Fig. N - O - Q - R. - Coupes transversales sériées d'un pétiole principal (fig. N et Q) pourvu de deux éléments ligneux dont l'extrémité basale de l'un détache un faisceau destiné à innerver un pétiole latéral.

> Peels sections no 109 B/90 (fig. N et O), nº 109 B/20 (fig. Q et R).

Origine: Cheratte.

p h

Niveau: Bouxharmont.

Collection: Université de Liège.

Gr. : = 1,5 et 15.

Fig. T1 à T21

Évolution du système ligneux primaire d'après les coupes transversales des pétioles primaire (T21) secondaire et d'ordre supérieur (T1).

Fig. T1 - T20. - Lame mince no I a 17.

Fig. T⁵ - T⁹. - Lame mince no 17.

Fig. T11. - Lame mince no 31 (voir pl. 135, fig. 7).

Fig. T19. - Peel section no P L 1. Origine: Angleterre. Niveau: Coal Measures. Collection: Université de Lille. Gr. : = 15.

Fig. T^3 - T^3 - T^{10} . - Lame mince n^0 85.

Fig. T⁶. - Lame mince nº 82.

Origine: Angleterre. Niveau: Coal Measures. Collection: Institut géologique d'Heerlen.

Gr. : = 15.

Fig. T4. - Lame mince no 78. Origine: Angleterre. Niveau: Coal Measures. Collection : Université de Liège. Gr. : = 15.

Fig. $T^{13} - T^{15} - T^{16} - T^{17} - T^{18}$. - Peel section no 109. Origine: Cheratte (Belgique). Niveau: Bouxharmont. Collection: Université de Liège.

Gr. : = 10.

Fig. T7 - T12. - Lames minces no 38, no N 13 (voir pl. 134, fig. 3). Origine: Ostrau (Haute-Silésie). Niveau: Katharina. Collection: Université de Graz. Gr. : = 15.

Fig. T8. - Lame mince no 253. Origine: Grande-Bretagne. Niveau: Coal Measures. Collection: Université de Glasgow. Gr. : = 15.

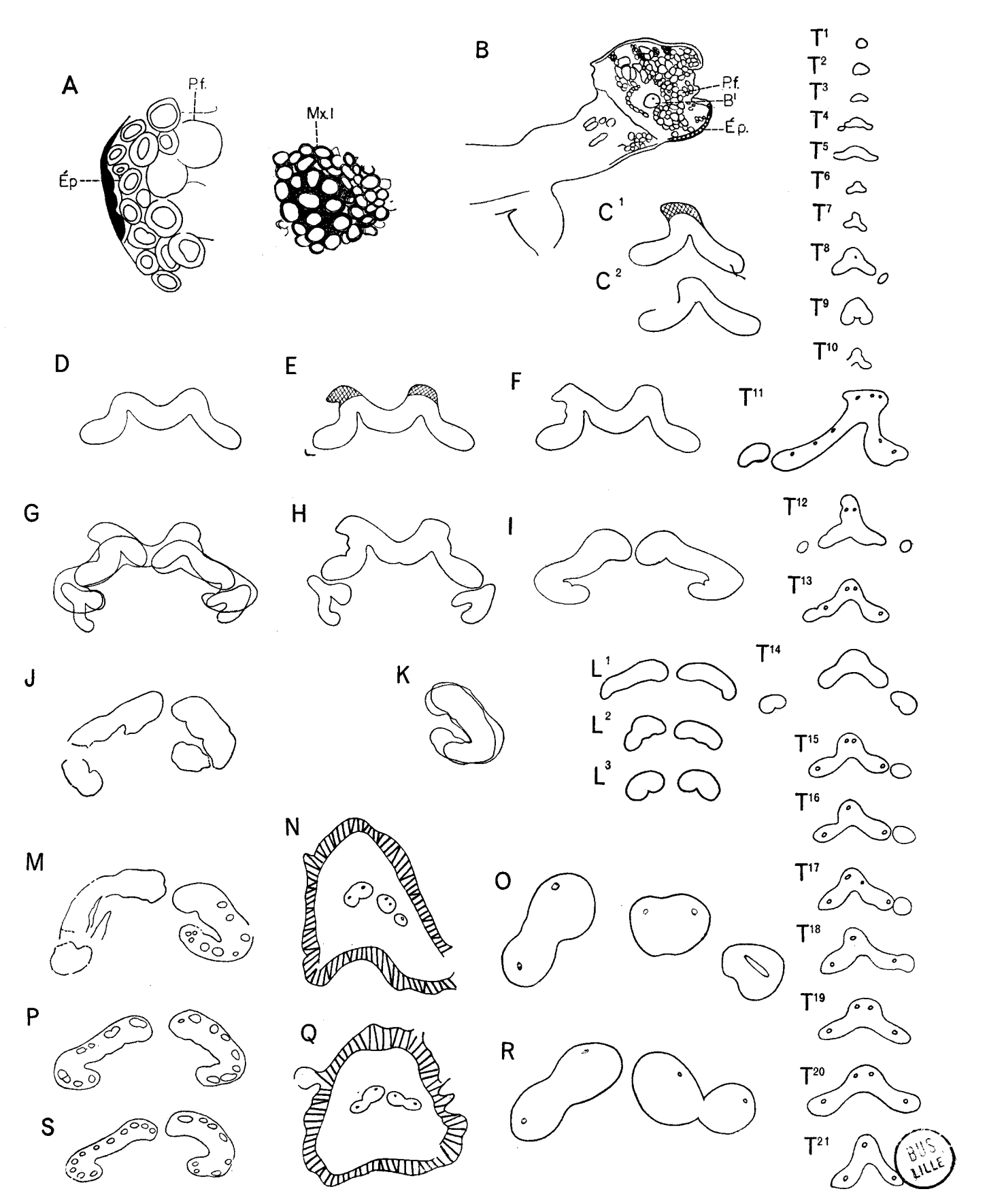
Fig. T14. - Lame mince no 33 (voir pl. 133, fig. 3). Origine: Ruhr. Niveau: Finefrau Nebenbank. Collection: Institut géologique de Krefeld. Gr. : = 9.

Fig. T21. - Lame mince no 19 (voir pl. 133, fig. 4). Origine: Ruhr.

Niveau: Katharina.

Collection : Institut géologique de Krefeld.

Gr. : = 15.



Tiges de Lyginopteris (= Lyginodendron) lacunosum Kubart ou ramifications axilaires du type II chez Lyginopteris olhdamia (BINNEY) Potonié.

Fig. A à F. - Coupes transversales de tiges.

Lames minces nº 135 y (voir pl. 140, fig. 1), nº 261 (voir pl. 140, fig. 4), nº 28 C 295 (voir pl. 140, fig. 2 et 3), nº 114 d. Origine: Ostrau (Haute-Silésie).

Niveau: Koksflöz.

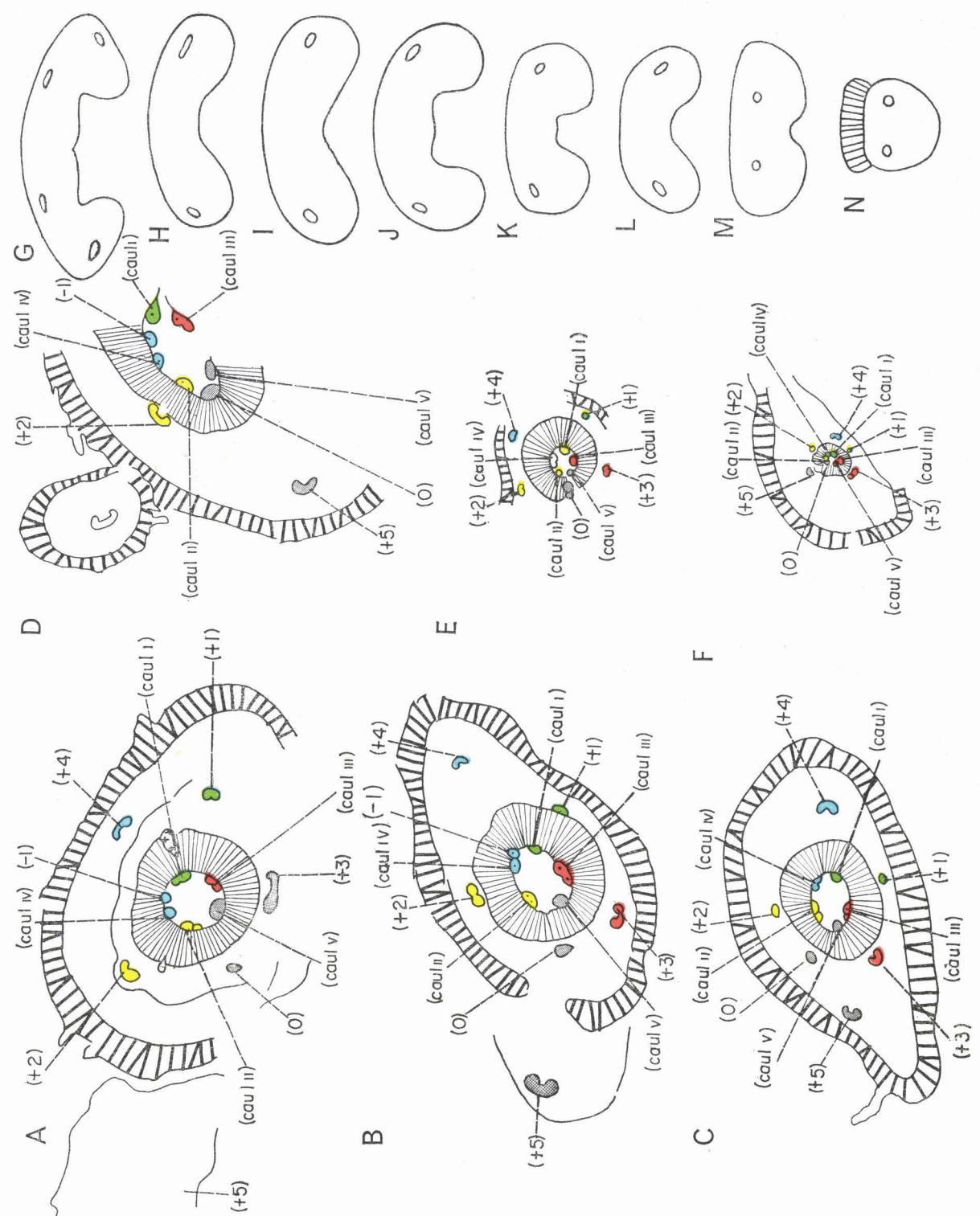
Collection: Université de Graz.

Gr. : = 4 et 5 (fig. E).

Fig. G à N. - Reconstitution de l'évolution d'un cordon ligneux d'après les coupes transversales de tiges.

> Les faisceaux présentés de G à N sont les suivants : (+ 5) (voir pl. 140, fig. 2), (+4) (voir pl. 140, fig. 1), (+3) (voir pl. 141, fig. 5), (+5) et (+2) (voir pl. 140, fig. 4), (+3) (+2) et (+1) (voir pl. 141, fig. 2).

Gr. : = 20 env.



FILLE

Tiges de Lyginopteris (= Lyginodendron) heterangioides Kubart ou ramifications axilaires du type II chez Lyginopteris oldhamia (Binney) Potonié.

Fig. A à E. - Coupes transversales de tiges.

Fig. A et B. - Lames minces no 90 M 112, no 90 C.

Fig. C et E. - Lame mince no b (voir pl. 143, fig. 1).

Fig. D. - Lame mince no 3457 (voir pl. 142, fig. 1).

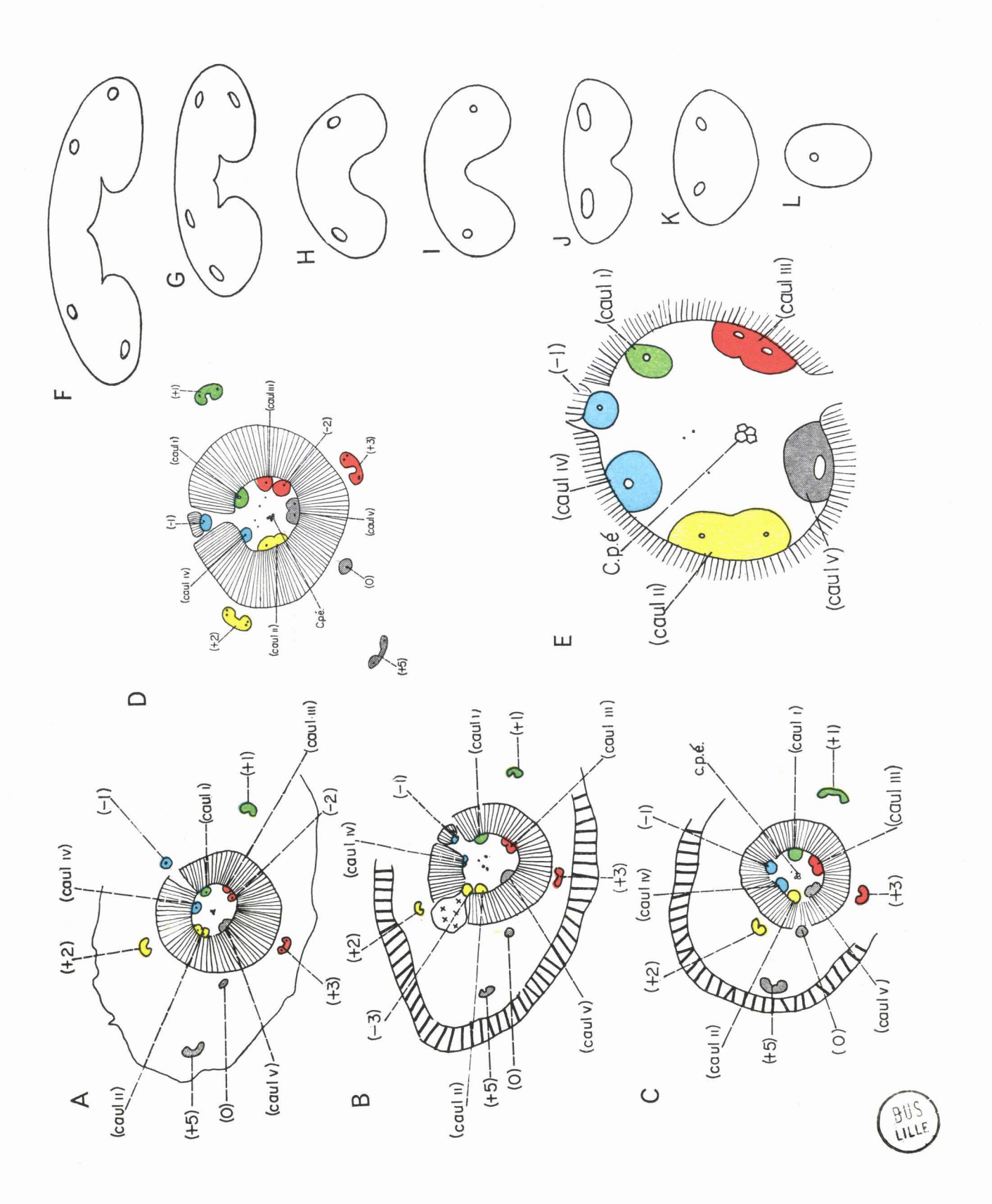
Origine : Haute-Silésie. Niveau : Katharina.

Collection: Université de Graz.

Gr. : = 6 et 45.

Fig. F à L. - Évolution d'un cordon ligneux d'après les coupes transversales de tiges.

Les faisceaux présentés de F à L sont les suivants : (+5) (voir pl. 142, fig. 1), (+5) (voir pl. 143, fig. 1 et 2), (+2) (voir pl. 143, fig. 3), (+3) et (+1) (lame mince n° 90 T), (0) (voir pl. 142, fig. 1), (+1) (lame mince n° 90 T). Gr. : =20 env.



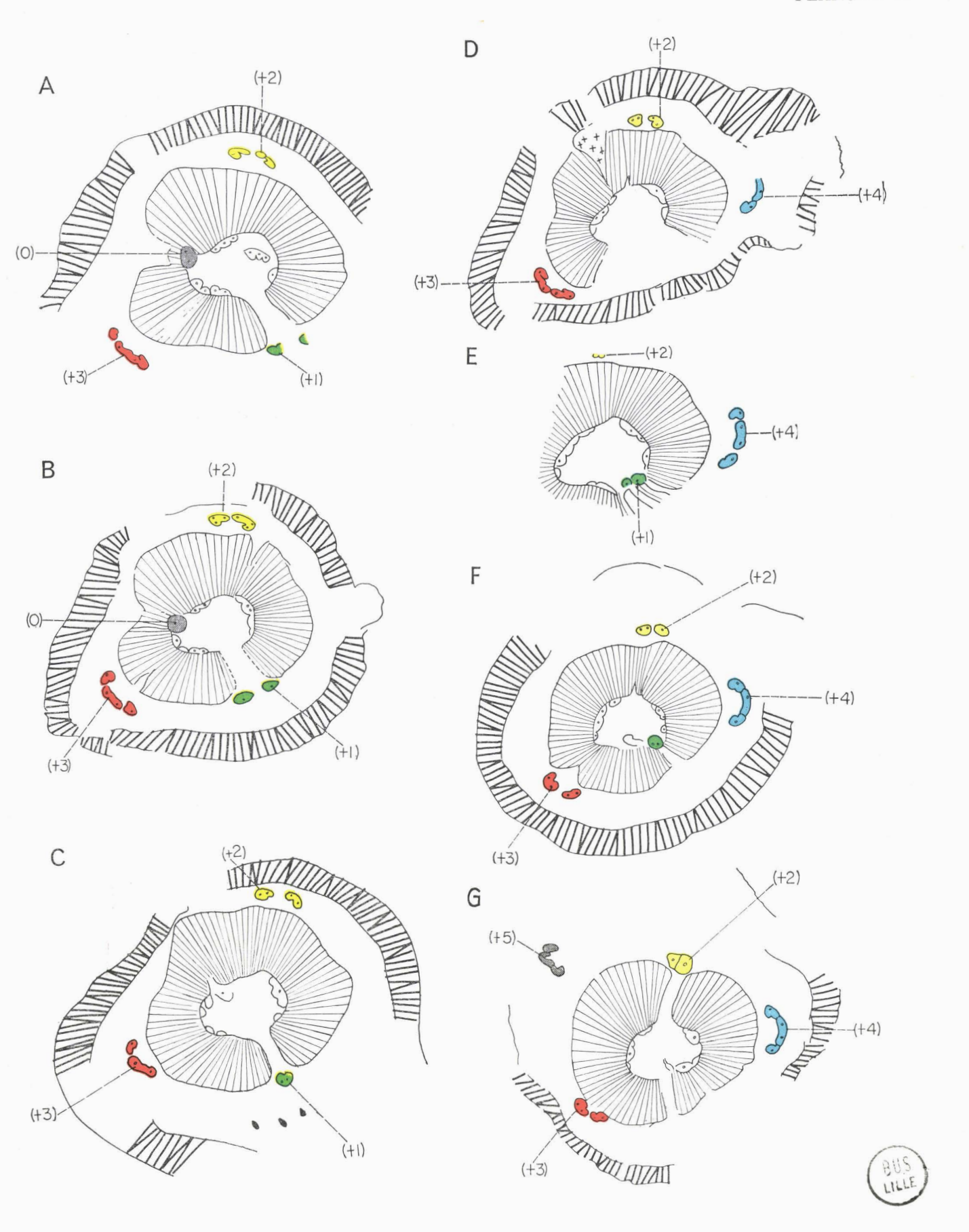
Coupes transversales sériées d'une tige de Lyginopteris (= Lyginodindron) austriacum Kubart ou ramification axilaire du type I chez Lyginopteris oldhamia (Binney) Potonié.

Fig. A à G. – Lames minces: n° 25 (39), n° 2 R (37) (voir pl. 145, fig. 2), n° 2 Q (6), n° 2 O (4) (voir pl. 146, fig. 1), n° 2 N (3) (voir pl. 148, fig. 2), n° 2 M (2) (voir pl. 148, fig. 1), n° 2 K 155 (voir pl. 146, fig. 2).

Origine: Haute-Silésie. Niveau: Koksflöz.

Collection : Université de Graz.

Gr. : = 2,25.



Étude des tiges de Lyginopteris (= Lyginodendron) austriacum Kubart ou ramification axilaire du type I chez Lyginopteris oldhamia (BINNEY) POTONIÉ.

Fig. A et B. - Coupes transversales sériées de tiges (suite de la planche précédente).

Lames minces: nº 53 V (306) (voir pl. 147, fig. 1), nº 9 (voir pl. 147,

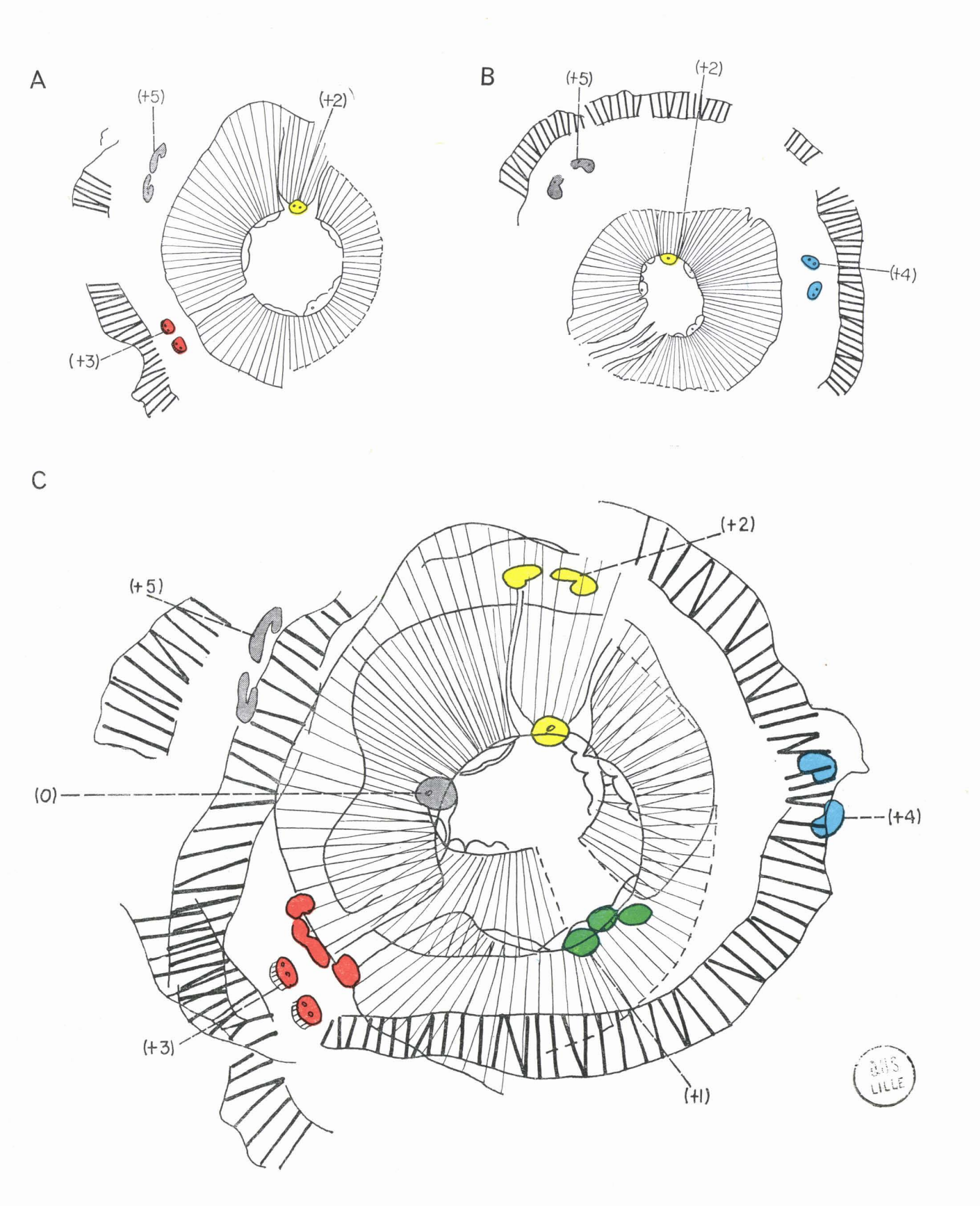
fig. 2).

Origine: Haute-Silésie. Niveau: Koksflöz.

Collection: Université de Graz.

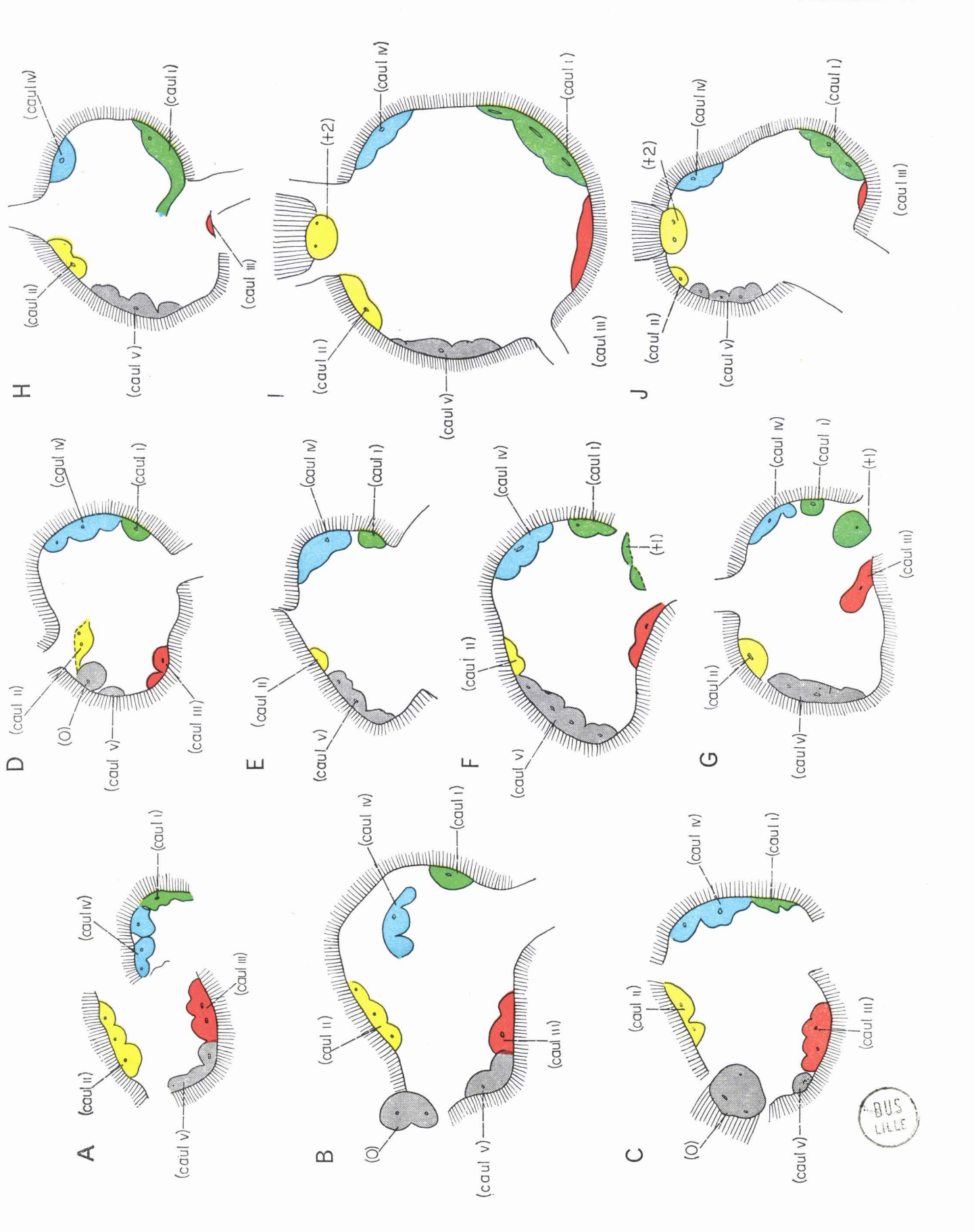
Gr. : = 2,25.

Fig. C. - Mise en évidence de l'existence de cinq groupes ligneux par superposition des coupes transversales de tiges nº 53 V (306) (voir pl. 147, fig. 1 et pl. 45, fig. A) et nº 25 (39) (voir pl. 44, fig. A).
Gr. : = 5,5.



Évolution du système ligneux primaire périmédullaire d'après les coupes transversales sériées d'une tige de Lyginopteris (= Lyginodendron) austriacum Kubart ou ramification axilaire du type I chez Lyginopteris oldhamia (Binney) Potonié.

Fig. A à J. – Lames minces: n° 2 F (157), n° 25 (39) (voir pl. 44, fig. A), n° 2 R (37) (voir pl. 44, fig. B et 145, fig. 2), n° 2 Q (6) (voir pl. 44, fig. C), n° 2 O (4) (voir pl. 44, fig. D et pl. 146, fig. 1), n° 2 N (3) (voir pl. 44, fig. E), n° 2 M (2) (voir pl. 44, fig. F), n° 2 K 155 (voir pl. 44, fig. G et pl. 146, fig. 2), n° 53 V (306) (voir pl. 45, fig. A et pl. 147, fig. 1), n° 9 (voir pl. 45, fig. B et pl. 147, fig. 2). Gr. : = 15 env.



Évolution du système ligneux primaire dans la tige et les pétioles de Lyginopteris (= Lyginodendron) austriacum Kubart ou ramification axilaire du type I chez Lyginopteris oldhamia (BINNEY) Potonié.

Fig. A¹ à A¹6. – Coupes transversales des faisceaux d'un cordon ligneux quelconque de la tige suivant leur évolution dans le parcours moelle (fig. A¹6) - base du rachis (fig. A¹).

Lames minces: nº 2 N (3) (voir pl. 148, fig. 2), nº 25 (39) (voir pl. 44, fig. A), nº 2 R (37) (voir pl. 44, fig. B et 145, fig. 2), nº 2 M (2) (voir pl. 148, fig. 1), nº 2 K 155 (voir pl. 44, fig. G et pl. 146, fig. 2), nº 75 M 98 (voir pl. 148, fig. 3), nº 135 y (voir pl. 148, fig. 4), nº 2 O (4) (voir pl. 44, fig. D et pl. 146, fig. 1), nº 135 y (voir pl. 148, fig. 4), nº 2 R (37) (voir pl. 44, fig. B et 145, fig. 2), nº 2 Q (6) (voir pl. 44, fig. C), nº 2 K 155 (voir pl. 44, fig. G et pl. 146, fig. 2), nº 53 V (306) (voir pl. 45, fig. A et pl. 147, fig. 1), nº 2 M (2), nº 2 K 155 (voir pl. 44, fig. G et pl. 146, fig. 2), nº 2 M (2). Origine: Haute-Silésie.

Origine: Haute-Silésie Niveau: Koksflöz.

Collection: Université de Graz.

Gr. : = 14 env.

Fig. G. - Variations de la configuration de certains faisceaux corticaux, au moment de leur entrée dans un rachis.

Fig. G1. - Lame mince no 1856.

Origine: Haute-Silésie.

Niveau : Koksflöz.

Collection: Université de Lille.

Gr. : = 14 env.

Fig. G² à G⁴. - Lames minces: n° 2 Y (154), n° 53 V (306) (voir pl. 45, fig. A et pl. 147, fig. 1), n° 25 (39) (voir pl. 44, fig. A).

Origine: Haute-Silésie.

Niveau: Koksflöz.

Collection: Université de Graz.

Gr. : = 14 env.

Fig. B - C - D - E - F - H - I - J - K. - Coupes transversales de pétioles.

Fig. B et D. - Lames minces: no 1729 IT6, 1729 R1 (voir pl. 149, fig. 1).

Origine: Ostrau.

Niveau: Koksflöz.

Collection: Université de Lille.

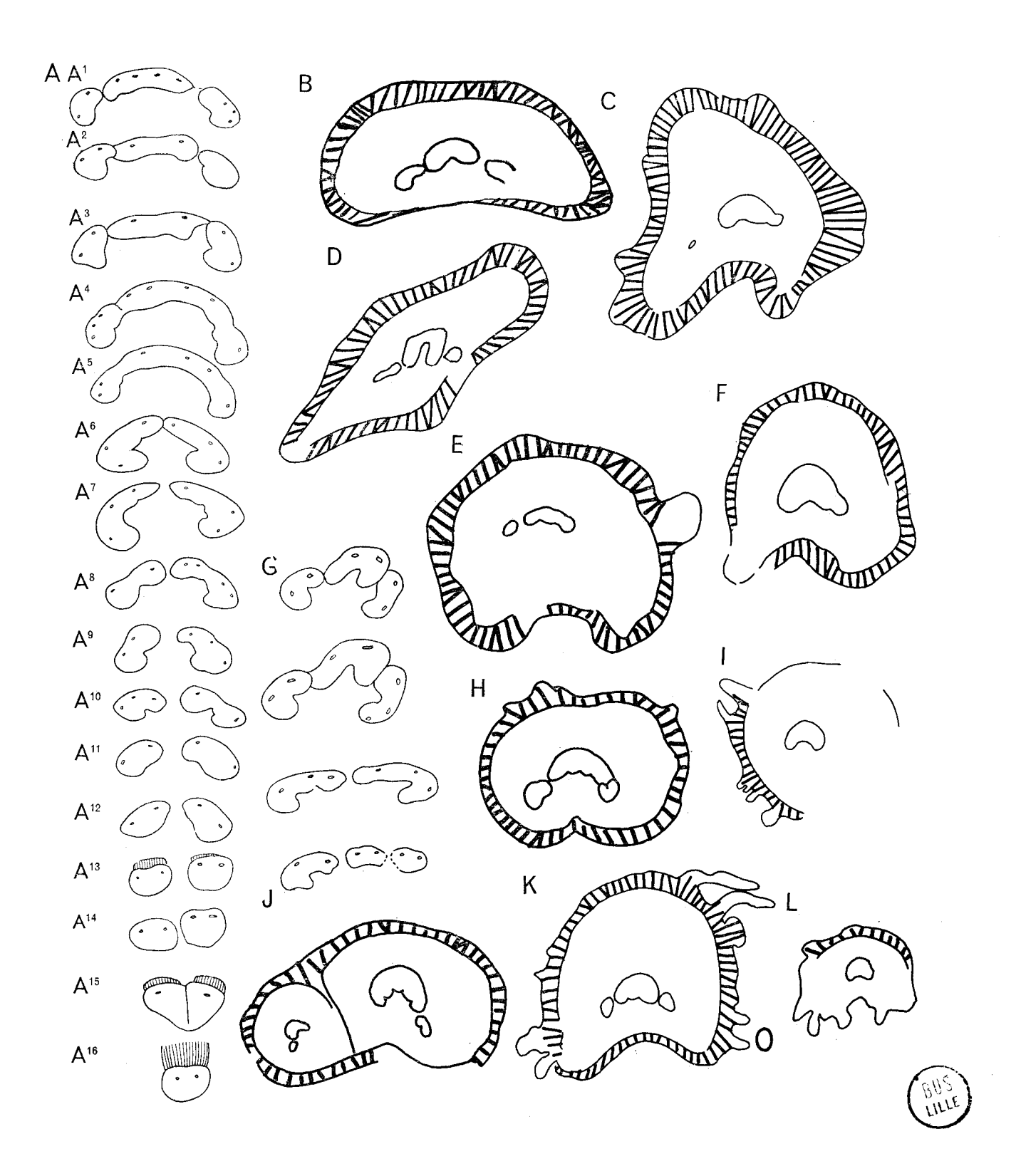
Gr. : = 18 et 12.

Fig. C à M. – Lames minces: n° 66 M (88), n° 78 a, n° 63 (voir pl. 149, fig. 2), n° 107 S (voir pl. 149, fig. 7), n° 124 f (voir pl. 149, fig. 4), n° 124 w (voir pl. 149, fig. 5), n° N 13 (voir pl. 149, fig. 3), n° 107 S (181), n° 78 a.

Origine : Haute-Silésie.

Niveau : Koksflöz. Collection : Université de Graz.

Gr. : = 20, 30, 12, 12,5, 10, 12,5, 12, 15, 15.



Étude de la tige de Lyginopteris corsini nov. sp.

Fig. A à H. - Coupes transversales des faisceaux d'un cordon ligneux quelconque d'une tige suivant leur évolution dans le parcours moelle (fig. H) - base du rachis (fig. A).

Lames minces: nos 41, 43, 44, 46 (voir pl. 48, fig. I à L, pl. 149,

fig. 8 et pl. 150, fig. 1 - 2 - 3). Origine: Haute-Silésie.

Niveau : Katharina.

Collection: Londres (University College).

Gr. : = 15.

Fig. I à L. - Coupes transversales sériées d'une tige.

Lames minces: nº 46 (voir pl. 149, fig. 8), nº 44 (voir pl. 150, fig. 1),

nº 43 (voir pl. 150, fig. 2), nº 41 (voir pl. 150, fig. 3).

Origine: Haute-Silésie.

Niveau: Katharina.

Collection: Londres (University College).

Gr. : = 3.

Fig. M à P. - Coupes transversales des pétioles.

Fig. M et P. - Lames minces nº 8 M et 46.

Origine: Ruhr.

Niveau: Katharina.

Collection: École des Mines de Bochum.

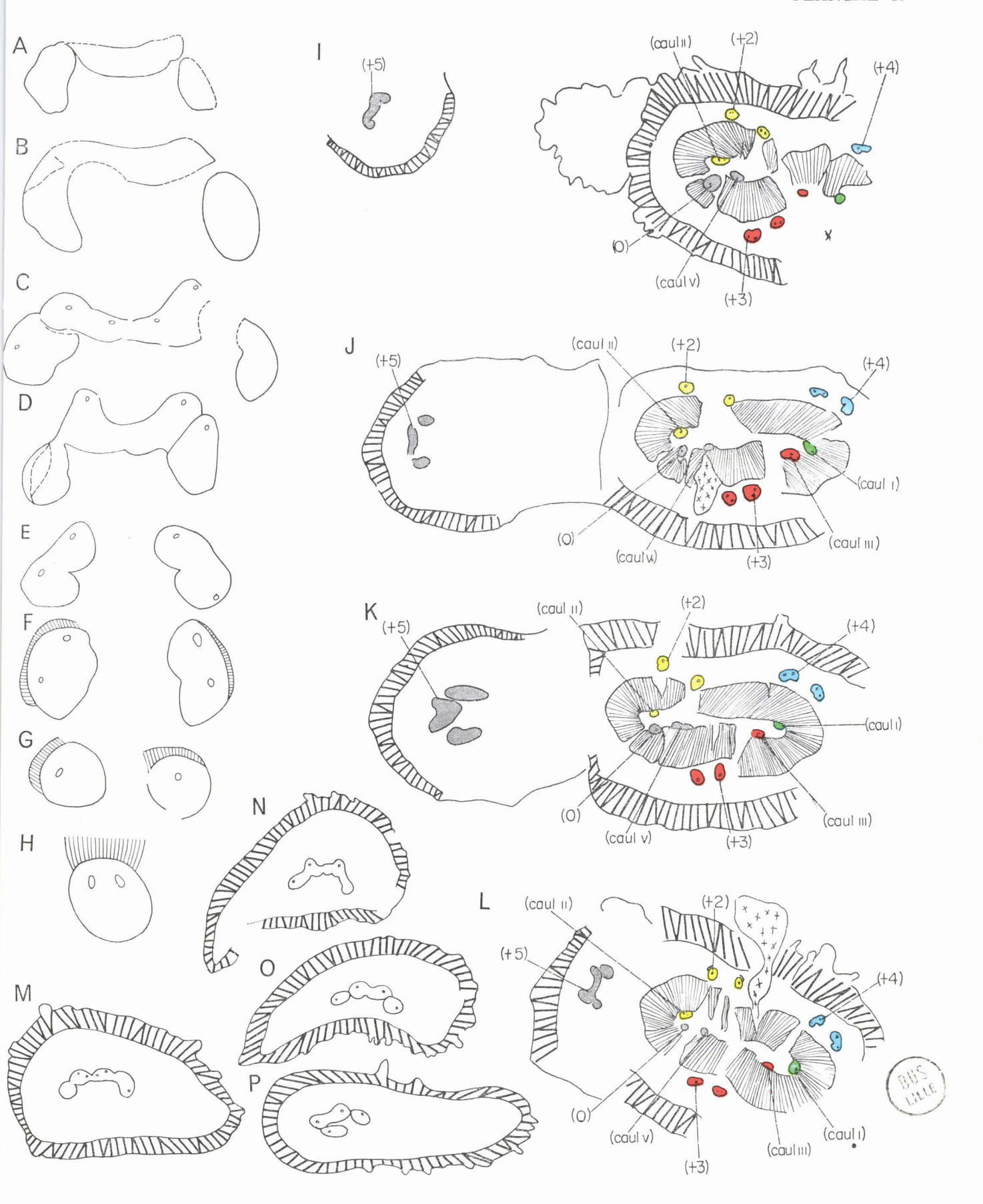
Gr. := 10 env.

Fig. O et N. - Peels sections no 216 b face A, no 216 a face C.

Origine: Belgique. Niveau: Katharina.

Collection: Université de Liège.

Gr. : = 10 env.



Racines adventives et bois primaire dans la tige et les pétioles de Lyginopteris corsini nov. sp.

Fig. A à F. - Coupes transversales sériées d'une tige pourvue de racines adventives. Leurs sections figurées par des croix sont colorées suivant la couleur du caulinaire au niveau duquel elles prennent

> Lames minces no 46, no 44, no 43, no 41 (voir pl. 48, fig. I à L). Gr. : = 2,5.

- Fig. F G et H. Coupes transversales des faisceaux d'un cordon ligneux suivant leur évolution dans la tige (fig. 15) et les pétioles (fig. F1).
- Fig. F¹ à F⁵ et F⁷ F⁸ G¹ G⁹. Lames minces: no 104 R (375), no 45 K (66), nº 54 (voir pl. 151, fig. 5), nº 54 face C, nº 54 face A (voir pl. 151, fig. 7), n° 91 a (voir pl. 151, fig. 6), n° 101 a = 105 k (voir pl. 151, fig. 2), no 43, no EG. Origine: Haute-Silésie.

Niveau: Koksflöz.

Collection: Université de Graz.

Gr. : = 7 env.

Fig. F⁶ - G³ - G⁸. - Lames minces n^o E B (voir pl. 151, fig. 5), n^o 8 M (fig. G³ et G⁸).

Origine: Ruhr.

Niveau: Katharina.

Collection : École des Mines de Bochum.

Gr. := 7 env.

Fig. G² - G¹⁰ - H¹. - Lames minces: nº 216 a face C, nº 216 b face A, nº 216 b face C.

Origine: Belgique.

Niveau: Katharina.

Collection: Université de Liège.

Gr. : = 7 env.

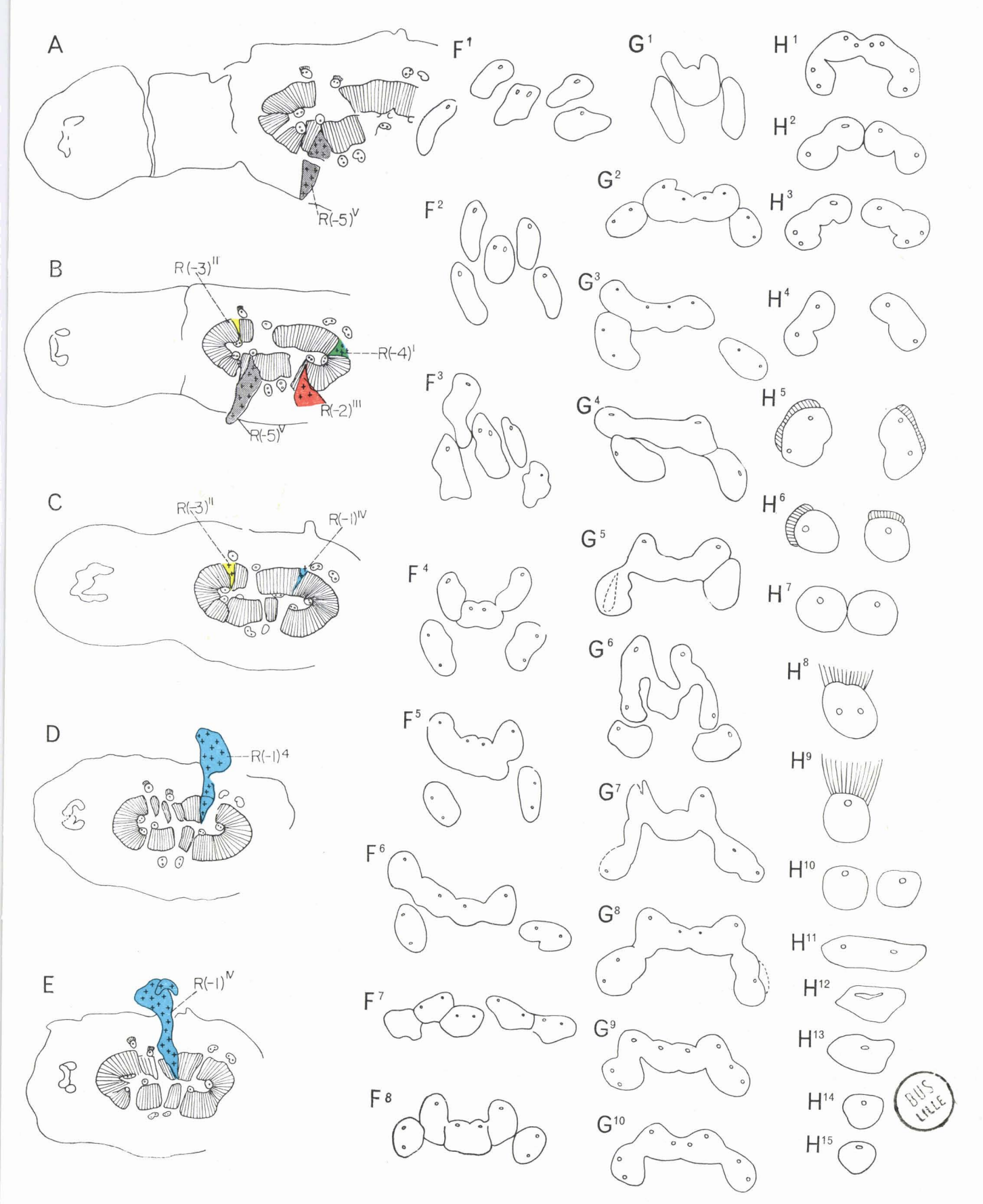
Fig. G^4 - G^5 - G^6 et H^2 à H^{15} . - Lames minces n^0 46 (voir pl. 149, fig. 8), nº 41 (voir pl. 150, fig. 3), nº 48 (voir pl. 151, fig. 3) et nºs 41, 43, 44, 46 (voir pl. 48, fig. I à L).

Origine: Haute-Silésie.

Niveau: Katharina.

Collection: Londres (University College).

Gr. : = 7 env.



Coupes transversales sériées ou non des pétioles de Lyginopteris kubarti nov. sp.

Fig. $A^1 - A^2 - B - C^1 - C^2 - E - F - G - H$. – Rachis primaire.

Lames minces: no 94 et 94 a, no N 13, no 124 et 124, no 2657 (voir

pl. 154, fig. 3), n° 101, n° 40 a, n° 1856 IT³. Origine: Haute-Silésie.

Niveau: Koksflöz. Collection: Université de Graz.

Gr. : = 6,5.

Fig. D¹ à D⁵ - J à G et S à T. - Rachis principal.

Lames minces: no 40 a, no 243, no 66, no 51, no 40 a face B, no 1858

III Q⁵, n° 124 r. Origine: Haute-Silésie.

Niveau: Koksflöz.

Collection : Université de Graz.

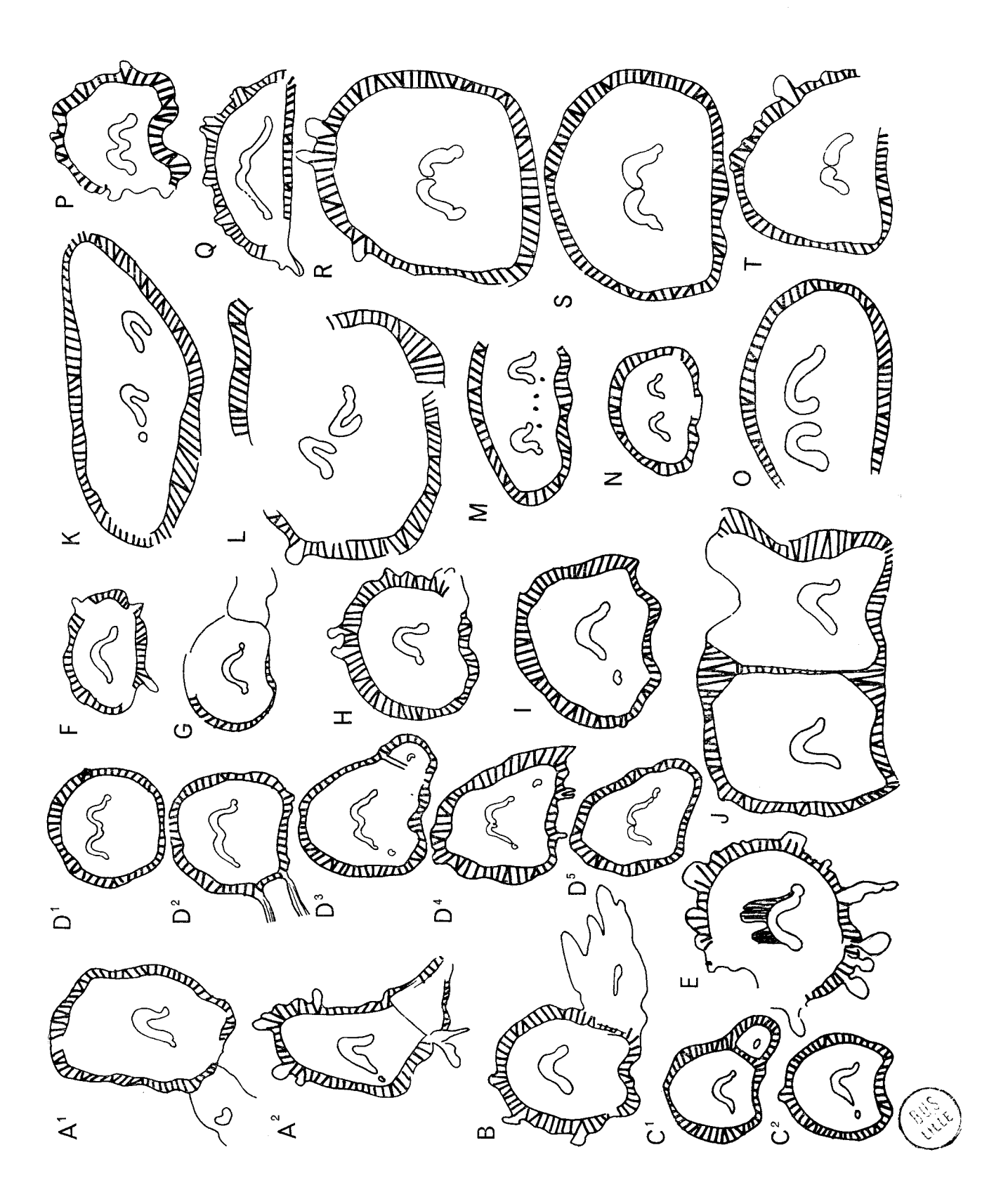
Gr. : = 6,5.

Fig. R. - Peel section nº P. L 1.

Origine: Grande-Bretagne. Niveau: Coal Measures.

Collection: Université de Lille.

Gr. : = 6,5.



Étude du bois primaire des pétioles de Lyginopteris kubarti nov. sp. et des tiges et pétioles de Lyginopteris sp. I et II.

Fig. A - B - C. - Coupes transversales des faisceaux suivant leur évolution dans la fronde de *L. kubarti*.

Fig. A⁸ à A². - Base du rachis principal.

Fig. A1 - B6 à B4. - Région moyenne de rachis principal.

Fig. B⁸ à B¹. - Région supérieure du rachis principal.

Fig. C⁷ à C¹. - Rachis primaire.

Lames minces: no 1856 IT⁴ (voir pl. 152, fig. 1), no 124 e, no 124 f, no 1858 II P, no 1858 III Q⁵ (voir pl. 152, fig. 4), no 95, no 116 y (324) no 1856 IT⁴ (voir pl. 153, fig. 2), no 54 a, 124 d, no 124 k (382), no 2 N (3), no 243 (voir pl. 152, fig. 3), no 1858 IIT⁵, no N 13, no 1246 (348), no 124 r (349), no 124 f (299), no 101 face B, no 1856 IT³, no 86 a.

Origine: Haute-Silésie.

Niveau: Koksflöz.

Collection: Université de Graz sauf pour les deux dernières lames qui proviennent de l'Université de Lille (fig. C²) et de l'Institut géologique d'Heerlen (fig. C¹).

Gr. : = 14 env.

Fig. D - I et J. - Coupes transversales du système ligneux des pétioles de Lyginopteris sp. I.

Lames minces: n° 10 k (voir pl. 157, fig. 2), n° 55 c (voir pl. 157, fig. 1).

Origine: Haute-Silésie.

Niveau: Koksflöz.

Collection: Université de Graz.

Gr. : = 20.

Fig. E. – Coupe transversale du faisceau (+5) dans la tige de Lyginopteris sp. II.

Lame mince no 23 (voir pl. 158, fig. 3).

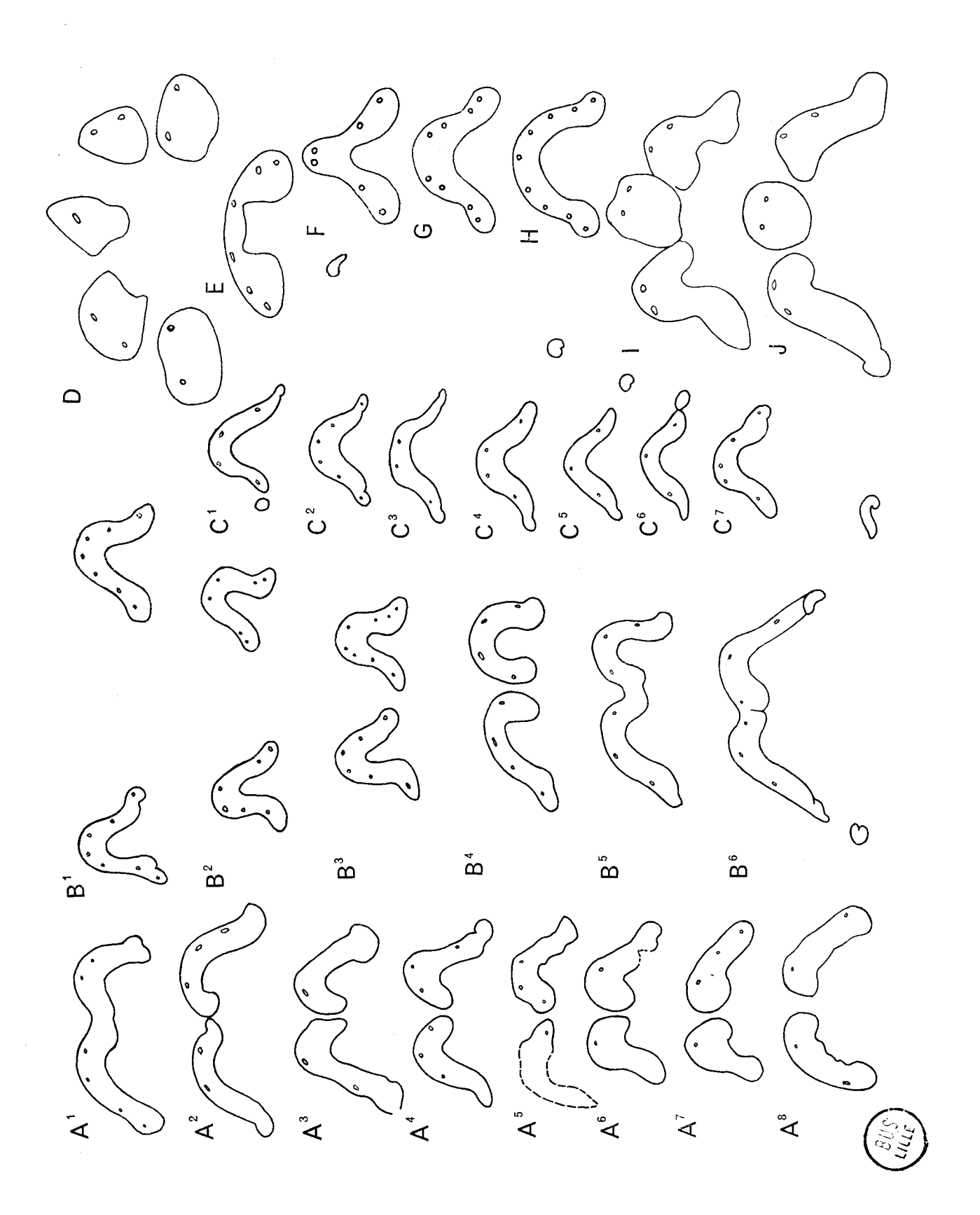
Origine: Ruhr.

Niveau: Katharina.

Collection: Université de Munich.

Gr. : = 20.

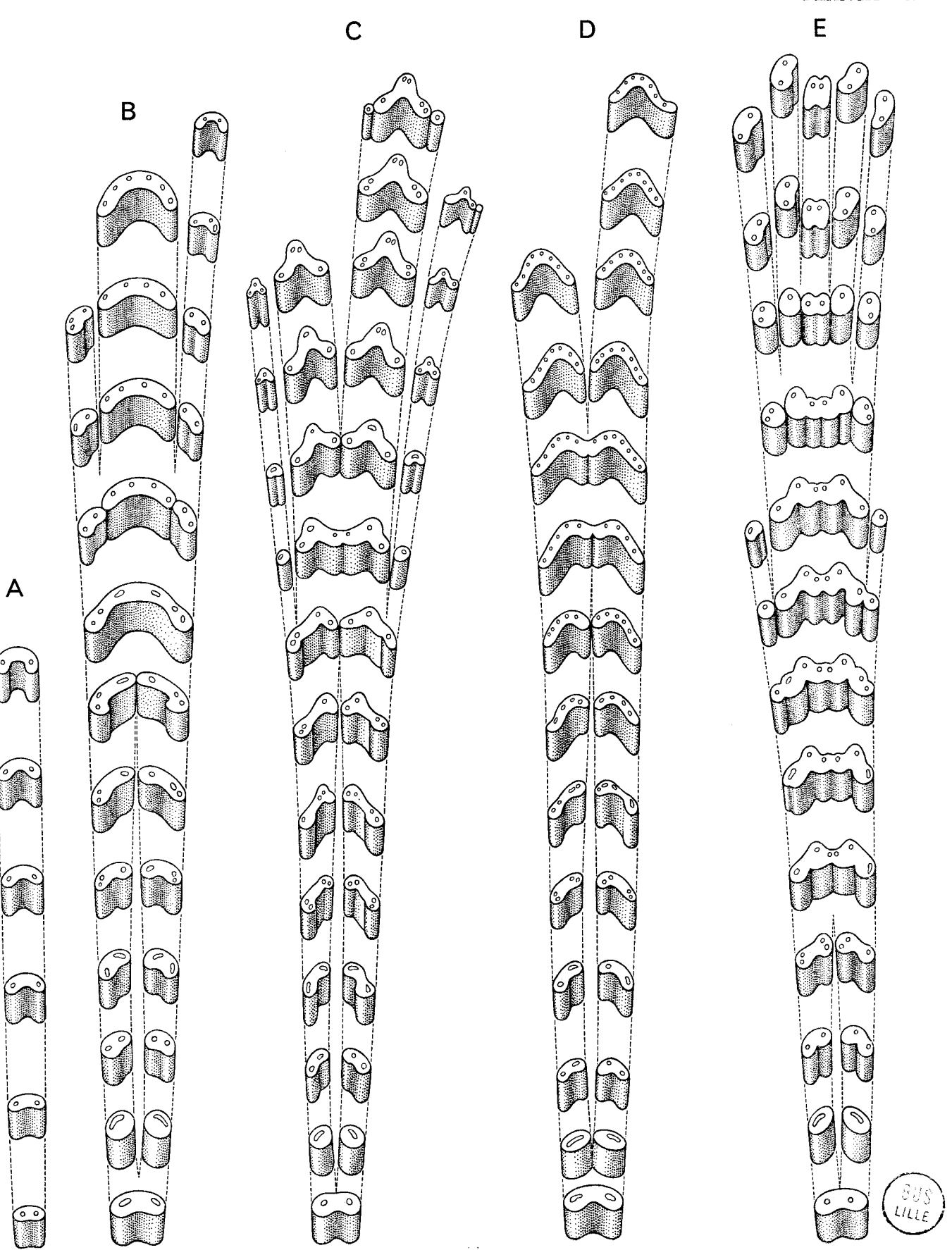
Fig. F - G et H. - Morphologie comparée des faisceaux situés dans les rachis primaires de Lyginopteris oldhamia, Lyginopteris kubarti et Lyginorachis taitiana.



Comparaison de la course longitudinale d'un cordon ligneux primaire dans la tige et les pétioles de Lyginopteris Potonié.

Fig. A - B - C. - Lyginopteris oldhamia (Binney) Potonié.

- Fig. A. Ramification axilaire du type II ou Lyginopteris (= Lyginodendron) lacunosum Kubart.
- Fig. B. Ramification axilaire du type I ou Lyginopteris (= Lyginodendron) austriacum Kubart.
- Fig. C. La tige principale.
- Fig. D. Lyginopteris kubarti nov. sp.
- Fig. E. Lyginopteris corsini nov. sp.



Anatomie de la tige principale de Lyginopteris oldhamia (BINNEY) Potonié.

Fig. 1. - Coupe transversale pratiquée à proximité de la région sommitale d'une tige principale.

Lame mince nº 283.

Origine: Bacup (Lancashire). Niveau: Coal Measures.

Collection: Université de Bruxelles.

Gr. : = 10.

Fig. 2. - Coupe transversale de l'écorce.

Lame mince nº 41 1325/2.

Origine: Ruhr.

Niveau : Katharina.

Collection: Institut géologique de Krefeld.

Gr. : = 15.

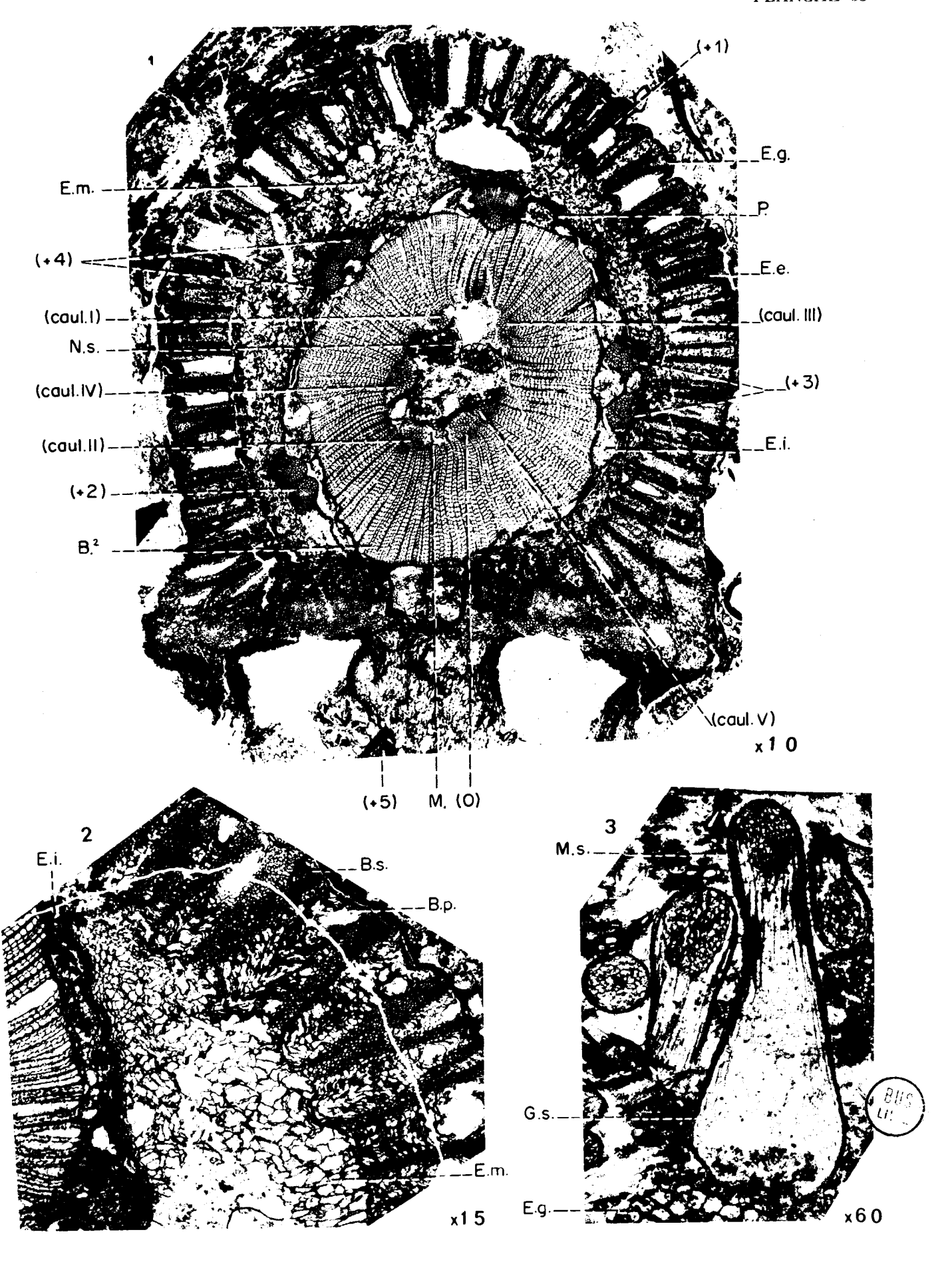
Fig. 3. - Coupe longitudinale d'une glande épidermique.

Lame mince nº 60 Lx II.

Origine: Angleterre. Niveau: Coal Measures.

Collection: Université de Lille.

Gr. : = 60.



Anatomie de la tige principale de Lyginopteris oldhamia (BINNEY) POTONIÉ.

Fig. 1. - Coupe longitudinale radiale.

Lame mince nº M³j. Origine: Angleterre. Niveau: Coal Measures.

Collection: Londres (University College).

Gr. : = 4.

Fig. 2. - Coupe longitudinale radiale.

Lame mince nº 22. Origine: Angleterre. Niveau: Coal Measures.

Collection: Londres (University College).

Gr. : = 4.

Frg. 3. - Coupe longitudinale tangentielle.

Lame mince nº M 22. Origine: Angleterre. Niveau: Coal Measures.

Collection: Londres (University College).

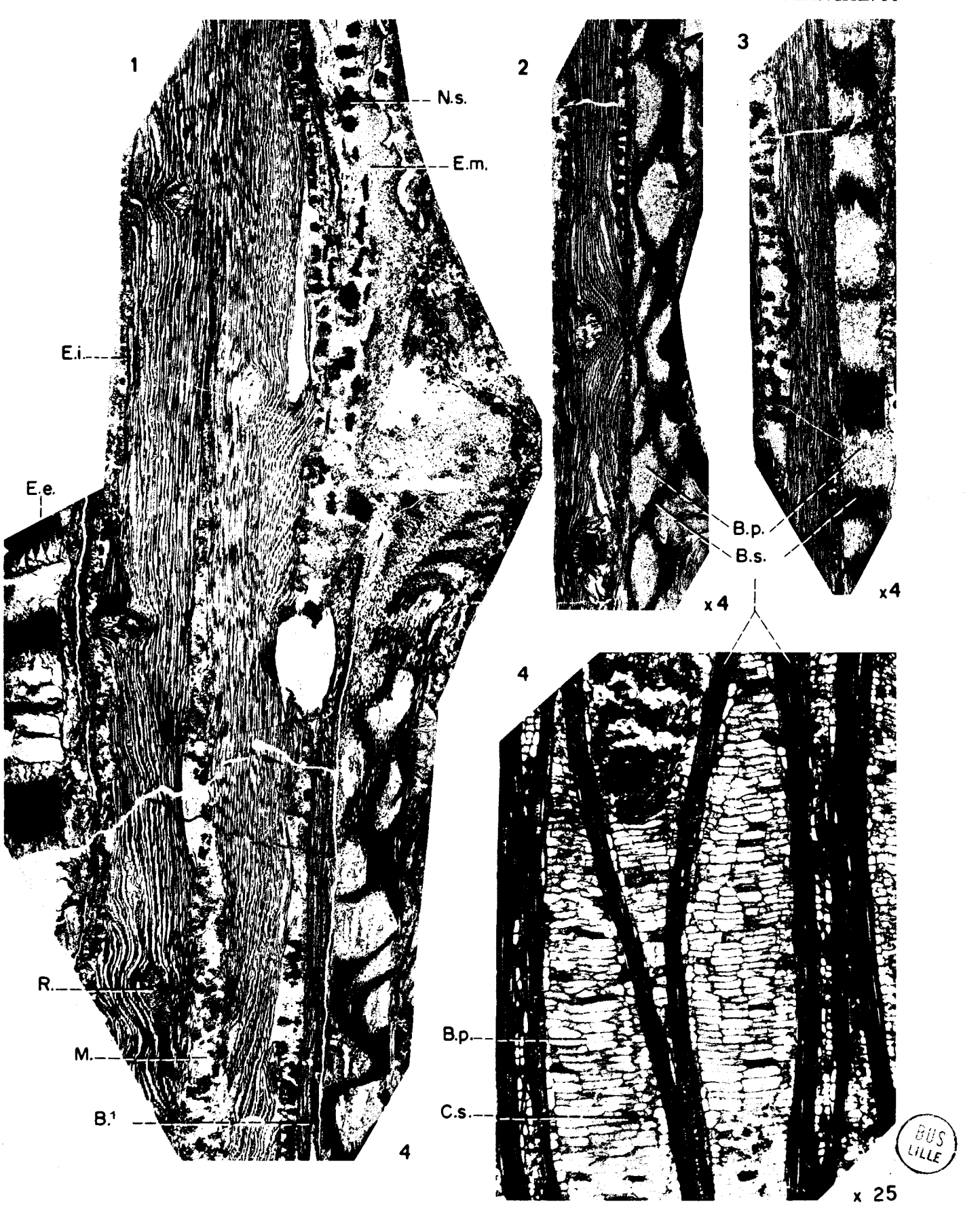
Gr. : = 4.

Fig. 4. - Coupe longitudinale tangentielle de l'écorce externe.

Lame mince nº 31 Lx I. Origine: Angleterre. Niveau: Coal Measures.

Collection: Université de Lille.

Gr. : = 25.



Coupe transversale de l'écorce moyenne de la tige principale de Lyginopteris oldhamia (BINNEY) POTONIÉ.

Fig. 1. - Lame mince no 68 Lx II.

Origine: Angleterre. Niveau: Coal Measures. Collection: Université de Lille. Gr.: = 60.

Fig. 2. - Lame mince no 78.

Origine: Shore Littleborough (Lancashire). Niveau: Coal Measures. Collection: Université de Liège. Gr. : = 85.

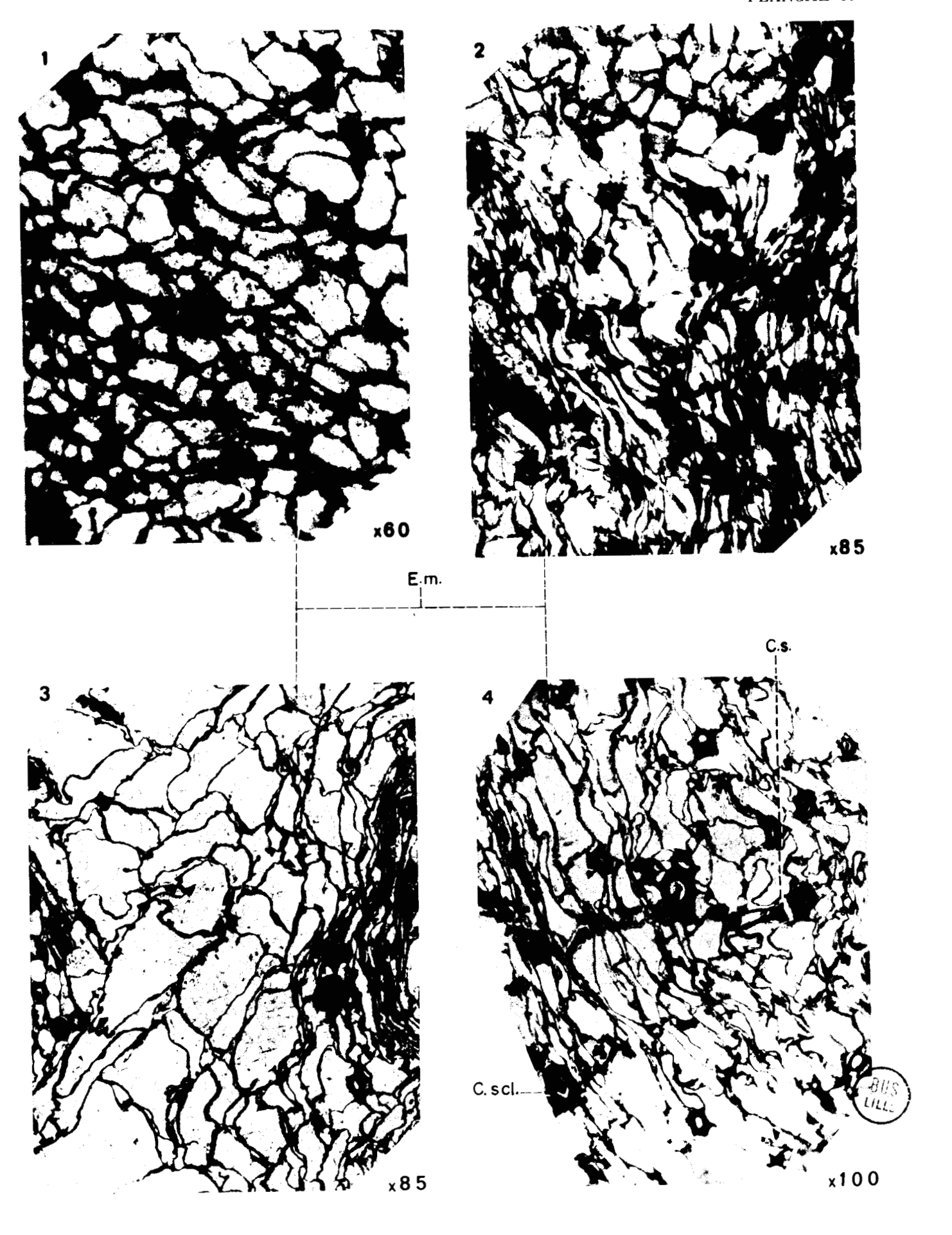
Fig. 3. - Lame mince no 75.

Origine: Halifax (Yorkshire). Niveau: Coal Measures. Collection: Université de Liège. Gr.: = 85.

Fig. 4. - Lame mince no 1992.

Origine : Angleterre. Niveau : Coal Measures. Collection : Université de Lille.

Gr. : = 100.



Anatomie de la tige principale de Lyginopteris oldhamia (BINNEY) POTONIÉ.

Fig. 1. - Coupe longitudinale de l'écorce.

Lame mince no 79.

Origine: Shore Littleborough (Lancashire).

Niveau: Coal Measures.

Collection: Université de Liège.

Gr. : = 30.

Fig. 2. - Coupe transversale d'une cellule à massif sécréteur.

Lame mince no 79.

Origine: Shore Littleborough (Lancashire).

Niveau: Coal Measures.

Collection: Université de Lille.

Gr. : = 560.

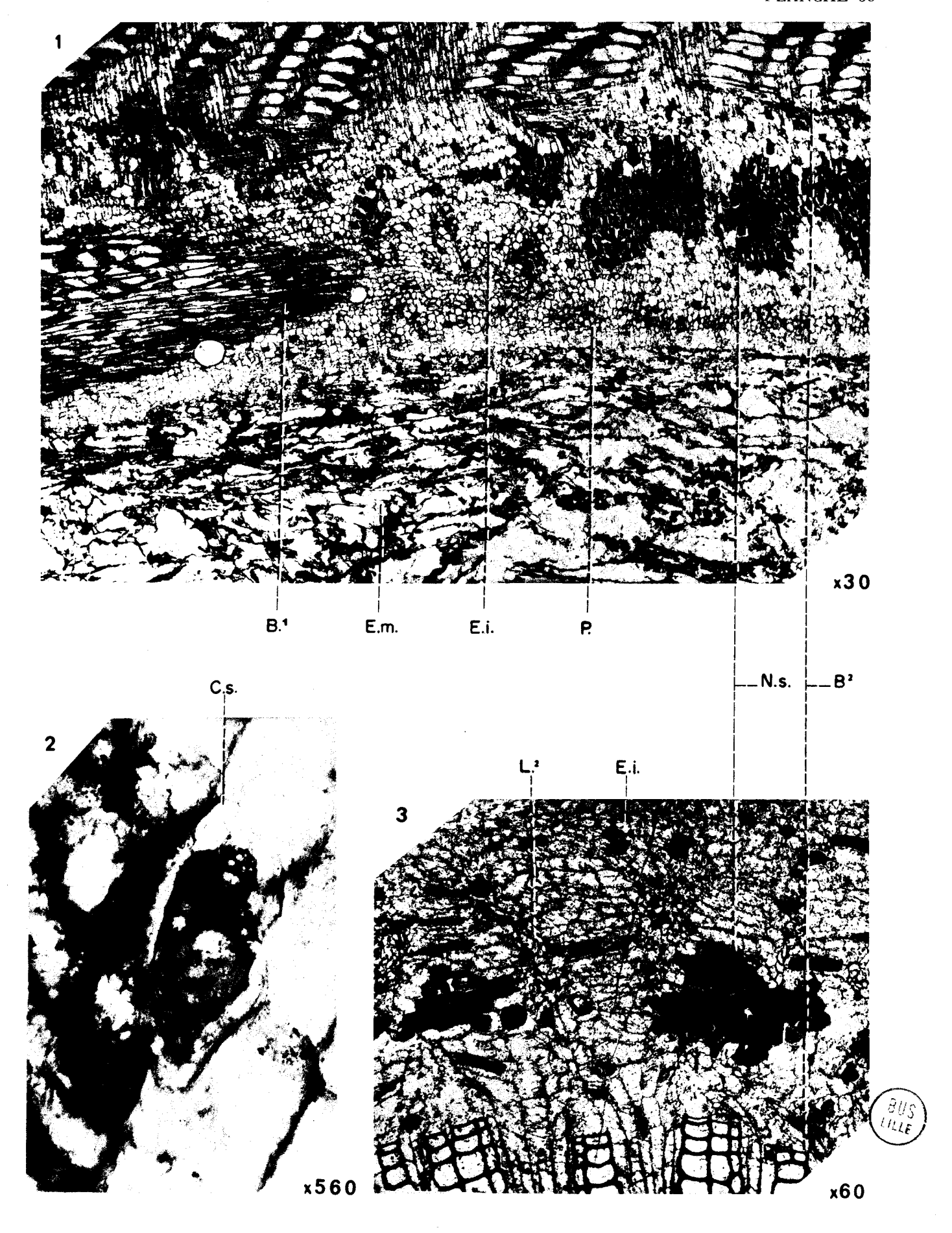
Fig. 3. - Coupe transversale du liber secondaire.

Lame mince nº 34 Lx I.

Origine: Lancashire.
Niveau: Coal Measures.

Collection: Université de Lille.

Gr. : = 60.



Coupe transversale du bois secondaire et du liber dans la tige de Lyginopteris oldhamia (BINNEY) POTONIÉ.

Fig. 1. - Lame mince no NL no 14.

Origine: Lancashire.

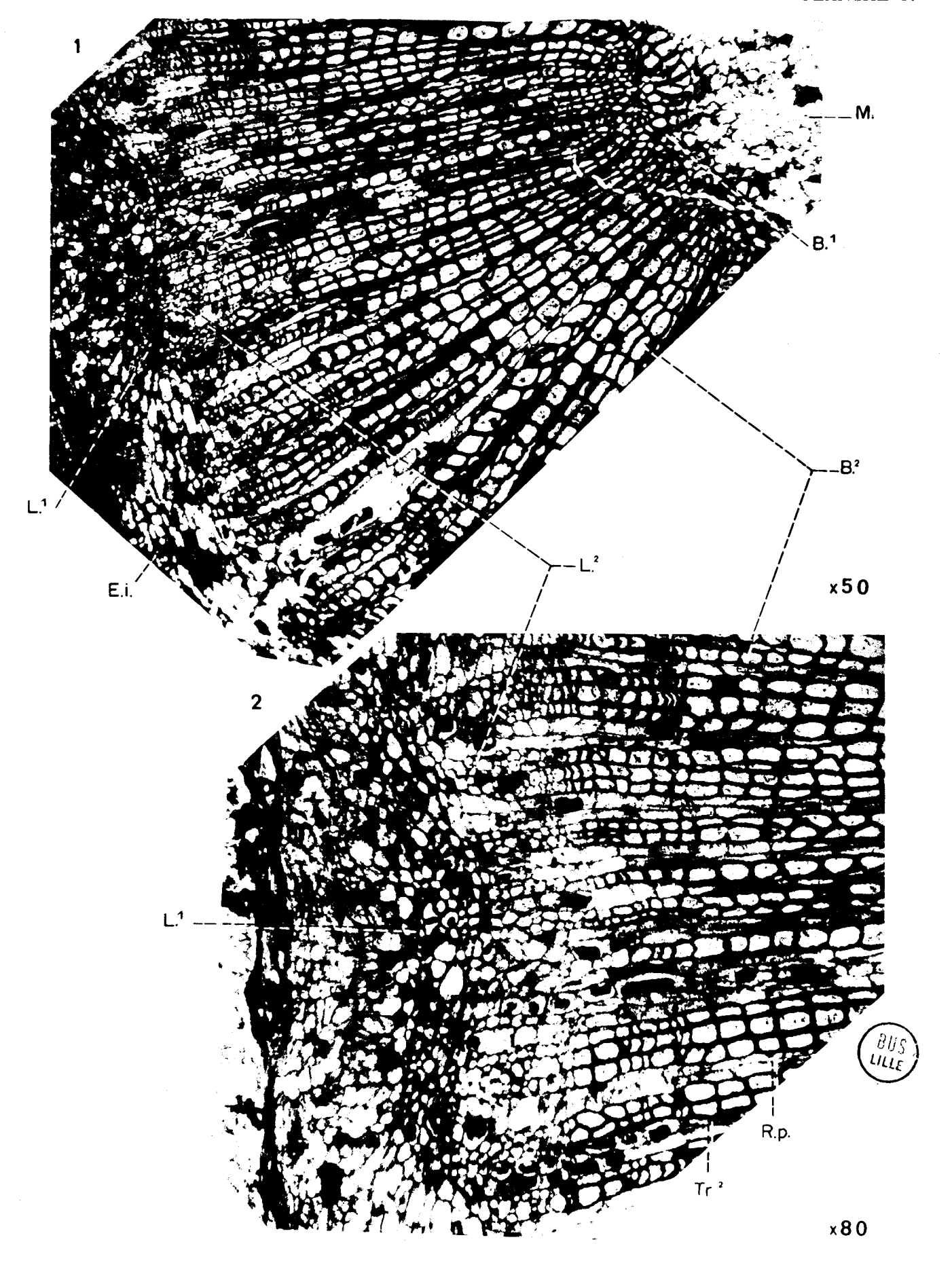
Niveau : Coal Measures.
Collection : Université de Lille.
Gr. : = 50.

Fig. 2. - Lame mince no NL no 14.

Origine: Lancashire. Niveau: Coal Measures.

Collection : Université de Lille.

Gr. : = 80.



Coupe transversale de l'écorce secondaire (périderme) de la tige principale de Lyginopteris oldhamia (BINNEY) POTONIÉ.

Fig. 1. - Lame mince no 34 Lx I.

Origine: Angleterre. Niveau: Coal Measures.

Collection : Université de Lille.

Gr. : = 50.

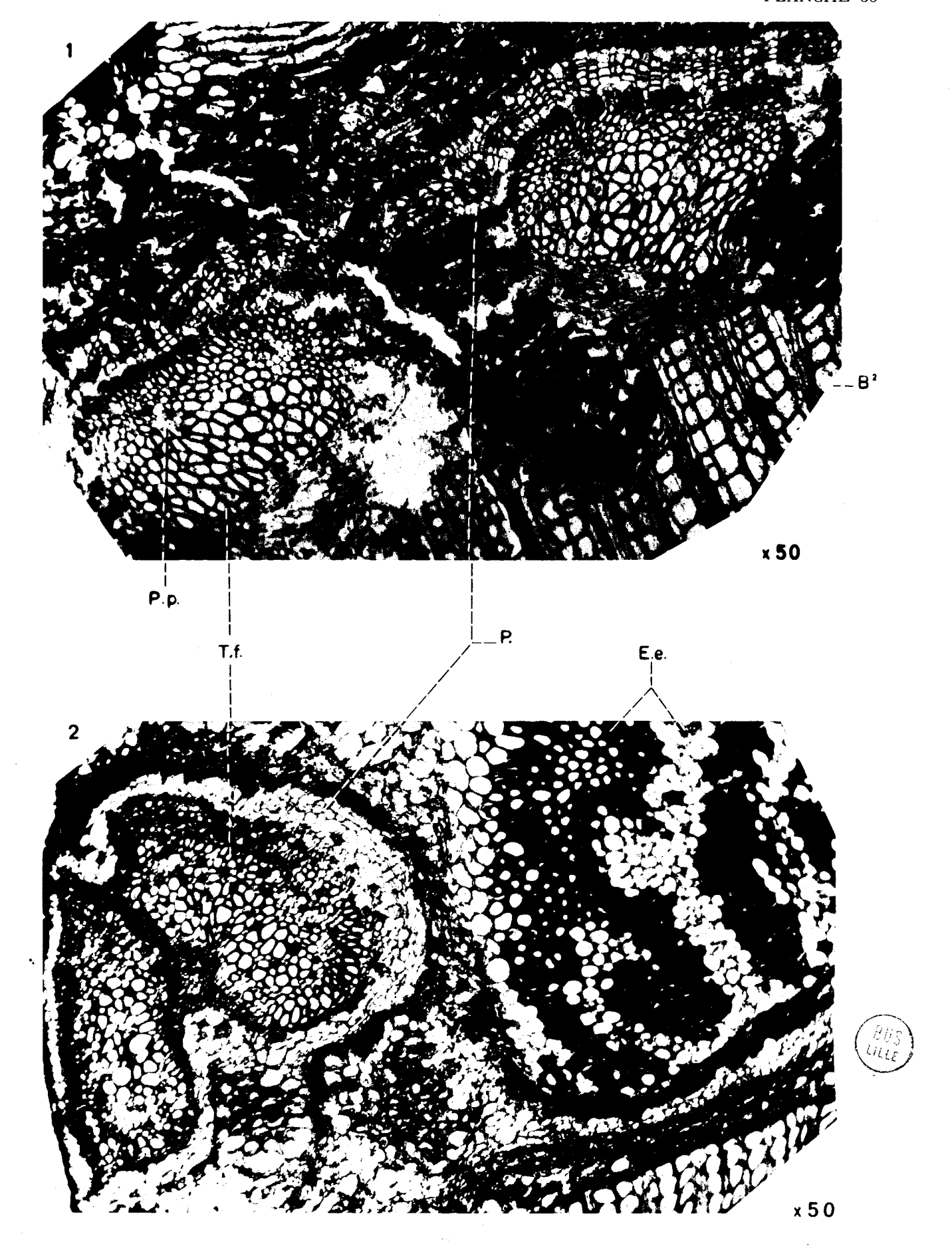
Fig. 2. - Lame mince no 28 Lx I.

Origine: Lancashire.

Niveau : Coal Measures.

Collection: Université de Lille.

Gr. : = 50.



Bois secondaire de la tige principale de Lyginopteris oldhamia (BINNEY) POTONIÉ.

Fig. 1. - Coupe longitudinale tangentielle.

Lame mince no 465.

Origine: Dulesgate (Lancashire).

Niveau: Coal Measures.

Collection: Université de Tübingen.

Gr. : = 50.

Fig. 2. - Coupe longitudinale radiale.

Lame mince nº 8 Lx III.

Origine: Dulesgate (Lancashire).

Niveau: Coal Measures.

Collection: Université de Lille.

Gr. : = 60.

Fig. 3. - Coupe longitudinale radiale: ponctuation des champs de croisement.

Lame mince no 79.

Origine: Shore Littleborough (Lancashire).

Niveau: Coal Measures.

Collection : Université de Lille.

Gr. : = 200.

Fig. 4. - Coupe longitudinale radiale : trachéides secondaires et rayons

parenchymateux.

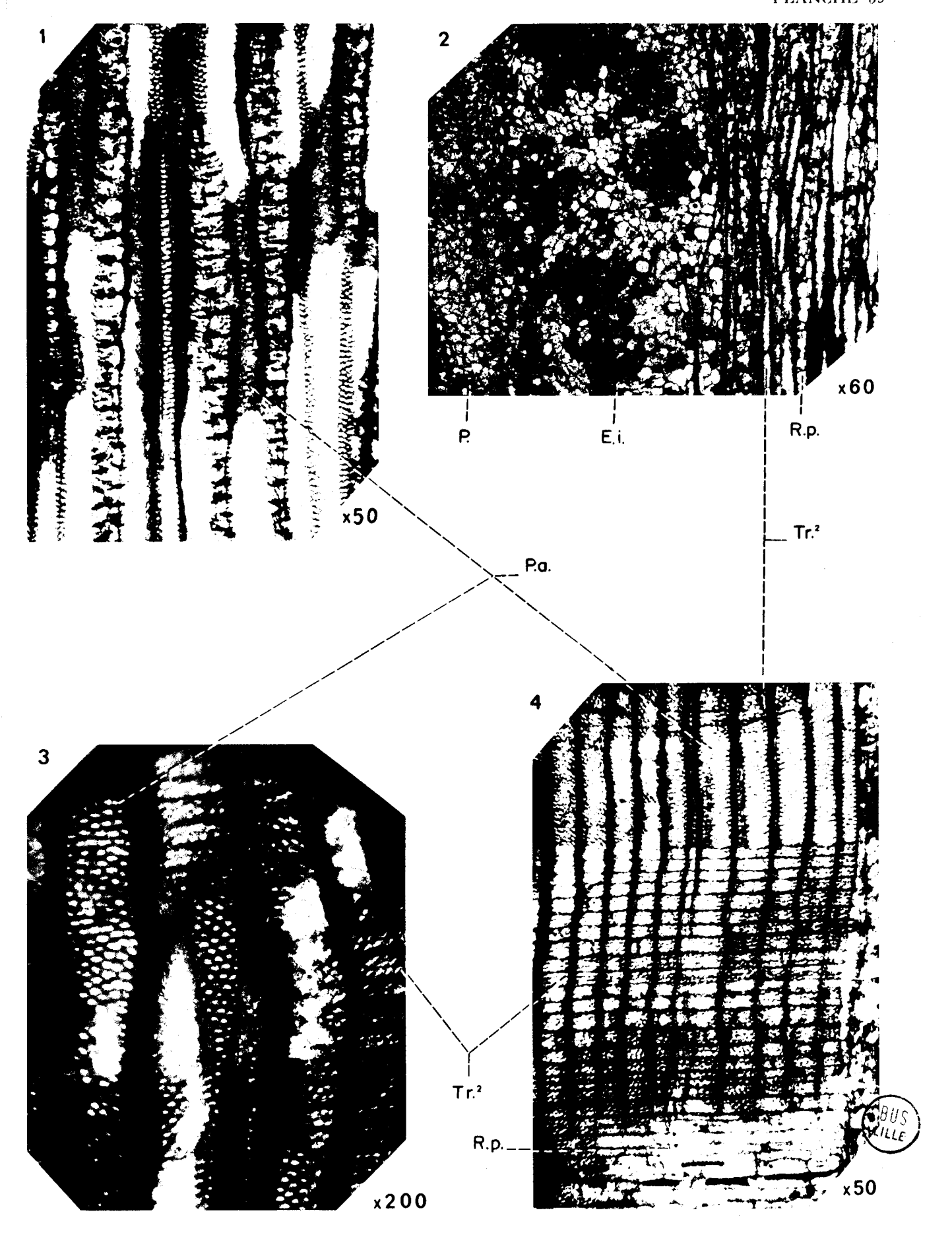
Lame mince no 465 C.

Origine: Dulesgate (Lancashire).

Niveau: Coal Measures.

Collection: Université de Tübingen.

Gr. : = 50.



Bois secondaire de la tige principale de Lyginopteris oldhamia (BINNEY) POTONIÉ.

Fig. 1. - Coupe longitudinale radiale.

Lame mince nº 23 Lx II.

Origine: Lancashire.

Niveau: Coal Measures.

Collection: Université de Lille.

Gr. : = 35.

Fig. 2. - Coupe longitudinale radiale.

Lame mince nº 465 c.

Origine: Dulesgate (Lancashire).

Niveau: Coal Measures.

Collection: Université de Tübingen.

Gr. : = 200.

Fig. 3. - Coupe transversale d'un anneau ligneux normal.

Lame mince nº R 11.

Origine : Angleterre.

Niveau : Coal Measures.

Collection: Londres (University College).

Gr. : = 5.

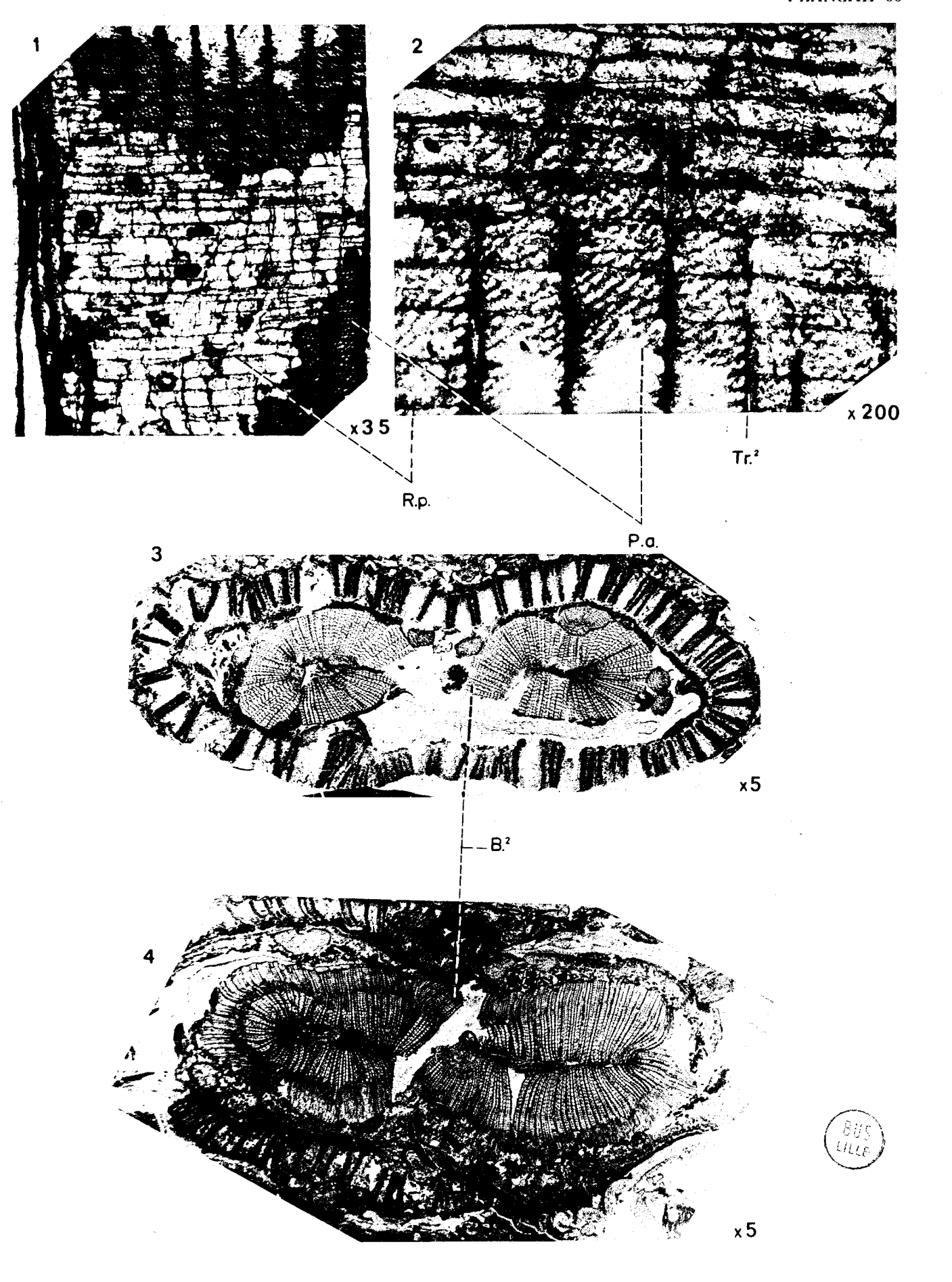
Fig. 4. - Coupe transversale d'un anneau ligneux pourvu d'une zonation.

Lame mince no 331.

Origine: Dulesgate (Lancashire).

Niveau : Lower Coal Measures. Collection : Université de Bruxelles.

Gr. : = 5.



Coupes transversales du bois secondaire de tiges de Lyginopteris oldhamia (BINNEY) POTONIÉ, mettant en évidence la finesse des trachéides secondaires.

Fig. 1. - Lame mince no 685.

Origine: Dulesgate (Lancashire).

Niveau: Coal Measures.

Collection: Université de Glasgow.

Gr. : = 5.

Fig. 2. – Lame mince n^o 1b/70.

Origine : Cheratte (Belgique). Niveau : Couche Bouxharmont. Collection : Université de Liège.

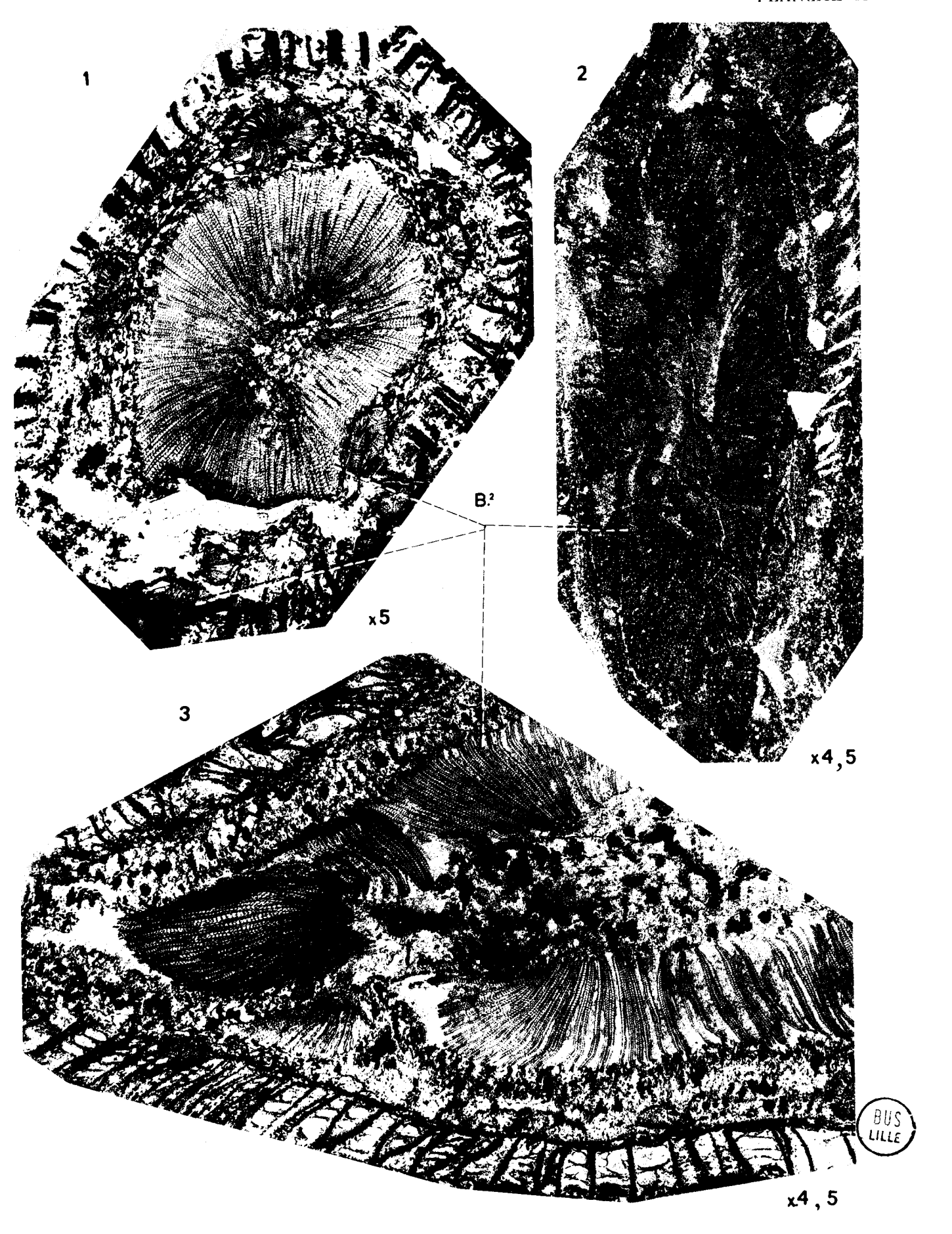
Gr. : = 4,5.

Fig. 3. - Lame mince no 2502.

Origine: Angleterre.
Niveau: Coal Measures.

Collection: Institut Géologique d'Heerlen.

Gr.: 4,5.



Coupes transversales de tiges principales de Lyginopteris oldhamia (BINNEY) Potonié appartenant à la SÉRIE A.

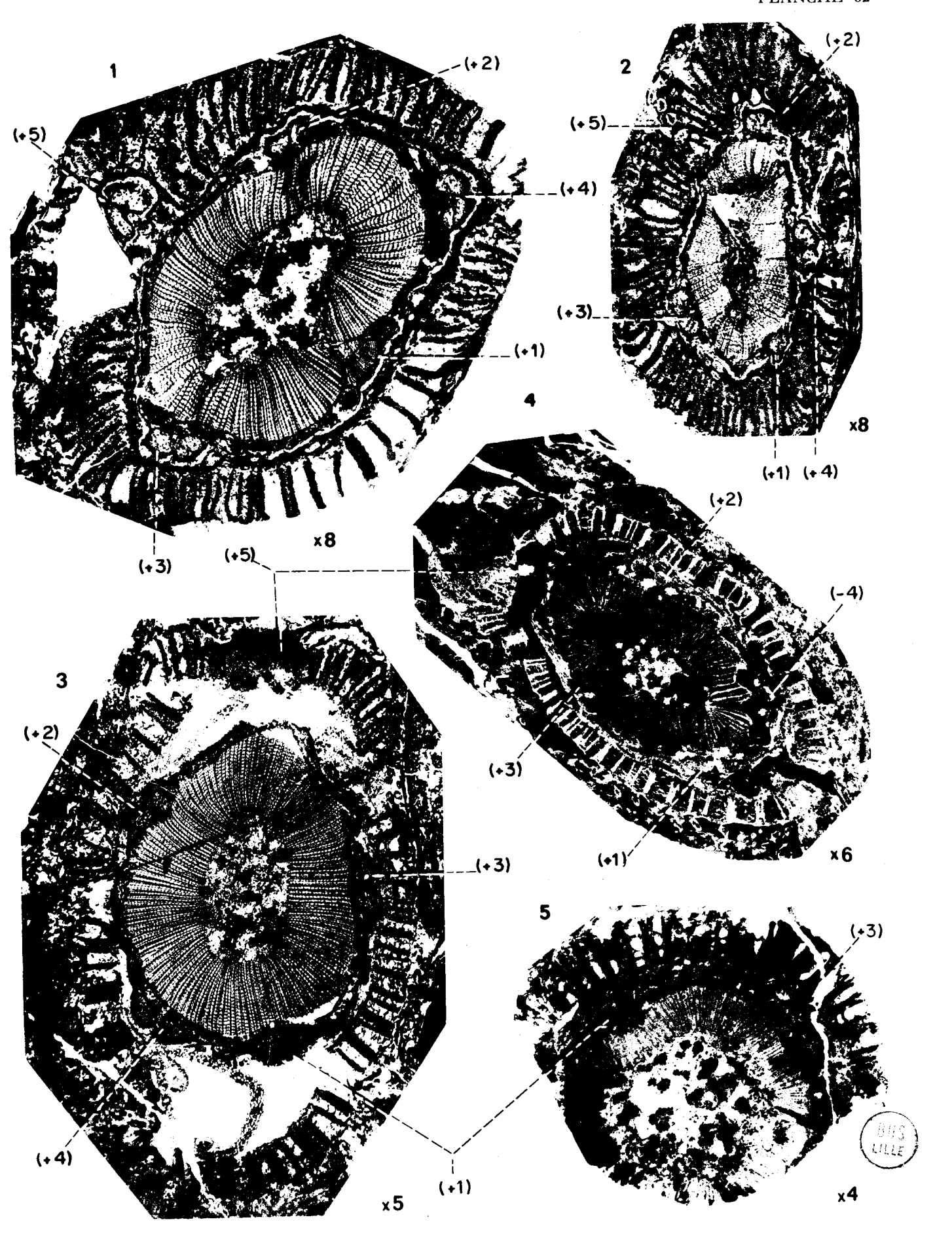
- Fig. 1. Lame mince n° 28 Lx II = n° 72 Lx II.
 Origine: Dulesgate (Lancashire).
 Niveau: Coal Measures.
 Collection: Université de Lille.
 Gr.: = 8.
- Fig. 2. Lame mince nº 2000. Origine : Angleterre. Niveau : Coal Measures. Collection : Université de Lille. Gr. : = 8.
- Fig. 3. Lame mince nº 19 B.
 Origine: Ruhr.
 Niveau: Katharina.
 Collection: Université de Krefeld.
 Gr.: = 5.
- Fig. 4. Lame mince no Pb 488.

 Origine: Angleterre.

 Niveau: Coal Measures.

 Collection: Université de Lille.

 Gr.: = 6.
- Fig. 5. Lame mince nº 404.
 Origine: Lancashire.
 Niveau: Coal Measures.
 Collection: Université de Tübingen.
 Gr.: = 4.



Coupes transversales de tiges principales de Lyginopteris oldhamia (BINNEY) POTONIÉ appartenant à la SÉRIE B.

Fig. 1. - Lame mince no 71.

Origine: Shore Littleborough (Lancashire).

Niveau: Coal Measures.

Collection: Université de Graz.

Gr. : = 9.

Fig. 2. - Lame mince no NL no 16.

Origine: Halifax (Yorkshire).

Niveau: Coal Measures.

Collection : Université de Lille. Gr. : = 10.

Fig. 3. - Lame mince no 186 A (437).

Origine: Halifax (Yorkshire).

Niveau: Coal Measures.

Collection : Université de Graz.

Gr. : = 11.

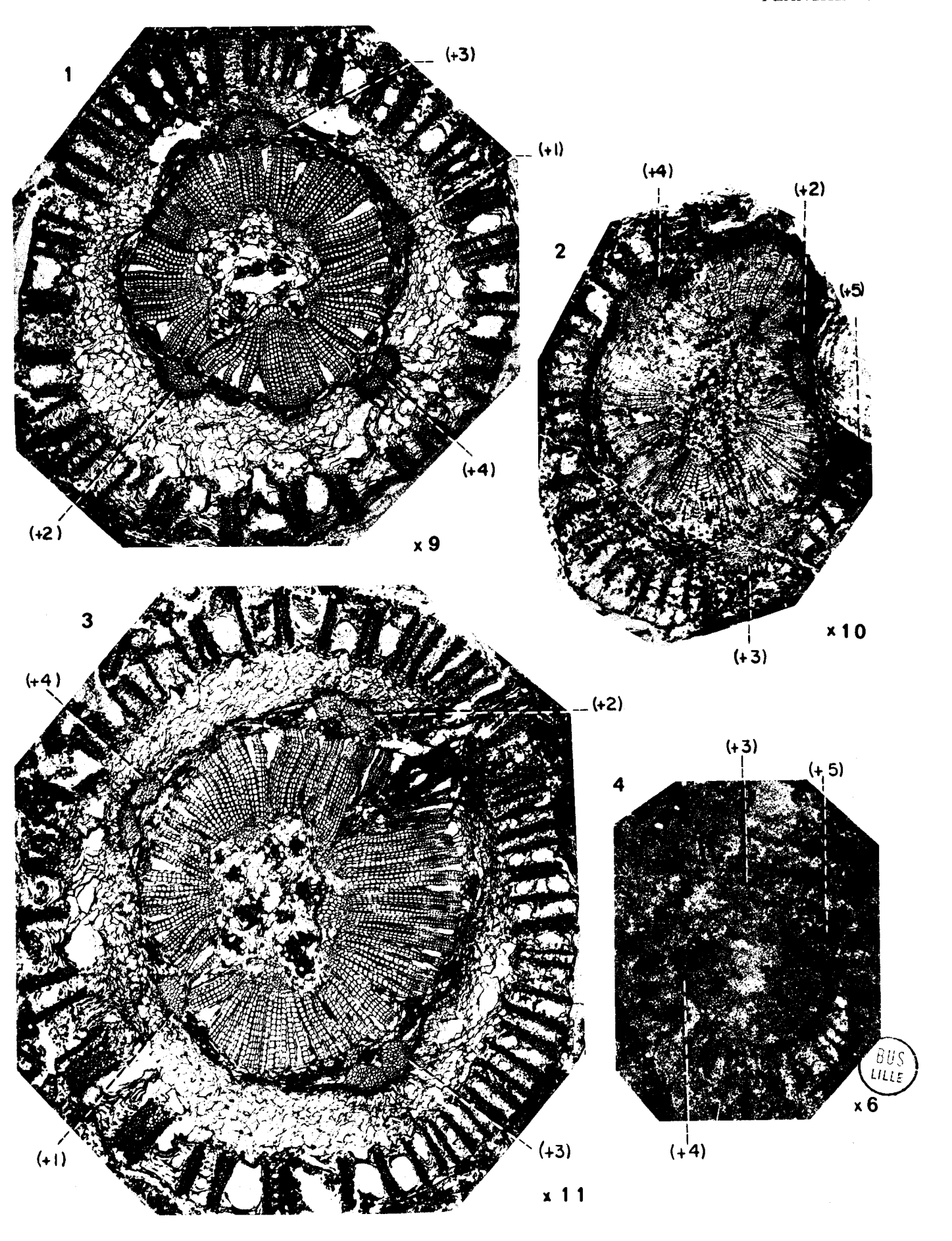
Fig. 4. - Peel section no PG1.

Origine: Angleterre.

Niveau: Coal Measures.

Collection: Université de Glasgow.

Gr. : = 6.



Coupes transversales de tiges principales de Lyginopteris oldhamia (BINNEY) Potonié appartenant aux SÉRIES B et C.

Fig. 1. - SÉRIE B:

Lame mince no Pb 506.

Origine: Halifax (Yorkshire).

Niveau: Coal Measures.

Collection: Londres (Geological Survey).

Gr. : = 8.

Fig. 2. - SÉRIE C:

Lame mince no XLV.

Origine: Halifax (Yorkshire).

Niveau: Coal Measures.

Collection: Université de Munich.

Gr. : = 5,5

Fig. 3. - SÉRIE C:

Lame mince no 1992.

Origine: Angleterre.

Niveau: Coal Measures.

Collection: Université de Lille.

Gr. : = 6.

Fig. 4. - SÉRIE C:

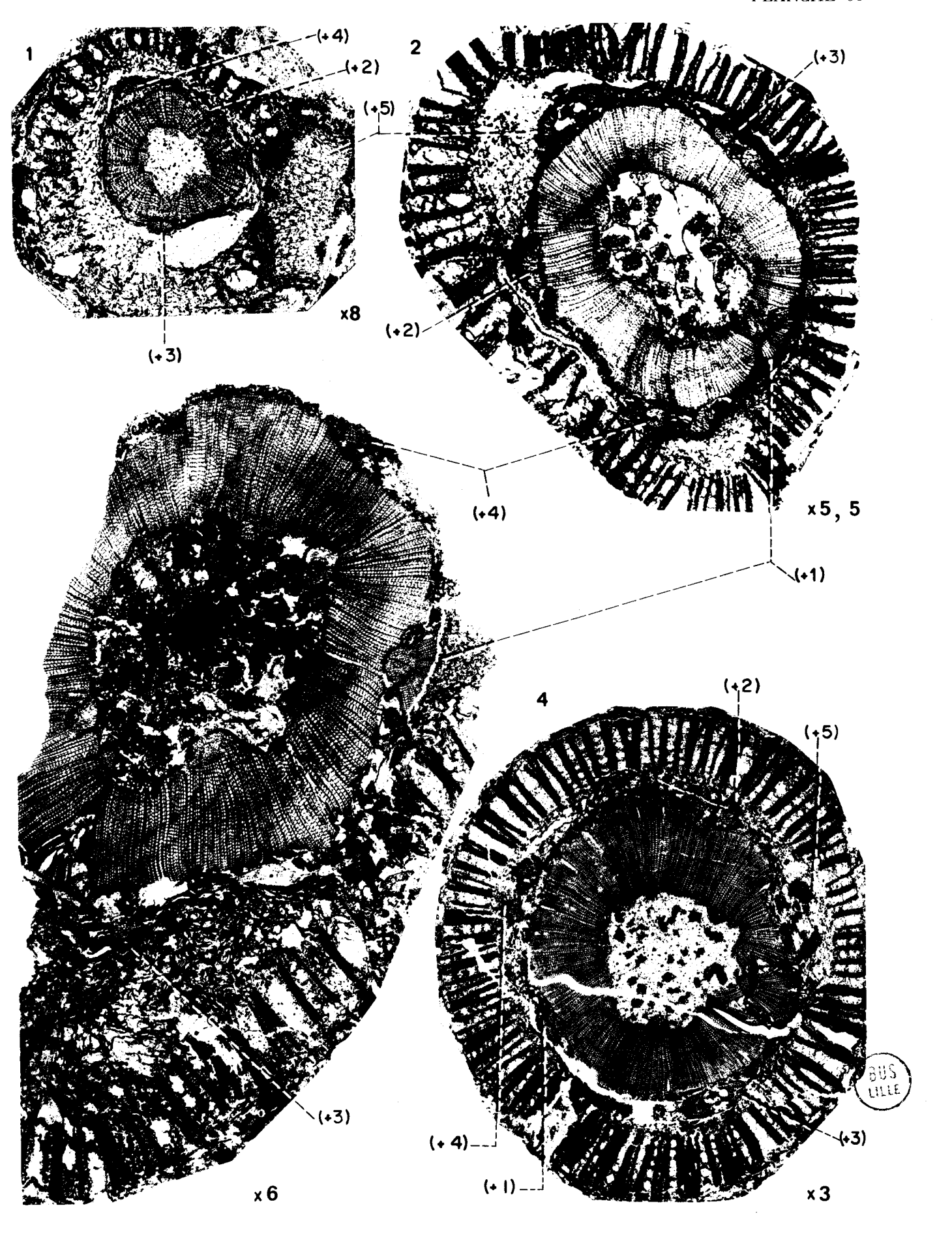
Lame mince nº 2177.

Origine: Shore Littleborough (Lancashire).

Niveau: Coal Measures.

Collection: Université de Glasgow.

Gr. : = 3.



Coupes transversales de tiges principales de Lyginopteris oldhamia (Binney) Potonié appartenant à la SÉRIE C.

Fig. 1. – Lame mince n^0 E = 53.

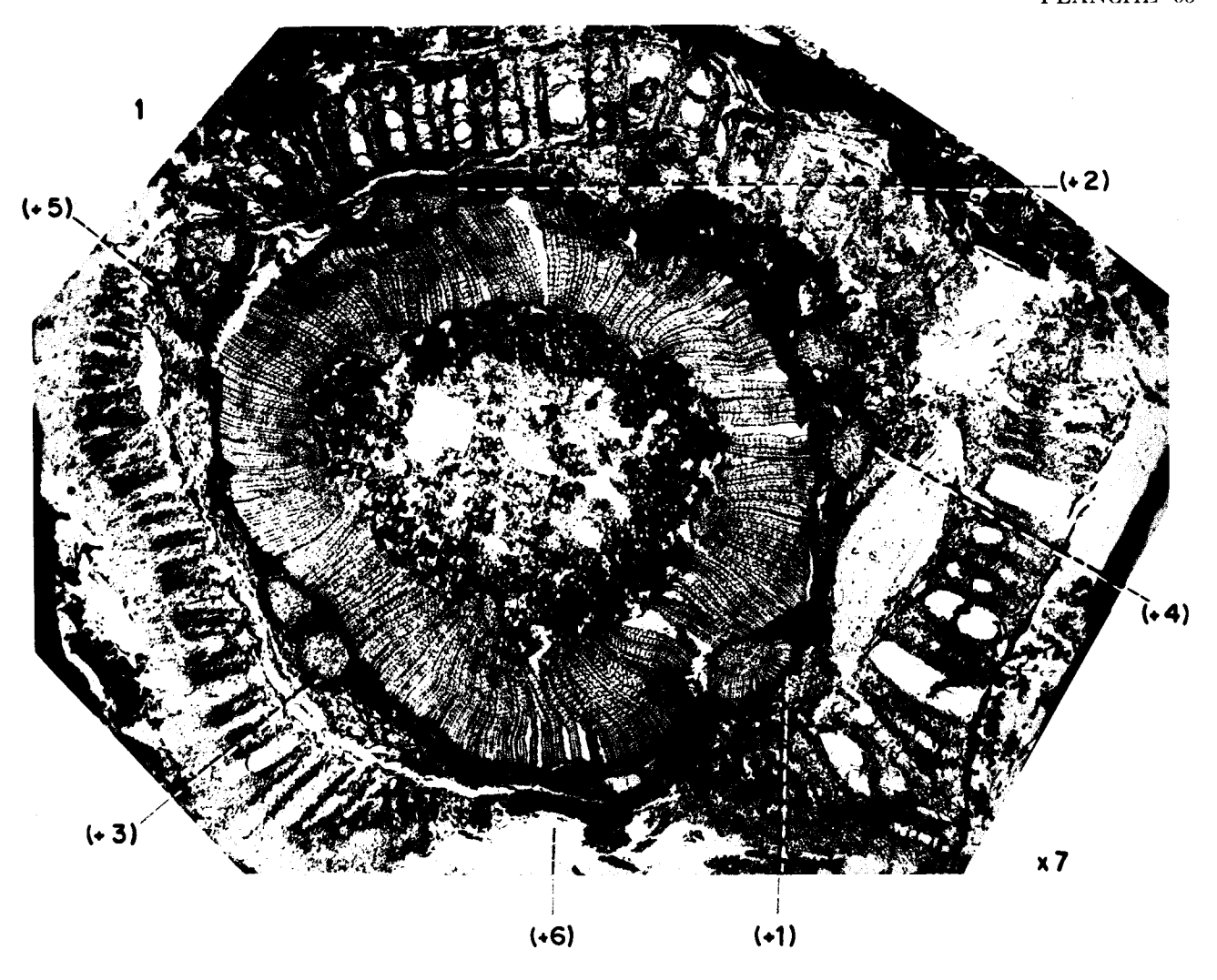
Origine: Angleterre.
Niveau: Coal Measures.
Collection: Université de Graz.
Gr.: = 7.

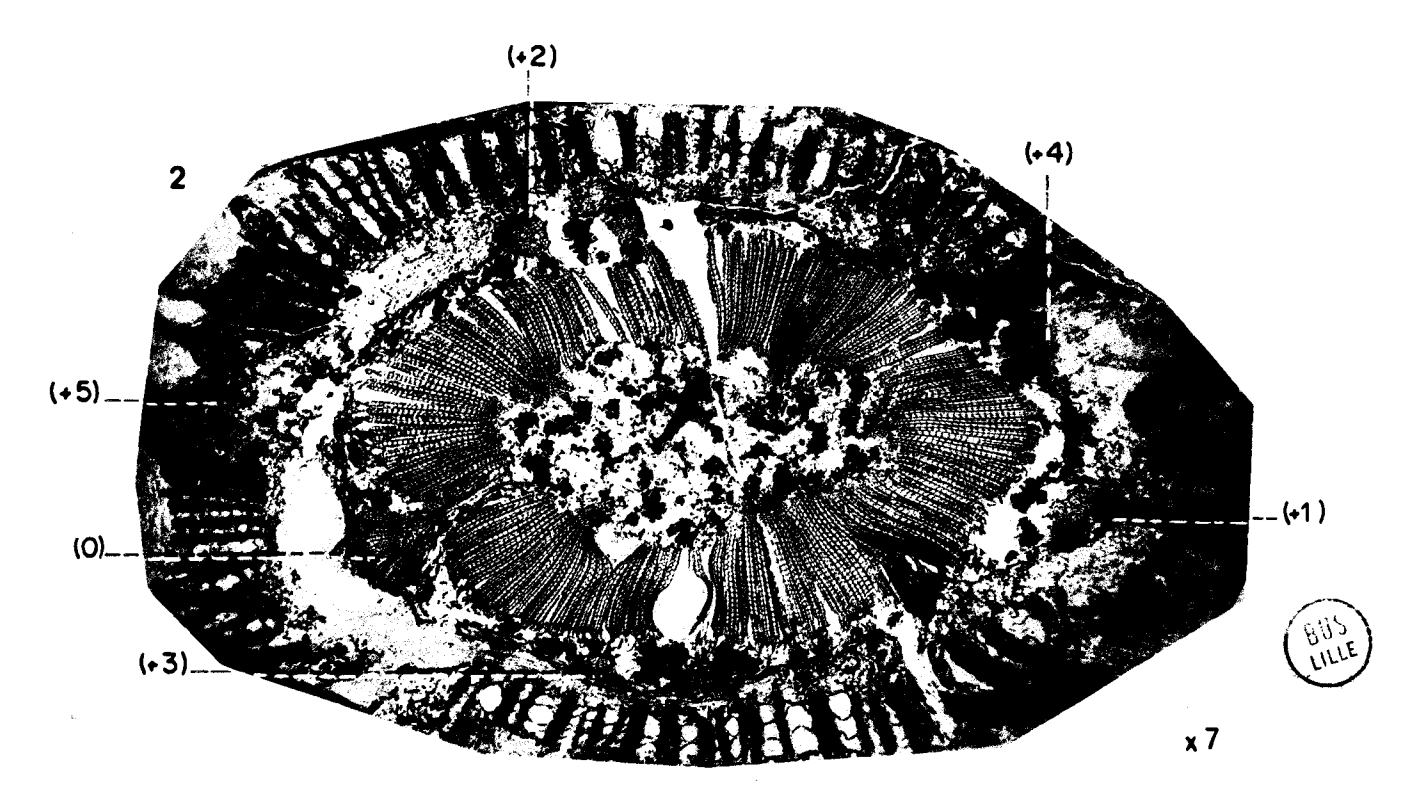
Fig. 2. – Lame mince nº 19 1325/5. Origine: Ruhr.

Niveau : Katharina.

Collection: Université de Krefeld.

Gr. : = 7.





Coupes transversales sériées de tiges principales de Lyginopteris oldhamia (BINNEY) POTONIÉ appartenant à la SÉRIE C.

Fig. 1. - Lame mince no M1.

Origine: Dulesgate (Lancashire).

Niveau: Coal Measures.

Collection: University College.

Gr. : = 3.

Fig. 2. - Lame mince nº 4 Lx III.

Origine: Dulesgate (Lancashire). Niveau: Coal Measures.

Collection: Université de Lille.

Gr. : = 3.

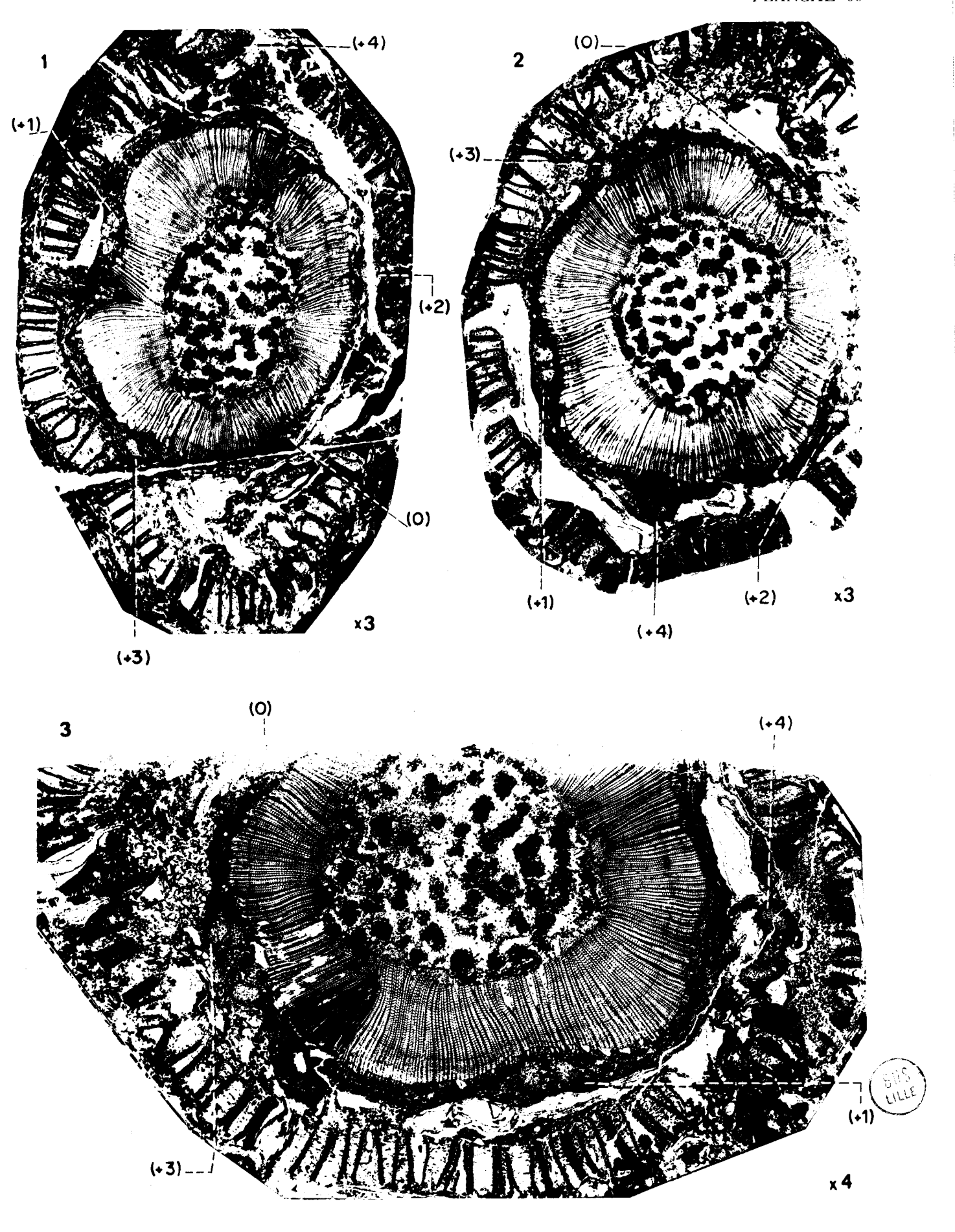
Fig. 3. - Lame mince no 3.

Origine: Dulesgate (Lancashire).

Niveau: Coal Measures.

Collection: Université de Göttingen.

Gr. : = 4.



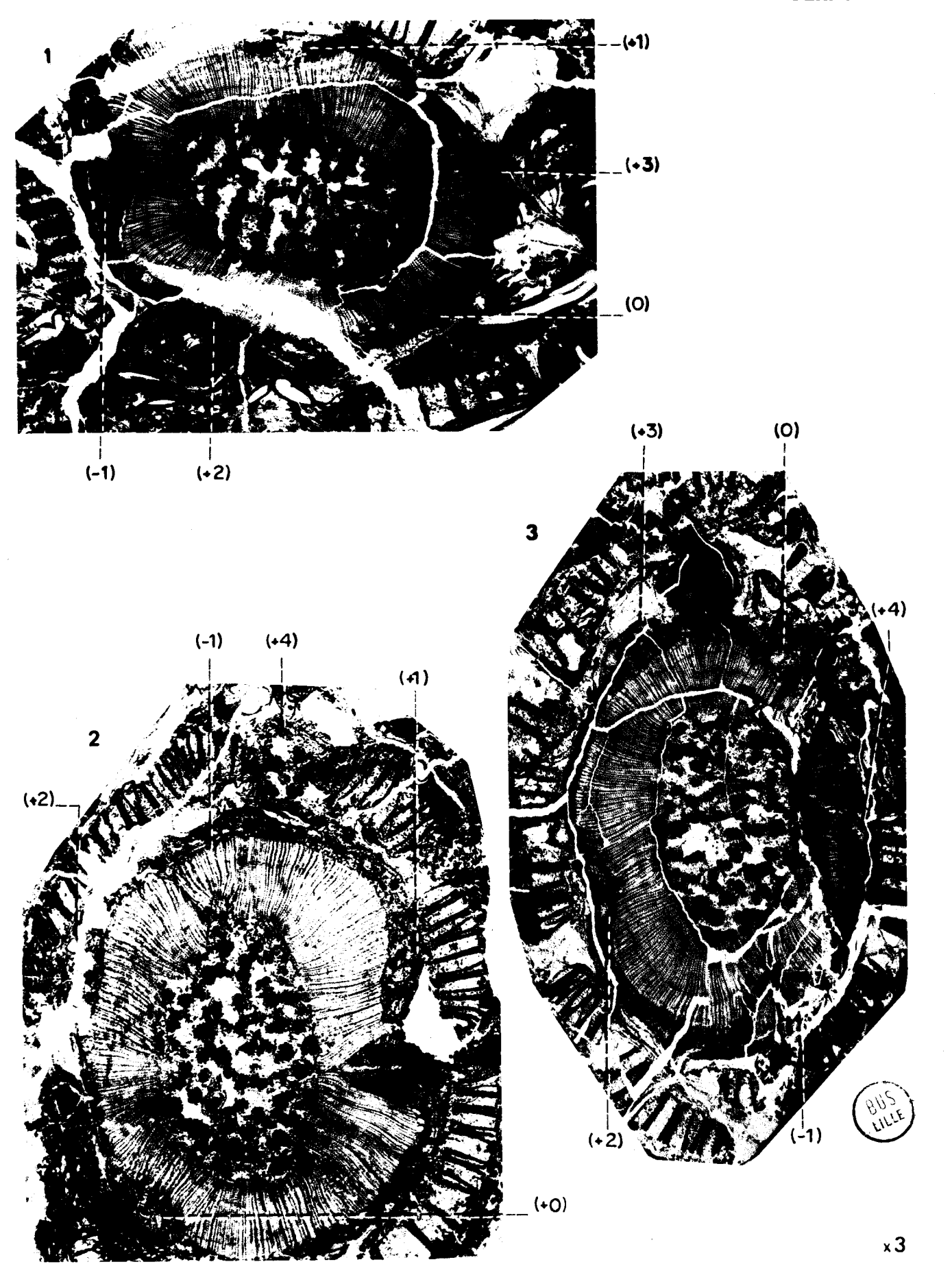
Coupes transversales sériées de tiges principales de Lyginopteris oldhamia (Binney) Potonié appartenant à la SÉRIE C (suite).

Fig. 1. – Lame mince nº 4.
Origine: Dulesgate (Lancashire).
Niveau: Coal Measures.
Collection: Université de Berlin.

Gr. : = 3.

Fig. 2. – Lame mince XT.
Origine: Dulesgate (Lancashire).
Niveau: Coal Measures.
Collection: Université de Tübingen.
Gr.: = 3.

Fig. 3. – Lame mince n° 341.
Origine: Grande-Bretagne.
Niveau: Coal Measures.
Collection: Université de Bruxelles.
Gr.: = 3.



Coupes transversales de tiges principales de Lyginopteris oldhamia (Binney) Potonié appartenant à la SÉRIE C.

Fig. 1. - Lame mince no 1.

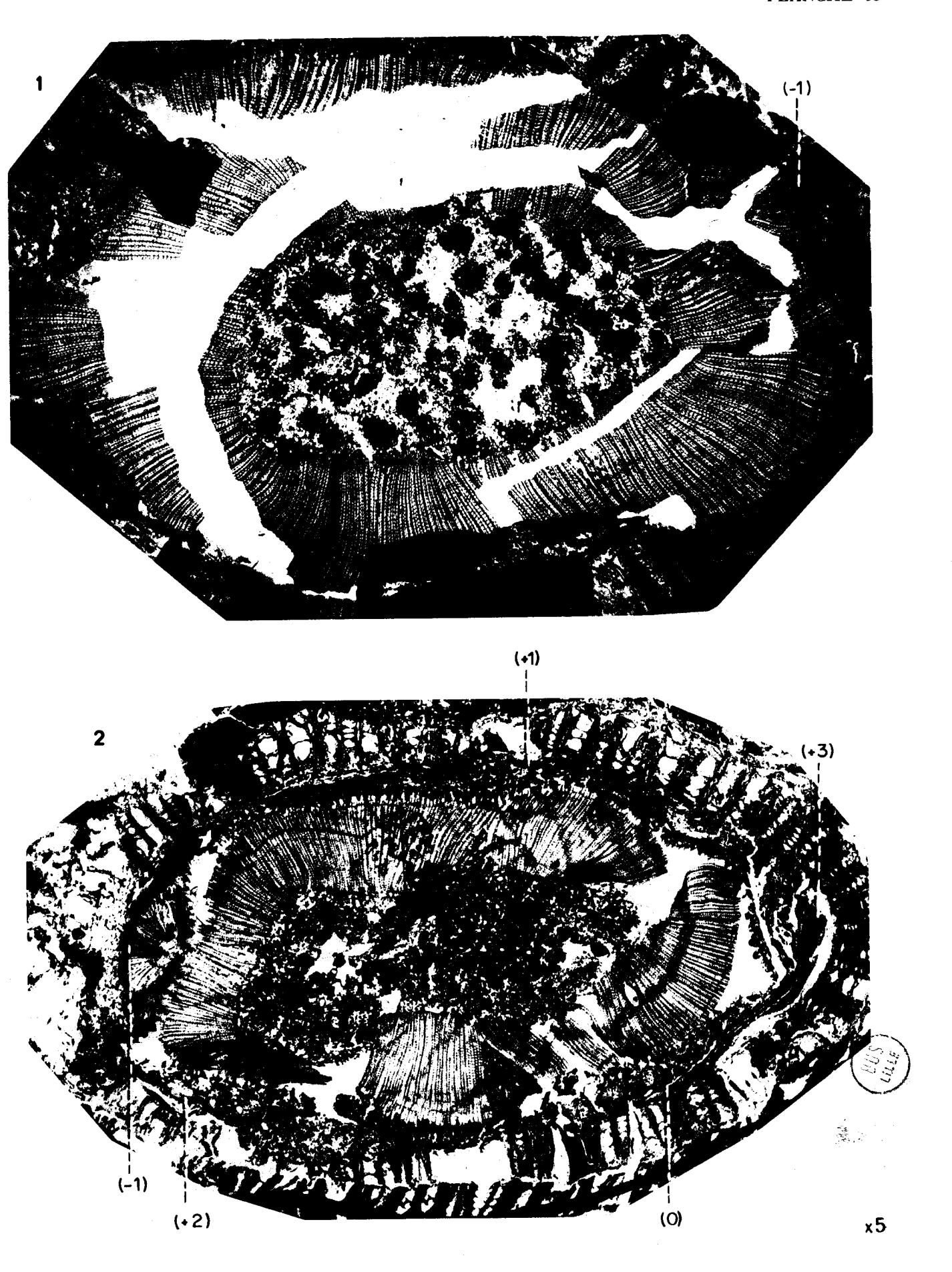
Origine: Ruhr.

Niveau: Torfdolomit.
Collection: Université de Krefeld.
Gr.: = 5.

Fig. 2. - Lame mince nº 464 B.
Origine: Dulesgate (Lancashire).

Niveau: Coal Measures.

Collection: Université de Tübingen.



Anastomose des faisceaux périmédullaires sur deux coupes transversales sériées d'une tige principale de Lyginopteris oldhamia (BINNEY) POTONIÉ.

Fig. 1. - Coupe transversale supérieure.

Lame mince nº 5.

Origine: Shore Littleborough (Lancashire).

Niveau: Coal Measures.

Collection: Université de Liège.

Gr. : = 5,5.

Fig. 2. – Mise en évidence de l'accolement du faisceau anastomosique (aV°) d'un groupe ligneux au faisceau caulinaire (caul. II) du groupe voisin.

Lame mince nº 5.

Origine: Shore Littleborough (Lancashire).

Niveau: Coal Measures.

Collection: Université de Liège.

Gr. : = 50.

Fig. 3. – Mise en évidence de la distance séparant le faisceau anastomosique (aV°) du caulinaire (caul. II).

Lame mince nº 25.

Origine: Shore Littleborough (Lancashire).

Niveau: Coal Measures.

Collection : Université de Liège.

Gr. : = 50.

Fig. 4. - Coupe transversale inférieure.

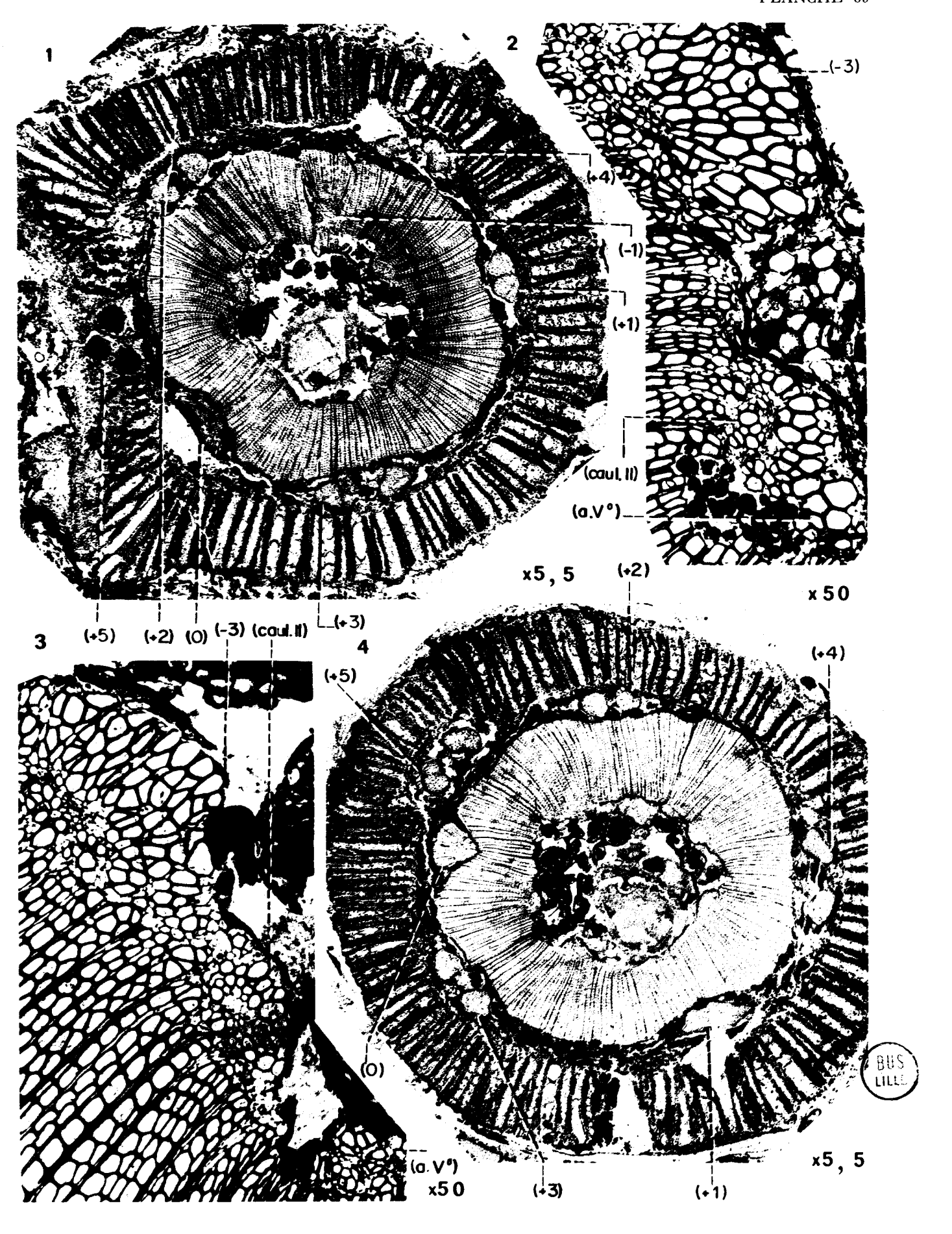
Lame mince nº 25.

Origine: Shore Littleborough (Lancashire).

Niveau: Coal Measures.

Collection: Université de Liège.

Gr. : = 5,5.



Anastomose des faisceaux périmédullaires dans la tige principale de Lyginopteris oldhamia (BINNEY) POTONIÉ.

Fig. 1. - Coupe transversale d'une tige principale.

Lame mince nº 49.

Origine: Shore Littleborough (Lancashire).

Niveau: Coal Measures.

Collection: Université de Lille.

Gr. : = 3.

Fig. 2. - Coupe transversale d'une tige principale.

Lame mince no M 40 = no 28. Origine: Dulesgate (Lancashire).

Niveau: Coal Measures.

Collection: Londres (University College).

Gr. : = 4.

Fig. 3. – Naissance du faisceau anastomosique (a IV^{-1}) à partir du faisceau sortant (= 1).

Lame mince no 1992. Origine: Angleterre. Niveau: Coal Measures.

Collection: Université de Lille.

Gr. : = 50.

Fig. 4. – Naissance du faisceau anastomosique (a III-2) à partir du faisceau sortant (-- 2).

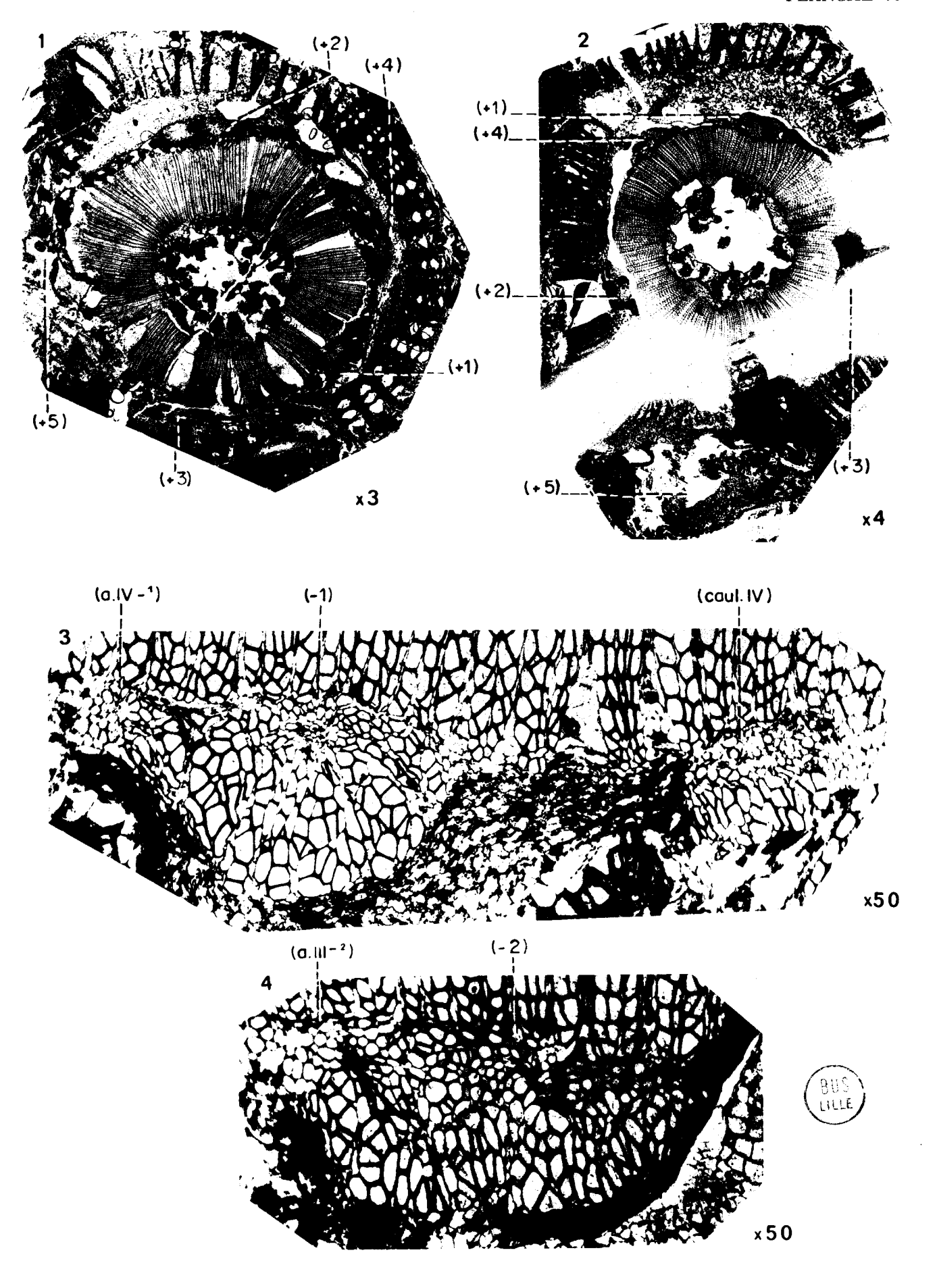
Lame mince no 1992.

Origine: Angleterre.

Niveau: Coal Measures.

Collection: Université de Lille.

Gr. : = 50.



Coupes transversales des faisceaux primaires périmédullaires dans les groupes ligneux d'une tige principale de Lyginopteris oldhamia (BINNEY) POTONIÉ.

- Fig. 1. Faisceaux du groupe III.

 Lame mince nº 4 Lx III.

 Origine: Dulesgate (Lancashire).

 Niveau: Coal Measures.

 Collection: Université de Lille.

 Gr. : = 50.
- Fig. 2. Faisceaux du groupe IV.

 Lame mince nº 4 Lx III.

 Origine: Dulesgate (Lancashire).

 Niveau: Coal Measures.

 Collection: Université de Lille.

 Gr. := 50.
- Fig. 3. Faisceaux du groupe V.

 Lame mince nº 1992.

 Origine : Angleterre.

 Niveau : Coal Measures.

 Collection : Université de Lille.

 Gr. : = 50.



Coupes transversales des faisceaux primaires périmédullaires dans les groupes ligneux d'une tige principale de Lyginopteris oldhamia (BINNEY) POTONIÉ.

Fig. 1. – Faisceaux du groupe V.

Lame mince nº 4 Lx III.

Origine: Dulesgate (Lancashire).

Niveau: Coal Measures.

Collection: Université de Lille.

Gr. := 50.

Fig. 2. – Faisceaux du groupe II.

Lame mince nº 4 Lx III.

Origine: Dulesgate (Lancashire).

Niveau: Coal Measures.

Collection: Université de Lille.

Gr. : = 50.

Fig. 3. – Faisceaux du groupe I.

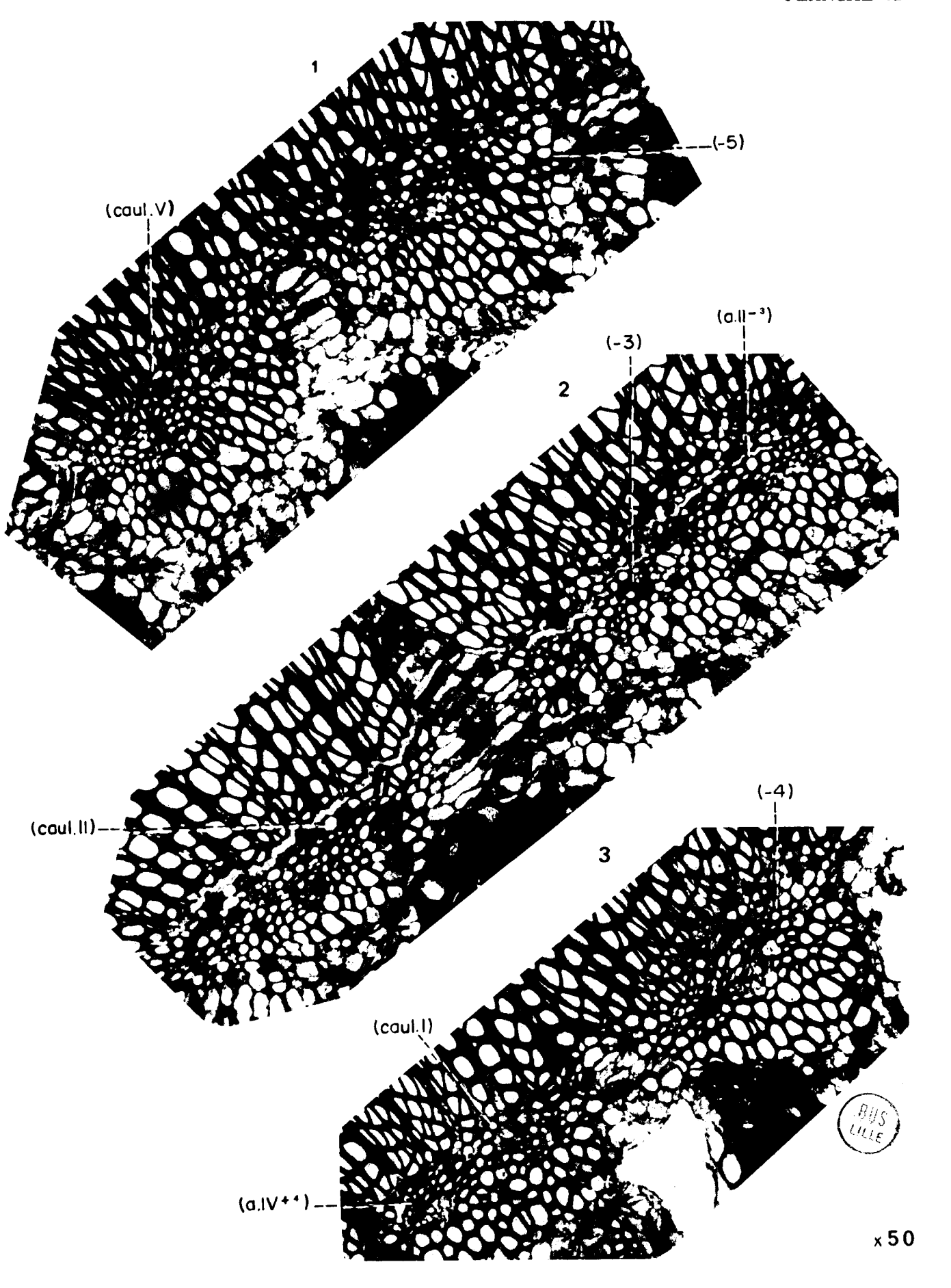
Lame mince nº 4 Lx III.

Origine: Dulesgate (Lancashire).

Niveau: Coal Measures.

Collection: Université de Lille.

Gr.: = 50.



Anastomose des faisceaux périmédullaires de la tige principale de Lyginopteris oldhamia (BINNEY) POTONIÉ.

Fig. 1. - Lame mince no 3.

Origine: Dulesgate (Lancashire).

Niveau: Coal Measures.

Collection: Université de Göttingen.

Gr. : = 10.

Fig. 2. - Lame mince no 3.

Origine: Dulesgate (Lancashire). Niveau: Coal Measures.

Collection: Université de Göttingen.

Gr. : = 20.

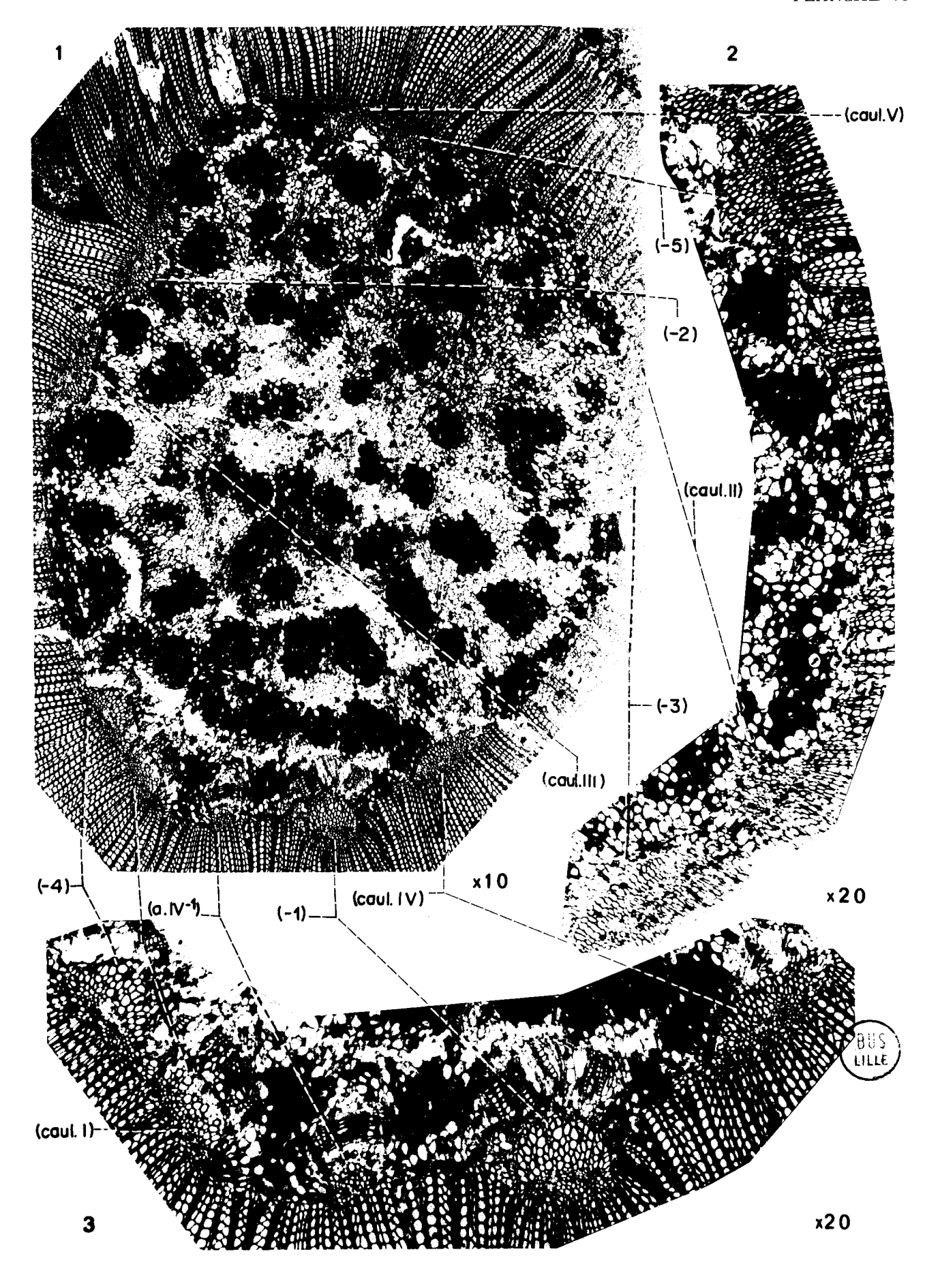
Fig. 3. - Lame mince no 3.

Origine: Dulesgate (Lancashire).

Niveau: Coal Measures.

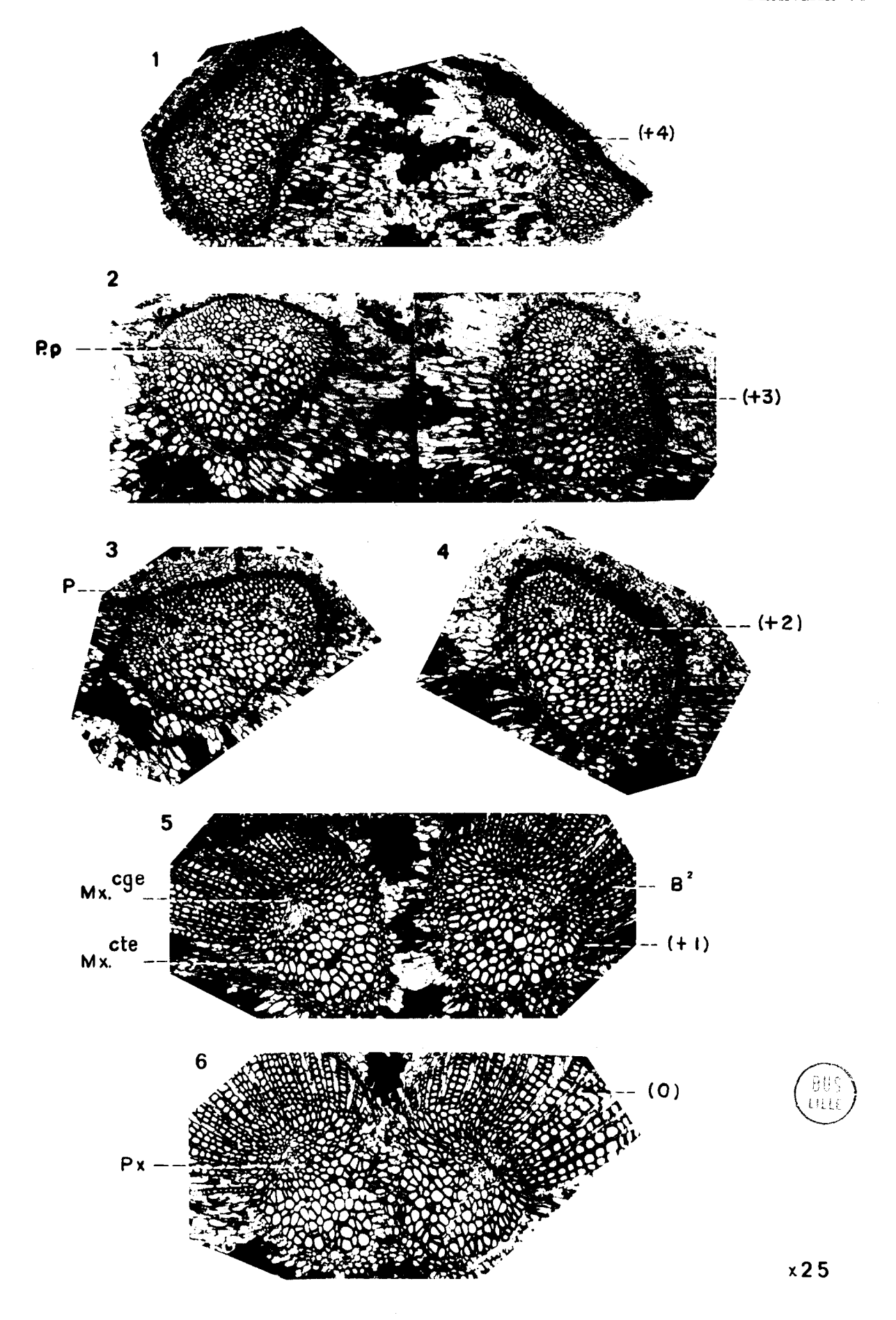
Collection : Université de Göttingen.

Gr. : = 20.



Coupes transversales des cinq traces foliaires corticales d'une tige principale de Lyginopteris oldhamia (BINNEY) Potonié.

Fig. 1. – Lame mince nº 4 Lx III (voir planche 66, fig. 2).
Origine: Dulesgate (Lancashire).
Niveau: Coal Measures.
Collection: Université de Lille.
Gr.: = 25.



Coupes transversales de tiges jeunes de Lyginopteris oldhamia (BINNEY) POTONIÉ.

Fig. 1. - Lame mince no M 9.

Origine: Dulesgate (Lancashire).

Niveau: Coal Measures.

Collection: Londres (University College).

Gr. : = 50.

Fig. 2. – Lame mince n° 78 Lx II = 28 Lx I.

Origine: Dulesgate (Lancashire).

Niveau: Coal Measures.

Collection: Université de Lille.

Gr. : = 20.

Fig. 3. - Lame mince no H 5.

Origine: Angleterre.

Niveau: Coal Measures.

Collection: Londres Birbeck College.

Gr. : = 20.

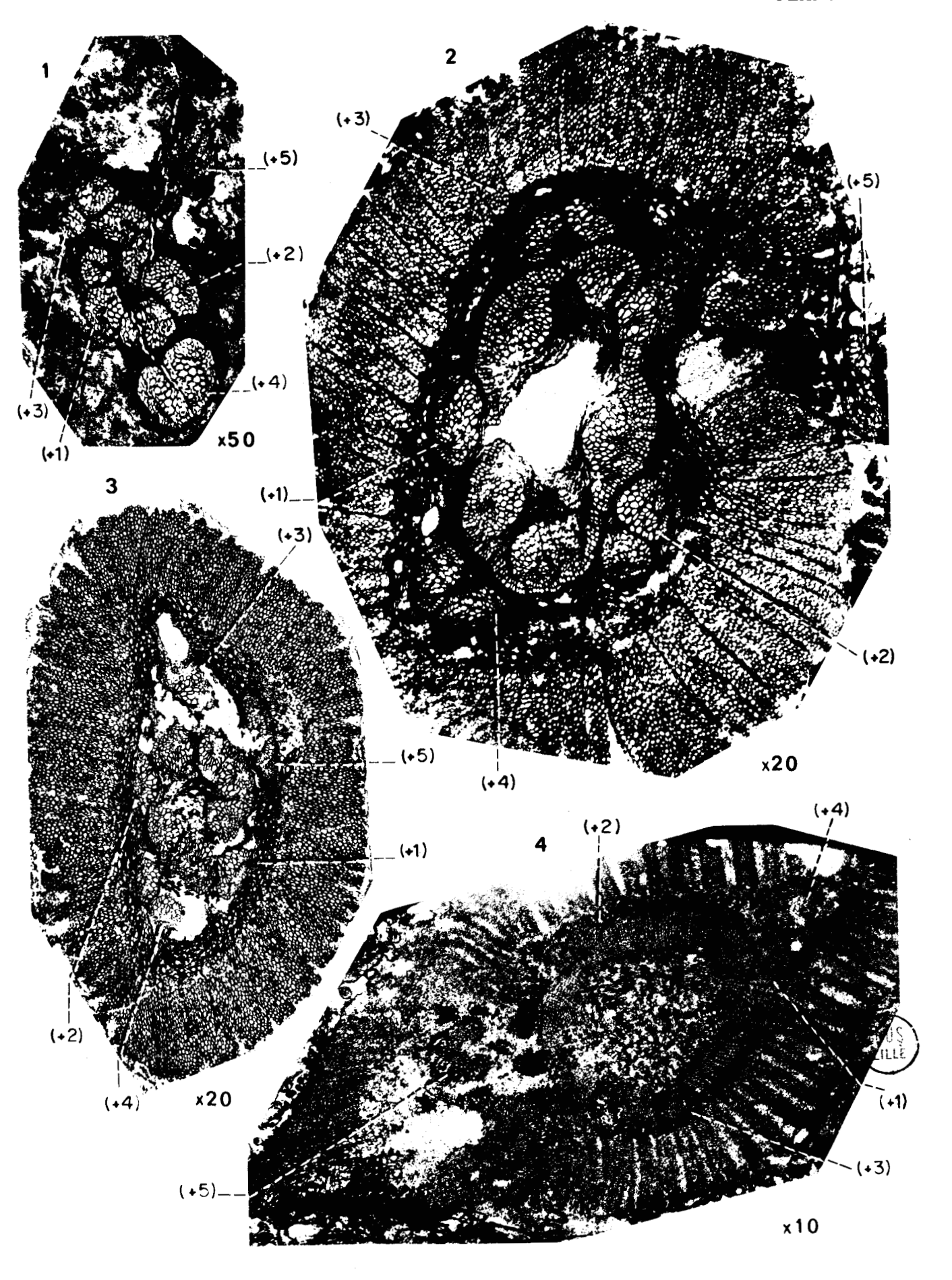
Fig. 4. - Lame mince no M 50 d.

Origine: Sharney Ford.

Niveau: Coal Measures.

Collection: Londres (University College).

Gr. : = 10.



Coupe transversale d'une tige jeune de Lyginopteris oldhamia (BINNEY) POTONIÉ.

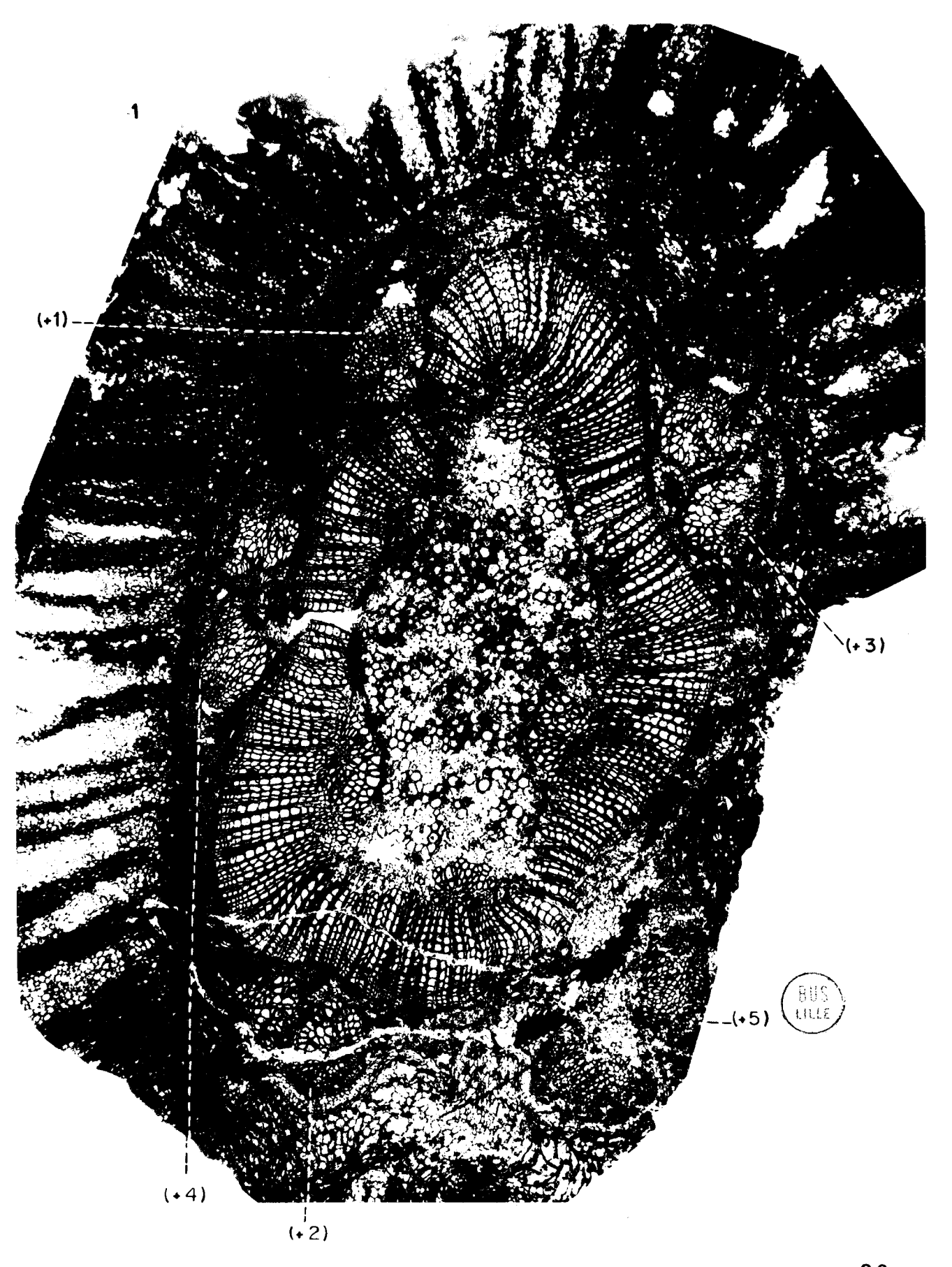
Fig. 1. - Lame mince no 252.

Origine: Angleterre.

Niveau: Coal Measures.

Collection: Londres (British Museum).

Gr.: = 20.



Coupes transversales de tiges jeunes de Lyginopteris oldhamia (BINNEY) POTONIÉ. – Section basale d'une série de coupes transversales d'une tige principale présentant un bourgeon axilaire en formation.

Fig. 1. - Tige jeune.

Lame mince nº M 79 m.

Origine: Shore Littleborough (Lancashire).

Niveau: Coal Measures.

Collection: Londres (University College).

Gr. : = 10.

Coupe transversale d'une tige jeune de Lyginopteris oldhamia avec présence de faisceaux anastomosiques.

Fig. 2. - Tige jeune.

Lame mince no 449.

Origine: Dulesgate (Lancashire). Niveau: Lower Coal Measures. Collection: Université de Bruxelles.

Gr. : = 10.

Fig. 3. – Tige principale. – Constitution du bourgeon axillaire au niveau de (+ 5). – Sectionnement d'une racine adventive au niveau de (+ 2).

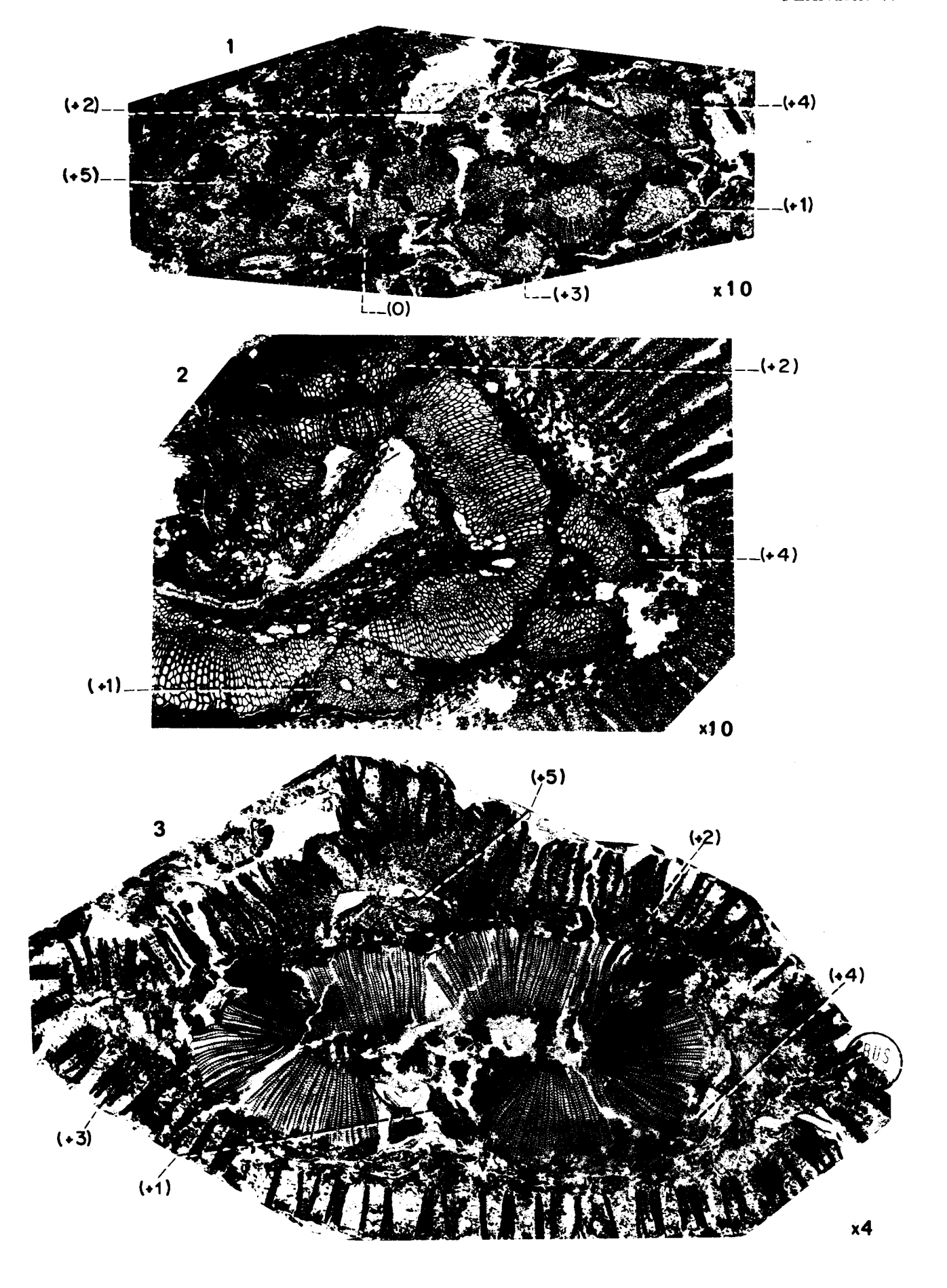
Lame mince no M 25 a.

Origine: Dulesgate (Lancashire).

Niveau: Coal Measures.

Collection: Londres (University College).

Gr. : = 4.



Formation d'un bourgeon axilaire dans une tige principale de Lyginopteris oldhamia (suite).

Fig. 1. - Coupe transversale avec début de formation du bourgeon axilaire.

Lame mince n^0 M 25 c = n^0 M 25 b. Origine: Dulesgate (Lancashire).

Niveau: Coal Measures.

Collection: Londres (University College).

Gr. : = 4.

Fig. 2. - Détail du bourgeon axilaire en formation.

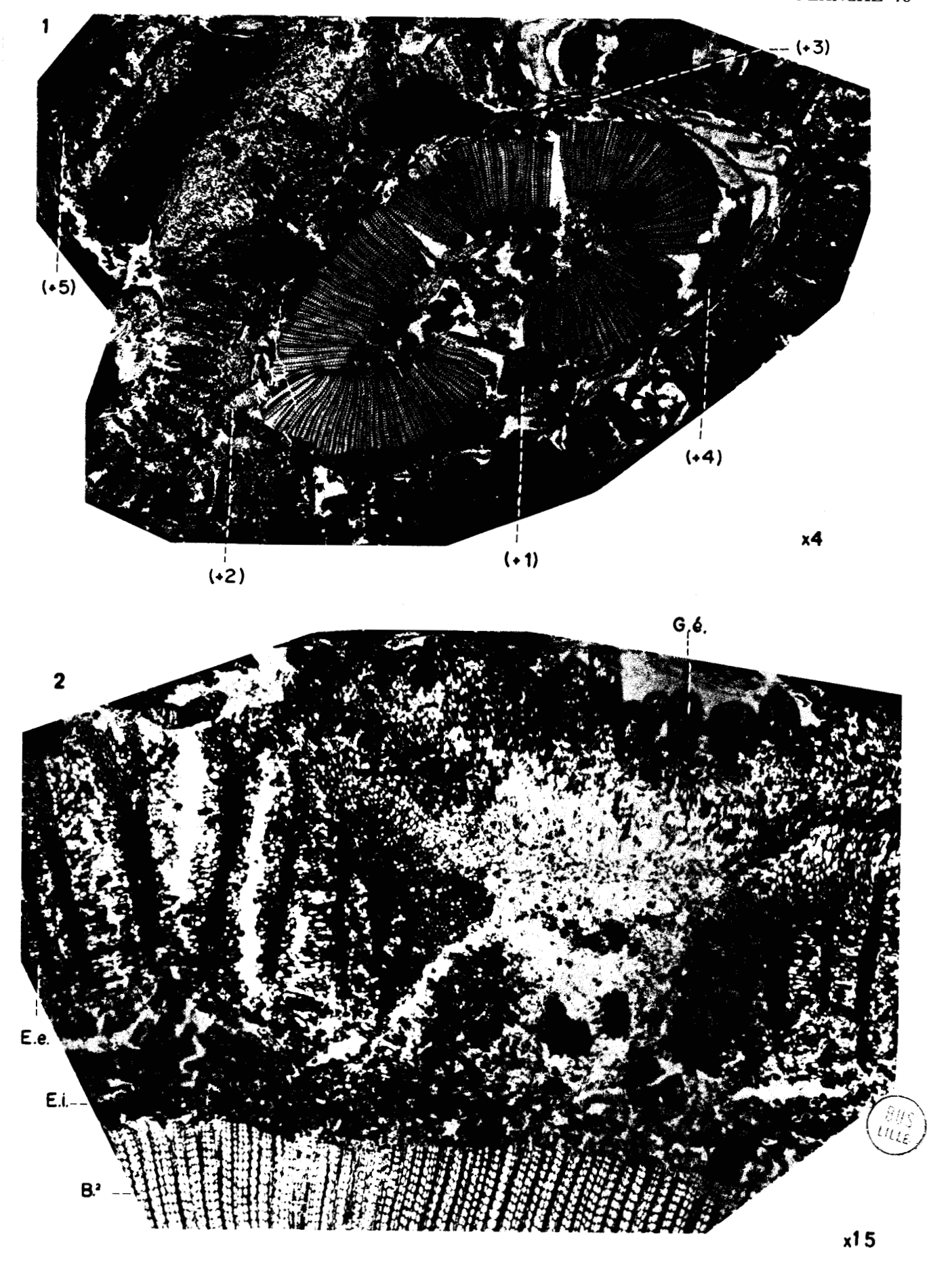
Lame mince no M 25 f.

Origine: Dulesgate (Lancashire).

Niveau: Coal Measures.

Collection: Londres (University College).

Gr. : = 15.



Détail de la formation d'un bourgeon axilaire dans une tige principale de Lyginopteris oldhamia (BINNEY) POTONIÉ.

Fig. 1. – Lame mince nº M 25 g.
Origine: Dulesgate (Lancashire).

Niveau: Coal Measures.

Collection: Londres (University College).

Gr. : = 15.

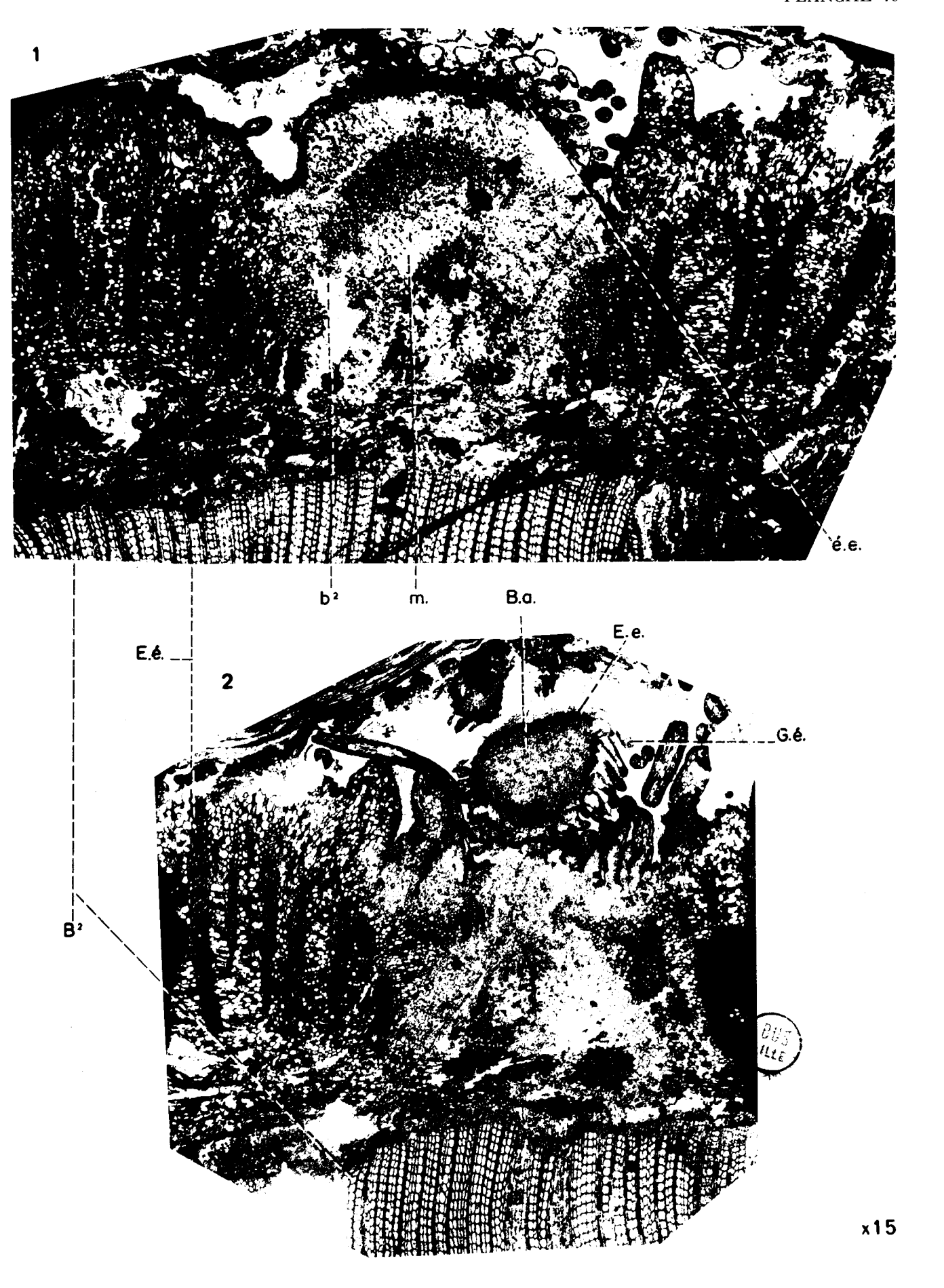
Fig. 2. - Lame mince no M 25 h.

Origine: Dulesgate (Lancashire).

Niveau: Coal Measures.

Collection: Londres (University College).

Gr. : = 15.

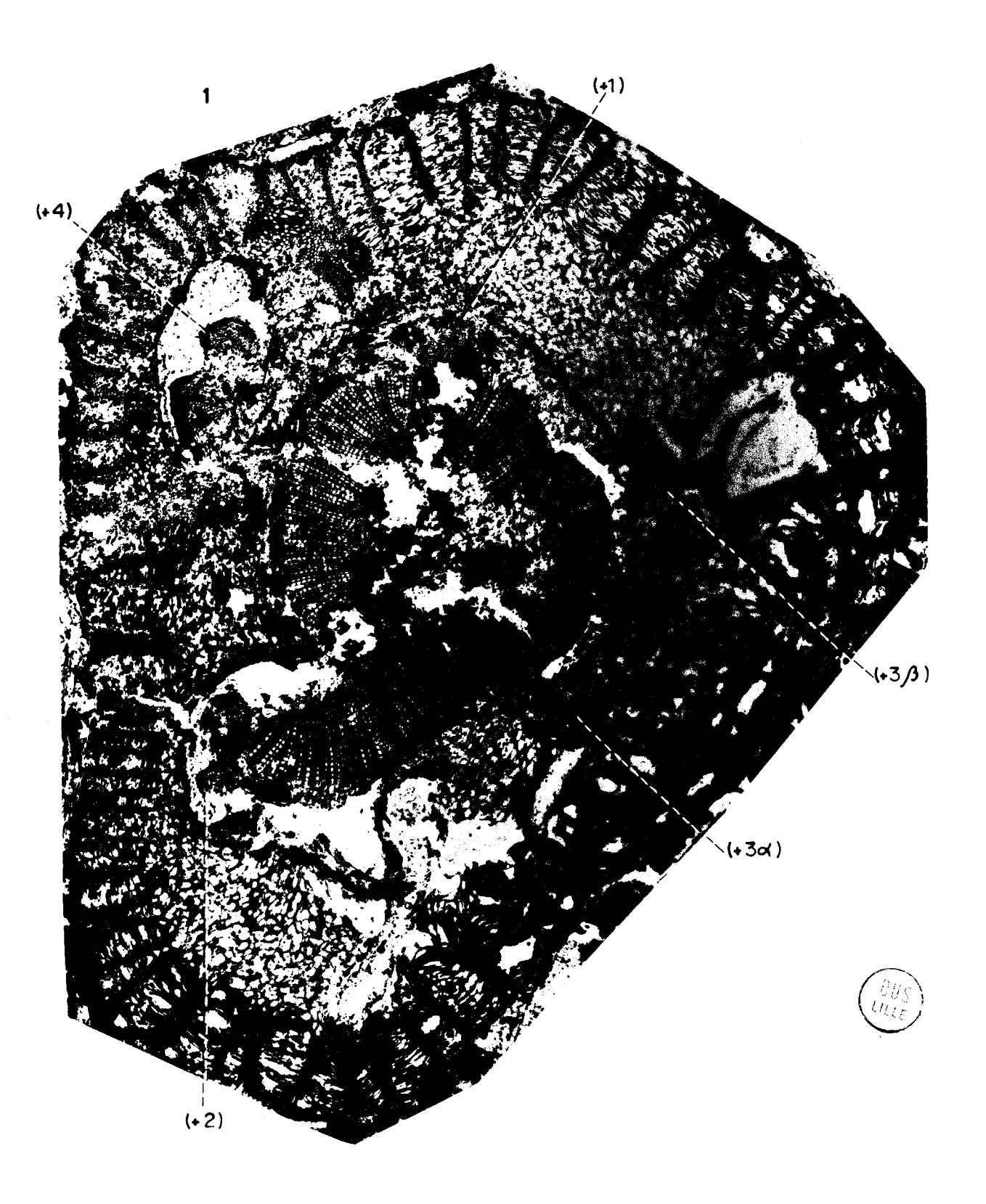


Section basale d'une série de coupes transversales d'une tige principale émettant une ramification axilaire du type I de Lyginopteris oldhamia (BINNEY) POTONIÉ.

Fig. 1. – Lame mince nº 2074.
Origine: Dulesgate (Lancashire).

Niveau: Coal Measures.
Collection: Londres (British Museum).

Gr. : = 9.

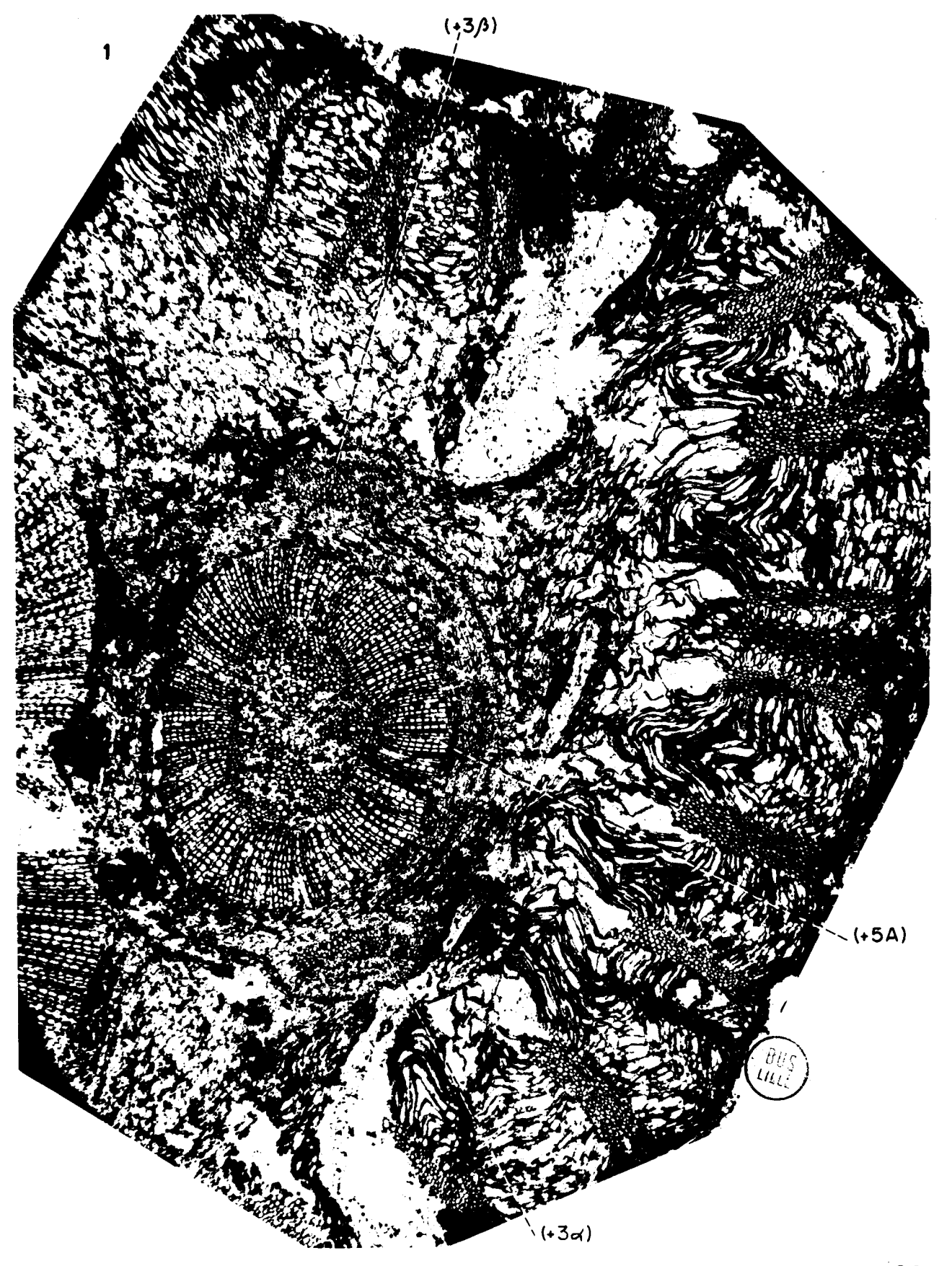


Coupe transversale de la tige principale de Lyginopteris oldhamia (BINNEY) POTONIÉ dans la région où se forme la ramification axilaire du type I (suite).

Fig. 1. - Lame mince no 2078.

Origine: Dulesgate (Lancashire).
Niveau: Coal Measures.
Collection: Londres (British Museum).

Gr. : = 20.



Coupe transversale du rameau axilaire du type I de Lyginopteris oldhamia (BINNEY) Potonié, non encore complètement individualisé (suite).

Fig. 1. - Lame mince no 2084.
Origine: Dulesgate (Lancashire).

Niveau: Coal Measures.

Collection: Londres (British Museum).

Gr. : = 20.

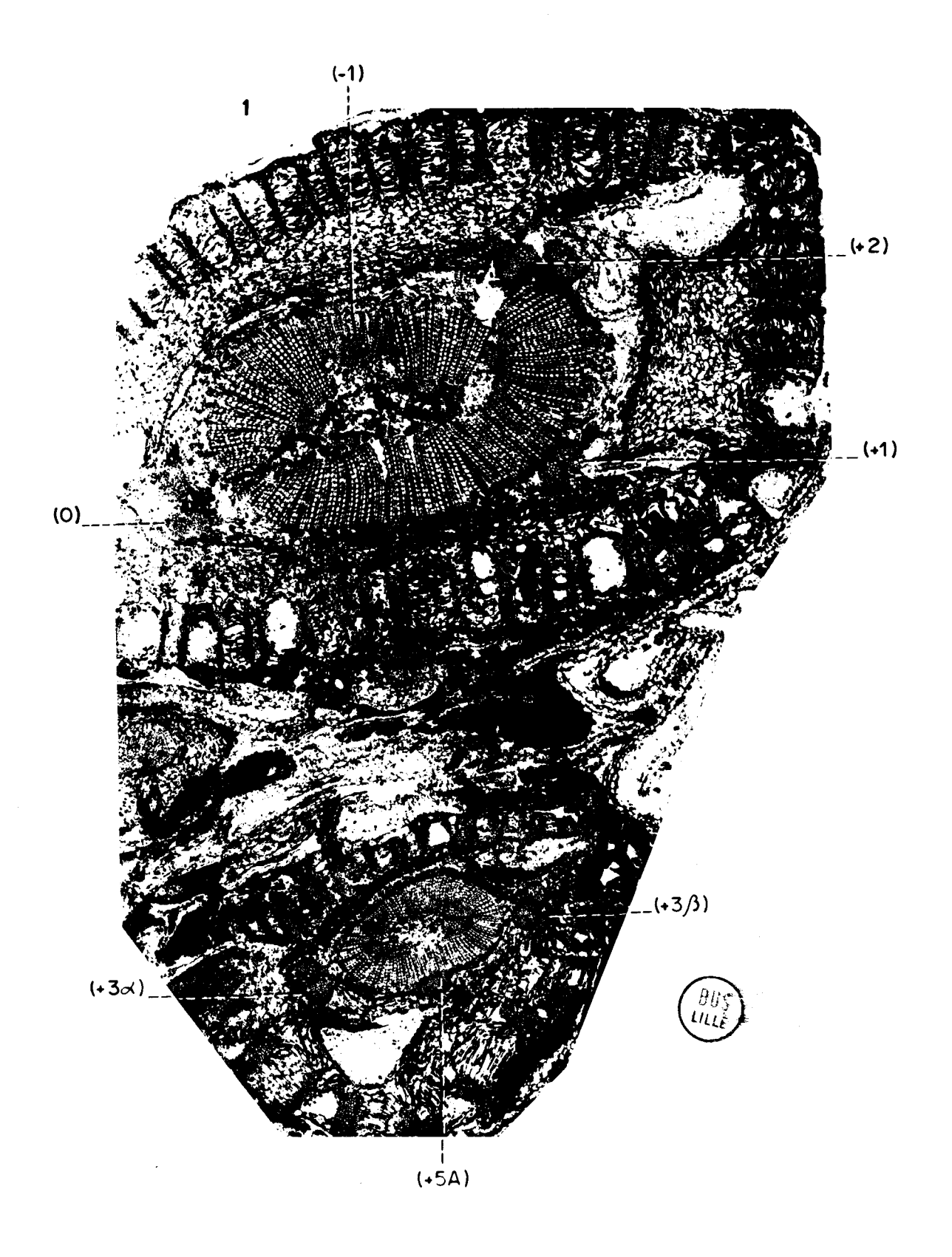


Coupes transversales de la tige principale et de son rameau axilaire du type I chez Lyginopteris oldhamia (BINNEY) POTONIÉ (suile).

Fig. 1. - Lame mince nº 2089.
Origine: Dulesgate (Lancashire).

Niveau : Coal Measures.
Collection : Londres (British Museum).

Gr. : = 10.



Ramifications axilaires du type I chez Lyginopteris oldhamia (BINNEY) POTONIÉ (suite).

Fig. 1. - Lame mince no 2091.

Origine: Dulesgate (Lancashire). Niveau: Coal Measures.

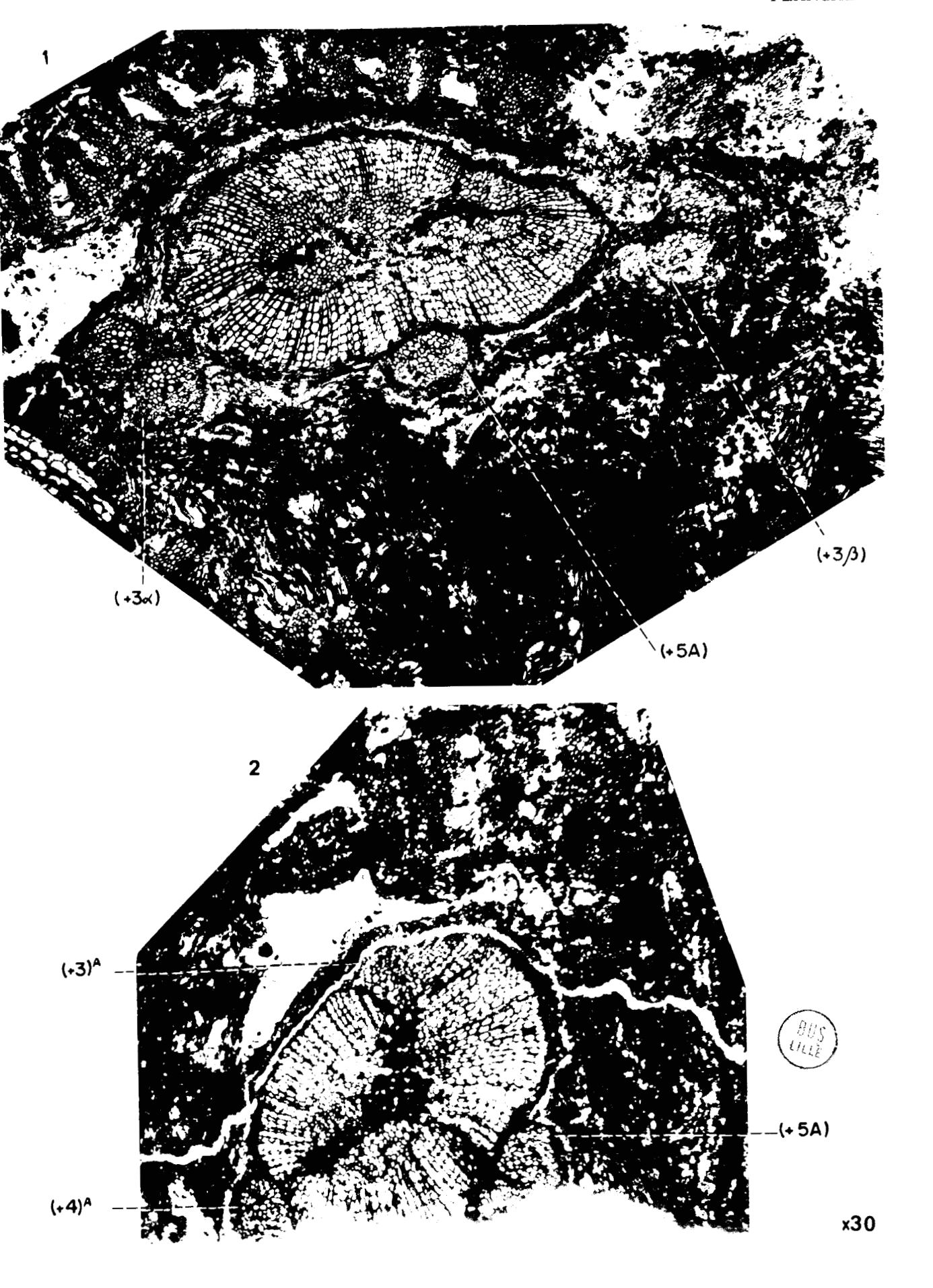
Collection: Londres (British Museum).

Gr. : = 30.

Fig. 2. - Lame mince no 2094.

Origine: Dulesgale (Lancashire). Niveau: Coal Measures.

Collection: Londres (British Museum). Gr. : = 30.



Coupes transversales sériées de tiges principales de Lyginopteris oldhamia (BINNEY) POTONIÉ émettant une ramification axilaire du type I.

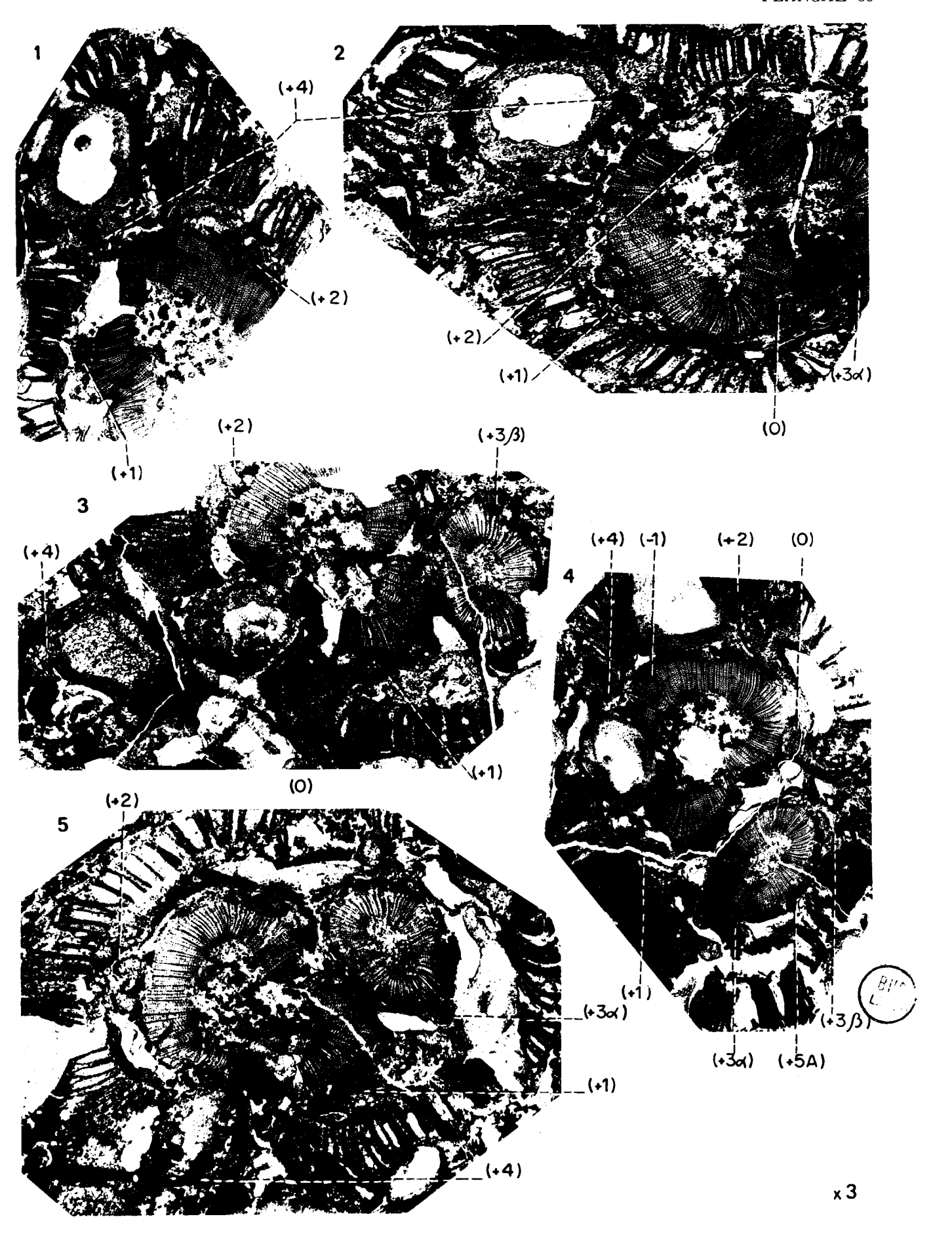
Fig. 1. – Lame mince nº 37 (1846).
Origine: Shore Littleborough (Loncashire).
Niveau: Coal Measures.
Collection: Université de Lille.
Gr.: = 3.

Fig. 2. - Lame mince nº 515/5.
Origine: Shore Littleborough (Lancashire).
Niveau: Coal Measures.
Collection: Université de Tübingen.
Gr.: = 3.

Fig. 3. - Lame mince nº 515/2.
Origine: Shore Littleborough (Lancashire).
Niveau: Coal Measures.
Collection: Université de Tübingen.
Gr. : = 3.

Fig. 4. – Lame mince nº 39 (1846).
Origine: Shore Littleborough (Lancashire).
Niveau: Coal Measures.
Collection: Université de Lille.
Gr. : = 3.

Fig. 5. – Lame mince nº 515/6.
Origine: Shore Littleborough (Lancashire).
Niveau: Coal Measures.
Collection: Université de Tübingen.
Gr. : = 3.



Coupes transversales sériées de tiges principales de Lyginopteris oldhamia (BINNEY) POTONIÉ émettant une ramification axilaire du type I (suite).

Fig. 1. - Lame mince no T.

Origine: Shore Littleborough (Lancashire).

Niveau: Coal Measures.

Collection: Université de Tübingen.

Gr. : = 3.

Fig. 2 et 3. – Lame mince n^0 515/8.

Origine: Shore Littleborough (Lancashire).

Niveau: Coal Measures.

Collection: Université de Tübingen.

Gr. : = 3.

Fig. 4. - Lame mince no 40.

Origine: Shore Littleborough (Lancashire).

Niveau: Coal Measures.

Collection: Université de Lille.

Gr. : = 3.

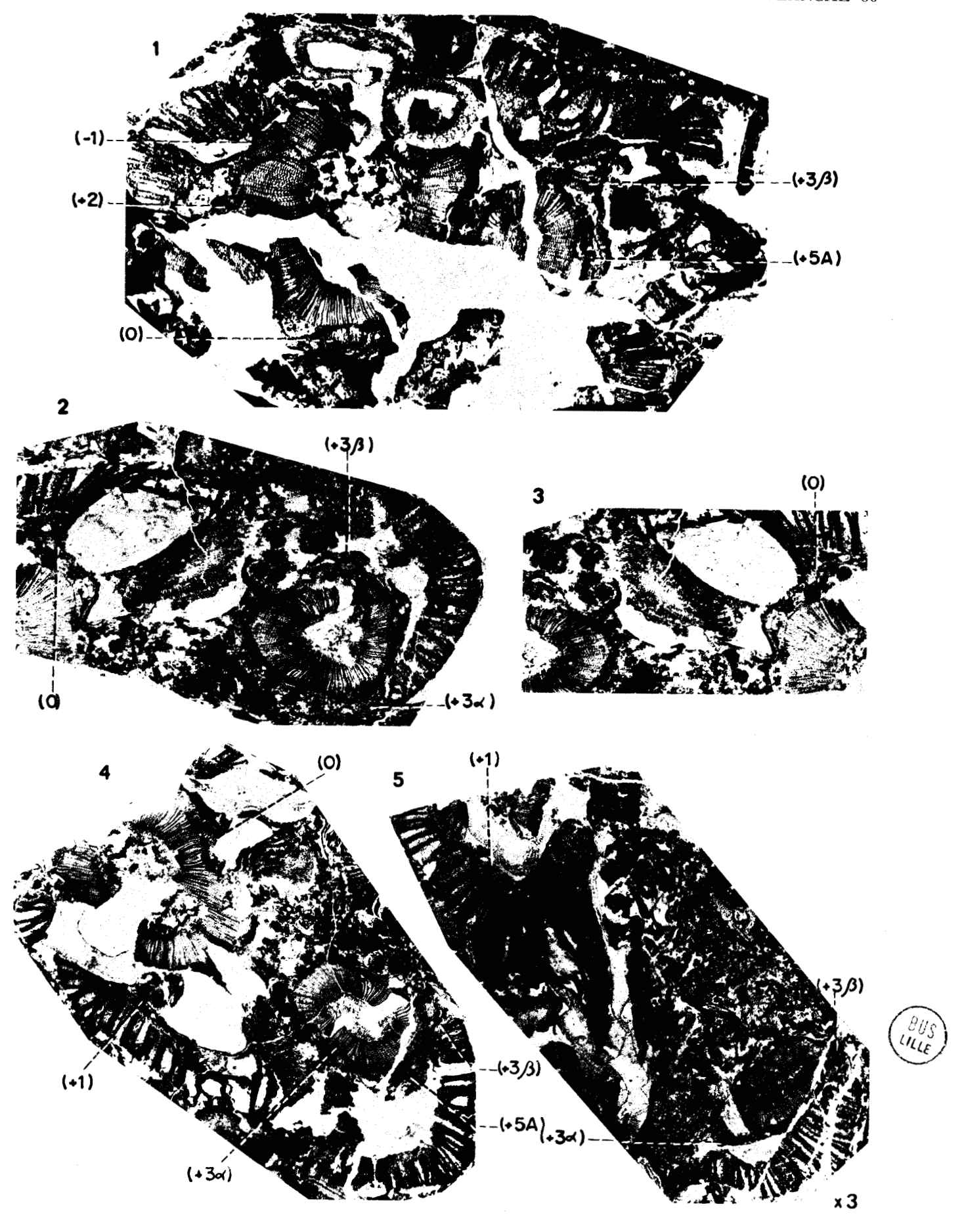
Fig. 5. - Lame mince no 41.

Origine: Shore Littleborough (Lancashire).

Niveau: Coal Measures.

Collection: Université de Lille.

Gr. : = 3.



Tiges principales et ramifications axilaires du type I chez Lyginopteris oldhamia (BINNEY) POTONIÉ.

Fig. 1. - Détail de la région médullaire de la tige principale figurée pl. 85, fig. 1.

Lame mince nº 37.

Origine: Shore Littleborough (Lancashire).

Niveau: Coal Measures.

Collection: Université de Lille.

Gr. : = 20.

Fig. 2. - Détail du faisceau (+ 5 A) de la tige figurée pl. 86, fig. 4.

Lame mince no 40.

Origine: Shore Littleborough.

Niveau: Coal Measures.

Collection : Université de Lille.

Gr. : = 50.

Fig. 3. – Détail du faisceau (+ 3 α) de la tige figurée pl. 85, fig. 4.

Lame mince no 39.

Origine: Shore Littleborough. Niveau: Coal Measures.

Collection : Université de Lille.

Gr. : = 50.

Fig. 4. – Détail du faisceau (+ 3 β) de la tige figurée pl. 85, fig. 4.

Lame mince no 39.

Origine: Shore Littleborough.

Niveau: Coal Measures.

Collection: Université de Lille.

Gr. : = 50.

Fig. 5. - Détail de la région médullaire du futur rameau axilaire du type I

figuré pl. 85, fig. 4.

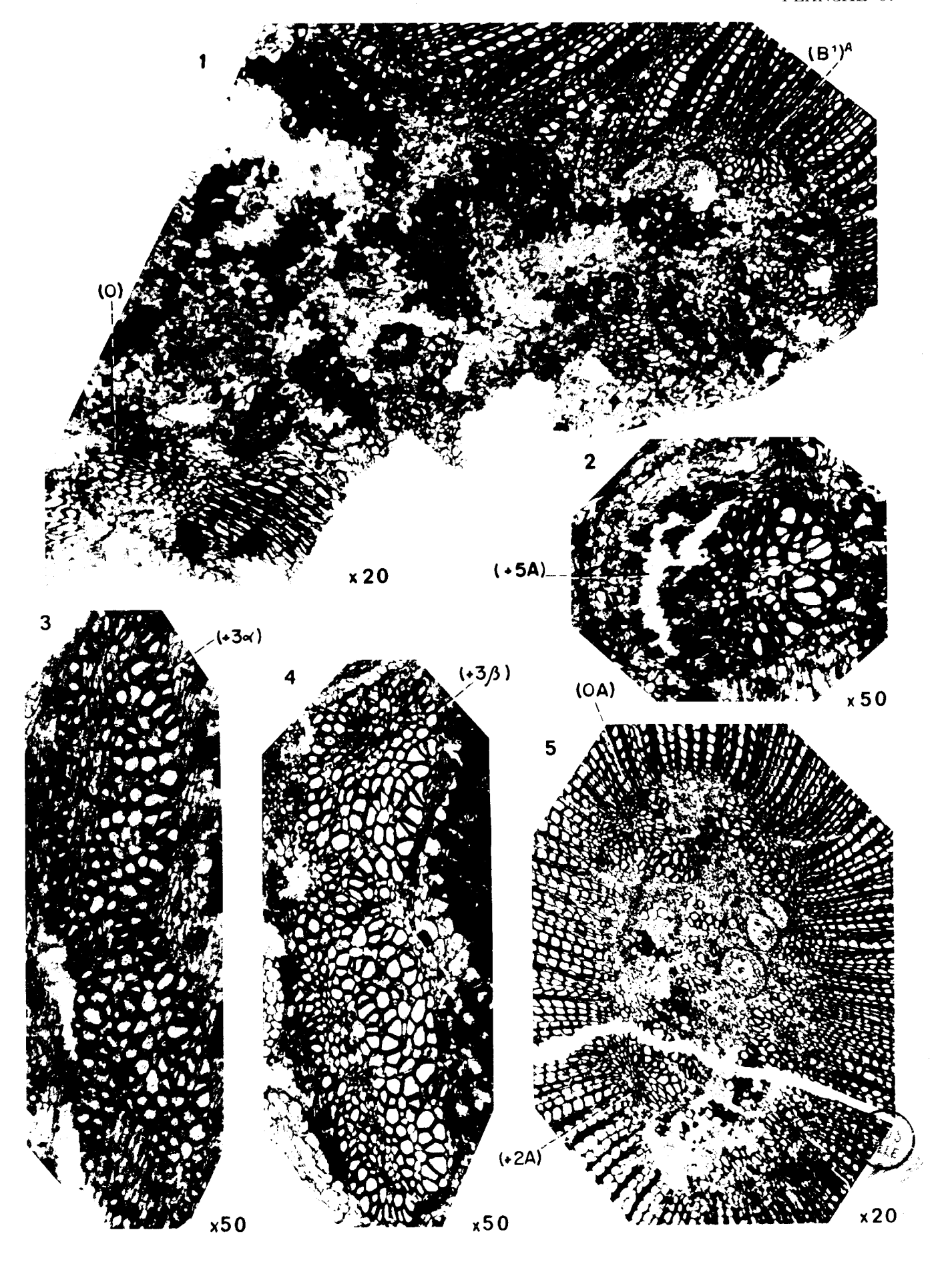
Lame mince no 39.

Origine: Shore Littleborough.

Niveau: Coal Measures.

Collection: Université de Lille.

Gr. : = 20.



Tige principale de Lyginopteris oldhamia (BINNEY) Potonié émettant une ramification axilaire du type I.

Fig. 1. - Coupe transversale de la tige.

Lame mince no 26 Lx I.

Origine: Oldham (Lancashire).

Niveau: Coal Measures.

Collection : Université de Lille.

Gr. : = 3.

Fig. 2. – Détail du faisceau cortical (+ 1) de la tige figurée pl. 88, fig. 1.

Lame mince no 26 Lx I.

Origine: Oldham (Lancashire).

Niveau: Coal Measures.

Collection: Université de Lille.

Gr. : = 20.

Fig. 3. - Détail de la partie gauche de la région médullaire de la tige figurée

pl. 88, fig. 1.

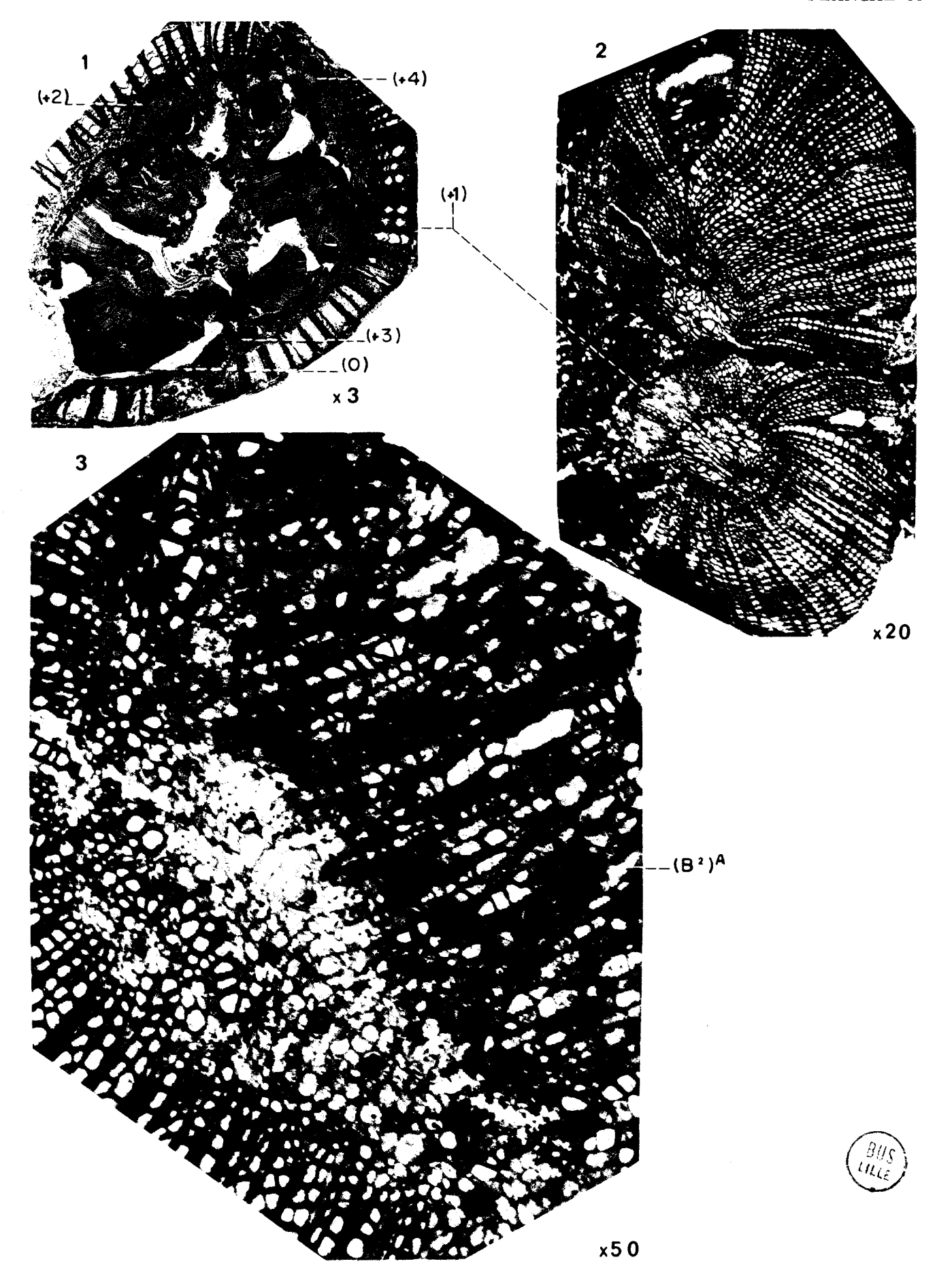
Lame mince: nº 26 Lx I.

Origine: Oldham (Lancashire).

Niveau: Coal Measures.

Collection: Université de Lille.

Gr. : = 50.



Faisceau cortical et coupes transversales sériées d'une tige principale émettant une ramification axilaire du type I, chez *Lyginopteris oldhamia* (BINNEY) POTONIÉ.

Fig. 1. – Faisceau cortical (+ 2) de la tige figurée pl. 88, fig. 1.

Lame mince nº 26 Lx I.

Origine: Oldham (Lancashire).

Niveau: Coal Measures.

Collection : Université de Lille.

Gr. : = 20.

Fig. 2. - Coupes transversales sériées.

Lame mince no 82.

Origine: Shore Littleborough (Lancashire).

Collection: Londres (University College).

Gr. : = 4.

Fig. 3. - Lame mince nº 83.

Origine: Shore Littleborough (Lancashire).

Collection: Londres (University College).

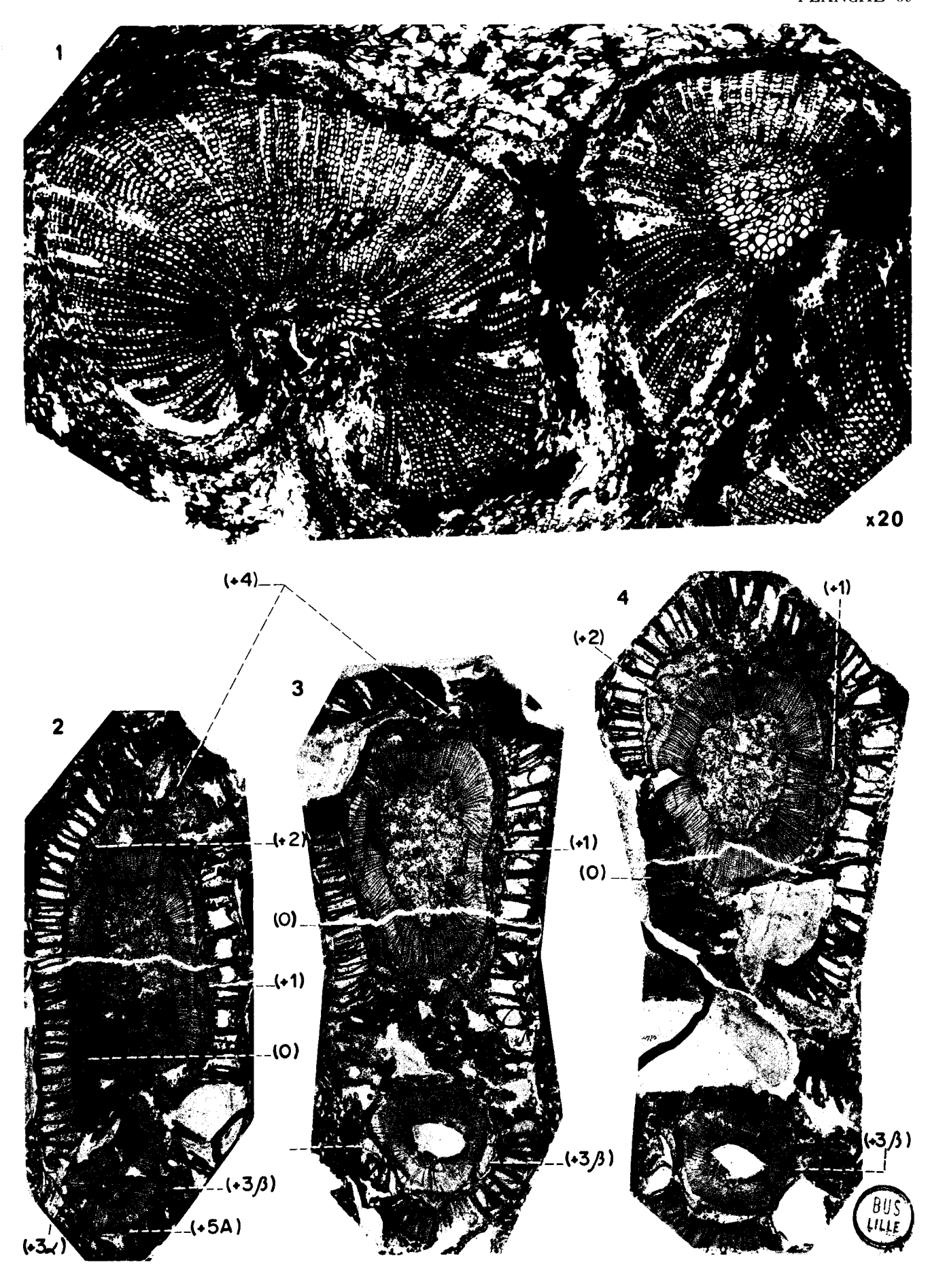
Gr. : = 4.

Fig. 4. - Lame mince no 84.

Origine: Shore Littleborough (Lancashire).

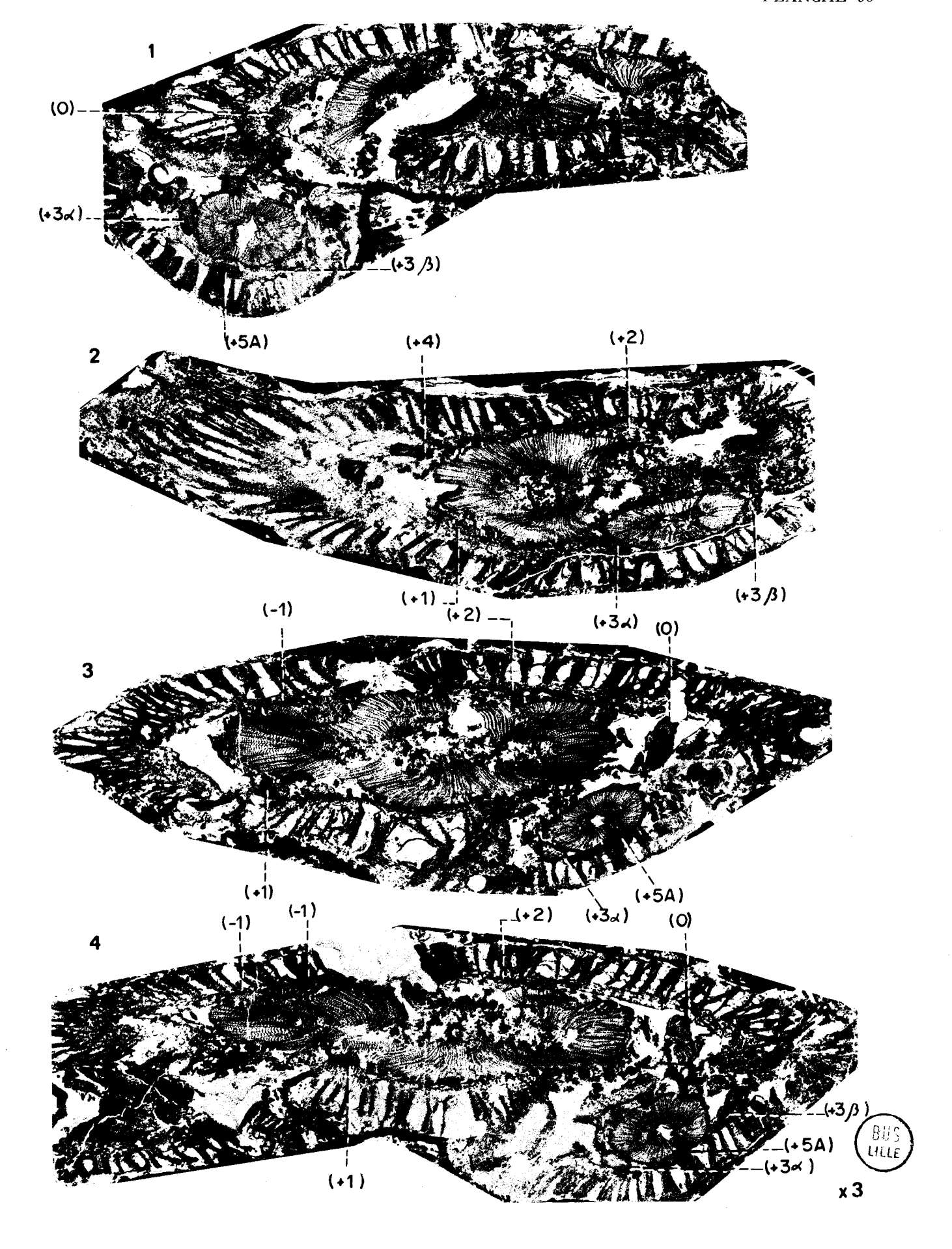
Collection: Londres (University College).

Gr. : = 4.



Coupes transversales sériées d'une tige principale de Lyginopteris oldhamia (BINNEY) POTONIÉ émettant une ramification axilaire du type I.

- Fig. 1. Lame mince no m 56 a.
 Origine: Shore Littleborough (Lancashire).
 Niveau: Coal Measures.
 Collection: Londres (University College).
 Gr.: = 3.
- Fig. 2. Lame mince no m 56 f.
 Origine: Shore Littleborough (Lancashire).
 Niveau: Coal Measures.
 Collection: Londres (University College).
 Gr.: = 3.
- Fig. 3. Lame mince no m 56 h.
 Origine: Shore Littleborough (Lancashire).
 Niveau: Coal Measures.
 Collection: Londres (University College).
 Gr.: = 3.
- Fig. 4. Lame mince no m 56 k.
 Origine: Shore Littleborough (Lancashire).
 Niveau: Coal Measures.
 Collection: Londres (University College).
 Gr. : = 3.



Coupes transversales isolées de tiges principales de Lyginopteris oldhamia émettant une ramification axilaire du type I.

Fig. 1. - Lame mince no 000.

Origine: ? Niveau:?

Collection: Université de Graz.

Gr. : = 20.

Fig. 2. - Coupe transversale isolée d'une tige principale émettant une ramification axilaire du type I.

Lame mince nº 1827 (15). Origine: Dulesgate (Lancashire).

Niveau: Coal Measures.

Collection: Londres (British Museum).

Gr. : = 6.



Coupes transversales isolées de ramifications axilaires du type l chez Lyginopteris oldhamia (BINNEY) POTONIÉ.

Fig. 1. - Lame mince no H 6.

Origine: Halifax (Yorkshire).

Niveau: Coal Measures.

Collection: Londres (Birbeck College).

Gr. : = 4.

Fig. 2. - Lame mince no 471.

Origine: Dulesgate (Lancashire).

Niveau: Coal Measures.

Collection: Université de Tübingen.

Gr. : = 10.

Fig. 3. - Lame mince no R 19.

Origine .: Dulesgate (Lancashire).

Niveau: Coal Measures.

Collection: Londres (University College).

Gr. : = 20.

Fig. 4. – Lame mince n^0 77 Lx II = 58 Lx II.

Origine: Dulesgate (Lancashire).

Niveau: Coal Measures.

Collection: Université de Lille.

Gr. : = 8.

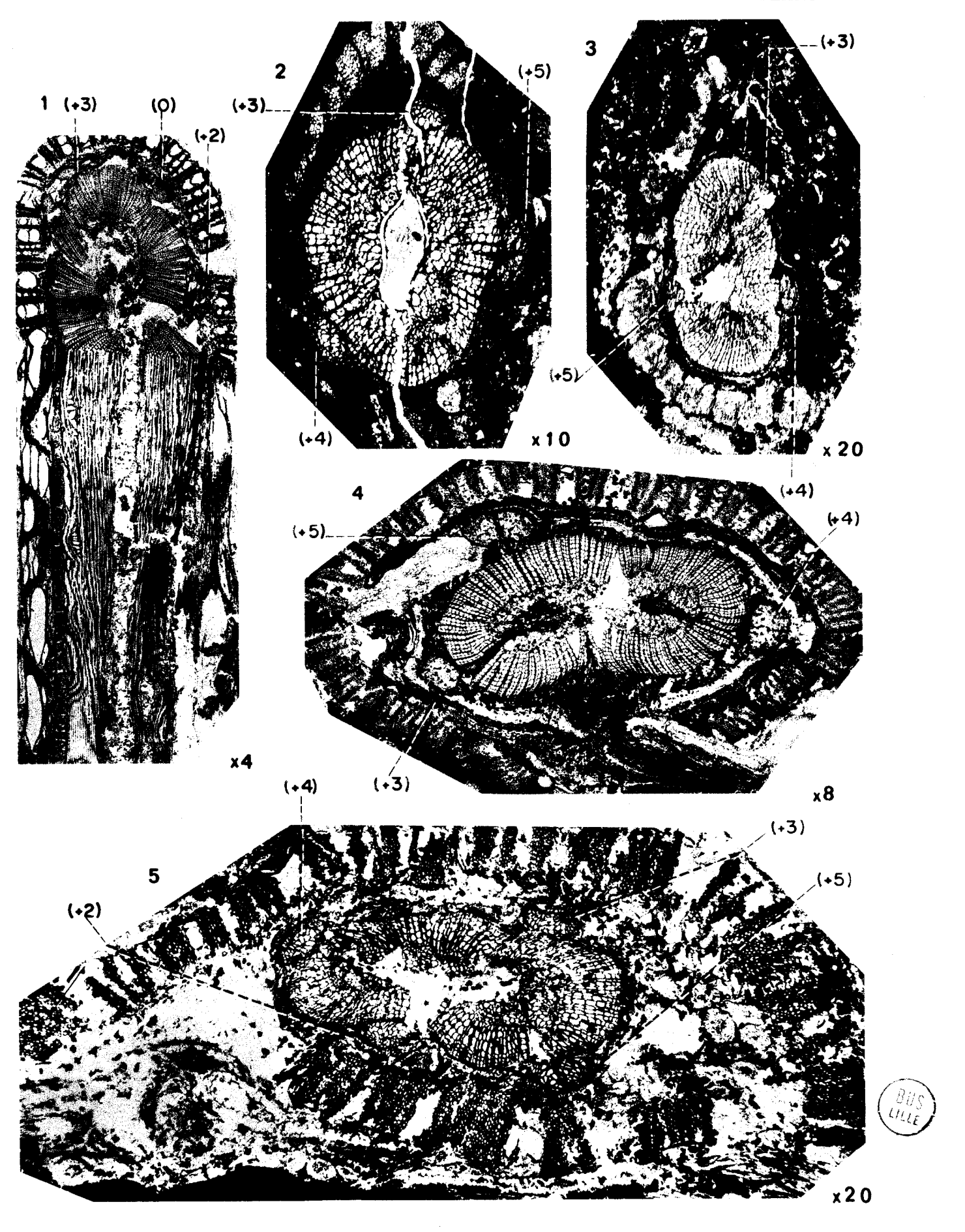
Fig. 5. - Lame mince no 189.

Origine: Halifax.

Niveau: Coal Measures.

Collection: Londres (Imperial College).

 $G\dot{r}$.: = 20.



Ramification axilaire du type I chez Lyginopteris oldhamia (BINNEY) POTONIÉ.

Fig. 1. - Coupe transversale d'une ramification.

Lame mince no H 15. Origine: Angleterre. Niveau: Coal Measures.

Collection: Londres (Birbeck College).

Gr. : = 20.

Fig. 2. - Coupe transversale d'une ramification.

Lame mince nº 55 C (318). Origine: Ostrau (Haute-Silésie). Niveau: Koksflöz.

Collection: Université de Graz.

Gr. : = 7.

Fig. 3. - Coupe transversale du faisceau cortical (+ 5) de la ramification figurée pl. 92, fig. 4.

Lame mince no 58 Lx II.

Origine: Dulesgate (Lancashire).

Niveau: Coal Measures.

Collection: Université de Lille.

Gr. : = 50.

Fig. 4. - Coupe transversale du faisceau cortical (+ 4) de la ramification figurée pl. 92, fig. 4.

Lame mince nº 58 Lx II.

Origine: Dulesgate (Lancashire).

Niveau: Coal Measures.

Collection : Université de Lille.

Gr. : = 50.

Fig. 5. – Coupe transversale du faisceau cortical (+ 3) de la ramification figurée pl. 92, fig. 4.

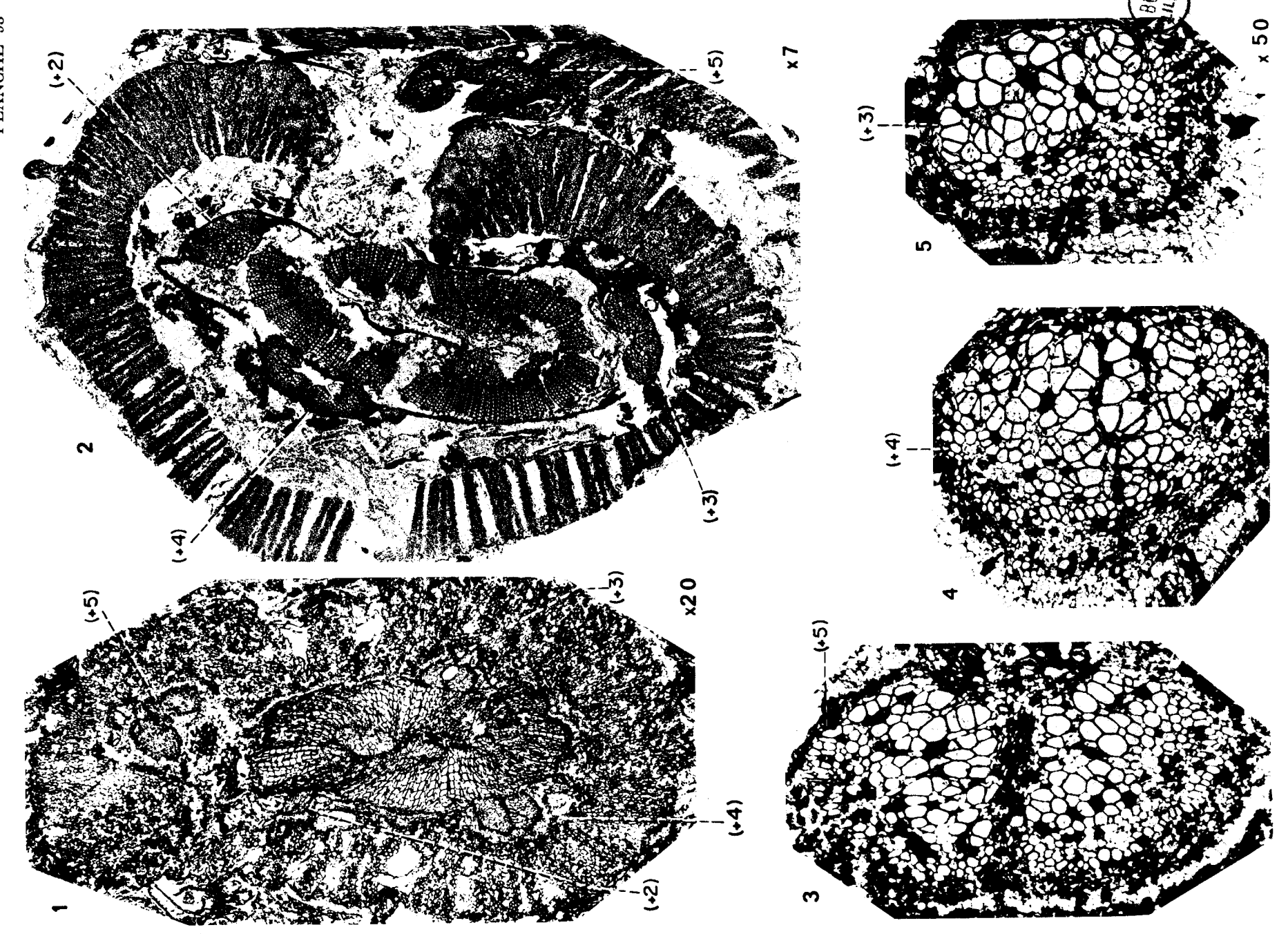
Lame mince no 58 Lx II.

Origine: Dules gate (Lancashire).

Niveau : Coal Measures.

Collection : Université de Lille.

Gr. : = 50.

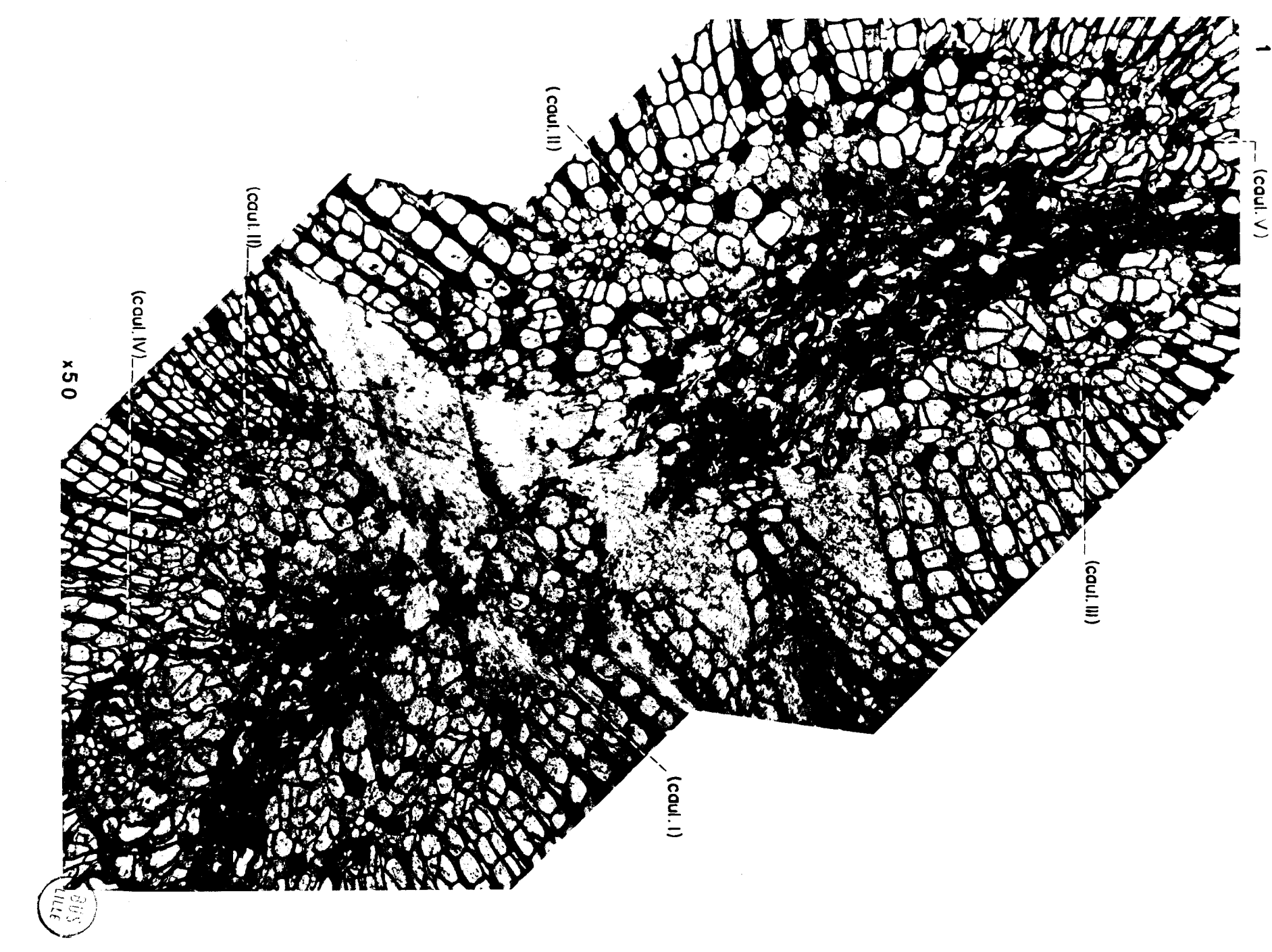


Coupe transversale des faisceaux périmédullaires d'une ramification axilaire du type I chez Lyginopteris oldhamia (BINNEY) POTONIÉ.

Fig. 1. – Lame mince nº 58 Lx II.
Origine: Dulesgate (Lancashire).
Niveau: Coal Measures.

Collection: Université de Lille.

Gr. : = 50.



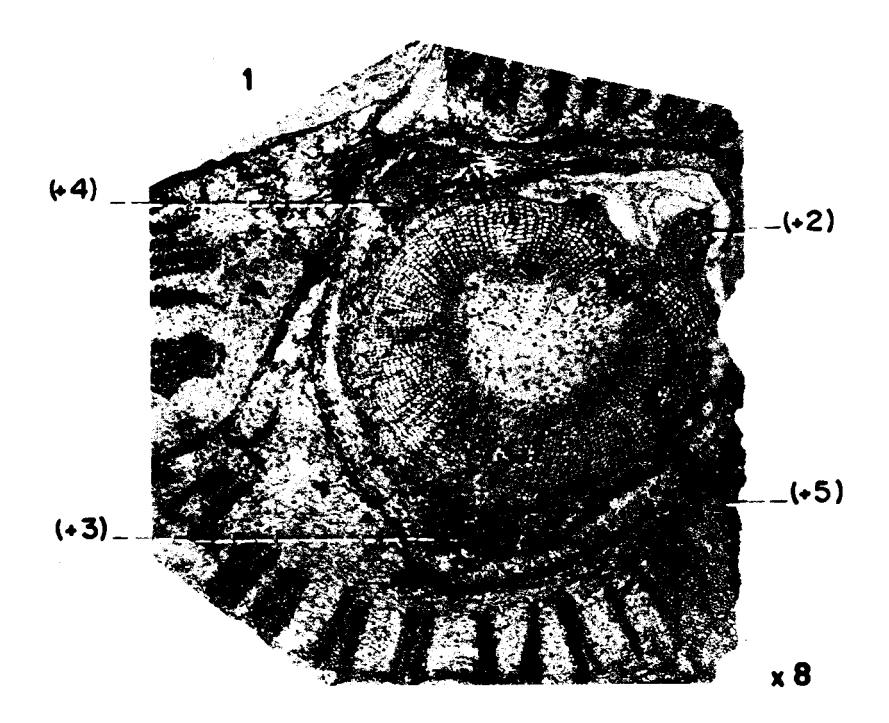
Ramification axilaire du type I chez Lyginopteris oldhamia (BINNEY) POTONIÉ.

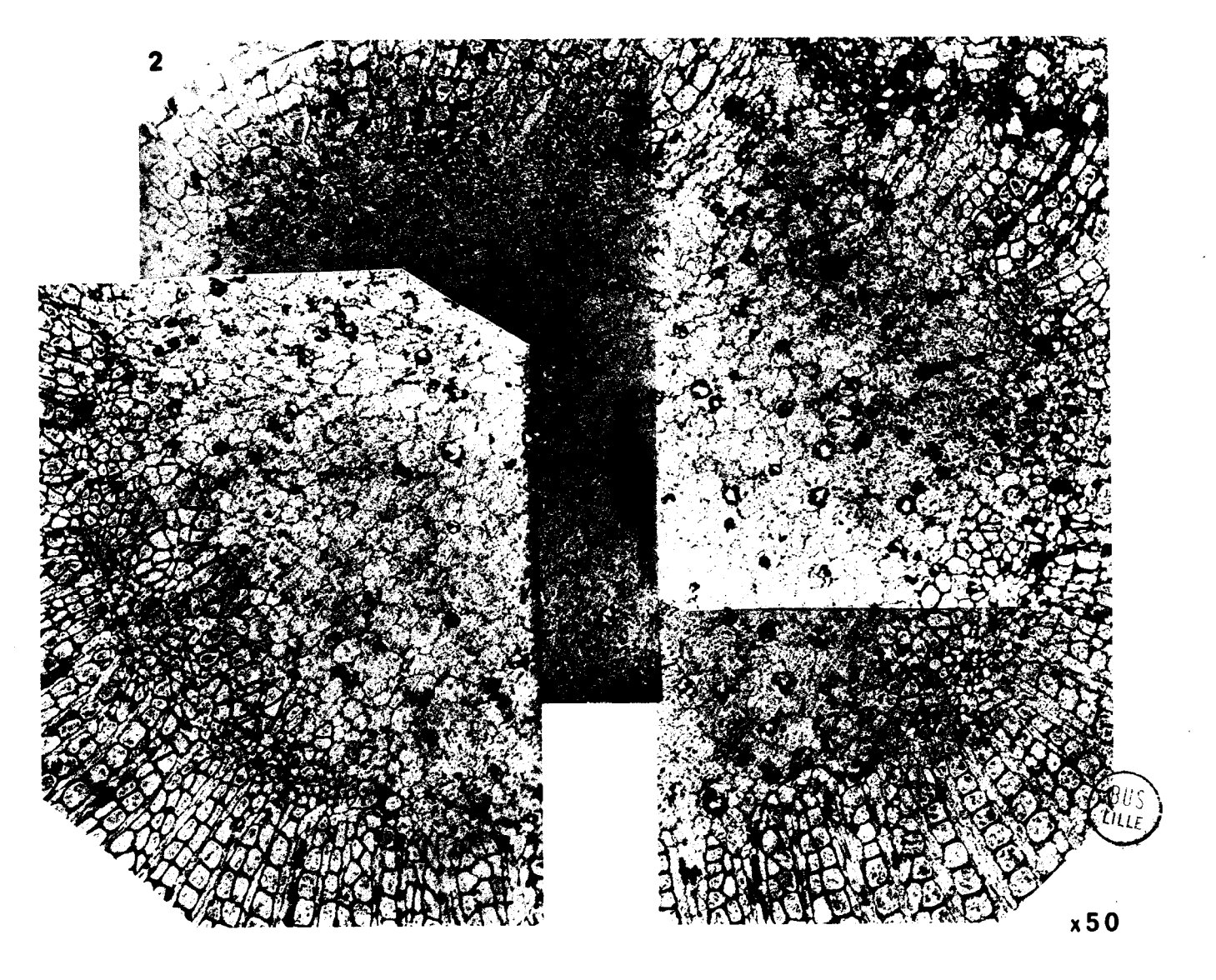
Fig. 1. - Coupe transversale de la ramification.

Lame mince nº 1856 IT 6. Origine: Ostrau (Haute-Silésie). Niveau: Veine Cunégonde. Collection: Université de Lille. Gr.: = 8.

Fig. 2. - Coupe transversale des faisceaux périmédullaires de la ramification.

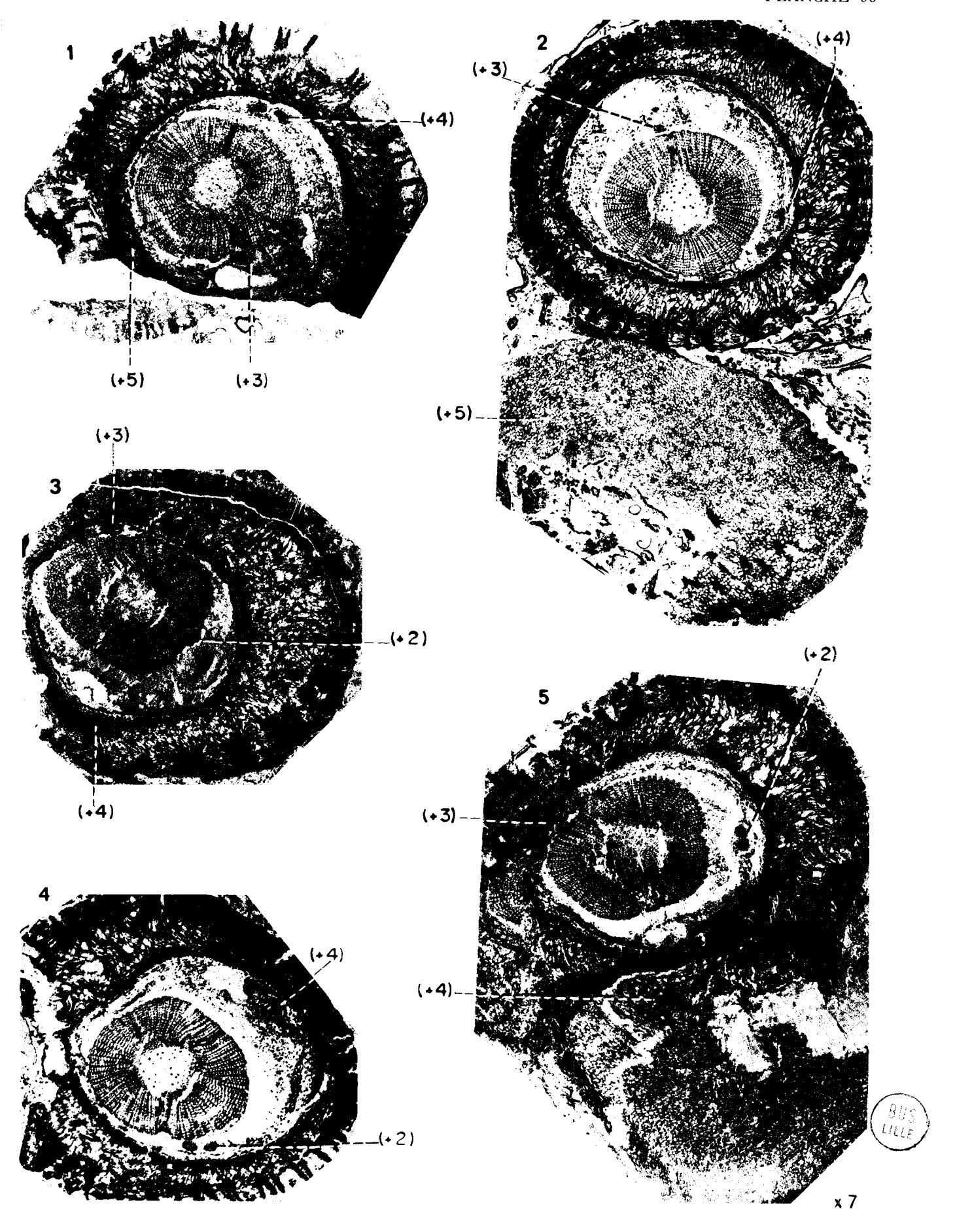
Lame mince nº 1856 IT 6. Origine: Ostrau (Haute-Silésie). Niveau: Veine Cunégonde. Collection: Université de Lille. Gr.: = 50.





Coupes transversales sériées d'une ramification axilaire du type I chez Lyginopteris oldhamia (BINNEY) POTONIÉ.

- Fig. 1. Lame mince nº 124 A (381).
 Origine: Ostrau (Haute-Silésie).
 Niveau: Koksflöz.
 Collection: Université de Graz.
 Gr.: = 7.
- Fig. 2. Lame mince nº 124 E (327).
 Origine: Ostrau (Haute-Silésie).
 Niveau: Koksflöz.
 Collection: Université de Graz.
 Gr.: = 7.
- Fig. 3. Lame mince nº 124 f.
 Origine: Ostrau (Haute-Silésie).
 Niveau: Koksflöz.
 Collection: Université de Graz.
 Gr.: = 7.
- Fig. 4. Lame mince nº 124 n (336).
 Origine: Ostrau (Haute-Silésie).
 Niveau: Koksflöz.
 Collection: Université de Graz.
 Gr.: = 7.
- Fig. 5. Lame mince nº 124 w (350).
 Origine: Ostrau (Haute-Silésie).
 Niveau: Koksflöz.
 Collection: Université de Graz.
 Gr.: = 7.



Ramification axilaire du type I chez Lyginopteris oldhamia (BINNEY) POTONIÉ.

Fig. 1. - Coupes transversales de la ramification.

Lame mince no NL no 13. Origine: Halifax (Yorkshire). Niveau: Coal Measures.

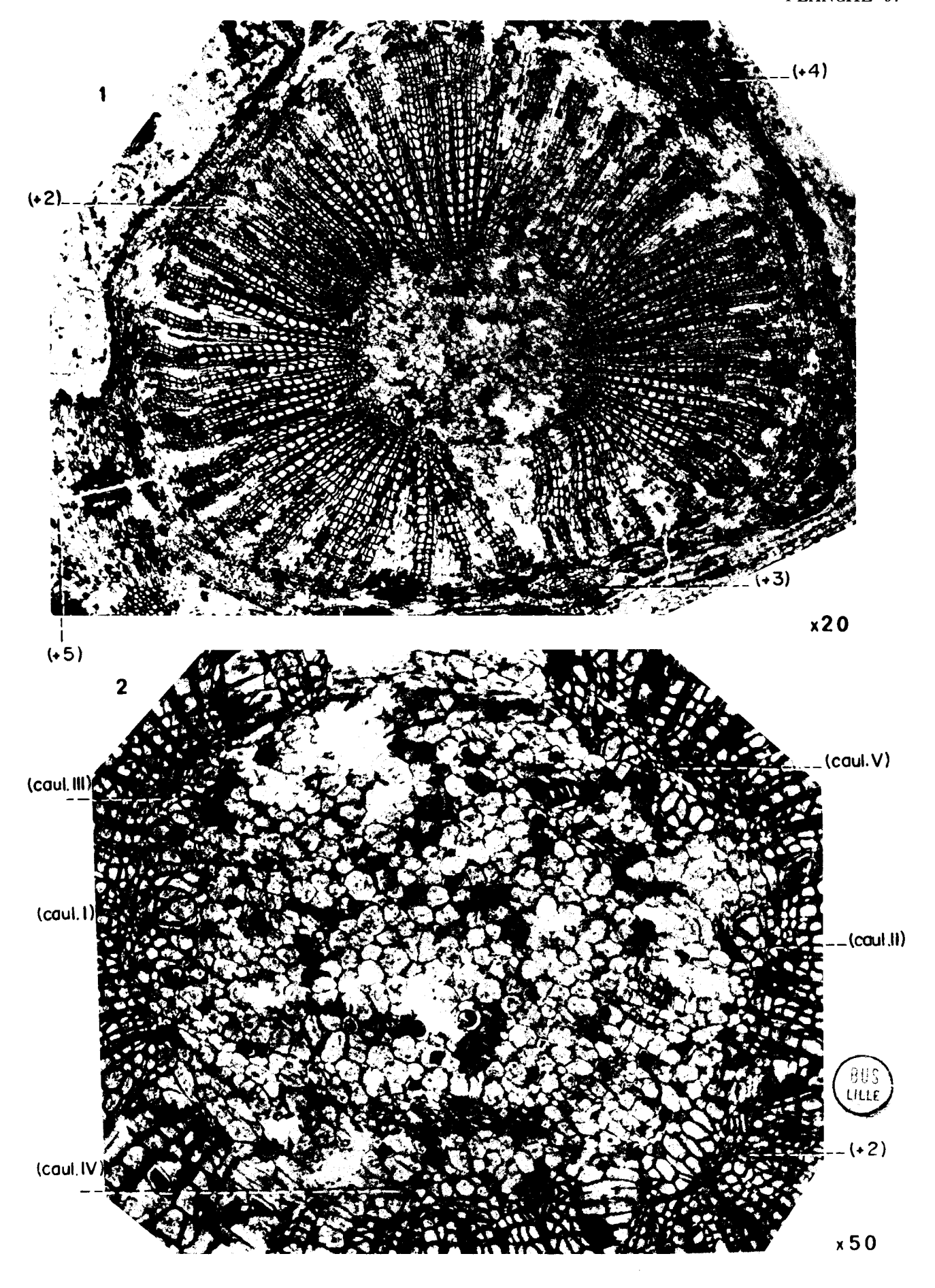
Collection: Université de Lille.

Gr. : = 20.

Fig. 2. – Détail de la région médullaire de la fig. 1, pl. 45.

Lame mince nº NL nº 13. Origine: Halifax (Yorkshire). Niveau: Coal Measures. Collection: Université de Lille.

Gr. : = 50.



Coupes transversales sériées d'une ramification axilaire du type I chez Lyginopteris oldhamia (BINNEY) POTONIÉ.

Fig. 1. - Lame mince no M 78 h.
Origine: Halifax (Yorkshire).

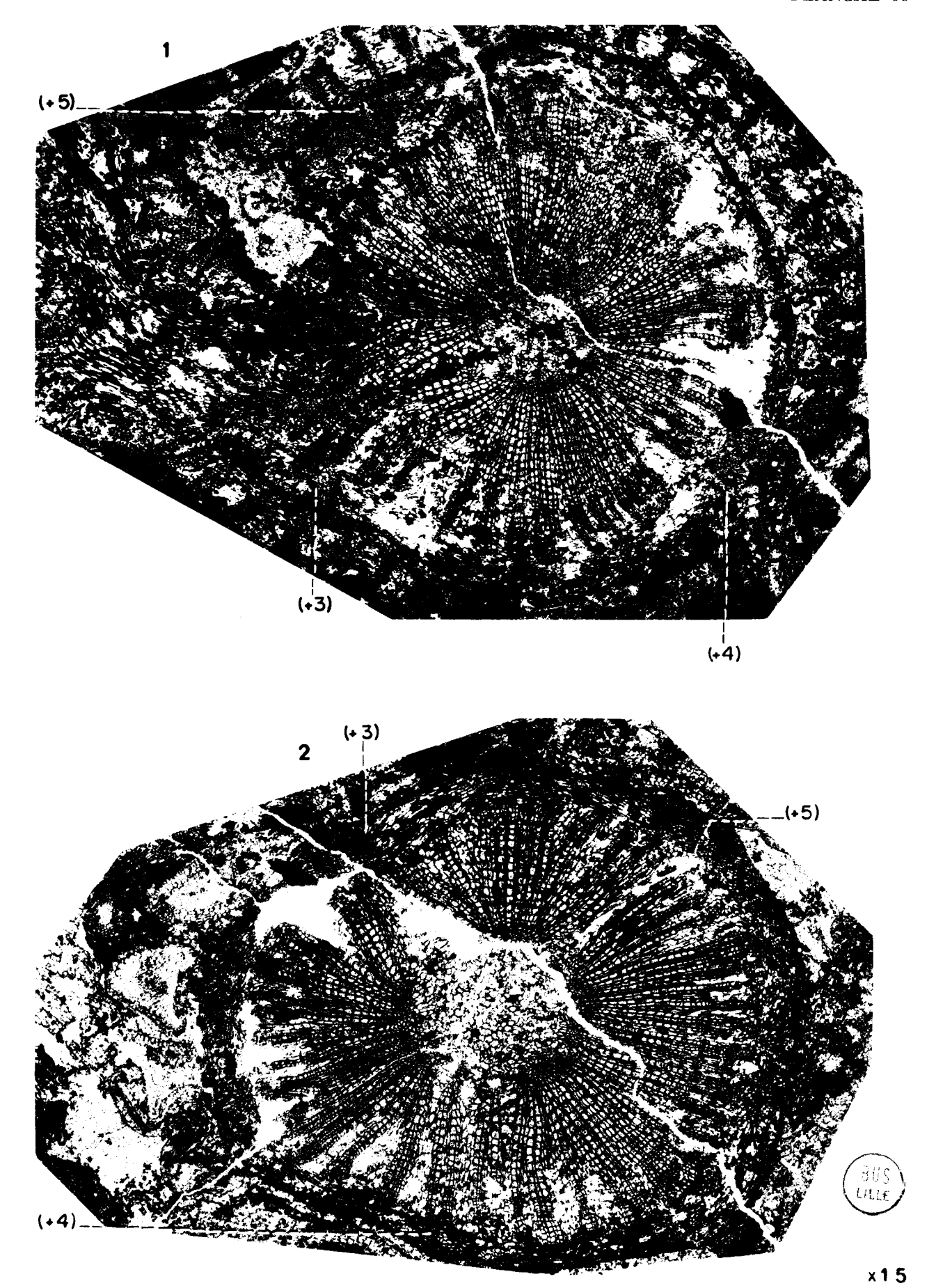
Niveau: Coal Measures.

Collection: Londres (University College).

Gr. : = 15.

Fig. 2. – Lame mince no m 78 l.
Origine: Halifax (Yorkshire).
Niveau: Coal Measures.
Collection: Londres (University College).

Gr. : = 15.



Coupes transversales isolées de ramifications axilaires du type I chez Lyginopteris oldhamia (BINNEY) Potonié.

Fig. 1. – Lame mince no m 49.
Origine: Angleterre.
Niveau: Coal Measures.

Collection: Londres (University College).

Gr. : = 12.

Fig. 2. - Lame mince no m 78 h.

Origine: Halifax (Yorkshire).

Niveau: Coal Measures.

Collection: Londres (University College).

Gr. : = 15.

Fig. 3. - Lame mince no m 78 l.

Origine: Halifax (Yorkshire).

Niveau: Coal Measures.

Collection: Londres (University College).

Gr. : = 15.

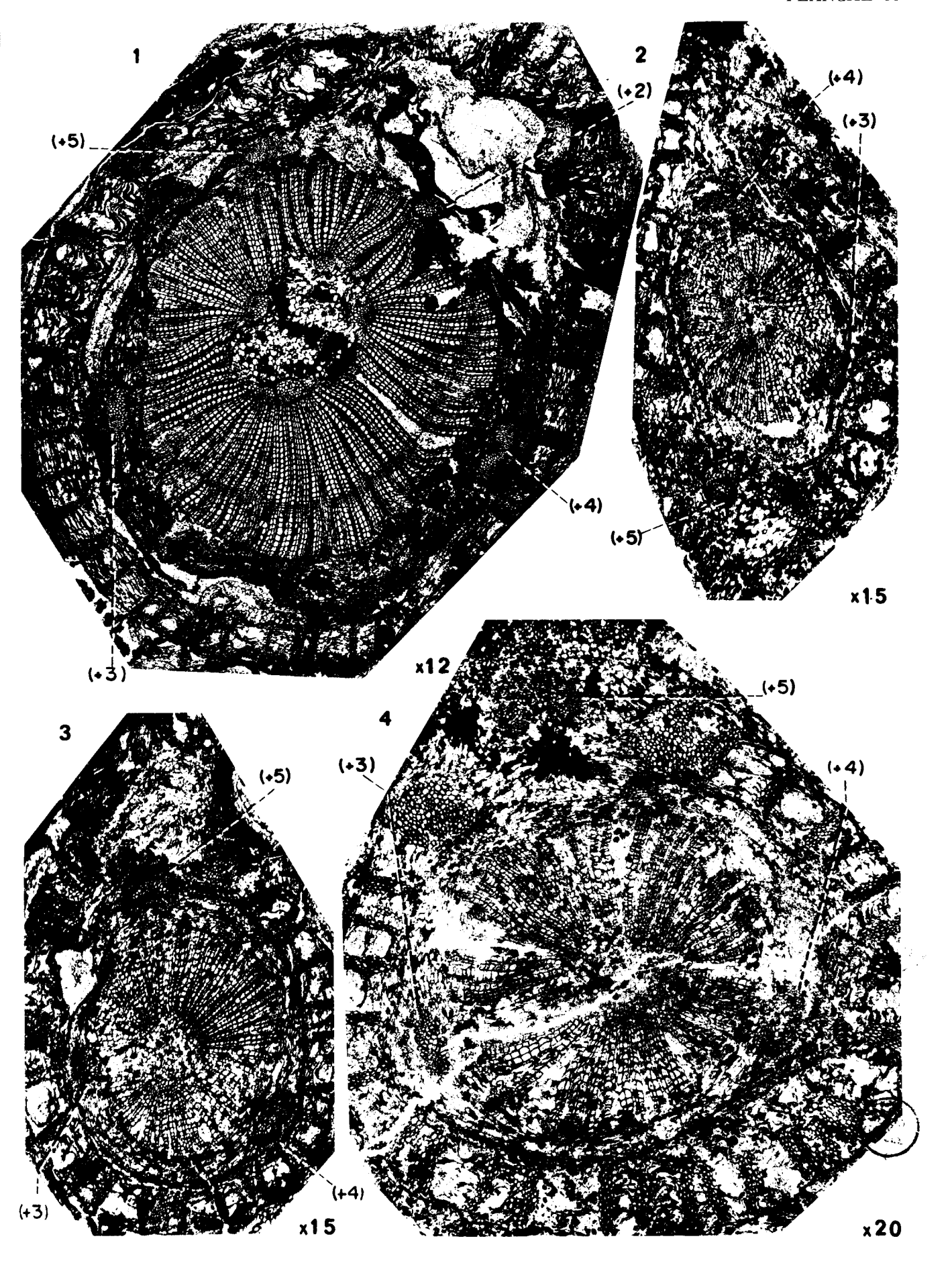
Fig. 4. - Lame mince no 189.

Origine: Halifax (Yorkshire).

Niveau: Coal Measures.

Collection: Londres (Imperial College).

Gr. : = 20.



Ramification axilaire du type I chez Lyginopteris oldhamia (Binney) Potonié.

Fig. 1. - Coupe transversale de la ramification (niveau supérieur).

Lame mince no NL 14.

Origine: Halifax (Yorkshire).

Niveau: Coal Measures.

Collection: Université de Lille.

Gr. : = 20.

Fig. 2. - Détail de la région médullaire de la figure précédente.

Lame mince nº NL 14.

Origine: Halifax (Yorkshire).

Niveau : Coal Measures.

Collection: Université de Lille.

Gr. : = 50.

Fig. 3. - Coupe transversale de la ramification (niveau inférieur).

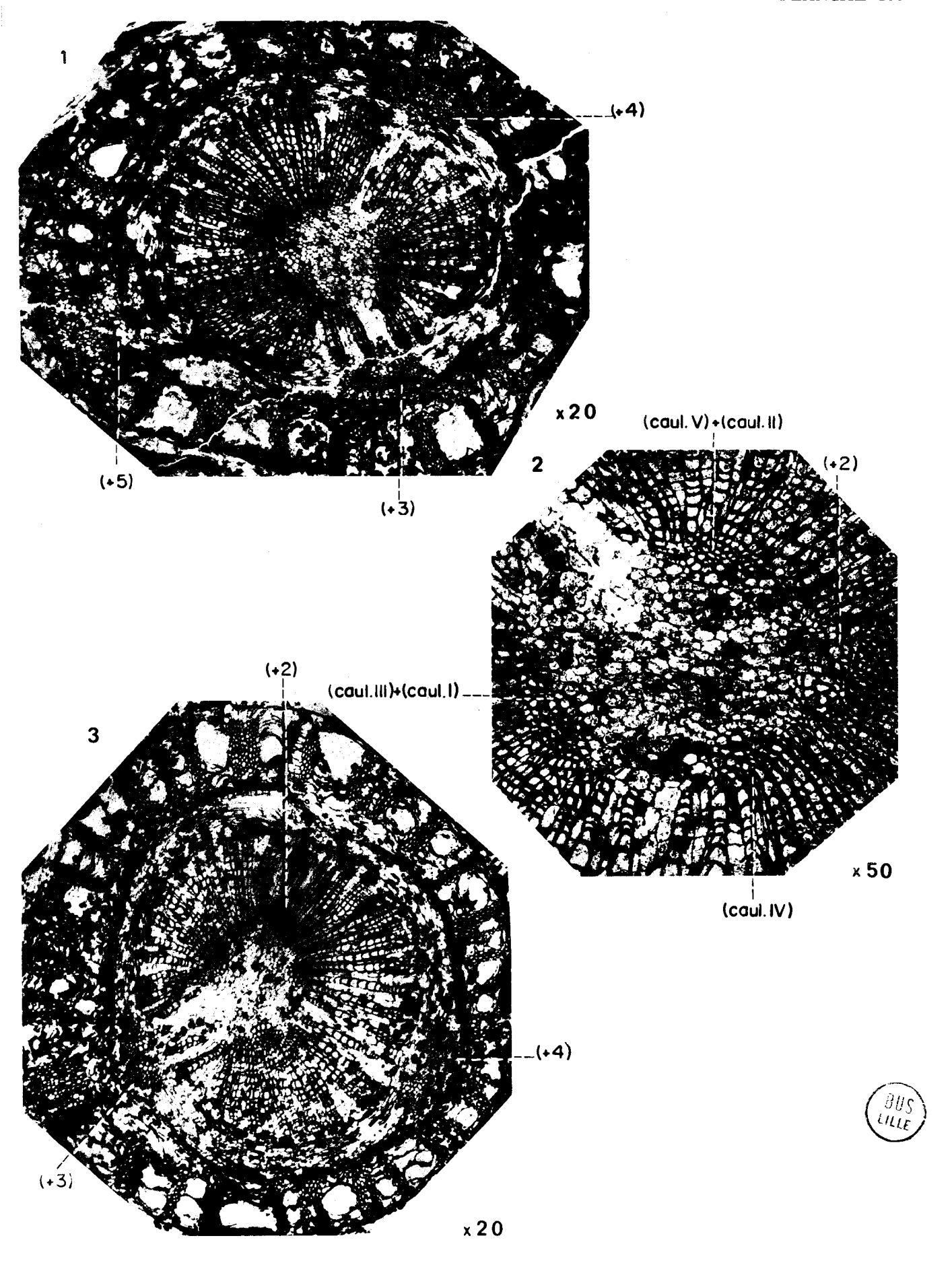
Lame mince no NL 13.

Origine: Halifax (Yorkshire).

Niveau: Coal Measures.

Collection: Université de Lille.

Gr. : = 20.



Coupe transversale isolée d'une ramification axilaire du type II chez Lyginopteris oldhamia (Віннеч) Ротоніє.

Fig. 1. - Lame mince no 3069.
Origine: Shore Littleborough (Lancashire).
Niveau: Coal Measures.

Collection: Londres (British Museum). Gr. : = 10.



Ramification axilaire du type II. Coupes transversales de tiges principales de *Lyginopteris oldhamia* (BINNEY) POTONIÉ émettant une ramification axilaire du type II.

Fig. 1. - Coupe transversale isolée d'une ramification.

Lame mince nº H 18.

Origine: Halifax (Yorkshire).

Niveau: Coal Measures.

Collection: Londres (Birbeck College).

Gr. : = 4.

Coupes transversales sériées.

Fig. 2. - Lame mince nº 6.

Origine: Dulesgate (Lancashire).

Niveau: Coal Measures.

Collection: Université de Lille.

Gr. : = 6.

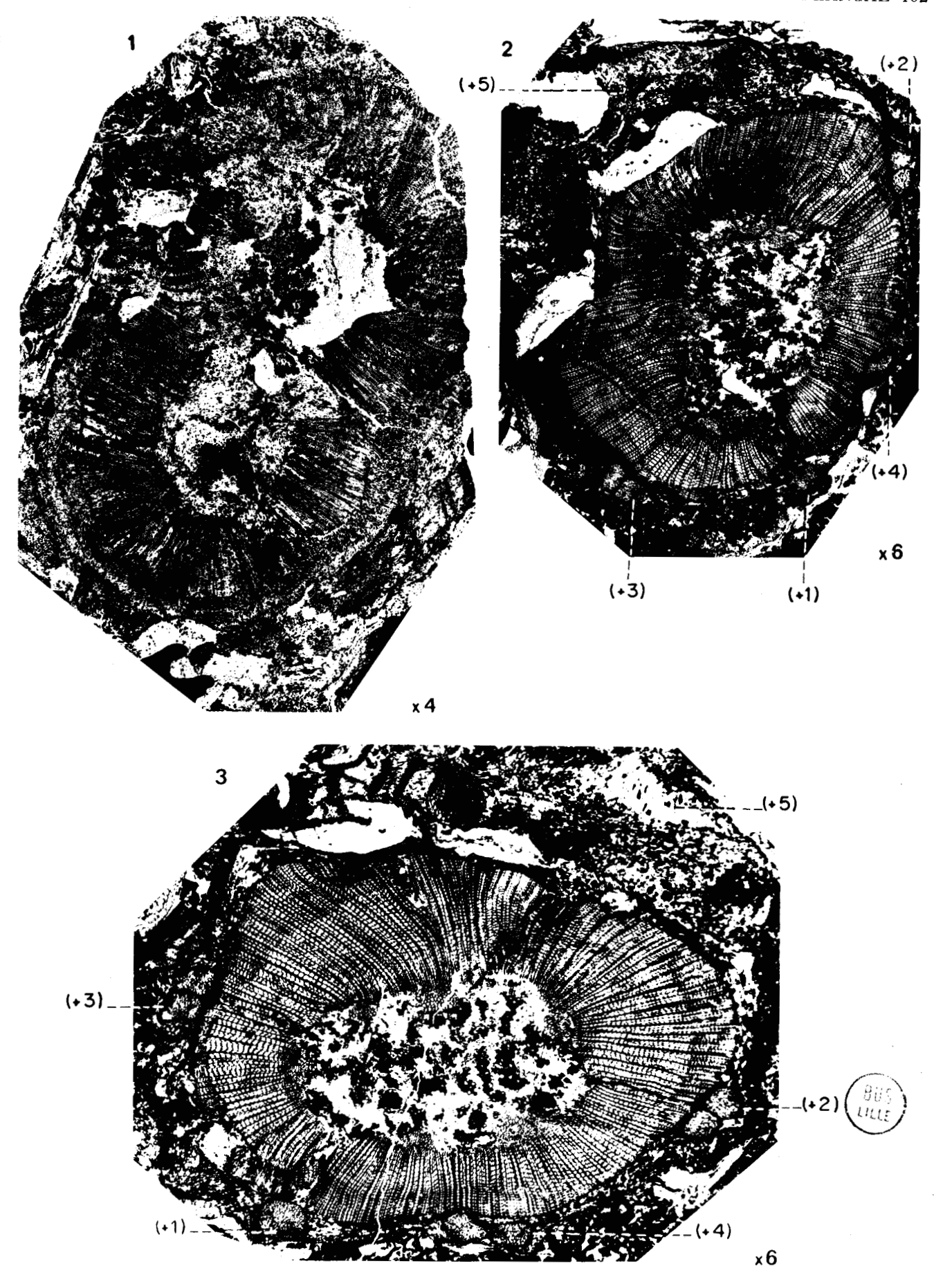
Fig. 3. - Lame mince no 935.

Origine: Dulesgate (Lancashire).

Niveau: Coal Measures.

Collection: Université de Glasgow.

Gr. : = 6.



Formation d'une ramification axilaire du type II dans la tige principale de Lyginopleris oldhamia (BINNEY) POTONIÉ (suile).

Fig. 1. – Détail de la région médullaire située dans l'axe de (+ 5) de la tige figurée pl. 102, fig. 2.

Lame mince no 6.

Origine: Dulesgate (Lancashire).

Niveau: Coal Measures.

Collection : Université de Lille.

Gr. : = 50.

Fig. 2. - Coupe transversale sériée de la tige principale.

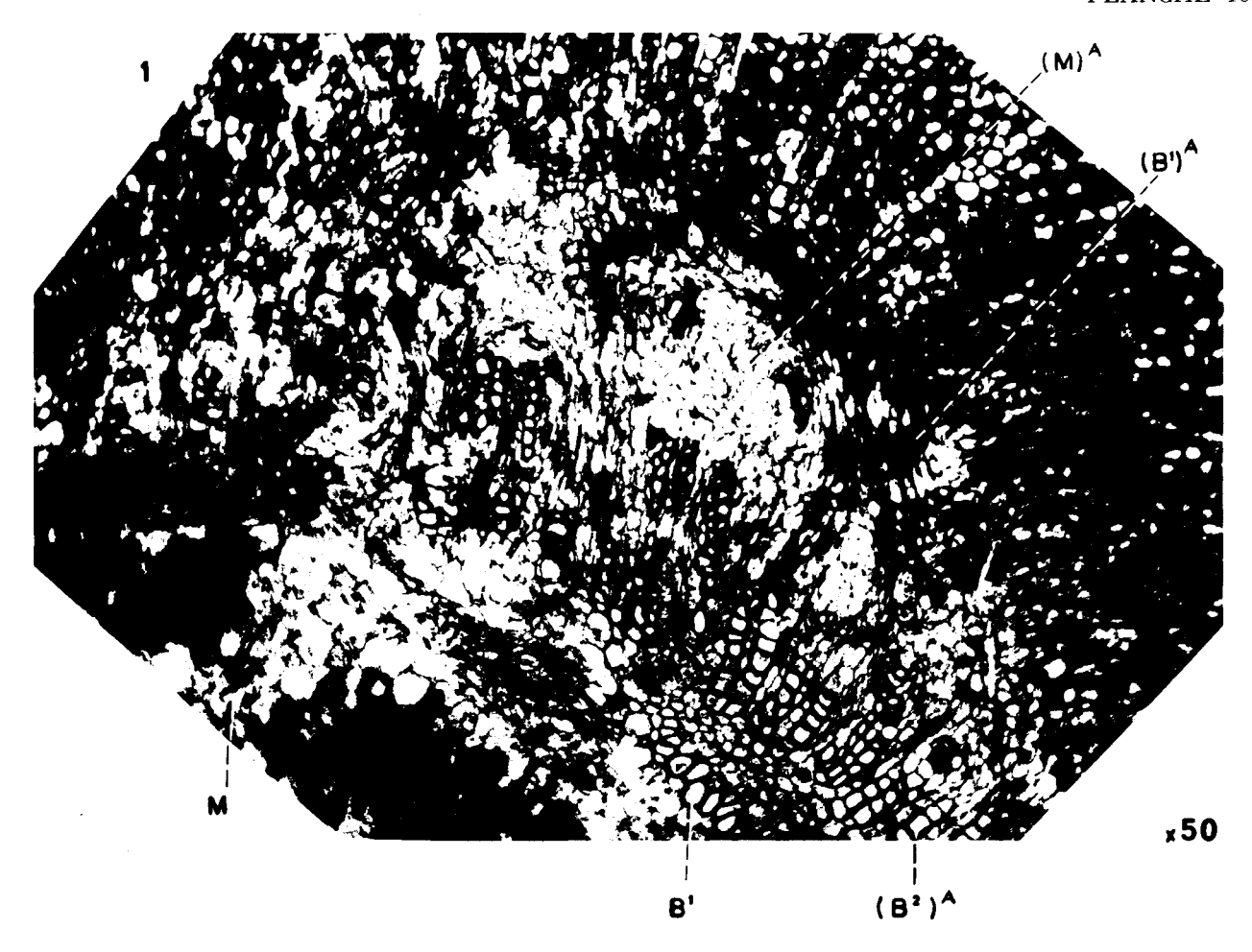
Lame mince nº 6 Lx III.

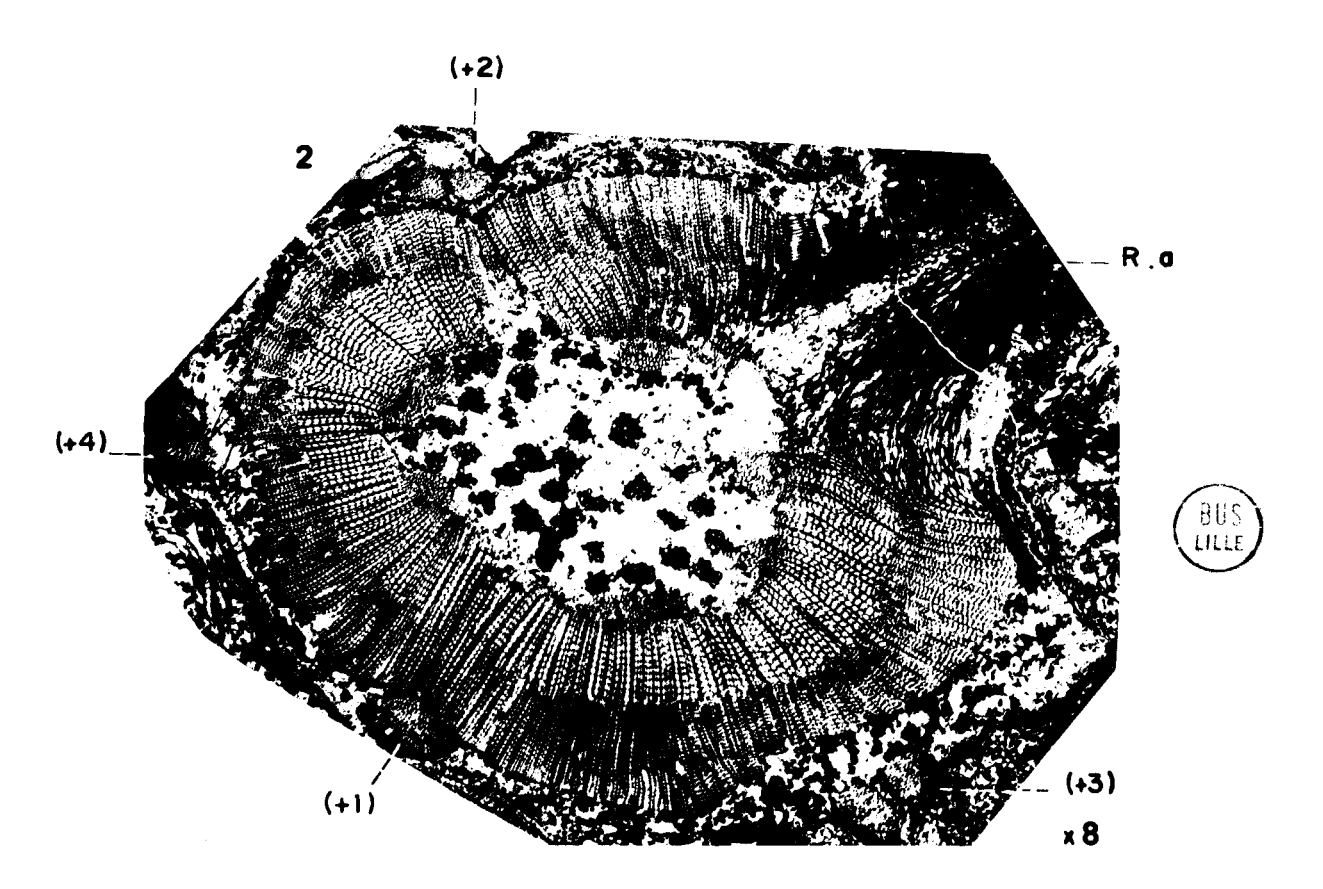
Origine: Dulesgate (Lancashire).

Niveau: Coal Measures.

Collection : Université de Lille.

Gr. : = 8.





Coupes transversales sériées d'une tige principale de Lyginopteris oldhamia (BINNEY) POTONIÉ émettant une ramification axilaire du type II (suite).

Fig. 1. - Coupe transversale de la tige principale et de sa ramification.

Lame mince nº 7.

Origine: Dulesgate (Lancashire).

Niveau: Coal Measures.

Collection: Université de Lille.

Gr. : = 6.

Fig. 2. - Détail de la ramification figurée pl. 104, fig. 1.

Lame mince nº 8.

Origine: Dulesgate (Lancashire).

Niveau : Coal Measures.

Collection : Université de Lille.

Gr. : = 20.

Fig. 3. - Coupe transversale de la tige principale et de sa ramification.

Lame mince nº 8.

Origine: Dulesgate (Lancashire).

Niveau: Coal Measures.

Collection : Université de Lille.

Gr. : = 6.

Fig. 4. – Détail de la ramification figurée pl. 104, fig. 3.

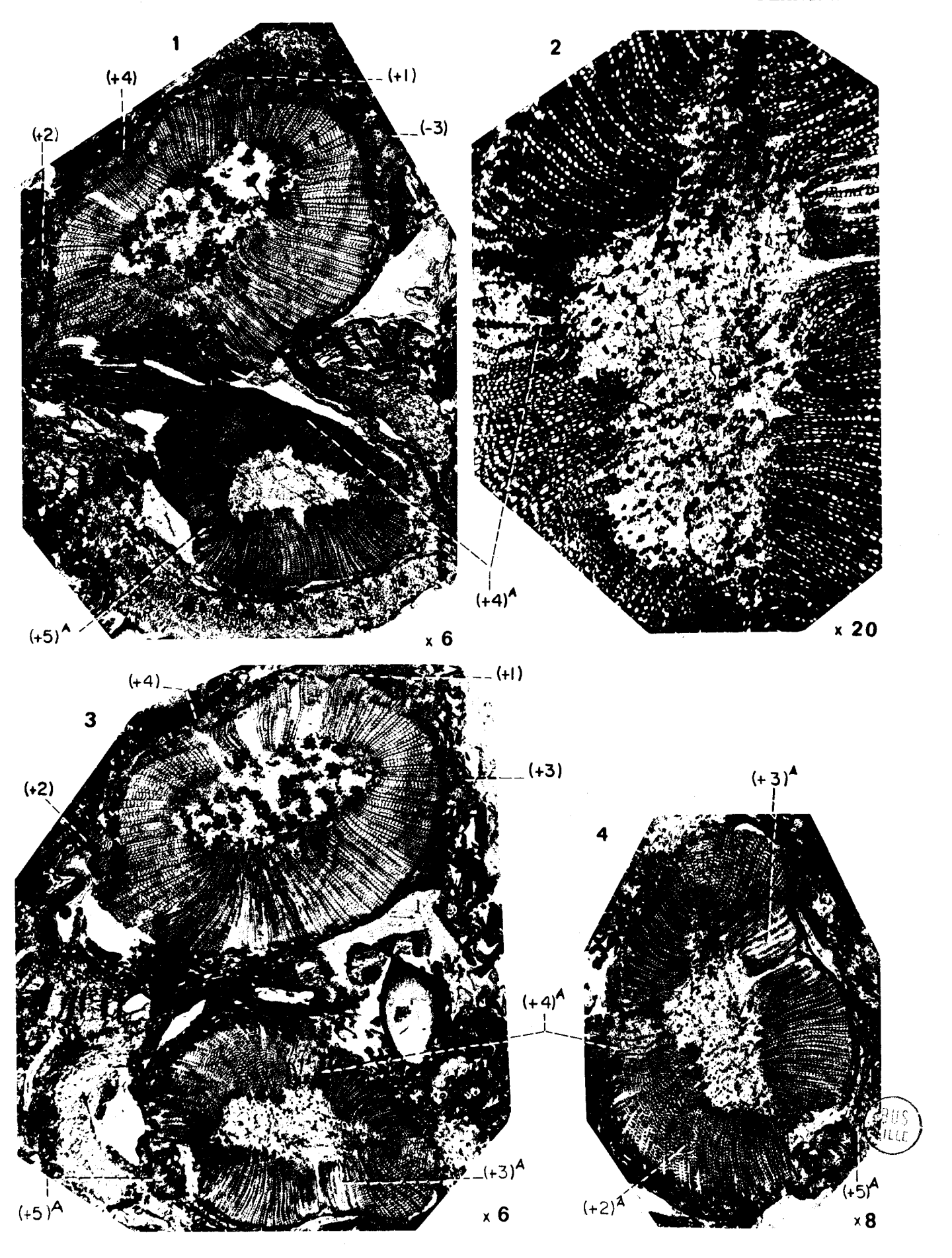
Lame mince nº 8.

Origine: Dulesgate (Lancashire).

Niveau: Coal Measures.

Collection: Université de Lille.

Gr. : = 8.



Coupes transversales isolées de tiges principales de Lyginopteris oldhamia (BINNEY) POTONIÉ émettant une ramification axilaire du type II.

Fig. 1. – Lame mince nº 28.
Origine: Angleterre.

Niveau: Coal Measures.

Collection: Université de Lille.

Gr. : = 8.

Fig. 2. – Lame mince nº 61 A. Origine: Angleterre.

Niveau : Coal Measures.

Collection: Londres (Birbeck College).

Gr. : = 8.

Fig. 3. – Lame mince n^0 67 Lx II = 70 Lx II = 72 Lx II.

Origine: Angleterre. Niveau: Coal Measures.

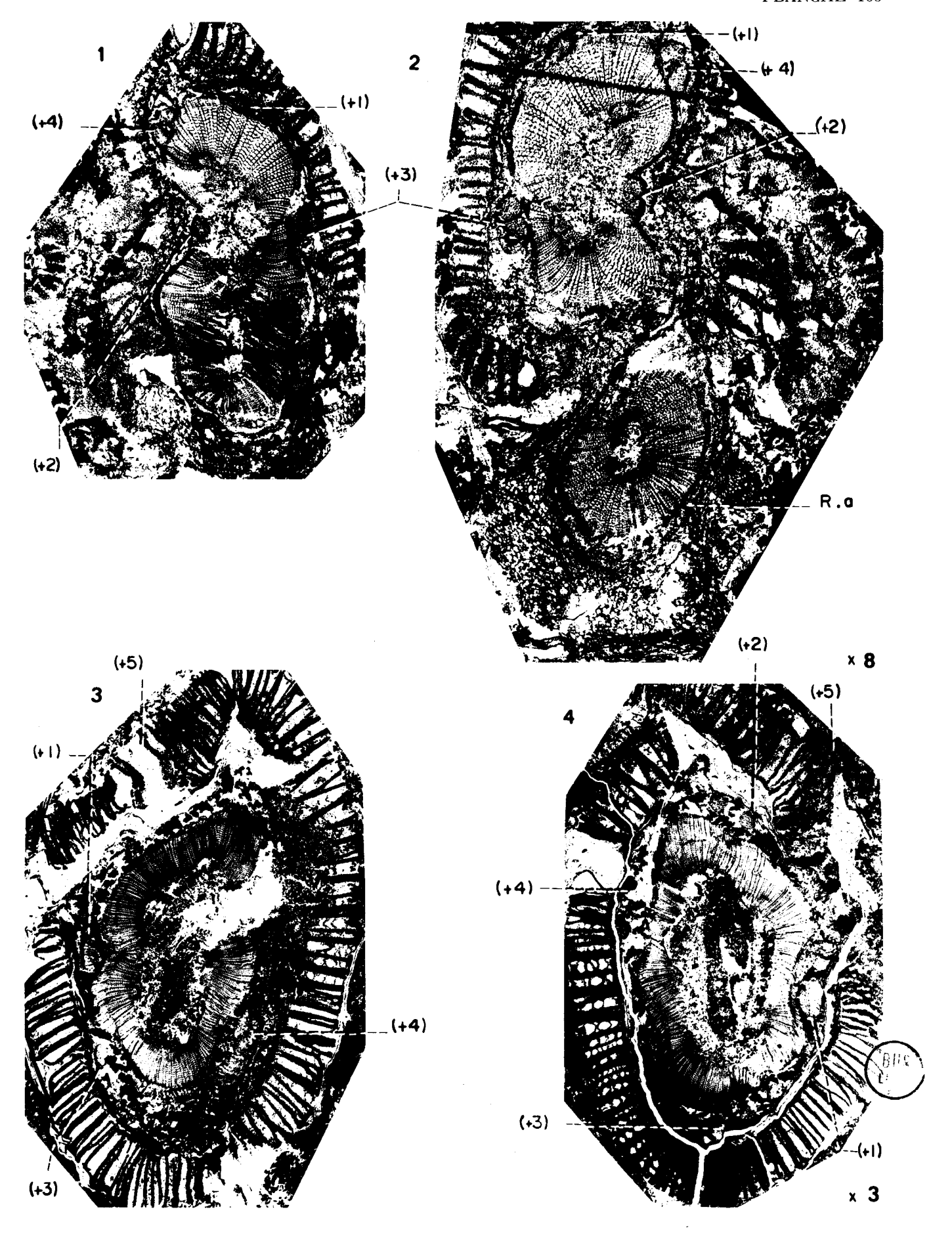
Collection: Université de Lille.

Gr. : = 3.

Fig. 4. - Lame mince no 450.

Origine: Dulesgate (Lancashire). Niveau: Lower Coal Measures. Collection: Université de Bruxelles.

Gr. : = 3.



Coupes transversales sériées d'une tige principale de Lyginopteris oldhamia (BINNEY) POTONIÉ émettant des ramifications axilaires du type II.

Fig. 1. - Lame mince no M 50 d. Origine: Sharney Ford (Lancashire).

Niveau: Coal Measures.

Collection: Londres (University College).

Gr. : = 4.

Fig. 2. - Lame mince no M 50 g.

Origine: Sharney Ford (Lancashire).

Niveau: Coal Measures.

Collection: Londres (University College).

Gr. : = 4.

Fig. 3. - Lame mince no M 50 j.

Origine: Sharney Ford (Lancashire).

Niveau: Coal Measures.

Collection: Londres (University College).

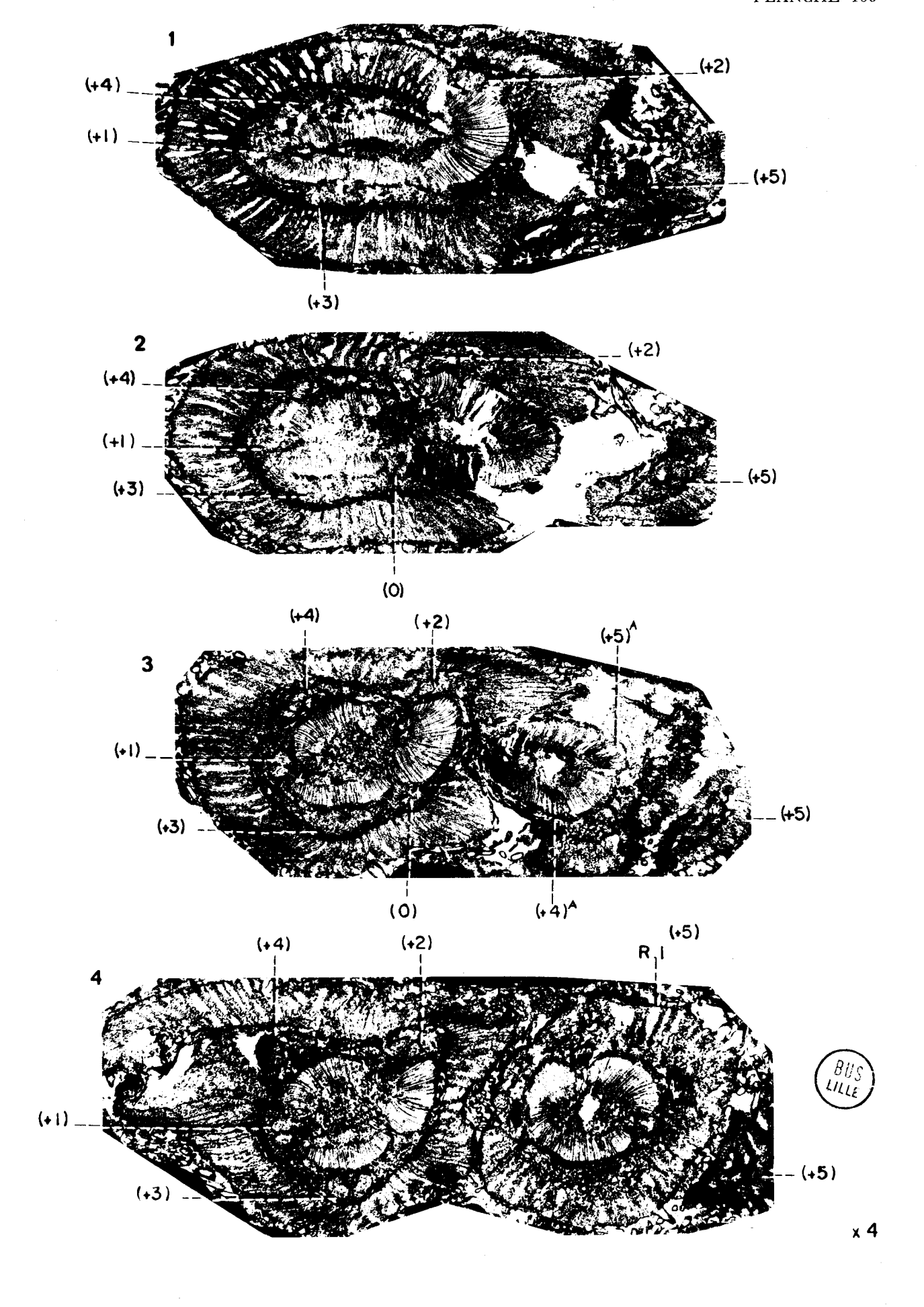
Gr. : = 4.

Fig. 4. - Lame mince no M 50 l.

Origine: Sharney Ford (Lancashire).

Niveau: Coal Measures.

Collection: Londres (University College).



Coupes transversales sériées d'une tige principale de Lyginopteris oldhamia (BINNEY) POTONIÉ émettant des ramifications axilaires du type II (suite).

Fig. 1. - Lame mince no M 50 n.

Origine: Sharney Ford (Lancashire).

Niveau: Coal Measures.

Collection: Londres (University College).

Gr. : = 4.

Fig. 2. - Lame mince no M 50 p.

Origine: Sharney Ford (Lancashire).
Niveau: Coal Measures.

Collection: Londres (University College).

Gr. : = 4.

Fig. 3. - Lame mince no M 50 q.

Origine: Sharney Ford (Lancashire).

Niveau: Coal Measures.

Collection: Londres (University College).

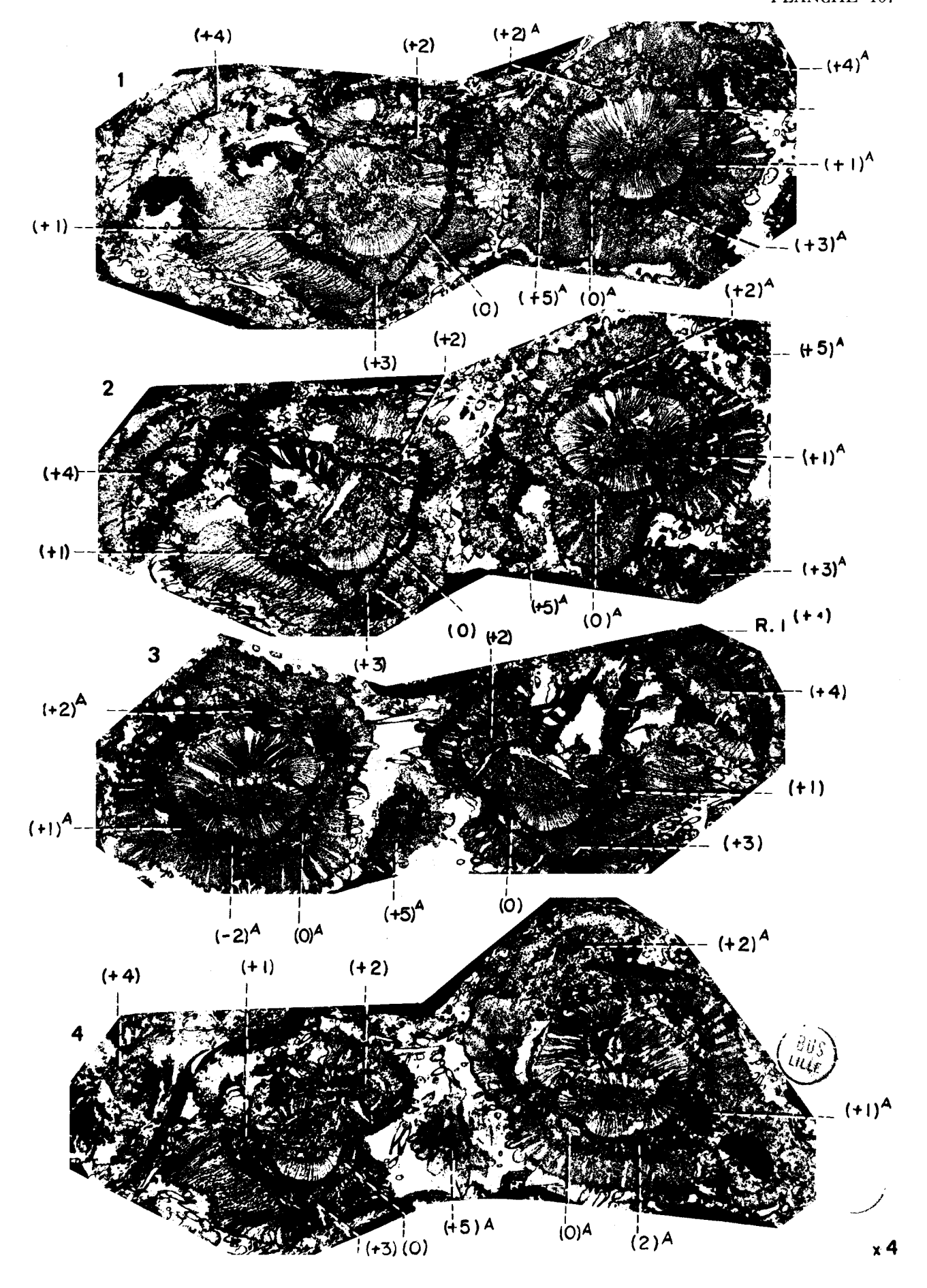
Gr. : = 4.

Fig. 4. – Lame mince nº M 50 r.

Origine: Sharney Ford (Lancashire).

Niveau: Coal Measures.

Collection: Londres (University College).



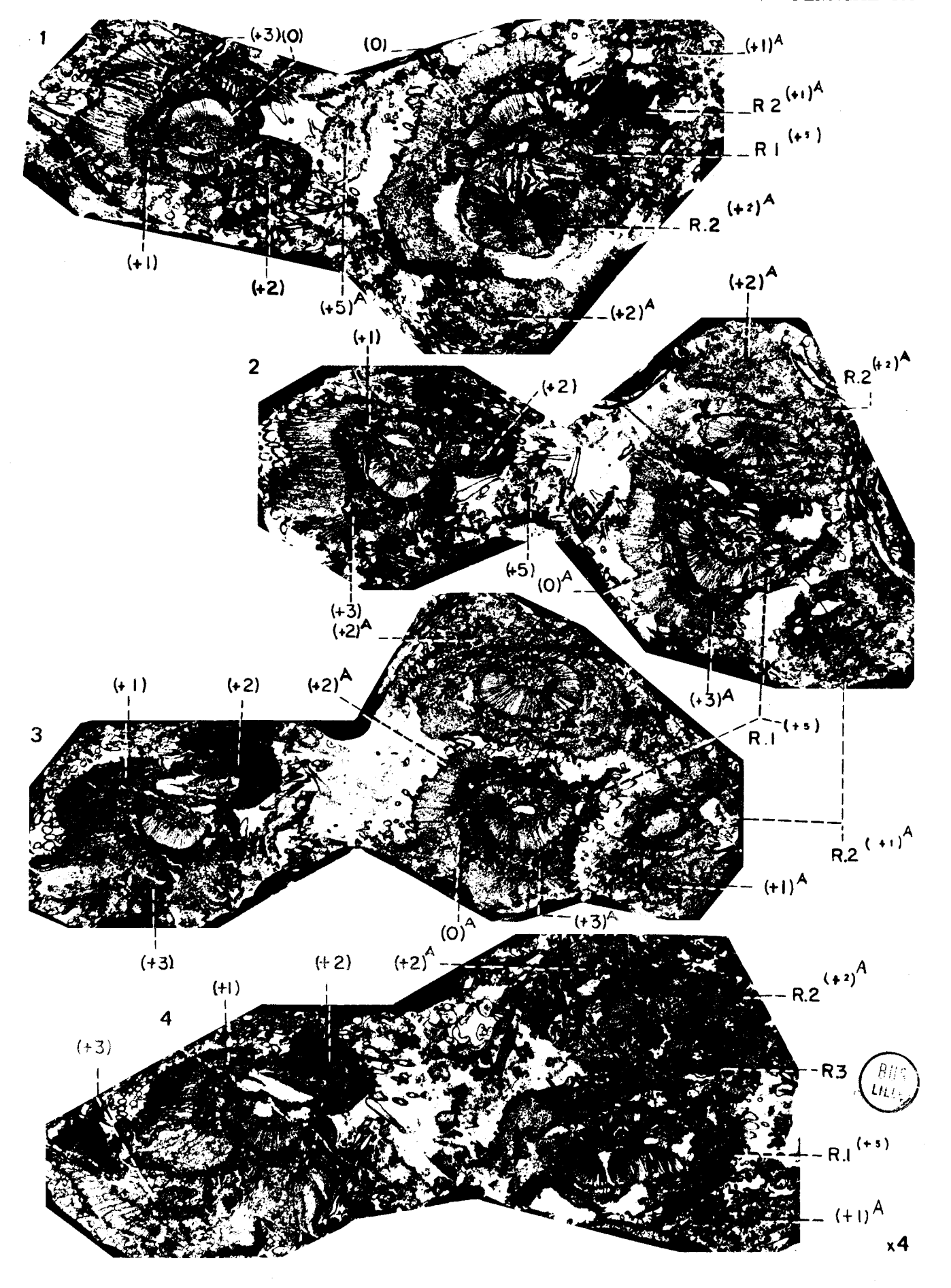
Coupes transversales sériées d'une tige principale de Lyginopteris oldhamia (Binney) Potonié émettant des ramifications axilaires du type II (suite).

Fig. 1. - Lame mince no M 50 s.
Origine: Sharney Ford (Lancashire).
Niveau: Coal Measures.
Collection: Londres (University College).
Gr.: = 4.

Fig. 2. - Lame mince no M 50 t.
Origine: Sharney Ford (Lancashire).
Niveau: Coal Measures.
Collection: Londres (University College).
Gr.: = 4.

Fig. 3. - Lame mince no M 50 u.
Origine: Sharney Ford (Lancashire).
Niveau: Coal Measures.
Collection: Londres (University College).
Gr.: = 4.

Fig. 4. – Lame mince no M 50 w.
Origine: Sharney Ford (Lancashire).
Niveau: Coal Measures.
Collection: Londres (University College).
Gr.: = 4.



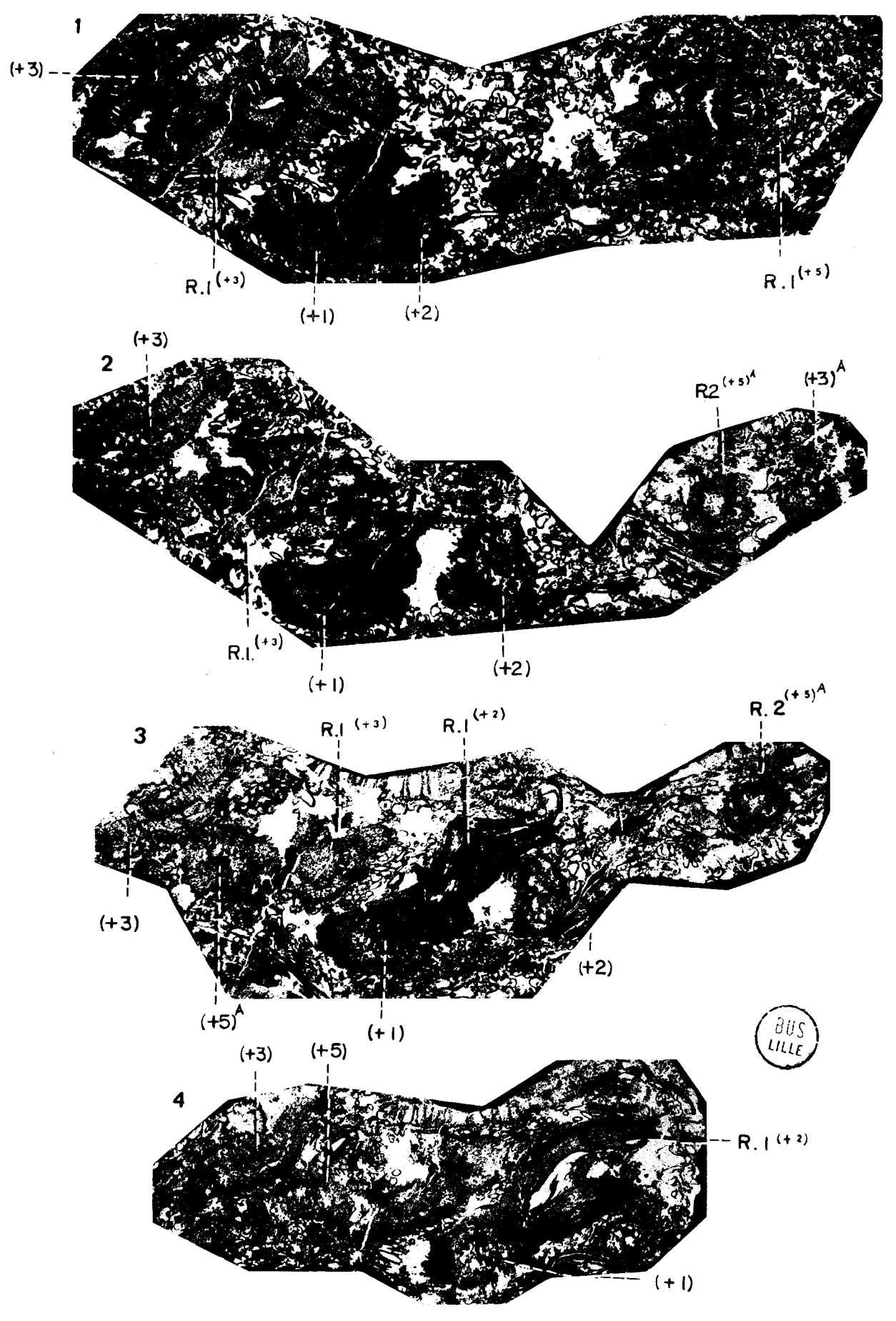
Coupes transversales sériées d'une tige principale de Lyginopteris oldhamia (Binney) Potonié émettant des ramifications axilaires du type II (suite).

Fig. 1. - Lame mince nº M 50 x.
Origine: Sharney Ford (Lancashire).
Niveau: Coal Measures.
Collection: Londres (University College).
Gr. : = 4.

Fig. 2. - Lame mince nº M 50 zd.
Origine: Sharney Ford (Lancashire).
Niveau: Coal Measures.
Collection: Londres (University College).
Gr.: = 4.

Fig. 3. - Lame mince nº M 50 ze.
Origine: Sharney Ford (Lancashire).
Niveau: Coal Measures.
Collection: Londres (University College).
Gr.: = 4.

Fig. 4. – Lame mince no M 50 zf.
Origine: Sharney Ford (Lancashire).
Niveau: Coal Measures.
Collection: Londres (University College).
Gr.: = 4.



Coupes transversales sériées d'une tige principale de Lyginopteris oldhamia (BINNEY) POTONIÉ Émettant des ramifications axilaires du type II.

Fig. 1. - Lame mince no M 22 e.

Origine: Angleterre. Niveau: Coal Measures.

Collection: Londres (University College).

Gr. : = 4.

Fig. 2. - Lame mince no M 22 h.

Origine: Angleterre. Niveau: Coal Measures.

Collection: Londres (University College).

Gr. : = 4.

Fig. 3. - Lame mince no M 22 l.

Origine: Angleterre. Niveau: Coal Measures.

Collection: Londres (University College).

Gr. : = 4.

Fig. 4. - Lame mince no M 22 n.

Origine: Angleterre.
Niveau: Coal Measures.

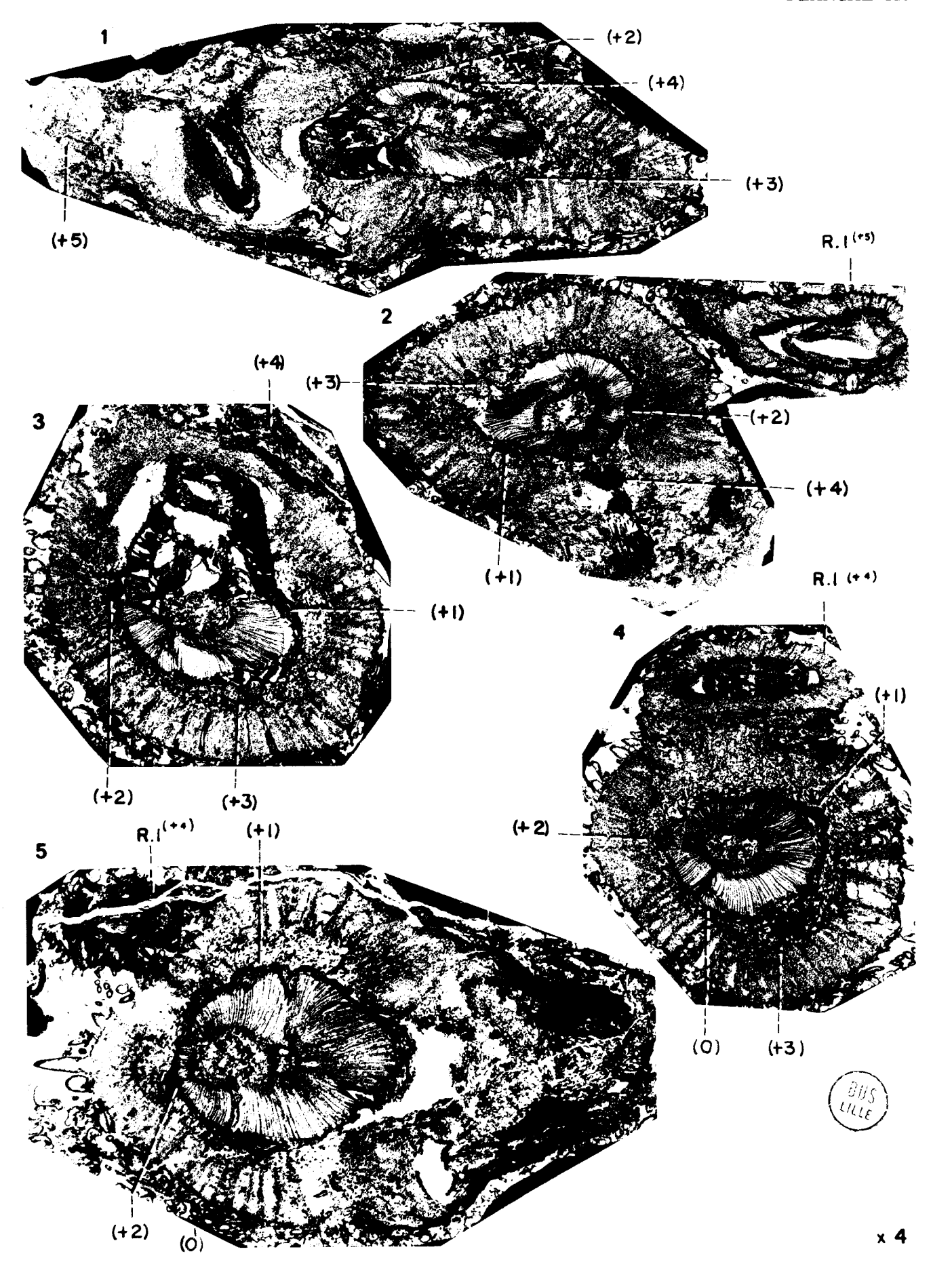
Collection: Londres (University College).

Gr. : = 4.

Fig. 5. - Lame mince no M 22 r.

Origine: Angleterre. Niveau: Coal Measures.

Collection: Londres (University College).



Coupes transversales sériées d'une tige principale de Lyginopteris oldhamia (Binney) Potonié émettant des ramifications axilaires du type II (suite).

Fig. 1. - Lame mince no M 22 t.

Origine: Angleterre. Niveau: Coal Measures.

Collection: Londres (University College).

Gr. : = 4.

Fig. 2. - Lame mince no M 22 w.

Origine: Bassin houiller anglais. Niveau: Coal Measures.

Collection: Londres (University College).

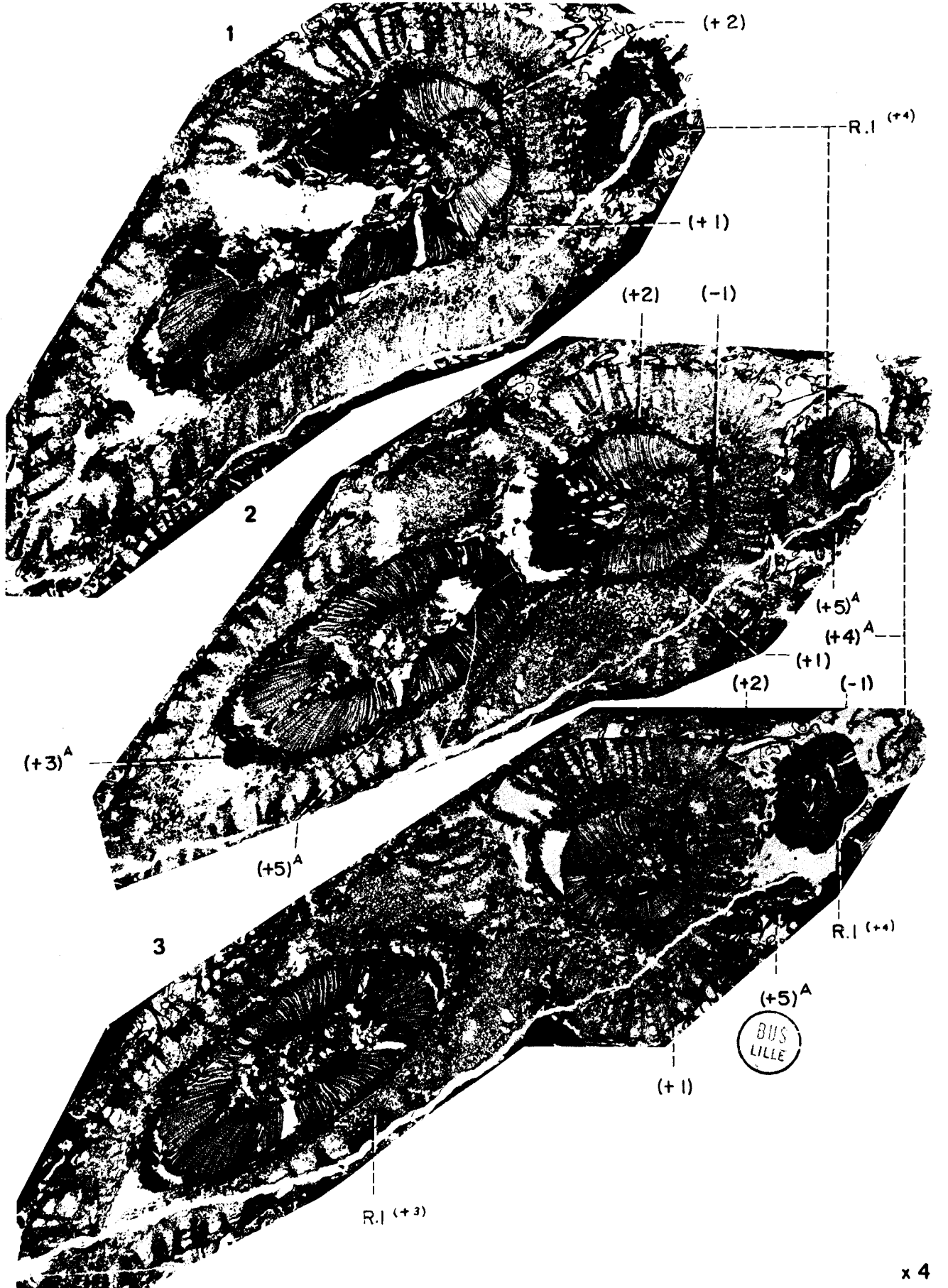
Gr. : = 4.

Fig. 3. - Lame mince no M 22 v.

Origine: Angleterre. Niveau: Coal Measures.

Collection: Londres (University College).

Gr.: 4.



Coupes transversales sériées d'une tige principale de Lyginopteris oldhamia (Binney) Potonié émettant des ramifications axilaires du type II (suite).

Fig. 1. - Lame mince n^o M 22 α .

Origine : Angleterre.

Niveau: Coal Measures.

Collection: Londres (University College).

Gr. : = 4.

Fig. 2. - Lame mince no M 22 8.

Origine: Angleterre.

Niveau: Coal Measures.
Collection: Londres (University College).

Gr. : = 4.

Fig. 3. – Lame mince n^0 M 22 ρ .

Origine: Angleterre. Niveau: Coal Measures.

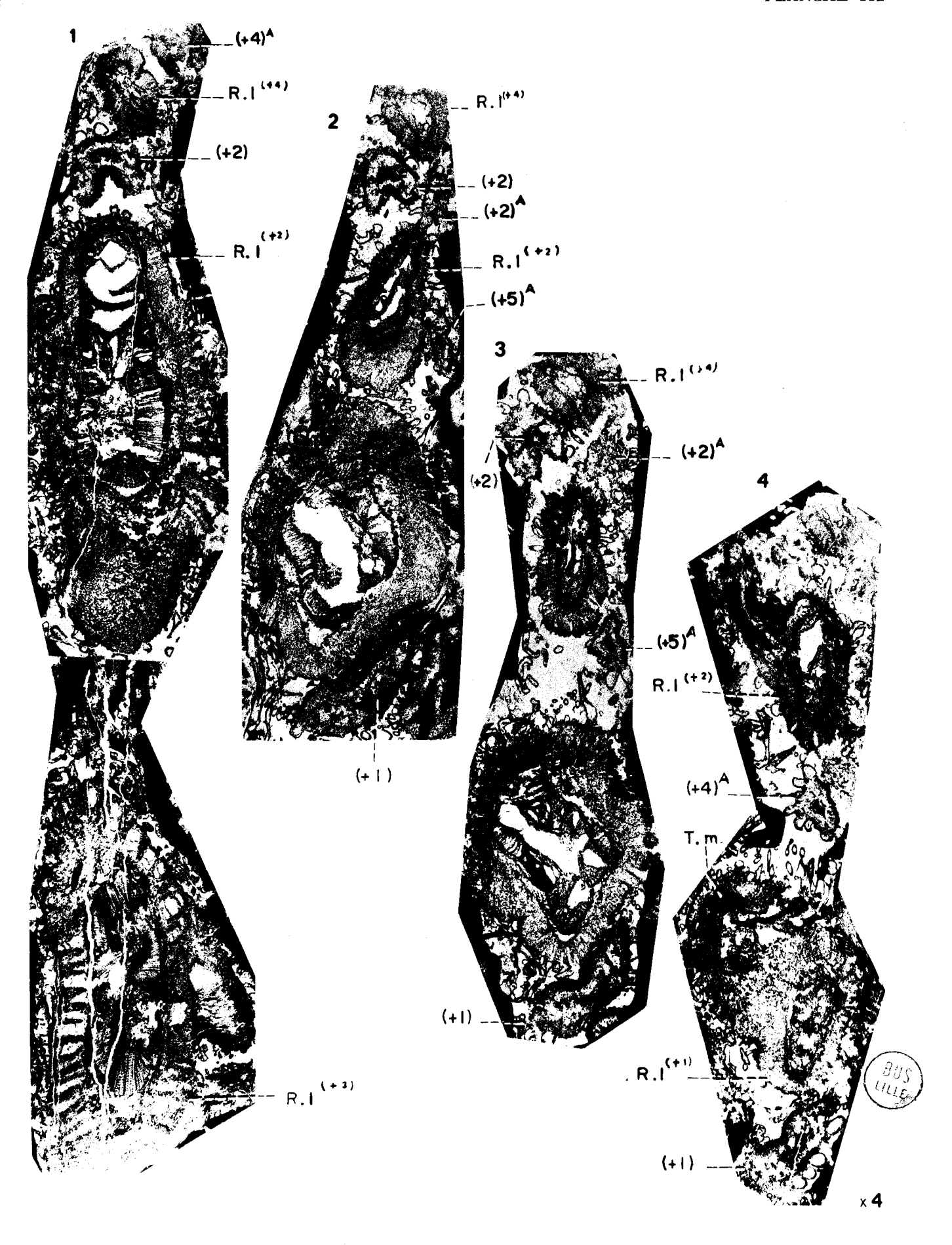
Collection: Londres (University Collège).

Gr. : = 4.

Fig. 4. - Lame mince no M 22 ε.

Origine: Angleterre. Niveau: Coal Measures.

Collection: Londres (University College).



Coupes transversales sériées d'une tige principale de Lyginopteris oldhamia (BINNEY) Potonié émettant des ramifications axilaires du type II.

Fig. 1. - Lame mince no 949.

Origine: Sharney Ford (Lancashire).

Niveau: Coal Measures.

Collection: Université de Glasgow.

Gr. : = 4.

Fig. 2. - Lame mince no 950.

Origine: Sharney Ford (Lancashire).

Niveau: Coal Measures.

Collection: Université de Glasgow.

Gr. : = 4.

Fig. 3. - Lame mince no 953.

Origine: Sharney Ford (Lancashire).

Niveau: Coal Measures.

Collection: Université de Glasgow.

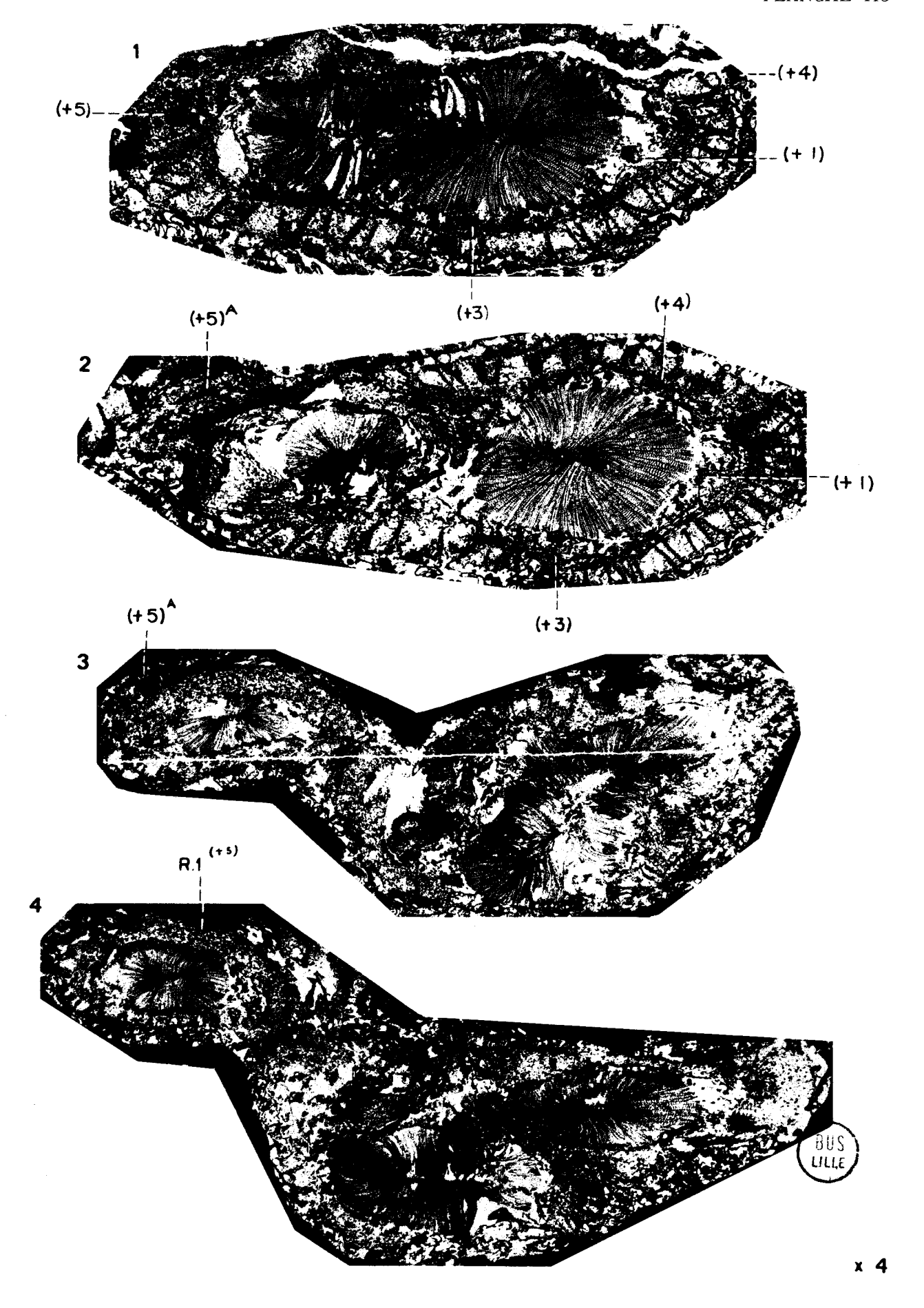
Gr. : = 4.

Fig. 4. - Lame mince no 954.

Origine: Sharney Ford (Lancashire).

Niveau: Coal Measures.

Collection: Université de Glasgow.



Coupes transversales sériées d'une tige principale de Lyginopteris oldhamia (BINNEY) Potonié émettant des ramifications axilaires du type II (suite).

Coupe transversale isolée d'une ramification axilaire du type II.

Fig. 1. - Lame mince no 955.

Origine: Sharney Ford (Lancashire).

Niveau: Coal Measures.

Collection: Université de Glasgow.

Gr. : = 4.

Fig. 2. - Lame mince no 957.

Origine: Sharney Ford (Lancashire).

Niveau: Coal Measures.

Collection: Université de Glasgow.

Gr. : = 4.

Fig. 3. - Lame mince no 959.

Origine: Sharney Ford (Lancashire).

Niveau: Coal Measures.

Collection: Université de Glasgow.

Gr. : = 4.

Fig. 4. - Ramification axillaire isolée.

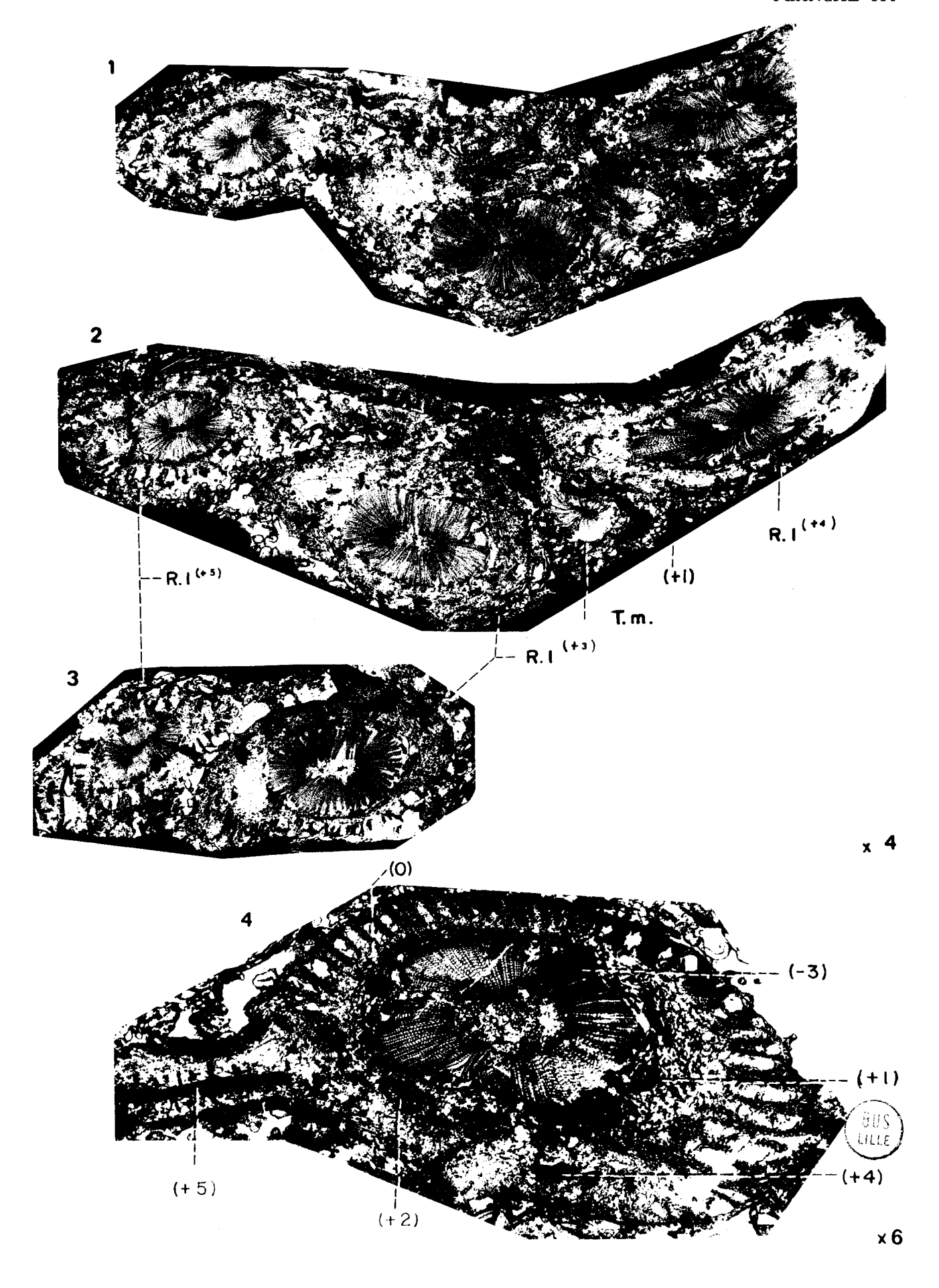
Lame mince nº 21.

Origine: Bacup (Lancashire).

Niveau : Coal Measures.

Collection: Université de Lille.

Gr. : = 6.



Coupe transversale d'une ramification axilaire du type II chez Lyginopteris oldhamia (Binney) Potonié.

Fig. 1. – Lame mince n° 3068.

Origine: Shore Littleborough (Lancashire).

Niveau: Coal Measures.

Collection: Londres (British Museum).

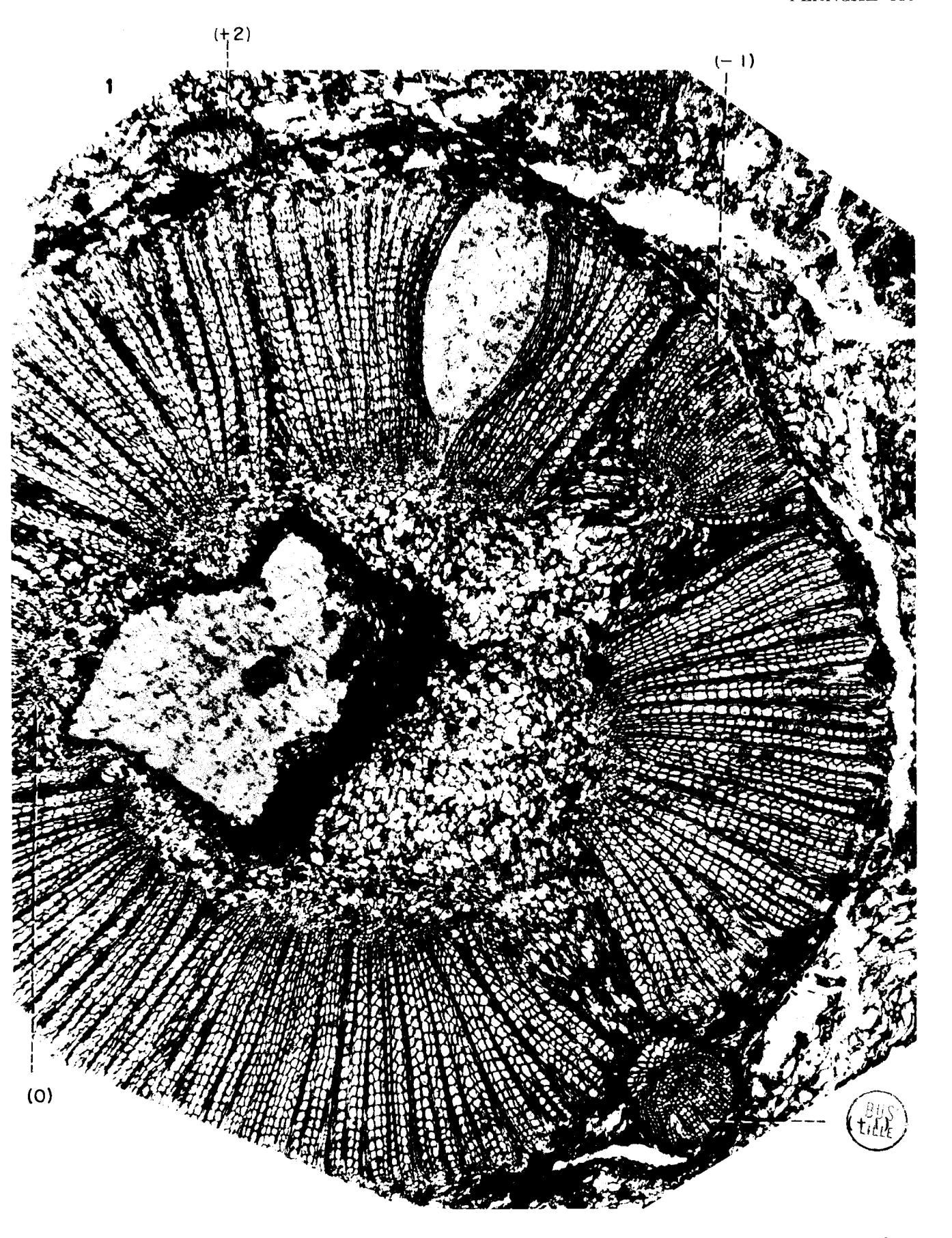
Gr.: = 10.



Coupe transversale d'une ramification axilaire du type II chez Lyginopteris oldhamia (BINNEY) POTONIÉ.

Fig. 1. - Lame mince nº 3062.
Origine: Shore Littleborough (Lancashire).
Niveau: Coal Measures.

Collection: Londres (British Museum). Gr.: = 20.



Coupe transversale d'une ramification axilaire du type II chez Lyginopteris oldhamia (Binney) Potonié.

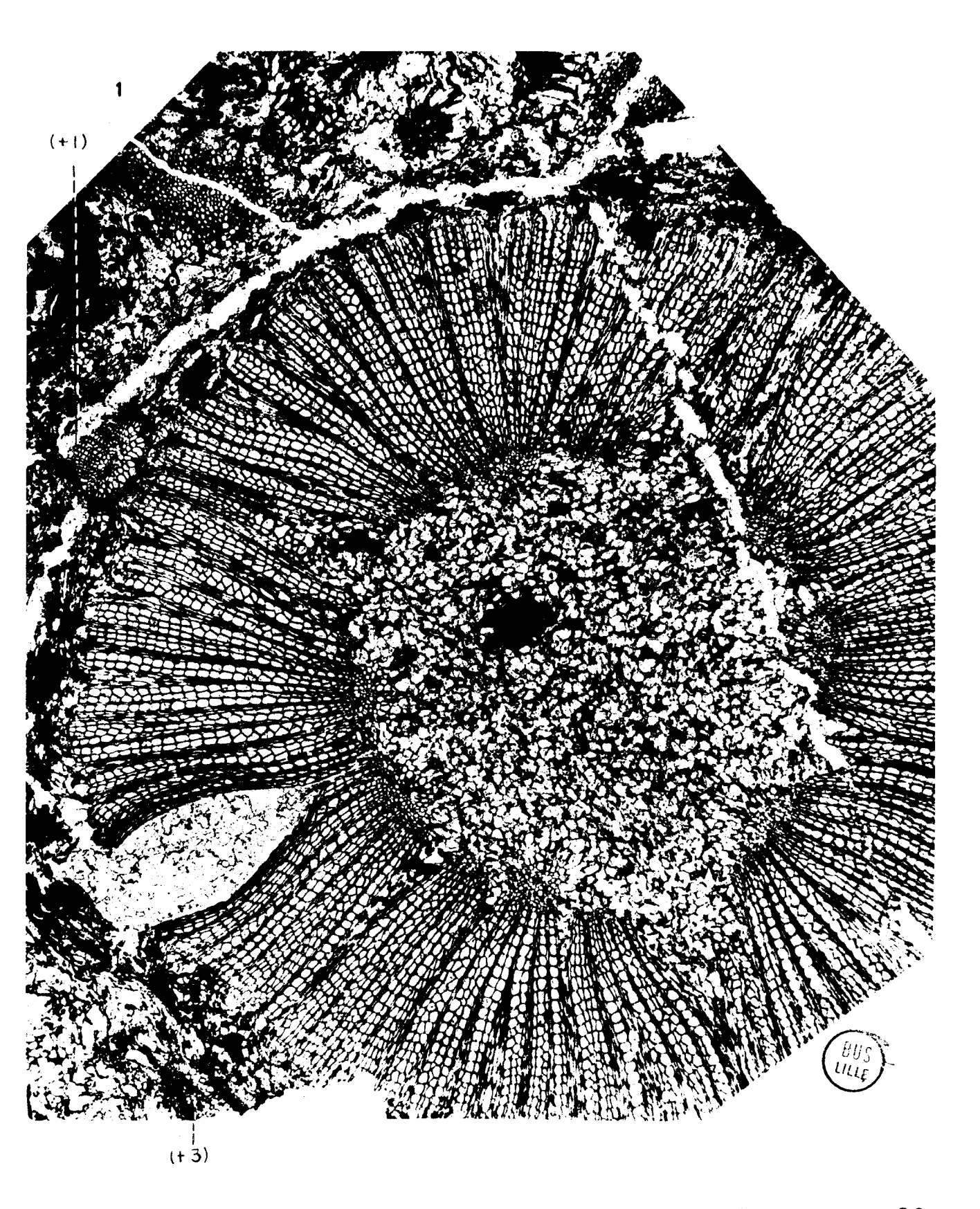
Fig. 1. - Lame mince no 3064.

Origine: Shore Littleborough (Lancashire).

Niveau: Coal Measures.

Collection: Londres (British Museum).

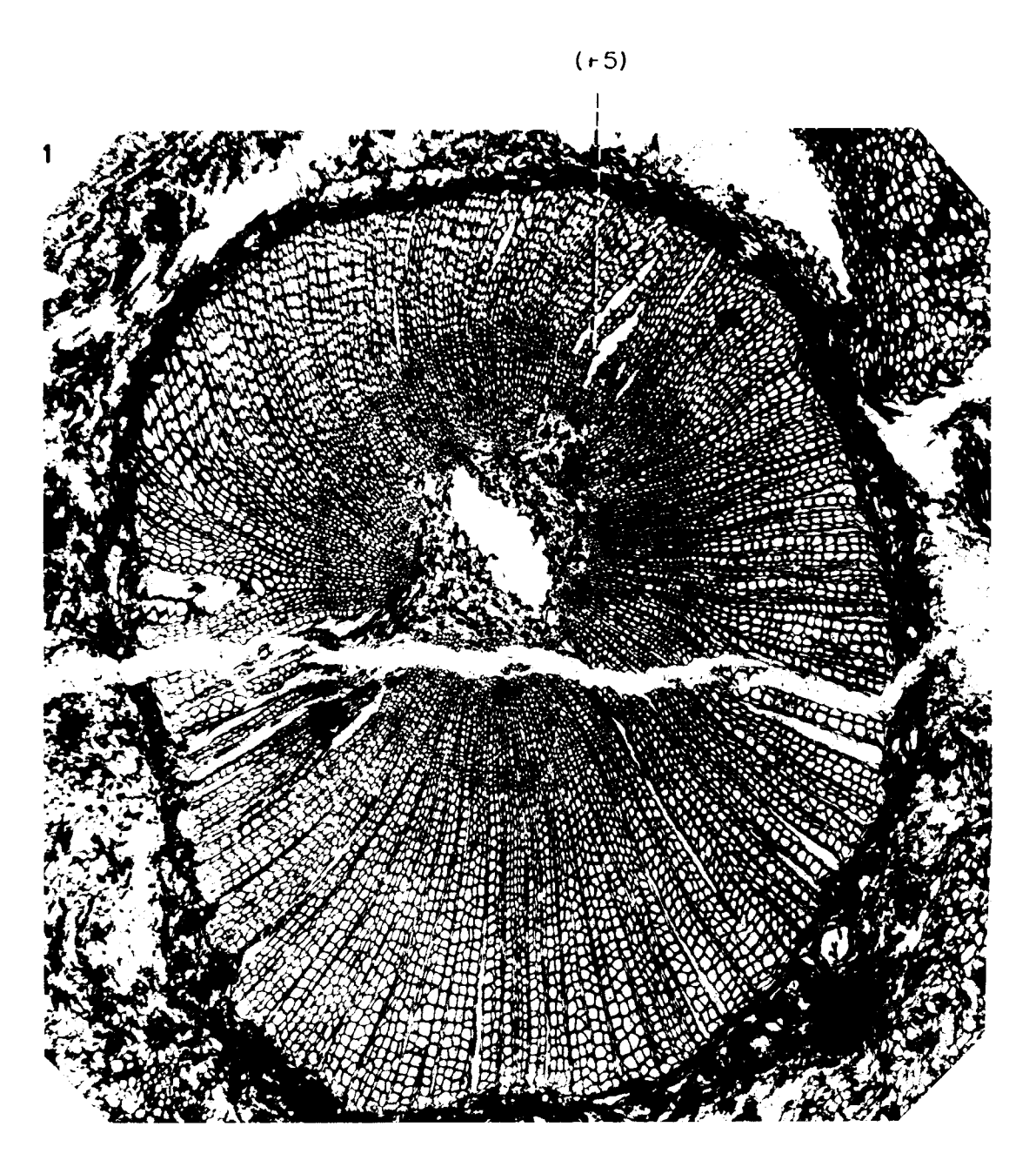
Gr.: = 20.



Coupe transversale sériée d'une ramification axilaire du type II chez Lyginopteris oldhamia (BINNEY) POTONIÉ.

Fig. 1. – Lame mince nº 2990.
Origine: Shore Littleborough (Lancashire).
Niveau: Coal Measures.

Collection: Londres (British Museum). Gr. : = 20.



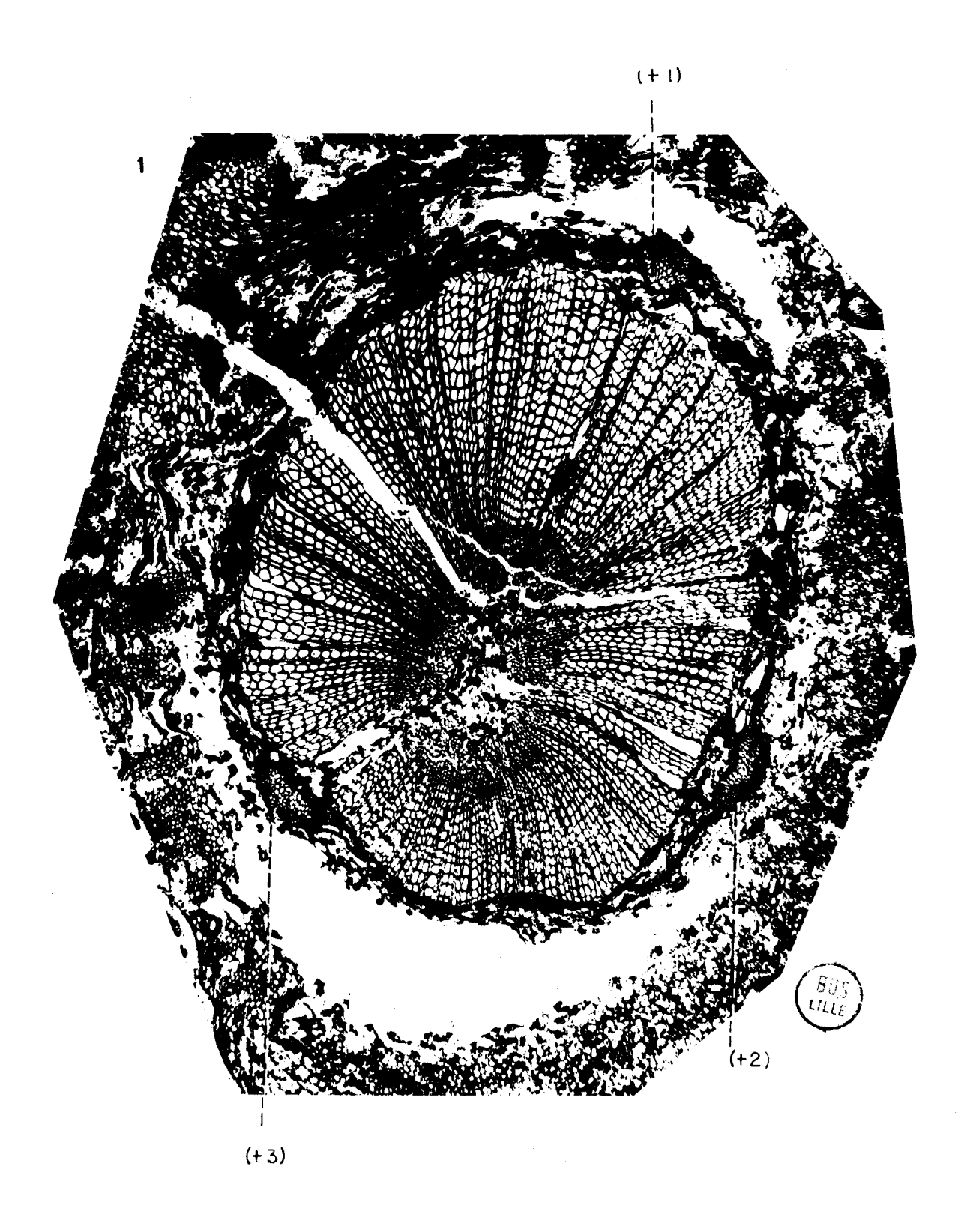


Coupe transversale d'une ramification axilaire du type II chez Lyginopteris oldhamia (BINNEY) POTONIÉ.

Fig. 1. - Lame mince no 2987.
Origine: Shore Littleborough (Lancashire).
Niveau: Coal Measures.

Collection: Londres (British Museum).

Gr. : = 20.



Coupes transversales isolées de ramifications axilaires du type II chez Lyginopteris oldhamia (BINNEY) POTONIÉ.

Fig. 1. - Lame mince no 21.

Origine: Bacup (Lancashire). Niveau: Coal Measures. Collection: Université de Lille.

Gr. : = 6.

Fig. 2. - Lame mince no M 78 l.

Origine: Halifax Hard Bed (Lancashire).

Niveau: Coal Measures.

Collection: Londres (University College).

Gr. : = 10.

Fig. 3. - Lame mince no M 78 h.

Origine: Halifax Hard Bed (Lancashire).

Niveau: Coal Measures.

Collection: Londres (University College).

Gr. : = 10.

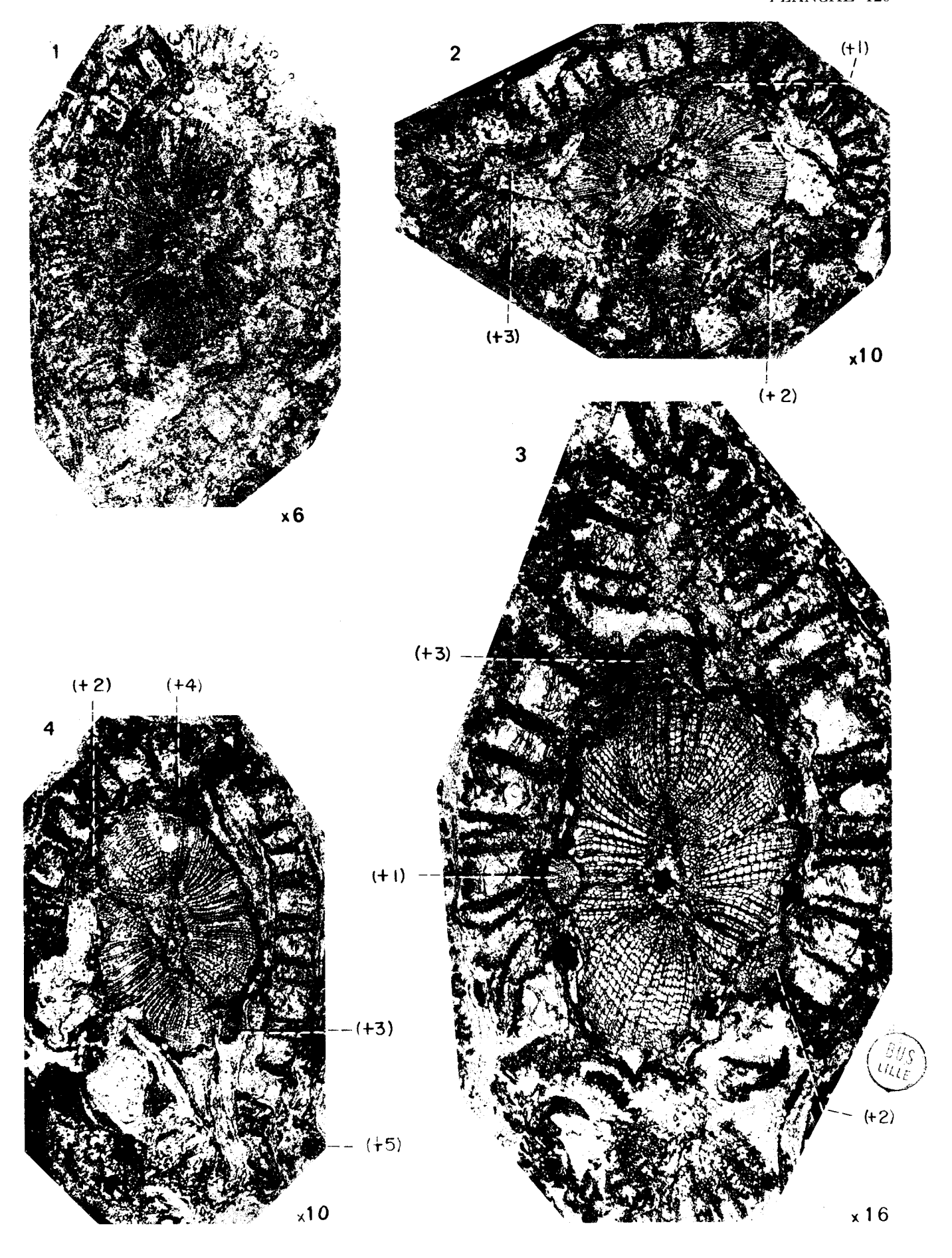
Fig. 4. - Lame mince no 2504.

Origine: Angleterre.

Niveau: Coal Measures.

Collection: Hollande (Geologishe buro).

Gr. : = 16.



Coupes transversales sériées d'une tige principale et de son pétiole principal chez Lyginopteris oldhamia (BINNEY) POTONIÉ.

Fig. 1. - Lame mince no 1856 IT².

Origine: Ostrau (Haute-Silésie).

Niveau: Cunegonde.

Collection : Université de Lille.

Gr. : = 3.

Fig. 2. - Lame mince no 1858 IT7.

Origine: Ostrau (Haute-Silésie).

Niveau: Cunegonde.

Collection: Université de Lille.

Gr. : = 3.

Fig. 3. – Lame mince n^0 1858 IT⁶.

Origine: Ostrau (Haute-Silésie).

Niveau: Cunegonde.

Collection: Université de Lille.

Gr. : = 3.

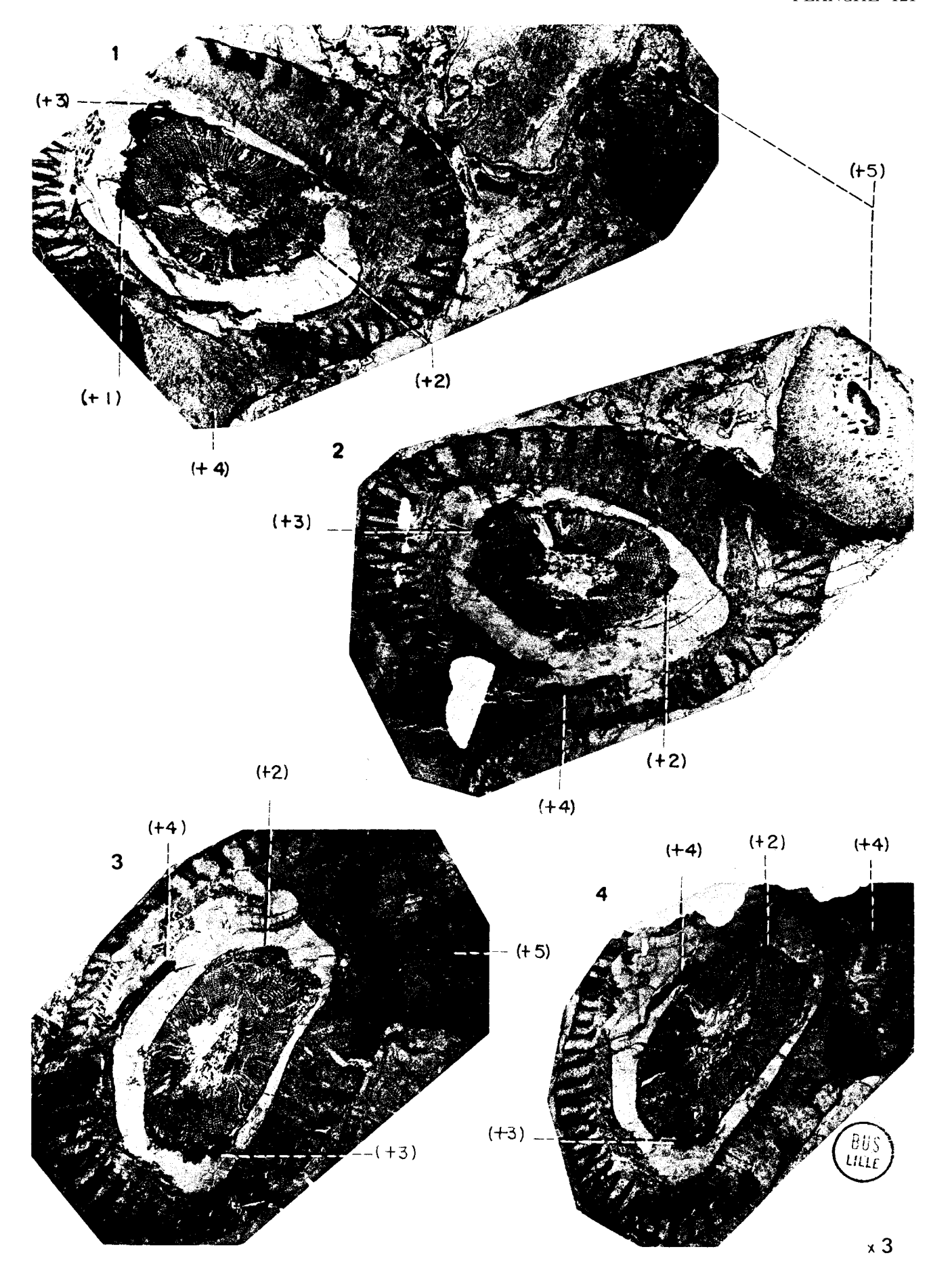
Fig. 4. - Lame mince no 1858 IT5.

Origine: Ostrau (Haute-Silésie).

Niveau: Cunegonde.

Collection: Université de Lille.

Gr. : = 3.



Région basale du rachis principal chez Lyginopteris oldhamia (BINNEY) POTONIÉ.

Fig. 1. – Coupe transversale du bois primaire inclus dans le pétiole figuré pl. 122, fig. 2.

Lame mince no 1856 IT6.

Origine: Ostrau (Haute-Silésie).

Niveau: Cunegonde.

Collection: Université de Lille.

Gr. : = 50.

Fig. 2. - Coupe transversale du rachis.

Lame mince no 1856 IT6.

Origine: Ostrau (Haute-Silésie).

Niveau: Cunegonde.

Collection: Université de Lille.

Gr. : = 10.

Fig. 3. - Coupe transversale du bois primaire.

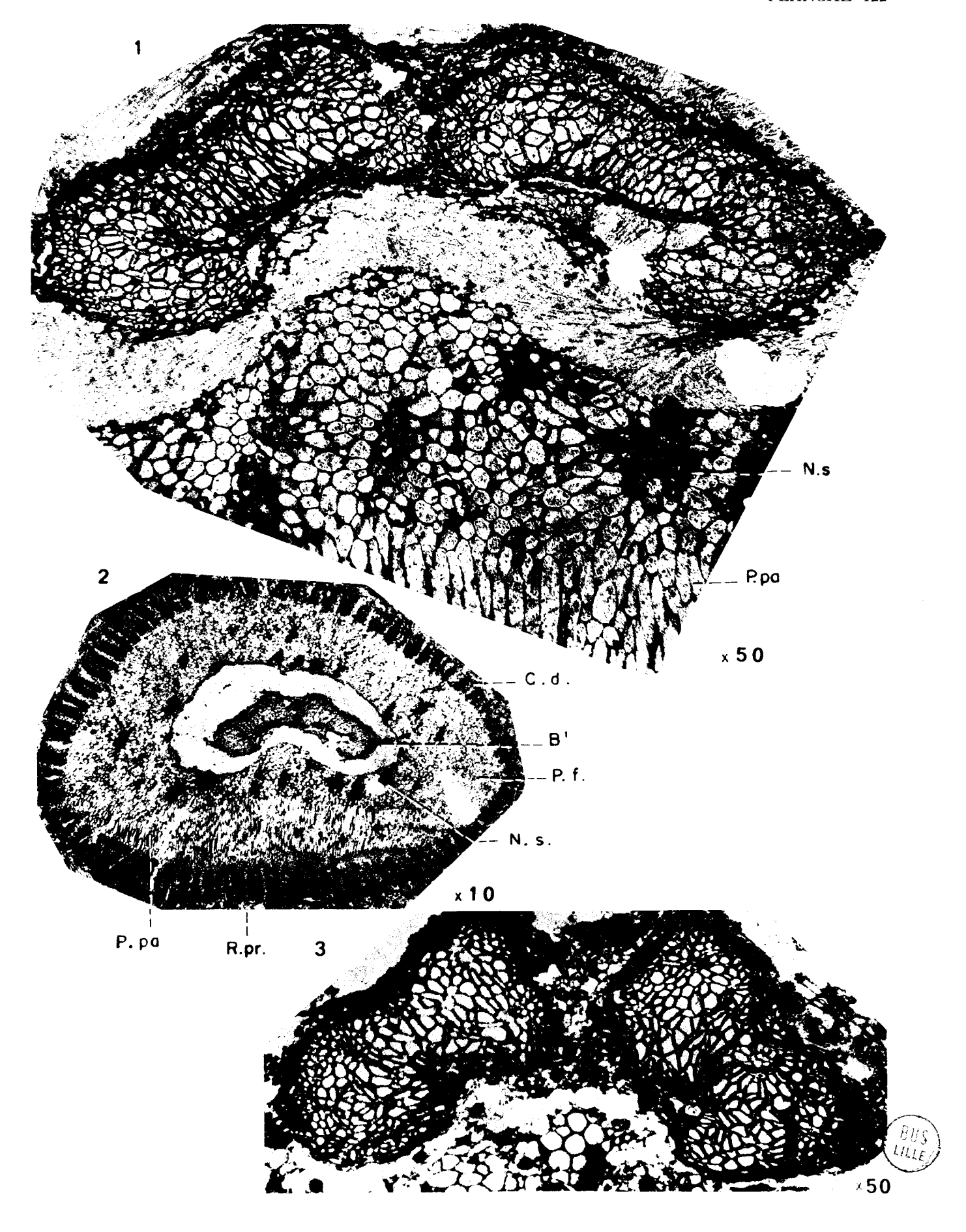
Lame mince nº 2.

Origine: Dulesgate (Lancashire).

Niveau: Coal Measures.

Collection: Université de Lille.

Gr. : = 50.



Région basale du rachis principal chez Lyginopteris oldhamia (BINNEY) POTONIÉ.

Fig. 1. - Coupe transversale d'un rachis.

Lame mince nº 22 Lx I.

Origine: Dulesgate (Lancashire)

Niveau: Coal Measures.

Collection: Université de Lille.

Gr. : = 15.

Fig. 2. - Coupe transversale du bois primaire inclus dans le pétiole figuré

pl. 123, fig. 1.

Lame mince nº 22 Lx I.

Origine: Dulesgate (Lancashire).

Niveau: Coal Measures.

Collection: Université de Lille.

Gr. : = 50.

Fig. 3. - Coupe transversale d'un rachis.

Lame mince no M 4.

Origine: Dulesgate (Lancashire).

Niveau: Coal Measures.

Collection: Londres (University College).

Gr. : = 15.



Région basale du rachis principal chez Lyginopteris oldhamia (BINNEY) POTONIÉ.

Fig. 1. – Coupe transversale du bois primaire inclus dans le pétrole figuré pl. 124, fig. 3.

Lame mince nº 77 Lx II.

Origine: Dulesgate (Lancashire).

Niveau: Coal Measures.

Collection: Université de Lille.

Gr. : = 50.

Fig. 2. - Coupe transversale d'un rachis.

Lame mince no 109 (8). Origine: Belgique. Niveau: Bouxharmont.

Collection : Université de Liège.

Gr. : = 20.

Fig. 3. - Coupe transversale d'un rachis.

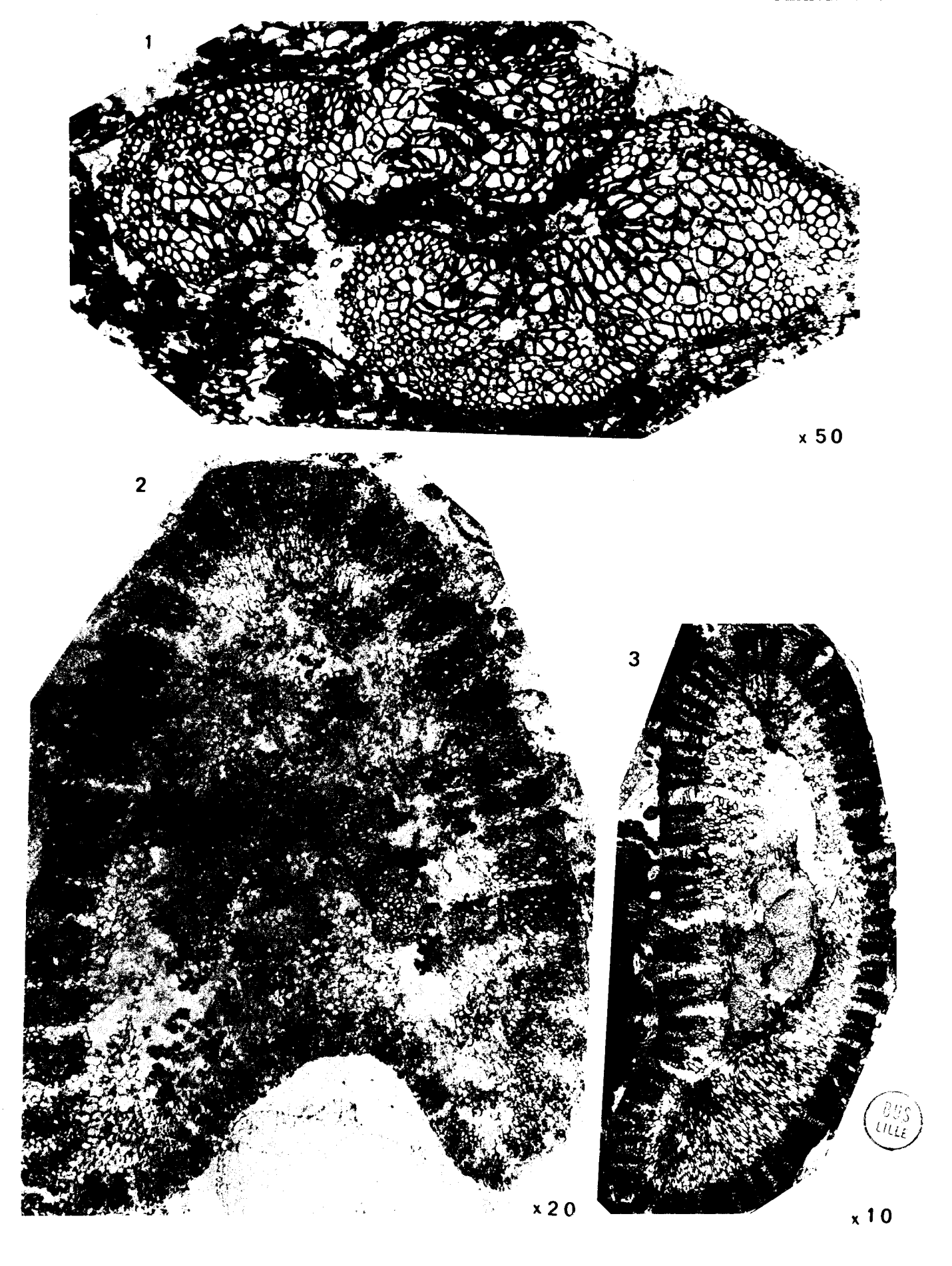
L'ame mince nº 77 Lx II.

Origine: Dulesgate (Lancashire).

Niveau: Coal Measures.

Collection: Université de Lille.

Gr. : = 10.



Coupes transversales pratiquées dans la région basale du rachis principal chez Lyginopteris oldhamia (BINNEY) POTONIÉ.

Fig. 1. - Lame mince no 3078.

Origine: Halifax (Yorkshire). Niveau: Coal Measures. Collection : Université de Lille. Gr. : = 20.

Fig. 2. - Lame mince no LM1.

Origine: Angleterre. Niveau: Coal Measures.

Collection: Université de Bruxelles.

Gr. : = 15.

Fig. 3. - Lame mince no 11.

Origine: Bacup (Lancashire). Niveau: Coal Measures. Collection: Université de Lille. Gr. : = 30.

Fig. 4. - Lame mince no 74 Lx II.

Origine: Dulesgate (Lancashire).

Niveau: Coal Measures.

Collection: Université de Lille.

Gr. : = 15.



Coupes transversales pratiquées dans la région basale du rachis principal chez Lyginopteris oldhamia (BINNEY) POTONIÉ.

Fig. 1. - Lame mince no 39.
Origine: Bacup (Lancashire).
Niveau: Coal Measures.

Collection: Université de Lille.

Gr. : = 15.

Fig. 2. - Lame mince no 32.

Origine: Dulesgate (Lancashire).

Niveau: Coal Measures.

Collection: Université de Lille.

Gr. : = 20.

Fig. 3. - Lame mince no 290.

Origine: Bacup (Lancashire).

Niveau: Coal Measures.

Collection: Université de Bruxelles.

Gr. : = 7.

Fig. 4. - Lame mince no 33.

Origine: Ruhr.

Niveau: Finefrau Nebenbank.

Collection: Institut Géologique de Krefeld.

Gr. : = 7.

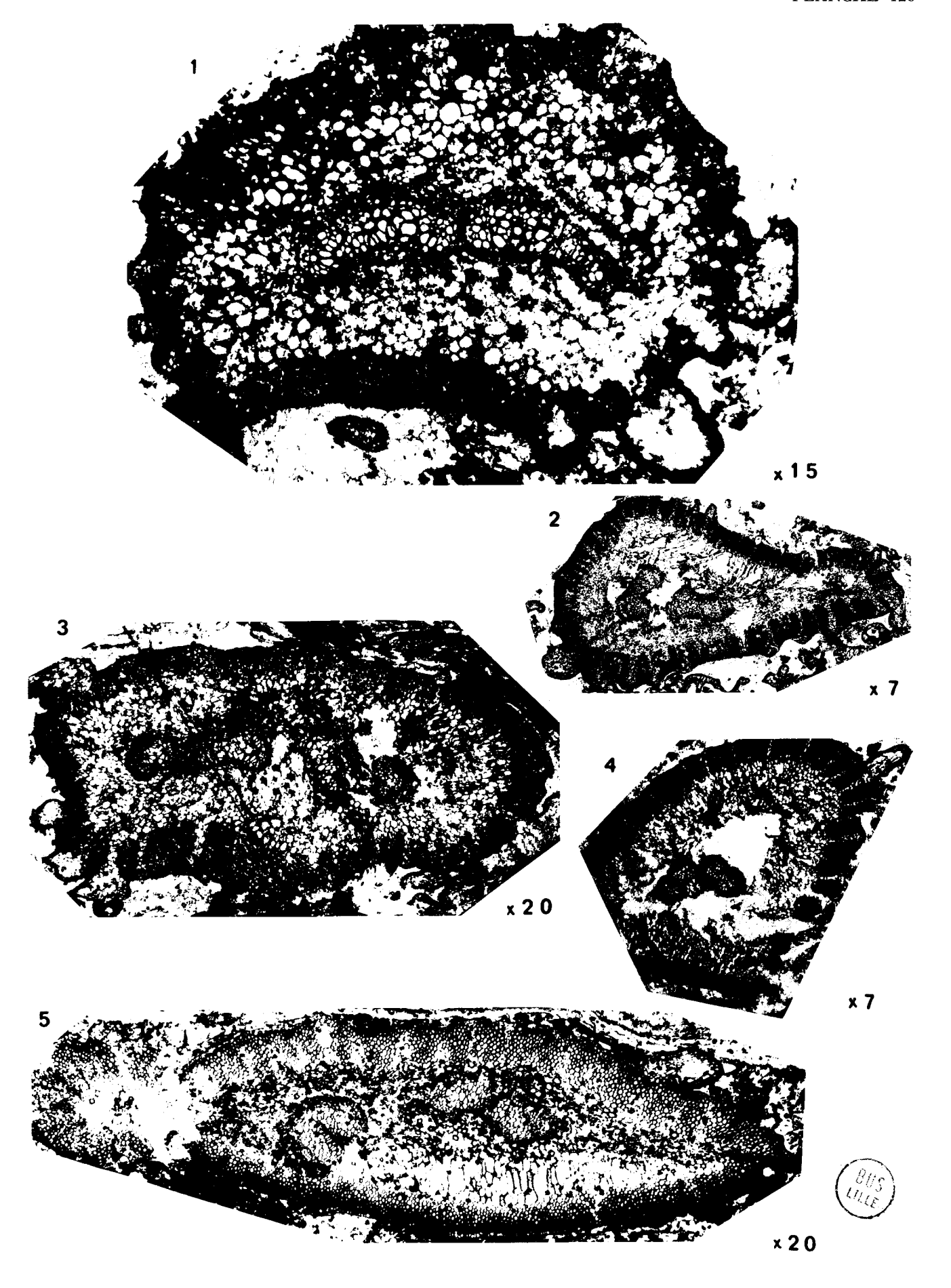
Fig. 5. - Lame mince no 2084.

Origine: Dulesgate (Lancashire).

Niveau: Coal Measures.

Collection: Londres (British Museum).

Gr. : = 20.



Coupes transversales pratiquées dans la région basale du rachis principal chez Lyginopteris oldhamia (BINNEY) POTONIÉ.

Fig. 1. – Lame mince no 28.

Origine: Dulesgate (Lancashire).

Niveau: Coal Measures.

Collection : Université de Lille.

Gr. : = 10.

Fig. 2. - Lame mince no 9.

Origine: Angleterre.

Niveau: Coal Measures.

Collection: Université de Lille.

Gr. : = 20.

Fig. 3. - Lame mince nº 28.

Origine: Dulesgate (Lancashire).

Niveau: Coal Measures.

Collection: Université de Lille.

Gr. : = 50.

Fig. 4. - Lame mince no 33.

Origine: Ruhr.

Niveau: Finefrau Nebenbank.

Collection: Institut Géologique de Krefeld.

Gr. : = 12.

Fig. 5. - Lame mince no 1 B/31.

Origine: Belgique.

Niveau: Bouxharmont.

Collection: Université de Liège.

Gr. : = 11.

Fig. 6. - Lame mince no 33.

Origine: Ruhr.

Niveau: Finefrau Nebenbank.

Collection : Institut Géologique de Krefeld.

Gr. : = 11.

Fig. 7. - Lame mince no 1396.

Origine: Shore Littleborough (Lancashire).

Niveau: Coal Measures.

Collection: Université de Glasgow.

Gr. : = 10.

Fig. 8. - Lame mince no 1 B/30.

Origine: Belgique.

Niveau: Bouxharmont.

Collection: Université de Liège.

Gr. : = 11.

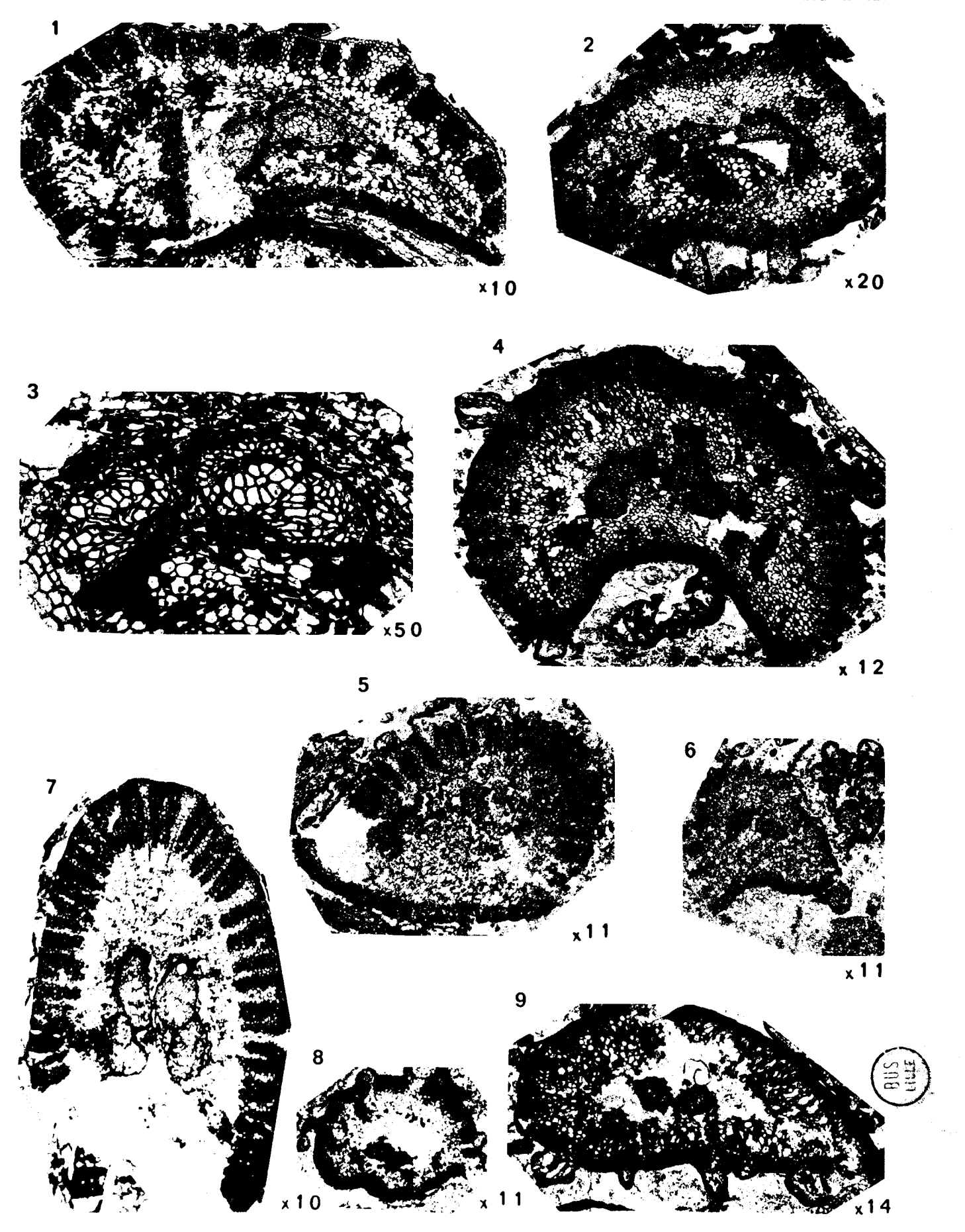
Fig. 9. - Lame mince no 33.

Origine: Ruhr.

Niveau: Finefrau Nebenbank.

Collection : Institut Géologique de Krefeld.

Gr. : = 14.



Coupes transversales pratiquées dans les régions basale et moyenne du rachis principal chez Lyginopteris oldhamia (Віммеу) Ротоміє.

Fig. 1. - Région basale.

Lame mince no 101.

Origine: Ostrau (Haute-Silésie).

Niveau: Cunegonde.

Collection: Université de Graz.

Gr. : = 10.

Fig. 2. - Région basale.

Lame mince no 49.

Origine: Dulesgate (Lancashire).

Niveau: Coal Measures.

Gr. : = 10.

Fig. 3. - Région moyenne.

Lame mince nº 20 Lx I.

Origine: Bacup (Lancashire).

Niveau: Coal Measures.

Collection : Université de Lille.

Gr. : = 20.

Fig. 4. - Région moyenne.

Lame mince no 39.

Origine: Baçup (Lancashire).

Niveau: Coal Measures.

Collection: Université de Lille.

Gr. : = 15.

Fig. 5. - Région moyenne.

Lame mince no 78.

Origine: Shore Littleborough (Lancashire).

Niveau: Coal Measures.

Gr. : = 20.

Fig. 6. - Région moyenne.

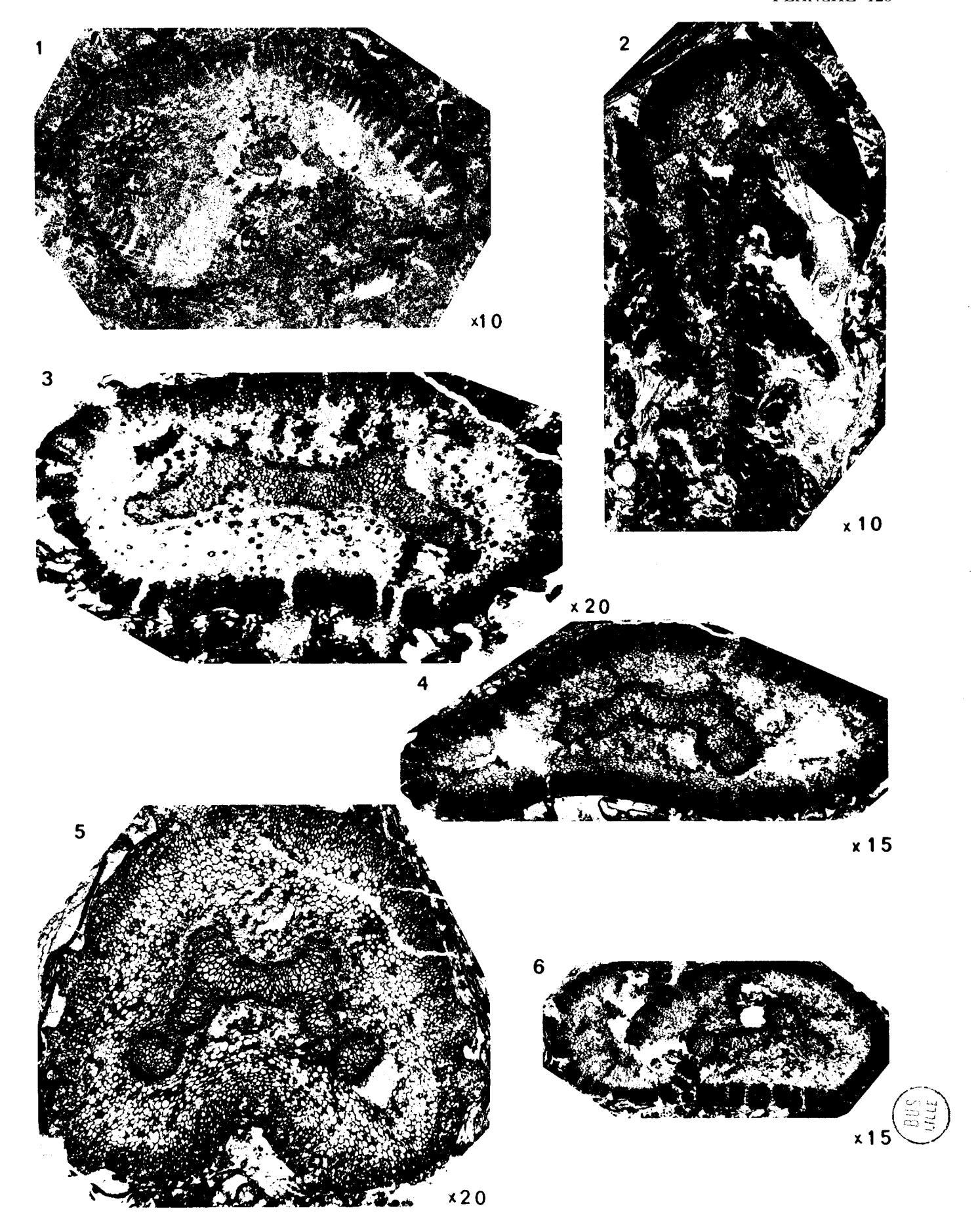
Lame mince nº 8 (1758).

Origine: Dulesgate (Lancashire).

Niveau: Coal Measures.

Collection: Université de Lille.

Gr. : = 15.



Coupes transversales pratiquées dans la région moyenne du rachis principal chez Lyginopteris oldhamia (BINNEY) POTONIÉ.

Fig. 1. - Peel Section no P 1.
Origine: Angleterre.
Niveau: Coal Measures.
Collection: Londres (Imperial College).
Gr.: = 5.

Fig. 2. – Lame mince nº 1 (1751).

Origine: Dulesgate (Lancashire).

Niveau: Coal Measures.

Collection: Université de Lille.

Gr.: = 15.

Fig. 3. – Lame mince nº 24 Lx I (1775).

Origine: Bacup (Lancashire).

Niveau: Coal Measures.

Collection: Université de Lille.

Gr.: = 10.

Fig. 4. – Lame mince nº 19 (1770).

Origine: Bacup (Lancashire).

Niveau: Coal Measures.

Collection: Université de Lille.

Gr. := 20.

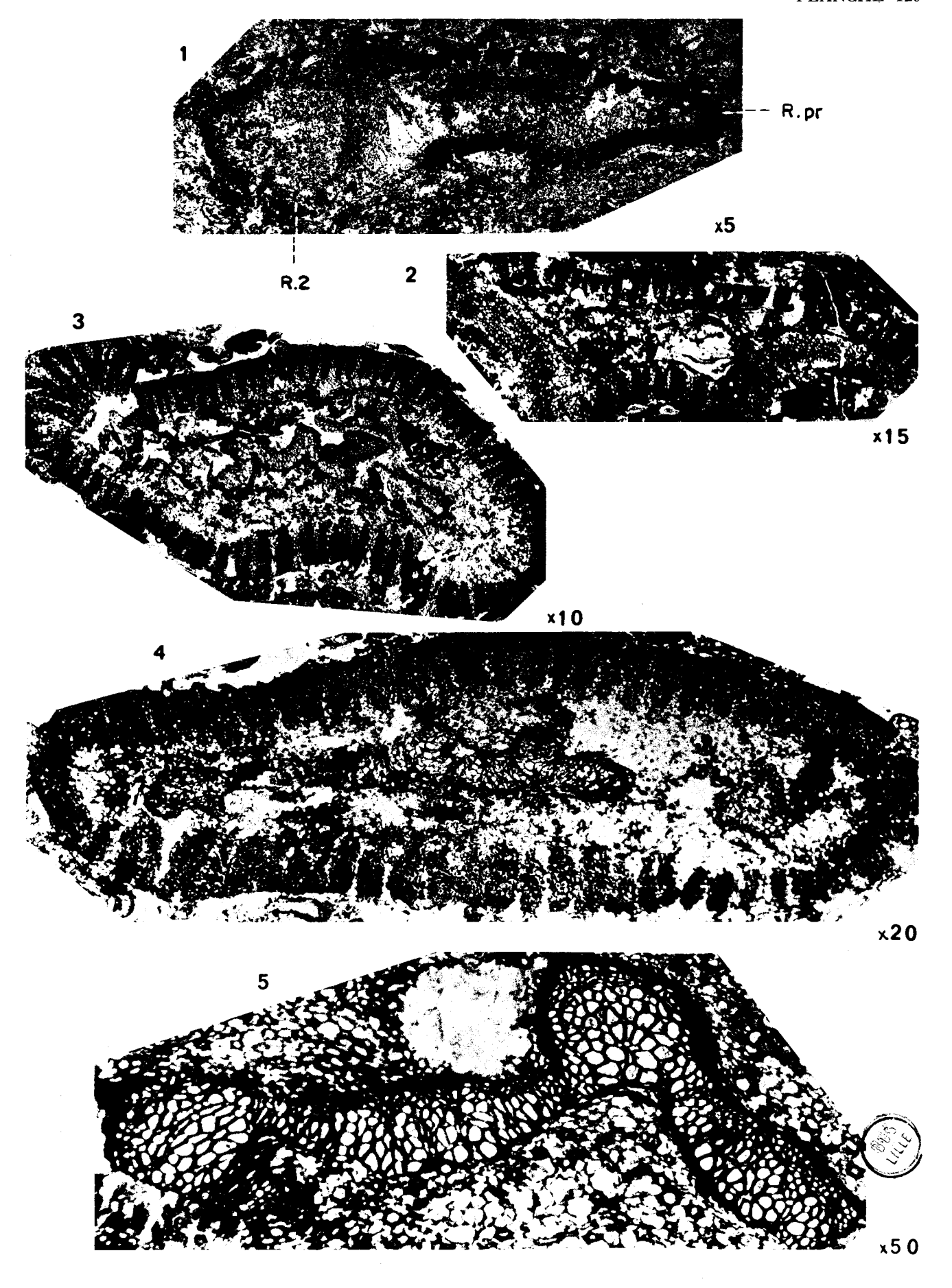
Fig. 5. – Lame mince nº 8458.

Origine: Dulesgate (Lancashire).

Niveau: Coal Measures.

Collection: Université de Lille.

Gr.: = 50.



Coupes transversales du bois primaire dans la région moyenne du rachis principal chez Lyginopteris oldhamia (BINNEY) POTONIÉ.

Fig. 1. - Lame mince no 20 Lx I. Origine: Bacup (Lancashire). Niveau: Coal Measures. Collection: Université de Lille. Gr. : = 50.

Fig. 2. - Lame mince no 24 Lx I. Origine: Bacup (Lancashire). Niveau: Coal Measures. Collection: Université de Lille.

Gr. : = 50.

Fig. 3. - Lame mince no 1. Origine: Dulesgate (Lancashire). Niveau: Coal Measures. Collection: Université de Lille. Gr. : = 50.



Coupes transversales pratiquées dans la région supérieure du rachis principal chez Lyginopteris oldhamia (BINNEY) POTONIÉ.

Fig. 1. - Lame mince no M 0 14.

Origine: Shore Littleborough (Lancashire).

Niveau: Coal Measures.

Collection: Londres (University College).

Gr. : = 20.

Fig. 2. - Lame mince no 2235.

Origine: Shore Littleborough (Lancashire).

Niveau: Coal Measures.

Collection: Université de Glasgow.

Gr. : = 10.

Fig. 3. - Lame mince no 22 Lx I.

Origine: Bacup (Lancashire).

Niveau: Coal Measures.

Collection: Université de Lille.

Gr. : = 10.

Fig. 4. - Lame mince no M 50 w.

Origine: Sharney Ford (Lancashire).

Niveau: Coal Measures.

Collection: Londres (University College).

Gr. : = 15.

Fig. 5. - Lame mince no 22 Lx I 1773.

Origine: Bacup (Lancashire).

Niveau: Coal Measures.

Collection: Université de Lille.

Gr. : = 10.

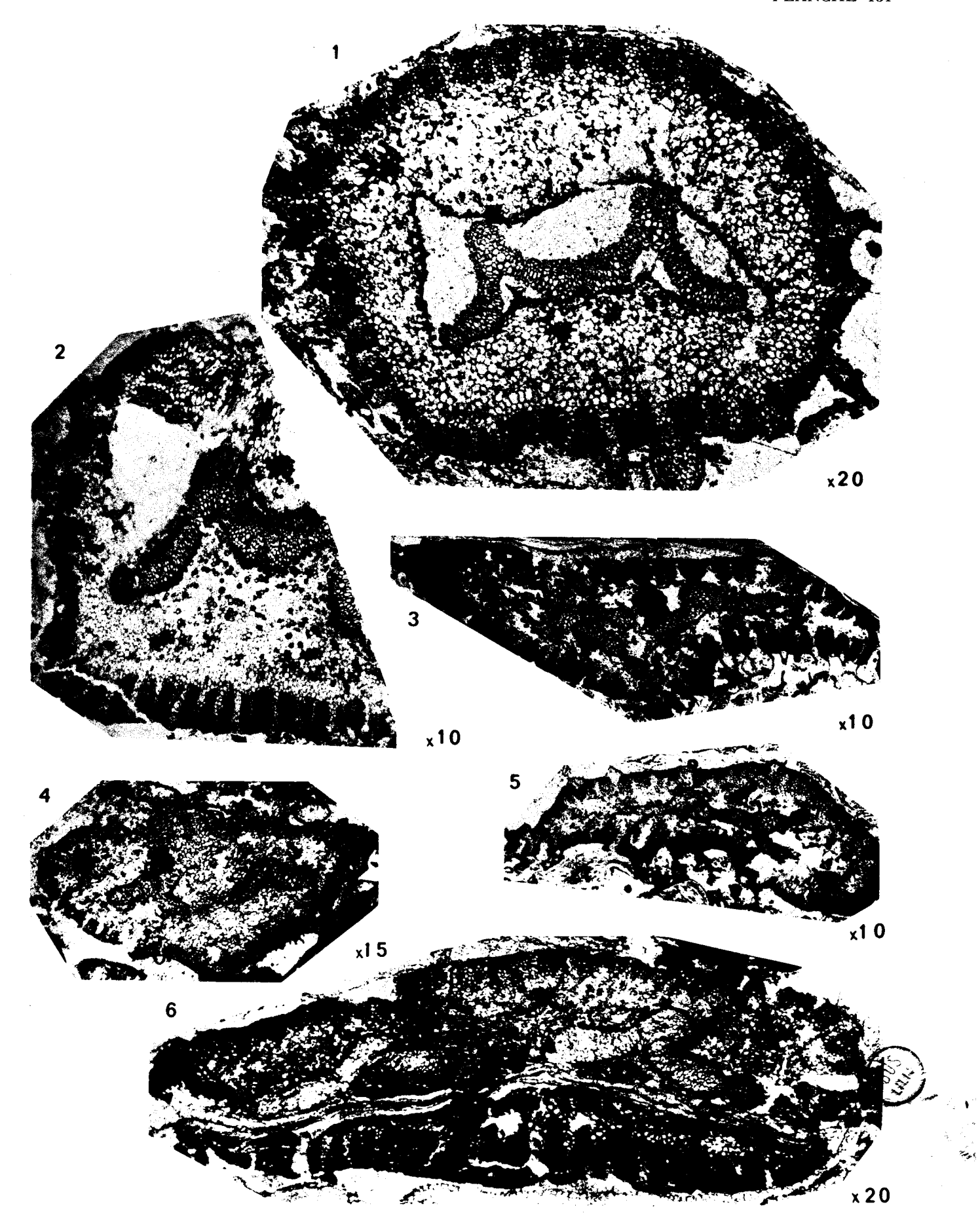
Fig. 6. - Lame mince no M 25 a.

Origine: Dulesgate (Lancashire).

Niveau: Coal Measures.

Collection: Londres (University College).

Gr. : = 20.



Coupes transversales du bois primaire pratiquées dans la région sommitale du rachis principal et dans le rachis primaire.

Fig. 1. - Rachis primaire.

Lame mince no M 25 b.

Origine: Dulesgate (Lancashire).

Niveau: Coal Measures.

Collection: Londres (University College).

Gr. : = 50.

Fig. 2. - Rachis principal.

Lame mince nº 22 Lx II.

Origine: Bacup (Lancashire).

Niveau: Coal Measures.

Collection: Université de Lille.

Gr. : = 50.

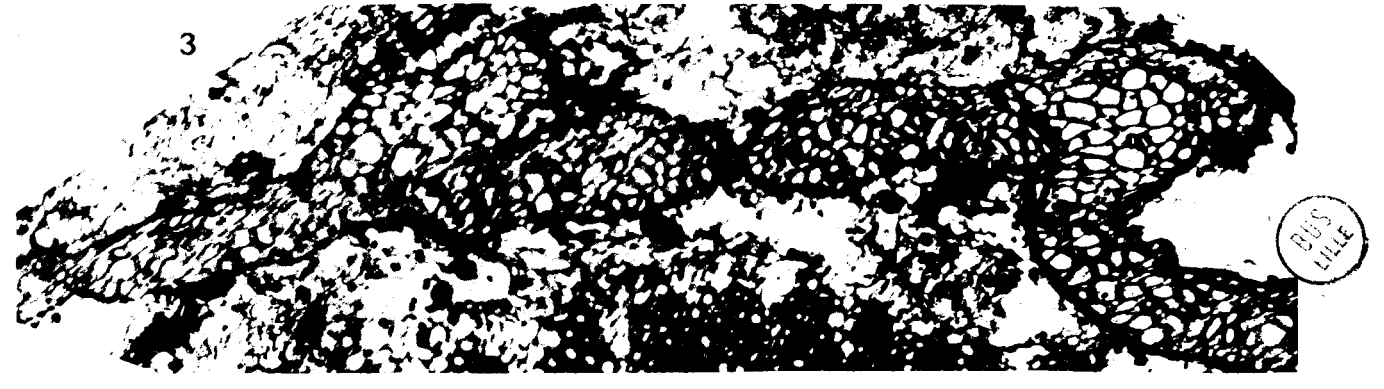
Fig. 3. - Rachis principal.

Lame mince nº 22 Lx I.

Origine: Bacup (Lancashire).

Niveau: Coal Measures





Coupes transversales pratiquées dans la région supérieure du rachis principal et dans le rachis primaire chez Lyginopteris oldhamia (BINNEY) POTONIÉ.

Fig. 1. - Rachis principal.

Lame mince nº 27 Lx I. Origine: Bacup (Lancashire). Niveau: Coal Measures. Collection: Université de Lille. Gr.: = 20.

Fig. 2. - Rachis principal.

Lame mince n° 27 Lx II. Origine: Bacup (Lancashire). Niveau: Coal Measures. Collection: Université de Lille. Gr.: = 20.

Fig. 3. - Rachis primaire.

Lame mince nº 33.
Origine: Ruhr.
Niveau: Finefrau Nebenbank.
Collection: Institut géologique de Krefeld.
Gr.: = 9.

Fig. 4. - Rachis primaire.

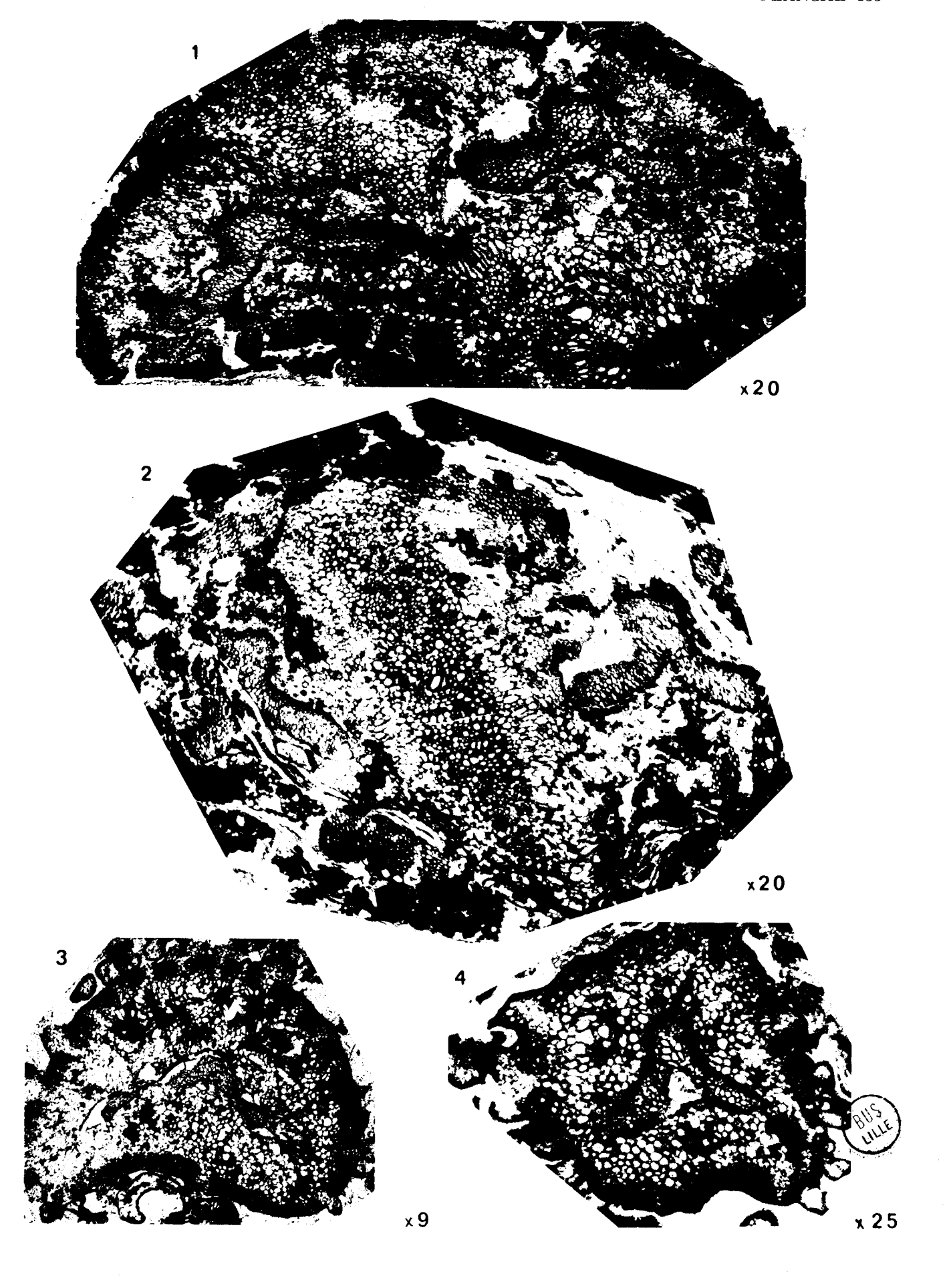
Lame mince no 19.

Origine: Bassin houiller de la Ruhr.

Niveau: Katharina.

Collection : Institut Géologique de Krefeld.





Coupes transversales pratiquées dans les rachis secondaires chez Lyginopteris oldhamia (BINNEY) POTONIÉ.

Fig. 1. - Lame mince no 2534.

Origine: Angleterre.

Niveau: Coal Measures.

Collection: Londres (British Museum).

Gr.: = 30.

Fig. 2. – Lame mince nº 102 Lx II.
Origine: Stanley Bridge (Yorkshire).
Niveau: Coal Measures.
Collection: Université de Lille.
Gr.: = 20.

Fig. 3. – Lame mince nº N 13.
Origine: Ostrau (Haute-Silésie).
Niveau: Katharina.
Collection: Université de Graz.
Gr.: = 10.

Fig. 4. – Lame mince nº 33.

Origine: Ruhr.

Niveau: Finefrau Nebenbank.

Collection: Institut Géologique de Krefeld.

Gr.: = 15.

Fig. 5. – Lame mince nº 686.

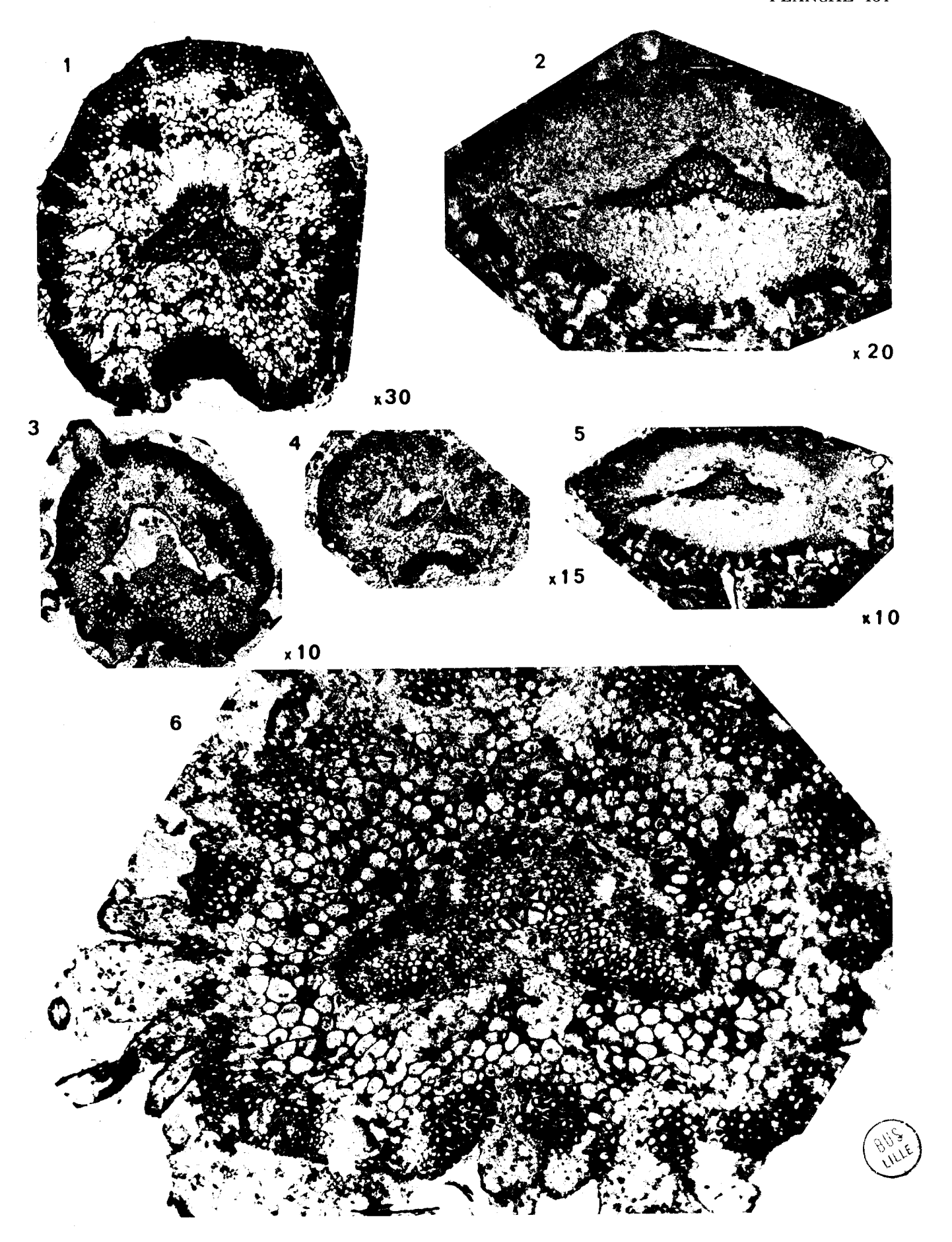
Origine: Dulesgate (Lancashire).

Niveau: Coal Measures.

Collection: Université de Glasgow.

Gr.: = 10.

Fig. 6. – Lame mince nº 1 à 17. Origine : Ruhr. Niveau : ? Collection : Université de Lille. Gr. : = 50.



Coupes transversales des rachis primaires, secondaires... et dans les pinnules chez Lyginopteris oldhamia (BINNEY) Potonié.

Fig. 1. - Rachis secondaire.

Lame mince no I A 13.

Origine: Ruhr.

Niveau:?

Collection: Université de Lille.

Gr. : = 20.

Fig. 2. - Rachis secondaire.

Lame mince no 38.

Origine: Bacup (Lancashire).

Niveau: Coal Measures.

Collection: Université de Lille.

Gr. : = 30.

Fig. 3. - Rachis secondaire ou tertiaire.

Lame mince nº 253.

Origine: Angleterre.

Niveau: Coal Measures.

Collection: Université de Glasgow.

Gr. : = 20.

Fig. 4. - Pinnule.

Lame mince no 11.

Origine: Angleterre.

Niveau: Coal Measures.

Collection: Université de Lille.

Gr. : = 35.

Fig. 5. - Pinnule.

Lame mince no 60 Lx II.

Origine: Angleterre.

Niveau: Coal Measures.

Collection: Université de Lille.

Gr. : = 35.

Fig. 6. - Pinnule.

Lame mince no 60 Lx II.

Origine: Dulesgate (Lancashire).

Niveau: Coal Measures.

Collection : Université de Lille.

Gr. : = 50.

Fig. 7. - Rachis primaire.

Lame mince no 31 (1781).

Origine: Dulesgate (Lancashire).

Niveau: Coal Measures.

Collection: Université de Lille.

Gr. : = 50.

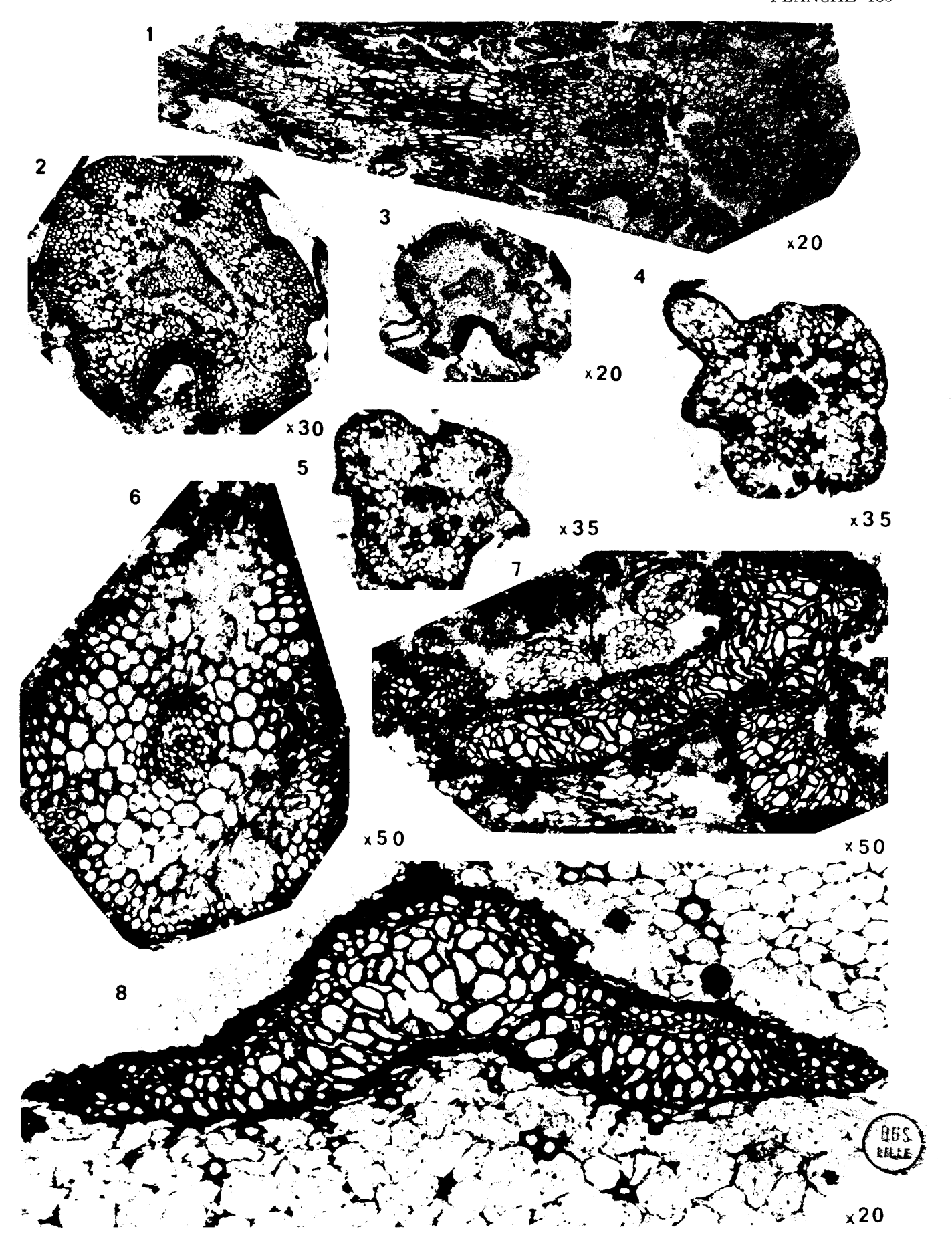
Fig. 8. - Rachis secondaire.

Lame mince no 102 Lx II.

Origine: Stanley Bridge (Yorkshire).

Niveau: Coal Measures.

Collection: Université de Lille.



Bois secondaire dans les pétioles de Lyginopteris oldhamia (BINNEY) POTONIÉ.

Fig. 1. - Lame mince no M 25 c.

Origine: Dulesgate (Lancashire).

Niveau: Coal Measures.

Collection: Londres (University College).

Gr. : = 20.

Fig. 2. - Lame mince no M 25 f.

Origine: Dulesgate (Lancashire).

Niveau: Coal Measures.

Collection: Londres (University College).

Gr. : = 20.

Fig. 3. - Lame mince nº M 25 g.

Origine: Dulesgate (Lancashire). Niveau: Coal Measures.

Collection: Londres (University College).

Gr. : = 20.

Fig. 4. – Lame mince no 17.

Origine: Dulesgate (Lancashire).

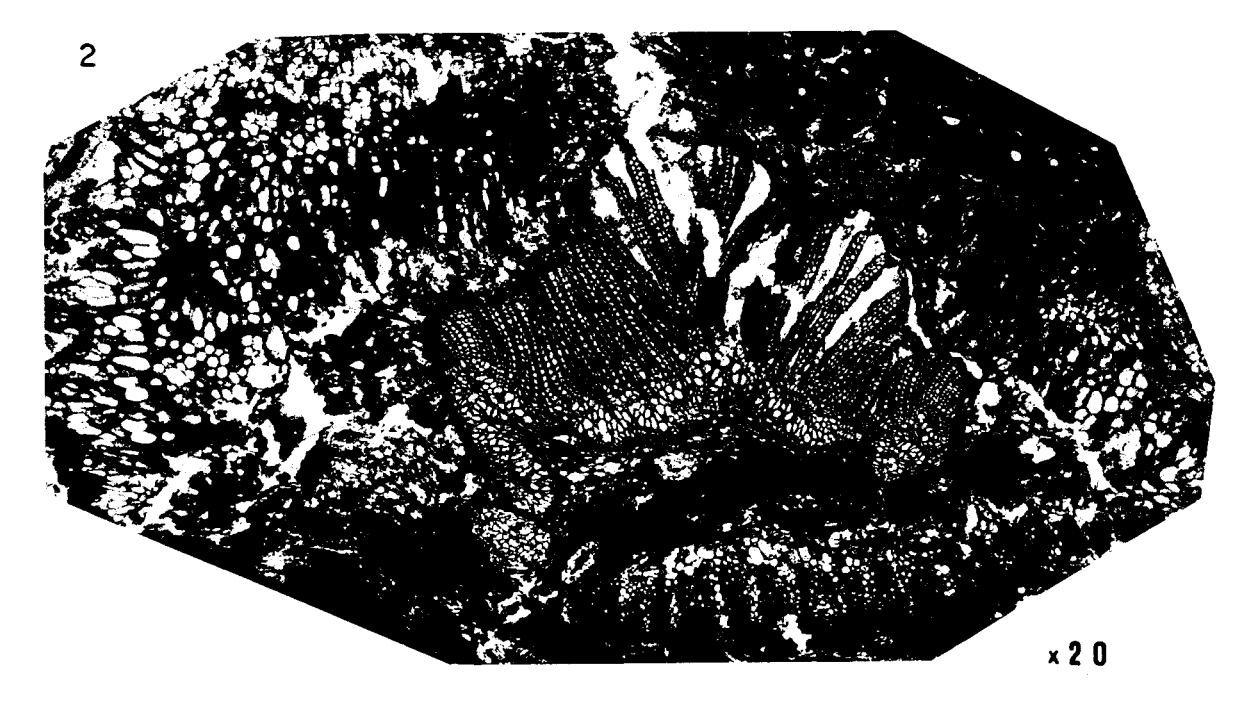
Niveau: Coal Measures.

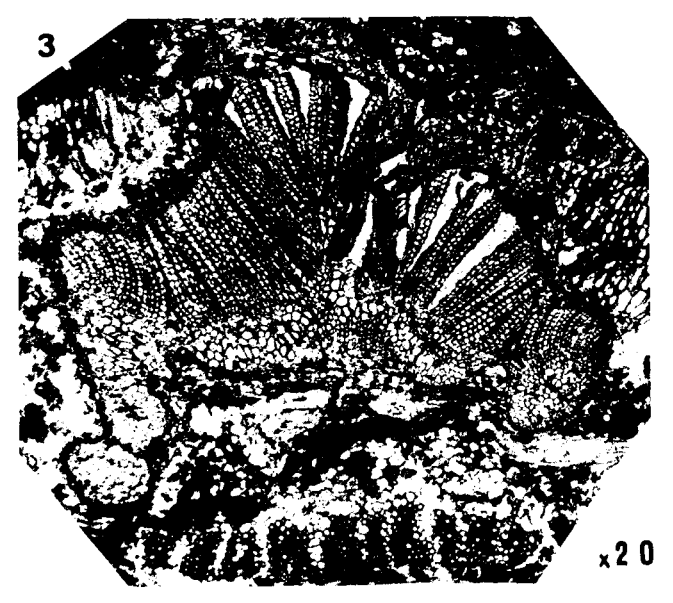
Collection: Université de Lille.

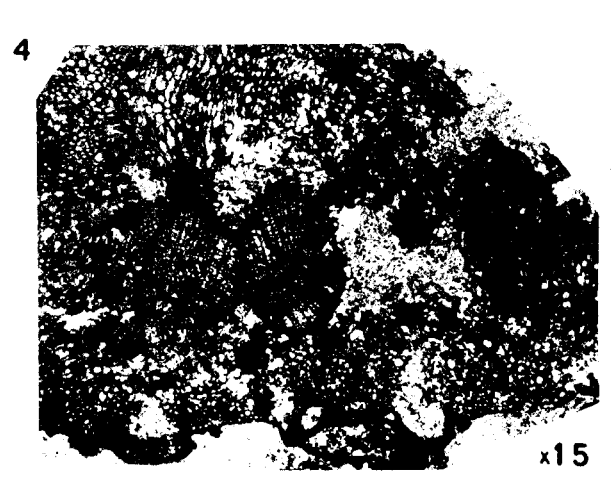
Gr. : = 15.



× 2 0









Coupes longitudinales de fragments de pennes chez Lyginopteris oldhamia (BINNEY) POTONIÉ.

Fig. 1. – Lame mince no 334.

Origine: Dulesgate (Lancashire).

Niveau: Coal Measures.

Collection: Université de Bruxelles.

Gr. : = 2.

Fig. 2. - Lame mince no 17.

Origine: Dulesgate (Lancashire).

Niveau: Coal Measures.

Collection: Université de Lille.

Gr. : = 20.

Fig. 3. - Lame mince no 17.

Origine: Dulesgate (Lancashire).

Niveau: Coal Measures.

Collection: Université de Lille.

Gr. : = 50.

Fig. 4. - Lame mince no 17.

Origine: Dulesgate (Lancashire).

Niveau: Coal Measures.

Collection : Université de Lille.

Gr. : = 20.

Fig. 5. - Lame mince no 17.

Origine: Dulesgate (Lancashire).

Niveau: Coal Measures.

Collection: Université de Lille.



Coupe longitudinale d'un fragment de penne chez Lyginopteris oldhamia (BINNEY) POTONIÉ.

Fig. 1. – Lame mince nº 46.
Origine: Dulesgate (Lancashire).
Niveau: Coal Measures.
Collection: Université de Lille.
Gr.: = 20.



Coupes longitudinales de pétioles chez Lyginopteris oldhamia (BINNEY) POTONIÉ.

Fig. 1. - Lame mince no 21.

Origine: Dulesgate (Lancashire).

Niveau: Coal Measures.

Collection: Université de Lille.

Gr. : = 60.

Fig. 2. - Lame mince no 32.

Origine: Dulesgate (Lancashire).

Niveau: Coal Measures.

Collection: Université de Lille.

Gr. : = 100.

Fig. 3. - Lame mince no 23 Lx I.

Origine: Dulesgate (Lancashire).

Niveau: Coal Measures.

Collection: Université de Lille.

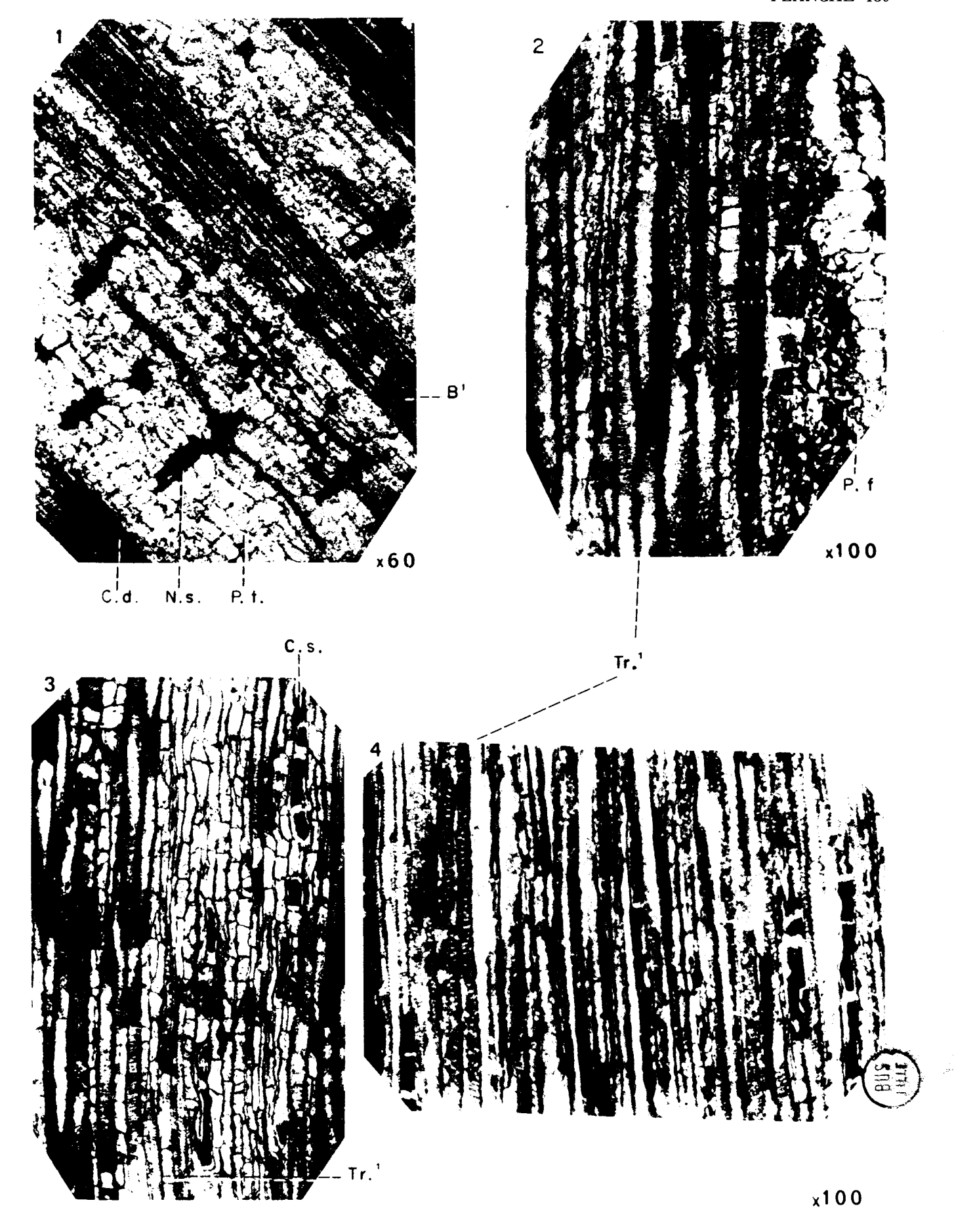
Gr. : = 100.

Fig. 4. - Lame mince no 54 Lx II.

Origine: Dulesgate (Lancashire). Niveau: Coal Measures.

Collection: Université de Lille.

Gr. : = 100.



Coupes transversales de tiges de Lyginopteris (= Lyginodendron) lacunosum Kubart (ramifications du type II) chez Lyginopteris oldhamia (BINNEY) POTONIÉ.

Fig. 1. - Lame mince no 135 y.

Origine: Ostrau (Haute-Silésie).

Niveau: Coaksflöz.

Collection: Université de Graz.

Gr. : = 6.

Fig. 2. - Lame mince nº 28 C 295.

Origine: Ostrau (Haute-Silésie).

Niveau: Coaksflöz.

Collection: Université de Graz.

Gr. : = 6.

Fig. 3. - Lame mince no 28 C (295).

Origine: Ostrau (Haute-Silésie).

Niveau: Coaksflöz.

Collection: Université de Graz.

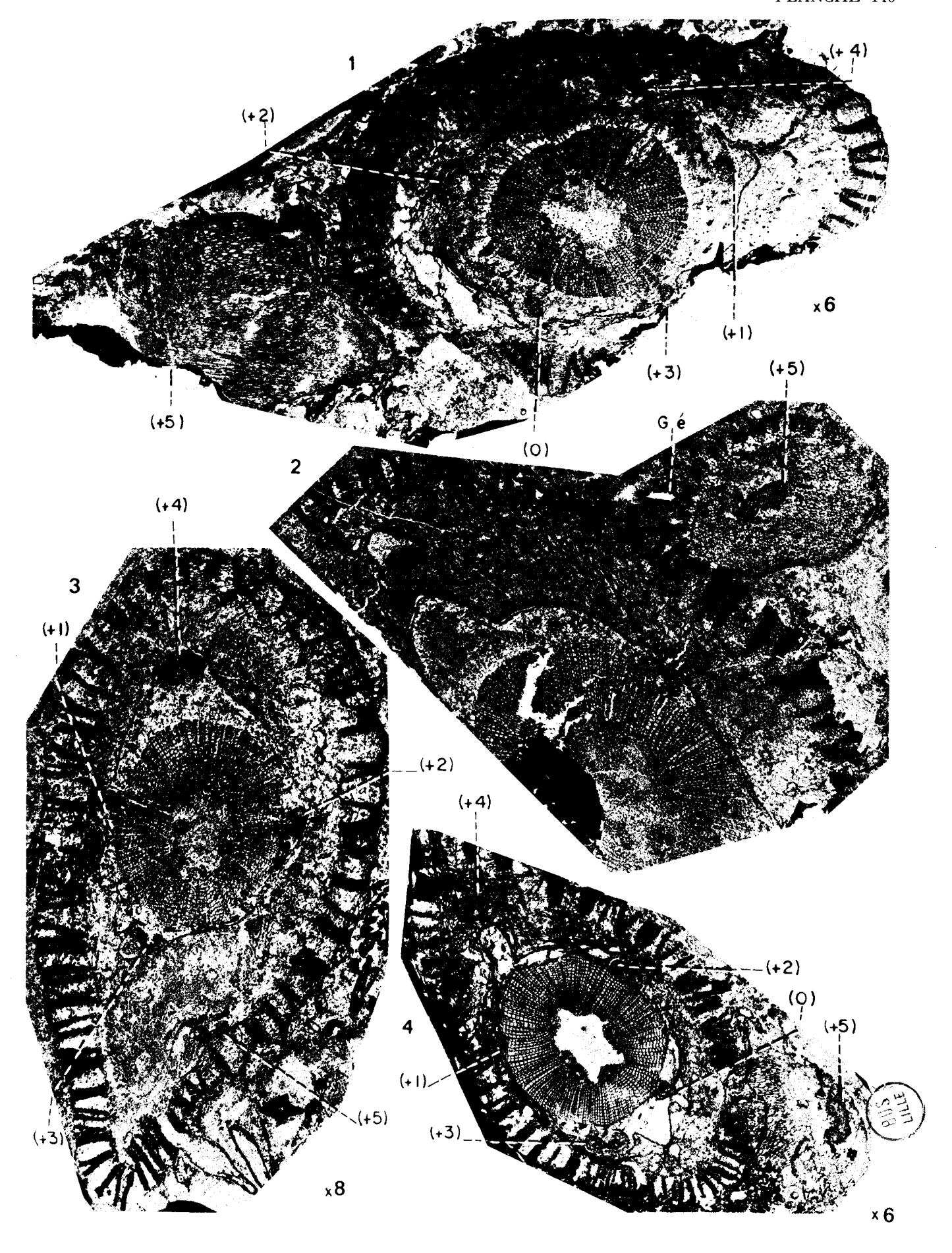
Gr. : = 8.

Fig. 4. - Lame mince no 201.

Origine: Ostrau (Haute-Silésie).

Niveau: Coaksflöz.

Collection: Université de Graz.



Coupes transversales de tiges de Lyginopteris (= Lyginodendron) lacunosum Kubart (ramifications du type II) chez Lyginopteris oldhamia (BINNEY) POTONIÉ.

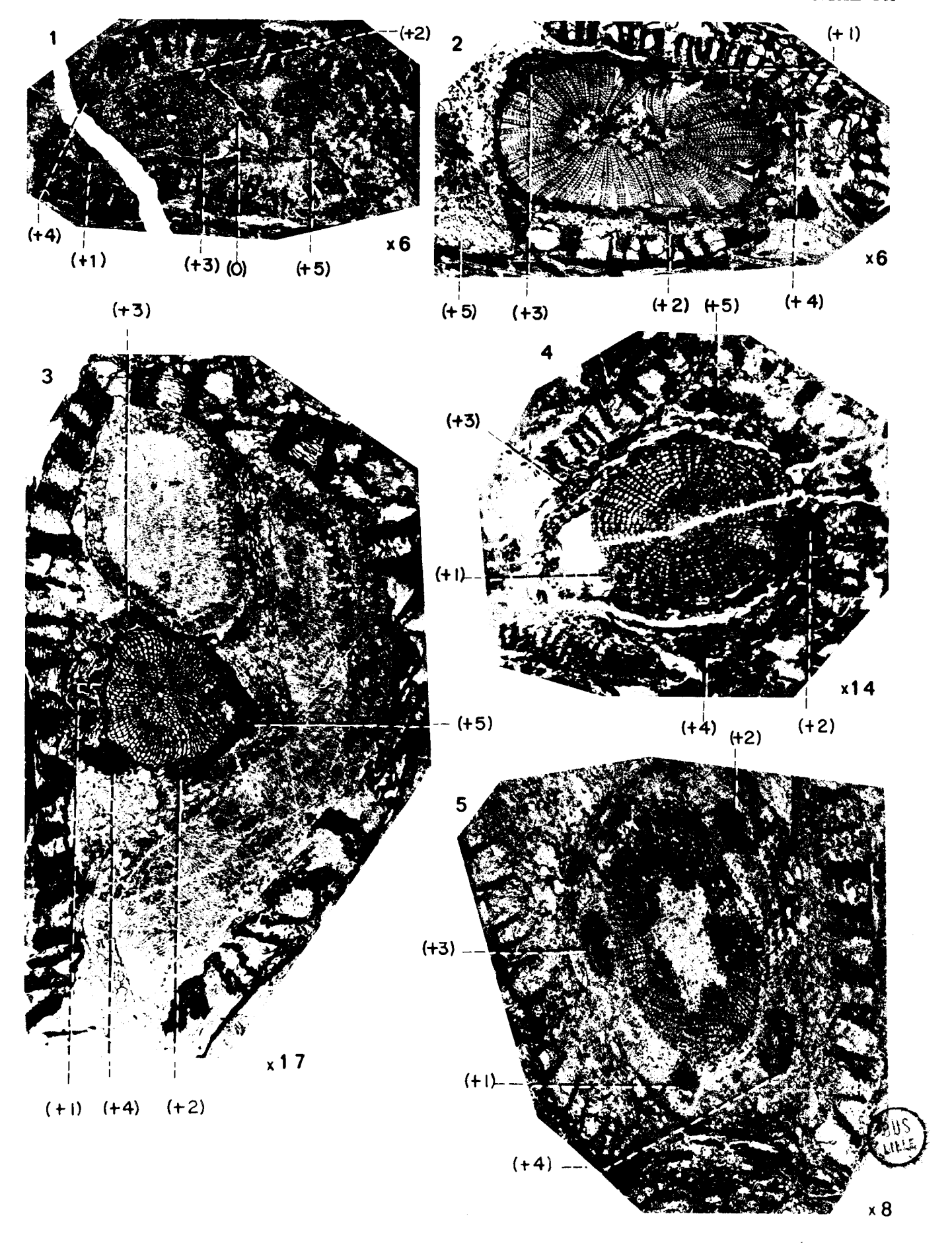
- Fig. 1. Lame mince nº 114 g (137).
 Origine: Ostrau (Haute-Silésie).
 Niveau: Coaks/löz.
 Collection: Université de Graz.
 Gr.: = 6.
- Fig. 2. Lame mince nº 1735.

 Origine: Halifax (Lancashire).

 Niveau: Coal Measures.

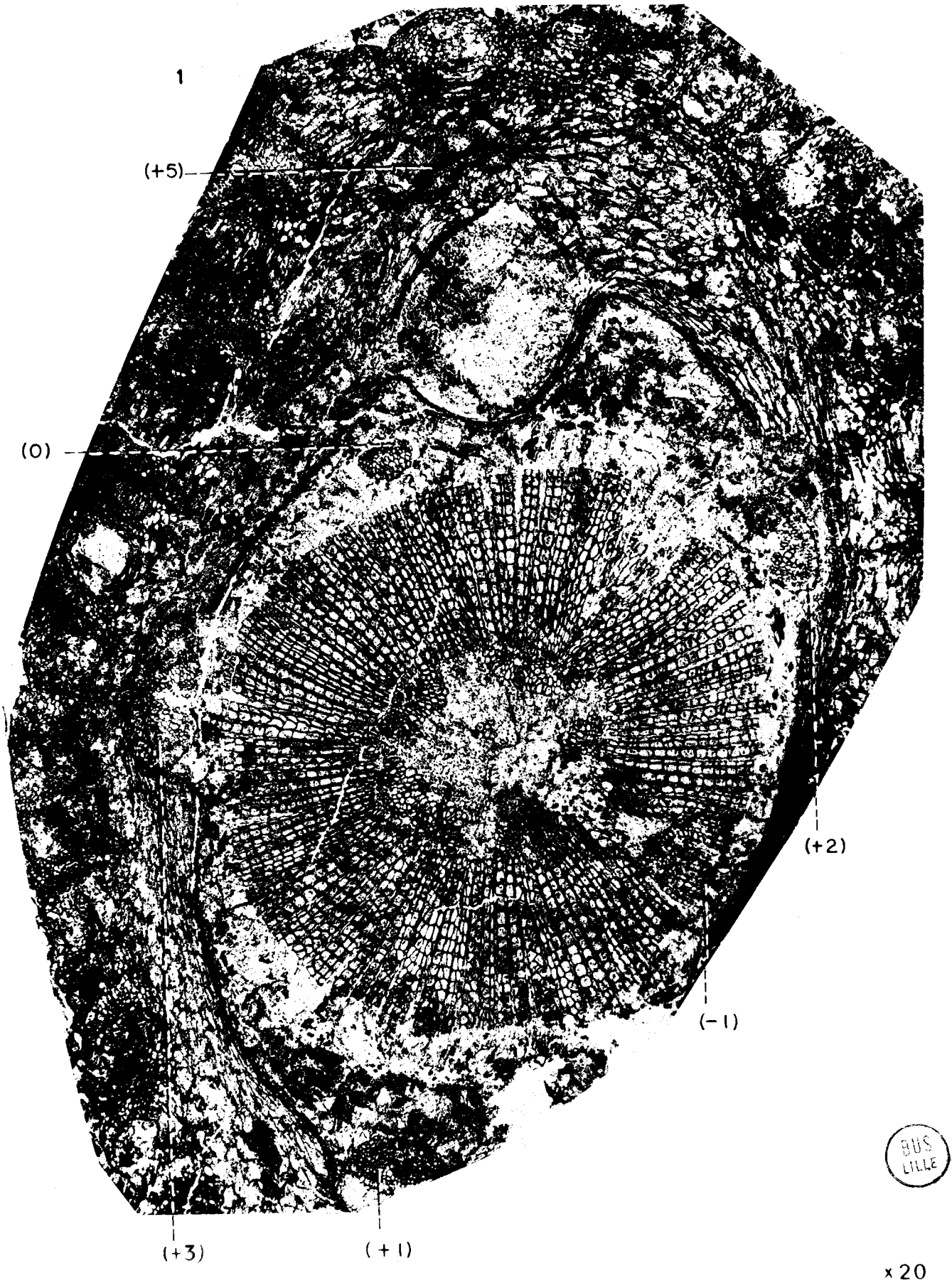
 Collection: Université de Glasgow.

 Gr.: = 6.
- Fig. 3. Lame mince nº 113 (N 34).
 Origine: Ostrau (Haute-Silésie).
 Niveau: Coaks/löz.
 Collection: Université de Graz.
 Gr.: = 17.
- Fig. 4. Lame mince nº 240. Origine : Ostrau (Haute-Silésie). Niveau : Coaks/löz. Collection : Université de Graz. Gr. : = 14.
- Fig. 5. Lame mince nº 1997.
 Origine: Angleterre.
 Niveau: Coal Measures.
 Collection: Université de Lille.
 Gr.: = 8.



Coupe transversale d'une tige de Lyginopteris (= Lyginodendron) heterangioides Kubart (ramification du type II) chez Lyginopteris oldhamia (BINNEY) POTONIÉ.

Fig. 1. – Lame mince nº 3457. Origine : Haute-Silésie. Niveau : Katharina. Collection : Londres (British Museum).



Lyginopteris (= Lyginodendron) heterangioides Kubart (ramification du type II) chez Lyginopteris oldhamia (Binney) Potonié.

Fig. 1. - Coupe transversale d'une tige.

Lame mince nº b. Origine : *Haute-Silésie*. Niveau : *Katharina*.

Collection: Université de Graz.

Gr. : = 15.

Fig. 2. – Détail du faisceau (+ 5) d'une tige.

Lame mince nº 90 T (183). Origine: Haute-Silésie. Niveau: Katharina.

Collection : Université de Graz.

Gr. : = 30.

Fig. 3. - Détail du faisceau (+ 2) d'une tige.

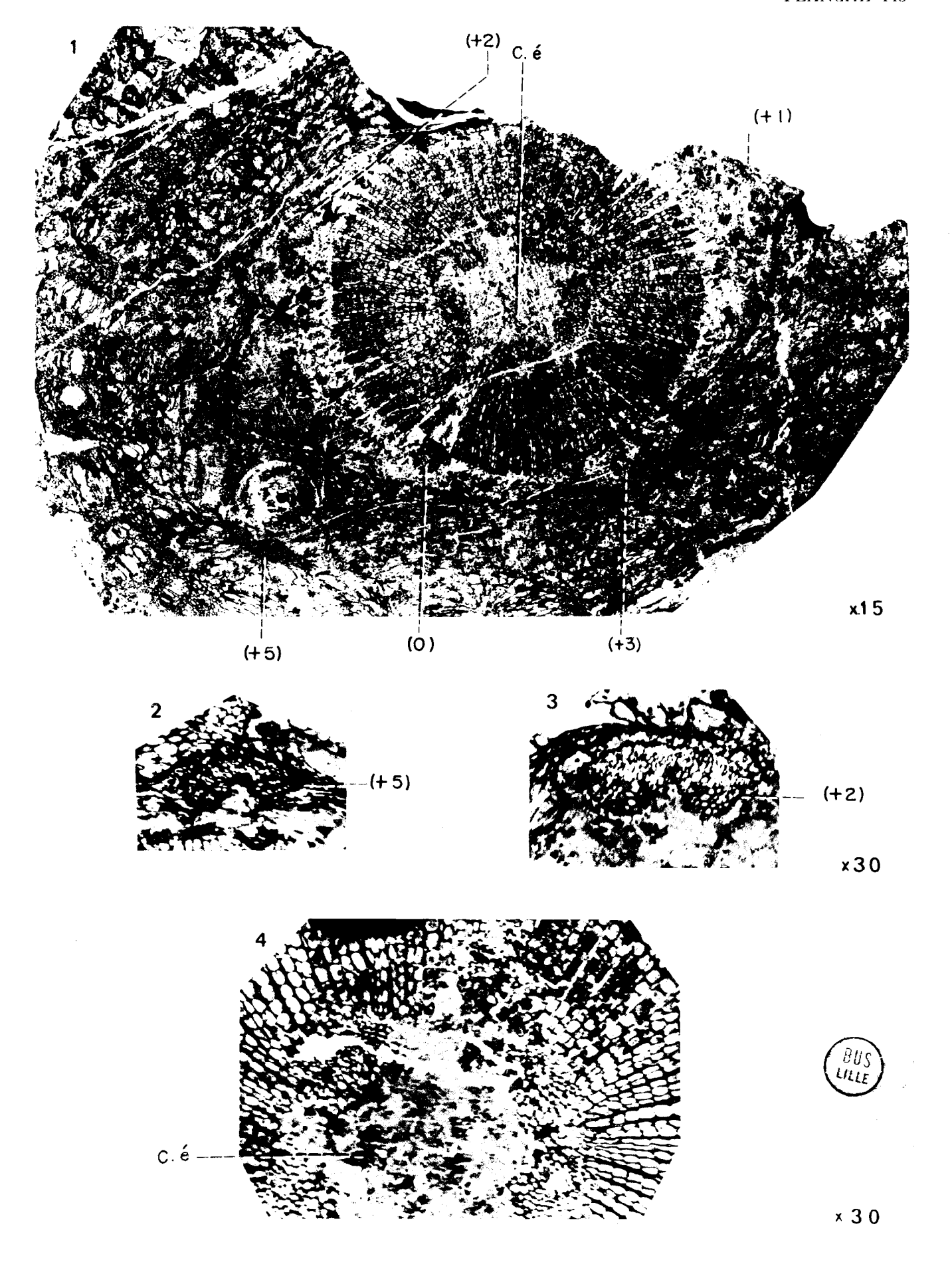
Lame mince nº 90 T (183). Origine : Haute-Silésie. Niveau : Katharina. Collection : Université de Graz.

Gr. : = 30.

Fig. 4. – Détail de la région médullaire d'une tige.

Lame mince nº 90 T (183). Origine: Haute-Silésie. Niveau: Katharina.

Collection: Université de Graz.



Différents aspects de la sclérification médullaire chez Lyginopteris oldhamia (BINNEY) POTONIÉ.

Fig. 1. - Lame mince no 185 A436.

Origine: Shore Littleborough (Lancashire).

Niveau: Coal Measures.

Collection : Université de Graz.

Gr. : = 6.

Fig. 2. - Lame mince no 71 Lx II.

Origine: Dulesgate (Lancashire).

Niveau: Coal Measures.

Collection: Université de Lille.

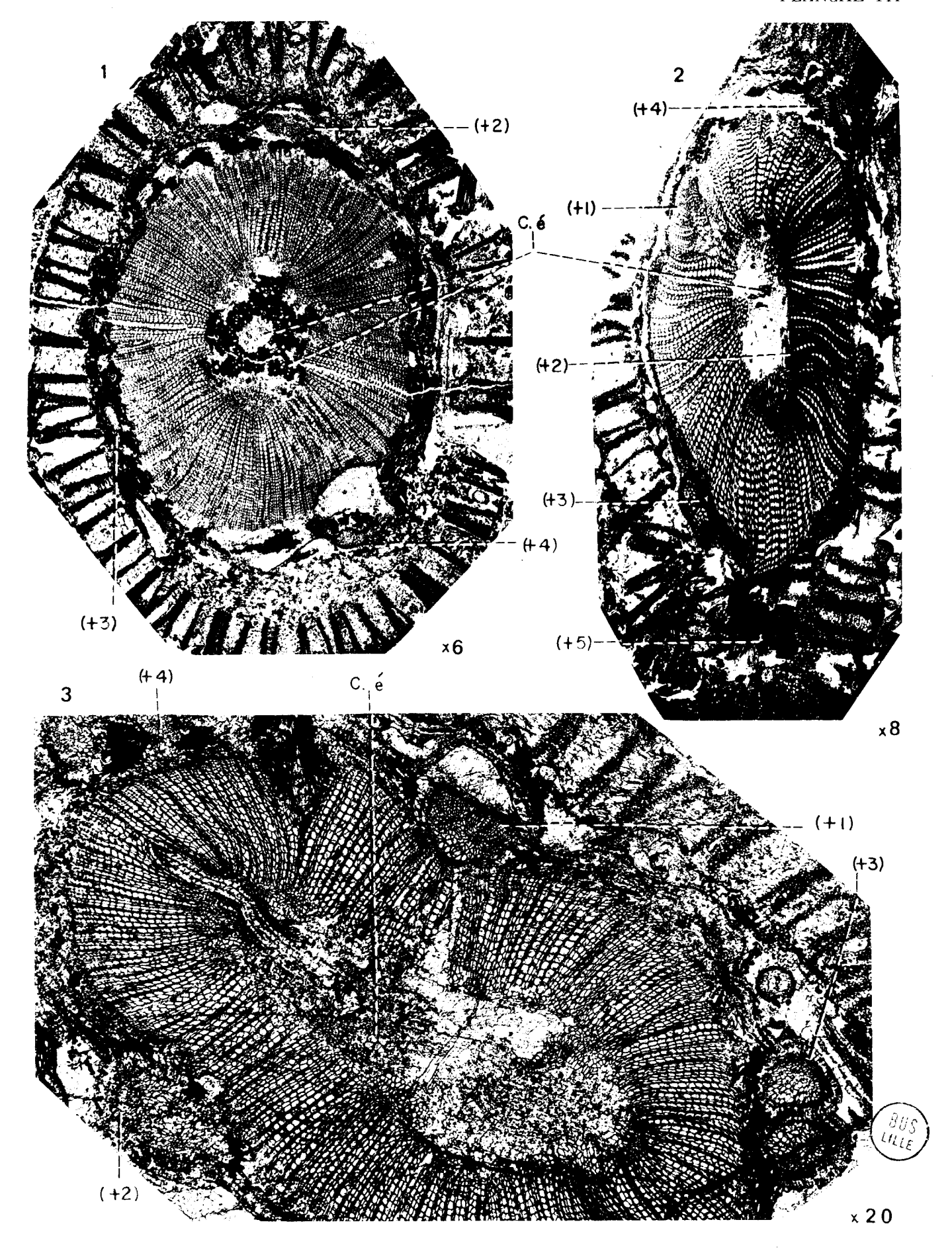
Gr. : = 8.

Fig. 3. - Lame mince nº K¹ (sans nº).

Origine: Ruhr.

Niveau: Finefrau Nebenbank.

Collection: Institut Géologique de Krefeld.



Un aspect de la sclérification médullaire chez Lyginopteris oldhamia (BINNEY) POTONIÉ. Coupe transversale d'une tige de Lyginopteris (= Lyginodendron) austriacum Kubart (ramification du type I) chez Lyginopteris oldhamia (BINNEY) POTONIÉ.

Fig. 1. - Sclérification médullaire.

Lame mince no K2.

Origine: Ruhr.

Niveau: Finefrau Nebenbank.

Collection: Institut Géologique ae Krefeld.

Gr. : = 6.

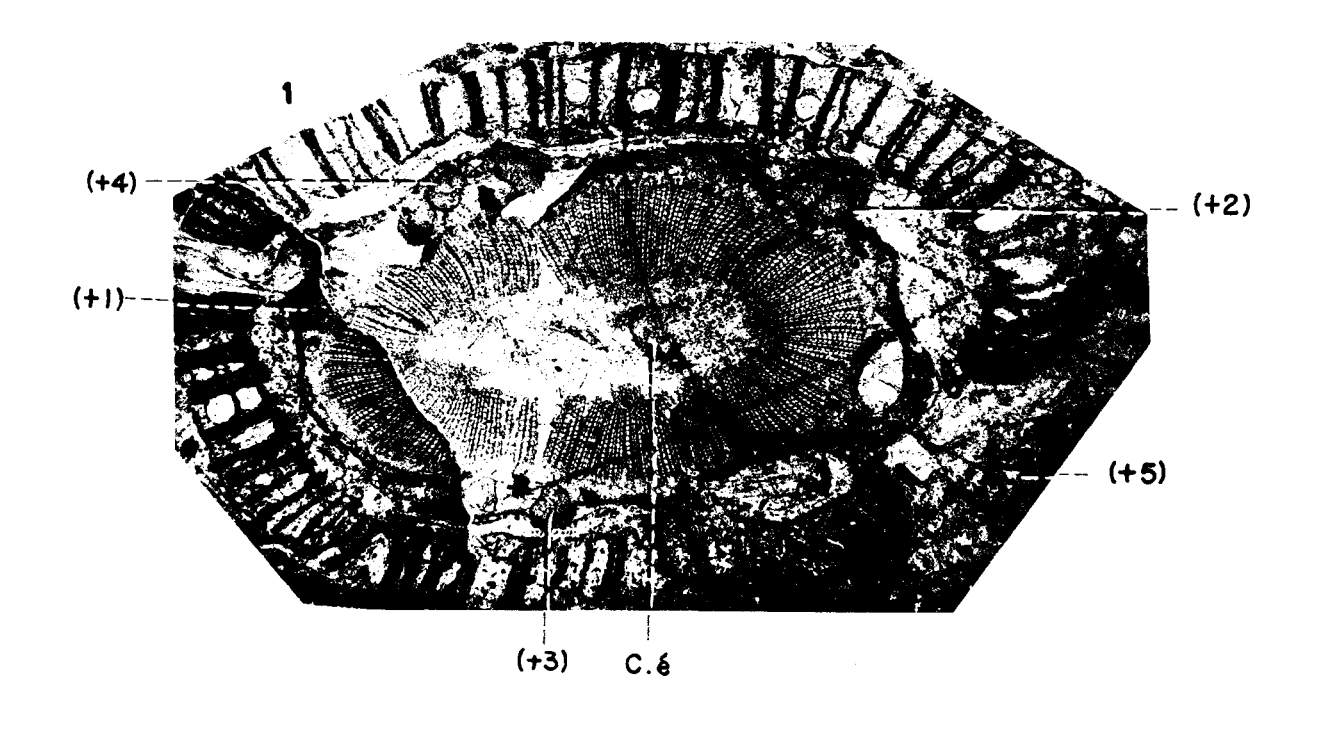
Lyginopteris (= Lyginodendron) austriacum Kubart.

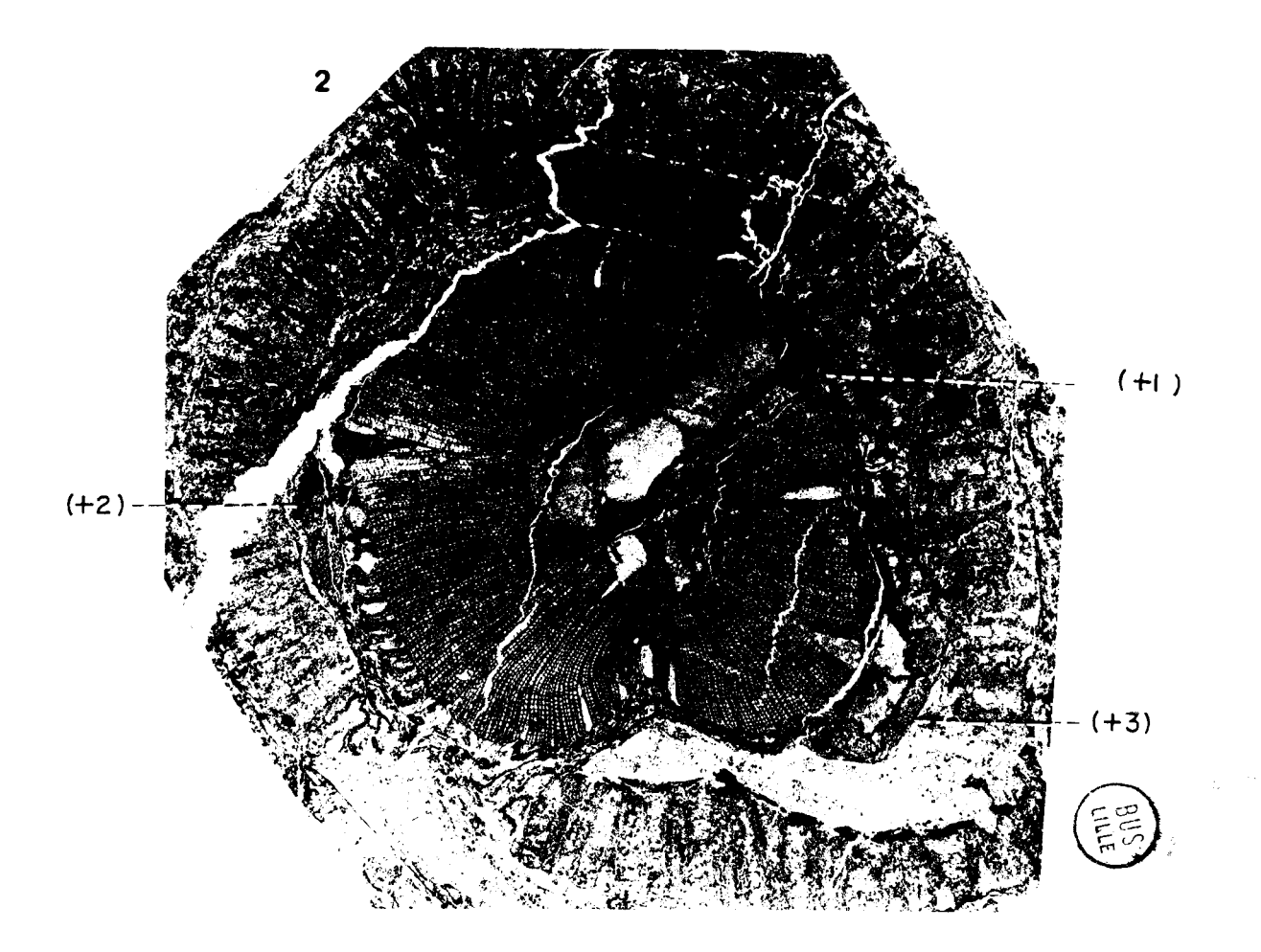
Fig. 2. - Lame mince no 2 R (37).

Origine: Haute-Silésie.

Niveau: Coaks/löz.

Collection: Université de Graz.





Coupes transversales sériées d'une tige de Lyginopteris (= Lyginodendron) austriacum Kubart (ramification du type I) chez Lyginopteris oldhamia (Binney) Potonié (suite).

Fig. 1. - Lame mince no 20 (4).

Origine : Haute-Silésie. Niveau : Coaks/löz.

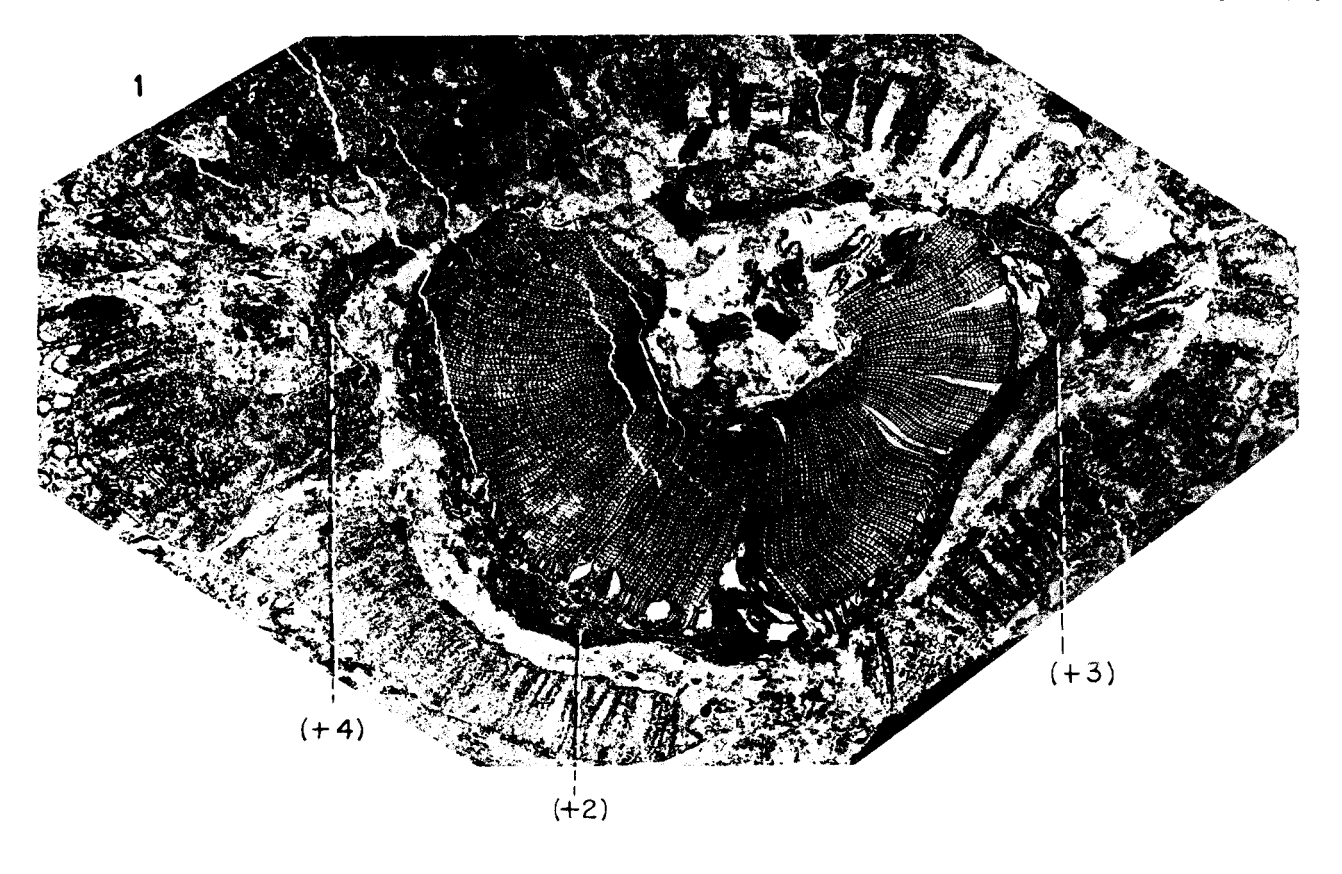
Collection : Université de Graz.

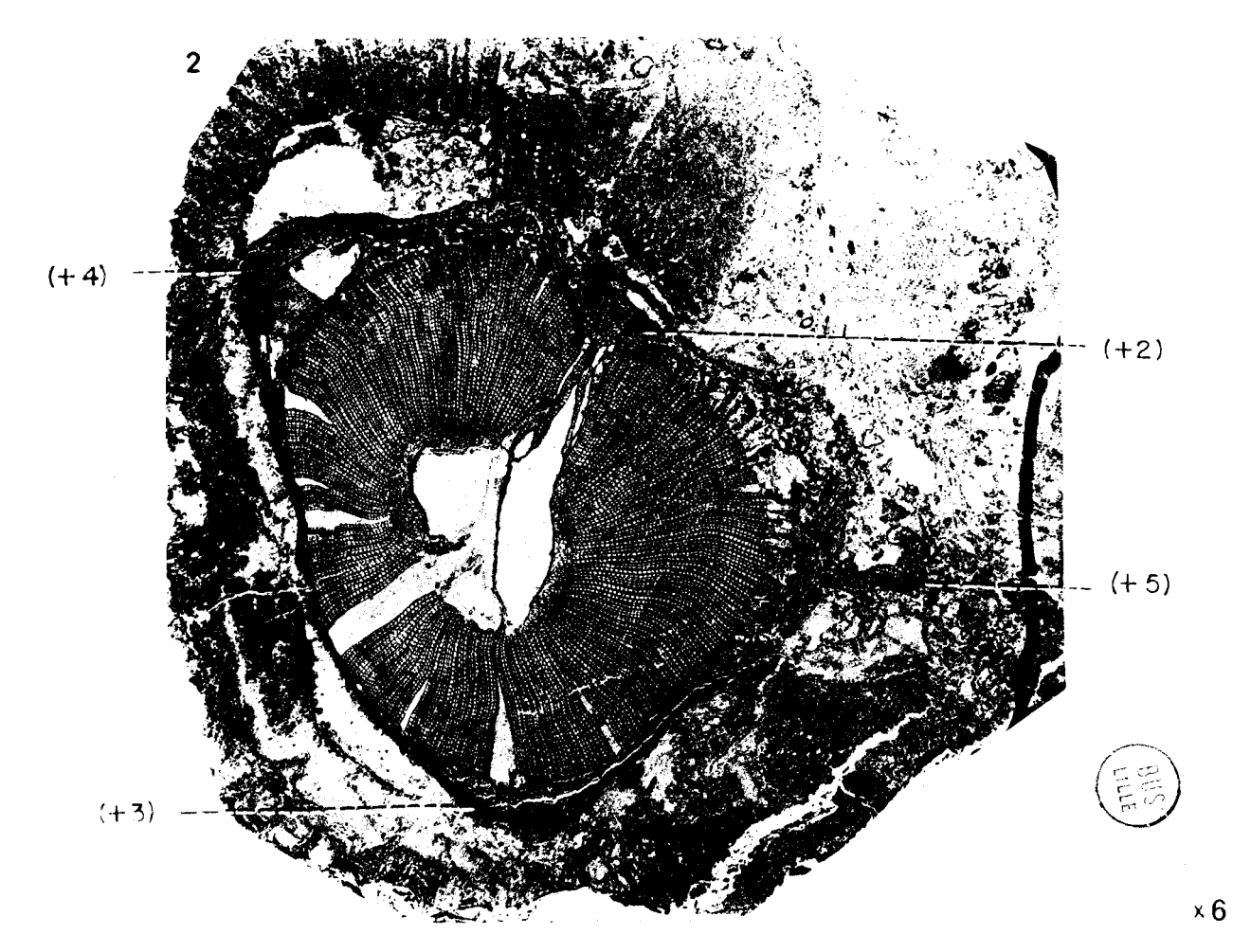
Gr. : = 6.

Fig. 2. - Lame mince no 2 k 155.

Origine : Haute-Silésie. Niveau : Coaks/löz.

Collection : Université de Graz.





Coupes transversales sériées d'une tige de Lyginopteris (= Lyginodendron) austriacum Kubart (ramification du type I) chez Lyginopteris oldhamia (BINNEY) POTONIÉ (suite).

Fig. 1. – Lame mince n° 53 v (306).

Origine: Haute-Silésie. Niveau: Coaks/löz.

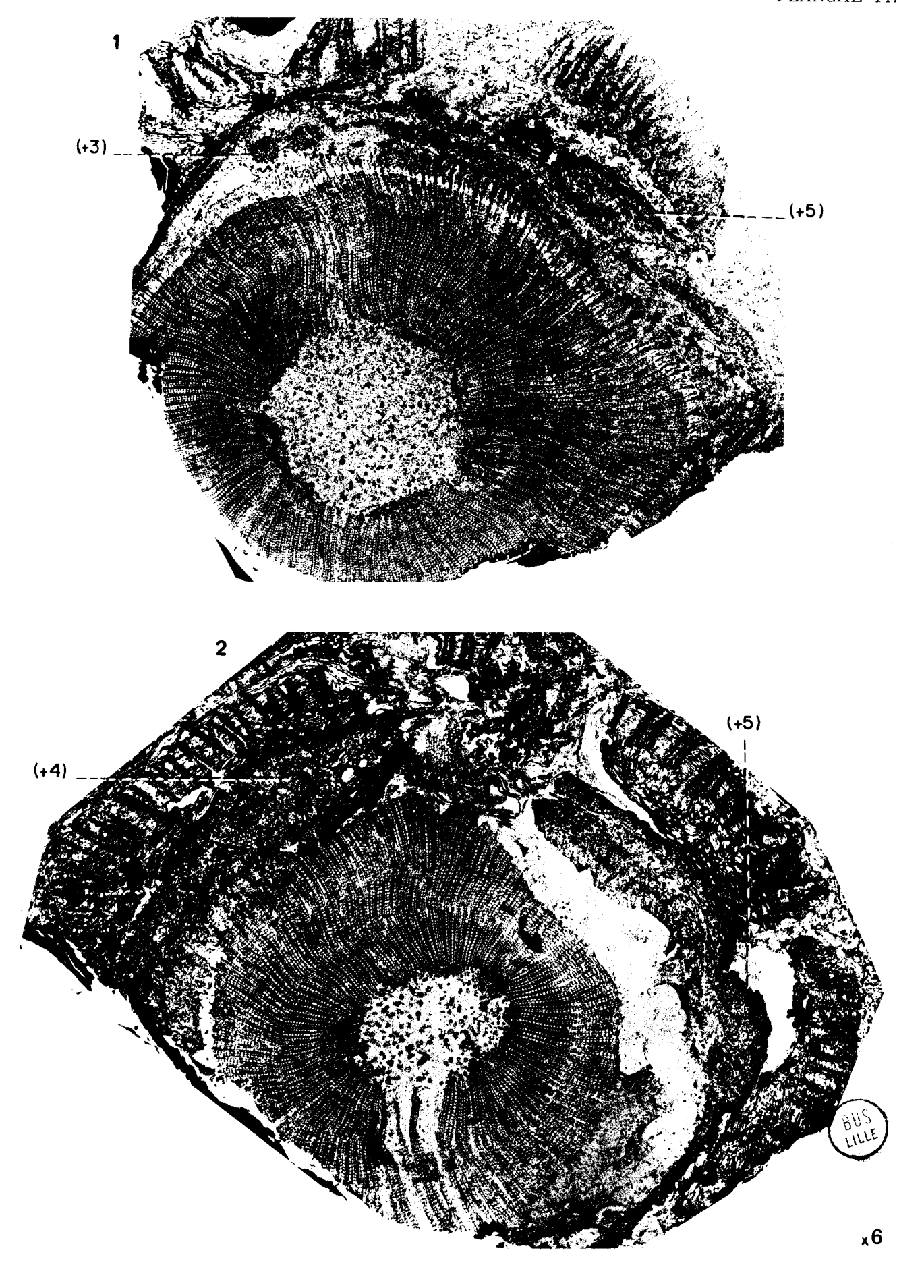
Collection: Université de Graz.

Gr.: = 6.

Fig. 2. - Lame mince no 9.

Origine: Haute-Silésie. Niveau: Coaksflöz.

Collection: Université de Graz.



Lyginopteris (= Lyginodendron) austriacum Kubart (ramification du type I) chez Lyginopteris oldhamia (BINNEY) POTONIÉ.

Fig. 1. - Coupe transversale du faisceau (+ 4) de la tige figurée pl. 44, fig. F.

Lame mince no 2 M (2).

Origine: Haute-Silésie. Niveau: Coaksflöz.

Collection: Université de Graz.

Gr. : = 25.

Fig. 2. - Coupe transversale du faisceau (+ 4) de la tige figurée pl. 44, fig. E.

Lame mince no 2 N (3).

Origine: Haute-Silésie.

Niveau: Coaksflöz.

Collection: Université de Graz.

Gr. : = 10.

Fig. 3. - Coupe transversale d'une tige.

Lame mince no 75 M (98).

Origine: Haute-Silésie.

Niveau: Coaks jlöz.

Collection: Université de Graz.

Gr. : = 7.

Fig. 4. - Coupe transversale d'une tige.

Lame mince no 135 y (328).

Origine: Haute-Silésie.

Niveau: Coaks/löz.

Collection: Université de Graz.

Gr. : = 5.

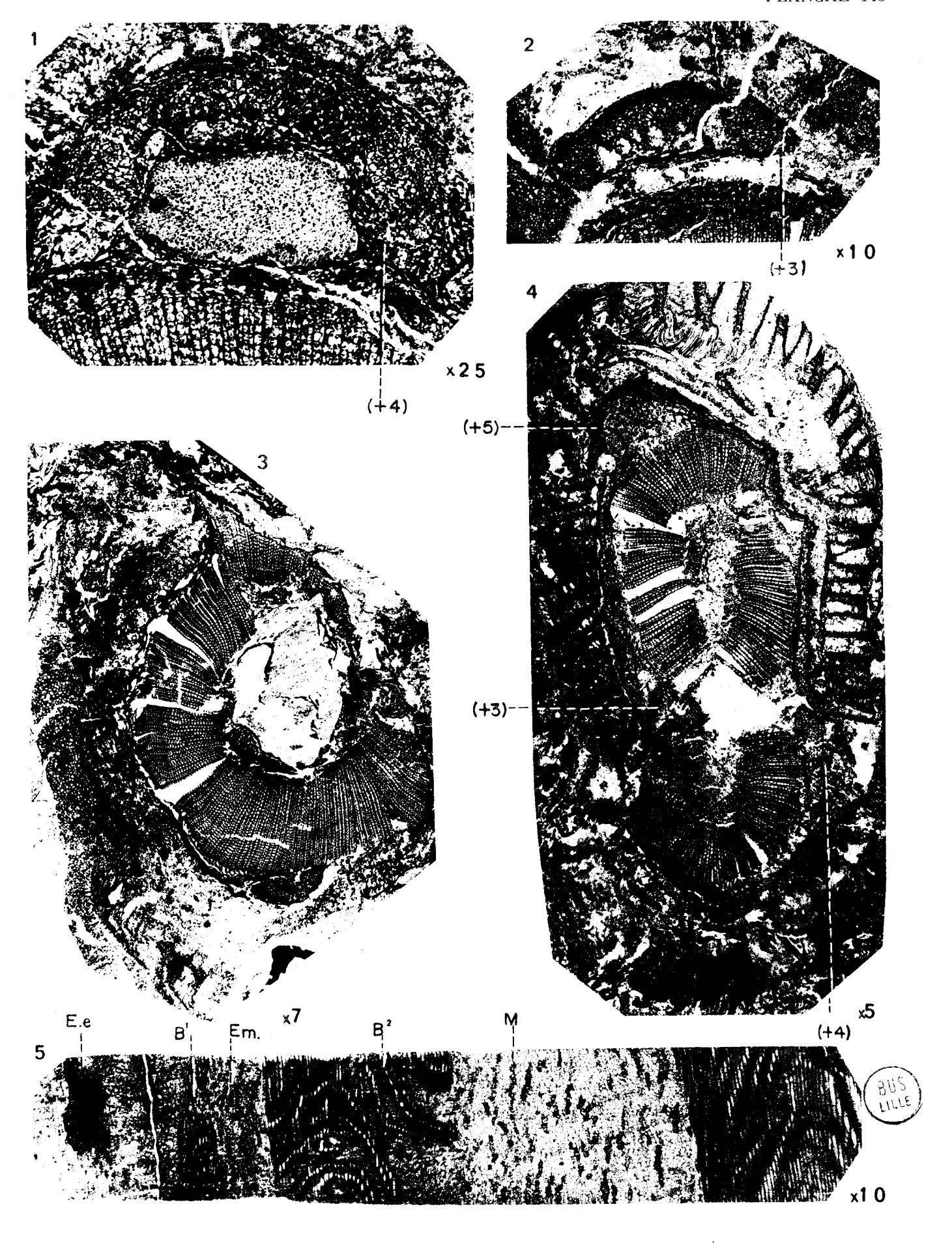
Fig. 5. - Coupe longitudinale d'une tige.

Lame mince no G.

Origine: Haute-Silésie.

Niveau: Coaksflöz.

Collection: Université de Graz.



Coupes transversales des pétioles de Lyginopteris (= Lyginodendron) austriacum Kubart (ramification du type I) chez Lyginopteris oldhamia (BINNEY) POTONIÉ.
Coupe transversale sériée de Lyginopteris corsini nov. sp.

Fig. 1. – Lame mince nº 1729 RI.
Origine: Ostrau (Haute-Silésie).
Niveau: Coaksflöz.
Collection: Université de Lille.
Gr.: = 50.

Fig. 2. - Lame mince nº 63.
Origine : Oldham (Lancashire).
Niveau : Coal Measures.
Collection : Université de Glasgow.
Gr. : = 20.

Fig. 3. – Lame mince nº N 13.
Origine : Haute-Silésie.
Niveau : Coas/klöz.
Collection : Université de Graz.
Gr. : = 25.

Fig. 4. – Lame mince nº 124 F (299).
Origine: Haute-Silésie.
Niveau: Coaksflöz.
Collection: Université de Graz.
Gr.: = 6.

Fig. 5. – Lame mince nº 124 w (349).
Origine: Haute-Silésie.
Niveau: Coaksflöz.
Collection: Université de Graz.
Gr.: = 6.

Fig. 6. – Lame mince nº 107 S (181).

Origine: Haute-Silésie.

Niveau: Coaks/löz.

Collection: Université de Graz.

Gr.: = 6.

Fig. 7. – Lame mince nº 107 S (181).

Origine: Haute-Silésie.

Niveau: Coaksflöz.

Collection: Université de Graz.

Gr.: = 6.

Lyginopteris corsini nov. sp.

雪

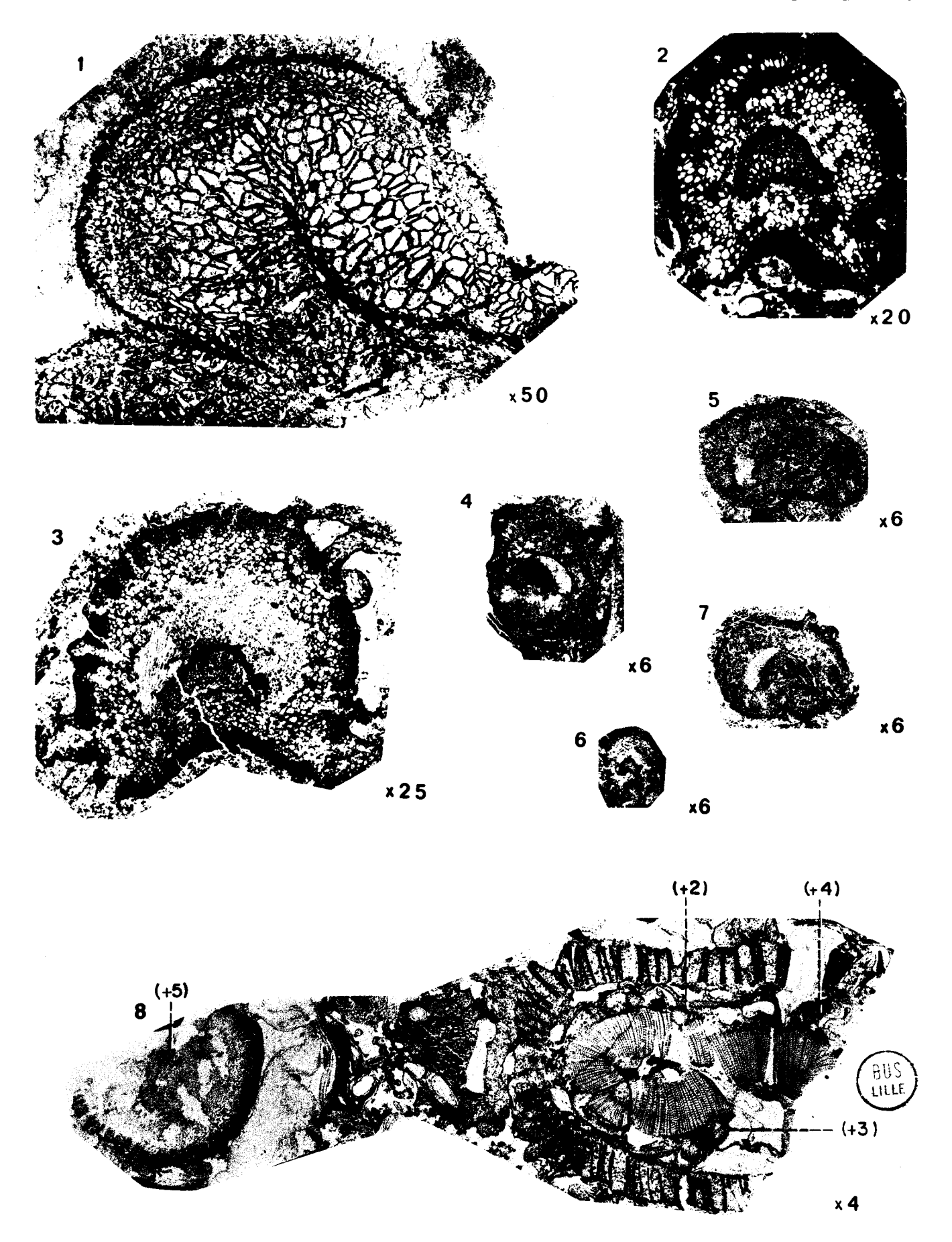
Fig. 8. - Lame mince nº 46.

Origine: Haute-Silésie.

Niveau: Katharina.

Collection: Londres (University College).

Gr.: = 4.



Coupes transversales sériées des tiges de Lyginopteris corsini nov. sp. Coupes transversales de pétioles isolés de Lyginopteris corsini nov. sp.

Fig. 1. - Tige.

Lame mince no 44. Origine : Haute-Silésie. Niveau : Katharina.

Collection: Londres (University College).

Gr. : = 4.

Fig. 2. - Tige.

Lame mince nº 43. Origine: Haute-Silésie.

Niveau: Katharina.

Collection: Londres (University College).

Gr. : = 4.

Fig. 3. - Tige.

Lame mince no 41. Origine: Haute-Silésie. Niveau: Katharina.

Collection: Londres (University College).

Gr. : = 4.

Fig. 4. - Pétiole.

Lame mince no 77 A.

Origine: Langendreer (Ruhr).

Niveau: ?

Collection: Université de Tübingen.

Gr. : = 8.

Frg. 5. - Pétiole.

Lame mince no 79.

Origine: Langendreer (Ruhr).

Niveau: ?

Collection: Université de Tübingen.

Gr. : = 8.

Fig. 6. - Pétiole.

Lame mince nº 19. Origine: Haute-Silésie.

Niveau: Katharina.

Collection: Londres (University College).

Gr. : = 8.

Fig. 7. - Pétiole.

Lame mince no 46. Origine: Haute-Silésie.

Niveau: Katharina.

Collection: Londres (University College).

Gr. : = 4.

Fig. 8. - Pétiole.

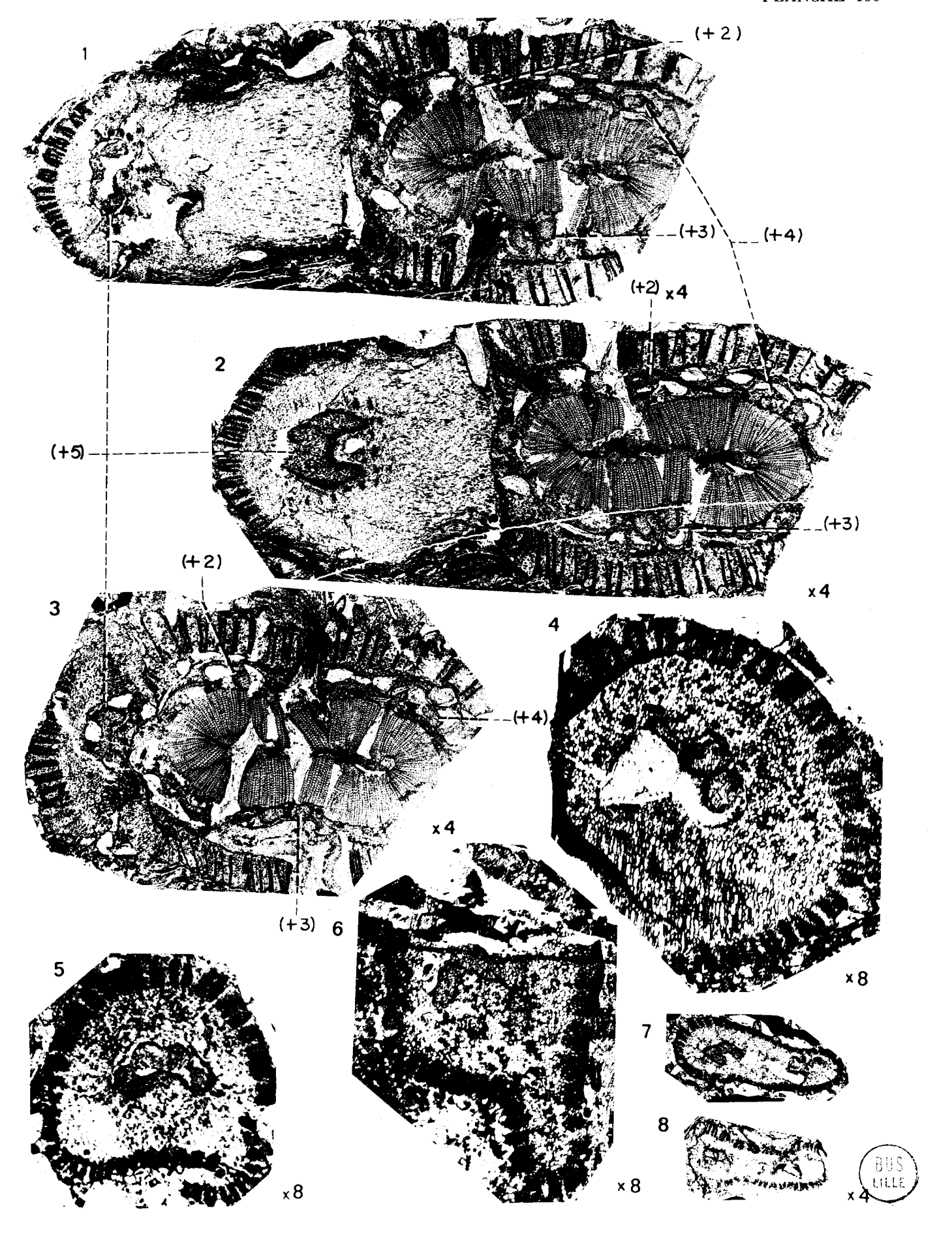
Lame mince nº 41.

Origine: Haute-Silésie.

Niveau: Katharina.

Collection: Londres (University College).

Gr. : = 4.



Coupes transversales isolées de pétioles de Lyginopteris corsini nov. sp.

Fig. 1. - Lame mince no 22.

Origine: Haute-Silésie. Niveau: Katharina.

Collection: École des Mines de Bochum.

Gr. : = 10.

Fig. 2. - Lame mince no 105 K.

Origine: Haute-Silésie. Niveau: Katharina.

Collection: Université de Graz.

Gr. : = 14.

Fig. 3. - Lame mince no 48.

Origine: Lancashire. Niveau: Coal Measures.

Collection: Université de Reims.

Gr. : = 10.

Fig. 4. - Lame mince no B.E.

Origine: Ruhr. Niveau: Katharina.

Collection : École des Mines de Bochum.

Gr. : = 10.

Fig. 5. - Lame mince no 54.

Origine: Haute-Silésie. Niveau: Coaksflöz.

Collection: Université de Graz.

Gr. : = 10.

Fig. 6. - Lame mince no 91 a.

Origine: Haute-Silésie.

Niveau: Coaksflöz.

Collection: Université de Graz.

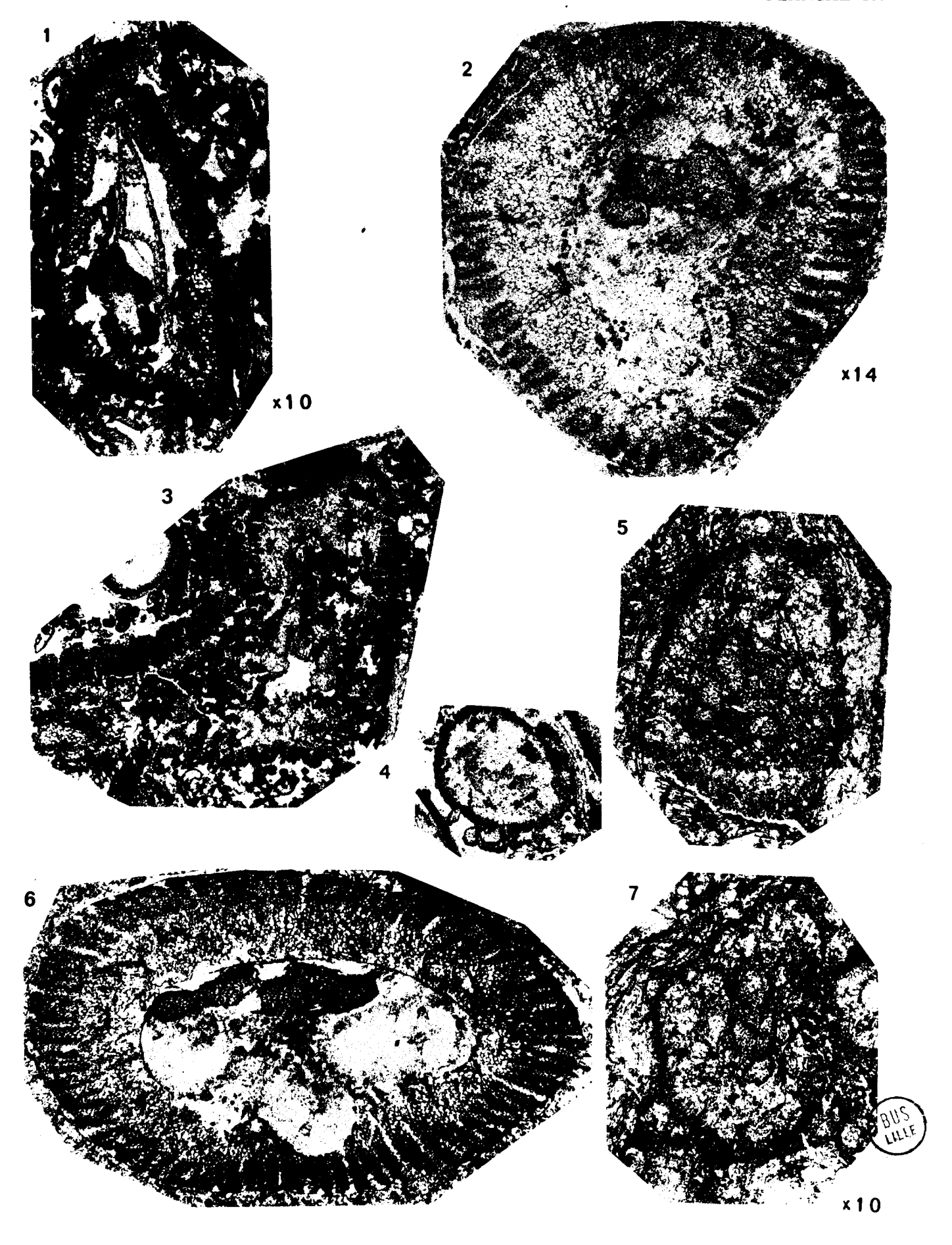
Gr. : = 10.

Fig. 7. – Lame mince n° 54 a.

Origine: Haute-Silésie. Niveau: Coaksflöz.

Collection: Université de Graz.

Gr. : = 10.



Lyginopteris kubarti nov. sp.

Fig. 1. - Base du rachis principal.

Lame mince no 18561 T4.

Origine: Ostrau (Haute-Silésie).

Niveau: Cunegonde.

Collection : Université de Lille.

Gr. : = 50.

Fig. 2. - Région moyenne du rachis principal.

Lame mince no 1856 J T 4.

Origine: Ostrau (Haute-Silésie).

Niveau: Cunegonde.

Collection: Université de Lille.

Gr. : = 10.

Fig. 3. - Région supérieure du rachis principal.

Lame mince nº 243.

Origine: Ostrau (Haute-Silésie).

Niveau: Cunegonde.

Collection: Université de Lille.

Gr. : = 5.

Fig. 4. - Région basale du rachis principal.

Lame mince no 1858 III 65.

Origine: Ostrau (Haute-Silésie).

Niveau: Cunegonde.

Collection: Université de Lille.

Gr. : = 20.

Fig. 5. - Détail du faisceau inclus dans le pétiole figuré pl. 152, fig. 4.

Lame mince no 1858 III 65.

Origine: Ostrau (Haute-Silésie).

Niveau: Cunegonde.

Collection: Université de Lille.

Gr. : = 50.

Fig. 6. - Rachis primaire.

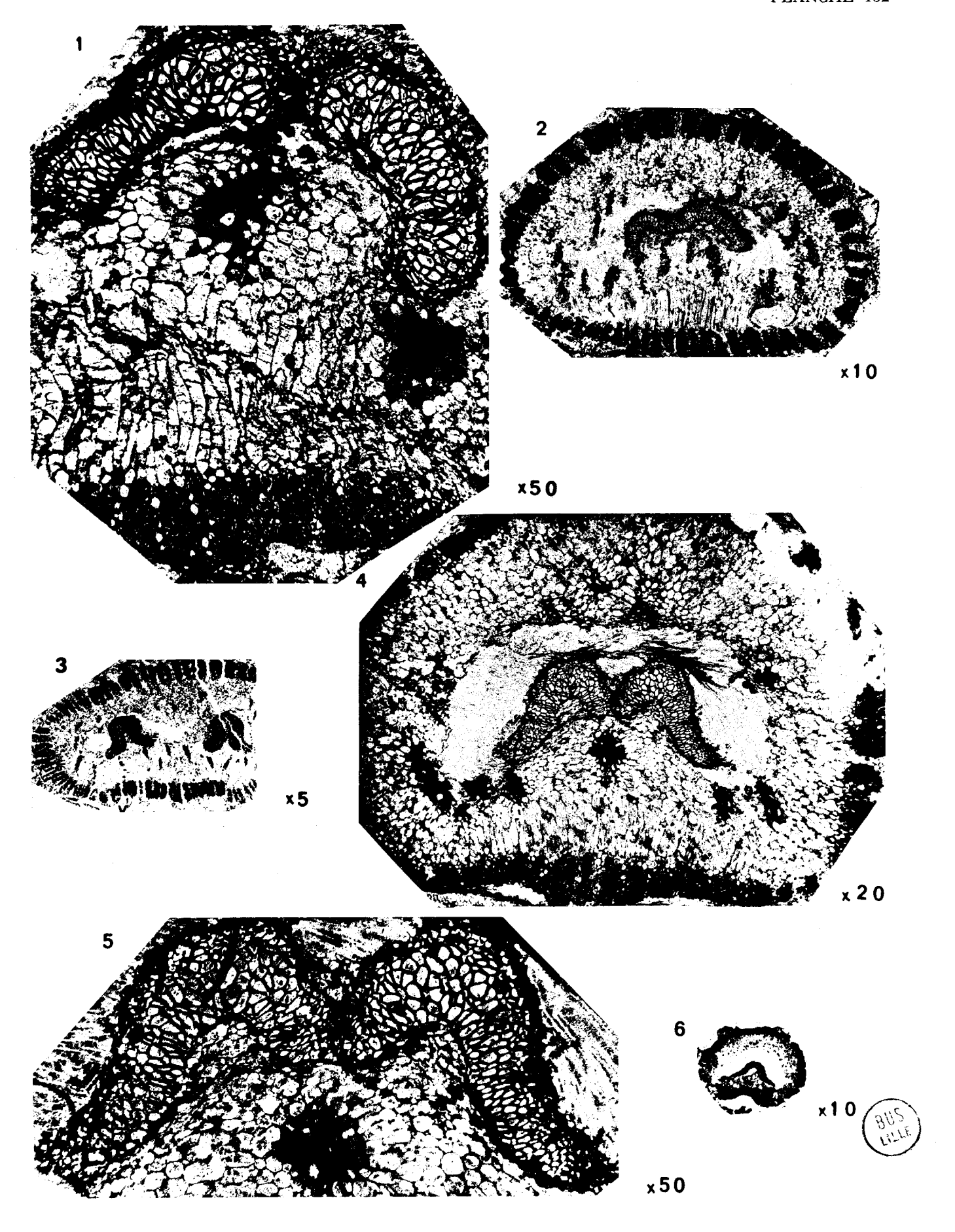
Lame mince nº 62.

Origine: Ostrau (Haute-Silésie).

Niveau: Cunegonde.

Collection: Université de Graz.

Gr. : = 10.



Lyginopteris kubarti nov. sp.

Fig. 1. - Coupe transversale de la région moyenne du rachis principal.

Lame mince no 199. Origine: Angleterre. Niveau: Coal Measures.

Collection: Londres (British Museum).

Gr. : = 30.

Fig. 2. - Détail du faisceau inclus dans la région moyenne du rachis principal.

Lame mince nº 1856 I T 4. Origine : Ostrau (Haute-Silésie).

Niveau: Coaksflöz.

Collection: Université de Lille.

Gr. : = 50.

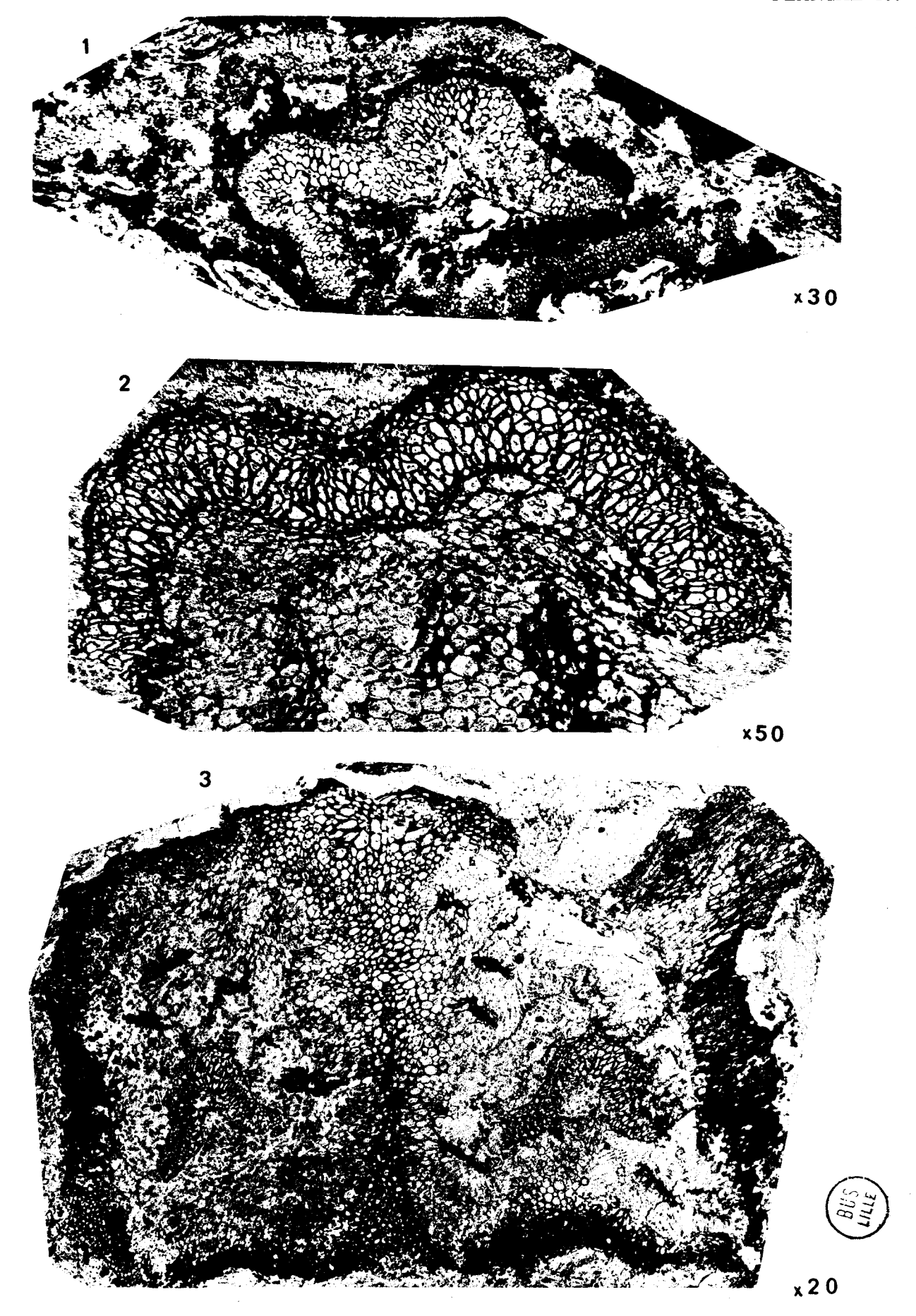
Fig. 3. - Coupe transversale de la région supérieure du rachis principal.

Lame mince nº 1858 II T 5. Origine: Ostrau (Haute-Silésie).

Niveau: Coaksflöz.

Collection: Université de Lille.

Gr. : = 20.



Lyginopteris kubarti nov. sp. Lyginorachis taitiana Kidston.

Fig. 1. - Rachis primaire de L. kubarti.

Lame mince nº 1730.

Origine: Halifax (Yorkshire).

Niveau: Coal Measures.

Collection: Université de Glasgow.

Gr. : = 20.

Fig. 2. – Rachis primaire de L. kubarti.

Lame mince no 1856.

Origine: Ostrau (Haute-Silésie).

Niveau : Coaks[löz.

Collection : Université de Lille.

Gr. : = 20.

Fig. 3. - Rachis primaire de L. kubarti.

Lame mince nº 2657.

Origine: Halifax (Yorkshire).

Niveau: Coal Measures.

Collection: Université de Glasgow.

Gr. : = 10.

Fig. 4. - Lyginorachis taitiana Kidston.

Peel section provenant des coupes sériées figurées par M.G. CALDER

p. 550.

Gr. : = 8.

Fig. 5. - Rachis primaire de L. kubarti.

Lame mince no 1856 It3.

Origine: Ostrau (Haute-Silésie).

Niveau: Coaks/löz.

Collection : Université de Lille.

Gr. : = 25.

Fig. 6. - Lyginorachis taitiana Kidston.

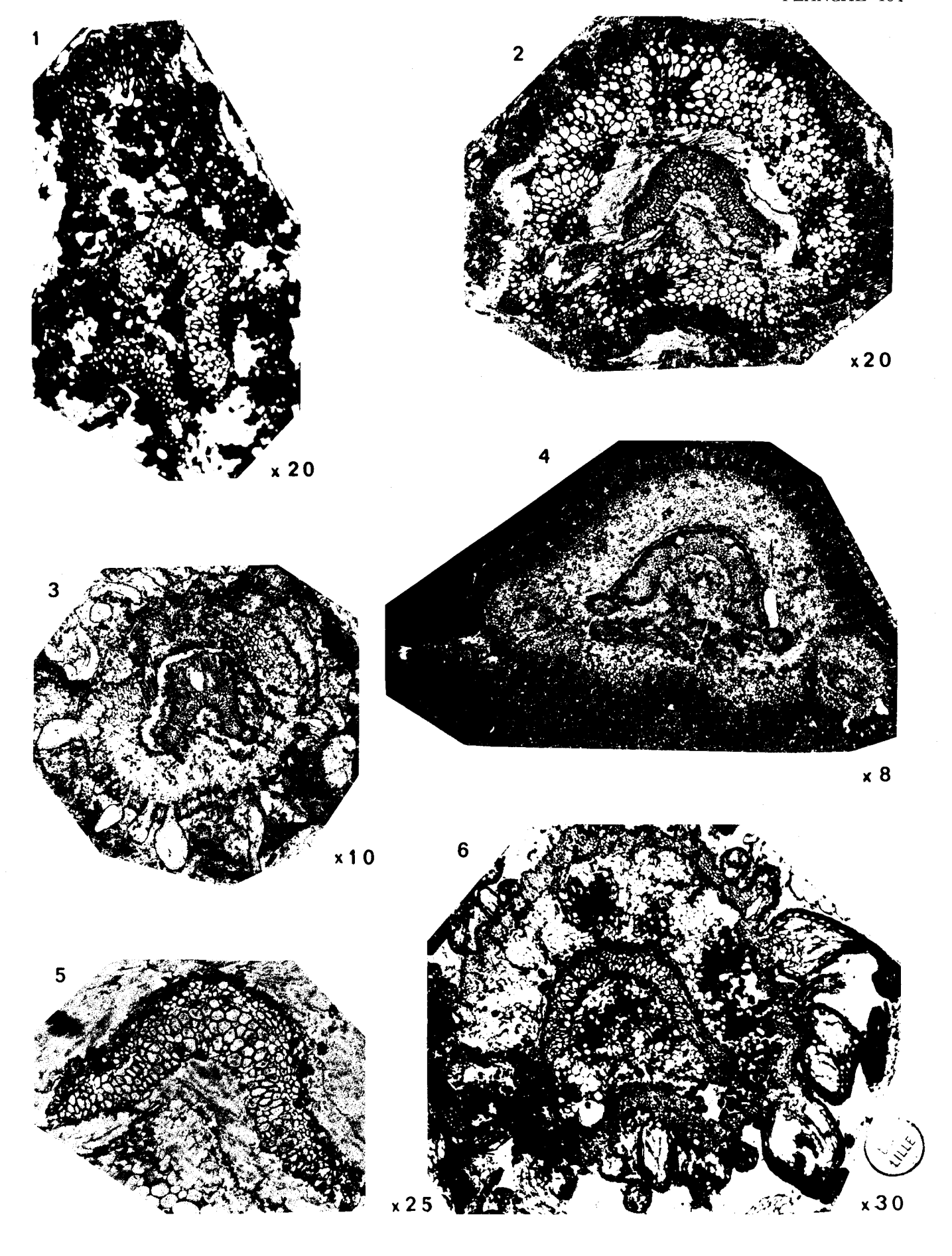
Lame mince no 199.

Origine: Grande-Bretagne.

Niveau: Coal Measures.

Collection: Londres (British Museum).

Gr. : = 30.



Lyginopteris sp. I.

Fig. 1. - Coupe transversale d'une tige.

Lame mince nº 2177.
Origine: Shore Littleborough (Lancashire).

Niveau: Coal Measures.

Collection: Université de Glasgow.

Gr. : = 1,5.

Fig. 2. - Coupe transversale d'une tige.

Lame mince no 2088.

Origine: Halifax (Yorkshire).

Niveau: Coal Measures.

Collection: Université de Glasgow.

Gr. : = 1,5.

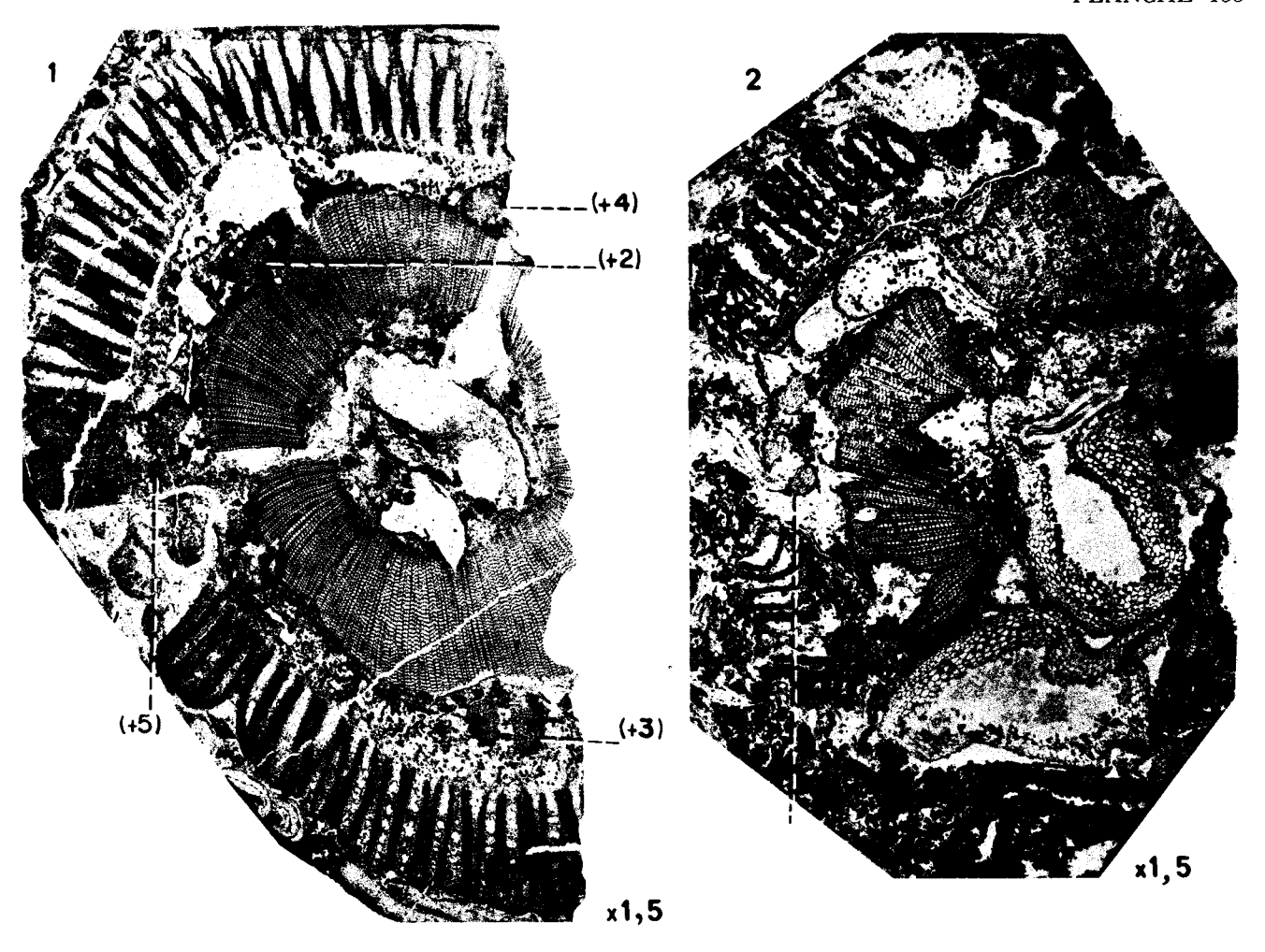
Fig. 3. - Coupe transversale d'une tige.

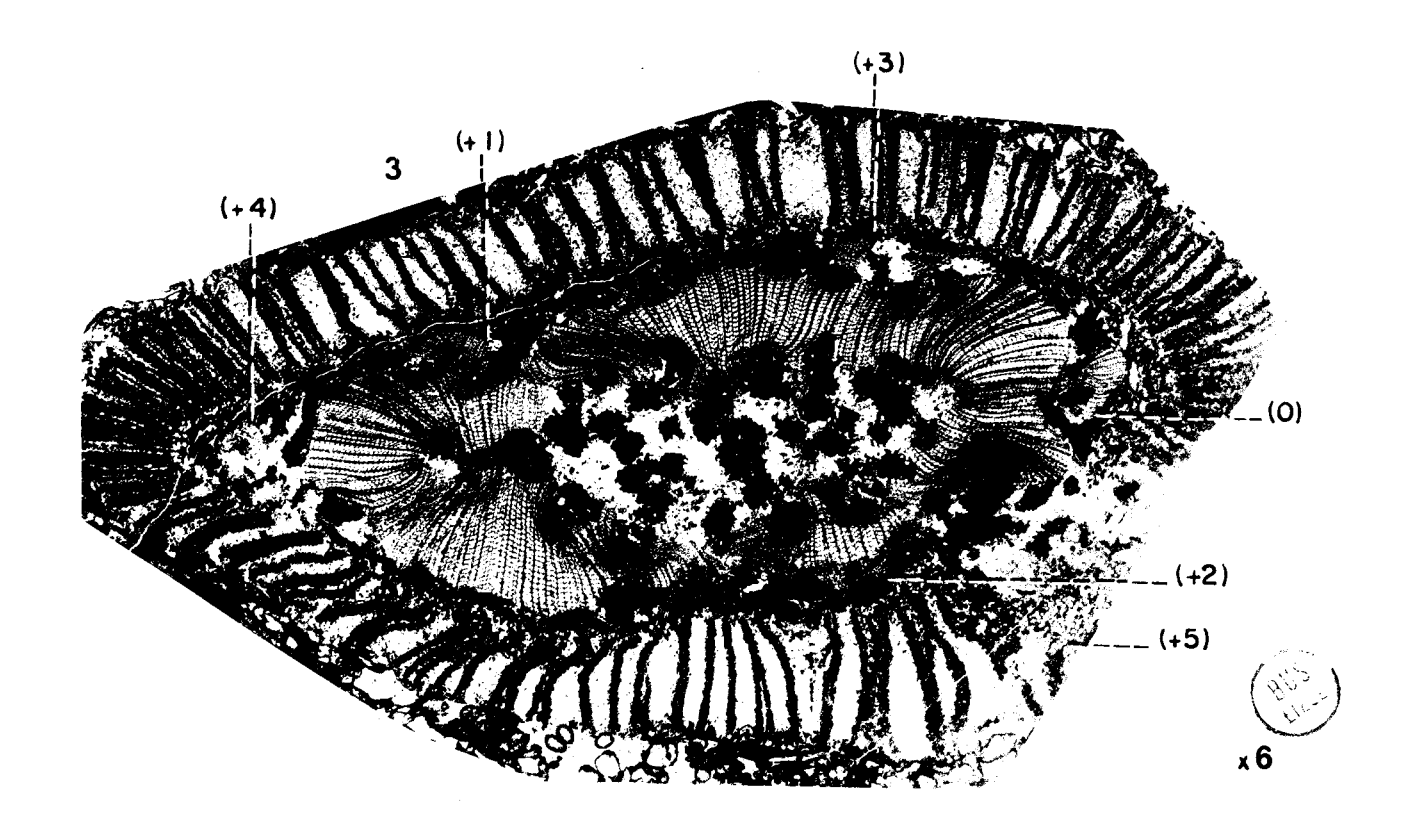
Lame mince no 32.

Origine: Angleterre. Niveau: Coal Measures.

Collection: Université de Lille.

Gr. : = 6.





Lyginopteris sp. I.

Fig. 1. - Coupe transversale d'un fragment de tige.

Lame mince no 28. Origine: Angleterre. Niveau: Coal Measures.

Collection: Université de Lille.

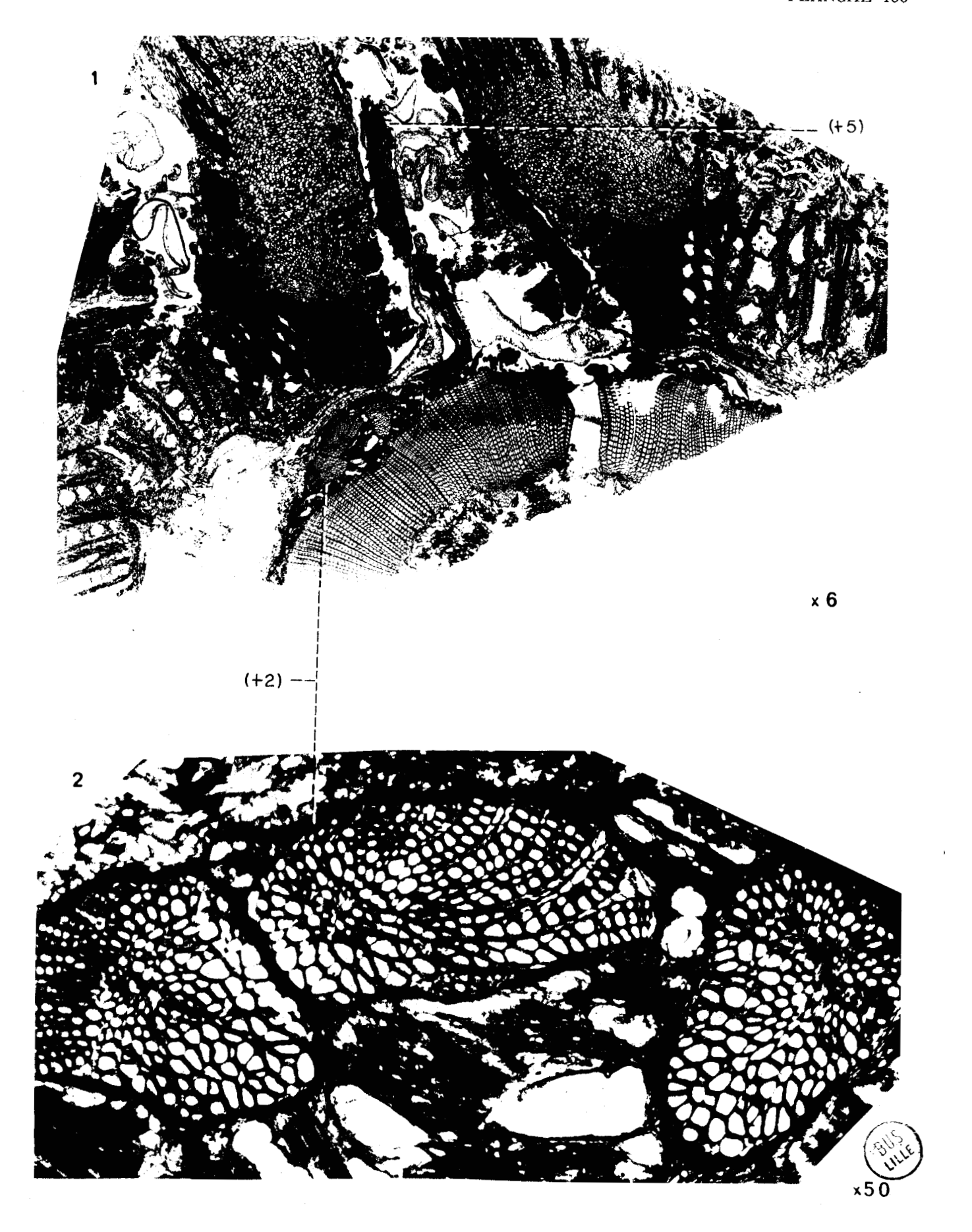
Gr. : = 6.

Fig. 2. – Détail du faisceau (+ 2) de la tige figurée pl. 156, fig. 2.

Lame mince no 28.
Origine: Angleterre.
Niveau: Coal Measures.

Collection: Université de Lille.

Gr. : = 50.



Lyginopteris sp. I.

Fig. 1. - Coupe transversale d'un pétiole.

Lame mince nº 55 C. Origine: Haute-Silésie. Niveau: Coaks/löz.

Collection: Université de Graz.

Gr. : = 15.

Fig. 2. - Coupe transversale d'un pétiole.

Lame mince nº 10 k. Origine: Haute-Silésie. Niveau: Coaksflöz. Gr.: = 15.

Fig. 3. - Coupe transversale d'un pétiole.

Lame mince no 104 M. Origine: Haute-Silésie. Niveau: Coaks/löz. Gr.: = 10.

Fig. 4. – Détail du bois primaire d'un pétiole.

Lame mince nº 55 y (165). Origine : Haute-Silésie. Niveau : Coaksflöz.

Collection: Université de Graz.

Gr. : = 20.



Lyginopteris sp. II.

Fig. 1. - Coupe transversale d'une tige.

Lame mince nº M 82.

Origine: Ruhr.

Niveau: Finefrau Nebenbank.

Collection: Londres (University College).

Gr. : = 15.

Fig. 2. - Coupe transversale d'une tige.

Lame mince nº M 40.

Origine: Dulesgate (Lancashire).

Niveau: Coal Measures.

Collection: Londres (University College).

Gr. : = 4.

Fig. 3. - Coupe transversale d'une tige.

Lame mince no 23.

Origine: ?

Niveau: ?

Collection: Université de Munich.

Gr. : = 15.

